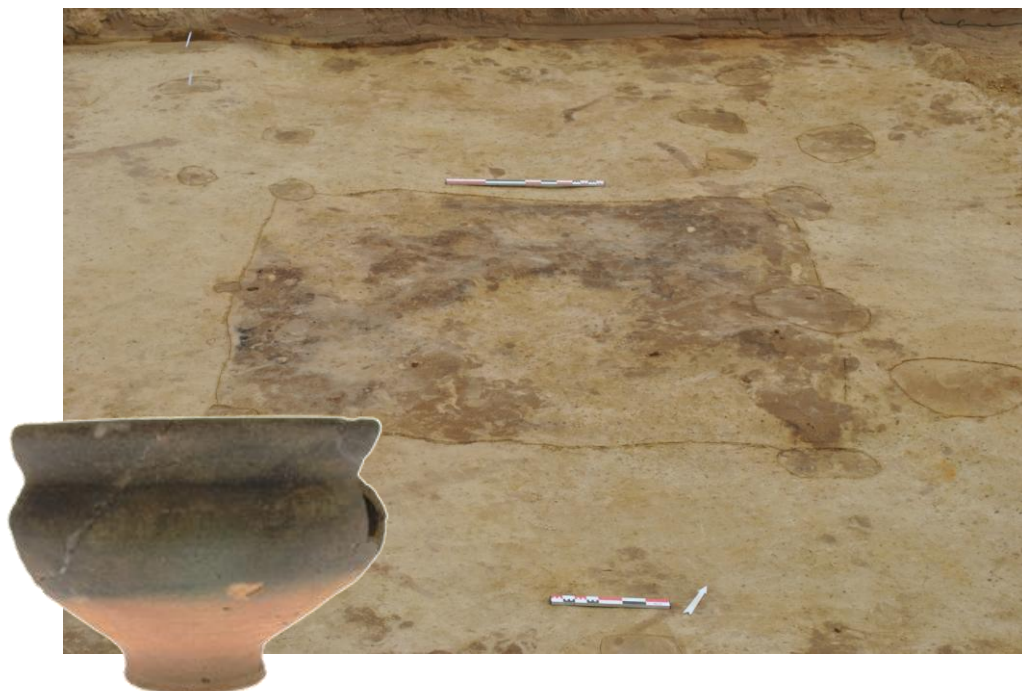


Archeo-rapport 126

Het archeologische onderzoek aan de Zelemsebaan te Meldert



Maarten Smeets & Michiel Steenhoudt (red.)

Archeo-rapport 126

Het archeologische onderzoek aan de Zelemsebaan te Meldert

Maarten Smeets & Michiel Steenhoudt (red.)

**Kessel-Lo, 2012
Studiebureau Archeologie bvba**



Colofon

Archeo-rapport 126 Het archeologische onderzoek aan de Zelemsebaan te Meldert
--

Opdrachtgever:	Deveux & Vanerum Projectonwikkeling en verkavelingen
Projectleiding:	Maarten Smeets
Leidinggevende veldwerk:	Michiel Steenhout
Redactie:	Maarten Smeets Michiel Steenhoudt
Foto's en tekeningen:	Studiebureau Archeologie bvba (behalve figuren 1.1, 1.2, 1.3, 1.4, 6.2, 6.11, 6.13, 7.12, 9.5, 9.8, 9.10, 9.16, 12.2, 12.4, 12.13, 13.1, 13.2, 14.4, 14.5, 14.6 en 14.7)

Op alle teksten, foto's en tekeningen geldt een auteursrecht. Zonder voorafgaandelijke schriftelijke toestemming van Studiebureau Archeologie bvba mag niets uit deze uitgave worden vermenigvuldigd, bewerkt en/of openbaar gemaakt, hetzij door middel van webpublicatie, druk, fotokopie, microfilm of op welke andere wijze ook.

D/2012/12.825/39

Studiebureau Archeologie bvba
Jozef Wautersstraat 6
3010 Kessel-Lo
www.studiebureau-archeologie.be
info@studiebureau-archeologie.be
tel: 0474/58.77.85
fax: 016/77.05.41

©2012, Studiebureau Archeologie bvba

Inhoudstafel

Inhoudstafel	p. 1
Hoofdstuk 1: Inleiding en situering <i>Maarten Smeets & Michiel Steenhoudt</i>	p. 5
Hoofdstuk 2: Werkmethode <i>Michiel Steenhoudt & Maarten Smeets</i>	p. 9
Hoofdstuk 3: Beschrijving van de bodemprofielen <i>Maarten Smeets</i>	p. 11
Hoofdstuk 4: Een prehistorische kringgreppel <i>Ron Bakx & Michiel Steenhoudt</i>	p. 15
Hoofdstuk 5: Sporen en structuren uit de midden- tot late ijzertijd <i>Ron Bakx & Michiel Steenhoudt</i>	p. 17
5.1 Hoofdgebouwen	p. 17
5.1.1 Structuur H1	p. 17
5.1.2 Structuur H2	p. 18
5.2 Bijgebouwen	p. 20
5.2.1 Structuur B1	p. 20
5.2.2 Structuur B2	p. 20
5.2.3 Structuur B3	p. 21
5.2.4 Structuur B4	p. 21
5.2.5 Structuur B5	p. 21
5.2.6 Structuur B6	p. 21
5.2.7 Structuur B7	p. 21
5.2.8 Structuur B8	p. 22
5.2.9 Structuur B9	p. 22
5.2.10 Algemene conclusie	p. 23
5.3 Sporencluster	p. 24
5.4 Kuilen	p. 24
Hoofdstuk 6: Een nederzetting uit de laat-Romeinse periode <i>Ron Bakx & Michiel Steenhoudt</i>	p. 27
6.1 Hoofdgebouwen	p. 27
6.1.1 Structuur H3	p. 27
6.1.2 Structuur H4	p. 29
6.1.3 Structuur H5	p. 32
6.1.4 Structuur H6	p. 33
6.1.5 Structuur H7	p. 35
6.1.6 Structuur H8	p. 38
6.2 Hutkommen	p. 40
6.2.1 Structuur Hu1	p. 40
6.2.2 Structuur Hu2	p. 41

6.3 Bijgebouwen	p. 42
6.3.1 Structuur B10	p. 42
6.3.2 Structuur B11	p. 43
6.4 Erfafscheiding	p. 44
6.5 Waterput	p. 44
6.6 Kuilen	p. 46
 Hoofdstuk 7: Studie van het aardewerk	 p. 53
<i>Tim Clerbaut & Ron Bakx</i>	
7.1 Studie van het prehistorisch aardewerk	p. 53
7.1.1 Algemeen	p. 53
7.1.2 Het handgevormd aardewerk uit de midden- tot late bronstijd	p. 54
7.1.3 Het handgevormd aardewerk uit de late ijzertijd	p. 54
7.2 Studie van het laat-Romeins aardewerk	p. 59
7.2.1 Inleiding en verwachtingspatronen	p. 59
7.2.2 Algemene kwantificatie en fragmentatie	p. 59
7.2.3 Beschrijving van de aanwezige aardewerkgroepen	p. 60
7.2.3.1 Terra Sigillata (TS)	p. 63
7.2.3.2 Dunwandig grijs gedraaid (terra nigra achtig materiaal; TNa)	p. 65
7.2.3.3 Ander gladwandig aardewerk (GWO en GWR)	p. 68
7.2.3.4 Ruwwandige reducerend aardewerk (RWR)	p. 68
7.2.3.5 (Lokaal?) ruwwandige oxiderende waar (RWO)	p. 69
7.2.3.6 Import handgevormd aardewerk (HGV+TGA red.)	p. 70
7.2.3.7 Lokaal handgevormd aardewerk (HGV)	p. 71
7.2.4 Conclusies omtrent het Romeinse aardewerk	p. 71
 Hoofdstuk 8: Studie van het bouwceramisch materiaal	 p. 73
<i>Tim Clerbaut</i>	
8.1 Inleiding tot het ceramische bouw materiaal in de Romeinse periode	p. 73
8.2 Methodologie en onderzoeksdoel	p. 73
8.2.1 Methodologie	p. 73
8.2.2 Onderzoeksdoel en -vragen	p. 74
8.3 Vormenschat en kwantificatie	p. 74
8.4 Bakselvariatie en herkomst	p. 79
8.5 Typochronologisch onderzoek	p. 80
8.5.1 Typologisch en typochronologisch onderzoek van de tegulae fragmenten	p. 80
8.5.2 Typologisch en typochronologisch onderzoek van de imbrices fragmenten	p. 84
8.6 Merken en tekens	p. 85
8.7 Slotbeschouwing	p. 87
 Hoofdstuk 9: Studie van de metaalvondsten	 p. 89
<i>Tim Clerbaut</i>	
9.1 Kwantificatie en bewaringsgraad	p. 89
9.2 Bespreking van de aangetroffen vondsten	p. 90
9.2.1 Vondsten uit ijzer	p. 90
9.2.1.1 Nagels, spijkers en krammen	p. 90
9.2.1.2 Een verbronsde veebel	p. 93

9.2.1.3 Een ijzeren paardenneusriem	p. 98
9.2.1.4 Een ijzeren gordelgesp	p. 99
9.2.1.5 Overige vondsten met een onzekere vorm	p. 101
9.2.2 Vondsten uit koperlegering	p. 101
9.2.3 Vondsten uit andere non-ferro metalen	p. 105
9.3 Interpretatie en sociale context van de aangetroffen metaalvondsten	p. 105
Hoofdstuk 10: Studie van de glasvondsten	p. 107
<i>Tim Clerbaut & Anouk van der Kelen</i>	
10.1 Kwantificatie en fragmentatie	p. 107
10.2 Ruimtelijke spreiding van het glasmateriaal op de site	p. 108
10.3 Beschrijving van het aanwezige (laat-)Romeinse glasmateriaal	p. 109
10.3.1 Vormingstechniek	p. 109
10.3.2 Detailbeschrijving van het aanwezige vlakglas	p. 110
10.3.3 Detailbeschrijving van het fragment van een glazen armband	p. 111
10.4 Poging tot een typochronologische studie	p. 112
10.5 Interpretatie van de aangetroffen glasvondsten	p. 113
Hoofdstuk 11: Studie van het lithische materiaal	p. 115
<i>Tim Clerbaut & Nick Van Liefferinge</i>	
11.1 Inleiding en kwantificatie	p. 115
11.2 Herkomst van het aangetroffen lithisch materiaal	p. 116
11.3 Beschrijving van de lithische artefacten	p. 117
11.3.1 Artefacten in silex en kwartsiet van Wommersom	p. 117
11.3.2 Artefact in groengrijs kwartsiet	p. 118
11.3.3 Maalsteenfragment in tefriet	p. 119
Hoofdstuk 12: Analyse van de houtvondsten	p. 121
<i>Tim Clerbaut & Anouk van der Kelen</i>	
12.1 Inleiding tot houtvondsten in de Romeinse periode	p. 121
12.1.1 Houtvondsten, bewaringsconditie en vondstcontext	p. 121
12.1.2 Houtvondsten in Vlaanderen: <i>status quaestiones</i>	p. 122
12.2 Onderzoeksdoel en methodologie	p. 123
12.3 Technische beschrijving en vervaardiging	p. 124
12.3.1 Houtbewerking en houtbewerkingstechnieken in de Romeinse periode	p. 124
12.3.2 Beschrijving van het aanwezige constructiehout	p. 126
12.3.3 Reconstructie van de waterput (S275)	p. 129
12.3.4 Beschrijving van de aanwezige gebruiksvoorwerpen	p. 131
12.3.5 Mogelijke interpretaties van het gebruiksvoorwerp	p. 132
12.4 Houtdeterminatie als inkijk op het omliggende landschap?	p. 136
12.4.1 Determinatie van de aanwezige houtsoorten	p. 136
12.4.2 Houtdeterminatie als opstap naar landschapsreconstructie	p. 137
12.5 Slotbeschouwing	p. 137
Hoofdstuk 13: Dendrochronologisch onderzoek	p. 139
<i>Sjoerd van Daalen (BAAC)</i>	
13.1 Inleiding	p. 139
13.2 Methode	p. 139

13.3 Resultaten	p. 141
13.4 Conclusie en discussie	p. 143
Hoofdstuk 14: Het archeo-botanische onderzoek	p. 145
<i>Wouter van der Meer (BIAX Consult)</i>	
14.1 Inleiding	p. 145
14.2 Materiaal en methode	p. 145
14.2.1 Botanische macroresten	p. 145
14.2.2 Pollen	p. 146
14.2.3 Staalbeschrijving	p. 147
14.3 Resultaten en discussie	p. 149
14.3.1 Conservering	p. 149
14.3.2 Datering	p. 149
14.3.3 Macroresten	p. 152
14.3.3.1 Spoor 597	p. 152
14.3.3.2 Spoor 275	p. 153
14.3.3.3 Verbouw van rogge	p. 157
14.3.3.4 Tuinbouw	p. 158
14.3.3.5 Zuidelijke en noordelijke invloeden	p. 158
14.4 Conclusies	p. 159
Hoofdstuk 15: Besluit	p. 161
<i>Maarten Smeets</i>	
Bibliografie	p. 169
Bijlagen	p. 178
Bijlage 1: Sporeninventaris	p. 179
Bijlage 2: Vondsteninventaris	p. 233
Bijlage 3: Fotoinventaris	p. 245
Bijlage 4: Dendrochronologische metingen	p. 323
Bijlage 5: Resultaten waardering macroresten	p. 325
Bijlage 6: Resultaten waardering pollen	p. 327
Bijlage 7: Resultaten analyse macroresten	p. 329
Bijlage 8: Resultaten analyse pollen- en microfossielenonderzoek	p. 335
Bijlage 9: Profieltekeningen	p. 341
Bijlage 10: Opgravingsplan	p. 391

Hoofdstuk 1 Inleiding en situering

Maarten Smeets & Michiel Steenhoudt

Naar aanleiding van de verkaveling “Het Dorp” te Meldert (gem. Lummen) werd door het voormalige Agentschap Ruimte en Erfgoed een archeologische prospectie met ingreep in de bodem gevraagd die van 19 tot en met 25 januari 2010 werd uitgevoerd door Studiebureau Archeologie bvba. Tijdens dit vooronderzoek werd vastgesteld dat de aanwezige sporen als duidelijke nederzettingssporen uit de (midden- tot late) ijzertijd te interpreteren zijn (62 paalkuilen, 46 kuilen en 5 grachten of greppels; met duidelijke concentraties die op intensieve bewoning wijzen). In verschillende sleuven werden paalkuilen aangetroffen waaruit geconcludeerd werd dat er meerdere gebouwplattegronden aanwezig moeten zijn op de site.

Omwille van een afdekkende pakket colluvium was de bewaringstoestand van de sporen zeer goed, behalve op de kop van de helling waar veel erosie heeft plaatsgevonden waardoor hier geen sporen werden aangetroffen.

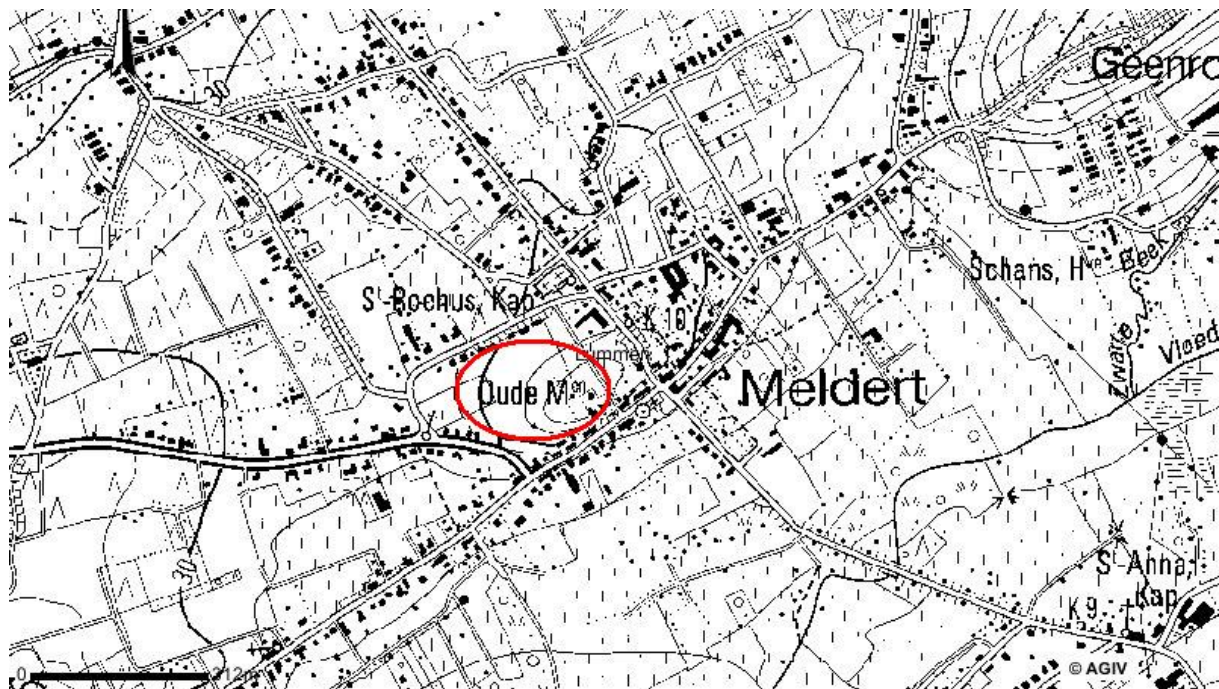


Fig. 1.1: Topografische kaart met aanduiding van het projectgebied.

Volgens de onderzoeksbalans¹ van het Vlaams Instituut voor het Onroerend Erfgoed toont duidelijk aan dat wat de brons- en ijzertijd betreft er op het nederzettingsniveau maar weinig gegevens beschikbaar zijn. Het onderzoek naar nederzettingen is echter een basisvoorwaarde om de protohistorische mens en maatschappij goed te kunnen begrijpen. De situatie in onze buurlanden toont dat archeologisch onderzoek van volledige nederzettingen leidt tot echte kennisvermeerdering van de protohistorische samenleving.

¹ http://www.vioe.be/nl/nl/index.cgi?s_id=6&id=1754&basis=|6|1754&detail=2034, meer bepaald de items 4.1, 4.3 en 4.5.

De verkaveling heeft een oppervlakte van ca. 3 ha 37 are en is gelegen in het dorpscentrum van Meldert (fig. 1.1). Het opgegraven terrein is ongeveer 1 ha 50 are groot en situeert zich op de laagst gelegen delen van de noordelijke flank van een droge getuigenheuvel, tussen de Meldertsebaan, de Zelemsebaan, de Nachtegaalstraat en de Heesstraat. Enkele honderden meters ten zuiden van het projectgebied bevindt zich de Zwarte Beek.

Het projectgebied heeft een hoge archeologische potentieel (fig. 3). Naast de resultaten van het vooronderzoek die wezen op de aanwezigheid van bewoningssporen uit de midden en late ijzertijd werden er nog sporen verwacht die gaan van de Romeinse periode tot de post-middeleeuwen.

6

ijzertijd². Bij recent onderzoek in de Sint-Willibrorduskerk werd bij de opgravingen in de zone van de Romaanse toren handgevormd aardewerk aangetroffen³. Verder zijn, in de Centrale Archeologische Inventaris (CAI), in de ruime omgeving veel losse silexvondsten opgenomen.

Op de topografische kaart wordt de aanwezigheid van een oude molen gemeld (fig. 1.1). Noch op de laat-18^{de}-eeuwse kaart van Ferraris, noch in de midden-19^{de}-eeuwse Atlas der Buurtwegen, zijn hiervoor echter aanwijzingen te vinden en bijgevolg kan een datering in de late 19^{de} of begin 20^{ste} eeuw vermoed worden. Op beide vermelde kaarten is geen bebouwing binnen het projectgebied afgebeeld. Op de Ferrariskaart zijn wel een aantal velden en tuinen te zien (fig. 1.4).

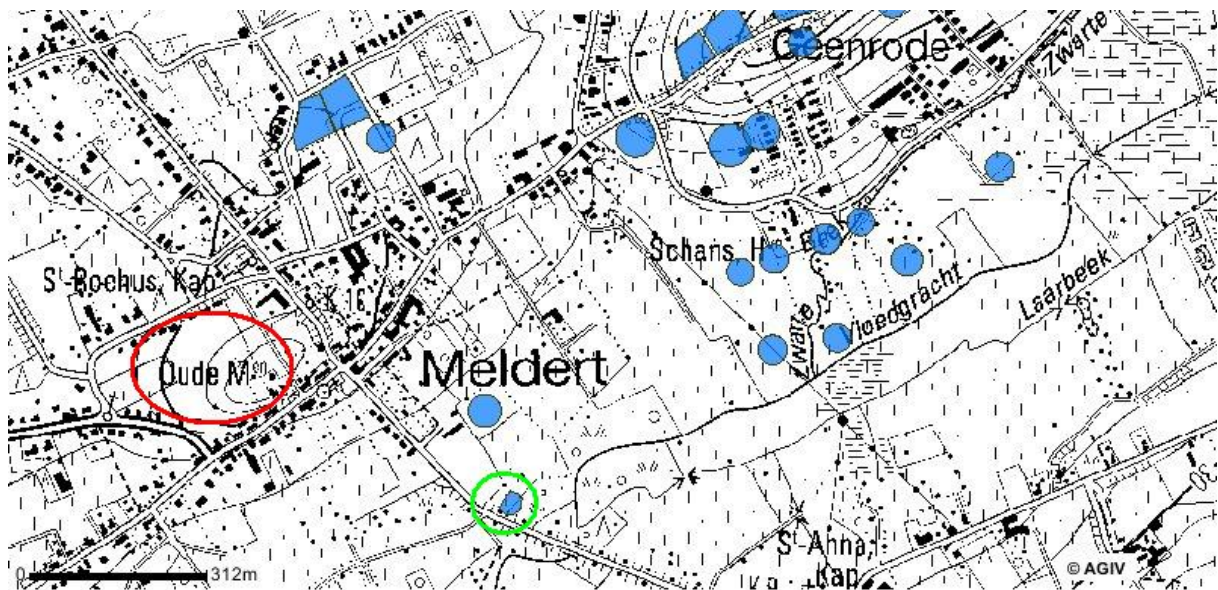


Fig. 1.3: Uittreksel uit de Centrale Archeologische Inventaris met enerzijds het projectgebied (rood) en anderzijds de site uit de protohistorie (groen).

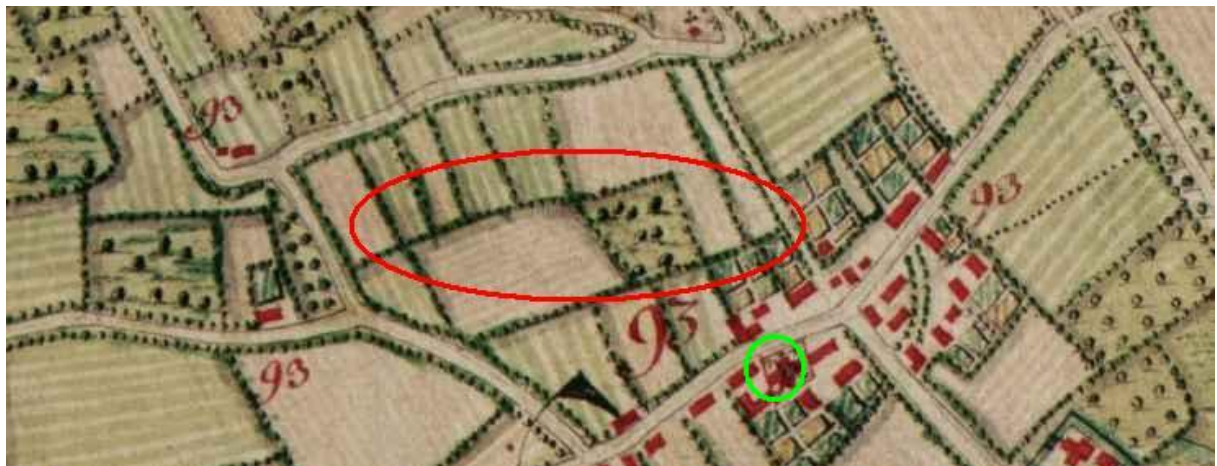


Fig. 1.4: Detail uit de Ferrariskaart met aanduiding van het projectgebied (rood) en de kerk van Meldert (groen).

² Creemers 1996: 40.

³ Smeets 2012.

Hoofdstuk 2 Werkmethode

Michiel Steenhoudt & Maarten Smeets

Omdat de oppervlakte te groot was om in één keer open te leggen, werd het terrein verdeeld in werkputten. In totaal zijn er elf werkputten machinaal aangelegd (fig. 2.1) die elk ongeveer 10 m breed waren. De werkputten werden in de lengterichting van het terrein aangelegd, evenwijdig met de helling en ook evenwijdig met de Nachtegaalstraat. Het vlak werd manueel met de schop opgeschaafd en gefotografeerd waarna alle sporen apart werden beschreven en gefotografeerd. Het vlak werd door de opdrachtgever topografisch ingemeten. Nadien werden alle sporen gecoupeerd, met het truweel opgekuist en met de hand ingetekend op schaal 1/20. Indien op het terrein structuren werden herkend, zijn deze als overzicht afzonderlijk gefotografeerd voor en na het couperen.

De opdrachtgevers stonden zelf in voor de inzet van de graafmachinge, waardoor deze een zo groot mogelijk rendement diende te halen. Dit resulteerde soms in te grote zones die tegelijkertijd open lagen. De droge weersomstandigheden tijdens het veldwerk hebben de zandbodem sterk uitgedroogd, waardoor er bij het schaven op sommige plaatsen tot meer dan 10 cm diep geschaafd diende te worden om een nog leesbaar vlak te bekomen. Uiteraard heeft dit een negatieve invloed gehad op de herkenbaarheid van de sporen.



Fig. 2.1: Machinaal aanleggen van het vlak.

Alle sporen met houtskool of humeuze vullingen werden bemonsterd. Omdat er enorm veel kleine paalsporen aanwezig waren en hieruit zeer weinig dateerbaar materiaal werd ingezameld, is er extra

aandacht geschonken aan het verzamelen van goede houtskoolstalen binnen deze contexten, maar slechts in enkele gevallen kon bruikbaar materiaal verzameld worden.

Uit twee duidelijk Romeinse contexten werden pollenstalen genomen om een reconstructie te kunnen maken van de paleo-landschap. Alle zeefstalen werden nat uitgezeefd op 4, 2, 0,5 en 0,25 mm.

Hoofdstuk 3 Beschrijving van de bodemprofielen

Maarten Smeets

Het projectgebied was gelegen op de noordelijke flank van een getuigenheuvel en binnen het projectgebied is er een niveauverschil van ongeveer 5 m⁴. Het hoger gelegen zuidelijke gedeelte van het terrein is op de bodemkaart gekarteerd als een droge lemige zandbodem met een weinig duidelijke ijzer en/of humus B horizont (Sbfc). Het vooronderzoek leerde dat deze kartering niet correct is, maar eerder een foutieve interpretatie van een dunne grijsbruine laag colluvium die zich vlak onder de top van de helling begon te manifesteren.

Helemaal bovenaan de helling bevond zich slechts een dunne laag teelaarde (minder dan 20 cm), onmiddellijk gevolgd door groen tot donkerbruin gelaagd grof zand van geologische oorspong (fig. 3.1). Net onder de top van de heuvel werd onder dit dunne pakket colluvium groenachtig zand waargenomen (fig. 3.2).

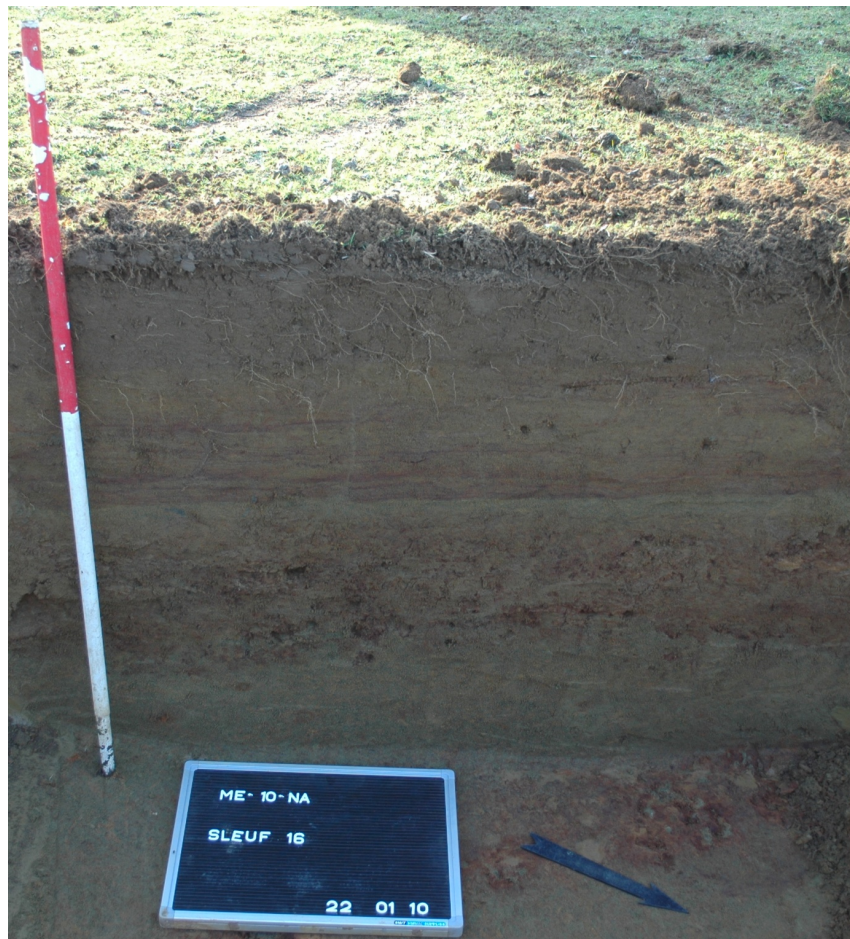


Fig. 3.1: Bodemprofiel in sleuf 16 met bovenaan de teelaarde en daaronder de groen tot donkerbruin gelaagde grove zandlagen van geologische oorspong.

⁴ De resultaten van het vooronderzoek zijn grotendeels overgenomen en waar nodig aangepast. Zie ook: Smeets 2010.

Het is duidelijk dat de oorspronkelijke top van de heuvel geërodeerd is, evenals de zone er vlak onder. De afzetting van colluvium begint al in beperkte mate onmiddellijk onder de top. Omwille van de erosie die heeft plaatsgehad, was deze zone archeologisch minder relevant.

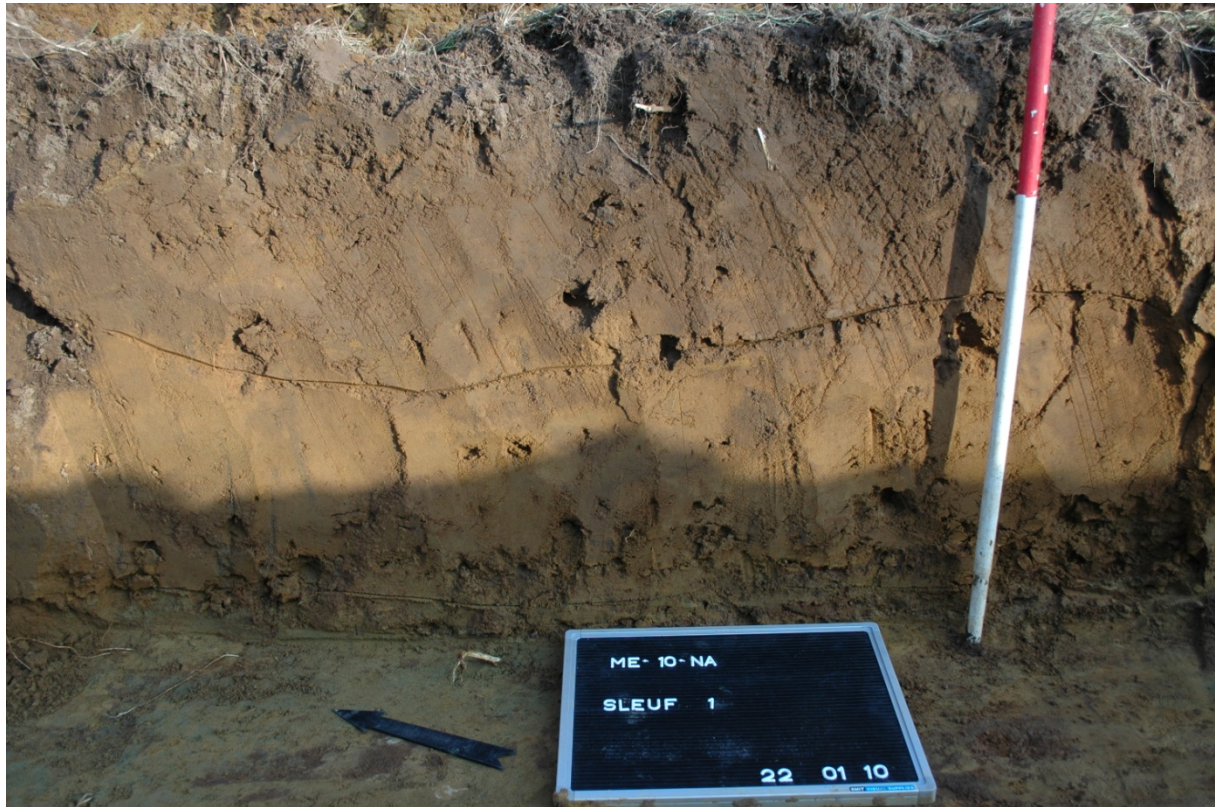


Fig. 3.2: Bodemprofiel in sleuf 1 met bovenaan de teelaarde, daaronder een grijsbruine laag colluvium en helemaal vanonder groengeel zand van geologische oorsprong.

De oorspronkelijke helling van de heuvel moet aan de noordzijde oorspronkelijk een meer uitgesproken profiel hebben gehad. Tijdens het vooronderzoek kon reeds worden vastgesteld dat vooral in de centrale zone van het onderzoeksgebied een dik pakket colluvium werd afgezet dat een depressie onder aan de helling nivelleerde. Op de bodemkaart zijn in deze zone plaggenbodems weergegeven.

Lager op de helling bevond zich onder de teelaarde telkens een laag colluvium die tot 60-70 cm dik was. De overgang tussen deze dikke laag colluvium en de natuurlijke bodem (een witte tot witgele zand) was door uitloging en (in mindere mate) bioturbatie gehomogeniseerd tot een circa 10 cm dikke geelbruine laag waarin geen sporen herkenbaar waren, maar waarin wel enkele ijzertijdscherven werden aangetroffen (fig. 3.3).

Ondanks de homogenisatie van de overgang met de natuurlijke bodem, zijn door het afdekkende pakket colluvium de onderliggende sporen goed bewaard gebleven en is deze zone archeologisch gezien interessant. Het archeologisch leesbare vlak bevindt zich tussen 90 en 120 cm onder het huidige loopniveau.



Fig. 3.3: Bodemprofiel in sleuf 20 met bovenaan de teelaarde en daaronder een dik pakket colluvium. De overgang tussen het colluvium en de natuurlijke bodem is gehomogeniseerd.

Het meest noordelijke deel van het projectgebied, onder aan de helling (gelegen achter de tuinen van de huizen van de Nachtegaalstraat) wordt op de bodemkaart eveneens ingekleurd als een zone met plaggenbodems. Ook hier kan voornamelijk gesteld worden dat het om een (veel) dunnere laag colluvium gaat.

Onder de teelaarde (20-30 cm dik) bevond zich een pakket colluvium van ongeveer 20-30 cm dik. De overgang tussen deze laag colluvium en de natuurlijke bodem (een witte tot witgele zand) was door

uitloging en (in mindere mate) bioturbatie gehomogeniseerd tot een circa 10 cm dikke geelbruine laag waarin geen sporen herkenbaar waren. De aanwezige sporen manifesteren zich pas onder deze gehomogeniseerde laag.

Ondanks de homogenisatie van de overgang met de natuurlijke bodem, zijn door het afdekkende pakket colluvium de onderliggende sporen goed bewaard gebleven en is deze zone archeologisch gezien interessant. Het archeologisch leesbare vlak bevindt zich tussen 50 en 70 cm onder het huidige loopniveau.

Hoofdstuk 4 Een prehistorische kringgreppel

Ron Bakx & Michiel Steenhoudt

In het westelijk deel van het plangebied is een restant van een kringgreppel vastgesteld (fig. 4.1), die geïnterpreteerd kan worden als een grafstructuur. Alleen het noordelijk deel van de kringgreppel (S944) is bewaard. De kringgreppel heeft een breedte van 75 cm en een maximale diepte van 20 cm (fig. 4.2). De externe diameter van de grafstructuur bedraagt ongeveer 14 m.

Gezien het gebrek aan begravingen en het ontbreken van vondstmateriaal in de vulling van de greppel is de grafstructuur niet te dateren. In een kuil (S1014) en een natuurlijke verstorning (S945) in de directe nabijheid van de greppel zijn twee fragmenten handgevormd aardewerk aangetroffen die niet nader gedateerd kunnen worden dan late bronstijd tot inheems Romeins.

Binnen de kringgreppel zijn sporen zichtbaar die waarschijnlijk ontstaan zijn doordat dassen in het heuvellichaam gangen hebben gegraven. Deze sporen komen regelmatig voor bij grafheuvels⁵.

Ten noorden van de kringgreppel zijn in S190 (natuurlijk) fragmenten verbrand dierlijk bot gevonden.

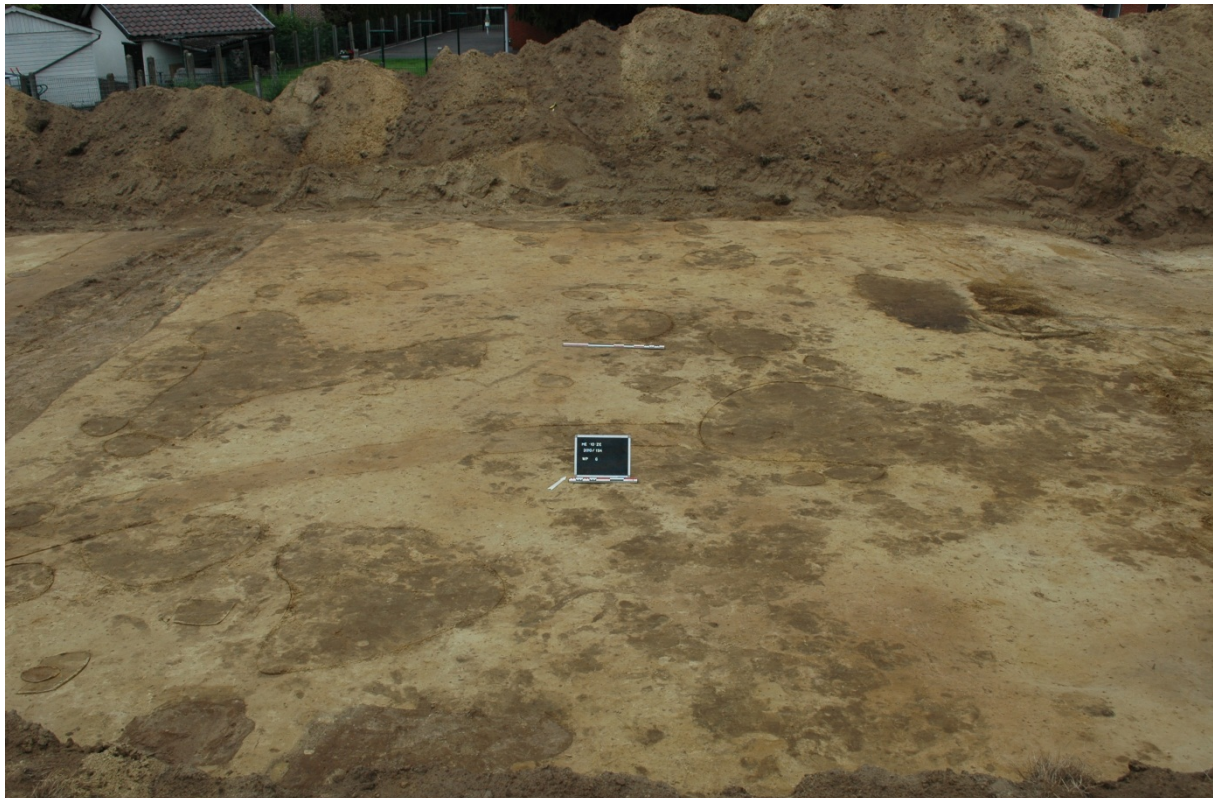


Fig. 4.1: De kringgreppel, gezien vanuit het zuiden.

⁵ Persoonlijke observatie bij de opgraving van Gent-Hogeweg. Heuvel 7 te Oss-Zevenbergen werd in 2004 door een dassenfamilie bewoond. De breedte van dassengangen is 25 tot 35 cm en op enkele plaatsen breder zodat de dassen elkaar kunnen passeren. Fokkens e.a. 2009: 119-120.



Fig. 4.2: Coupe door de kringgreppel (S944).

Kringgreppels rondom grafheuvels komen voor vanaf het laat-Neolithicum. In de vroege bronstijd nemen de diameters van de grafheuvels af⁶. In latere periodes komen echter ook grafheuvels voor die groter zijn dan exemplaren uit het laat-Neolithicum. Vanaf de late bronstijd verandert het grafritueel drastisch. Vanaf dan worden individuen apart begraven in kleinere grafmonumenten. Deze werden dicht bij elkaar aangelegd zodat de zogenaamde urnenvelden ontstonden. Kringgreppels rondom grafstructuren komen ook voor in de late ijzertijd en de vroeg-Romeinse periode. Deze grafmonumenten zijn ook klein van diameter en komen geclusterd voor.

Op basis van de diameter en het individuele voorkomen van de kringgreppel in Meldert, kan alleen gesteld worden dat deze zeer waarschijnlijk in de periode laat-Neolithicum tot late bronstijd gedateerd kan worden.

⁶ Theunissen 2009: 104-105.

Hoofdstuk 5 Sporen en structuren uit de midden- tot late ijzertijd

Ron Bakx & Michiel Steenhoudt

Tijdens de vlakdekkende opgraving zijn twee fragmentarische bewaarde plattegronden van hoofdgebouwen uit de ijzertijd blootgelegd. Daarnaast zijn er een aantal bijgebouwen en kuilen aangetroffen.

De plattegronden worden vergeleken met vergelijkbare plattegronden uit het Maas-Demer-Schelde gebied⁷. Het gebied bestaat, in tegenstelling tot de omliggende gebieden, grotendeels uit Pleistocene dekzanden. Meldert-Zelemsebaan ligt aan de zuidelijke rand van dit gebied en heeft ook een zandige bodem.

5.1 Hoofdgebouwen

5.1.1 Structuur H1

De plattegrond van structuur H1 is fragmentarisch bewaard (fig. 5.1). Hierdoor zijn alleen de hoofdkenmerken van het gebouw te beschrijven. Het gebouw heeft een noordoost-zuidwest oriëntatie en is tweeschepig. Bij een klein deel van de plattegrond is een patroon met verspringende wandstijlen te herkennen⁸. De sporen van de wandstijlen zijn langwerpig en lichtbruin tot lichtgrijs van kleur. De plattegrond is 8,7 m breed. Als S1833 deel uitmaakt van de oostelijke wand en de westelijke wand op dezelfde afstand van de ingang lag, dan kan de lengte van het hoofdgebouw geschat worden op 20 meter. In Best-Dijkstraten is een hoofdgebouw met een vergelijkbare grootte aangetroffen (structuur 041 met afmetingen van 19 x 9 m)⁹. Door de slechte conservering bestaat echter ook een mogelijkheid dat S1831 de oostelijke begrenzing vormt. Als dit het geval is dan kan de lengte van het gebouw geschat worden op 15 m.

Ter hoogte van de middenstijlen S1837 en S1836 lagen tegenover elkaar liggende ingangspartijen. De diepte van deze middenstijlen is respectievelijk 11 en 16 cm.

Uit slechts twee paalsporen (S462 en S 1837) is aardewerk afkomstig dat niet nader te dateren is dan late bronstijd tot inheems Romeins. De sporen bevatten geen houtskool.

De hoofdkenmerken van de plattegrond zijn te vergelijken met hoofdgebouwen van het type Oss 4A/Haps. Hoofdgebouwen van dit type met ondiepe en rechthoekige wandstijlen zijn onder andere aangetroffen te Bagven¹⁰, Beerse-Holleweg¹¹, Best-Dijkstraten¹², Haps-Kamps Veld¹³, Lieshout-

⁷ In het vervolg van de tekst afgekort als MDS-gebied.

⁸ Schinkel 1994: 13-14.

⁹ Ball & Moesker in prep.

¹⁰ Kranendonk & Aalbersberg 2006: 476-479.

¹¹ Van Liefferinge 2008: 16, 20-22. Delaruelle e.a. 2010: 132-134.

¹² Ball & Moesker in prep.

¹³ Verwers 1972: 70, 76-79 (Huis J, S, T, U en W).

Beekseweg¹⁴ en Sevenum-De Krouwel¹⁵. Van deze parallellen zijn twee gebouwen gedateerd met behulp van een absolute datering. Een aantal recent gevonden parallellen worden momenteel nog uitgewerkt. Huis W te Haps-Kamps Veld is door middel van ¹⁴C-datering van houtskool uit de vulling van een paalkuil gedateerd op 2460±30 BP (GrN-5643)¹⁶. Huis 2 te Beerse is door middel van een ¹⁴C-datering van houtskool uit de vulling van een paalkuil gedateerd op 2295±40 BP (KIA-38853)¹⁷.

Bij zowel de structuren van Beerse-Holleweg en Sevenum-De Krouwel zijn de ingangspartijen relatief diep gefundeerd. Bij Sevenum-De Krouwel zijn de middenstijlen ter hoogte van de ingangen duidelijk groter en dieper gefundeerd¹⁸.

Op basis van de typologie van het hoofdgebouw kan de structuur in de midden- tot late ijzertijd gedateerd worden.

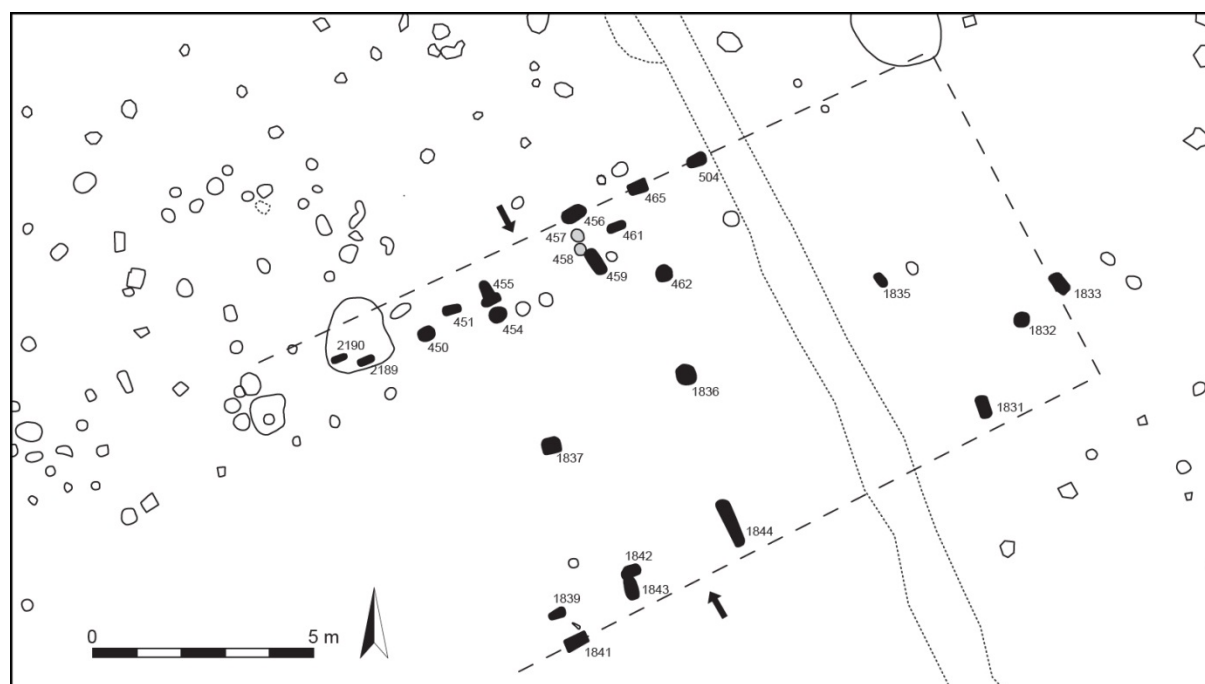


Fig. 5.1: Plattegrond van structuur H1.

In grijs de sporen die mogelijk tot de structuur behoren. De pijlen geven de ingangen weer.

5.1.2 Structuur H2

De plattegrond van structuur H2 is ook fragmentarisch bewaard (fig. 5.2). Hierdoor zijn alleen de hoofdkenmerken van het gebouw te beschrijven. Het gebouw is te vergelijken met structuur H1. De sporen hebben dezelfde vorm (rechthoekig) en kleur (lichtbruin tot lichtgrijs). Het gebouw heeft een noordoost-zuidwest oriëntatie en is tweeschepig. Net zoals bij structuur H1 zijn de middenstijlen (S1803 en S1774) en de ingangspartijen het best bewaard. Een opvallende gelijkenis tussen de twee

¹⁴ Hiddink 2005: 100, 101, 296, 297.

¹⁵ Dyselinck in prep.

¹⁶ Verwers 1972: 78. 756-414 v. Chr (95,5% waarschijnlijkheid).

¹⁷ 410-200 v. Chr. (95,4% waarschijnlijkheid). Delaruelle e.a. 2010: 135.

¹⁸ Delaruelle e.a. 2010: 132-134; Dyselinck in prep.

structuren is dat de meest westelijke bewaarde middenstaander op lijn staat met de ingangspartij. De andere middenstijl staat zowel bij structuur 1 als 2 iets oostelijker dan de lijn tussen de beide ingangspartijen. Dit is ook het geval bij de structuren van Beerse-Holleweg en Best-Dijkstraten. Slechts vier wandstijlen zijn bewaard (S1765, S1782, S1779 en S 1780). Mogelijk behoort S1888 ook nog tot de plattegrond. De plattegrond heeft een breedte van 8,2 m. De lengte van de plattegrond is niet te bepalen.

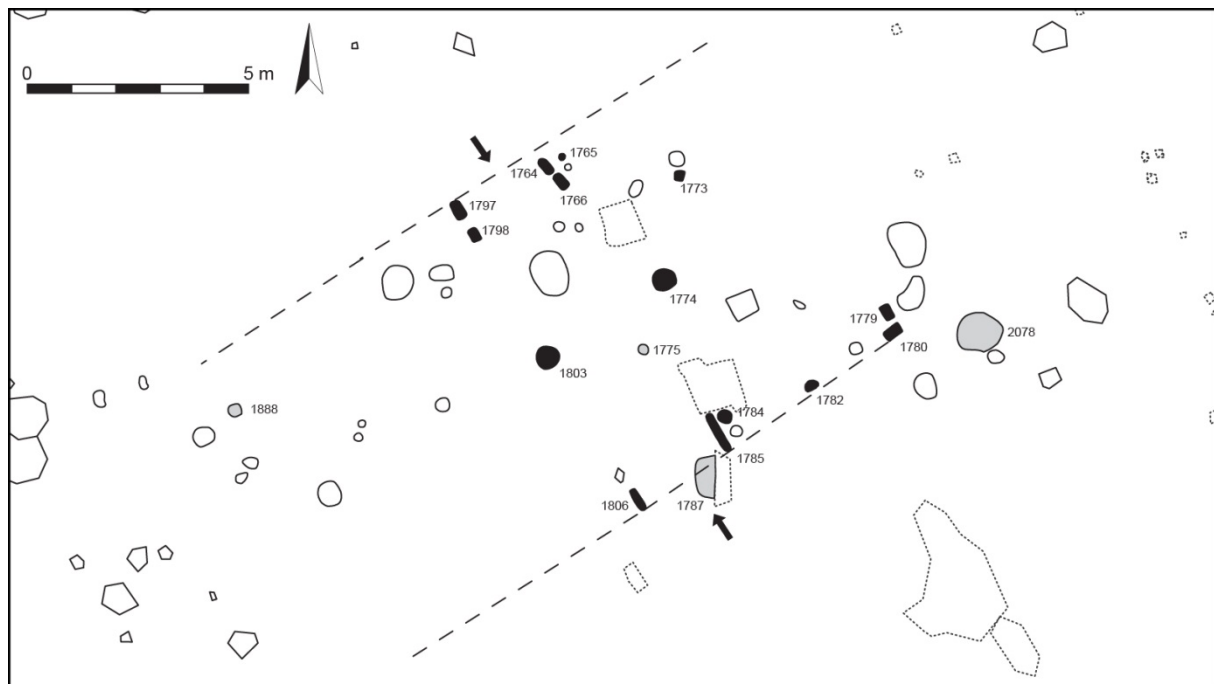


Fig. 5.2: Plattegrond van structuur H2.

In grijs de sporen die mogelijk tot de structuur behoren. In grijs ook twee kuilen die mogelijk geassocieerd kunnen worden met de structuur. De pijlen geven de ingangen weer.

In een paalspoor van de ingangspartij (S1806) is een scherp handgevormd aardewerk gevonden die te dateren is in de late ijzertijd tot de inheems Romeinse periode. In een middenstijl (S1774) zijn twee scherven handgevormd aardewerk gevonden, die niet nader te dateren zijn dan late bronstijd tot inheems Romeins. De sporen bevatten geen houtskool.

Een kuil die mogelijk verband houdt met de structuur is in de buurt van de zuidelijke ingangspartij aangetroffen. In deze kuil (S1787) is aardewerk aangetroffen dat te dateren is in de late ijzertijd (zie hoofdstuk 7.1). Mogelijk gaat het hier om een verlatingsritueel¹⁹.

Een andere kuil in de buurt van de structuur (S2078) bevat één scherp handgevormd aardewerk, die niet nader te dateren is dan late bronstijd tot inheems Romeins.

Op basis van de typologie van het hoofdgebouw kan de structuur in de midden- tot late ijzertijd gedateerd worden. Het aardewerk uit S1806 en de kuil bij de ingangspartij dateert de structuur in de late ijzertijd.

¹⁹ Gerritsen 2003: 96-102.

5.2 Bijgebouwen

Er zijn tijdens het onderzoek negen mogelijke prehistorische bijgebouwen, waaronder zeven (mogelijke) spiekers, aangetroffen. Een spieker was een klein gebouw dat diende voor de oogstopslag. Waarschijnlijk werden er (graan)schoven in opgeslagen²⁰. Grote en diepe paalkuilen zijn kenmerkend voor spiekers. De functie van andere bijgebouwen is moeilijker te bepalen. De grote bijgebouwen worden in de literatuur wel met het neutrale 'schuur' aangeduid. Waarschijnlijk stonden er op de prehistorische nederzettingen ook andere kleine bijgebouwen met een andere (agrarische) functie dan graanopslag, zoals hokken, verhogingen voor bijenkorven, die eenzelfde patroon van paalsporen kunnen hebben achtergelaten als spiekers.

Alle in dit hoofdstuk besproken bijgebouwen zijn toegewezen aan de midden tot late ijzertijd. Deze toewijzing berust met name op het feit dat in het oostelijk deel van het opgegraven areaal, waar ook alle bijgebouwen, met uitzondering van structuur B1, zich situeren, zich twee hoofdgebouwen uit deze periode bevinden. Slechts één spieker (structuur B4) kon op basis van aardewerk ook daadwerkelijk aan deze periode toegeschreven worden. Deze structuur bevindt zich op een afstand van 45 meter van de hoofdgebouwen. Structuur B1 bevindt zich op een vergelijkbare afstand van de hoofdgebouwen en kan daarom ook met deze nederzetting in verband worden gebracht. Het is niet uit te sluiten dat een aantal bijgebouwen in werkelijkheid ouder zijn.

5.2.1 Structuur B1

In het westelijk deel van het plangebied bevindt zich een mogelijk bijgebouw met een noordoost-zuidwest oriëntatie (fig. 5.4). Het is niet uitgesloten dat de structuur oorspronkelijk groter (of een hoofdgebouw) was, omdat ten oosten van de structuur (post-)middeleeuwse greppels (S180 en S638) aanwezig zijn en ten oosten hiervan het vlak ook iets dieper is aangelegd door de aanwezigheid van recente verstoringen. De plattegrond heeft een lengte van 5,9 m en een breedte van 4,4 m. Er is één middenstijl teruggevonden, die een doorsnede heeft van 26 cm en een diepte van 20 cm. De paalsporen zijn 8 tot 22 cm diep en variëren van diameter.

In de sporen van structuur 4 zijn geen vondsten en houtskoolfragmenten aangetroffen.

5.2.2 Structuur B2

In het oostelijk deel van het plangebied bevindt zich een mogelijk bijgebouw met een noordoost-zuidwest oriëntatie (fig. 5.4). De hypothetische plattegrond bestaat uit twee rijen paalsporen van beide vier paalsporen. In de buurt van de zuidelijke rij paalsporen zijn nog twee paalsporen aanwezig, die mogelijk ook tot de structuur behoren. Een aantal paalsporen hebben een aanzienlijke diepte. Acht van de twaalf sporen zijn tussen de 16 en 30 cm diep. In het midden van de twee rijen paalsporen bevindt zich spoor 873 met een diepte van 24 cm. Mogelijk stond hier een middenstijl.

In de sporen van structuur B2 zijn geen vondsten aangetroffen. De sporen bevatten geen houtskool.

²⁰ Bakx 2011: 79, 81.

5.2.3 Structuur B3

Ten noordoosten van structuur H1 bevindt zich een 4-palige spieker van het type Oss IA (fig. 5.4)²¹. De spieker heeft dezelfde oriëntatie als structuur H1. De afmetingen bedragen 2,6 x 2,2 m. De diameter van de paalsporen varieert van 26 tot 36 cm en de diepte van 13 tot 15 cm. In de sporen van structuur B3 (S1850 t/m S1852) zijn geen vondsten aangetroffen. De sporen bevatten geen houtskool.

5.2.4 Structuur B4

In het zuiden van het plangebied bevindt zich een mogelijke 4-palige spieker van het type Oss IA (fig. 5.4). De afmetingen van de noordoost-zuidwest georiënteerde spieker bedragen 2,6 x 2,4 m. De diameter van de paalsporen varieert van 29 tot 32 cm. De twee zuidelijke paalkuilen (S1388 en S1393) hebben een diepte van respectievelijk 19 en 30 cm. De twee noordelijke paalkuilen (S1381 en S1394) hebben een diepte van ongeveer 12 cm. Door dit grote diepteverschil kan getwijfeld worden aan de interpretatie als spieker.

In twee van de paalkuilen (S1381 en S1388) is aardewerk aangetroffen dat gedateerd kan worden in de late ijzertijd.

5.2.5 Structuur B5

In het zuiden van het plangebied bevindt zich een vierpalige spieker van het type Oss IA (fig. 5.4). De afmetingen van de noordoost-zuidwest georiënteerde spieker bedragen 2,6 x 2,6 m. De diameter van de paalsporen varieert van 29 tot 31 cm en de diepte van 20 tot 27 cm.

In twee van de paalkuilen (S1415 en S1423) is handgevormd aardewerk gevonden, dat niet nader te dateren is dan late bronstijd tot inheems Romeins.

5.2.6 Structuur B6

Ten zuiden van structuur B2 bevindt zich een zespalige spieker van het type Oss IC (fig. 5.3 en fig. 5.4). Deze spieker is noordwest-zuidoost georiënteerd. De afmetingen zijn 3,1 x 2,8 m. De diameter van de paalkuilen varieert van 27 tot 40 cm en de diepte van 18 tot 25 tot cm. Eén paalkuil ontbreekt, door een paalspoor van structuur B7.

In de sporen van structuur B6 zijn geen vondsten aangetroffen. De sporen bevatten ook geen houtskool.

5.2.7 Structuur B7

Structuur B7 is waarschijnlijk de opvolger van structuur B6 (fig. 5.3 en fig. 5.4). De structuur is een zespalige spieker van het type Oss IB. De afmetingen zijn 4,0 x 3,4 m. De oriëntatie is in vergelijking

²¹ Voor de typologie, zie Schinkel 1998: 255.

met structuur B6 iets minder noordwest-zuidoost georiënteerd. Een ander verschil met structuur B6 is dat de twee paalrijen met drie paalkuilen in vergelijking met structuur B6 een kwartslag gedraaid zijn. De diameter van de paalkuilen varieert van 34 tot 47 cm en de diepte van 23 tot 30 cm. In de sporen van structuur B7 zijn geen vondsten aangetroffen. Binnen de oppervlakte van structuur B6 en B7 ligt een kuil waarin handgevormd aardewerk uit de late ijzertijd is aangetroffen. De kuil ligt centraler ten opzichte van structuur B7.

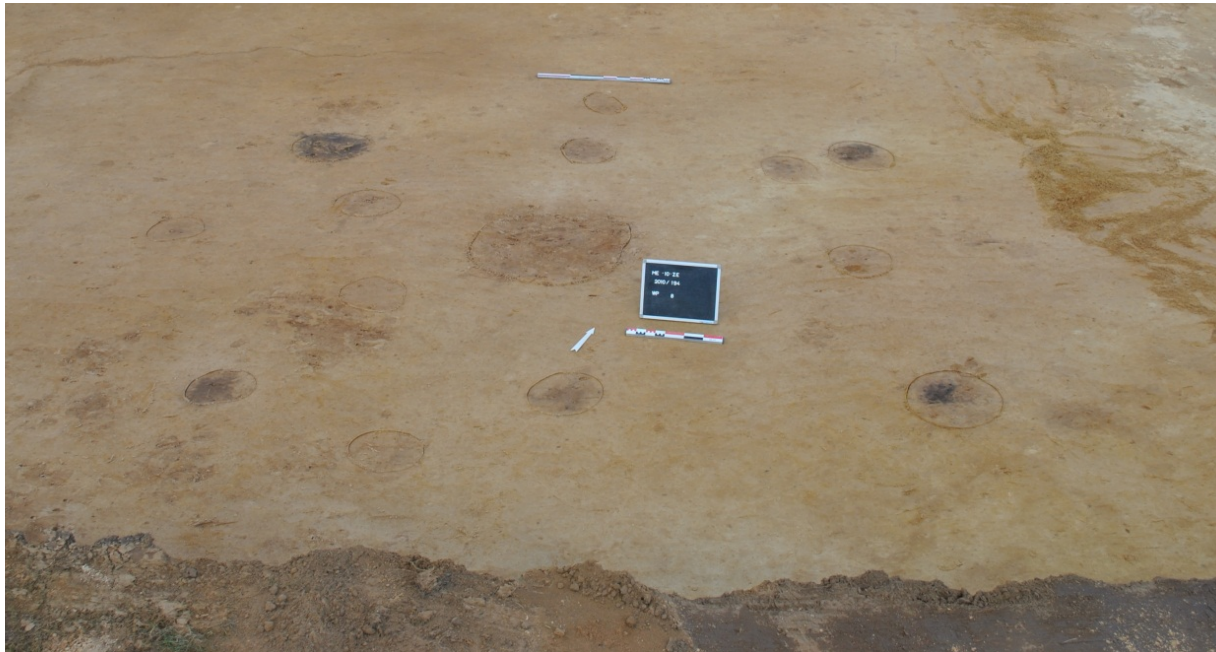


Fig. 5.3: De plattegronden van structuur B6 en B7. Op de foto is duidelijk te zien dat de paalsporen van structuur H7 veel houtskool bevatten.

5.2.8 Structuur B8

In het oostelijk deel van het plangebied bevindt zich een vierpalige spieker van het type Oss IA (fig. 5.4). De afmetingen van de noordoost-zuidwest georiënteerde spieker bedragen 2,7 x 2,7 m. De diameter van de paalsporen varieert van 32 tot 38 cm en de diepte van 22 tot 25 cm. In de sporen van structuur B8 zijn geen vondsten aangetroffen.

5.2.9 Structuur B9

Ongeveer 13 m ten zuiden van structuur H1 kan uit zes paalsporen een mogelijk bijgebouw gereconstrueerd worden (fig. 5.4). De afmetingen bedragen 2,2 x 1,6 m. Gezien de ondiepe paalsporen (2 tot 14 cm) gaat het hier niet om een spieker. In S700 is één scherp handgevormd aardewerk aangetroffen, die niet nader gedateerd kan worden dan late bronstijd tot inheems Romeins.

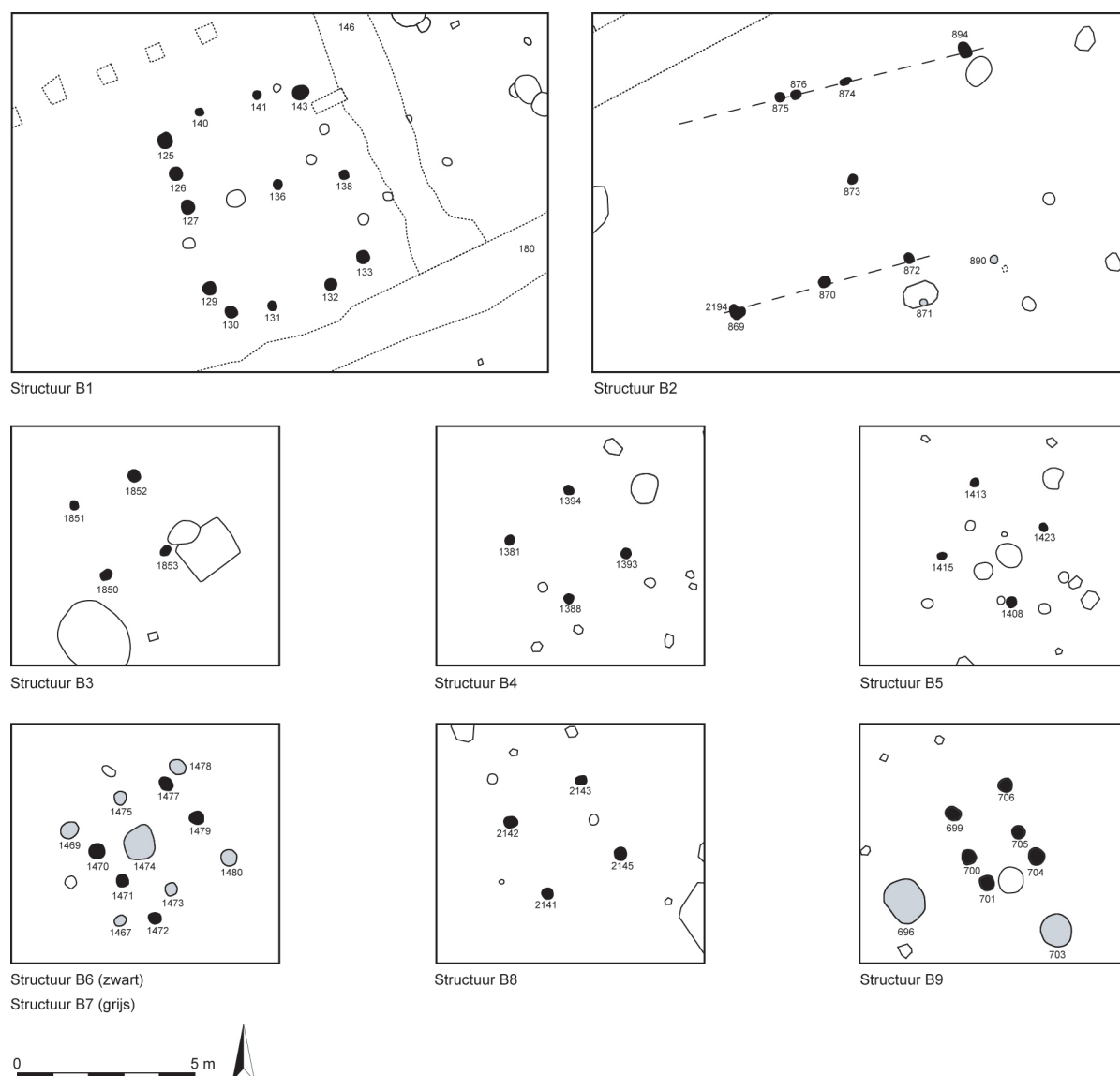


Fig. 5.4: De plattegronden van de (mogelijke) bijgebouwen.
In grijs de kuilen die mogelijk met de structuren geassocieerd kunnen worden.

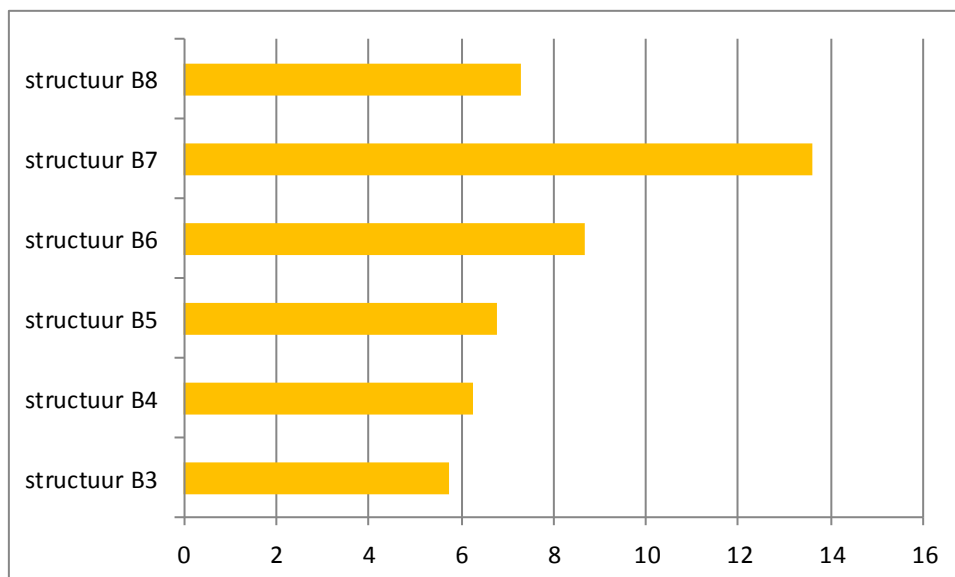
5.2.10 Algemene conclusie

In tabel 5.1 zijn de oppervlaktes van de spiekers weergegeven. De oppervlaktes van de spiekers zijn goed te vergelijken met spiekers van andere ijzertijd nederzettingen. De ijzertijd spiekers te Oss-Ussen hebben een gemiddeld oppervlak tussen de 3,5 en 6,5 m². Grotere spiekers, zoals structuren B6 en B7, komen in de ijzertijd echter ook voor²². De spiekers uit de Romeinse periode hebben oppervlaktes, die vaak tien maal zo groot zijn²³. De oppervlaktes zijn een extra argument om de

²² Zoals bijvoorbeeld spiekers 157, 287, 345, 451 te Oss-Ussen. Schinkel 1998: 263-266.

²³ Schinkel 1998: 255.

spiekers toe te schrijven aan de prehistorische nederzetting en niet aan de laat-Romeinse nederzetting.



Tabel 5.1: De oppervlaktes (in m²) van de spiekers te Meldert-Zelemsebaan.

5.3 Sporencluster

Bij de structuren H1 en H2 ligt een sporencluster. Het gaat om de sporen S1815, S1816, S1817, S1819, S1821, S1823, S1824, S1827, S1829, S1876, S1877, S1898, S1899, S1901, S1902, S1903, S1904, S1905, S1906, S1907 en S1974. Er zijn geen spiekers en andere bijgebouwen te reconstrueren uit de cluster. De diepte van de paalsporen varieert van 5 tot 24 cm. Mogelijk hebben de paalsporen deel uitgemaakt van één of meerdere afscheidingen.

In S1816 is één scherp handgevormd aardewerk aangetroffen, die niet nader gedateerd kan worden dan late bronstijd tot inheems Romeins. Door de ligging bij structuren H1 en H2 is het aannemelijk dat de paalsporen in de midden tot late ijzertijd te dateren zijn.

5.4 Kuilen

De aard van kuilen is vaak lastig te bepalen. In Meldert zijn vele kuilen aangetroffen. In tabel 5.2 wordt een overzicht gegeven van de kuilen die op basis van het vondstmateriaal in de protohistorie gedateerd kunnen worden. Alleen kuil 1787 bevat een grote hoeveelheid vondstmateriaal. Met uitzondering van S116 zijn al deze kuilen in het oostelijk deel van de opgraving gesitueerd. Waarschijnlijk zijn een aantal van de kuilen ouder dan de midden tot late ijzertijd. Zo bevat kuil 333 twee scherven die gedateerd kunnen worden in de midden-bronstijd en kuil 1339 een scherp die in de late bronstijd gedateerd kan worden.

Kuil 1787 heeft vier vullingen, waarvan de onderste twee houtskool bevatten (fig. 5.5). De kuil is mogelijk gegraven en weer gevuld tijdens een verlatingsritueel. In het MDS-gebied komen bij hoofdgebouwen soms grote kuilen voor met grote hoeveelheden 'afval', die geïnterpreteerd kunnen worden als overblijfselen van een verlatingsritueel. Hoewel in kuil 1787 veel scherven zijn gevonden is de hoeveelheid materiaal klein in vergelijking met andere 'rituele' kuilen in het MDS-gebied. Toch

kan de lokatie van de kuil bij de ingang er op wijzen dat het om een overblijfsel van een verlatingsritueel gaat. Zo lagen bij huis 1 van Sint Oedenrode en huis 2 te Riethoven de 'rituele' kuilen in de ingangzone's²⁴.

spoor	vorm	l x b (m)	Diepte (m)	Deel	vondsten	opmerkingen
116	ovaal	1,7 x 0,9	0,29	?	ceramiek	-
333	ovaal	1,7 x	0,76	?	ceramiek	Bevat veel houtskool.
696	ovaal	1,2 x 1,1	0,21	B9	ceramiek	-
1339	ovaal	1,1 x 0,9	0,40	?	ceramiek	-
1474	ovaal	1,0 x 0,9	0,46	B6, B7	ceramiek	-
1787	ovaal	... x 0,9	0,36	H2	ceramiek	Gecoupeerd vooronderzoek.
1928	rond	1,1 x 1,1	0,20	?	ceramiek	-
1938	ovaal	0,7 x 0,5	0,14	?	ceramiek	-
2078	ovaal	1,1 x 0,9	0,26	H2	ceramiek	-

Tabel 5.2 Overzicht van kuilen met handgevormd aardewerk uit de protohistorie.

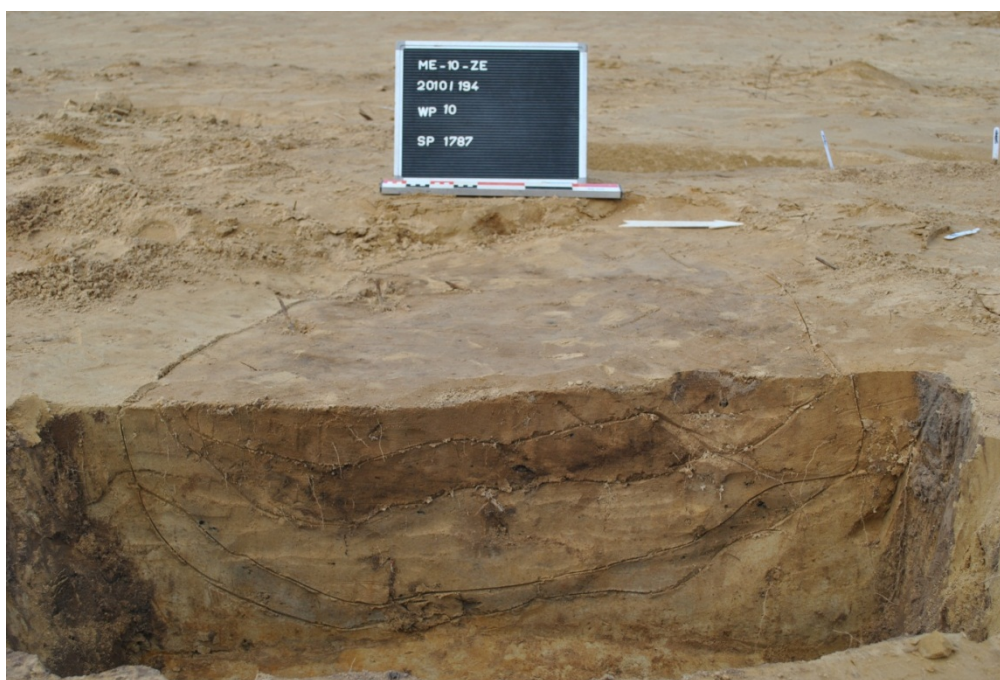


Fig. 5.5: Coupe door S1787.

²⁴ Gerritsen 2003: 96-102.

Hoofdstuk 6 Een nederzetting uit de laat-Romeinse periode

Ron Bakx & Michiel Steenhoudt

In vergelijking met vindplaatsen uit de midden-Romeinse tijd is in het Maas-Demer-Schelde (MDS) gebied slechts een gering aantal vindplaatsen uit de laat-Romeinse periode bekend²⁵. Voor de zandgronden in het MDS-gebied lijkt het of er lange tijd minimale of zelfs helemaal geen bewoning was na de teruggang tussen 225 en 250 n.Chr²⁶.

Het aantonen van nederzettingen uit de laat-Romeinse periode is lastig om twee redenen. Ten eerste zijn vondsten over het algemeen schaars op een laat-Romeinse nederzetting. Bovendien is het handgevormde aardewerk uit deze periode moeilijk te onderscheiden van aardewerk uit de ijzertijd. Ten tweede maakt de geringe diepte van de paalsporen van laat-Romeinse plattegronden het lastig om een nederzetting aan te tonen. Voor nederzettingen uit de vroeg-middeleeuwse periode gelden dezelfde redenen.

Tijdens de vlakdekkende opgraving zijn een aantal plattegronden van hoofdgebouwen uit de laat-Romeinse periode blootgelegd. Daarnaast zijn er een aantal bijgebouwen, een waterput en (water)kuilen aangetroffen. Alle plattegronden van de hoofdgebouwen zijn fragmentarisch bewaard, hoofdzakelijk door de hierboven genoemde reden van de geringe diepte van paalsporen. Een aantal hoofdgebouwen zijn hierdoor erg hypothetisch. De plattegronden worden vergeleken met vergelijkbare plattegronden uit het MDS-gebied en wegens de Germaanse invloeden in dit gebied in de laat-Romeinse periode ook met plattegronden buiten dit gebied.

6.1 Hoofdgebouwen

6.1.1 Structuur H3

Structuur H3 ligt in werkputten 3 en 7. Het noordoost-zuidwest georiënteerde gebouw heeft een lengte van minimaal 13,6 m en een breedte van 7,7 m (fig. 6.1).

De vier middenstijlen (S623, S626, S629 en S630) in het oostelijk deel zijn rechthoekig van vorm en hebben een diepte van 8 tot 14 cm. De twee middenstijlen (S608 en S609) in het westelijk deel zijn ook rechthoekig van vorm en hebben een diepte van 7 cm. Deze middenstijlen worden geflankeerd door dubbele wandstijlen in de noordelijke wand (S610 en 612). Deze wandstijlen zijn driehoekig van vorm. De meest naar binnen geplaatste stijl (S612) is dieper gefundeerd (24 cm) dan de naar buiten geplaatste stijl (12 cm). In de zuidelijke wand zijn de dubbele wandstijlen niet aangetroffen. Wel is er hier ook een naar binnen geplaatste stijl (S1182) aanwezig met een diepte van 18 cm. Mogelijk was ter hoogte van de dubbele wandstijlen een binnenwand aanwezig die het gebouw opsplijste in een drieschepig gedeelte in het oosten en een eenschepig gedeelte in het westen.

De ingangen zijn te reconstrueren tussen de grote, rechthoekige paalsporen die aanwezig zijn in beide lange zijde en in de westelijke korte zijde. In de oostelijke korte zijde zijn er geen grote

²⁵ Nationale Onderzoeksagenda Archeologie (NOaO: hoofdstuk 18): De Romeinse tijd in het Midden-Nederlandse rivierengebied en het Zuid-Nederlandse dekzand- en lössgebied. Paragraaf 1.6 – Nederzettingen in de Laat-Romeinse tijd.

Onderzoeksbalans Onroerend Erfgoed Vlaanderen: hoofdstuk 5: Romeinse tijd. Paragraaf 2 – Evaluatie van het gekende erfgoed.

²⁶ Heeren 2005.

paalsporen aangetroffen, mogelijk heeft dit te maken met een recente verstoring (S633). De grote paalsporen in de noordelijke en westelijke wand hebben een diepte van 28 tot 37 cm. In de zuidelijke wand zijn de zware paalsporen 21 en 13 cm diep. Dit komt omdat het vlak van wp 3 10 tot 20 cm hoger ligt dan dat van wp 7²⁷. Dit is waarschijnlijk ook de reden voor het ontbreken van dubbele wandstijlen in de zuidelijke wand. De ruimtes tussen de twee paalsporen van de ingangen hebben een breedte van 61 tot 68 cm. Een mogelijk andere ingang is gesitueerd in de zuidelijke lange wand van de plattegrond. Hier zijn twee vierkante paalsporen (S1191 en S1192) met een diepte van respectievelijk 30 en 20 cm aanwezig. De ruimte tussen de palen is 68 cm breed. De palen van de ingang staan ten opzichte van de wandlijn iets naar binnen.

Naast de dubbele wandstijlen en de paalsporen van de ingangen zijn er maar weinig wandstijlen teruggevonden. In de noordelijke wand liggen vijf paalsporen op één lijn (S602, S603, S605, S611 en S622). Deze zijn rechthoekig van vorm en hebben een diepte van 8 tot 16 cm. Van de westelijke wand zijn maar vier andere sporen van wandstijlen bewaard (S601, S1174 en S1175 en S2193). Van de zuidelijke en oostelijke wand zijn zelfs nog minder paalsporen bewaard gebleven.

Bij het eenschepig gedeelte is er één wandstijl aanwezig (S604) die ten opzichte van de wandlijn naar buiten geplaatst staat. Deze paal is diep gefundeerd (42 cm). In het zuiden is er ook een dergelijke wandstijl aanwezig (S1181) met een diepte van 9 cm.

Bij de structuur zijn een aantal paalsporen aangetroffen, waarvan het niet zeker is of ze tot de structuur behoren. Deze sporen zijn erg ondiep (S607, S621, S625, S1177, S1178, S1179, S2183 en S2184).

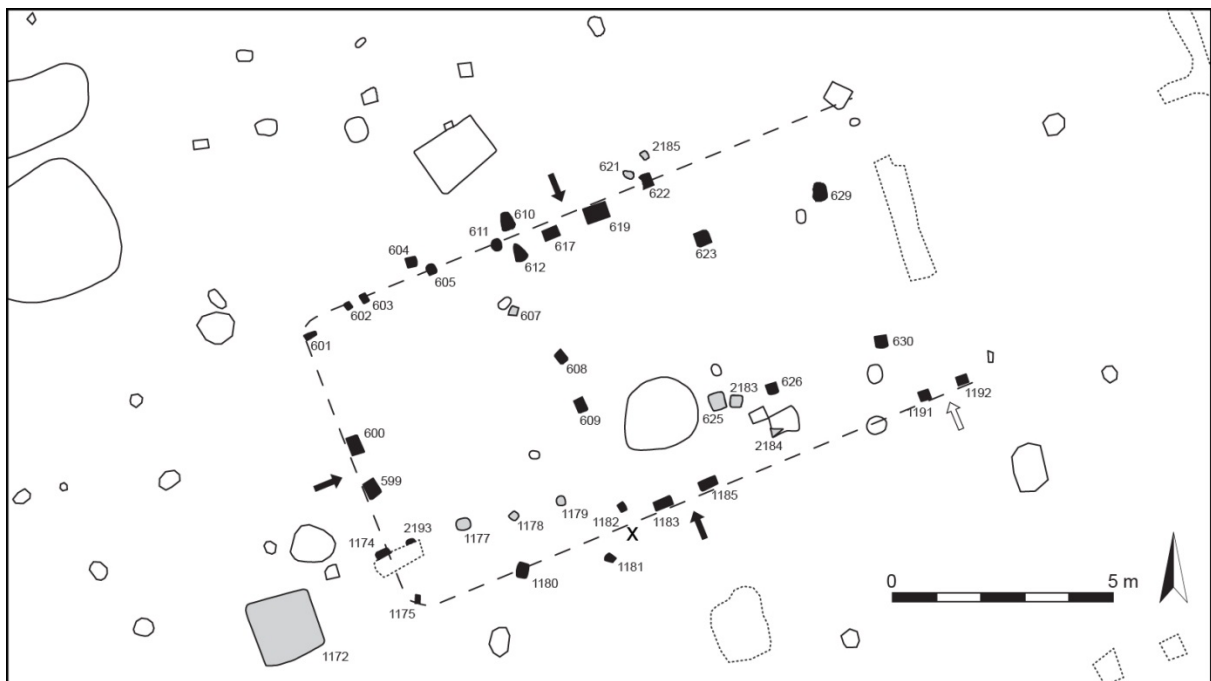


Fig 6.1: Plattegrond van structuur H3. In grijs de sporen die mogelijk tot de structuur behoren. In grijs is ook een kelderkuil (S1172) weergegeven die mogelijk geassocieerd kan worden met de structuur. De zwarte pijlen geven de ingangen weer en de witte pijl een mogelijke ingang. Het kruis geeft de locatie aan waar waarschijnlijk een wandstijl stond

²⁷ Het vlak van werkput 7 is dieper aangelegd, omdat hier recente verstoringen aanwezig waren. Deze verstoringen zijn ontstaan bij het afbreken van een schuurtje bij aanvang van het onderzoek.

In de paalsporen van structuur H3 is zeer weinig aardewerk aangetroffen. Alleen in S1174 is een wandscherf aangetroffen, die in de 4^{de} of 5^{de} eeuw gedateerd kan worden. In S619 is een fragment glas aangetroffen, dat op basis van de kleur en de technische kenmerken het best in de de laat-Romeinse periode wordt geplaatst. De sporen bevatten geen houtskool.

Typologisch gezien is structuur H3 moeilijk te plaatsen. Dubbele wandstijlen zijn kenmerkend voor gebouwen van het type Peelo A-Wijster B²⁸. Deze gebouwen worden aangetroffen in Overrijnse gebieden, zoals Drenthe en Overijssel.

Van de aangetroffen laat-Romeinse plattegronden in het MDS-gebied is de structuur het meest vergelijkbaar met structuur 6 van Goirle-Huzarenwei, welke gedateerd is de laat-Romeinse periode op basis van het aardewerk (fig. 6.2)²⁹. De kernconstructies van beide plattegronden vertoont grote gelijkenissen. Zo heeft deze plattegrond ook dubbele wandstijlen ter hoogte van de dubbele middenstijlen, die de plattegrond opdelen in een eenschepig en drieschepig gedeelte. Tevens bevinden de ingangen zich op dezelfde posities binnen het gebouw.

Deels eenschepige en deels drieschepige plattegronden komen ook voor te Alphen-Kerkakkers (gebouw 3, 4 en 7)³⁰.

Iets naar binnenstaande palen bij de ingang is ook een kenmerk dat voorkomt bij Alphen-Kerkakkers (gebouw 7 en 8)³¹, Goirle-Huzarenwei (fig. 6.2), Helden-Schrames (structuur H4, H8 en H97)³². De breedte van de ingangen komt overeen met andere plattegronden uit de laat-Romeinse periode.

Op basis van de vergelijking met structuur 6 van Goirle-Huzarenwei kan de structuur in de laat-Romeinse periode gedateerd worden. De aanwezigheid van de vroeg vijfde eeuwse waterput en de kuilen met daarin laat-Romeins vondstmateriaal in de nabijheid van de structuur wijzen indirect ook op deze datering. De kuilen zijn niet aanwezig binnen de structuur. Een kelderkuil kan door zijn ligging geassocieerd worden met de structuur. In deze kelderkuil zijn acht scherven aangetroffen die in de 4^{de} eeuw gedateerd worden.

6.1.2 Structuur H4

Ten westen van structuur H3 ligt structuur H4. De structuur is ook noordoost-zuidwest georiënteerd en heeft een lengte van 15,9 m en een breedte van 6 m. De structuur is zeer fragmentarisch bewaard (fig. 6.3).

In de noordoostelijke hoek is een restant van een standgreppel aanwezig (S560). In deze standgreppel is een paalkuil aanwezig ter hoogte van een uitstulping. De standgreppel heeft een diepte van 10 tot 12 cm en de paalkuil een diepte van 20 cm. In het verlengde van de standgreppel liggen S572, S545 en S940. Deze sporen hebben een diepte van respectievelijk 1, 20 en 9 cm. In de zuidoostelijke hoek is mogelijk ook een restant van een standgreppel aanwezig.

²⁸ Huijts 1992: 114-128.

²⁹ Bink 2005: 37, 38, 84.

³⁰ De Koning 2005: 18, 19, 23-24.

³¹ De Koning 2005: 23-25.

³² De Winter 2010: 383, 387, 413.



Fig. 6.2: De plattegronden van de laat-Romeinse hoofdgebouwen te Goirle-Huzarenwei, schaal 1/200³³.

³³ Bink 2005: 37, fig. 19.

Een ingangspartij kan gereconstrueerd worden tussen S533 en S544. Deze paalsporen zijn rechthoekig van vorm en hebben een diepte van 26 cm. Ten opzicht van de wand staan ze iets naar binnen. De breedte tussen de twee paalsporen is 82 cm. In de tegenoverliggende wand kan ook een ingang gereconstrueerd worden tussen S527 en S539. De breedte tussen deze sporen is 1 m.

In het oostelijk deel zijn alleen de middenstijlen S557, S564 en S566 aangetroffen. Van deze middenstijlen is S557 met een diepte van 12 cm het best bewaard. Mogelijk was het gebouw net zoals structuur H3 in het oostelijk deel drieschepig. In het westelijk deel is alleen S543 een mogelijke middenstijl. Met een diepte van 23 cm is deze mogelijke middenstijl relatief diep. Mogelijk was het gebouw hier ook drieschepig.

Van de westelijke en oostelijke wand zijn slechts enkele paalsporen bewaard gebleven. Paalsporen die buiten de wand worden aangetroffen, maar die mogelijk wel verband houden met de structuur zijn S565, S941 en S2187. Andere sporen die mogelijk tot de structuur behoren zijn: S541, S547, S562, S563, S569, S570, S571, S572, S2188.

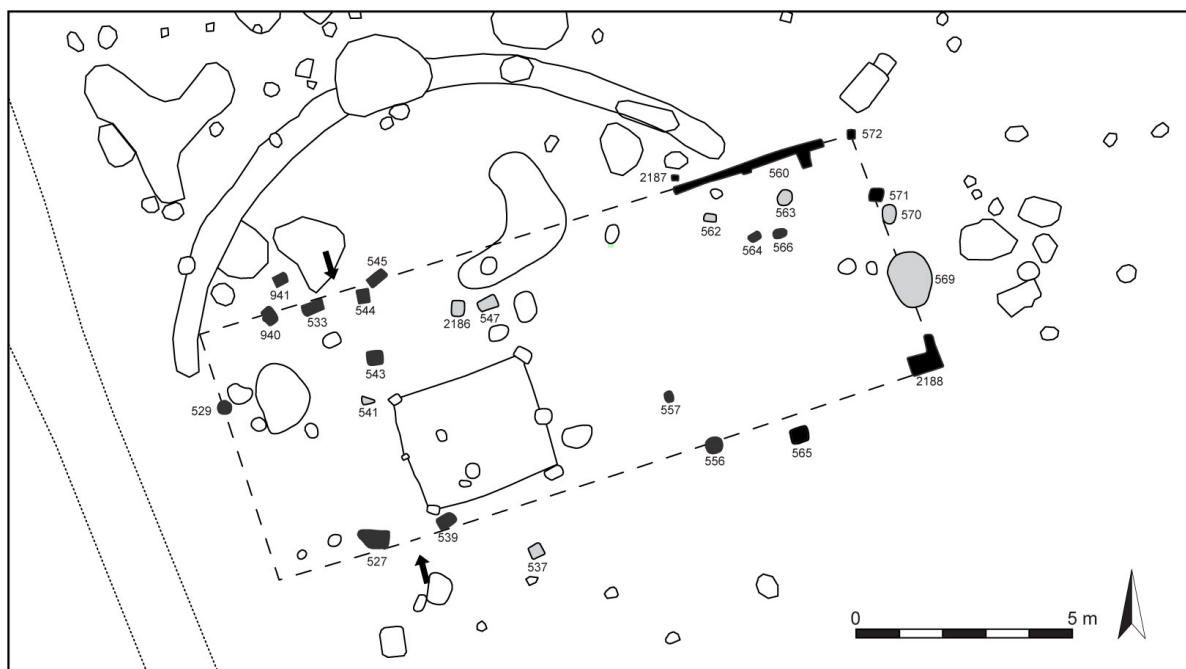


Fig. 6.3: Plattegrond van structuur H4.

In grijs de sporen die mogelijk tot de structuur behoren.

In de paalsporen van structuur H4 is zeer weinig aardewerk aangetroffen. Alleen in S556 bevat een scherp handgevormd aardewerk dat enkel breed gedateerd kan worden. De sporen bevatten geen houtskool.

Van de bekende laat-Romeinse plattegronden in het MDS-gebied heeft alleen structuur H10 uit Helden-Schrames een standgreppel. Hier was de wandgreppel 10 cm diep en de paalsporen in de greppel 7 tot 22 cm diep³⁴.

³⁴ De Winter 2010: 390.

Op basis van het aardewerk kan de structuur niet nauwkeurig gedateerd worden. De aanwezigheid van de vroeg vijfde eeuwse waterput en de kuilen met daarin laat-Romeins vondstmateriaal in de nabijheid van de structuur wijzen indirect ook op deze datering. De kuilen zijn niet aanwezig binnen de structuur. Er bevindt zich echter wel een hutkom binnen de structuur, maar door het gebrek aan oversnijdende sporen is het niet mogelijk om te bepalen of de hutkom ouder of jonger is.

6.1.3 Structuur H5

Structuur H5 is zeer fragmentarisch bewaard, waardoor de plattegrond erg hypothetisch is. De plattegrond is noordoost-zuidwest georiënteerd en heeft een lengte van 17 m en een breedte van 6 m (fig. 6.4).

S392 en S401 zijn respectievelijk 20 en 25 cm diep en bevatten beide fragmenten ceramisch bouw materiaal. Deze sporen kunnen als middenstijlen geïnterpreteerd worden. Mogelijk is S382 ook een middenstijl. Dit spoor heeft een diepte van 10 cm.

Van de zuidelijke wand zijn acht paalsporen bewaard gebleven, die een diepte hebben van 4 tot 20 cm. Deze sporen zijn rond tot rechthoekig van vorm. Van de noordelijke wand zijn slechts vijf paalsporen bewaard gebleven, met een diepte van 1 tot 20 cm. Mogelijk zijn er in de noordelijke wand minder paalsporen gevonden doordat hier een recente verstoring aanwezig was. De korte wanden zijn minder diep gefundeerd met paalsporen van slechts 1 tot 8 cm diepte. Een uitzondering is S436, die een diepte heeft van 28 cm.

Binnen en buiten de gereconstrueerde structuur zijn nog een twintigtal paalsporen aanwezig, die mogelijk ook deel uitmaken van de structuur.

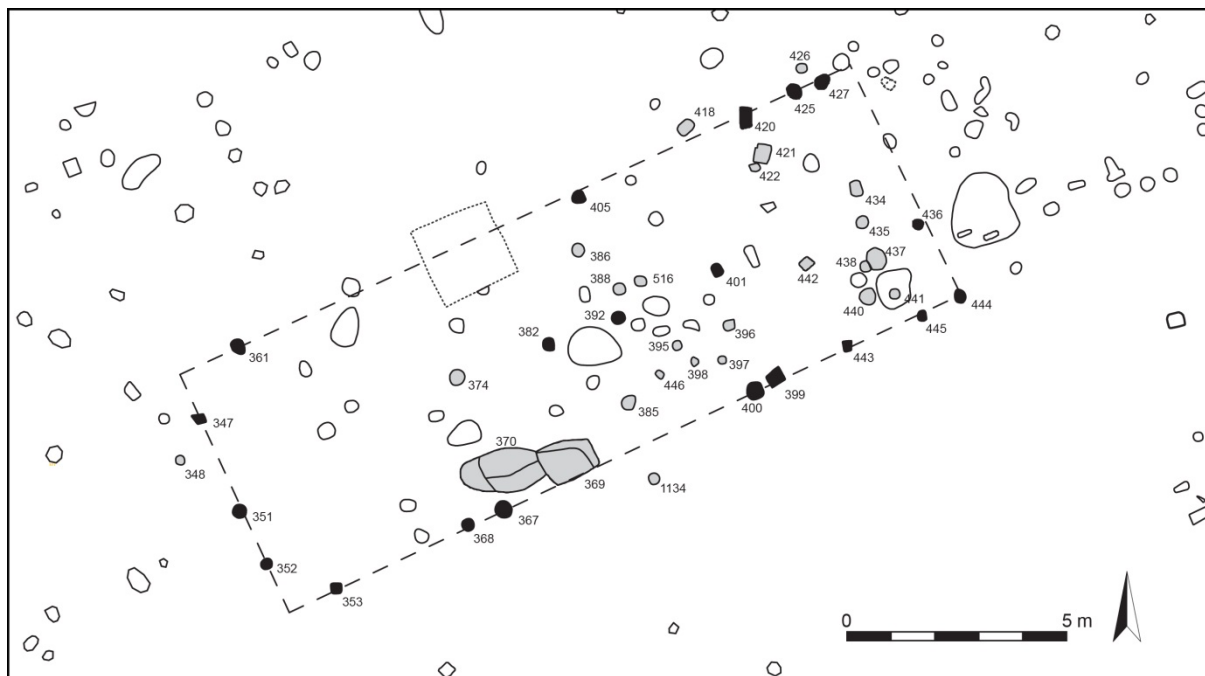


Fig. 6.4: Plattegrond van structuur H5.

In grijs de sporen die mogelijk tot de structuur behoren. In grijs zijn ook de mogelijke haardkuilen (S369 en S370) weergegeven.

Opvallend is dat binnen de structuur twee kuilen (S369 en 370) aanwezig zijn met op de bodem daarvan afwisselend houtskoolrijke laagjes en laagjes met door verhitting verkleurd zand (fig. 6.5). Mogelijk gaat het hier om haardkuilen. In kuil 370 zijn zes fragmenten van verbrand dierlijk bot aangetroffen.



Fig. 6.5: Coupe door twee mogelijke haardkuilen 369 en 370.

In twee middenstijlen (S392 en S401) is laat-Romeins ceramisch bouw materiaal aangetroffen (zie hoofdstuk 8). Uit twee paalsporen zijn houtskoolstalen genomen. In het natuurlijk spoor 439 is een aardewerkscherf aangetroffen, die gedateerd kan worden in de laat-Romeinse periode en mogelijk in de 4^{de} eeuw.

Door de fragmentarische aard van de plattegrond is het lastig een vergelijking te maken met andere plattegronden binnen het MDS-gebied. Het is wel duidelijk dat de kenmerkende ingangspartijen van de structuren H3 en H4 bij structuur H5 ontbreken. De plattegrond is nog het meest te vergelijken met structuur 10 te Goirle-Huzarenwei (fig. 6.2), die ook grotendeels tweeschepig is. In Alphen-Kerkakkers zijn er mogelijke haardkuilen gevonden in gebouw 4 en gebouw 6³⁵.

Op basis van het ceramisch bouw materiaal kan de structuur in de laat-Romeinse periode gedateerd worden.

6.1.4 Structuur H6

Bij de noordelijke grens van het opgravingsgebied is een rij paalsporen aangetroffen. De noordoost-zuidwest georiënteerde rij ligt slechts 0,6 tot 1,6 m verwijderd van de putwand. De sporen zijn voornamelijk vierkant en rechthoekig van vorm, maar ook ronde sporen komen voor. De meeste paalsporen hebben een diepte van 20 tot 22 cm. S337 is met 8 cm het minst diepe spoor en S355 is met een diepte van 28 cm het diepste spoor. De onderlinge afstand tussen de paalsporen varieert in het oostelijk deel van 2,27 tot 2,43 m en in het westelijk deel van 0,83 tot 2,62 m (fig. 6.6)³⁶.

³⁵ De Koning 2005: 19, 22.

³⁶ Gemeten vanaf het middelpunt van de paalsporen.

De rij met paalsporen kan geïnterpreteerd worden als een wand van een hoofdgebouw of als een palenrij die deel uitmaakte van een mogelijke erfindeling. Een argument voor een wand van een hoofdgebouw is dat de lengte van de rij (14,8 m) in de buurt ligt van de lengtes van structuren H3 en H4. Ook de oriëntatie is vergelijkbaar. Een ander argument is dat de twee buitenste paalsporen iets uit lijn staan, mogelijk veroorzaakt door een ronding bij de overgang naar de korte zijde. Een mogelijke aanwijzing hiervoor is dat S409 twee paalkernen heeft (fig. 6.7). Bij de oostelijke zijde van structuur 10 van Goirle-Huzarenwei is dit ook het geval (fig. 6.2).

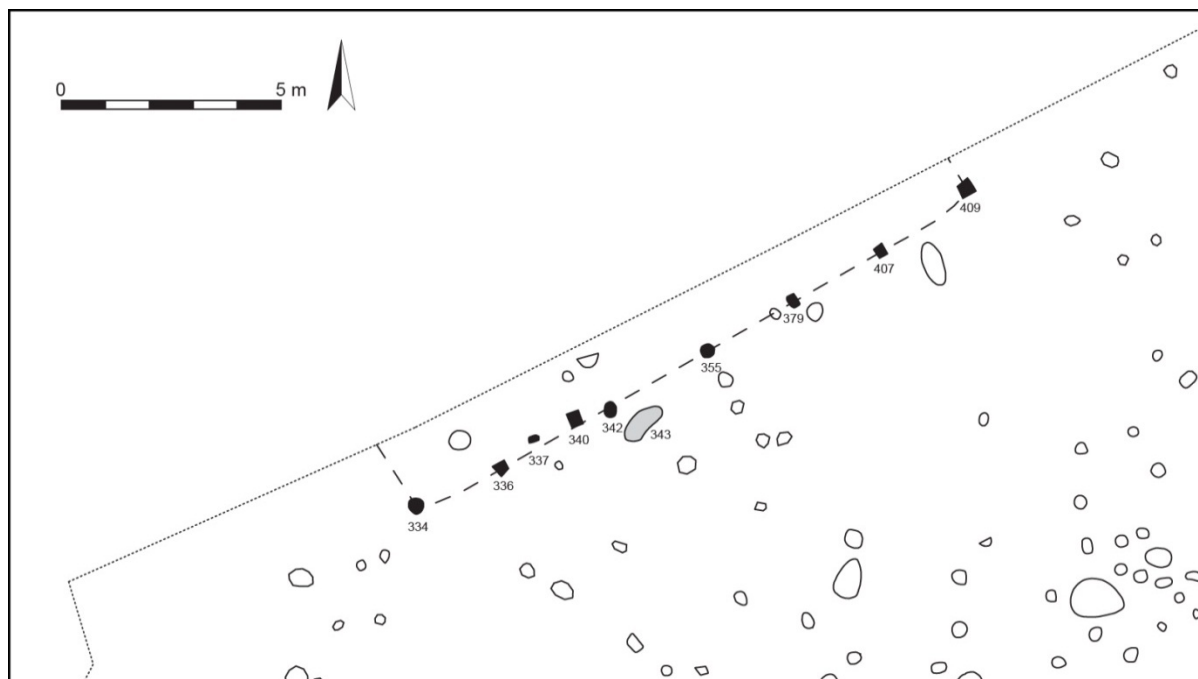


Fig. 6.6: Plattegrond van structuur H6.

In grijs is een kuil weergegeven die mogelijk geassocieerd kan worden met de structuur.

In twee paalsporen is laat-Romeins bouwceramisch materiaal aangetroffen (S335 en 337). In spoor 336 is een scherp terra nigra-achtig aardewerk aangetroffen uit de 4^{de} of 5^{de} eeuw. Op het vlak is binnen spoor 342 handgevormd aardewerk aangetroffen, dat niet nader gedateerd kan worden dan late bronstijd tot inheems Romeins. Er is een houtskoolstaal genomen.

In de rij zijn geen naar binnen staande palen te herkennen die kunnen wijzen op een ingangspartij. Ook zijn er geen dubbele wandstijlen te herkennen. De mogelijke wandconstructie toont dus weinig overeenkomsten met de wanden van de structuren H3, H4 en H7. De structuur is nog het meest te vergelijken met de nabijgelegen structuur H5.

Op basis van het ceramisch materiaal kan de structuur in de laat-Romeinse periode gedateerd worden.



Fig. 6.7: Meldert-Zelemsebaan. Coupe van S409, waarin twee paalkernen zichtbaar zijn.

6.1.5 Structuur H7

Structuur H7 is zeer fragmentarisch bewaard, waardoor de plattegrond erg hypothetisch is (fig. 6.8). De hypothetische noordelijke wand bestaat uit vier paalsporen op een noordoost-zuidwest georiënteerde lijn. Deze sporen hebben een diepte van 20 tot 24 cm. In het verlengde van de lijn liggen twee paalsporen (S1323 en S1321), die als dubbele wandstijlen in de noordelijke wand geïnterpreteerd kunnen worden. Deze paalsporen zijn rechthoekig van vorm en hebben een diepte van respectievelijk 14 en 9 cm. Naast deze paalsporen ligt een ondiepe kuil (S1324) met een maximale diepte van 20 cm (fig. 6.9). Een andere kuil met dezelfde orientatie als de structuur ligt 1,1 m ten noorden van de noordelijke wand.

Een meter ten zuiden van de noordelijke wand liggen twee paalsporen (1287 en 2182), die geïnterpreteerd kunnen worden als middenstijlen. Spoor 1287 heeft een diepte van 26 cm. Op 3,1 meter ten zuiden van de hypothetische noordelijke wand bevindt zich een andere mogelijke middenstijl (S1285). Het spoor is vierkant en heeft een diepte van 20 cm (fig. 6.10). Andere mogelijke middenstijlen zijn S1320 en S1325. Deze zijn respectievelijk 14 en 10 cm diep.

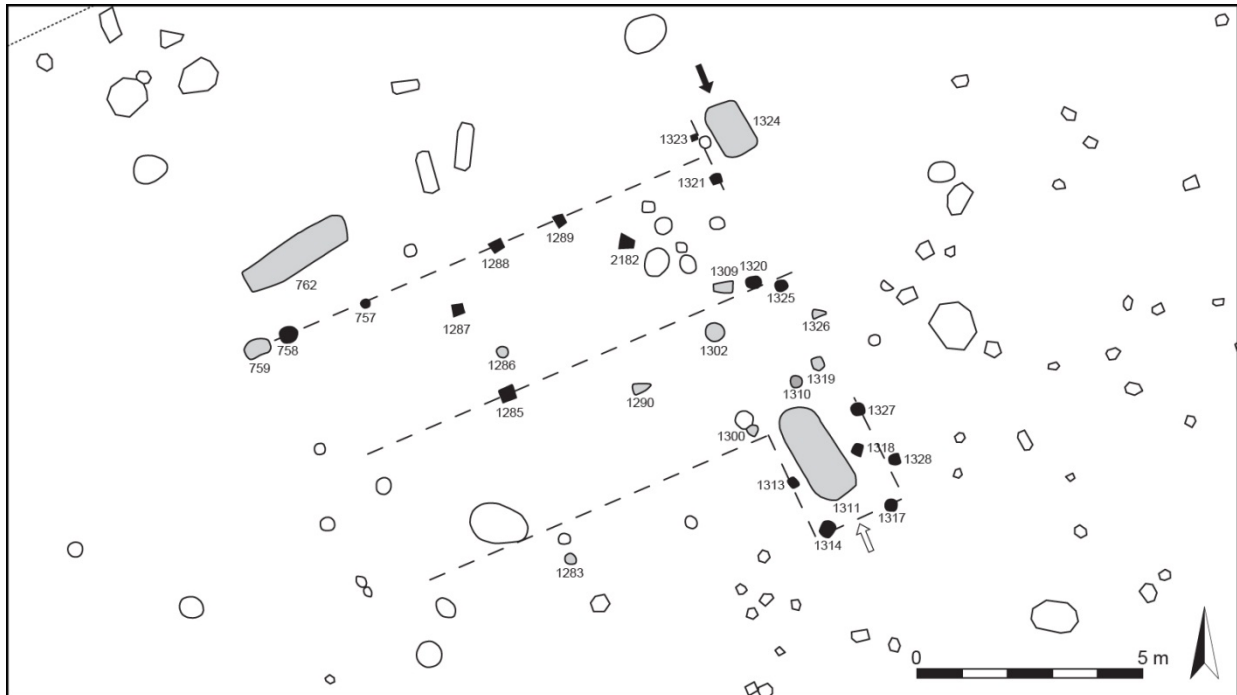


Fig. 6.8: Plattegrond van structuur H7.

In grijs de sporen die mogelijk tot de structuur behoren. In grijs zijn ook kuilen weergegeven die (mogelijk) geassocieerd kunnen worden met de structuur. De zwarte pijl geeft de vermoedelijke ingang weer en de witte pijl een meer hypothetische ingang.



Fig. 6.9: Meldert-Zelemsebaan. Coupe door S1324.



Fig. 6.10: Meldert-Zelemsebaan. Coupe door S1285.

Ter hoogte van de te verwachten zuidelijke wand is een kuil aanwezig (S1311) met daaromheen een aantal paalsporen. Rechthoekige kuilen bij de wanden van een vroeg middeleeuwse huisplattegrond zijn bekend uit Dorestad (fig. 6.11). Door Van Es en Verwers worden de kuilen als kelderkuilen geïnterpreteerd³⁷. De kuilen waren waarschijnlijk voorzien van houten wanden en een houten deksel. Ook wordt een interpretatie als oven geopperd door Van Es en Verwers³⁸. Mogelijk is de kuil in Meldert ook een kelderkuil.

In de paalsporen is geen aardewerk aangetroffen. Alleen de mogelijke kelderkuil (S1311) heeft ceramisch bouw materiaal, aardewerk en metaal opgeleverd. Het aardewerk bestaat uit een enkel bodemfragment met standring te dateren in de laat-Romeinse periode.

Ondiepe kuilen, zoals S1324, worden regelmatig gevonden bij de ingangen van hoofdgebouwen, zoals te Goirle-Huzarenwei (fig. 6.2), Alphen-Kerkakkers (gebouw 3, 4, 6 en 8)³⁹ en Helden-Schrames (structuur H6, H8, H35, H97)⁴⁰. Dubbele wandstijlen in de buurt van de ingang is een kenmerk dat ook voorkomt bij structuur H6.

³⁷ Van Es & Verwers 1994: 190.

³⁸ Van Es & Verwers 1995: 175.

³⁹ De Koning 2005: 28.

⁴⁰ De Winter 2010: 385, 387, 397, 413.

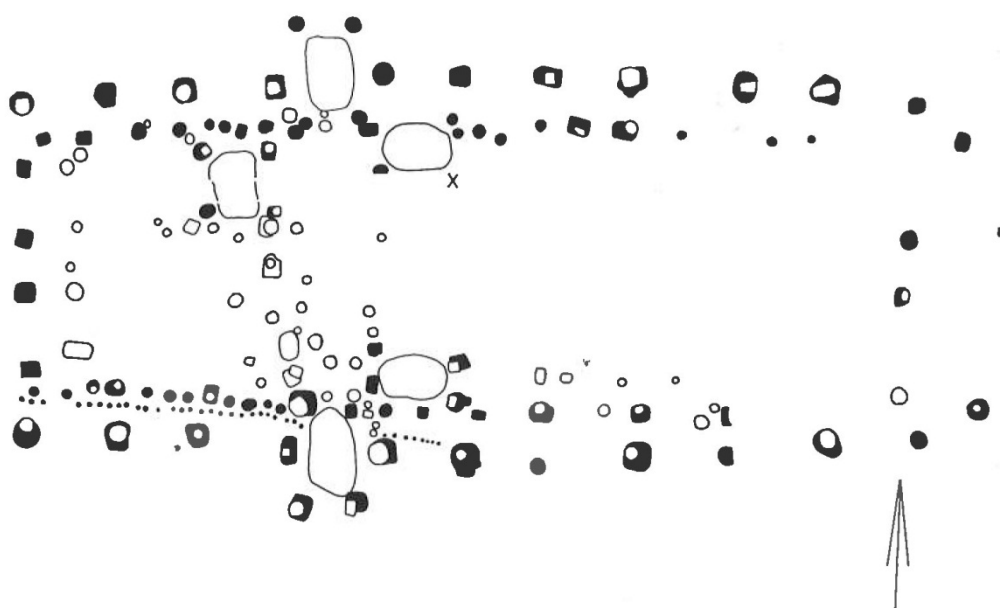


Fig. 6.11: Huisplattegrond uit Dorestad met vijf kelderkuilen. Twee kuilen liggen binnen een overdekte ingang⁴¹.

6.1.6 Structuur H8

In de noordoostelijke hoek van het plangebied bevond zich een concentratie (paal)sporen. Veel paalsporen waren moeilijk te herkennen in het veld. Bij het couperen bleken de sporen vaak ondiep te zijn. Er is in de paalsporen toch een patroon te herkennen dat kan wijzen op de aanwezigheid van een hoofdgebouw uit de laat-Romeinse periode. In fig. 6.12 is de hypothetische plattegrond weergegeven.

De hypothetische plattegrond is nog het meest te vergelijken met de plattegrond van huis 1 te Breda-Steenakker (fig. 6.13). Deze plattegrond toont een gebouw dat is opgebouwd uit dubbele wandstijlen en twee rijen binnenstijlen die op een afstand van ongeveer 1 m van de buitenwand staan. Een 14C datering heeft een datering opgeleverd van 80 tot 320 n. Chr (1 sigma)⁴².

De hypothetische plattegrond heeft een lengte van 14 m en een breedte van 7 m. De binnenstijlen staan op 1,5 m van de buitenste wandstijlen. De diepte van de sporen varieert van 1 tot 20 cm, met uitzondering van S191, die een diepte heeft van 32 cm.

In de paalspoor 191 is een enkele wandscherf gevonden in handgevormde techniek samen met een fragment van een glazen armband. Het gezamenlijke assemblage moet mogelijk in de laat-Romeinse periode gedateerd worden al is het armbandfragment mogelijk ouder (zie hoofdstuk 10.3.3). In S193 zijn dertien ijzeren nagels aangetroffen. Bij drie nagels was de kop bedekt met een witte pleisterlaag. Deze resten doen vermoeden dat deze nagels deel hebben uitgemaakt van een wand in houten

⁴¹ Van Es & Verwers 1994: afb. 156.

⁴² Berkens & Taayke 2004.

vakwerkbouw, die met witte plaaster was afgewerkt. Naast deze ijzervondsten bevat dit spoor ook een assemblage sterk gefragmenteerd handgevormd materiaal dat niet nauwkeurig te dateren valt. In S209 is een klein fragment (1,4 cm) post-middeleeuws aardewerk aangetroffen dat als intrusief gezien moet worden.

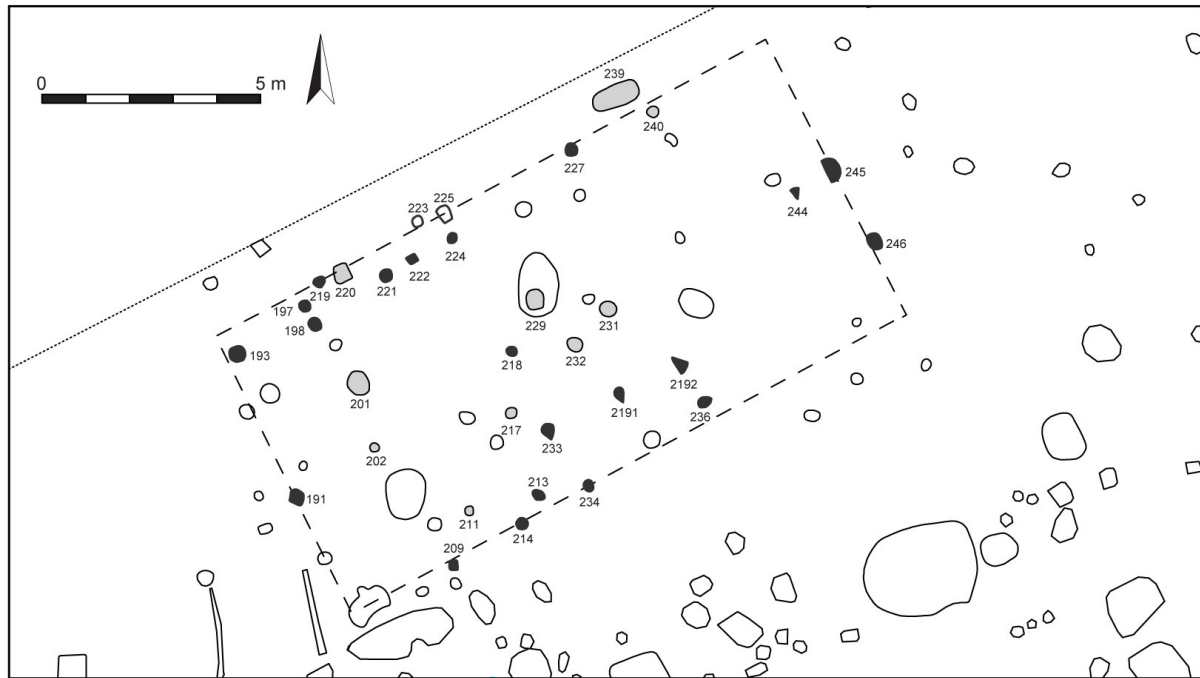


Fig. 6.12: Plattegrond van structuur H8.

In grijs de sporen die mogelijk tot de structuur behoren. In grijs is ook een kuil weergegeven die (mogelijk) geassocieerd kan worden met de structuur.

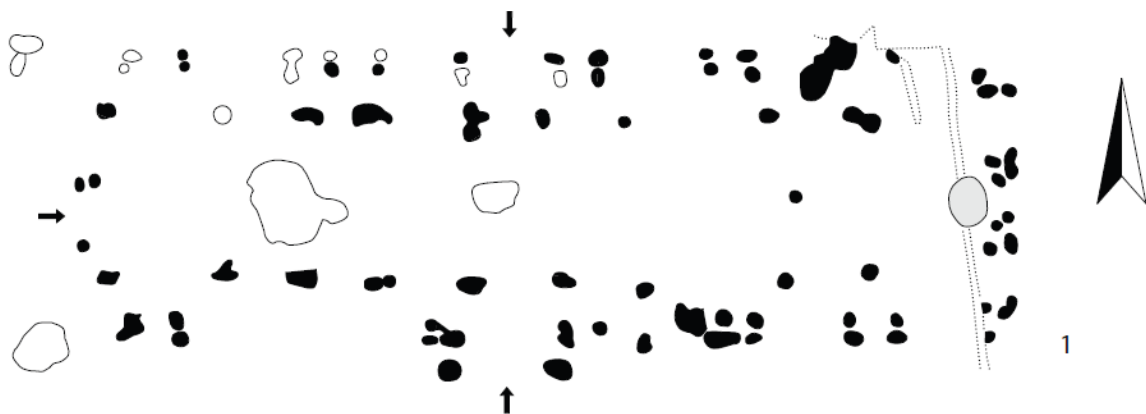


Fig. 6.13: Huis 1 te Breda-Steenakker. Schaal 1/200⁴³.

⁴³ Hier is de reconstructie door Berkvens & Taayke 2004 aangehouden. Dit gebouw wordt door Hoegen (Koot & Berkvens (eds.) 2004: 220-222, fig.11.11) huis 42 genoemd en anders gereconstrueerd.

6.2 Hutkommen

Een hutkom is een type bijgebouw waarvan het vloeroppervlak verdiept is aangelegd. Eén van de interpretaties is dat in hutkommen ambachtelijke activiteiten werden uitgevoerd, zoals spinnen en weven. Er zijn aanwijzingen dat de hutkommen ook voor metaalbewerking zijn gebruikt. Mogelijk werden de hutkommen ook gebruikt als opslagplaats.

Over het algemeen variëren de afmetingen van hutkommen, maar doorgaans is een hutkom 2 x 3 m groot. Meestal stonden in de korte wanden drie palen die waarschijnlijk een zadelvormig dak droegen. De middelste paal was over het algemeen het diepst ingegraven. Hutkommen met twee palen komen ook regelmatig voor. Verder komen hutkommen voor waarbij het dak gedragen werd door een wand die was ingegraven in een wandgreppeltje⁴⁴. De ingang van de hutkommen bevond zich vermoedelijk aan de korte zijde. Hiervoor is in Meldert een aanwijzing teruggevonden in de vorm van een vertrappele zone aan de oostelijke zijde van een hutkom.

Hutkommen zijn kenmerkend voor een Germaanse invloed daar ze in oorsprong enkel in Germaans gebied worden aangetroffen⁴⁵. In Zuid-Nederland komen ze vanaf de tweede helft van de derde eeuw voor, maar voornamelijk in de vierde eeuw n. Chr. In het Nederlands gedeelte van het MDS-gebied zijn ze aangetroffen te Alphen-Kerkakkers⁴⁶, Blerick-Heilhoeve⁴⁷, Breda-Steenakker⁴⁸, Geldrop-'t Zand⁴⁹, Goirle-Huzarenwei⁵⁰, Helden-Schrames⁵¹, Horst-Hoogveld-Oost⁵² en Lierop-Steemertseweg⁵³. In het Belgisch deel van het MDS-gebied zijn ze aangetroffen te Donk-Het Groot Veld⁵⁴ en Neerharen-Rekem⁵⁵. Deze opsomming kan nu aangevuld worden met twee hutkommen te Meldert-Zelemsebaan.

6.2.1 Structuur Hu1

Hutkom Hu1 bevindt zich op de plaats van structuur H4 (fig. 6.14). De afmetingen van de hutkom zijn 3,5 x 3,2 m en de oriëntatie is noordoost-zuidwest. De kuil is met maximaal 10 cm vrij ondiep. Op de grens van de kuil zijn op de beide korte zijden drie paalsporen aanwezig. De middelste paalsporen zijn respectievelijk 60 cm en 54 cm diep. De paalsporen op de hoeken zijn iets minder diep, maar met 30 tot 45 cm ook diep gefundeerd. Waarschijnlijk droegen de palen een zadelvormig dak.

⁴⁴ Dit is onder andere het geval bij een hutkom te Helden-Schrames. De Winter 2010: 114.

⁴⁵ Het archeobotanisch onderzoek van de waterput heeft pollen van rogge opgeleverd. In de waterkuil (S597) zijn verkoolde resten van rogge aangetroffen. Rogge is ook een indicator voor Germaanse invloed. Zie hoofdstuk 14.

⁴⁶ De Koning 2005: 29-51.

⁴⁷ Stoepker 1993.

⁴⁸ Koot & Berkvens 2005: 246-252.

⁴⁹ Bazelmans 1990, 1991.

⁵⁰ Bink 2005.

⁵¹ De Winter 2010: 114-117.

⁵² Verhoeven 2002: 16-18.

⁵³ Verwers 1991: 140-142.

⁵⁴ Van Impe 1983: 90-92.

⁵⁵ De Boe 1985: 60-62; Theuws & Hiddink 1996: 76.

In de kuil van de hutkom (S554) is bouw materiaal (dakpannen en huttenleem) en aardewerk aangetroffen. Het aardewerk omvat twee wandfragmenten waarvan één scherf toe te schrijven is aan een Eifelimport uit de tweede helft van de 4^{de} eeuw.

Ook in paalkuil (S552) werd aardewerk aangetroffen. Het betreft zes fragmenten met een gelijkaardige aardewerksamenstelling als S554 en kan tevens in de loop van de 4^{de} eeuw worden gedateerd.

Op basis van het aardewerk kan de hutkom gedateerd worden in het midden of in de loop van de tweede helft van de 4^{de} eeuw.

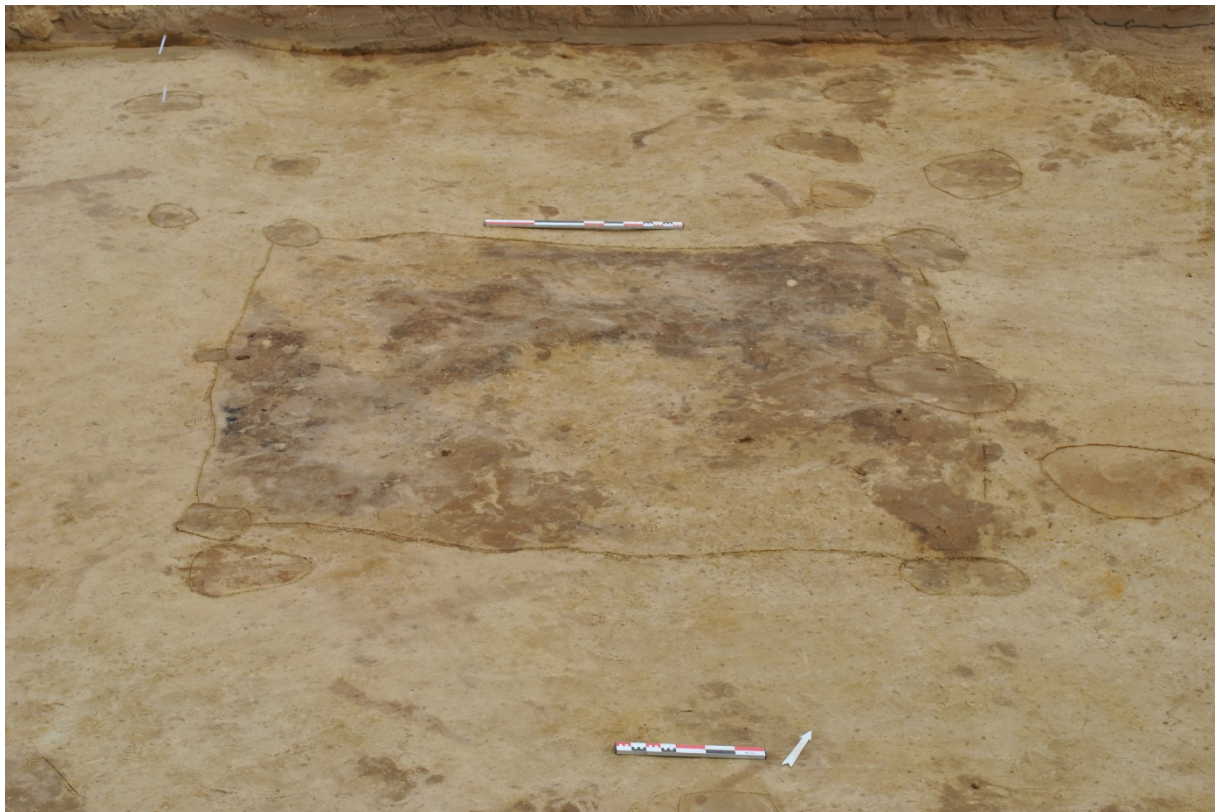


Fig. 6.14: Overzichtsfoto van hutkom Hu1.

6.2.2 Structuur Hu2

De afmetingen van hutkom Hu2 (S295) zijn met 3,5 x 3,2 m vergelijkbaar met hutkom Hu1 (fig. 6.15). De hutkom is noordoost-zuidwest georiënteerd. De kuil heeft een diepte van 20 cm. Naast en onder de kuil zijn geen paalsporen aangetroffen. Tegen de oostelijke korte zijde is een ondiep spoor aangetroffen dat mogelijk is ontstaan door vertrapping bij de ingangspartij. Een dergelijk spoor is ook aangetroffen bij hutkom Hu27 te Helden-Schrames⁵⁶. Naast het ondiepe spoor is een paalkuil (S303) aangetroffen met een diepte van 6 cm.

⁵⁶ De Winter 2010: 115.

In de kuil is bouw materiaal (dakpannen en huttenleem) en aardewerk aangetroffen. Tevens is er glas en metaal gevonden. Het glas is breed te dateren in de laat-Romeinse periode terwijl het aardewerk op basis van enkele diagnostische fragmenten nauwkeuriger gedateerd kan worden in de periode tussen 300 en 375.

Op basis van het aardewerk kan de hutkom gedateerd worden in het midden van de 4^{de} eeuw.



Fig. 6.15: Overzichtsfoto van hutkom Hu2.

6.3 Bijgebouwen

6.3.1 Structuur B10

Ten noorden van structuur H3 is een bijgebouw/spieker aangetroffen die te vergelijken is met spiekers van het type Oss IIC (fig. 6.16)⁵⁷. De structuur meet 5,1 x 3,9 m en heeft een noordoost-zuidwest oriëntatie. De structuur bestaat uit 8 paalsporen met een diepte van 14 tot 28 cm. De breedte van de rechthoekige paalsporen varieert van 30 tot 50 cm.

In S1065 is een fragment glas aangetroffen dat niet nauwer dan de laat-Romeinse periode is te dateren. In S1070 is een wandfragment terra nigra-achtig aardewerk aangetroffen, dat gedateerd kan worden in de 4^{de} of 5^{de} eeuw. In S1071 zijn twee nagels van ijzer aangetroffen. Uit verschillende paalkuilen zijn houtskoolstalen genomen.

Op basis van het vondstmateriaal is enkel een datering in de 4^{de} of 5^{de} eeuw mogelijk.

⁵⁷ Voor de typologie zie Schinkel 1998: 255.



Fig. 6.16: Structuur B10 gezien vanaf het zuiden.

6.3.2 Structuur B11

Ten zuidwesten van structuur H5 is een vierpalig bijgebouw aangetroffen met een lichte noordwest-zuidoost oriëntatie (fig. 6.17). De paalsporen zijn te ondiep (7-12 cm) om het bijgebouw als een spieker te interpreteren. De structuur meet 3,2 x 2,8 m. Bij S1115 ligt een kleine, maar diepe (31 cm) paalspoor. Dit paalspoor kan als reparatiepaal geïnterpreteerd worden.

Binnen de structuur zijn twee kuilen (S1111 en S1112) met dieptes van 10 en 11 cm aangetroffen die mogelijk verband houden met de structuur.

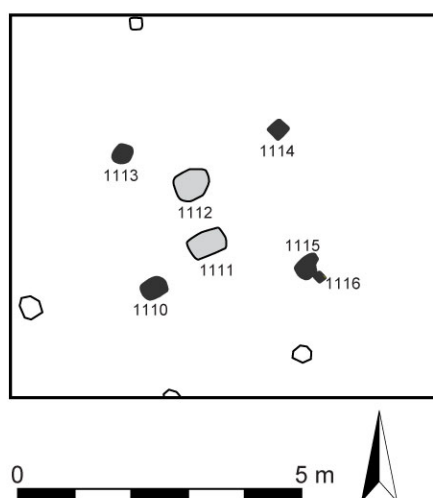


Fig. 6.17: Plattegrond van structuur B11.

In grijs zijn twee kuilen weergegeven die (mogelijk) geassocieerd kunnen worden met de structuur.

In de paalkuilen en de kuilen zijn geen vondsten aangetroffen. Op basis van de rechthoekige vormen en de bruin tot donker bruine kleur van de sporen is het aannemelijk dat de structuur dateert in de laat-Romeinse periode. Het is echter niet uitgesloten dat de structuur in werkelijkheid tot een andere periode behoort.

6.4 Erfafscheiding

Rondom structuur B10 ligt een erfafscheiding. De erfafscheiding heeft dezelfde oriëntatie als structuur B10. De paalsporen zijn 6 tot 32 cm diep. In S1085 is aardewerk aangetroffen, dat niet nader gedateerd kan worden dan late bronstijd tot inheems Romeins. Zeer waarschijnlijk gaat het hier om opspit.

6.5 Waterput

Binnen het projectgebied is één waterput opgegraven. Hier volgt een korte beschrijving van de waterput. Het hout en de constructie van de waterput worden in meer detail besproken in hoofdstuk 12, de dendrochronologische datering in hoofdstuk 13.

In het vlak was de insteek van de waterput 3,6 x 3,2 m. Op een diepte van 2,6 m onder het vlak versmalde de insteek tot een schacht met een diameter van 1,3 m. Op een diepte van 4,7 m onder het vlak kwam in deze smallere schacht een houtconstructie tevoorschijn. Deze bestond uit twee halve uitgeholde boomstammen, waartegen een aantal verticale planken waren geplaatst. Aan de buitenzijde van deze constructie was horizontaal geplaatst hout aanwezig (fig. 6.18). Veel bouwceramiek was op de bodem geplaatst, waarschijnlijk om de instroom van al te veel zand tegen te gaan. De onderzijde van de schacht en de houtconstructie bevindt zich op 5,5 m onder het vlak (fig. 6.19).

De planken zijn afkomstig van radiaal gekliefde eiken (*Quercus* sp.). De twee halve uitgeholde boomstammen zijn ook afkomstig van eik. Op een van de helften was de wankant⁵⁸ aanwezig. Het dendrochronologisch onderzoek (zie hoofdstuk 13) geeft aan dat de boom tussen 411 en het voorjaar van 412 gekapt werd. De planken hebben echter een andere datering. Volgens Van Daalen is het aannemelijk dat de datering van de wankant van het hout van deze planken niet ver na 422 kan liggen. Als verklaring voor de afwijkende dateringen werd eerst aan een reparatie van de eigenlijke waterput gedacht. De positionering van deze planken ingeheid rondheen de twee halve boomstammen en het ontbreken van sporen van een ingrijpende reparatie van de waterput, zoals een tweede insteek, spreken deze these eerder tegen. Een meer plausibele verklaring ligt in een constructie van de waterput in of na 422 n.Chr. waarbij gebruik werd gemaakt van een al 10 jaar eerder gekapte stam. Een andere plausibele verklaring is dat bij de bouw van de waterput gebruik gemaakt van hout van een in onbruik geraakte waterput.

⁵⁸ De buitenste jaarring onder de bast.

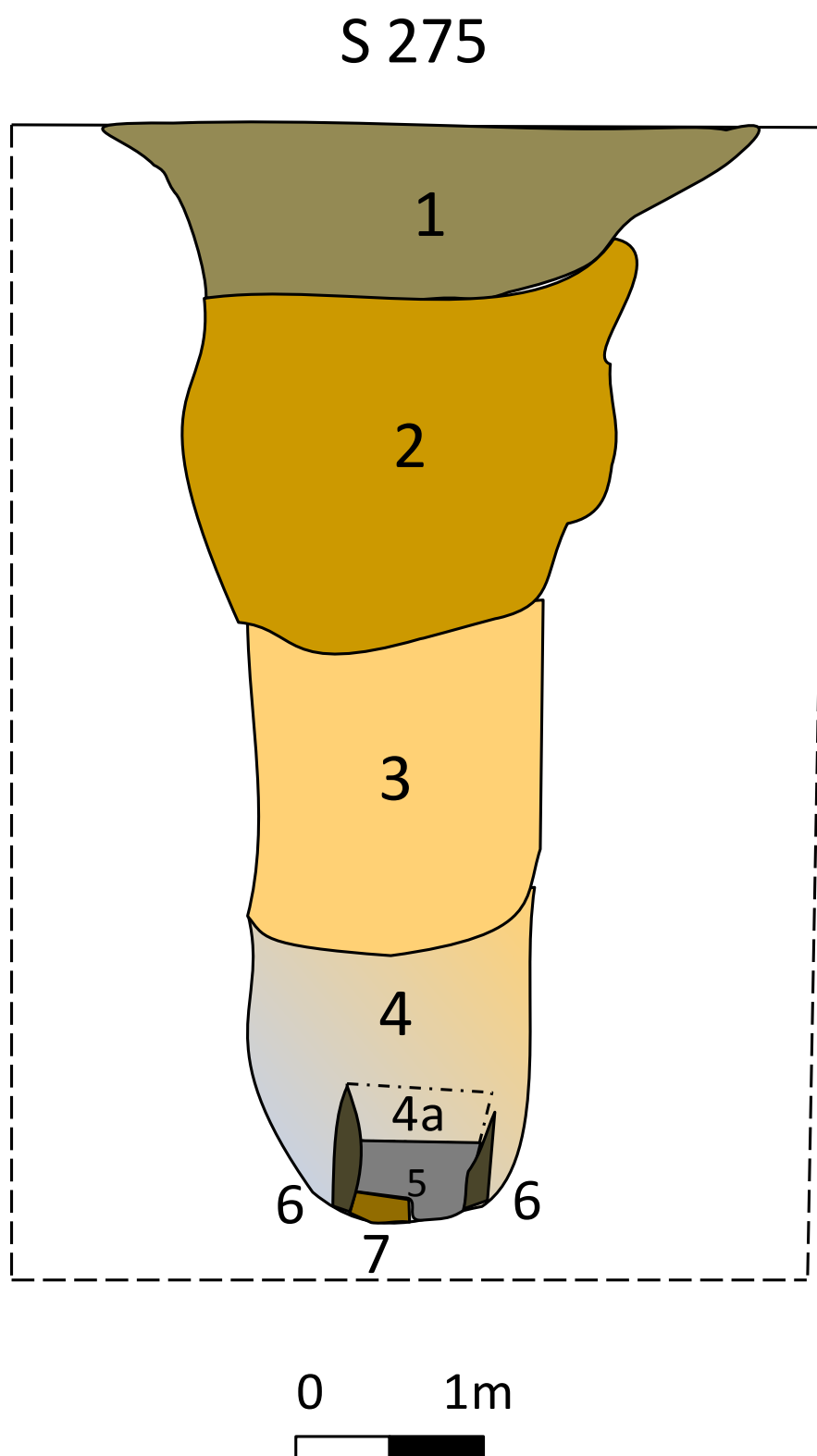


Fig. 6.18: Meldert-Zelemsebaan. Coupe door de waterput.

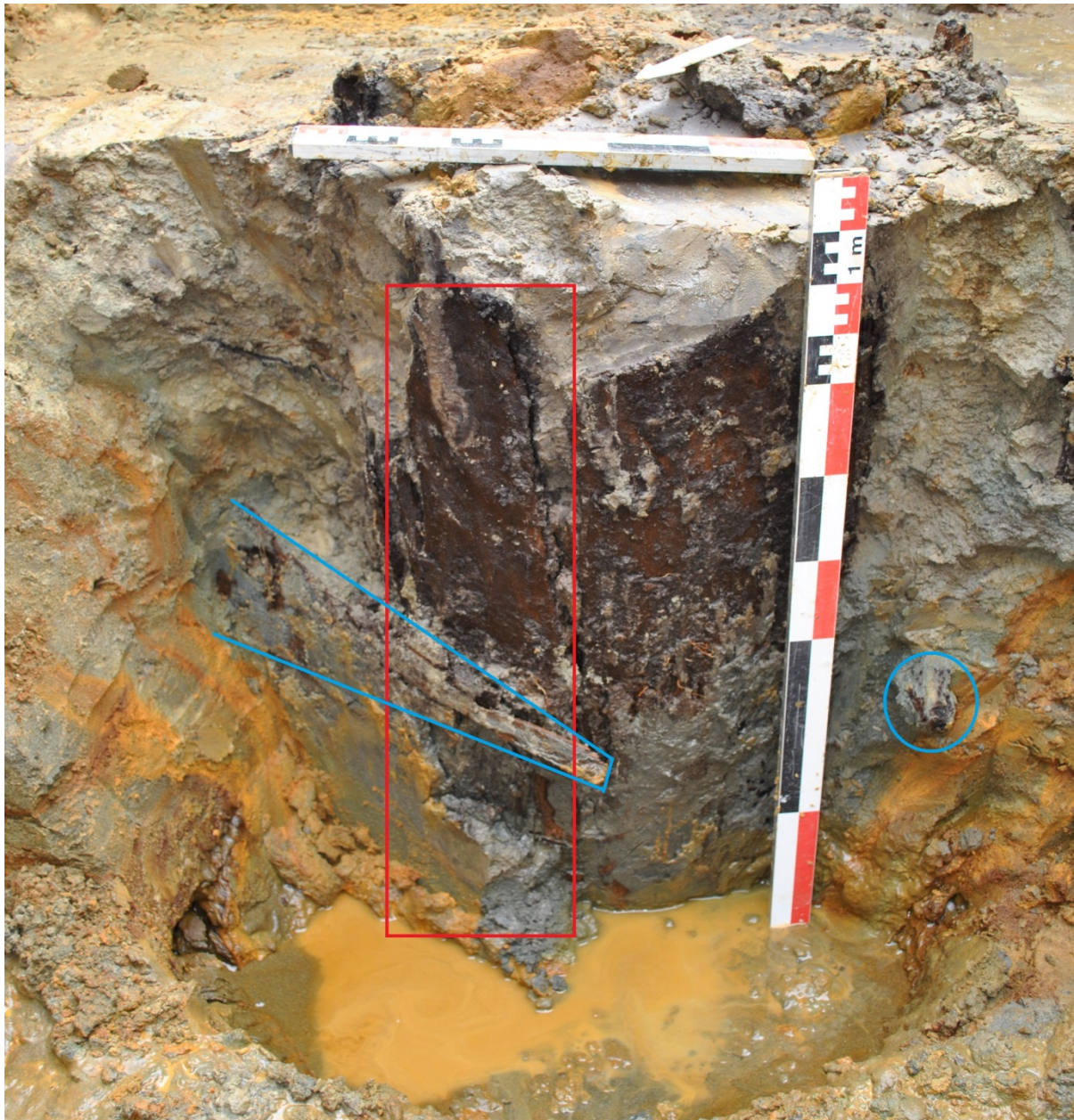


Fig. 6.19: De houtconstructie van de waterput. Een plank is met een rode lijn omkaderd en het horizontaal geplaatst hout met een blauwe lijn.

6.6 Kuilen

Tijdens de opgraving zijn verschillende kuilen aangetroffen. Door de situering ervan is het aannemelijk dat een groot deel van de kuilen het resultaat zijn van (artisanale) activiteiten in de laat-Romeinse nederzetting.

Een aantal van de kuilen kunnen in verband worden gebracht met open vuur, omdat de kuilen veel houtskool bevatten en het zand rondom de kuilen een rode verkleuring vertoont, veroorzaakt door verhitting (fig. 6.20). In een aantal gevallen is alleen de rode verkleuring aangetroffen. In tabel 6.1 zijn deze kuilen opgenomen.

Twee kuilen die geen rode verkleuring rondom de kuilen vertonen, maar wel laagjes met door verhitting verkleurd zand hebben, zijn twee kuilen (S369 en 370) binnen structuur H5. De laagjes met verkleurd zand worden afgewisseld met houtkoolrijke laagjes. Tevens bevatten de kuilen veel verbrande leem en kuil 370 zes fragmenten verbrand bot. Mogelijk gaat het hier om haardkuilen.

spoor	vorm	l x b (m)	diepte (m)	deel van	vondsten	HK	opmerkingen
67	ovaal	1,4 x 1,0	0	?	-	-	Enkel verkleuring
369	rechthoekig	1,2 x 0,9	0,28	H5	(bouw)ceramiek	-	
370	onregelmatig	1,9 x 1,0	0,39	H5	ceramiek, verbrand bot.	-	
613	rechthoekig	1,6 x 1,1	0,24	?	-	X	-
642	rechthoekig	1,5 x 0,8	0,12	?	-	X	-
1056	ovaal	1,2 x 0,7	0	?	-	-	Enkel verkleuring
1089	rechthoekig	1,8 x 1,2	0,20	Hu2	-	X	
1090	rechthoekig	0,9 x 0,6	0,09	?	-	X	
1226	ovaal	1,2 x 0,8	0,06	?	-	X	

Tabel 6.1: Overzicht van de kuilen die in verband kunnen worden gebracht met open vuur.



Fig. 6.20: Coupe door kuil 1089. Op de bodem van de kuil is een laag houtskool aanwezig en rondom de kuil is een rode verkleuring aanwezig.

Kuilen 1172 en 1311 kunnen geïnterpreteerd worden als kuilen voor de opslag van goederen. Spoor 1172 ligt 2 m ten westen van structuur H3 en heeft dezelfde oriëntatie als deze structuur. Het is daarom aannemelijk dat kuil 1172 gelijktijdig is met structuur H3. Het spoor heeft een afmeting van 1,5 x 1,5 m en heeft rechte wanden en een vlakke bodem (fig. 6.21). De diepte bedraagt 34 cm.

In de kuil zijn zeven nagels en één spijker aangetroffen. Dit kan erop wijzen dat de kuil bekleed was met planken. Op de coupefoto lijken twee schaduwen van planken zichtbaar te zijn (fig. 6.21). De kuil bevatte verder scherven van aardewerk en glas. Het aardewerk is te dateren in de 4^{de} eeuw. Ook is er houtskool aangetroffen.

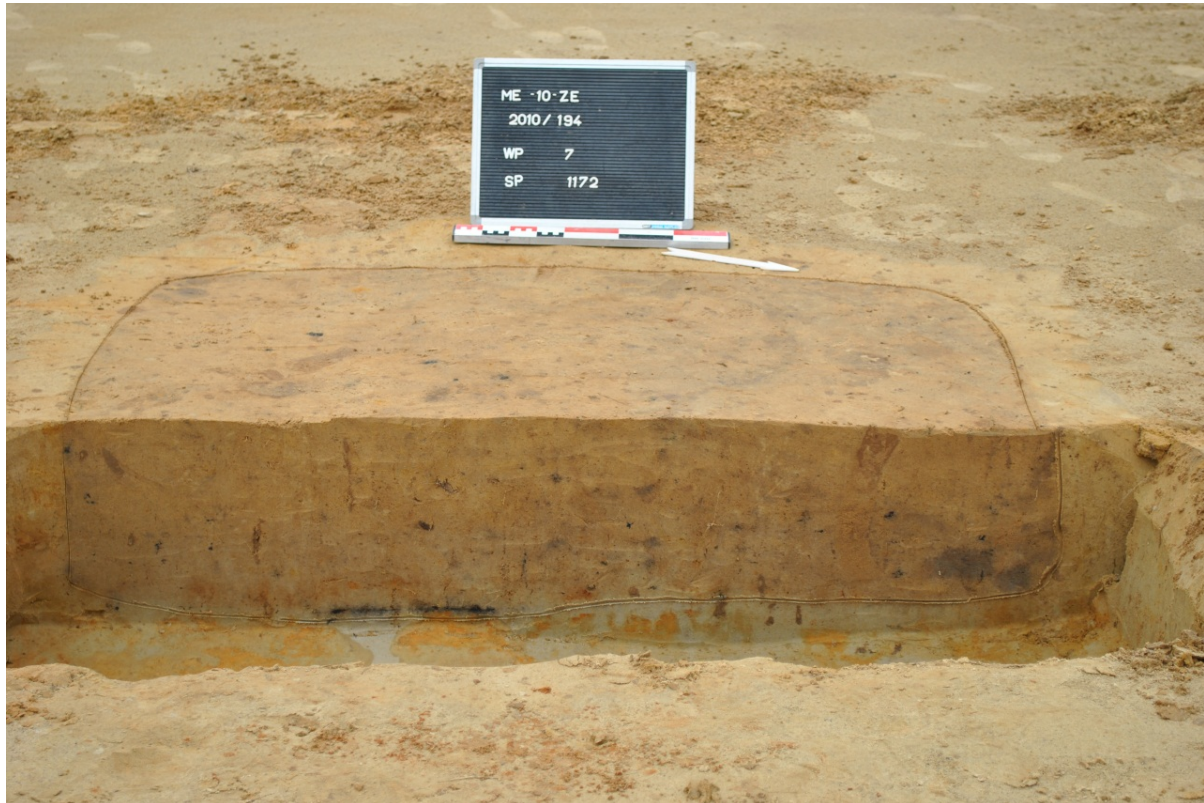


Fig. 6.21: Coupe door kuilspoor S1172.

Kuil 1311 is een mogelijke kelderkuil behorende bij structuur H7. Het spoor heeft een afmeting van 2,3 x 1,0 m en heeft een diepte van 56 cm. In de kuil is enkel een bodemfragment met standring uit de laat-Romeinse periode aangetroffen.

Verder zijn in de kuil een fragment van laat-Romeins bouwceramiek en een mogelijk *strigilis* aangetroffen.

Op basis van de vierkante vorm kan kuil 1165 ook als kelderkuil worden geïnterpreteerd. De bodem is echter minder vlak (fig. 6.22). In de kuil is aardewerk aangetroffen. Er konden o.a. drie fragmentaire potprofielen gereconstrueerd worden. De lage fragmentatiegraad in vergelijking met de rest van de site, wijst op een mogelijke primaire depositie van een set van twee standvoetkoppen en een kruik in terra nigra-achtig aardewerk dat enkel breed in de 4^{de} of 5^{de} eeuw kan worden gedateerd.

In de kuil zijn verder een fragment van laat-Romeins bouwceramiek en fragmenten van vlakglas aangetroffen.

Waterkuilen hebben over het algemeen een trechter- of komvormige doorsnede. Sommige hadden een beschoeiing. Waterkuilen werden vermoedelijk gebruikt als drenkplaats voor het vee. Vaak

bestaan de onderste vullingen in waterkuilen uit humeuze of venige lagen⁵⁹. Op basis van deze kenmerken kan spoor 597 geïnterpreteerd worden als waterkuil (fig.6.23 en 6.24)



Fig. 6.22: Coupe door kuilspoor S1165.

De lengte van spoor 597 in het opgravingsvlak bedraagt 3,5 meter, de breedte varieert van 2,5 tot 3,0 m. De kuil heeft een trechtervormige doorsnede. De bodem van de kuil ligt 1,2 m onder het vlak. De vulling van de kuil is fijngelaagd. Een aantal van de onderste lagen zijn humeus en bevatten houtskool.

Met twee pollenbakken zijn de verschillende lagen van het spoor bemonsterd. Bij het inventariserend pollenonderzoek werden alleen in vulling 2 voldoende pollen aangetroffen om een verdere analyse te verantwoorden. Wel werden er in vulling 11 sporadisch wat resten gevonden van microfossielen van open zoet water. Dit is een extra argument voor de interpretatie als waterkuil (zie hoofdstuk 14).

De verdere analyse van de pollenstaal van vulling 2 heeft een zeer hoog percentage (61,8 %) van grassen (Poaceae) opgeleverd. Ook het percentage pollen van granen is relatief hoog. Opvallend is het relatief hoge percentage pollen van rogge (*Secale cereale*). Dit wijst op een Germaanse invloed.

Het plantaardig materiaal kan bestaan hebben uit gemaaid gras of hooi en stro of dorsafval. De aanwezigheid van enkele schimmels, *Cercophora* en *Sordaria*, die voorkomen op mest en ander rottend plantenmateriaal, zou kunnen betekenen dat het plantaardig materiaal bedorven was of (deels) uit mest heeft bestaan. De hoge positie van de vulling binnen de kuil wijst op het ontstaan van de laag tijdens het in onbruik raken van de waterkuil, mogelijk bij een demping.

⁵⁹ Koot & Berkvens 2004: 136-137, 252.

De lagen 8 en 13 zijn verder onderzocht op botanische macroresten. De onverkoolde macroresten waren in deze lagen zeer slecht geconserveerd. Slechts de zeer corrosieresistente resten waren bewaard gebleven die bovendien sterk waren aangetast. Er zijn drie graansoorten (gerst, pluimgierst en rogge) aangetroffen. Verder zijn er verkoolde zaden van wilde soorten aangetroffen, die waarschijnlijk afkomstig zijn van akkeronkruiden die met de gewassen op de akkers hebben gestaan. Het verkoolde materiaal moet worden geïnterpreteerd als zwerfafval dat in de kuil is terecht gekomen.

In totaal leverde de gehele stratigrafie maar liefst 67 scherven op waaronder zeven randen, één oor en één bodem. Het gehele assemblage kan in de tweede helft van de 4^{de} eeuw of in het begin van de 5^{de} eeuw worden gedateerd. De datering van de verschillende lagen waren te onnauwkeurig en te incoherent om uitspraken te kunnen doen over de vullingsgeschiedenis van de kuil.

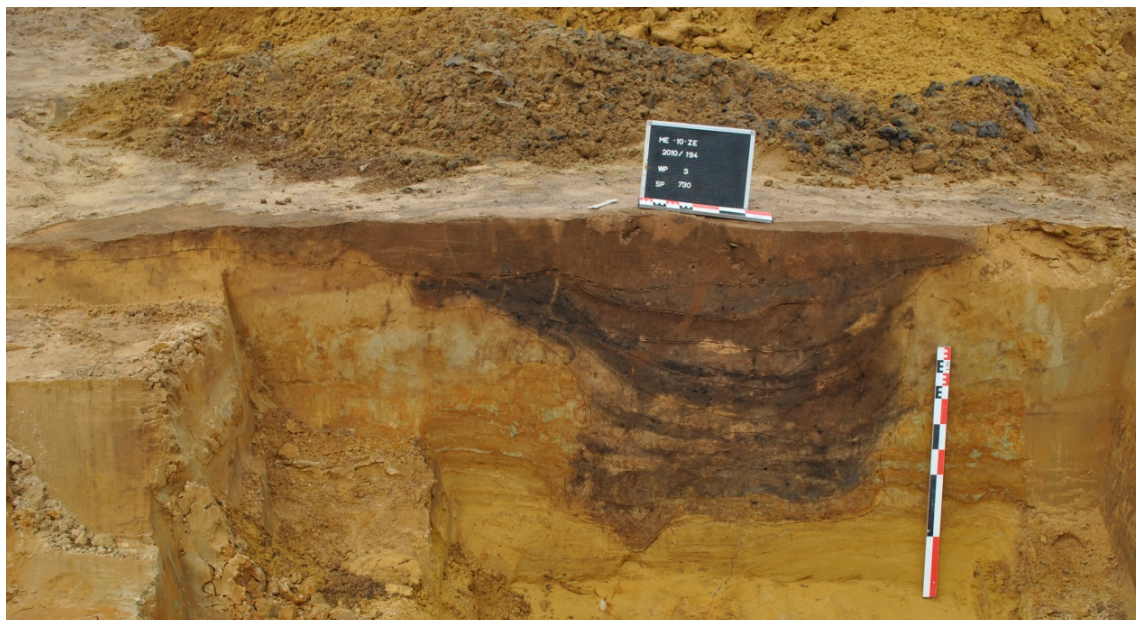


Fig. 6.23: Coupe doorheen de waterkuil S597.

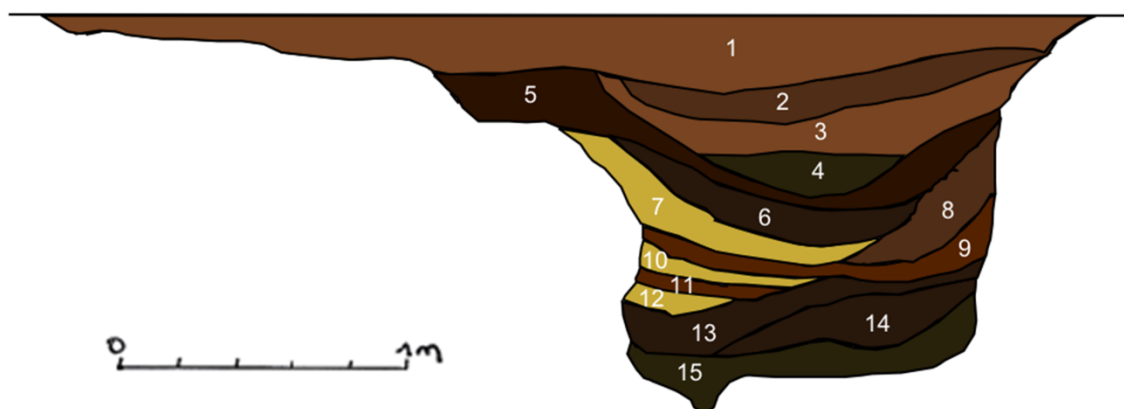


Fig. 6.24: Coupetekening van de waterkuil S597.

In tabel 6.2 worden de overige kuilen weergegeven waarvan de functie niet duidelijk is en die op basis van het vondstmateriaal of de ligging bij een structuur in de laat-Romeinse periode geplaatst kunnen worden.

spoor	vorm	l x b (m)	d (m)	deel van	vondsten	Opmerkingen
239	ovaal	1,1 x 0,5	0,04	Str. H8	houtskool	brandsporen
259	rond	0,6 x 0,6	0,16	?	ceramiek, verbrand bot	houtskoolrijk spoor
269	rechthoekig	1,1 x 0,6	0,20	?	ceramiek	-
270	rechthoekig	1,3 x 0,9	0,15	?	ceramiek	-
302	onregelmatig	3,1 x 2,5	0,22	Str. Hu2	-	vertrappelde zone bij ingang hutkom Hu 2
343	onregelmatig	1,1 x 0,4	0,11	Str. H6	-	mogelijk natuurlijk
573	rechthoekig	1,1 x 0,6	0,42	H4	verbrande leem	houtskoolrijk spoor
574	vierkant	... x 0,4	0,42	H4	verbrande leem	wordt doorsneden door S573, houtskoolrijk
580	ovaal	0,5 x 0,4	0,12	H4	-	houtskoolrijk
668	rechthoekig	0,8 x 0,6	0,18	?	ceramiek	-
690	onregelmatig	1,1 x 1,0	0,26	?	(bouw)ceramiek	-
762	rechthoekig	2,6 x 0,7	0,27	H7	-	-
763	ovaal	0,8 x 0,6	0,10	?	bouwceramiek	-
823	ovaal	1,2 x 1,1	0,32	?	ceramiek, glas, metaal	houtskoolrijke lagen
826	vierkant	1,1 x 1,1	0,14	?	ceramiek	-
833	ovaal	1,0 x 0,8	0,30	?	ceramiek	-
835	ovaal	0,9 x 0,8	0,50	?	bouwceramiek, bot	-
980	onregelmatig	0,9 x 0,8	0,30	?	(bouw)ceramiek	-
999	onregelmatig	2,2 x 1,2	0,28	?	(bouw)ceramiek, glas en metaal	onderaan houtskoolrijke laag met verkoold rogge
1016	ovaal	2,6 x 2,1	0,62	?	(bouw)ceramiek, metaal	-
1036	onregelmatig	2,4 x 1,6	0,20	?	ceramiek, metaal	houtskoolrijk spoor
1042	onregelmatig	1,8 x 1,2	0,20	?	ceramiek	-
1044	ovaal	1,0 x 0,7	0,34	?	Glas, metaal, bot	-
1049	onregelmatig	1,1 x 1,1	0,09	?	metaal	-
1054	rechthoekig	1,8 x 1,3	0,46	?	(bouw)ceramiek, metaal, bot	houtskoolrijk spoor
1057	onregelmatig	3,0 x 1,7	0,20	597	ceramiek	vertrappelde zone bij waterkuil
1078	onregelmatig	2,0 x 1,7	0,45	?	(bouw)ceramiek	houtskoolrijk spoor
1095	ovaal	1,3 x 1,1	0,14	?	ceramiek	brandsporen
1096	onregelmatig	1,1 x 0,7	0,16	?	metaal, ceramiek	houtskoolrijk spoor
1111	rechthoekig	0,7 x 0,4	0,11	B11	-	-

1112	ovaal	0,7 x 0,5	0,10	B11	-	-
1848	ovaal	2,2 x 1,8	0,80	?	ceramiek	houtschoolrijke laagjes op de bodem
1854	ovaal	1,0 x 0,7	0,20	1855		oversnijdt S1855
1855	rechthoekig	1,5 x 1,3	0,18	?	ceramiek, verbrand leem	houtschoolrijk spoor

Tabel 6.2: Overzicht van de kuilen die op basis van het vondstmateriaal of de ligging bij een structuur in de laat-Romeinse periode geplaatst kunnen worden.

Hoofdstuk 7 Studie van het aardewerk

Tim Clerbaut & Ron Bakx

De studie van het ceramisch materiaal of aardewerk werd in het kader van de fasering van de site opgedeeld. Een eerste studie focust zich op het prehistorisch materiaal terwijl een tweede deel de nadruk legt op het Romeinse materiaal. Dit tweede deel vormt binnen deze rapportage slechts een eerste kijk op het aangetroffen laat-Romeinse materiaal. Een diepgaandere studie van het materiaal binnen het kader van een internationaal onderzoeksproject⁶⁰ zal in de toekomst worden uitgevoerd door de Universiteit Gent in samenwerking met Studiebureau Archeologie⁶¹.

7.1 Studie van het prehistorisch aardewerk

7.1.1 Algemeen

Tijdens het archeologisch onderzoek in Meldert zijn aardewerkscherven verzameld bij de aanleg van de werkputten en bij het couperen van sporen. Er zijn geen scherven uit de stort verzameld. In totaal zijn 318 handgevormde scherven aardewerk gevonden tijdens de opgraving en 37 tijdens het proefsleuvenonderzoek. Ze zijn onderverdeeld in 28 rand-, 262 wand-, 8 bodemscherven en 57 fragmenten⁶². De scherven zijn gedateerd vanaf de midden-bronstijd tot laat-Romeins. Hier wordt het prehistorisch aardewerk besproken. Het laat-Romeins handgevormd aardewerk wordt besproken onder 7.2. Alle handgevormde scherven zijn hier bij elkaar geteld, omdat het soms alleen mogelijk was om aan scherven een brede datering te geven.

Alle handgevormde scherven van Meldert zijn beschreven op vlak van vorm en vormdetails, versiering, oppervlaktebehandeling (besmeten, ruw, effen, glad of gepolijst), soort magering, bakwijze (volledig oxiderend of reducerend gebakken) en wanddikte. Uitzonderlijke kenmerken, zoals onder andere het al dan niet verbrand zijn van de scherven zijn ook genoteerd. Een aantal van de handgevormde scherven kon nauwer gedateerd worden op basis van vorm, versiering, baksel, verschraling en afwerking.

De analyse van het prehistorisch aardewerk wijst op twee protohistorische fasen; een midden- tot late bronstijd fase en een late ijzertijd fase. In de volgende paragrafen worden per fase enkele aardewerkvondsten besproken die meer informatie opleverden en die hebben geleid tot de (fijnere) datering van de fasen.

Voor de datering van handgevormd aardewerk uit de Kempische zandstreek is tot nog toe geen toereikende publicatie voorhanden. In de praktijk blijkt dat voor het MDS-gebied het onderzoek van Van den Broeke een goede basis biedt voor het onderzoek van ijzertijdaardewerk⁶³. Helaas is een synthetiserend werk pas verschenen na afronding van dit onderzoeken.

⁶⁰ Een samenwerkingsverband tussen de Vrije Universiteit van Amsterdam(NL) en de Universiteit Gent(B).

⁶¹ In persoon van Drs. Vince Van Thienen & Drs. Tim Clerbaut.

⁶² Als fragment zijn scherven geteld kleiner dan 1 cm² en scherven die te verweerd waren om verder te analyseren.

⁶³ Met name Van den Broeke 1987a, Van den Broeke 1987b en Van den Broeke 1991.

7.1.2 Het handgevormd aardewerk uit de midden- tot late bronstijd

Op basis van grove (> 1 mm) gebroken kwarts als verschralingsmateriaal konden 59 scherven gedateerd worden in de midden- tot late bronstijd. Van deze scherven zijn 25 additioneel verschraald met *chamotte* (potgruis). Op de meeste midden-bronstijd sites in het zuiden van de Lage Landen bereikt het percentage scherven met potgruis als (aanvullende) insluitsels, zelden de 10%⁶⁴. Zo zijn in Helden-Schrames slechts 2 van de 904 stuks aardewerk uit de de vroege en/of midden-bronstijd gemagerd met een combinatie van gebroken kwarts en potgruis⁶⁵. Op de site Breda-Steenakker echter speelt in de midden-bronstijd gebroken kwarts als magering een ondergeschikte rol. Het komt wel voor, maar dan altijd in combinatie met potgruis⁶⁶. Op basis van de magering met potgruis kunnen de scherven dus niet nader gedateerd worden.

In de overgangsfase van de midden- naar late bronstijd treden er veranderingen op in het aardewerk. De opvallendste veranderingen in het aardewerk zijn de grote verbreding van het vormenrepertoire en de gevarieerde wandversiering⁶⁷. Er komt in deze periode ook dunwandig en goed afgewerkt aardewerk voor. De randen van het aardewerk zijn dunner en meestal afgerond. Een nieuw fenomeen is het optreden van een randlipje⁶⁸. Na de midden-bronstijd vormen gebroken kwarts en andere grove minerale delen niet langer meer het dominante verschralingsmateriaal. Uitsluitend met potgruis verschraald aardewerk komt al vanaf circa 950 v. Chr. voor⁶⁹.

Op basis van een aantal randen kunnen een aantal scherven in de late bronstijd gedateerd worden. Wegens de huidige stand van kennis met betrekking tot handgevormd aardewerk is het niet uitgesloten dat een aantal van deze scherven in werkelijkheid in de vroege ijzertijd dateren. In dit verband moet gewezen worden op twee opmerkelijke randvormen (fig. 7.1, 3 en 4). Deze randvormen zijn op zijn minst uitzonderlijk te noemen aangezien tot nu toe geen vergelijkingen gekend zijn.

Helaas zijn maar drie scherven in een antropogeen spoor aangetroffen. De scherven zijn allemaal gevonden in het oostelijk deel van het plangebied. Mogelijk hebben de scherven iets te maken met de aanwezigheid van de grafstructuur. Het is echter ook mogelijk dat de scherven afkomstig zijn van een geërodeerde nederzetting op de getuigenheuvel.

7.1.3 Het handgevormd aardewerk uit de late ijzertijd

Een kuil (S1787)⁷⁰ bij de ingang van hoofdgebouw H2 heeft het meeste handgevormd aardewerk opgeleverd. In de kuil zijn totaal 55 scherven en 12 fragmenten verzameld met een totaal gewicht van 787 gram. De scherven zijn bijna allen gemagerd door middel van potgruis. Zes scherven hebben naast het potgruis ook organisch materiaal als magering. Eén scherf heeft alleen een organische

⁶⁴ Arnoldussen & Ball 2007: 189.

⁶⁵ De Winter 2010: 157.

⁶⁶ Koot & Berkvens 2004: 81.

⁶⁷ Van den Broeke 1991: 195.

⁶⁸ Koot & Berkvens 2004: 82-84.

⁶⁹ Arnoldussen & Ball 2007: 189.

⁷⁰ Dit spoor is tijdens het proefsleuvenonderzoek gecoupeerd. Toen was het spoornummer 83. Hier worden ook de vondsten uit het proefsleuvenonderzoek behandeld onder het spoornummer van het definitief onderzoek.

magering. De oppervlaktebehandeling van de buitenwand van de scherven varieert en is als volgt verdeeld: 17 scherven zijn ruw gelaten, 17 scherven zijn geëffend, 15 scherven zijn besmeten en 3 scherven zijn geglad. Op slechts drie scherven is een vorm van versiering aangetroffen. Twee van die scherven worden hieronder behandeld bij het beschrijven van een potvorm. De andere versiering is aanwezig op een wandscherf en bestaat uit parallelle groeven (fig. 7.2, 2).

De kuil heeft geen archeologisch complete potten opgeleverd, maar wel is van één pot de potopbouw te reconstrueren (fig. 7.2, 1). Het gaat om een tweeledige pot met een lange schouder en een zachte overgang van schouder naar buik, een zogenaamde tonvorm. De rand bestaat uit een afgeplatte lip en is versierd met vingerindrukken. De vingerindrukken liggen 0,5 cm uit elkaar. Er is een kleine verdikking aanwezig aan de binnenzijde van de rand. Bij de buik en de overgang van de buik naar de schouder is de buitenzijde van de wand versierd met grove banen van vingerindrukken, die 1,5 cm uit elkaar liggen⁷¹. Tevens is de buik van de pot besmeten. De pot heeft een harde bakking. Volgens Van den Broeke verdwijnt de tonvorm bijna in fase G-K ten gunste van drieledige profielen. Fase G begint vanaf 400 v. Chr. en fase K is te plaatsen in de late ijzertijd⁷². Recenter onderzoek heeft echter aangetoond dat tonvormen nog regelmatig voorkomen in de tweede helft van de midden-ijzertijd en de late ijzertijd⁷³.

Naast de potopbouw zijn er verder nog drie randvormen te bepalen. Deze hebben een afgeronde randvorm (fig. 7.2, 3, 4 en 5). Randvormen hebben echter een beperkte chronologische waarde⁷⁴.

In de kuil is verder nog een compleet spinsteeentje gevonden (fig. 7.2, 6). Het spinsteeentje met een hoogte van 1,4 cm en een diameter van 3,1 cm heeft een biconische vorm met een holle onderkant. De doorboring is cilindrisch.

In de late ijzertijd is een geringe toename in de hardheid te bespeuren⁷⁵. Op basis van de hardheid van de scherven uit de kuil is het zeer aannemelijk dat het aardewerk in de late ijzertijd dateert⁷⁶. Bij twee scherven uit de kuil zijn kleine holtes aanwezig, die ontstaan zijn bij het verdwijnen van een deel van de magering tijdens het bakproces. Deze kleine holtes worden regelmatig aangetroffen bij handgevormd aardewerk uit de late ijzertijd⁷⁷.

⁷¹ Volgens het recent gepubliceerde werk van Van den Broeke is het aanbrengen van losse nagel- of vingertopindrukken over grote vlakken of in rijen tot op de schouder karakteristiek voor deze tonvormige potten in fasen H-J. Deze fasen komen overeen met de periode 350-125 v. Chr.

⁷² Van den Broeke 1987b: 109.

⁷³ De Clercq e.a.: 252-253. Een karakteristiek voor het aardewerk van Denderbelle-Fonteyntje is de aanwezigheid van tonvormige, quasi volledig besmeten potten met zwak ontwikkelde lip. Een groot deel van het grove aardewerk is besmeten. De site is op basis van ¹⁴C-dateringen gedateerd in de 4de-3de eeuw. Hiddink 2005: 188.

In de site Sevenum-De Krouwel, die te dateren is in de laatste fase van de late ijzertijd komen tonvormen regelmatig voor. Persoonlijke mededeling Tina Dyselinck.

⁷⁴ Van den Broeke 2008. Tussen waardeloos en waardevol: een evaluatie van chrono-diagnostische aardewerkvariabelen voor Zuid- en Midden-Nederland (800 v.Chr. - 200 n.Chr.). Lezing Nationale Referentiecollectie op 17 december 2008, Amersfoort.

⁷⁵ Van den Broeke 1987b: 103.

⁷⁶ Ervaring is belangrijk in het herkennen van het verschil in hardheid in verschillende periode.

⁷⁷ Persoonlijke mededeling Tina Dyselinck.

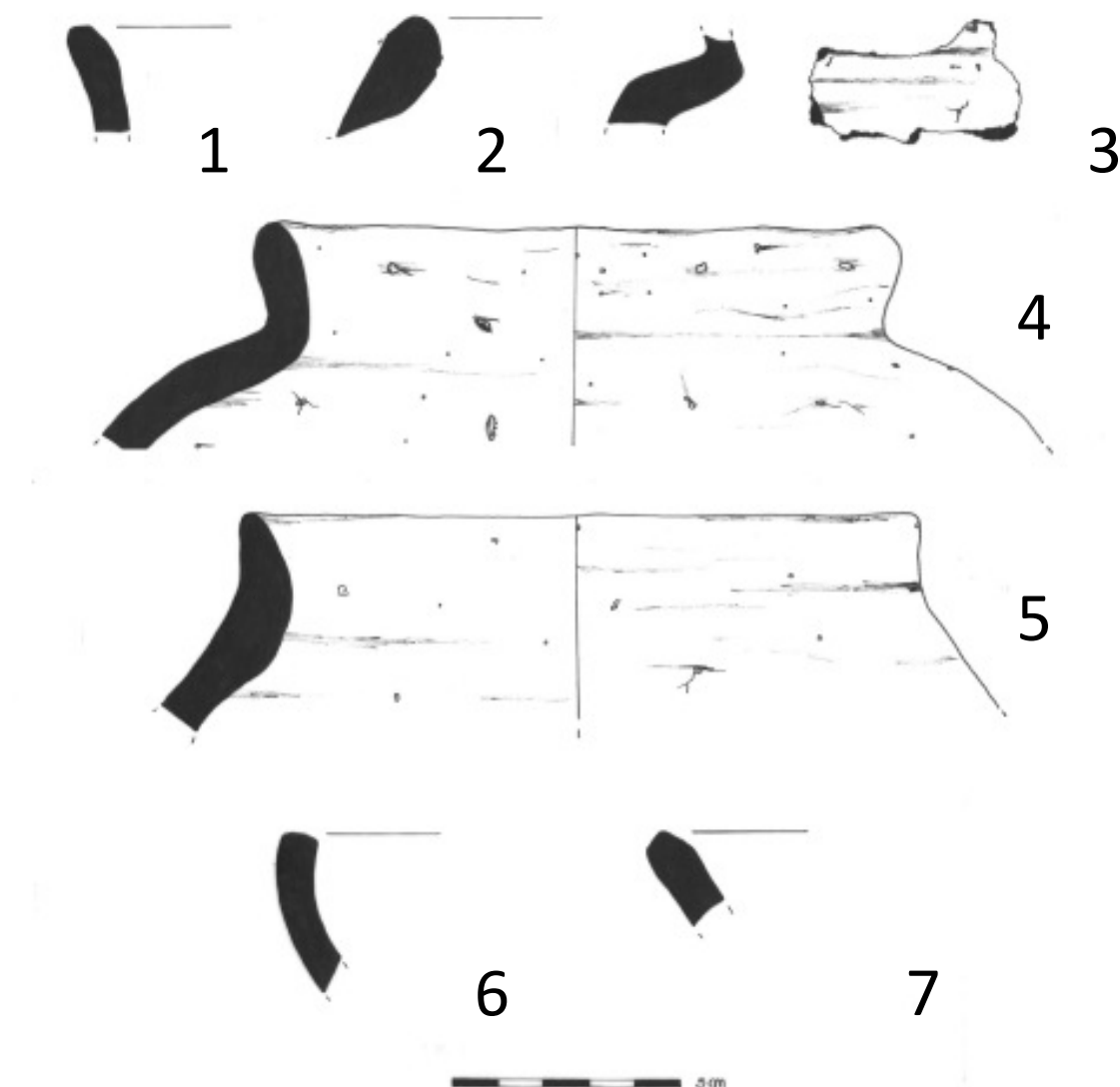


Fig. 7.1: De randscherven van het midden- tot late bronstijd aardewerk. De randen 3, 4 en 5 kunnen op basis van hun vorm in de late bronstijd gedateerd worden.

In de paalkuilen van structuur B4 zijn drie scherven aangetroffen die op basis van de hardheid van de scherven ook gedateerd kunnen worden in de late ijzertijd. Twee randscherven zijn afkomstig van een tweeledige pot met een lange schouder. De overgang van de schouder naar de buik is zacht. Vanaf deze overgang is de wand versierd met dekkende spatelindrukken. De rand is afgeplat (fig. 7.3, 1). De andere scherf heeft een versiering met parallelle groeven (fig. 7.3, 2). Versieringen met spatelindrukken en groeven worden meer gebruikt in de late ijzertijd in vergelijking met de midden-ijzertijd⁷⁸.

⁷⁸ Van den Broeke 1987b.

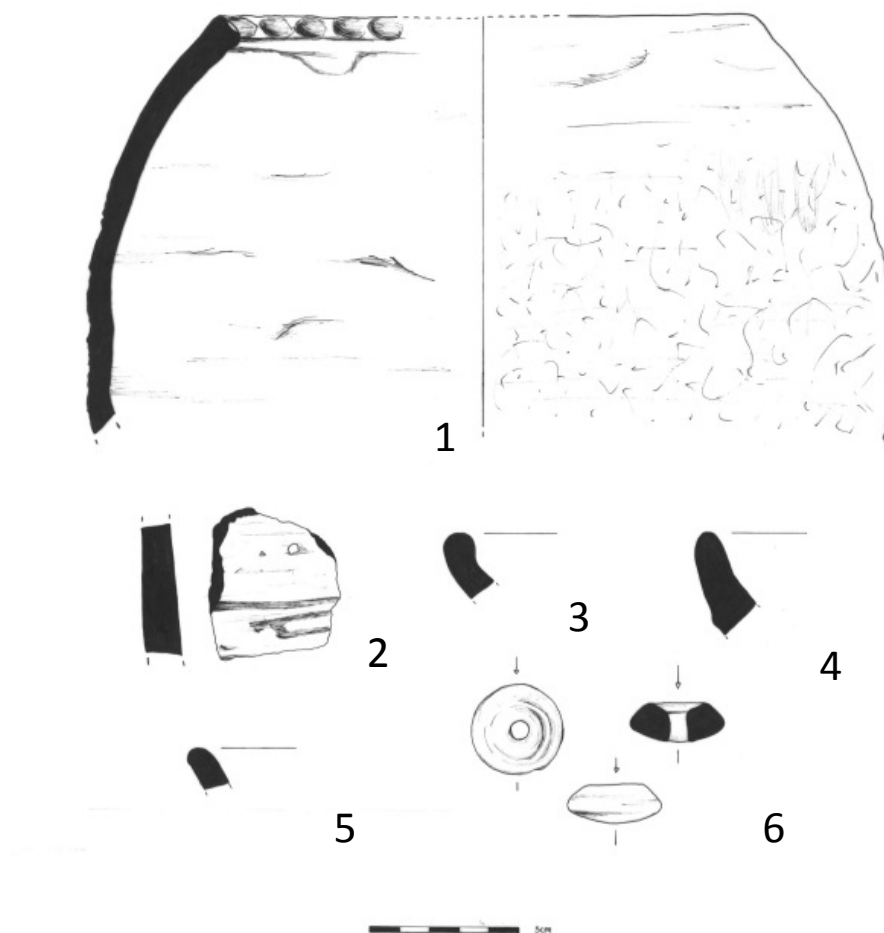


Fig. 7.2: Het handgevoemd aardewerk uit kuil 1787.

Een andere kuil met redelijk wat handgevoemd aardewerk (negen scherven en één fragment) is kuil 1474. Het betreft allemaal wandscherven, waarvan twee versierd zijn met parallelle groeven (fig. 7.4). Alle scherven zijn verschaald met potgruis. De meeste scherven hebben een glad oppervlak. Op basis van de hardheid en de kleine holtes in de scherf kan het aardewerk in de late ijzertijd gedateerd worden.

In twee paalsporen van structuur B5 is handgevoemd aardewerk aangetroffen dat op basis van het baksel niet nader gedateerd kan worden dan late bronstijd tot inheems Romeins. Eén van de scherven heeft een versiering van groeven in een kruisend patroon (fig. 7.5). De versiering met groeven komt ook voor bij de hierboven beschreven contexten.

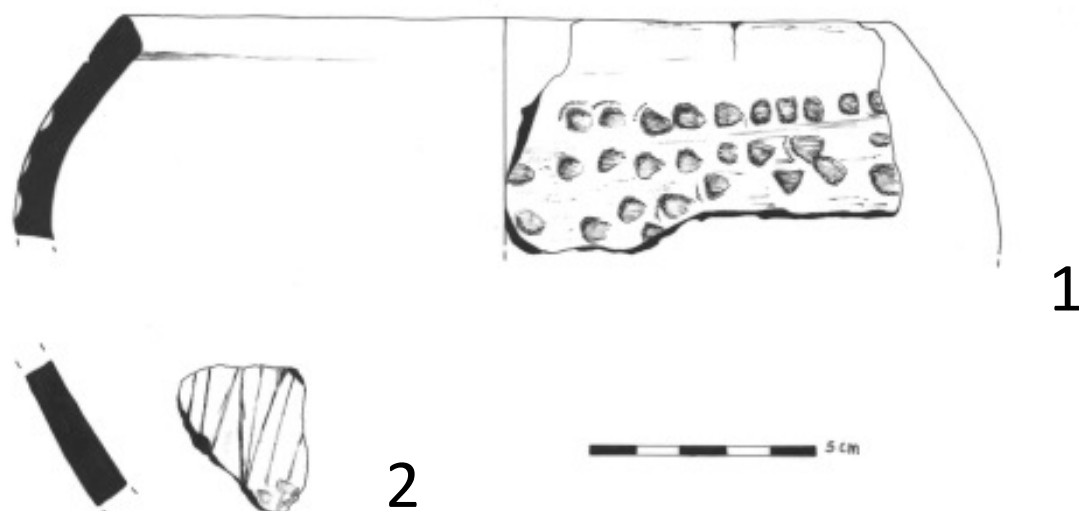


Fig.7.3: Het handgeformd aardewerk uit de paalsporen van structuur B4.

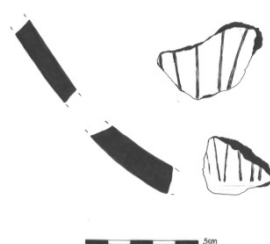


Fig. 7.4: De met parallelle groeven versierde scherven uit kuil 1474.

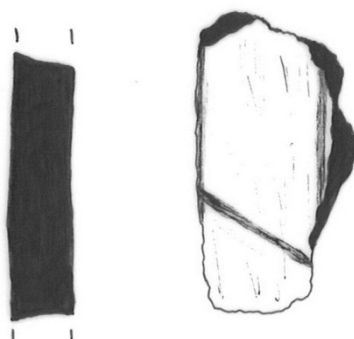


Fig. 7.5: Een met groeven versierde scherf uit S1423 behorende tot structuur B5. Schaal 1:1.

7.2 Studie van het laat-Romeins aardewerk

7.2.1 Inleiding en verwachtingspatronen

Het aardewerk uit de laat-Romeinse periode is, in tegenstelling tot het aardewerk uit de vroeg- en midden-Romeinse periode, minder goed gekend. Vooral de 5^{de} eeuw is een “dark age” binnen de archeologische (materiaal)kennis. Omdat een duidelijke beeld ontbreekt voor deze periode werd deze in het verleden ook moeilijk als dusdanig herkend zoals dit wel meer het geval is met aardewerk uit een transitieperiode.

De grote fractie verzorgd handgevormd materiaal doet voor een onge oefend oog soms ijzertijdachtig of vroeg-Romeins aan. Ook de vormschat speelt hierin zijn rol met vormen die sterk op de lokale handgevormde traditie zijn geënd of aansluiten bij de terra nigra-vormen uit hoofdzakelijk de 1^{ste} eeuw.

Door de moeilijk herkenbaarheid en het gebrek aan systematische studie, ontbreekt het de archeologie momenteel aan gedegen referentiewerken voor deze periode en dit niet alleen voor Vlaanderen maar ook voor de omliggende landen en regio's.

Door de belangrijke rol van regionaliteit en lokale traditie in de materiële cultuur zou het verkeerd zijn om Meldert af te toetsen aan enkele beter gekende sites uit West-Vlaanderen, Nederland of Duitsland. In een regionaal kader zijn de beste parallellen voor Meldert te vinden op sites uit de laat-Romeinse periode in de regio. Neerharen-Rekem⁷⁹ en Donk⁸⁰ zijn hiervoor de grote kanshebbers maar het eigenlijke vondstmateriaal is nooit afdoende gepubliceerd om een vergelijking tussen Meldert en deze twee sites mogelijk te maken.

Deze studie zal zich in het kader van dit rapport dan ook enkel toespitsen op het karakteriseren en documenteren van het in Meldert aangetroffen vondstmateriaal zonder hierbij een duidelijke spatiale referentie te leveren. Niet de onwil tot referentie en vergelijking liggen hier aan de oorzaak, maar eerder het gebrek aan het nodige materiaal.

7.2.2 Algemene kwantificatie en fragmentatie

In totaal werden 257 fragmenten Romeins aardewerk aangereikt voor verdere studie die afkomstig zijn uit 73 verschillende stratigrafische eenheden, verspreid over de westelijke zone van het plangebied. De fragmentatie per potdeel (tabel 7.1) toont dat ca. 20% van het materiaal als diagnostische fragmenten kan worden aanzien omdat zij ofwel de vormelijke kenmerken van een rand, oor of bodem in zich dragen die het mogelijk zou moeten maken om de fragmenten tot een typologische vorm te brengen.

⁷⁹ De Boe 1985.

⁸⁰ Van Impe 1983.

n sporen	n fragm	MAI	RF	WF	OF	BF
73	257	172	37	206	1	13

Tabel 7.1: Fragmentatie per potdeel en algemene kwantificatie.

De spreiding van de hoeveelheid fragmenten over de verschillende stratigrafische eenheden toont aan dat het materiaal sterk versnipperd voorkomt over de site (fig. 7.6). Slechts 20 stratigrafische eenheden bevatten meer dan vijf aardewerkfragmenten en slechts vijf daarvan bevatten meer dan 10 aardewerkfragmenten.

Naast statistische relevantie werd ervoor gekozen alle fragmenten in te delen volgens de basis aardewerkgroepen maar slechts deze contexten voor verdere studie te weerhouden die meer dan vijf aardewerkfragmenten bevatten. Analyses zijn dan op zijn minst mogelijk zonder een al te sterk vertekend beeld te bekomen.

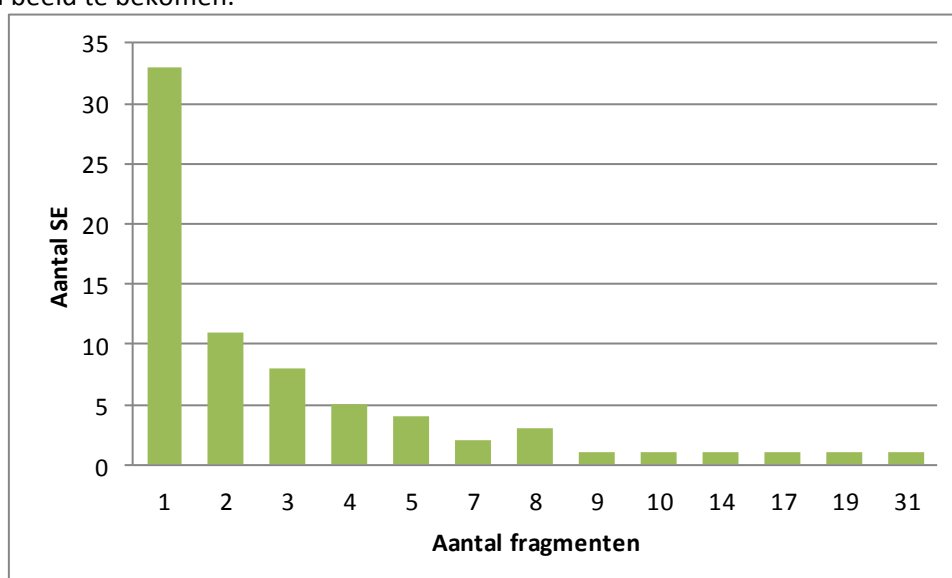


Fig. 7.6: Overzicht van de verdeling van de hoeveelheid aardewerkfragmenten per stratigrafische eenheid (n SE=72).

Belangrijke contexten naar site interpretatie toe kunnen zo niet weerhouden zijn binnen de verdere statistische analyse van de site doordat zij geen of te weinig aardewerkfragmenten bevatten. Deze komen echter verder in het aardewerkverslag aan bod wanneer de belangrijke te dateren contexten worden beschreven.

7.2.3 Beschrijving van de aanwezige aardewerkgroepen

Wanneer naast de absolute kwantificatie ook gekeken wordt naar de kwantificatie van de aanwezige aardewerkgroepen moet opmerkt worden dat het aardewerkassemblage zeer divers is opgebouwd (fig. 7.7).

Opvallend is het hoge percentage aan handgevormd aardewerk dat in zijn totaliteit maar liefst 23,7% (of 61 fragmenten) van het geheel uitmaakt. Het gedraaid aardewerk wordt onmiskenbaar

gedomineerd door het terra nigra-achtige aardewerk. Zogenaamde 'kwaliteitscategorieën' zoals terra sigillata en engobe waar vertegenwoordigen in het assemblage slechts 4,3% (of 11 fragmenten).

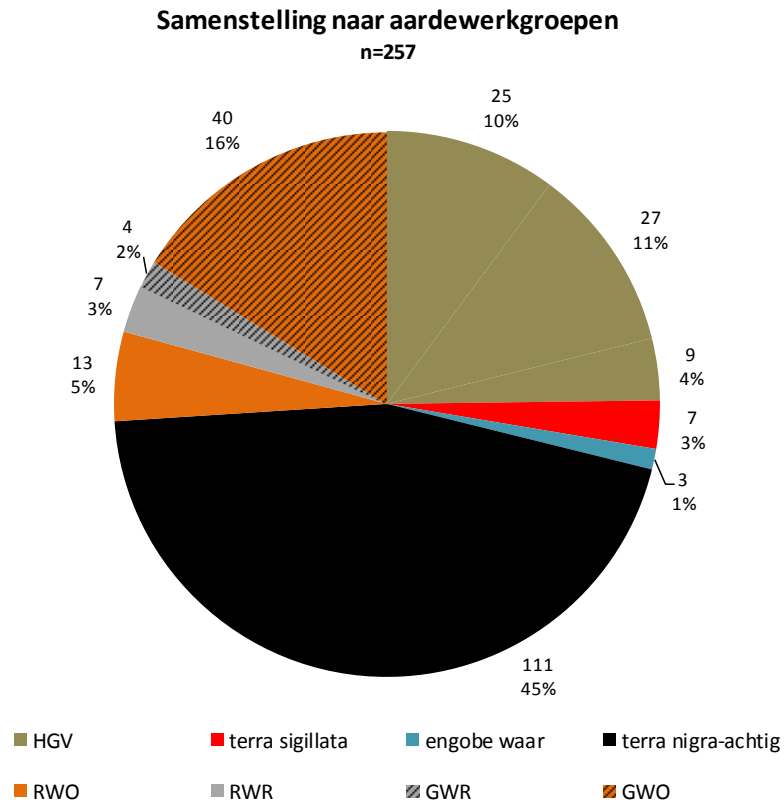


Fig. 7.7: Aardewerksamenstelling naar aanwezige aardewerkcategorieën binnen het Romeinse aardewerk.

Wanneer deze aardewerksamenstelling wordt bekeken voor de 20 geselecteerde stratigrafische eenheden (fig. 7.8) zet het algemene beeld zich verder. De variatie in aardewerkcategorieën is echter wel meer normaal verdeeld. Slechts één context (S1172) wordt gedomineerd door één enkele aardewerkcategorie met name het handgevormde aardewerk. Veelal komen er een drietal aardewerkcategorieën voor waarbij vrijwel steeds terra nigra-achtig aardewerk. Slechts in drie stratigrafische eenheden is deze aardewerkcategorie niet vertegenwoordigd.

Wanneer meer specifiek naar de afzonderlijke aardewerkgroepen wordt gekeken, is een dominantie van zowel handgevormd aardewerk (zes contexten) als het terra nigra-achtige aardewerk (negen contexten) op te tekenen.

Twee stratigrafische eenheden worden gedomineerd door ruwwandig aardewerk met hoofdzakelijk een oxiderende bakking ondanks deze in de gehele assemblage slechts beperkt voorkomen. Een verklaring hiervoor kan gezocht worden in het aard en de herkomst van dit materiaal waar bij de verdere bespreking verder zal op worden ingegaan.

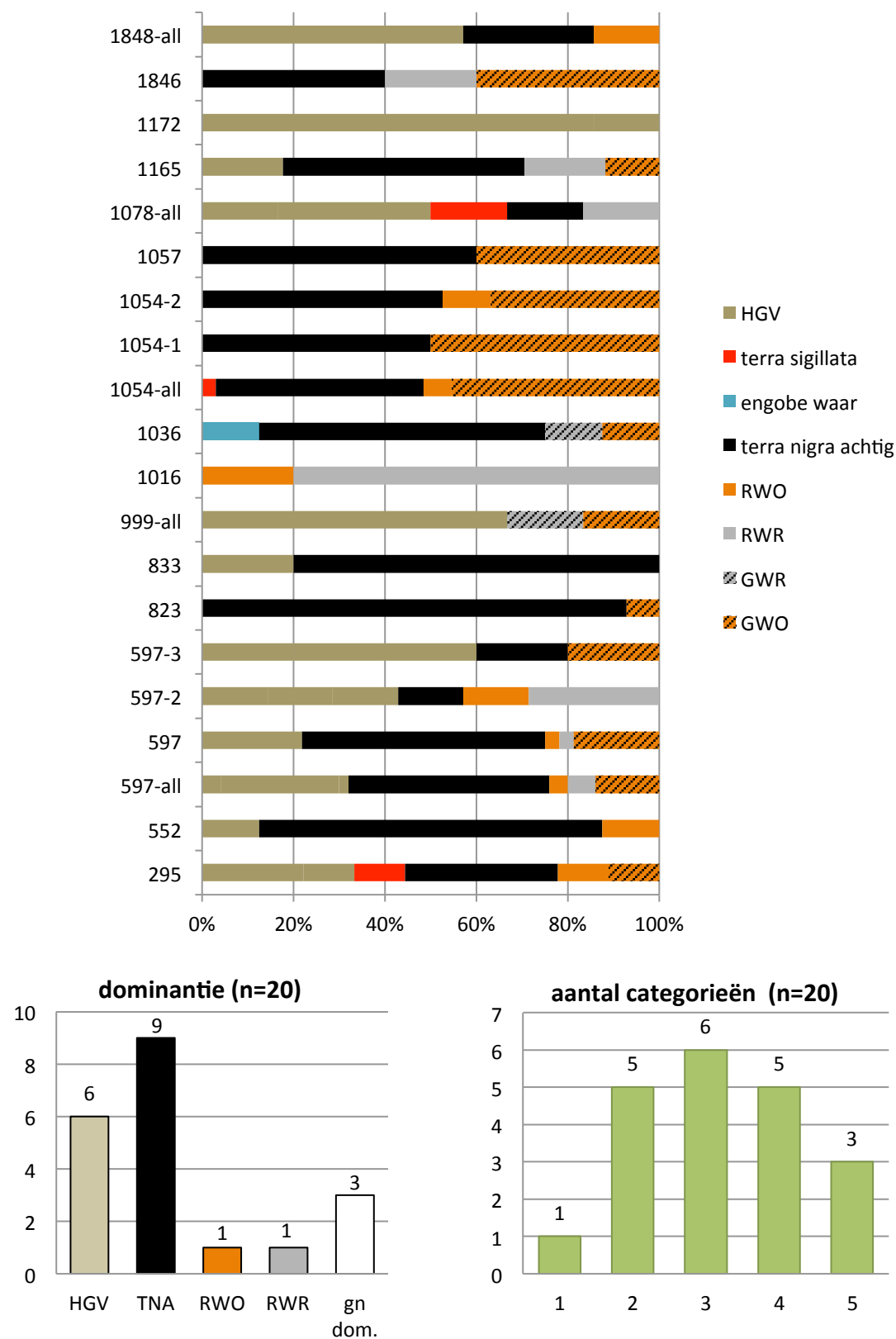


Fig. 7.8: Overzicht van contextsamenstelling naar (dominante) aardewerkgroep.

Hieronder worden de belangrijkste en best vertegenwoordigde aardewerkgroepen in meer detail besproken.

7.2.3.1 Terra Sigillata (TS)

Slechts zeven fragmenten zijn toe te schrijven aan deze vondstcategorie. Opmerkelijk is dat ieder afzonderlijk fragment afkomstig is van een andere stratigrafische eenheid. Slechts drie van deze acht contexten bevatten meer dan vijf aardewerkfragmenten. De fragmentatie in deze categorie ligt erg hoog. In totaal zijn twee partiële randen, twee versierde wanden, twee onversierde wanden en twee quasi geheel profielen aangetroffen. Alle fragmenten behoren tot de bakselgroep van de Argonnengroep die gekend wordt door de aanwezigheid van een eenvoudig lossend slib. De verschillende ateliers zijn moeilijk macroscopisch van elkaar te onderscheiden op basis van de fabric.

Vijf fragmenten behoren typologisch gezien tot het type Chenet 320⁸¹. Andere in de literatuur gebruikte vormreferenties zijn: Gellep 34⁸² en Alzei 1⁸³. Het betreft in alle gevallen exact hetzelfde komtype dat gekenmerkt wordt door de zijn half bolvormig profiel de verdikte rand en de buikzone die versierd is door radstempelversiering. Van de toegeschreven fragmenten (fig. 7.9) zijn de volgende fragmenten herkend: drie randen, één met radstempelversiering gedecoreerde wand en een quasi volledig profiel. Enkel dit laatste profiel werd ter verduidelijking getekend in het aardewerkoverzicht fig. 17-2.



Fig. 7.9: Overzicht van de terra sigillata vondsten uit Meldert van het type Chenet 320.

⁸¹ Chenet 1941: 69.

⁸² Pirling & Siepen 2006: 63.

⁸³ Unverzagt 1976: 17.

Het type is een verdere evolutie van de Dragendorff 37 kom met reliëfversiering die de meest courante versierde vorm was in de midden-Romeinse tijd. In de laat-Romeinse periode gaat deze reliëfversiering compleet verloren en wordt deze vervangen door een meer eenvoudige versiering van randstempels. Het type is een gidsfossiel voor de 4^{de} en het begin van de 5^{de} eeuw en kan op basis van de kenmerkende randstempelversiering veelal nog nauwkeuriger worden gedateerd.

Op basis van het overzicht van de producten en hun radstempels door Chenet⁸⁴ en Unverzagt⁸⁵ is deze verdere verfijning in datering mogelijk. Dit overzicht lag aan de basis van het daterend werk van Hübener die de radstempels in datering nog verder wist te verfijnen door te werken met verschillende radstempelgroepen.

Op het kleinste fragment (fig. 7.10) met radstempelversiering is afkomstig uit S22 en bevat de restanten van minimaal vier rijen radstempelversiering. De bovenste en de onderste rijen zijn door randslijtage van het stuk niet meer te herkennen. De vorige twee rijen behoren respectievelijk tot de radstempels UC 51 en UC 151 die beide en herkomst uit het atelier van Avocourt 3⁸⁶. De radstempelversiering zelf kan gerekend worden tot de Hübener Gruppe 5 wat een datering mogelijk maakt tussen 360 en 395 n.Chr.⁸⁷.



Fig. 7.10: Fragment 'radjes' sigillata uit spoor 22.

Het grootste fragment met decoratieve versiering en tevens het meest representatieve stuk voor dit type werd aangetroffen in spoor 1054. Op het stuk zijn nog maar liefst vijf rijen rolstempel bewaard die allen van elkaar gescheiden worden door een smalle onversierde zone. De verwerking van het oppervlak maakt het moeilijk de gehele decoratie te duiden maar door het repetetieve karakter lijkt het mogelijk in alle vijf de rijen hetzelfde patroon te herkennen.

⁸⁴ Chenet 1941.

⁸⁵ Unverzagt 1976: Tafel III.

⁸⁶ Brulet e.a. 2010: 230.

⁸⁷ Pirling & Siepen 2006: 64; Hübener 1968: 279.

De stempel vertoont grote gelijkenis met het radstempel nr. 2 aangetroffen te Alzei⁸⁸ en komt in het overzicht van Chenet niet voor. Bij de stempelgroepen van Hübener behoort kan deze stempel niet eenduidig worden ingedeeld door het gemengde karakter van de motieven in de individuele stempel. Een datering voor dit stuk kan op basis van de datering van de individuele elementen mogelijk in het midden van de 4^{de} eeuw geplaatst worden⁸⁹.

Het enige fragment dat aan een andere typologische vorm kan worden toebedeeld is het randfragment (fig. 17-1.) van een bord- of schotelvorm uit spoor 295 (Hu 2). Het betreft een randfragment van het type Chenet 306⁹⁰. Het bordtype heeft een stijl uitstaande wand en een rand en lip die loodrecht naar binnen zijn geplooid. Exact hetzelfde type staat in de literatuur ook gekend als het type Gellep 40⁹¹ of Alzei 10⁹². Algemeen wordt dit bord aanzien als de opvolger van het eenvoudige hemisferische bord Drag. 32. Het bordtype startte vrij komvormig en werd doorheen de tijd steeds stijler en ondieper. De datering van dit stuk kan op basis van typologische kenmerken het best geplaatst worden in de loop van de 4^{de} of in het begin van de 5^{de} eeuw.

Tot slot kon een enkel, sterk verweerd en gefragmenteerd fragmentje terra sigillata worden herkend in spoor 1039 waarvoor verder toewijzing niet mogelijk is.

7.2.3.2 Dunwandig grijs gedraaid (terra nigra achtig materiaal; TNa)

Onder de term terra nigra-achtig (D. *terra nigra-ähnlich*) aardewerk wordt een categorie van grijs fijnwandig gedraaid aardewerk bedoeld die in de meeste gevallen sterk aanleunt bij de vormenschat van de terra nigra die vooral uit de vroeg-Romeinse periode gekend is. In sommige gevallen, en zeker in de laat-Romeinse periode, komen er naast schijfproducten ook vrijgevormde of traag nagedraaide varianten voor die onder dezelfde noemer worden geclassificeerd.

In totaal omvat deze categorie maar liefst 111 fragmenten met over het algemeen een matige tot lage fragmentatiegraad.

De baksels zijn zeer uiteenlopend zowel naar kleur, inclusies, hardheid en breuk dat weinig zinvolle uitspraken kunnen worden gedaan naar herkomst zonder voortgezet onderzoek⁹³. Preliminair resultaten wijzen erop dat een belangrijk deel van het materiaal lokaal of regionaal moet zijn vervaardigd en een deel mogelijk geïmporteerd werd uit de Argonnen samen met de eerder beschreven terra sigilla.

⁸⁸ Unverzagt 1976: Tafe III-2.

⁸⁹ Pirling & Siepen 2006: 63-64.

⁹⁰ Chenet 1941: 59.

⁹¹ Pirling & Siepen 2006: 72-73.

⁹² Unverzagt 1976: 19.

⁹³ De studie van deze terra nigra-achtige baksels en hun vormenschat vormt, naast het handgevormd aardewerk, één van de speerpunten van het eerder genoemde internationale onderzoeksproject.

In totaal konden op 111 fragmenten, twee quasi volledige individuen worden herkend waarvan één archeologisch compleet. Naast deze twee profielen die als rand zijn opgenomen in de inventaris omvat de assemblage nog één standvoetfragment en 14 randen waarvan er zich vijf in de waterkuil (S597) bevinden en drie in een kelderkuil (S1165). Het meest volledig bewaarde exemplaar bevindt zich in spoor 1096 en draagt duidelijk de sporen van een ander individu dat tijdens de bakking de onderzijde heeft afgedekt zodat de onderzijde oxiderend gebakken is (fig. 7.11).



Fig. 7.11: Het archeologisch volledige individu uit spoor 1096.

Zo divers als het bakselspectrum binnen deze aardewerkcategorie is, zo beperkt is de typologische variatie. Alle 16 randen (bevatten ook het archeologische volledige en het quasi volledige individu) behoren tot de breedgedateerde Chenet 342 variant⁹⁴. Deze brede datering die al start in de 3^{de} eeuw en doorloopt tot in de 5^{de} eeuw is grotendeels het gevolg van het gebrek aan aandacht voor

⁹⁴ Chenet 1941.

(kleinere) typologische verschillen binnen dit vormtype en een al te snelle toekennen aan het meest geciteerde vormtype waardoor een onevenwichtig beeld is ontstaan van de standvoetkoppen uit deze periode. De diversiteit van deze vorm wordt duidelijk geïllustreerd door de variatie die voorkomt binnen het grafveld van Krefeld-Gellep (fig. 7.12)⁹⁵.

Verder onderzoek naar een beter begrip van deze vondstcategorie met het oog op een betere datering van de standvoetkoppen in deze periode is daarom noodzakelijk⁹⁶.



Fig. 7.12: Variatie in het Chenet 342 type aangetroffen in het grafveld van Krefeld-Gellep.

Naast standvoetkoppen kon een enkel profiel, waar spijtig genoeg de rand van ontbreekt, met zekerheid worden toegekend aan een kruik. Na samenstelling van de scherven uit kelderkuil S1165 konden een groot deel van deze kruikvorm worden gerecupereerd, samen met de fragmenten van tenminste twee standvoetkoppen. De fragmentatie in tegenstelling tot de rest van de site ligt in deze context dermate laag dat gedacht moet worden aan een eventuele primaire depositie van drankset bestaande uit twee koppen en een kruik of kan.

De kan zelf kon moeilijk verder tot een specifiek type worden gebracht omdat zowel het oor als de rand hiervoor van cruciaal belang zijn. Eventueel opvallend voor het profiel is wel een bolbuikige vorm met een licht ingesnoerde hals die van de buik wordt gescheiden door een kleine horizontale groef.

⁹⁵ Pirling & Siepen 2006. Een typologische variëteit binnen de standvoetkoppen wordt gegeven door de types Gellep 252, 273, 274 en 654. Afbeelding uit Heidinga & Offenbergh 1992: 6.

⁹⁶ Clerbaut in prep.

7.2.3.3 Ander gladwandig aardewerk (GWO en GWR)

In totaal konden nog 44 andere fragmenten van gladwandig aardewerk worden aangetroffen waaronder zich geen noemenswaardige diagnostische stukken bevonden. Mogelijk is al dit materiaal van lokale oorsprong. Slechts 4 fragmenten konden worden toegeschreven aan een gladwandig reducerend baksel. De overige fragmenten bestonden uit een oranjekleurig oxiderend baksel. Het lage aandeel van lokaal grijs kan eenvoudig verklaard worden door de grote aanwezigheid van grijskleurig terra nigra-achtig materiaal.

7.2.3.4 Ruwwandige reducerend aardewerk (RWR)

Verspreid over 10 sporen komen in totaal 17 fragmenten ruwwandig reducerend aardewerk voor. Slechts drie zogenaamde diagnostische fragmenten konden worden herkend in de vorm van een rand, een rand met oor en een bodem. Alle drie deze stukken (fig. 7.13) werden aangetroffen in de waterkuil (S597). De rand is fragmentarisch maar kan toch nog worden toebedeeld aan een kookpot met dekselgeul van het type Alzei 27⁹⁷ type H of K. Het stuk is op deze manier te dateren in het midden van de 4^{de} eeuw⁹⁸. Naast deze ene rand komt nog een andere partiële rand voor die tevens de aanzet van een tweeledig oor bevat. Dit stuk kan typologisch worden teruggebracht tot een oorpot of kan van het type Alzei 30⁹⁹ met een gelijkaardige datering als de kookpot in de 4^{de} eeuw¹⁰⁰. Tot slot kon nog een aanzet tot een vlakke bodem worden herkend, die niet verder tot type kon worden gebracht.



Fig. 7.13: Diagnostische fragmenten binnen het ruwwandig reducerend aardewerk, alle afkomstig uit de waterkuil (S597).

Qua baksels is deze groep vrij uniform en bevat het minder variatie in kernkleur en inclusies dan bij het oxiderend ruwwandig materiaal. Met grote zekerheid kunnen alle stukken worden toegeschreven aan de productie van Mayen¹⁰¹.

⁹⁷ Unverzagt 1976: 34.

⁹⁸ Brulet e.a. 2010: 415-418.

⁹⁹ Unverzagt 1976: 35.

¹⁰⁰ Brulet e.a. 2010: 418.

¹⁰¹ Brulet e.a. 2010: 420-422.

7.2.3.5 (Lokaal?) ruwwandige oxiderende waar (RWO)

Verspreid over 12 verschillende contexten werden in totaal 13 fragmenten ruwwandig oxiderend aardewerk aangetroffen. Deze cijfers samen met de grote fragmentatiegraad van het aardewerk duiden op een beperkt aandeel en de mogelijke residualiteit van deze aardewerkcategorie binnen het laat-Romeinse vondstassemblage.

In totaal konden naast acht wandfragmenten nog vier randen en één bodem worden onderscheiden.

Spoor 295 (Hu 2) bevat een fragmentaire en afgeschampt randprofiel van een Alzei 27 type H of I¹⁰². Het ruwwandige baksel van deze kookpot met dekselgeul kan in dit geval met zekerheid worden toebedeeld aan een Eifelimport uit de ateliers van Mayen¹⁰³. Op basis van deze gegevens kan het stuk hier het best gedateerd worden tussen 300 en 375 n.Chr.¹⁰⁴. Ook spoor 1016 bevat een slecht bewaarde kookpotrand tot hetzelfde baksel en vormtype behoort als deze uit S295.

Een tweede beter bewaarde rand (fig. 17-3) is deze van een oorpot of kan afkomstig uit de waterkuil (S597). De aanhechtingsplaats (fig. 7.14) van een mogelijk tweeledig oor is nog duidelijk zichtbaar maar het eigenlijk oor is volledig weggebroken. Ook dit stuk is net als het eerste afkomstig uit de ateliers van Mayen en kan mogelijk worden toebedeeld aan het type Alzei 30 type D dat gelijktijdig gedateerd met het eerder beschreven kookpotrand. Ook een fragmentaire rand van dezelfde typologische vorm werd aangetroffen in spoor 1054.



Fig. 7.14: Zicht op de aanhechtingsplaats van het oor bij de rand van het type Alzei 30.

Tot slot kon in spoor 1848 nog een quasi volledig bewaarde bodem worden aangetroffen (fig. 7.15). Het betreft een vlakke bodem die aan de binnenzijde licht concex is door de draairillen. Het is echter

¹⁰² Unverzagt 1976: 34; Brulet e.a. 2010: 415.

¹⁰³ Brulet e.a. 2010: 420-421.

¹⁰⁴ Brulet e.a. 2010: 418.

zeer moeilijk om een dergelijk uniforme bodem te linken aan een speciaal type. De toewijzing van het baksel aan de productie van Mayen laat echter wel een datering in de 4^{de} eeuw toe¹⁰⁵.



Fig. 7.15: Het ruwwandig oxiderend bodemfragment aangetroffen in S1848.

In deze aardewerkgroep komen duidelijk verschillen voor naar baksel zowel naar kleur van de kern als naar inclusies toe, waardoor niet alle fragmenten met zekerheid aan de Mayense productie kunnen worden toegeschreven. Sommige stukken vertonen grote gelijkenissen met het oxiderend ruwwandig aardewerk uit de Midden-Romeinse tijd dat in Maasmechelen talrijk wordt gevonden in 3^{de}-eeuwse contexten. Mogelijk gaat het hier om een regionaal baksel dat gebruik maakt van de kwartsietbronnen uit de Maasregio als verschraling¹⁰⁶. Een gedetailleerde bakselstudie van deze categorie moet in de toekomst de grenzen tussen de verschillende bakfels nog scherper helpen stellen en de herkomst uitwijzen van de verschillende bakfels.

7.2.3.6 Import handgevormd aardewerk (HGV+TGA red.)

Zeer opmerkelijk is de aanwezigheid van 27 fragmenten handgevormd materiaal dat licht lijkt nagedraaid of afgeglad. Het betreft allemaal wandfragmenten met uitzondering van een volledig bodem (fig. 7.16) die aan het licht kwam in spoor de waterkuil (S597-5). Het bakfel heeft zowel aan het oppervlak als in de breuk een egaal donkergrijze kleur. Het bakfel is hard en verschrald met in grootte variërende fragmenten grijze rots. Een dergelijke bakfel kon niet worden herkend in de bakfels uit de protohistorie op de site. Dankzij de expertise van prof. Wim De Clercq kon dit bakfel uiteindelijk worden toegeschreven aan een groep van handgevormd aardewerk uit het Noord-Germaanse gebied. De grote afstand die het aardewerk heeft afgelegd stemt tot nadenken. Werd het aardewerk ingevoerd om zijn inhoud? Of brachten mensen uit dit gebied hun eigen huisraad mee?

¹⁰⁵ Brulet e.a. 2010: 420-421.

¹⁰⁶ Site Maasmechelen-Mottekamp, Clerbaut 2012: in prep.



Fig. 7.16: Bodemfragment van gelimpteerd aardewerk in handgevormde traditie.

7.2.3.7 Lokaal handgevormd aardewerk (HGV)

In totaal konden 34 fragmenten handgevormd aardewerk worden ingezameld. Het gaat in hoofdzaak om fragmenten met een zandige magering met chamotte of een magering van fijne stukjes afgerond kwartsiet al dan niet in combinatie met chamotte.

Onder alle fragmenten kon geen enkel diagnostische scherf worden ingezameld. Dit heeft de typologische studie en de mogelijke datering van deze categorie bemoeilijkt, hoewel deze nochtans een belangrijk percentage inneemt van de totale assemblage. Roetsporen op sommige scherven wijzen mogelijk in de richting van het functionele gebruik als kookpot.

7.2.4 Conclusies omtrent het Romeinse aardewerk

Eerst en vooral moet worden herhaald dat de hierboven gepresenteerde resultaten slechts het resultaat zijn van een eerste studie die in de nabije toekomst verder zal worden uitgewerkt.

Ter overzicht worden de belangrijkste typologische vormen voor de site van Meldert nogmaals samen afgebeeld (fig. 7.17). Naar datering toe is een algemene datering in de 4^{de} en de eerste helft van de 5^{de} eeuw naar voren te schuiven. Het beperkte aantal terra sigillata dat enkel als kleine kom met radstempelversiering, dan wel als schotel voorkomt; staat in schril contrast met de grote hoeveelheid terra nigra-achtig aardewerk dat typologisch vooral bestaat uit standvoetkoppen en een enkele kruik.

Naast de terra sigillata, afkomstig uit de Argongen, en een deel van het terra nigra-achtig aardewerk konden andere importen worden herkend in de vorm van ruwwandige Eifelwaar en handgevormd Noord-Germaans aardewerk. De aanwezigheid van aardewerk uit de Argonnen en de Eifel hoeft niet te verbazen door de relatief korte afstand tot de site voor deze periode. De import van Noord-Germaans materiaal uit het noorden van Duitsland of zelfs het zuiden van Denemarken doet echter wel vragen rijzen. Kan dit aardewerk geplaatst worden in de germanisering van het MDS-gebied?

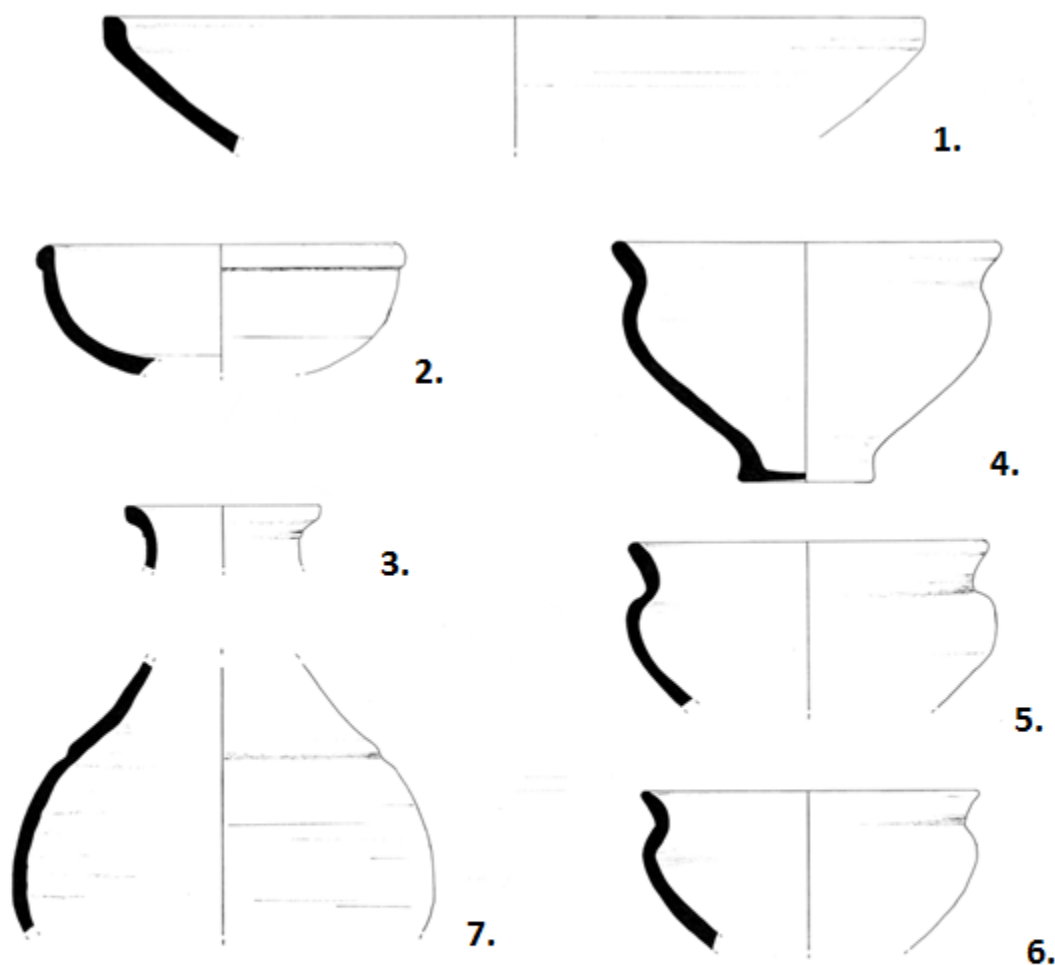


Fig.7.17: Algemeen overzicht van de ceramische vondsten van Meldert.
1-2: terra sigillata ; 3: Eifelwaar ; 4-7: terra nigra-achtig aardewerk

Hoofdstuk 8 Studie van het bouwceramisch materiaal

Tim Clerbaut

8.1 Inleiding tot het ceramische bouw materiaal in de Romeinse periode

Eén van de grootste vondstcategorieën binnen het Romeinse vondstenspectrum wordt ingenomen door een breed gamma aan bouwceramisch materiaal. Deze categorie die weinig tot de verbeelding spreekt, is veelal vertegenwoordigd door een bulk aan materiaal. Het grote volume en de grote fragmentatiegraad maken daarenboven dat de inzameling van deze categorie op het terrein in de vele gevallen slechts gedeeltelijk of zelfs niet gebeurt. Toch biedt ook deze materiaalcategorie een schat aan informatie over de bewoningspatronen op een Romeinse site. Onderzoek gebundeld door Alan MacWhirr¹⁰⁷ toont enkele van de mogelijkheden hoe de studie van bouwceramisch materiaal kan bijdragen tot een beter begrip van de socio-economische organisatie van een onderzochte site en wat technische kenmerken en vormenschat kunnen bijdragen. Typochronologisch onderzoek door Peter Warry¹⁰⁸ toont aan dat bouwceramisch materiaal ook een waarde heeft als dateringselement. Voorzichtigheid is steeds geboden bij extrapolatie van een Britse studie naar het Europese vasteland maar de bruikbaarheid ervan werd ook in Vlaamse context reeds aangetoond¹⁰⁹.

8.2 Methodologie en onderzoeksdoel

8.2.1 Methodologie

Een vaste methodologie voor de studie van bouwceramisch materiaal bestaat vooralsnog niet. Zinnige parameters en daarop geijkte registratiefiches zijn te vinden in de studie van Peter Warry¹¹⁰ al is deze voor de studie van een beperkte, sterk gefragmenteerde, assemblage als deze van Meldert veelal te complex en gedetailleerd voor een vlotte toepassing. Omdat binnen de studie van het assemblage de nadruk gelegd wordt op een *assessment* van het aanwezige materiaal werd gekozen om gebruik te maken van een eenvoudig en efficiënt te gebruiken registratiefiche die de meest voor de hand liggende parameters weet te bundelen. Hierbij wordt getracht door te werken met contextfiches een beter begrip te krijgen van het aanwezige materiaal en het aanwezige onderzoekspotentieel.

¹⁰⁷ MacWhirr 1979.

¹⁰⁸ Warry 2006.

¹⁰⁹ Ongepubliceerde gegevens Sofie Vanhoutte (OE) op de site van het castellum van Oudenburg.

Mondelinge mededeling Kristine Magerman (Agilas vzw, KULeuven) voor het materiaal van de vicus van Asse.

¹¹⁰ Warry 2006.

In de eerste plaats wordt er een vormelijk onderscheid gemaakt tussen enkele duidelijk van elkaar te onderscheiden categorieën. Deze omvatten grosso modo voor de site van Meldert de categorie van de dakpannen, de categorie van de tegels en de categorie van de *tubuli*. Op de meeste sites, net als in Meldert, is vooral deze eerste categorie dominant aanwezig. Deze categorie van de dakpannen kan voor Meldert nog verder worden opgedeeld in twee subcategorieën met enerzijds de halfronde dakpannen of *imbrices* en anderzijds de vlakke daktegels of *tegulae*. Deze laatste onderscheiden zich van de standaard tegel door de aanwezigheid van een opstaande rand of flens die als aangrijppunt dient voor de halfronde *imbrices* die de ruimte tussen de vlakke daktegels dient te dichten.

Per (sub)categorie werd het materiaal per context gekwantificeerd door het gewicht en het aantal per fragmenttype te noteren. Deze informatie werd aangevuld met eventuele informatie over de aanwezigheid van merken, stempels of andere bijzonderheden. Waar relevant werden maten (veelal diktes) ter onderlinge vergelijking van de stukken genoteerd. Bij diagnostische stukken zoals randen werd de fiche aangevuld met een eenvoudige profieltekening op schaal 1/3.

8.2.2 Onderzoeksdoel en -vragen

In de eerste plaats wordt met deze studie getracht een eerste assesment te geven van het bouwceramisch materiaal aangevuld met een gedegen basisregistratie die het toe laat het assemblage van Meldert in de toekomst nog verder te bestuderen of ter vergelijking op te nemen voor andere sites.

Door systematisch studie van typonchronologische, statistische en technische kenmerken van het aangetroffen bouwceramiek zal getracht worden aandacht te besteden aan de aanwezige vormenschat, de lokale component van de productie en het eventuele gebruik en herbruik van het bouw materiaal op de site.

8.3 Vormenschat en kwantificatie

De vormenschat binnen de Romeinse bouwceramiek in het Romeinse thuisland is vrijwel eindeloos door de rijke steenbouwtraditie waarbij bouwceramiek een soms noodzakelijke, maar veelal goedkoper vervangmiddel was voor steenmateriaal.

Het gebruik van bouwceramiek in onze gewesten wordt geïntroduceerd door de militaire aanwezigheid in onze streken vanaf Augustus en kent een snelle adaptatie voor een klein aantal vormen, met name de daktegels (*tegulae* en *imbrices*), de (hypocaust)tegels, de *tubuli* en de bakstenen of *testae*.

Met uitzondering van de *testae*, konden alle voorgenoemde vormen in Meldert worden herkend (fig. 8.1). Duidelijk dominant, mede door hun goede herkenning, zijn de daktegels of *tegulae* die 65% uitmaken van het herkend aantal minimaal individuen (MAI). Een vierde van het materiaal bestaat uit gebogen dakpannen of *imbrices*. De overige 10% wordt ingenomen door tegels en *tubuli*. De aanwezige *tubuli*-fragmenten zijn op een rurale site als Meldert eerder zeldzaam. Twee duidelijk frontale stukken zijn voorzien van kamstramstrepn om pleisteraanhechting mogelijk te maken (fig. 8.2).

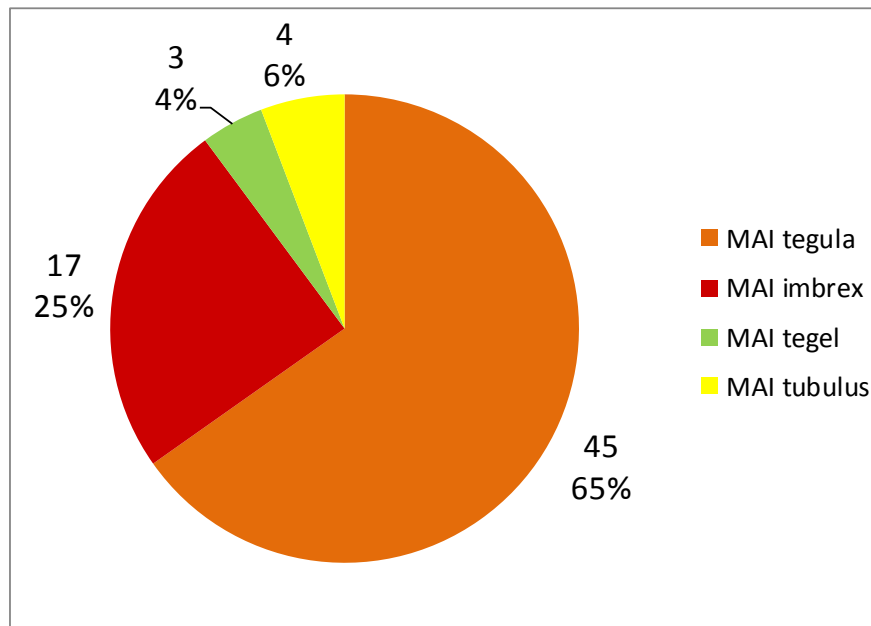


Fig. 8.1: Taartdiagram met de verdeling volgens vormtype (n=69).

Naar een beter begrip van de site toe is het interessanter om deze indeling te volgen op spoorniveau (fig. 8.2).

Spoor 275 (WP 2) springt meteen in het oog door enerzijds het grote aantal individuen en anderzijds de grote spreiding in vormcategorieën. Vermits de vulling van de waterput deels bestond uit een pakket dat als filterlaag geïnterpreteerd werd en dat veel bouwceramisch materiaal bevatte, hoeft dit niet te verbazen. De samenstelling is wel significant met de aanwezigheid van (hypocaust)tegels en *tubuli*. Het lijkt dan ook dat de stortlaag in de waterput afkomstig is van een afbraakpakket.

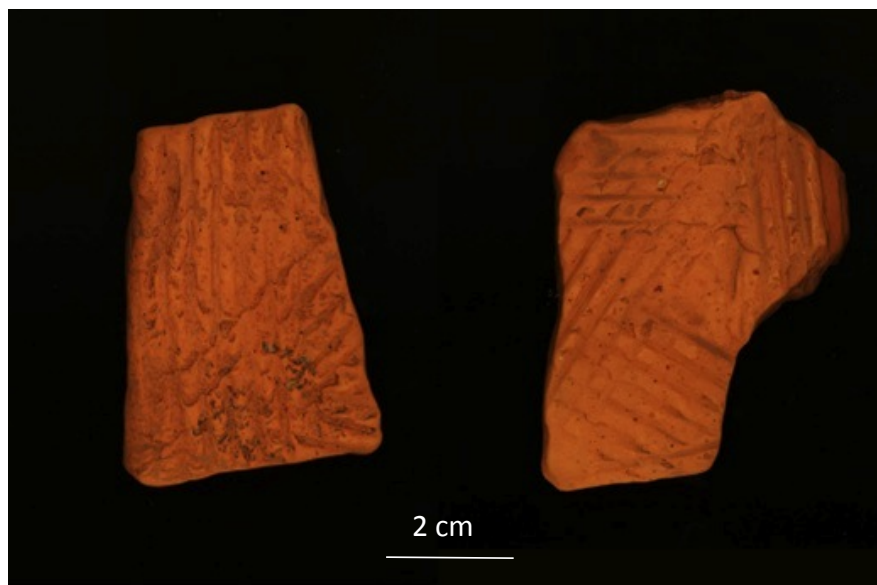


Fig. 8.2: Tubulifragmenten met duidelijke kamstrepen – schaal 1/3.

Het bouwceramisch materiaal uit hutkom spoor 285 (WP2) is vooral interessant door de aanwezigheid van een element van een *tubulus*. Doordat hutkommen regelmatig in verband worden gebracht met artisanale activiteit¹¹¹ is het niet onwaarschijnlijk dat ook dit fragment tijdens een artisanale activiteit werd gebruikt, mogelijk als schouw.

In kuil 999 (WP 6) bevonden zich naast enkele fragmentaire stukken *imbrices* zich ook een groot massief stuk van een tegel. Mogelijk werd deze tegel, die normaliter werd gebruikt als hypocausttegels, omwille van zijn vorm herbruikt voor andere doeleinden.

Bij de kwantitatieve benadering van het bouwceramisch materiaal kan naast aantallen ook gewerkt worden met gewichtindicaties. Voor de verschillende vormcategorieën werden per spoor alle fragmenten gewogen en weergegeven in een grafische voorstelling (fig. 8.3 tot en met 8.6).

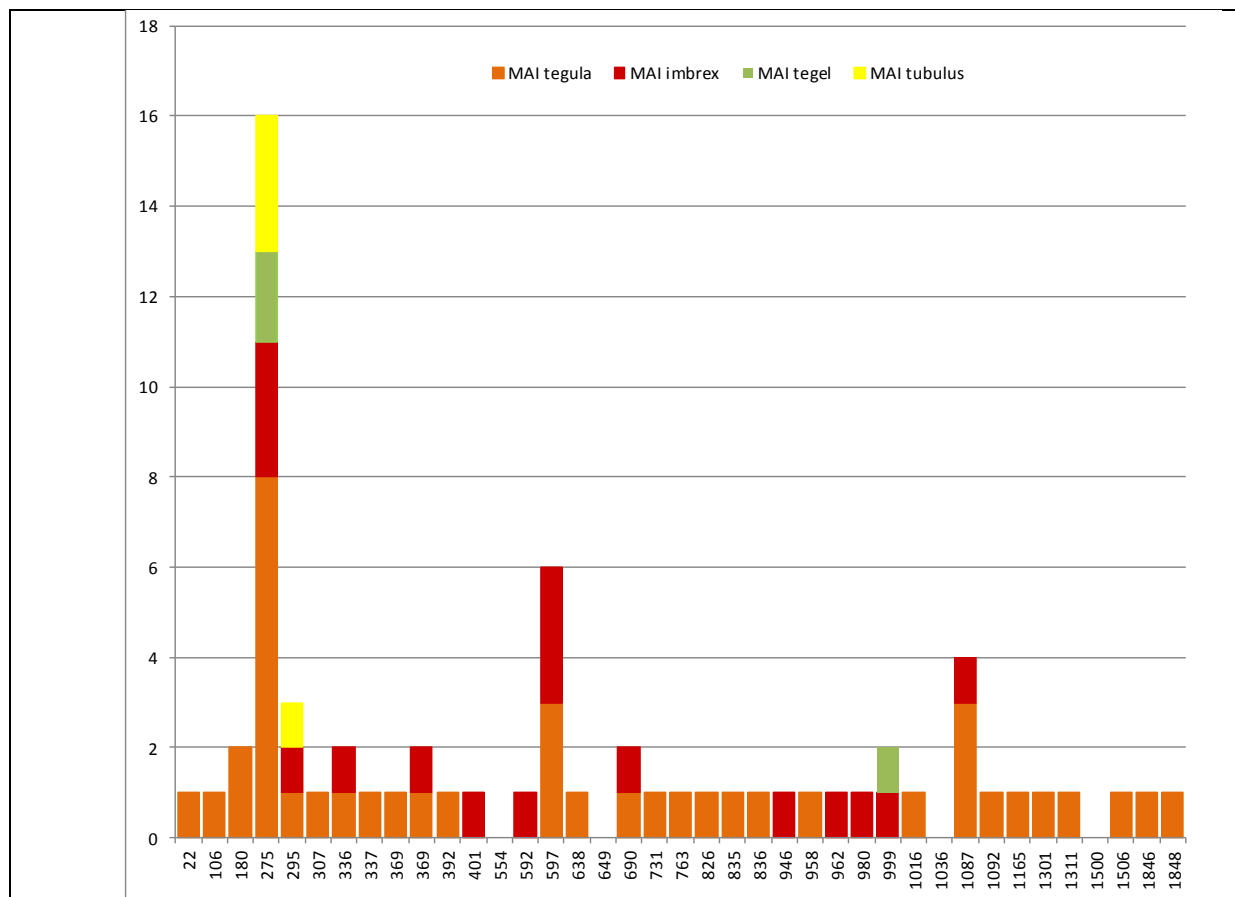


Fig. 8.3: Grafische voorstelling van het aantal *tegulae* (oranje), *imbrices* (rood), tegels (groen) en *tubuli* (geel) per context.

Opvallend bij de grafische voorstelling van de tegulafragmenten (fig. 8.4) is dat slechts drie sporen beschikken over meer dan 1000 g (1 kg) tegulafragmenten nochtans is dit een veel voorkomende en relatief zware categorie.

¹¹¹ Janssens 2010: 49-53.

Opnieuw gaat het hier om de filterlaag van de waterput (S275) maar ook twee kuilen (S597 en S1087) bevatten een grote hoeveelheid aan tegulafragmenten die alle toe te schrijven zijn aan een dumpingspakket. De kleinere hoeveelheden onder de 100 g in het gros van de sporen kunnen het best beschouwd worden als rond gezet, occasioneel verspit materiaal.

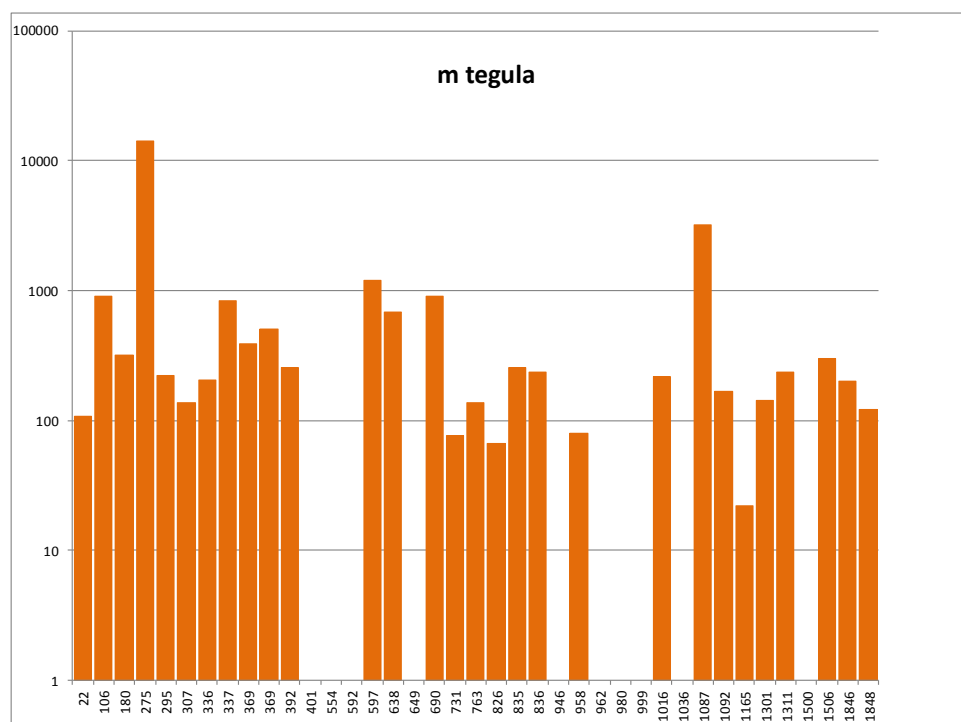


Fig. 8.4: Grafische voorstelling van de gewichtsverdeling per spoor van de tegulafragmenten (logaritmische schaal en gewichten in gram).

Wat de *imbrices* (fig. 8.5) betreft is het beeld minder duidelijk. In geen enkel spoor werden dermate grote fragmenten aangetroffen dat gesproken kan worden over primair afval. Het ontbreken van minder gefragmenteerde exemplaren en het betrekkelijk lage aandeel doet vragen reizen bij het feit of deze op de site wel hebben dienst gedaan als dakpan dan wel voor andere doeleinden werden gebruikt. Als gesteld mag worden dat het inderdaad aan primaire *imbrices* ontbreekt, dan lijkt het ook weinig plausibel dat de aangetroffen huisplattegronden waren voorzien van een geheel met dakpannen gedekt dak.

Deze hypothese wordt mede ondersteund door de betrekkelijk kleine hoeveelheid bouwceramisch materiaal dat op de site werd aangetroffen. Mogelijk bestonden de daken uit stro of houten leien en moet voor de *tegulae* en *imbrices* een andere functionele toepassing worden gezocht. Deze hypothese moet ook deels worden genuanceerd door de soms fragmentaire bewaring van het gehele bouwceramische assemblage door recuperatie of opname in de ploeglaag. Wat de tegelfragmenten (fig. 8.6) betreft is het beeld te beperkt voor diepgaande conclusies. Uit slechts twee sporen konden tegelfragmenten worden bemonsterd waarbij opvalt dat het in beide gevallen om zeer zware en robuuste tegels gaat. Welk functioneel doel deze vormcategorie moet worden toegeschreven binnen deze context blijft een raadsel.

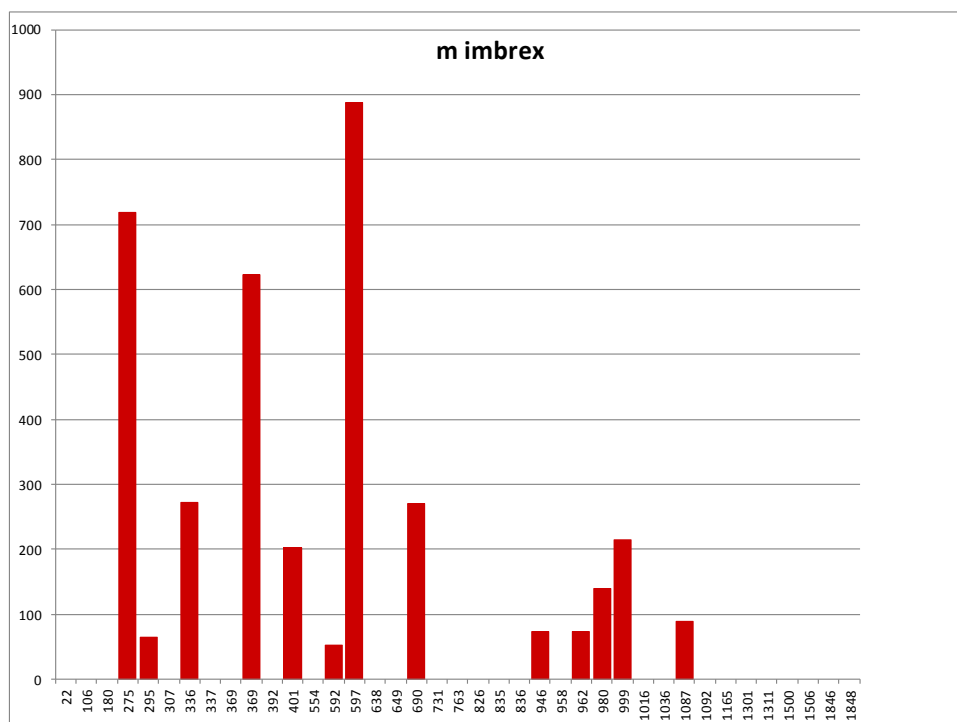


Fig. 8.5: Grafische voorstelling van de gewichtsverdeling per spoor van de imbrexfragmenten (logaritmische schaal en gewichten in gram).

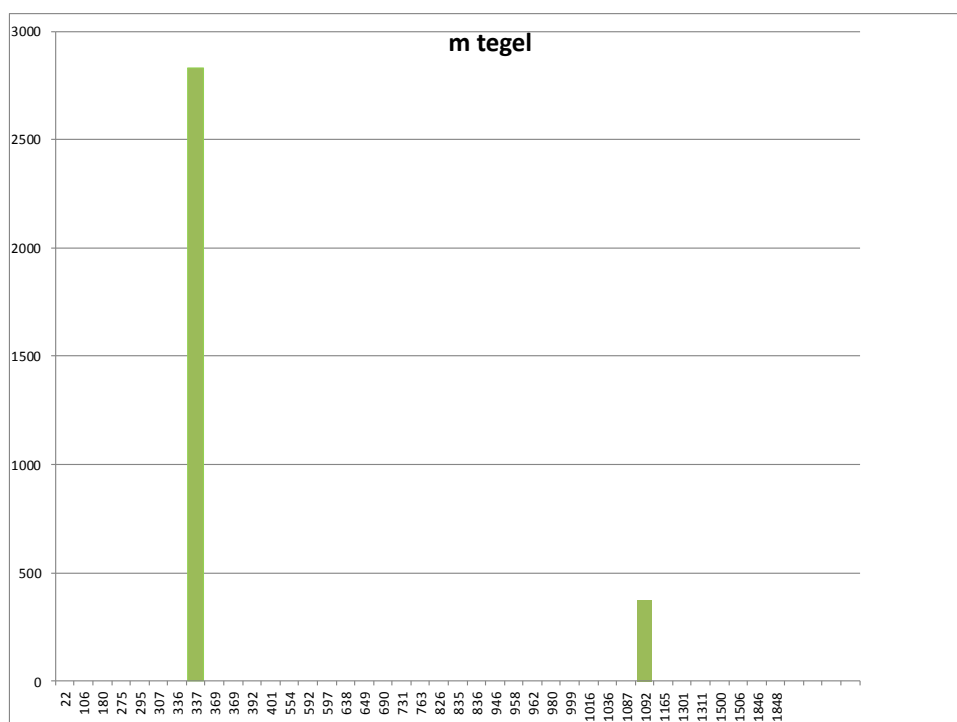


Fig. 8.6: Grafische voorstelling van de gewichtsverdeling per spoor van de tegelfragmenten. (logaritmische schaal en gewichten in gram).

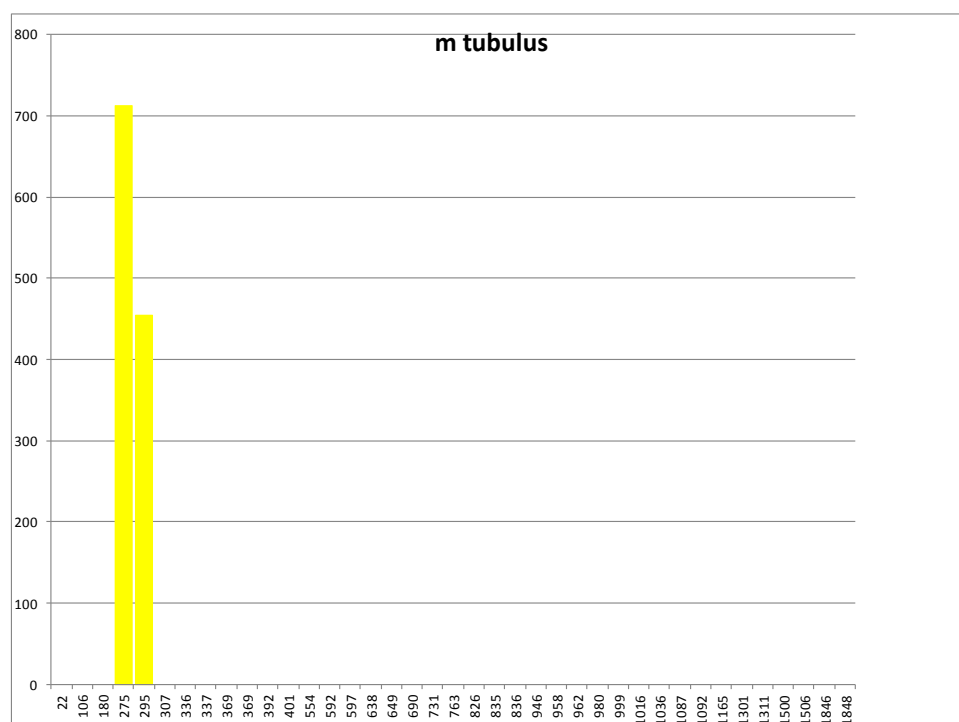


Fig. 8.7: Grafische voorstelling van de gewichtsverdeling per spoor van de tubulifragmenten (logaritmische schaal en gewichten in gram).

Tot slot zijn er nog de fragmenten van *tubuli* te vermelden (fig. 8.2 & 8.7). Het gaat steeds om de frontale delen van de U-vorm die bij de aangetroffen fragmenten steeds voorzien zijn van kamstrepen voor een betere pleisterhechting. Mogelijk gaat het hier in relatie met de eerder genoemde tegelfragmenten over de restanten van een vloerverwarmingssysteem of *hypocaustum* waarbij warme lucht van onder de vloer door de wanden wordt geleid door *terra cotta* pijpen of *tubuli* die de warme lucht doorheen de wanden leiden tot boven het dak. Ook andere bescheidenere interpretaties zijn mogelijk waarbij de stukken bouwceramiek als schoorsteen of goot werden gebruikt of herbruikt¹¹².

Op basis van de gegevens verzameld uit het opgravingsareaal, leent geen enkele plattegrond zich tot het hebben van een *hypocaustum*. Mogelijk moet gedacht worden aan de aanwezigheid van een rijkere woning of steenbouw in de nabijheid van de site.

8.4 Bakselvariatie en herkomst

De aanwezige variatie in kleur, hardheid en bakkingwijze maakt dat het baksel van bouwceramiek soms heel variabel overkomt. Dit heeft veel vorsers aangezet om weinig tot geen aandacht te besteden aan de studie ervan.

De productiewijze in een grote oven of bescheidenere veldoven maakt het moeilijk om de condities tijdens de bakking onder controle te houden wat onmiskenbaar resulteert in een grotere variatie.

¹¹² Sofie Vandenhoude, ongepubliceerde data Oudenburg.

Wanneer hiermee rekening wordt gehouden en gebruik gemaakt wordt van soepelere criteria voor toewijzing, is de studie van het maaksel niet geheel nutteloos.

Binnen het assemblage bevinden zich vijf duidelijk van elkaar te onderscheiden bakselgroepen (fig. 8.8). Binnen de gehele assemblage blijkt vooral sample 1 dominant aanwezig. Deze bakselgroep kan op basis van typochronologische kenmerken het best geplaatst worden in de laat Romeinse periode en vormt zo de lokale dakpanproductie met een sterk lokaal karakter. Sample 5 vertoont grote gelijkenissen met sample 1, met uitzondering van de hardheid. Mogelijk gaat het hier dan ook om een niet hard genoeg gebakken variant van de eerste.

Sample 2 lijkt voornamelijk het baksel te zijn van de oudere aanwezige bouwceramiekfragmenten met een datering in de midden-Romeinse periode.

8.5 Typochronologisch onderzoek

8.5.1 Typologisch en typochronologisch onderzoek van de tegulae fragmenten

Wat de *tegulae* betreft vormen vooral de vorm van de flens en de *cut ways* de elementen die onderhevig zijn aan evolutie en variatie. Tot op heden is het erg moeilijk om op basis van het flensprofiel uitspraken te doen over de ouderdom.

De variatie van de flensvorm is dan ook grotendeels ingegeven door de productietechniek. Voor het assemblage te Meldert is de productietechniek uniform waarbij alle *tegulae* gevormd zijn in een houten mal met 3 of 4 zijden. Deze houten malvormen, die na het vormen van iedere afzonderlijke *tegula* opnieuw werden gebruikt, worden in de studie van Peter Warry omschreven als van het mould type B (driezijdig) of mould type E (vierzijdig)¹¹³.

Indicaties die met zekerheid verwijzen naar het gebruik van een vormmal voor de stukken te Meldert zijn de zeer strakke flenswanden, de met zand geruwde onderzijde van de tegula afkomstig van de zandbestrooiing in de vorm en de scherp weggesneden flensprofielen ten gevolge van het met een ijzerdraad wegsnijden van overtollige klei uit de mal.

Wat de eigenlijke vorm van de flens betreft kunnen 11 (soms licht) verschillende profielen worden opgetekend (fig. 8.10). Belangrijk echter is op te merken dat een flens door zijn relatief dunne en opstaande vorm sterk onderhevig is aan vervorming. Warry wist, mede dankzij experimentele archeologie, aan te tonen dat enkel de vorm en niet zo zeer de grootte relevant zijn voor de typologische studie van *tegulae* en dit ten gevolge van differentiële krimp van de kleimassa¹¹⁴.

Eén flenstype kan met zekerheid een nauwkeurige datering in de laat-Romeinse periode worden toebedeeld. Het betreft een type (fig. 8.9) met een naar binnen toe schuin oplopende flens en een duidelijk geprononceerde gladdingsgroef net naast de opstaande rand. Alle aangetroffen randen van dit type zijn vervaardigd uit sample 1 materiaal.

¹¹³ Warry 2006: 8-18.

¹¹⁴ Warry 2006: 38.



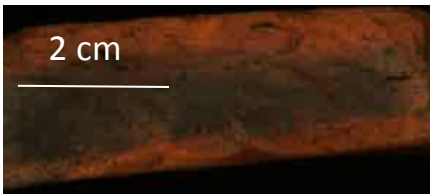


Bakselfoto (ware grootte)	Beschrijving sample
	<i>Sample 1:</i> Hard materiaal met een kleur variërend van geelachtig rood (5YR 5/8) tot rood (2,5YR 4/8). Verschraling van verbrijzelde bouwceramiek die door de ijzerrijke matrix soms wijnrood van kleur uitslaat. Belangrijke organische fractie als bijmenging onder de vorm van fijn stro en/of kaf.
	<i>Sample 2:</i> Stoffig en zacht korrelig materiaal met een kleur variërend van licht rood (2,5YR 6/8) tot geelachtig rood (5YR 5/8). Verschraling van verbrijzelde bouwceramiek, kalkzandsteen en ijzerrijke inclusies. Sporadisch ook een kleine organische fractie.
	<i>Sample 3:</i> Hard materiaal met graduele bakking en een duidelijk afgescheiden reducerende kern. De kern heeft een kleur variërend rond licht blauwachtig grijs (GLEY2 7/1), terwijl het exterieur in kleur varieert tussen geelachtig rood (2,5YR 5/8) en lichtrood (2,5YR 6/8). De verschraling bestaat uit relatief kleine en goed gesorteerd zand, kwartsietkorrels en organisch materiaal.
	<i>Sample 4:</i> Hard materiaal met graduele bakking en een duidelijk afgescheiden oxidiserende kern. De kern heeft een kleur variërend rond lichtrood (2,5YR 6/8), terwijl het exterieur in kleur varieert tussen licht roodachtig grijs (2,5YR 7/1) en roodgrijs (2,5YR 5/1). De verschraling bestaat uit relatief klein en goed gesorteerd zand, kwartsietkorrels en organisch materiaal. Regelmatig komen ook lichtgrijze kleilenzen voor binnen de geïsoleerde kern.
	<i>Sample 5:</i> Stoffig en zacht korrelig materiaal met een kleur variërend van geelachtig rood (5YR 5/8) tot rood (2,5YR 4/8). Verschraling van verbrijzelde bouwceramiek die door de ijzerrijke matrix soms wijnrood van kleur uitslaat. Belangrijke organische fractie als bijmenging onder de vorm van stro en/of kaf.

Fig. 8.8: Bakselfoto's van het aanwezige bouwceramisch materiaal (schaal 1/1).



Fig. 8.9: Overzicht van de laat-Romeinse periode flenstypes te Meldert – schaal 1/3.

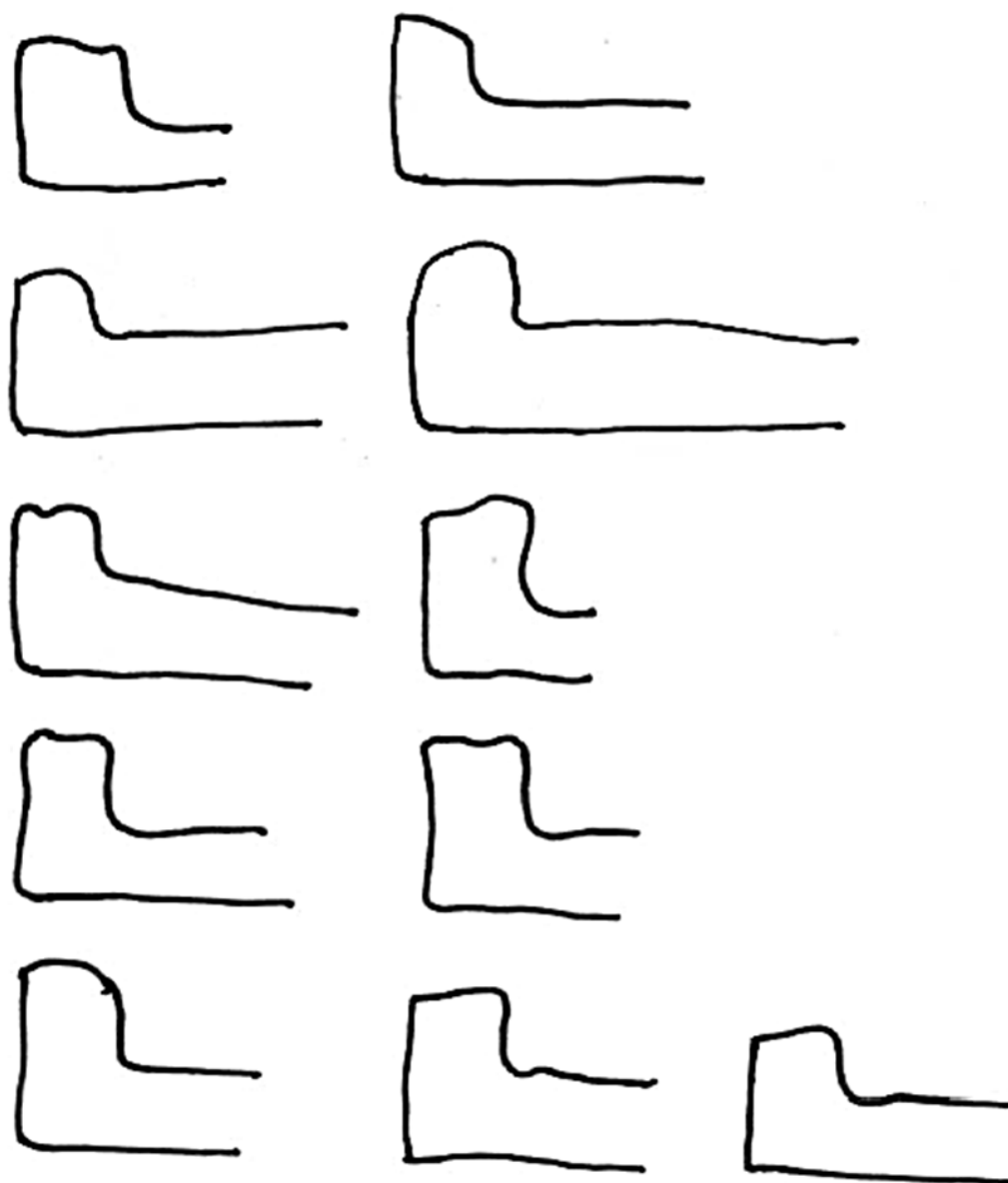


Fig. 8.10: Overzicht van de variatie aan flensvormen te Meldert – schaal 1/3.

Naast de flenstypes zijn vooral de *cut aways* een belangrijke bron van typochronologische informatie. Met de *cut away* wordt de met een mes of ijzerdraad weggesneden deel van de flens bedoeld die zich in de bovenhoeken van de tegula bevindt en het zo mogelijk maakt de *tegulae* in elkaar te stapelen tot een quasi vlak dak.

Binnen het assemblage van Meldert konden twee duidelijk verschillende *cut away* vormen worden onderscheiden die volgens de typologie van Warry beide tot een variatie van de D-form kunnen worden gerekend¹¹⁵.

De eerste variant behoort tot Warry's type D15 (fig. 8.11). De *cut away* snijdt zich doorheen de flens naar beneden en dit in een diagonale richting waardoor de hoek wordt afgesneden.



Fig. 8.11: Overzicht van de *cut away* form D15 van Meldert.

Deze vorm vormt volgens Warry de voorganger van de tweede variant die in Meldert wordt aangetroffen en tevens getypeerd wordt door een diagonale hoekafsnijding al start de doorsnede hierbij al bovenaan op de flensrand (fig. 8.12).

Door een doorgedreven vergelijkende studie van deze *cut aways* in Groot-Brittannië en de terugkoppeling naar dateringen van ander vondstmateriaal was het mogelijk dit type D te dateren. Een overzicht naar Warry (fig. 8.13) van de dateerbare sites met het voorkomen van het *cut away*

¹¹⁵ Warry 2006: 22-25.

type D maakt het mogelijk om dit type en de bijhorende dakpannen te dateren in de periode vanaf 240 tot zeker het einde van de 4^{de} eeuw¹¹⁶.



Fig. 8.12: Composiet van de *cut away* form D16 van Meldert.

8.5.2 Typologisch en typochronologisch onderzoek van de imbrices fragmenten

De imbrices zijn over het algemeen minder onderhevig aan vormelijke verandering. Er komen slechts twee grote groepen voor, deze met een half cirkelvormige doorsnede en deze met een driehoekige doorsnede.

In Meldert komen enkel deze van de eerste groep voor, waarbij een kleiplaat over een gebogen houtvorm of het bovenbeen wordt geplooid om de half circulaire vorm te bekomen¹¹⁷. Sommige stukken zijn door de duidelijk zandige onderzijde gevormd op een houten mal, terwijl andere duidelijke gladdingssporen aan de bovenzijde vertonen, die op hun buurt getuigen van een eerder handgevormde traditie.

Slechts één enkele profielvorm komt voor (fig. 8.14), alleen de basis of voet durft licht te variëren met soms een licht verdikte binnenlip, mogelijk het gevolg van een andere vormingswijze.

¹¹⁶ Warry 2006: 62-64.

¹¹⁷ Warry 2006: 36.

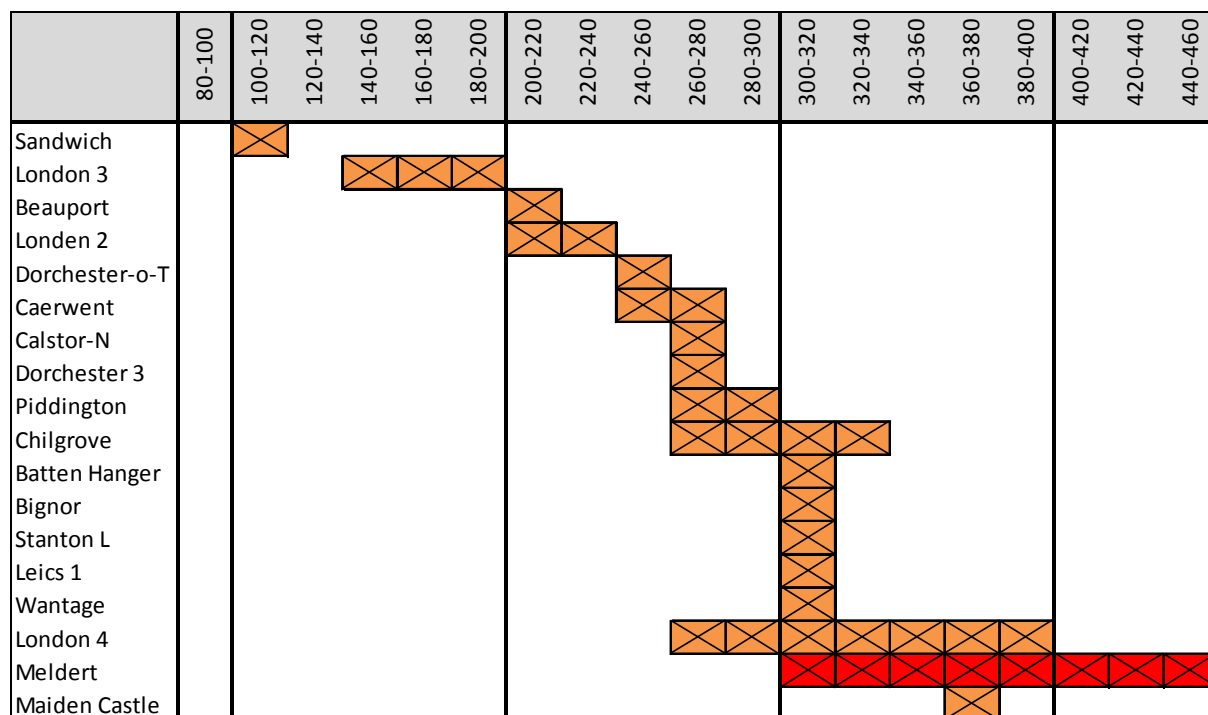


Fig. 8.13: Overzicht van dateringsrange van de *cut away* form D van gedateerde sites.



Fig. 8.14: Aanwezige profieltypen bij imbrices – schaal 1/3.

8.6 Merken en tekens

Tussen de verschillende fragmenten konden drie bijzondere fragmenten worden herkend.

Het eerste fragment (fig. 8.15) bestaat uit de onderzijde van een tegula die voorzien is van een veel voorkomende signatuur in de vorm van een halve cirkel. Dit type, Warry type S¹¹⁸, komt enkel voor op de onderzijde van de tegula. Een duidelijk functioneel nut kan aan dit merkteken niet worden verbonden.

¹¹⁸ Warry 2006: 149.

Een tweede fragment (fig. 8.18) is ook voorzien van een merk maar ditmaal door een precoturam snede in de bovenzijde van het respectievelijke tegulafragment. Mogelijk gaat het om een telteken.

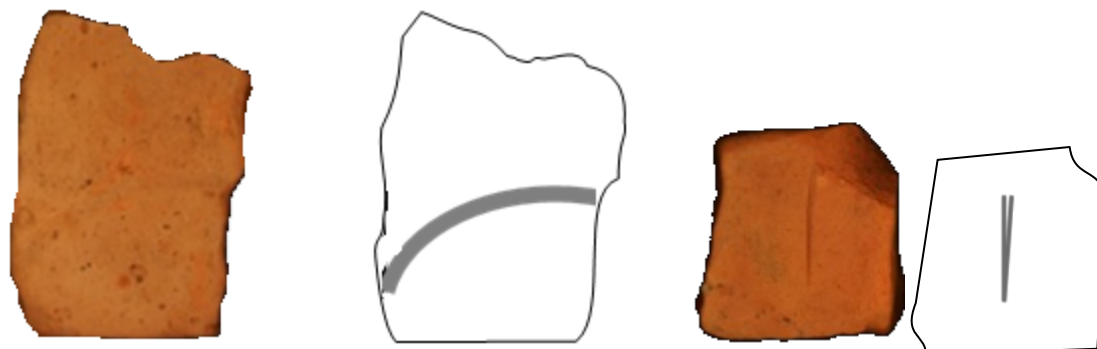


Fig. 8.15: Aanwezige merktekens op tegulae-fragmenten. – schaal 1/3.

Tot slot bestaat een laatste fragment uit de herbruik van een stuk tegulae voor het vervaardigen van een quasi ronde schijf (fig. 8.16) met een diameter van om en bij de 6 cm. Een gelijkaardige vondst uit het Nederlandse Roomburg is tevens vervaardigd uit een fragment van een tegula maar is beduidend kleiner met slechts een diameter van 3,2 cm.

De schijf uit Roomburg wordt daar omschreven als een speelschijf¹¹⁹. Mogelijk geldt dit ook voor de schijf uit Meldert al kan door zijn grote omvang de schijf ook dienst hebben gedaan voor andere functionele doeleinden zoals een stopsel van een kruik of kan¹²⁰.

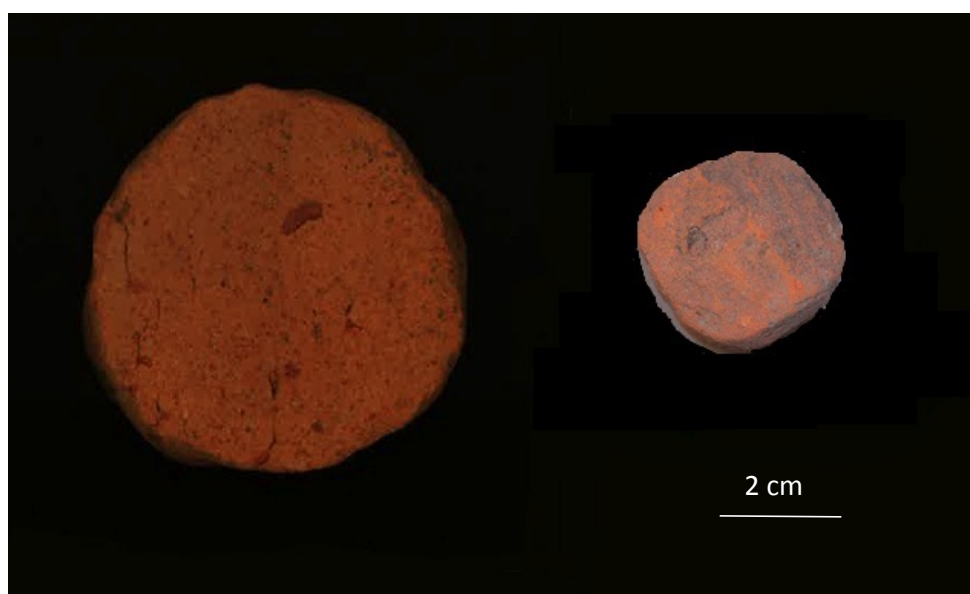


Fig. 8.16: De mogelijke speelschijf van Meldert (links) naast de speelschijf van Roomburg (rechts).

¹¹⁹ Rijksmuseum voor Oudheden Leiden.

¹²⁰ Mondelinge mededeling De Clercq & Verbeeck 2012.

8.7 Slotbeschouwing

Concluderend kan gesteld worden dat de studie van het bouwceramisch materiaal een meerwaarde heeft geboden voor een beter begrip van de site. Zo kon worden aangetoond dat naast de aanwezigheid van de standaard daktegels ook tegels en tubuli op de site aanwezig waren die getuigen van een breder vormenschat binnen het Romeinse bouw materiaal wat een indicatie vormt voor een doorgedreven romanisatie van de materiële cultuur.

Typochronologisch onderzoek maakte het mogelijk, gecombineerd met de fabricanalyse, om de lokale tegulae-variatie uit de laat-Romeinse tijd te duiden en op deze manier een dateringsondersteuning te vormen voor het aardewerkmateriaal dat tevens in de laat-Romeinse tijd kan worden gedateerd.

Hoofdstuk 9 Studie van de metaalvondsten

Tim Clerbaut

9.1 Kwantificatie en bewaringsgraad

In totaal konden verspreidt over de gehele site 83 fragmenten metaal (fig. 9.1) worden ingezameld. Het betreft hoofdzakelijk fragmenten ijzer in de vorm van nagels, spijkers en krammen (64 fragmenten of 77%), gevolgd door fragmenten uit koper of koperlegering (9 fragmenten of 12%). De overige 10 vondsten bestaan uit zes fragmenten ijzer, één fragment lood en drie metaalslakken. De vondst van een schroeffitting, een metalen rondel en een loden ringetje werden niet opgenomen in deze telling door de recente aard van deze vondsten.

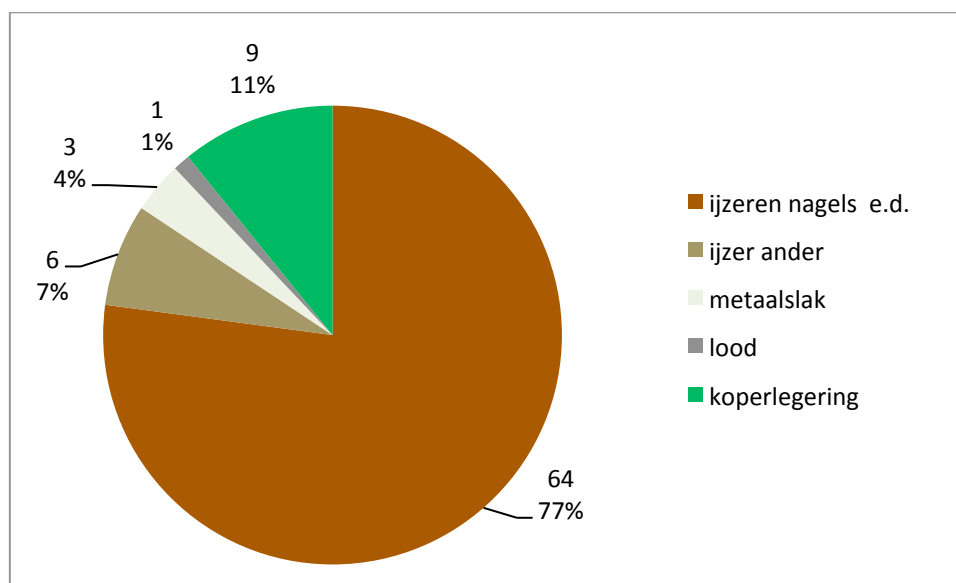


Fig. 9.1: Indeling van de aanwezige metaalfragmenten naar metaalsoort.

De bewaringsconditie van de metalen is over het algemeen slecht te noemen. Slechts weinig fragmenten hebben niet te lijden onder zware metaalcorrosie die de algemene vorm van het object veelal compleet hebben vertekend. Een (gedeeltelijke) reiniging van de meest interessante objecten was dan ook aan de orde.

Enkele objecten uit koperlegering vertoonden voorts ook sporen van zgn. 'bronsrot' dat zich uit in pistachegroene verkleuringen van het metaal. Deze objecten dienden naar consolidatie toe actief te worden gereinigd en te worden behandeld tegen verdere chemische aantasting.

9.2 Bespreking van de aangetroffen vondsten

9.2.1 Vondsten uit ijzer

9.2.1.1 Nagels, spijkers en krammen

Van alle vondsten werd getracht de algemene vorm of vormcategorie te bepalen. Opvallend maar niet ongewoon is de dominantie van de categorie van nagels, spijkers en krammen. In totaal konden 64 ijzeren objecten aan deze categorie worden toebedeeld waarmee ze, naast de ijzeren voorwerpen, ook de gehele assemblage domineren.

Inv. Nr	spoor	Beschrijving		Lengte	Volledig		kop		Doorsnede		Organische resten	
		nagel	spijker	cm	Volledig	Fragment	rond	vierkant	rond	vierhoekig	Hout	Ander
Me-10-ZE	457	65	x		?	x						
Me-10-ZE	129	180	x		?	x						
Me-10-ZE	142	180	x		1	x						
Me-10-ZE	142	180	x		1,1	x						
Me-10-ZE	142	180		x	2 Ø	x		x				
Me-10-ZE	142	180	x		1,5	x						
Me-10-ZE	142	180	x		0,9 Ø	x		x				
Me-10-ZE	142	180	x		1,4	x						
Me-10-ZE	142	180	x		?	x						
Me-10-ZE	142	180	x		0,8	x		x				
Me-10-ZE	142	180		x	3,5	x		x		x		
Me-10-ZE	448	180		x	14,5	x				x		
Me-10-ZE	463	193	x		3,6	x				x	x	
Me-10-ZE	463	193	x		3,8	x		x		x	x	x (plaster)
Me-10-ZE	463	193	x		3	x		x		x	x	x (plaster)
Me-10-ZE	463	193	x		4	x		x		x	x	x (plaster)
Me-10-ZE	463	193	x		1,5	x		x		x	x	
Me-10-ZE	463	193	x		3,8	x				x	x	
Me-10-ZE	463	193	x		2,7	x				x	x	
Me-10-ZE	463	193	x		3,6	x		x		x	x	
Me-10-ZE	463	193	x		1	x		x		x	x	
Me-10-ZE	463	193	x		2,2	x		x		x	x	
Me-10-ZE	463	193	x		1,8	x				x	x	
Me-10-ZE	463	193	x		1,6	x				x	x	
Me-10-ZE	463	193	x		?	x				x	x	
Me-10-ZE	462	260	x		?	x						
Me-10-ZE	462	260	x		2,3	x						
Me-10-ZE	178	295	x		?	x						
Me-10-ZE	178	295	x		3,4 Ø			x				
Me-10-ZE	178	295	x		5,3	x		x		x		

Tabel 9.1a: Lijst van de nagels en spijkers in de sporen 1 tot 500.

Een overzicht van de aanwezige nagels en spijkers wordt gegeven in tabel 9.1(a+b) en in de overzichtsfiguur 9.2.

Bij de spreiding van het aantal nagels en spijkers springen vijf sporen in het oog die beduidend meer exemplaren vertonen dan de andere. Op basis van het overige vondstmateriaal en de contextuele analyse wordt getracht hieronder een verklaring te geven voor dit fenomeen.

Spoor 180 – (post)midleleeuwse gracht

Deze gracht is een relatief recent spoor dat over het gehele terrein te volgen is en deel uitmaakt van een vroegere perceelsindeling. De grote omvang van het spoor verklaart mede het grotere aantal vondsten die hoogstwaarschijnlijk deel uitmaken van het dempingsmateriaal van de gracht.

Spoor 193 – wandpaal van gebouwplattegrond H8

Deze wandpaal binnen een laat-Romeinse gebouwplattegrond leverde 13 nagels op waar bij alle nagels sporen van hout zichtbaar waren in de corrosie en bij drie onder hen de koppen bedekt waren met een witte pleisterlaag (fig. 9.3). Deze resten doen vermoeden dat deze nagels deel hebben uitgemaakt van een wand in houten vakwerkbouw die met witte plaaster was afgewerkt.

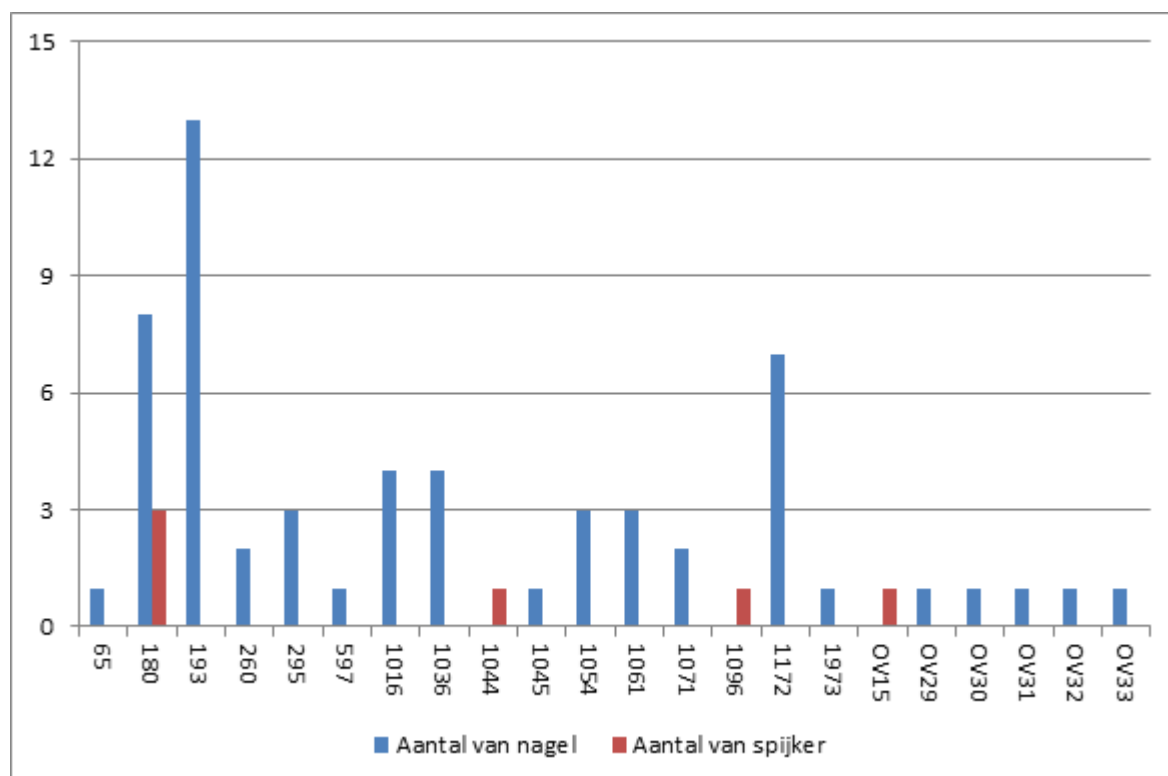


Fig. 9.2: Grafisch overzicht van het aantal nagels en spijkers per spoor.

Spoor 1016 – grote ovale kuil op een laat-Romeins erf

Deze kuil bevat vier eenvoudige, betrekkelijk kleine nagels. Mogelijk is er een verband met enkele niet tot vorm terug te brengen stukken ijzer en bronslegering in dezelfde kuil. De meest plausibele verklaring is dat het materiaal waaronder ook de nagels, in de kuil is terechtgekomen bij het opruimen van het erf.

Spoor 1036 – grote onregelmatige kuil op een laat-Romeins erf

Deze kuil bevat net zoals bij de andere kuil op dit erf (S 1016) vier betrekkelijk kleine nagels. Ook hier gaat het hoogstwaarschijnlijk om materiaal dat bij het opruimen van het erf in deze kuil is terechtgekomen.



Fig. 9.3: Overzicht van de nagelvondsten met hout- en plaasterrest uit spoor 193.

Spoor 1172 – vierkante ‘kelderkuil’ voor de ingang van gebouw H3

Dit spoor, dat geïnterpreteerd kan worden als een kelderkuil, leverde het hoogste aantal nagels op van de site. Deze nagels kunnen samen met een fragmentair bewaarde houtschaduw, in verband worden gebracht met een mogelijke vierkante bekisting van de kuil. De aanwezigheid van deze bekisting zou tevens de strakke vierhoekige vorm van de kuil kunnen verklaren, in tegenstelling tot de meeste andere kuilen op het erf. Wanneer de kuil wel degelijk als een soort opslagbekken of kelder zou zijn gebruikt, is de aanwezigheid van een dergelijke houten beschoeiing niet onwaarschijnlijk.

Inv. Nr	spoor	Beschrijving		Lengte cm	Volledig		kop		Doorsnede		Organische resten	
		nagel	spijker		Volledig	Fragment	rond	vierkant	rond	vierhoekig	Hout	Ander
Me-10-ZE 437	597	x		4,7					x			
Me-10-ZE 431	1016	x		0,7 Ø		x	x		x			
Me-10-ZE 431	1016	x		0,5 (dia)		x	x		x			
Me-10-ZE 431	1016	x		1,1		x	x		x			
Me-10-ZE 431	1016	x		1,7		x	x		x			
Me-10-ZE 446	1036	x		1,6		x						
Me-10-ZE 446	1036	x		1,8		x						
Me-10-ZE 446	1036	x		1,2		x						
Me-10-ZE 446	1036	x		1,4		x						
Me-10-ZE 219	1044		x	6,5		x		x				
Me-10-ZE 445	1045	x		1,2	x			x	x			
Me-10-ZE 425	1054	x		1,4	x		x		x			
Me-10-ZE 427	1054	x		?		x						
Me-10-ZE 443	1054	x		1,4	x		x		x			
Me-10-ZE 231	1061	x		1,7		x		x		x		
Me-10-ZE 231	1061	x		0,9		x						
Me-10-ZE 231	1061	x		1		x						
Me-10-ZE 442	1071	x		3,9		x						
Me-10-ZE 442	1071	x		3,8		x						
Me-10-ZE 238	1096		x	10		x	x			x		
Me-10-ZE 429	1172	x		4,3		x						
Me-10-ZE 429	1172	x		3,3		x						
Me-10-ZE 429	1172	x		3,7		x						
Me-10-ZE 429	1172	x		4		x						
Me-10-ZE 429	1172	x		3,4		x						
Me-10-ZE 429	1172	x		2,2		x						
Me-10-ZE 429	1172	x		2,1		x						
Me-10-ZE 436	1973	x		1,2		x	x		x			
Me-10-ZE 112	OV15		x	6,5		x						
Me-10-ZE 441	OV29	x		?		x						
Me-10-ZE 441	OV30	x		?		x						
Me-10-ZE 441	OV31	x		3,5		x						
Me-10-ZE 441	OV32	x		2,4		x						
Me-10-ZE 441	OV33	x		6		x						

Tabel 9.1b: Lijst van de nagels en spijkers in de sporen 501 tot 2000 samen met de oppervlaktevondsten.

9.2.1.2 Een verbronsde veebel

Een bijzondere vondst is deze van een goed bewaarde veebel (fig. 9.4). Deze veebel, die gemaakt is uit onzuiver smeedijzer, heeft een maximale grootte van 7,4 x 8,1 x 11,9 cm. De onzuiverheid van het ijzer laat zich merken door een groene aanslag op het metaaloppervlak na reiniging en het licht gelig uitslaan van de metallische kern van het voorwerp.

De veebel is vervaardigd uit een enkel blad metaal dat vermoedelijk door het beslaan rondheen een houten vorm werd vervaardigd. Na het 'dichtplooiën' van het metaalblad ontmoetten de naden elkaar in de korte zijde van de bel waar ze na overlapping aan elkaar zijn geniet met vijf nieten aan elke zijde. De sporen van deze nieten tekenen zich nog mooi af aan de binnenzijde van de bel als lichte verhogingen aan het oppervlak.



Fig. 9.4: Overzicht van de veebel: foto en tekening (schaal 1/3).

Het kleine oor is vervaardigd uit een individuele strip metaal die tweeledig is uitgesmeed. De bevestiging aan het eigenlijke lichaam wordt mogelijk gemaakt door de uiteinden door het metaalblad van het eigenlijke lichaam te steken en aan de binnenzijde te bevestigen. Dit is een veel gebruikte techniek voor het aanhechten van handvaten aan metalen objecten, ook voor dergelijke

bellen¹²¹. Aan de binnenzijde van het object zijn de omgeplooid en vastgemaakte uiteinden nog goed zichtbaar.

Tussen beide resten van deze uiteinden bevinden zich ook de sporen van een vast gesoldeerde metalen ring die de aanhechting moest verzorgen van de klepel. Van deze laatste is slechts weinig bewaard gebleven. Mogelijk kunnen enkele van de resten aan de binnenzijde van het bellichaam tot de klepel worden gerekend. Zekerheid bestaat hierover echter niet door de sterke corrosie van het oppervlak.

Referentievondsten voor gelijkaardige veebellen zijn in Vlaanderen erg dun gezaaid. Opmerkelijk echter is wel dat er een grote variatie bestaat in zowel grootte, materiaal als algemene vorm. In de eerste plaats is het grootste onderscheid te maken tussen bellen met een eerder rechthoekige, dan wel een ronde vorm. Wat het materiaal betreft komen naast ijzeren bellen ook voornamelijk (deels) bronzen exemplaren voor. Deze laatste zijn veelal gegoten en vormen zo geen technische referenties voor het exemplaar uit Meldert.

In totaal konden drie exemplaren worden teruggevonden die zowel in ijzer waren vervaardigd als een rechthoekige vorm vertoonden. Een eerste exemplaar, het dichtst bij de site gevonden, kwam aan het licht bij onderzoek in Sint-Huibrechts-Lille (fig. 9.5-A)¹²². Het gaat om een minder goed bewaard exemplaar dat qua afmetingen, materiaal en uitvoering sterk het stuk van Meldert benadert. Een afwijkend technisch aspect is echter de uitwerking van de bovenhoeken die door insnijding en soldering fijner uitgewerkt zijn en niet de 'plooi knobbels' vertonen zoals bij het object van Meldert.

Een gelijkaardige uitwerking voor de bovenhoeken is ook terug te vinden bij het exemplaar teruggevonden in Breda (fig. 9.5-B) maar hier wijkt het oor dan weer af door zijn éénledige doorsnede¹²³.

De best aansluitende referentie is een vondst die behoort tot de collectie van het Rijksmuseum voor Oudheidkunde in Leiden. Het betreft een quasi identieke vondst (fig. 9.5-C) van een veebel uit de opgravingen op de militaire installaties te Vechten. Het oor is ook hier tweeledig en de bovenhoeken zijn technisch op dezelfde manier 'geplooid'. Ook de algemene afmetingen komen grotendeels overeen. Het exemplaar in Vechten heeft echter, in tegenstelling tot Meldert, de klepel nog zeer goed bewaard. Hierbij valt op dat de klepel een staafvormig uiterlijk heeft in plaats van het beter gekende bolvormige uiterlijk en deels onder het lichaam uitsteekt¹²⁴.

Wat de afmetingen betreft kon worden vastgesteld dat de dimensies van de veebel te Meldert behoren tot het algemene gemiddelde¹²⁵ en dat de hoogte varieert tussen 70 en 165 mm.

¹²¹ Verschillende gekende voorbeelden, wat veebellen betreft zijn te vinden in de musea van o.a. Vechten, Kontich en Kalkriese.

¹²² Claasen 1998: 33.

¹²³ Koot & Berkvens 2004: 365.

¹²⁴ De online catalogus van het Rijksmuseum voor Oudheden te Leiden.

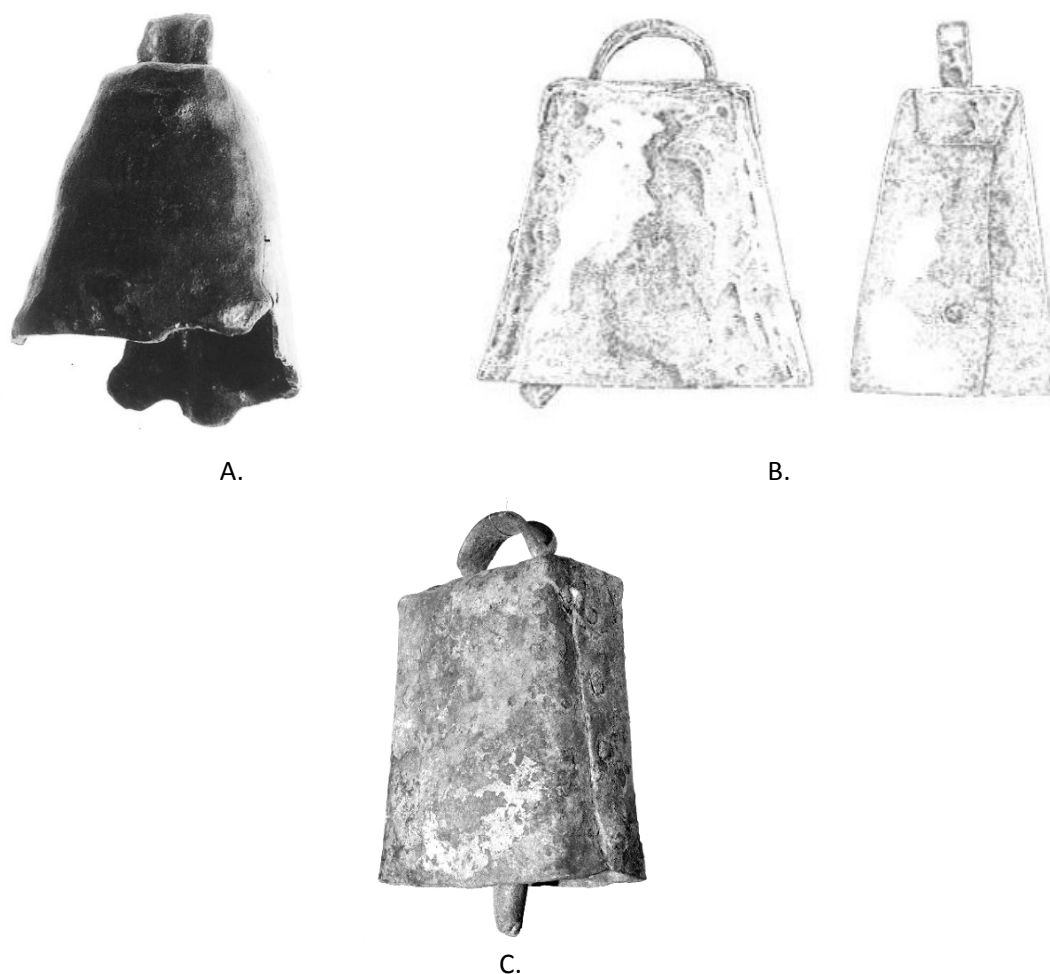


Fig. 9.5: Overzicht van enkele referentievondsten van ijzeren rechthoekige veebellen.

In alle gevallen werden de vondsten gedaan in een rurale nederzetting waardoor ook de link met de veestapel eenvoudig valt te leggen. Deze grote ijzeren bellen zouden in tegenstelling tot kleinere bronzen veebellen eerder bedoeld zijn voor groot (rund)vee¹²⁶. Opvallend echter is dat de in de literatuur aangetroffen bellen van het 'type Meldert' zich lijken te concentreren op de zandgronden van het MDS-gebied en geheel lijken te ontbreken in de kustregio. Kan dit in verband worden gebracht met een dominantie van kleinvee (schapen?) in de kustregio?

¹²⁵ Dit gemiddelde werd bekomen door rekening te houden met de aangetroffen hoogtes van maar liefst 12 exemplaren. Naast Meldert behoren ook de vondsten uit Sint-Huibrechts-Lille, Breda, Vechten en Kontich tot de wetenschappelijk gepubliceerde exemplaren. Van zeven andere exemplaren die het resultaat zijn van metaaldetectievondsten of museumstukken zonder duidelijke herkomst werd enkel de hoogte opgenomen wanneer de authenticiteit door een afbeelding kon worden gevalideerd en dit louter voor statistische doeleinden.

¹²⁶ Mondelinge mededeling Stephan Delaruelle 2010.

De nauwgezette conservatie en de gelijktijdige wetenschappelijke registratie en documentatie van de aan het licht komende sporen is een wezenlijke meerwaarde voor het archeologisch onderzoek. Als voorbeeld van deze these kan de conservatie van de veebel van Meldert dienst doen.



VOOR



NA

Fig. 9.6: De klassieke 'voor en na' reeks voor de metalen veebel van Meldert.

De vondst werd in een enorm slecht staat aangetroffen (fig. 9.6) tijdens de verdere materiaalverwerking van de opgraving in 2010. Deze slechte conditie met een agressieve metaalcorrosie is het gevolg van de minder goede bewaarcondities op de site. De zeer dikke en onregelmatige corrosielaag heeft echter wel een deklaag gevormd tegen een versnelde verwerking van het onderliggende materiaal waardoor duidelijk nog een metallische kern kon worden aangetoond zelfs zonder het nemen van röntgenopnames. De behandeling van het object dat bestond uit het mechanisch reinigen van het object en de stabilisatie ervan zonder over te gaan tot een ontzouting van het object.

Tijdens de reiniging van de binnenzijde konden tegen de wand aan enkele resten worden herkend die niet tot de corrosie van het eigenlijke belichaam behoorden. Deze elementen bleken zelf (deels) een nog bewaarde metallische kern te bevatten. Vermoedelijk gaat het om elementen van een klepel die in hetzelfde materiaal als het lichaam is uitgevoerd (fig. 9.7).

Naast de resten van de klepel is aan de binnenzijde ook een duidelijke groene schijn zichtbaar op zowel het eigenlijke lichaam, als op de resten van de klepel. Deze doen de aanwezigheid van een kopercomponent vermoeden. Dit vermoeden kon worden bevestigd door een klein stukje van de metaalkern van het lichaam open te leggen (fig. 9.7). waaruit duidelijk werd dat deze een goudkleurig uiterlijk vertoont.

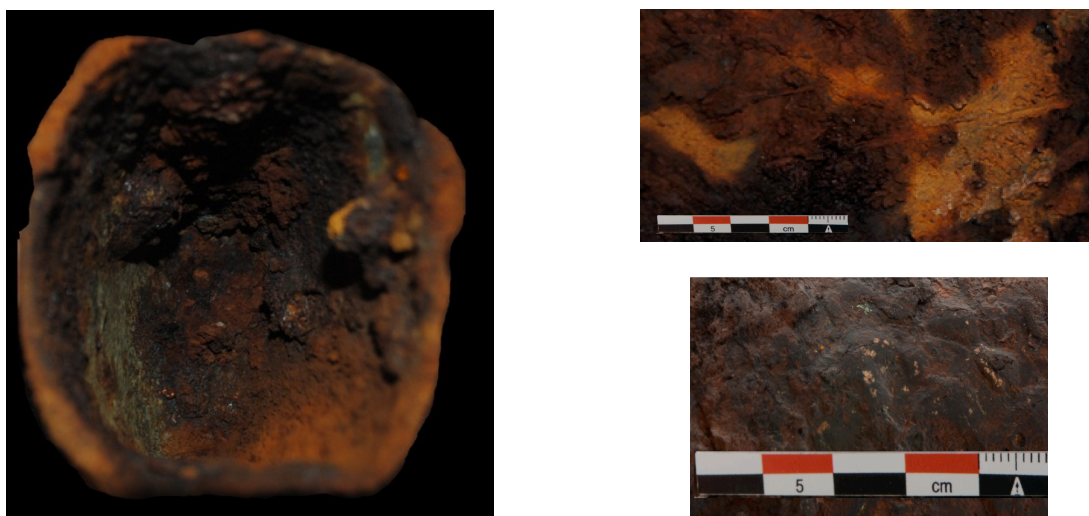


Fig. 9.7: Enkele opvallend 'sporen' in de bij conservatie verwijderde corrosielaag:
links: resten van een koperlegering en sporen van de klepel(?)
rechts – boven : indrukken van gras of hooi ; rechts – onder : detail van de 'goudkleurige' kern

De bijmenging van brons (of ten minste koper) moet enerzijds in een praktisch en anderzijds in een esthetisch oogpunt gezocht worden. Een verbronsde bel heeft een veel grotere stevigheid dan een bronzen exemplaar en is zo duurzamer en goedkoper¹²⁷. Esthetisch gezien echter geeft brons een mooiere en minder 'harde' klank dat toch deels als 'muziekinstrument' kan worden bestempeld.

Tijdens de reiniging van de buitenzijde werden in de corrosie ook langwerpige indrukken aangetroffen (fig. 9.7). Het langwerpige en 'bladvormige' uiterlijk van de indrukken doet een interpretatie van gras of strostengels vermoeden. Dit impliceert de aanwezigheid van dit materiaal samen in de kuil toen de corrosie zich begon te vormen. De kuil (S999) waarin het voorwerp wordt gevonden bevindt zich centraal tussen verschillende huizen binnen het laat Romeinse erf wat de aanwezigheid van stro in deze zone niet onplausibel maakt.

9.2.1.3 Een ijzeren paardenneusriem

Een bandvormig voorwerp (fig. 9.9) met een maximale grootte van 12,8 x 10,4 cm kan worden geïnterpreteerd als neusriem, een deel van een hoofdstel van een paard (fig. 9.8). In tegenstelling tot het frequenter voorkomend tweeledig type, is dit type vervaardigd uit een enkele strook smeedijzer met een breedte variërend tussen de 0,8 tot 1,7 cm. Slechts één van de uiteinden is bewaard. De uiteinden kwamen tot stand door het behameren van de ijzeren strook tot een puntiger, iets verbredend uiteinde met een quasi vierkante doorsnede.

De datering van deze vondst is niet zo nauwkeurig vast te stellen. Mogelijk gaat het om een vondst die op het einde van de laat Romeinse periode of in vroegmiddelse periode moet worden gedateerd naar analogie met een vondst uit Velzeke (fig. 9.10)¹²⁸. Deze toewijzing wordt nog versterkt door het

¹²⁷ Algemeen wordt aangenomen dat ijzer eenvoudiger (lokaal) te verkrijgen viel en hierdoor goedkoper was.

¹²⁸ Het betreft hier een gedamascineerd exemplaar uit de 5^e – 6^e eeuw, Provinciaal Archeologisch Museum Velzeke.

ontbreken van typologische referenties in de volle of late middeleeuwen. Ook de context van de vondst, een (post)middeleeuws verrommeld pakket, biedt geen verdere dateringsmogelijkheden.

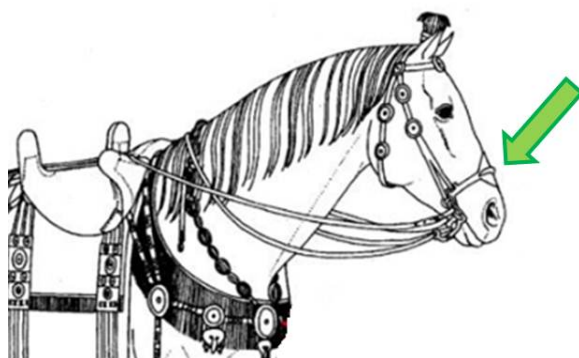


Fig. 9.8: De locatie van een neusriem in het hoofdstel van een paard¹²⁹.

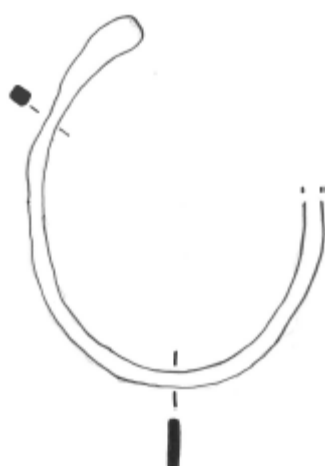


Fig. 9.9: Overzicht vande paardenneusriem: foto en tekening (schaal 1/3).



Fig. 9.10: Een 'rijkelijke' referentie van een éénledig paardenneusriem uit Velzeke¹³⁰.

¹²⁹ Tekening ACVU-HBS.

¹³⁰ © PAM Velzeke, Paddenstraat, Zottegem.

9.2.1.4 Een ijzeren gordelgesp

Wat voor reiniging een zeer amorf blokje ijzer bleek te zijn, vertoonde na het wegnemen van de meest agressieve corrosie een meer bekende vorm. Het voorwerp was ca. 7,4 x 3,2 cm groot en heeft een variërende dikte.

Na een gedetailleerde morfologische studie kan het fragment geïnterpreteerd worden als een fragment van een gordelgesp (fig. 9.11).



Fig. 9.11: Overzicht van het fragmentaire gordelbeslag: foto en tekening (schaal 1/1).

Deze gordelgesp is gemaakt uit smeedijzer en langs de riemzijde is nog een enkele nop zichtbaar in de corrosielaag. Deze nop is mogelijk het restant van de versierde knop bovenop een niet die de gesp moest vastmaken aan de eigenlijke riem. Aan de sluitingszijde is een tweeledig uitstulping van de vorm zichtbaar, die in verband kan worden gebracht met de eigenlijke sluiting van de riem. Mogelijk ontbreekt hier nog een ring of naald die de eigenlijke sluiting vormde.

Naast de resten van deze mogelijke sluiting vertoont deze zone ook een verdikt oppervlak dat in verband kan worden gebracht met een figuratieve uitwerking in deze zone. Mogelijk kon hier een dierenhoofd (ram?) in reliëf herkend worden.

De vrij eenvoudige vorm en de moeilijk te refereren versiering maken dat de datering van deze vondst moeilijk nauwkeurig valt te bepalen. Een datering in de laat Romeinse tot vroeg middeleeuwse periode kan als hypothese naar voren worden geschoven.

9.2.1.5 Overige vondsten met een onzekere vorm

Onder deze categorie vallen in de eerste plaats drie fragmenten die duidelijk als metaalslak kunnen worden geïnterpreteerd. Op basis van hun morfologie kunnen twee als uitvloeiingsslak en één fragment als kernslak worden bestempeld. Eén van de uitvloeiingsslakken is een vlakvondst en kan geen verdere contextuele informatie verschaffen. De overige twee fragmenten kunnen worden toegeschreven aan twee verschillende segmenten van hetzelfde (post)midleleeuwse greppelsysteem en getuigen vermoedelijk van een metaalproductie in de omgeving in die periode.

Verder zijn nog drie fragmenten het vermelden waard. In de eerste plaats gaat het om een stukje van vermoedelijk een bandkram afkomstig uit spoor 1016 en een metalen ring met een diameter van ca. 4,6 cm uit spoor 295. De ring, afkomstig uit de hutkom (S295), vertoont langs één zijde een verdikking in de corrosie die mogelijk de aanzet vormt tot een pin die het eventueel moet mogelijk maken om de ring ergens aan te bevestigen. Wat de exacte functie is van deze ring blijft eerder onduidelijk.

Een laatste fragment uit ijzer, afkomstig uit spoor 1311, is zo sterk gecorrodeerd dat alle zinvolle informatie met betrekking tot het voorwerp volledig is verdwenen.

9.2.2 Vondsten uit koperlegering

In totaal konden negen individuele fragmenten (tabel 9.2) worden ingezameld. De eigenlijke fragmentatie lag iets hoger maar alle fragmenten die duidelijk aan elkaar konden worden gepast worden niet langer als een apart fragment beschouwd.

Vondstnummer	Spoor	Materiaal	Soort	Aantal	Vorm
ME-10-ZE-145	823	koperlegering	brons?	1	belletje?
ME-10-ZE-213	1036	koperlegering	koper?	1	muntje
ME-10-ZE-222	1049	koperlegering	brons?	2	haakje?
ME-10-ZE-432	1016	koperlegering	brons?	1	stilus
ME-10-ZE-434	1172	koperlegering	koper	1	strip
ME-10-ZE-444	1311	koperlegering	brons?	3	strigilis?

Tabel 9.2: Lijst van de aangetroffen fragmenten in koperlegering.

De bewaringsconditie van de fragmenten in koperlegering was voor reiniging ronduit slecht te noemen. Een doorgedreven reiniging en consolidatie van het materiaal drong zich daarom ook op. De reiniging leverde een belangrijke meerwaarde naar samenstelling van het materiaal en aanwezige werktuigsporen.

Een eerste object, aangetroffen in spoor 823, is zeer fragmentair bewaard en bestaat uit een tweetal kleine fragmentjes (fig. 9.12-3 a+b). Een eerste fragmentje (3a) heeft een schijnbare ronde vorm maar maakt deel uit van een groter plaatvormig of strookvormig geheel. Een tweede fragmentje (3b) bestaat uit twee resten van een plaatvormig of strookvormig geheel die door een kleine niet met een rond kopje aan elkaar zijn geplaatst. Op het best bewaarde 'plaatje' zijn duidelijk twee lijnvormige indrukken waar te nemen aan de tegenzijde van de niet. Mogelijk gaat het hier om knijpsporen van een tang of ander instrument dat gebruikt werd bij het vervaardigen of nieten van het voorwerp. Het

voorwerp bestond met zekerheid uit minstens twee aan elkaar bevestigde fragmenten, al is de exacte vorm van het voorwerp niet meer te achterhalen. Gedacht kan worden aan een klein belletje of een beslagstrookje.

Een tevens zeer slecht bewaard bronzen schijfje werd gevonden in spoor 1036. Het betreft op basis van de samenstelling, de vorm en de afmetingen een 4^{de} eeuwse muntje waar op de kopzijde nog vaag een staafvormig figuurtje kan worden herkend. Verdere nauwkeurige datering is door de slechte bewaring in de bodem niet verder mogelijk.

Een derde object (fig. 9.12-B) is een smalle strook uit waarschijnlijk zuiver koper met maximale dimensies van 5,6 bij 0,7 mm dat werd aangetroffen in spoor 1172. Mogelijk gaat het om een eenvoudig beslagstrookje van een klein voorwerp.

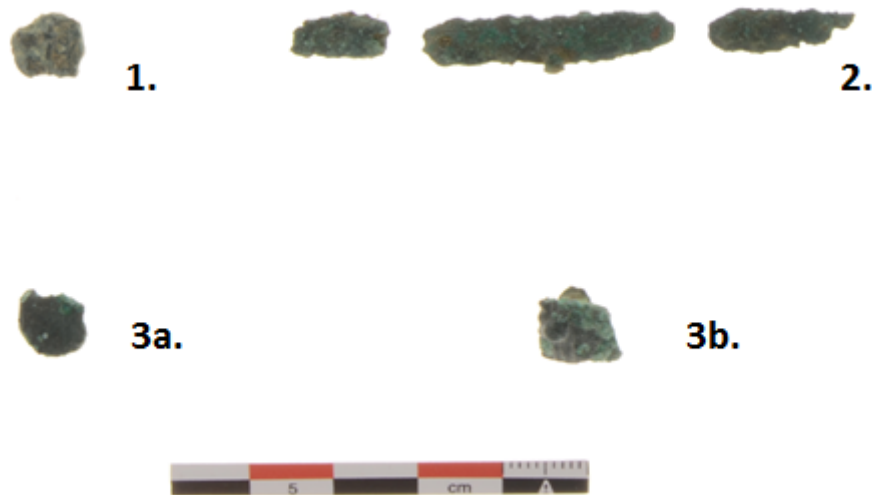


Fig. 9.12: Overzicht van de fragmentaire bronzen objecten.

Een viertal objecten bezitten over het algemeen grotere afmetingen en zijn eenvoudiger tot vorm terug te brengen. De eerste twee fragmenten (fig. 9.13) werden beide aangetroffen in spoor 1049. Ze zijn draadvormig en gebogen, wat eerst deed vermoeden dat ze samen een enkele ring zouden vormen. Na nauwere studie bleek de diameter van beide fragmenten niet overeen te komen en kon op iedere stukje een duidelijk puntje worden onderscheiden. Ze vormen dus beide een bronsdraadfragment van een groter geheel. Mogelijk moet hierbij gedacht worden aan een kledinghaakje, een deel van een sieraad of een vishaakje.

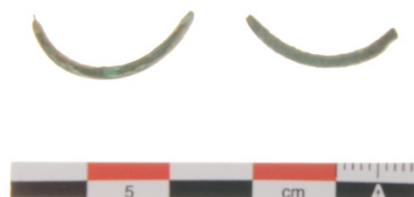


Fig. 9.13: Twee draadfragmenten in koperlegering (brons?)

Een derde fragment is een puntig toelopend staafje (fig. 9.14) dat aan de basis quasi vierkant van vorm is en uitloopt in een licht afgeronde punt. Op deze punt is nog duidelijk het afbraakpunt te zien van een naar alle waarschijnlijkheid nog fijner puntje. Het lichaam vertoont langs één zijde een duidelijke groef die het gevolg is van het vormhameren van het object. Naar gebruik kunnen vormelijke gelijkenissen worden gevonden met schrijfstiften of *stili* die gebruikt werden voor het schrijven in natte drager of wastabletjes. Mogelijk kan het hier aangetroffen fragment een gelijkaardige functie als *stilus* worden toebedeeld al moet wel worden opgemerkt dat enkel een deel van de punt bewaard is en de rest van de steel is afgebroken. Een grote variatie aan *stili* komt voor in de Romeinse periode die soms zeer rijkelijk zijn versierd. Het eenvoudig bronzen model in Meldert toont weinig verfijning in uitwerking of versiering in tegenstelling tot andere voorbeelden die in dezelfde regio zijn aangetroffen zoals te Beerse¹³¹.



Fig. 9.14: Punt van een schrijfstift of *stilus*.

Een sterk verwrongen brok metaal (fig. 9.15) deed voor reiniging sterk denken aan messing maar bleek na reiniging van het grijze oppervlak toch te bestaan uit een koperlegering. De plaatselijk blauwe schijn op het groene brons doet vermoeden dat het niet om een zuiver tinbrons gaat maar dat het metaal een zekere fractie arseen moet bevatten.

De drie fragmenten kunnen alle aan elkaar worden gepast, maar kunnen door de verwrongen toestand van het object niet terug aan elkaar worden verlijmd. Door middel van een flexibele meter konden de oorspronkelijke maximale (bewaarde) afmetingen van het voorwerp bepaald worden op een lengte van 12,6 cm en een breedte van 4,9 cm.

In oorsprong bestond de vorm van het voorwerp uit een lange bronzen strip, met minimaal de bovengenoemde afmetingen, die tot een U-vormig profiel was geplooid. Aan één uiteinde was de strip losgesneden in vier delen die paarsgewijs werden omgeplooid om zo een tweeledig handvat te vormen.

¹³¹ Ongepubliceerde data ADAK – Site Turnhout-Tijle-Nelestraat.



Fig. 9.15: Sterk verwrongen schraapijzer of *strigilis*.

De vorm is typerend voor een *strigilis* of schraapijzer. De vorm is in oorsprong Grieks maar werd samen met de Griekse badcultuur door de Romeinen overgenomen en verspreid over gans Europa. Het gebruik van dit object bestond erin dat na te zijn ingesmeerd met zeep of olie, deze samen met het vuil en de dode huid kon worden afgeschraapt. In onze contreien wordt het gebruik ervan pas echt populair wanneer ook de badcultuur voor een breder publiek zijn intrede doet vanaf de 2^{de} eeuw. Het is ook vanaf deze periode dat het bezitten of het meegeven van een *strigilis* aan een dode gezien wordt als een teken van status en romanisatie.

Referentievondsten worden in nederzettingscontext ook vrijwel niet gevonden waardoor de hier aangehaalde voorbeelden allemaal afkomstig zijn uit graven en hoofdzakelijk askisten uit de Maasregio (fig. 9.16).



Maastricht¹³²



Simpelveld (Heerlen)¹³³

Fig. 9.16: Overzicht van enkele beter bewaarde voorbeelden van *strigile*.

¹³² © Stedelijk Museum Maastricht.

¹³³ © Thermenmuseum Heerlen.

Op basis van de gereconstrueerde vorm sluit het exemplaar van Meldert morfologisch gezien het best aan bij het exemplaar uit Simpelveld vermits ook hier de *strigilis* lijkt te verdunnen naar de punt toe. Een dergelijk voorbeeld is ook teruggevonden in het grafveld van Krefeld-Gellep¹³⁴ maar kon ook daar niet nauwer worden gedateerd.

Het functionele gebruik van dit voorwerp in relatie met de romeinse badcultuur stelt de vondsten van enkele losse hypocausttegels en *tubuli* in een ander daglicht. Vormen zij samen de sporen van de aanwezigheid van een badgebouw in de nabije of bredere omgeving van de site?

9.2.3 Vondsten uit andere non-ferro metalen

Tot deze categorie van metaalvondsten behoren een enkel amorf fragment uit lood waarvan de exacte vorm niet meer te achterhalen valt mocht het in het verleden al een duidelijke vorm hebben gehad. Door het ontbreken van een duidelijke vorm is ook het eigenlijke gebruiksdoel moeilijk te achterhalen. Ook de overige vondsten in de context bieden naar interpretatie toe geen soelaas.

9.3 Interpretatie en sociale context van de aangetroffen metaalvondsten

De laat-Romeinse periode kenmerkt zich vaak door het voorkomen van relatief veel en rijke metaalcomplexen. Zo werden bij de opgraving van Gennep 350 munten en vele sieraden gevonden¹³⁵. In de laat-Romeinse nederzettingen in het MDS-gebied worden er echter tijdens opgravingen maar weinig metalen voorwerpen gevonden¹³⁶.

Het metaalensemble van Meldert getuigt van een zekere rijkdom en romanisatie van de materiële cultuur op de site. De aanwezigheid van een schrijfstift, een badschrapper en elementen van koperen of bronzen beslag duiden op de relatief hoge status van de site. Anderzijds tonen vondsten zoals een deel van het hoofdstel van een paard en de veebel dat de site toch een belangrijk agrarisch karakter had.

Het vondstensemble, ondanks het relatief beperkte omvang, laat toe de bewoners te tekenen als een landelijke boerenbevolking die duidelijk hun geromaniseerde aard aan de buitenwereld willen tonen. Gezien de sociale en politieke situatie in de laat-Romeinse periode is dit beeld vooral toe te schrijven aan sites met een Germaanse invloed. Het is dan ook de vraag of de typische elementen van romanisatie door de bewoners zelf zijn verworven of door het Romeinse gezag zijn geschokken als vorm van assimilatie.

¹³⁴ Pirling & Siepen 2006: Tafel 75.

¹³⁵ Heidinga & Offenberg 1992: 63, 102-112.

¹³⁶ Goirle-Huzarenwei: Bink 2005: 65; Alphen-Kerkakkers: De Koning: 71, 104.

Hoofdstuk 10 Studie van de glasvondsten

Tim Clerbaut & Anouk van der Kelen

10.1 Kwantificatie en fragmentatie

In totaal werden verspreid over de site 23 glasfragmenten aangetroffen. Na een eerste studie konden drie fragmenten uit deze studie worden weerhouden door hun recente karakter.

Binnen deze soms zwaar gefragmenteerde glasscherven werd getracht een indeling te maken naar vaatwerkfragment (fig. 10.1). Slechts één rand, twee versierde wandfragmenten en één mogelijk bodemfragment konden als diagnostische stukken worden opgetekend. Vier schouderfragmenten bieden mogelijk een inzicht op de aanwezigheid van enkele geknikte vormen.

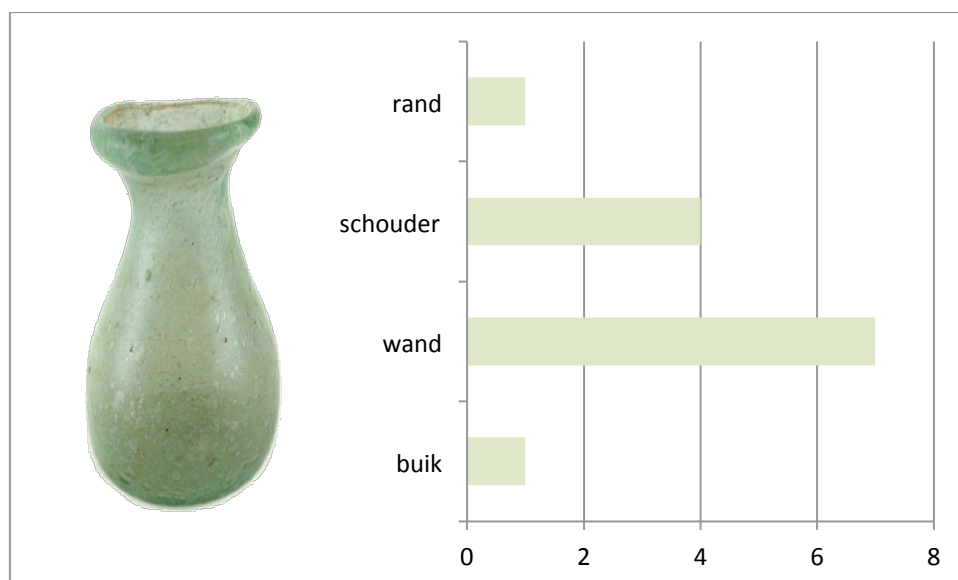


Fig. 10.1: Indeling van de aanwezige 13 glasscherven naar vaatwerkfragment.

Een ander karakteristiek kenmerk dat bij deze kwantitatieve benadering aandacht verdient, is de kleur van de gebruikte glasmassa. Van nature zou een standaard glasmassa van silica en natron een kleurloze, licht troebele massa moeten opleveren maar vermits de gebruikte grondstoffen nooit geheel zuiver zijn, heeft de glasmassa van nature een groenige of lichtblauwe kleur. Om glas een prominente kleur te geven is het noodzakelijk om aan de glasmassa een metaalcomponent toe te voegen als kleurmiddel.

Wanneer de variatie in kleur (fig. 10.2) voor deze assemblage wordt bekeken, blijkt al het glas (met uitzondering van het zwarte) een natuurlijke kleur te vertonen variërend tussen lichtgroen en geelgroen.

Een dominantie van een groene tot geelgroene doorschijnende glasmassa met een grote hoeveelheid zichtbare luchtbelletjes zoals hier het geval is, kent dateerbare parallelen in de laat-Romeinse tot vroeg-middeleeuwse periode¹³⁷.

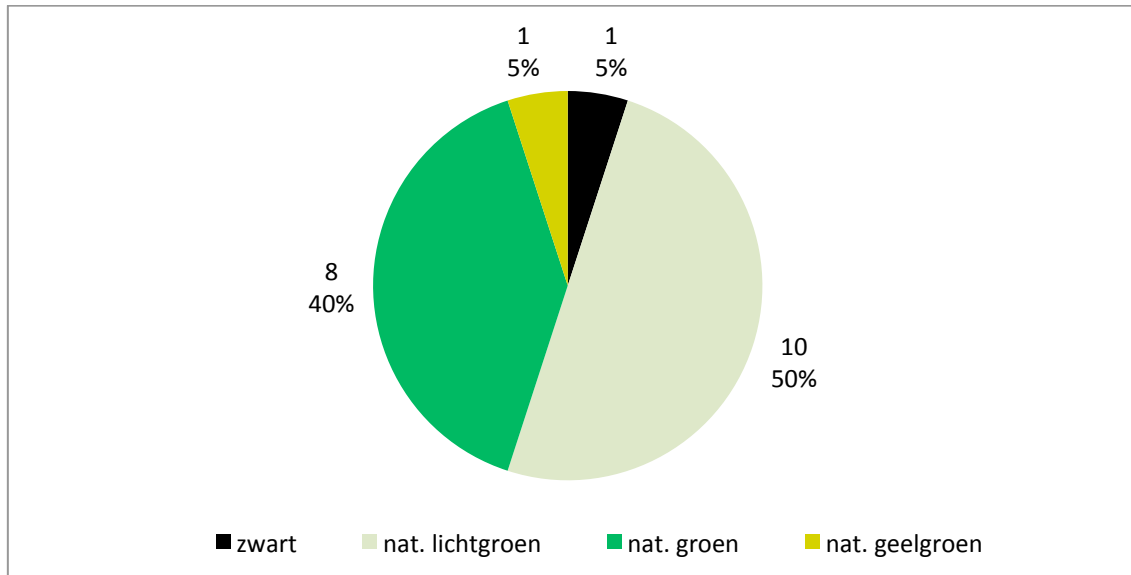


Fig. 10.2: Indeling volgens kleur van de gebruikte glasmassa (n=20).

10.2 Ruimtelijke spreiding van het glasmetaal op de site

Bij de studie van de spreiding van het glasmetaal (fig. 10.3) is al snel duidelijk dat alle glasfragmenten zich verspreiden over de westelijke zone van het opgravingsterrein waar de erven uit de laat-Romeinse periode zich bevinden.

De waterput en -kuil die het centrum van deze zone vormen, lijken tevens de kern van de cluster. Beide structuren leverden ook zelf enkele glasfragmenten op. Enkele andere opmerkelijke structuren bij de verspreiding van het glas zijn de twee mogelijke kelderkuilen die zich net naast de twee meest zuidelijke plattegronden bevinden. Deze twee vierkante kuilen (S1165 + S1172) bevatten ieder meerdere fragmenten glas waarbij kuil S1165 in totaal zes fragmenten glas bevatte die toe te wijzen zijn aan tenminste twee platen vlakglas. Dit vlakglas met zijn natuurlijk groene kleur en doorschijnend uiterlijk maakt vermoedelijk deel uit van vensterglas.

Een laatste belangrijke context is deze van een wandstijl van een gebouwplattegrond in de NO-hoek van het terrein. Deze paalkuil behoorde mogelijk tot een dragende paal in de korte zijde van het gebouw. In de vulling werd een fragment van een armband in zwart glas gevonden en die mogelijk als een bouwoffer kan worden geïnterpreteerd.

¹³⁷ Van den Dries 2007; Sas & Van den Dries 2009.

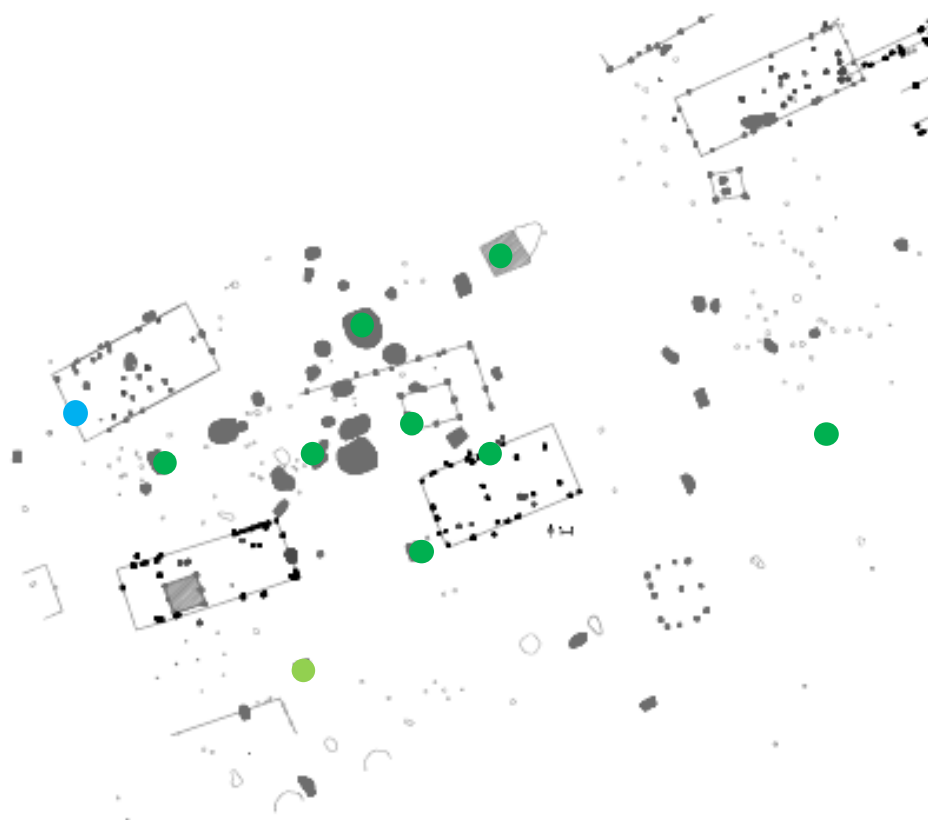


Fig. 10.3: Spreiding van de glasvondsten over de site:
blauw: armband in zwart glas, lichtgroen: vlakglas, donkergroen: glazen vaatwerk.

10.3 Beschrijving van het aanwezige (laat-)Romeinse glasmateriaal

10.3.1 Vormingstechniek

Tabel 10.1 geeft een algemene beschrijving van alle aangetroffen glasfragmenten op de site¹³⁸. Het is opvallend dat alle glasfragmenten, met uitzondering van het vlakglas, duidelijk matige tot grote luchtbelletjes vertonen in hun glasmatrix. Deze belletjes samen met het ontbreken van duidelijke sporen van een mal wijzen op het vrij blazen van het glas als vormingstechniek. Ook voor de zwart opake glasarmband is de glasmassa mogelijk eerst licht geblazen alvorens deze op draad werd getrokken. Van dit beperkt blaasproces getuigen een beperkte hoeveelheid kleine luchtbelletjes.

Naast het vrij geblazen glas zijn er zes fragmenten vlakglas aangetroffen. Dit vlakglas werd niet geblazen maar als vloeibaar glas uitgegoten tot het zich had 'gezet'. Al het vlakglas is afkomstig van een enkele kuil (S1165).

¹³⁸ Ook hier zijn de drie recente flesfragmenten niet opgenomen.

Inventarisnr.	Spoor	Materiaal	Aantal	Kleur	Fragment	Vorm
ME-10-ZE-043	191	geblazen glas	1	quasi opaak zwart	lichaam	armband
ME-10-ZE-255	275	geblazen glas	1	natuurlijk lichtgroen	wand	gebogen
ME-10-ZE-182	295 L1	geblazen glas	2	natuurlijk lichtgroen	schouder	gebogen
ME-10-ZE-184	295 L2	geblazen glas	1	natuurlijk lichtgroen	wand	quasi recht
ME-10-ZE-257	597	geblazen glas	1	natuurlijk groen	schouder	gebogen
ME-10-ZE-073	619	geblazen glas	1	natuurlijk geelgroen	schouder	gebogen
ME-10-ZE-144	823	geblazen glas	1	natuurlijk lichtgroen	wand	gebogen
ME-10-ZE-202	999	geblazen glas	2	natuurlijk lichtgroen	wand	gebogen
ME-10-ZE-218	1044	geblazen glas	1	natuurlijk groen	wand	gebogen
ME-10-ZE-426	1065	geblazen glas	1	natuurlijk lichtgroen	wand	gebogen
ME-10-ZE-270	1165	vlakglas	5	natuurlijk groen	vlak	vlakglas
ME-10-ZE-279	1165	vlakglas	1	natuurlijk lichtgroen	vlak	vlakglas
ME-10-ZE-281	1172	geblazen glas	1	natuurlijk lichtgroen	rand	recht
ME-10-ZE-273	1206	geblazen glas	1	natuurlijk groen	buik	gebogen

Tabel 10.1: beschrijving van de aangetroffen glasfragmenten.

10.3.2 Detailbeschrijving van het aanwezige vlakglas

Het aanwezige vlakglas is afkomstig uit de mogelijk kelderkuil S1165. In totaal konden zes fragmenten vlakglas worden ingezameld. Eén enkel fragment met een natuurlijke lichtgroene kleur en een afwijkende dikte van 1,8 mm behoort duidelijk tot een andere plaat dan de overige vijf fragmenten die natuurlijk groen van kleur zijn en een dikte hebben van 2,1 mm. Van deze laatste plaat is het grootste oppervlak bewaard (fig. 10.4), waarvan met zekerheid vier fragmenten aan elkaar kunnen worden gepast. Eén zijde van het glas is duidelijke mat wat wijst op de onderzijde van het glas. Dit gietoppervlak vertoont kleine putjes en krasjes wat het gevolg is van de oneffenheden van het vlak waarop gegoten werd. De andere zijde is quasi vlak en heeft een glanzend oppervlak.

Vlakglas wordt veelal gebruikt als vensterglas. In de mediterrane wereld kent het vooral zijn toepassingen bij gebouwen die verwarmd waren om de warmte binnen te houden. In de koudere streken in het noorden van het Rijk, komt vensterglas frequenter voor als wind- en koudewerend element, ook in niet verwarmde ruimtes.

Het aantal fragmenten is echter dermate klein en de absolute relatie met één van de gebouwen is niet echt duidelijk. Had één van de houten vakwerkgebouwen uit de laat-Romeinse tijd vensterglas? Is het vensterglas het restant van een mogelijk (midden-) Romeinse bewoning in de nabijheid van de site? Of moet het vensterglas samen met de vondst van enkele hypocaustelementen en de badschrapeer gezien worden als de restanten van een *hypocaustum*, gelinkt aan een badhuis in de nabije of bredere omgeving van de site?



Fig. 10.4: Overzicht van het terug aan elkaar gepuzzelde vlakglas.

10.3.3 Detailbeschrijving van het fragment van een glazen armband

Een enkel fragment glas dat niet tot het vaatwerk kan worden gerekend, is tevens ook het enige fragment in zwart glas.

Het betreft een fragment van een eenvoudige armband met een D-vormige doorsnede. Dergelijke opaak zwart glas met soms een donkergroene schijn werd al sinds de late ijzertijd benut voor het vervaardigen van armbanden. In vroeg-Romeinse contexten worden deze regelmatig aangetroffen waar ze worden toegeschreven aan het type Haevernick 3a¹³⁹.

De vorm is echter zo eenvoudig te vervaardigen dat deze vorm blijft voortbestaan doorheen de Romeinse periode. Er zijn 2^{de} en 3^{de} eeuwse voorbeelden gekend uit verschillende museumcollecties¹⁴⁰.

Of deze armbanden nog voorkomen tot in de laat-Romeinse periode is moeilijk met zekerheid te stellen. Het fragment bevindt zich in ieder geval in één van de wandstijlen (S191) van een laat-Romeins huis. De positionering van deze vondst in de wandstijl, die vermoedelijke de steunende paal vormde in de kopse zijde van het gebouw, doet vermoeden dat deze paalkuil bewust werd uitgekozen voor het bijzetten van het armbandfragment. Mogelijk gaat het dan ook om een bouw- of verlatingsoffer.

¹³⁹ Haevernick 1960: 45.

¹⁴⁰ Cesnola Collection – Metropolitan Museum of Art, New York.



Fig. 10.5: Fragment van een zwartglazen armband.

10.4 Poging tot een typochronologische studie

Door de sterke fragmentatiegraad van het materiaal is het erg moeilijk om tot een typologische toewijzing te komen. Van de 20 fragmenten voor studie aangeboden fragmenten kunnen slechts één rand en twee wanden met zekerheid typologisch ingedeeld worden.

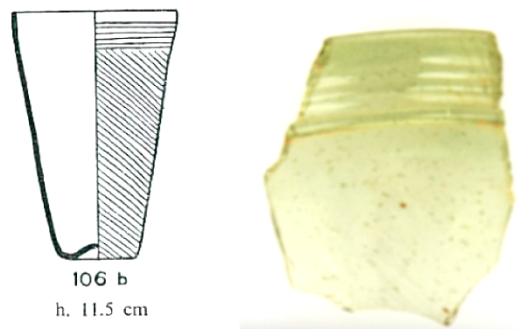


Fig. 10.6: Het randfragment van de hoge beker samen met zijn typologische referentie.

Het betreft in de eerste plaats een quasi verticale rand van een hoge beker van het type Isings 106b¹⁴¹. De onverdikte rand is langs de buitenzijde gegroefd met een totaal van drie groeven gevormd door horizontale 'bandjes'. De onderste van deze bandjes is duidelijk dikker dan de andere en sluit zo duidelijk de randzone af van de rest van het lichaam dat vlakdekkend versierd is. Het lichaam is versierd met licht gebogen diagonalen die van linksboven naar rechtsonder over het lichaam lopen. Mogelijk is dit patroon tot stand gekomen door tijdens het blazen een 'twist' in tegenwijzerszin mee te geven aan het glaslichaam. Een andere geponeerde mogelijkheid voor de vervaardiging van dergelijke ribversiering is deze van het blazen door een gegroefde ring. Deze techniek was vooral populair in de Frankische periode bij de vervaardiging van conische glasvormen¹⁴².

¹⁴¹ Isings 1957: 127.

¹⁴² Isings 1957: 129; Haberey 1942: 253.

Deze bekers die typerend zijn voor 4^{de}-eeuws materiaal, komen ook voor in onversierde vorm en vormen de rechtstreekse voorloper van de kegelvormige bekers die vanaf de 5^{de} eeuw en tot in de vroege middeleeuwen het glasrepertorium zullen domineren. Het ontbreken van een afgeronde lip zou kunnen wijzen op een vroegere vorm binnen dezelfde eeuw al komen ook verticale lipvormen nog voor tot het einde van de 4^{de} eeuw¹⁴³. De aanwezigheid van de diagonale ribbelversiering op het lichaam spreekt deze vroege datering echter tegen. Referentievondsten uit Mayen dateren alle na 370 n. Chr., waarbij naast graven uit de 4^{de} eeuw ook voorbeelden voorkomen uit de eerste helft van de 5^{de} eeuw. Het exemplaar uit Meldert kan dan ook het best gedateerd worden op het einde van de 4^{de} eeuw en de eerste helft van de 5^{de} eeuw¹⁴⁴.

Daarnaast konden op twee wandfragmenten een lichte deuk of del worden herkend. Deze deuken met een diameter van 12 mm behoren tot een wandversiering die kan worden toegewezen aan halfbolle bekertjes met deuken. De deuken zijn kriskras dan wel in rijen verdeeld over de wand.

Typologisch kunnen deze twee fragmentaire wandfragmenten worden toebedeeld aan het type Gellep 330¹⁴⁵. Op basis van enkele referentievondsten is het mogelijk het vroegste voorkomen van dit type te dateren in het begin van de 4^{de} eeuw, al lijkt het type vooral voor te komen in het midden van diezelfde eeuw¹⁴⁶.

Tot slot zijn er nog vier schouderfragmenten die duidelijk getuigen van een geknikte vorm maar moeilijk tot een exact type kunnen worden teruggebracht. De aproximatieve diameter van de fragmenten samen met de positionering doen vermoeden dat het gaat om tenminste drie lage bekers of drinkkommetjes met een naar buiten geknikte rand. Typologische referentie voor deze vorm is terug te vinden bij o.a. het type Gellep 180 en 331. Bij dit laatste type is de schouder nog net iets meer ingesnoerd dan bij het type Gellep 180. In het algemeen kunnen vormen met een naar buiten geknikte rand gedateerd worden vanaf de (tweede helft van) 4^{de} eeuw tot op het einde van de 5^{de} eeuw¹⁴⁷.

10.5 Interpretatie van de aangetroffen glasvondsten

Het aantal glasvondsten in de laat-Romeinse of vroegmiddeleeuwse sites is relatief beperkt. De graven leveren veelal nog de meeste stuks (intact) glas op, al zijn ook hier de vondsten zeer beperkt te noemen. Op nederzettingssites is het voorkomen van glasmateriaal eerder de uitzondering dan de regel. Dit maakt dat de grote, dan wel gefragmenteerde, vondstgroep uit Meldert eerder uitzonderlijk is, zeker omdat alle fragmenten verspreid over de gehele laat-Romeinse zone voorkomen. Ook de aanwezigheid van laat-Romeins vensterglas lijkt voor Vlaanderen een unieke vondst. Net zoals bij de metalen voorwerpen, kan vanuit het standpunt van het glasmateriaal de rijkere en geromaniseerde status van de site worden aangetoond.

¹⁴³ Isings 1957: 126-129.

¹⁴⁴ De aardewerkdatering voor dit spoor bevestigt deze datering in hoofdzakelijk de 4^{de} eeuw.

¹⁴⁵ Pirling & Siepen 2006: 241.

¹⁴⁶ Pirling & Siepen 2006: 242.

¹⁴⁷ Pirling & Siepen 2006: 238-250.

Hoofdstuk 11 Studie van het lithische materiaal

Tim Clerbaut & Nick Van Liefferinge

11.1 Inleiding en kwantificatie

In totaal werden verspreid over de site 29¹⁴⁸ fragmenten natuursteen ingezameld met een totaal gewicht van 3885 g. Tabel 11.1 geeft een overzicht van de verschillende spoor- en oppervlaktevondsten naar aantal, gewicht en materiaaltechnische eigenschappen.

Inventaris	Spoor	Soort natuursteen	vorm	kleur	n	m (g)
ME-10-ZE-007	169	wommersom kwartsiet	afslag	grijs	1	<1
ME-10-ZE-141	180	ijzerzandsteen	-	roestbruin	1	8
ME-10-ZE-244	259	kwartsiet	rolkei	lichtgrijs	1	32
ME-10-ZE-466	275 L2	ijzerzandsteen	-	roestbruin	1	663
ME-10-ZE-466	275 L2	grofkorrelig kwartsiet	-	lichtgrijs	1	298
ME-10-ZE-183	295	ijzerzandsteen	-	roestbruin	1	<1
ME-10-ZE-258	597	tefriet	maalsteen	grijs	1	1332
ME-10-ZE-080	696	ijzerconcretie	'geode'	roestbruin	1	32
ME-10-ZE-142	840	versteende metaalslak	-	grijsbruin	1	725
ME-10-ZE-142	840	ijzerzandsteen	-	roestbruin	1	69
ME-10-ZE-165	943	(ijzer)zandsteen	-	bruingrijs	1	36
ME-10-ZE-285	1234	ijzerzandsteen	-	roestbruin	1	44
ME-10-ZE-324	1448	ijzeroer	-	roestbruin	2	363
ME-10-ZE-326	1485	ijzerzandsteen	-	roestbruin	6	13
ME-10-ZE-375	1673	silex	afslag	lichtgrijs	1	<1
ME-10-ZE-095	OV 3	kwartsiet	klopper ?	groengrijs	1	175
ME-10-ZE-126	OV 28	ijzerzandsteen	-	roestbruin	1	10
ME-10-ZE-127	OV 29	ijzerzandsteen	-	roestbruin	1	9
ME-10-ZE-154	OV 31	grofkorrelig kwartsiet	-	bruingrijs	1	<1
ME-10-ZE-447	OV 36	silex	microkling	lichtgrijs	1	<1
ME-10-ZE-300	OV 43	ijzeroer	-	roodbruin	1	59
ME-10-ZE-352	OV 80	silex	afslag	lichtgrijs	1	<1
ME-10-ZE-354	OV 83	(mijn)silex	schrabber	lichtgrijs	1	9
TOTAAL					29	3877

Tabel. 11.1: Overzicht van de natuursteenvondsten op de site.

Bij de grafische voorstelling van deze gegevens (fig. 11.1) valt meteen de dominantie op van de ijzerhoudende natuursteensoorten in zowel de fragmenthoeveelheid als in de gewichtsverhouding. Andere natuursteensoorten zoals silex, kwartsiet van Wommersom en andere kwartsietsoorten

¹⁴⁸ In totaal ging het om 31 fragmenten wanneer de twee verbrande chips silex worden meegerekend die tussen de stalen verbrand bot werden gevonden. Door hun natuurlijke aard worden ze hier niet mee opgenomen.

komen in mindere mate voor en dit ook in kleinere en/of lichtere fragmenten. Opvallend is nog een enkel maar groot fragment van een stuk tefriet in de waterkuil (S597).

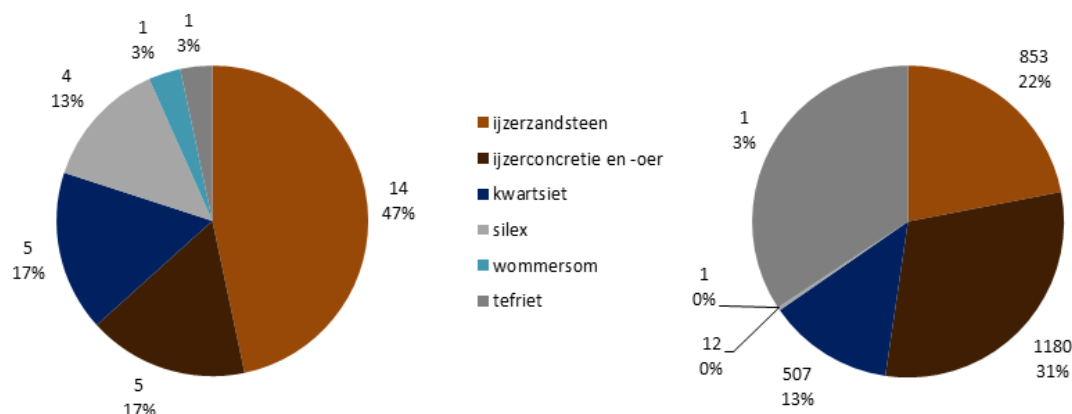


Fig. 11.1: Samenstelling van de aangetroffen natuursteenasssemblage
links: absolute aantallen(n=29) – rechts: gewichtpercentage(m=3885g).

11.2 Herkomst van het aangetroffen lithisch materiaal

Het in Meldert aangetroffen lithisch materiaal is naast zeer divers van aard ook zeer divers in herkomst (fig. 11.2). De meeste natuursteenfragmenten (23 fragmenten of 79% van het materiaal) komen van nature voor in de omgeving van de site en kunnen door het ontbreken van duidelijke functionele vormen geduid worden als lokaal natuursteenfragment. Deze categorie omvat de ijzerzandsteenfragmenten en andere ijzerhoudende concreties, de rolkei in kwartsieten en andere (kleine) fragmenten van kwartsiet.

Duidelijk importmateriaal is te herkennen in het fragment kwartsiet van Wommersom dat enkel in het gelijknamige gehuchtje van Tienen dagzoomt¹⁴⁹. Ander importmateriaal is een maalsteenfragment in tefriet, afkomstig uit de Eifelregio.

De vier fragmenten silex zijn moeilijker naar exacte herkomst in te delen. Rolkeien die als plaatselijke bron van silexwinning kunnen worden gebruikt, konden binnen het beperkte assemblage niet worden geduid. Een enkel fragment uit lichtgrijze vuursteen is mogelijk terug te brengen tot de mijnsilex van Spiennes of Rijckholt maar ook andere ontsluitingsplaatsen van krijtafzettingen uit het Maastrichtiaan vormen een mogelijk herkomstgebied.

¹⁴⁹ Blomme e.a. 2012: 193-199.

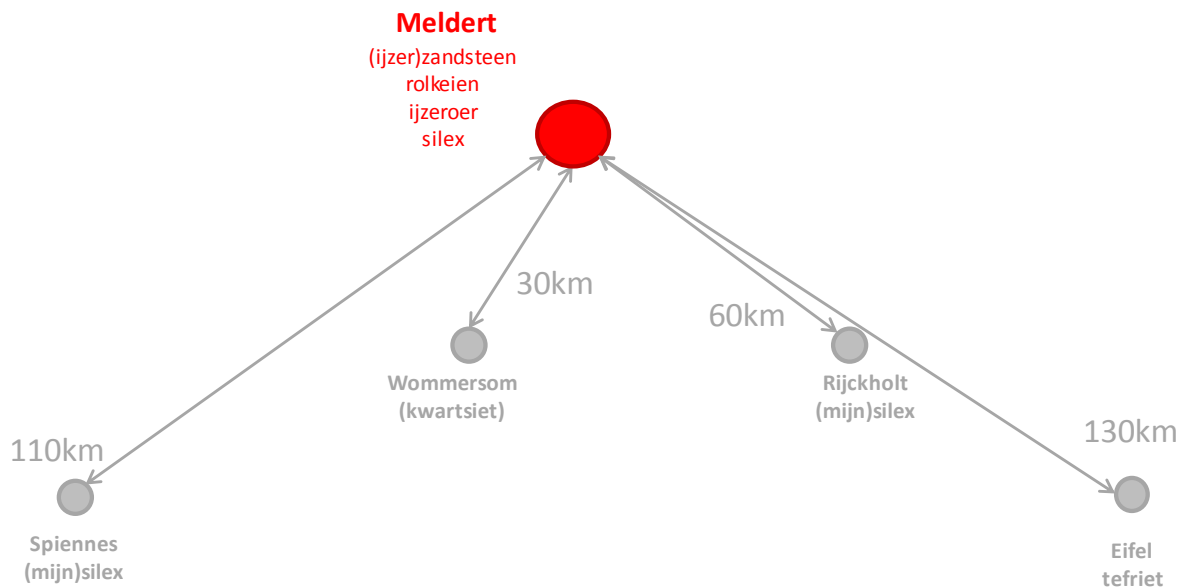


Fig. 11.2: Anamorfosekaart van de mogelijke herkomstgebieden van de natuursteenvondsten en hun onderlinge afstand tot de site.

11.3 Beschrijving van de lithische artefacten

11.3.1 Artefacten in silex en kwartsiet van Wommersom

In totaal konden vier fragmenten silex en één fragment wommersomkwartsiet (fig. 11.3) worden ingezameld. Het betreft in alle gevallen om vondsten in een natuurlijk spoor of oppervlaktevondsten.

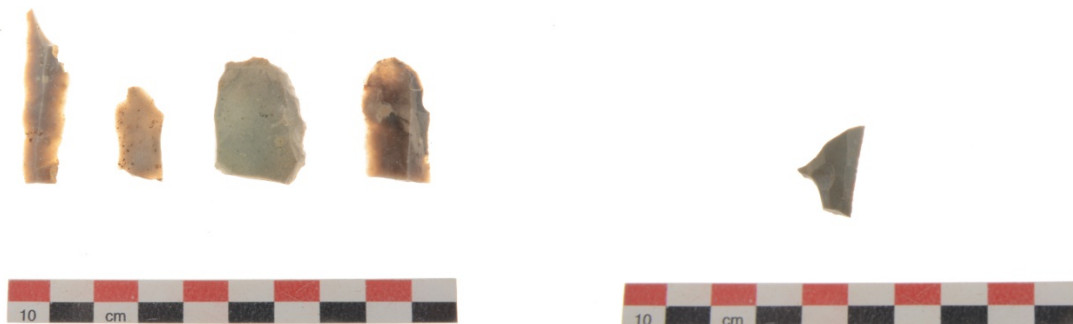


Fig. 11.3: Overzicht van de aangetroffen lithische artefacten:
links: silex – rechts: wommersomkwartsiet.

Wat de silex betreft konden twee niet geretoucheerde artefacten worden herkend, beide in een lichtgrijze, aan de randen licht translucente silex. De spitse en langgerekte vorm van het eerste fragment maakt het zeker mogelijk deze afslag nog verder functioneel te gebruiken. Het andere fragment is dermate klein en dun dat eerder aan débitageafval moet worden gedacht.

Naast de fragmenten zonder een duidelijke functionele vorm komen duidelijk twee werktuigen voor.

Een eerste voorwerp (fig. 11.4-A) uit een opake lichtgrijze (mijn)silex betreft een enkelvoudige afslagschrabber. Opvallend is de situering van het schrabhoofd op het proximale gedeelte van de afslag. De fijne uitvoering, techniek en gebruikte silexsoort doen een datering in het midden- tot laat-mesolithische periode vermoeden¹⁵⁰.



Fig. 11.4: Overzicht van de lithische artefacten:
schaal 1/1.

Een tweede voorwerp (fig. 11.4-B) betreft een microkling uit een grijze vuursteen met duidelijke langwerpige afhakingen. Mogelijk is een stuk van het lichaam afgebroken zodat enkel het distale deel werd aangetroffen. Dergelijke microklingen werden courant tijdens het mesolithicum, wat de datering in deze periode verder ondersteund.

11.3.2 Artefact in groengrijs kwartsiet

Eén fragment uitgevoerd in een groengrijze kwartsiet heeft een opmerkelijke vorm (fig. 11.5). Het betreft een afgeronde ronde schijf die op beide hoofdvlakken een lichte deuk of del vertoont. Mogelijk is deze vorm bewust geselecteerd of vervaardigd door percussie. Deze vorm vertoont grote gelijkenissen met een ondoorboorde rolsteenhamer of *Geröllkeule*¹⁵¹. Dit lithische gebruiksvoorwerp kent geschacht een gebruik als hamer. De zeer ondiepe deuk maakt echter een stevige schachting onmogelijk. Een gebruik als graafstokverzwaring of klein aambeeld lijkt als functioneel doel voor het voorwerp eerder plausibel.

Het kan ook gaan om een 'napjessteen' die mogelijk gebruikt werd bij de bereiding van voedsel, zoals het breken van zaden of noten. Deze stenen zijn vooral bekend uit het neolithicum, maar een datering in latere periodes kan niet uitgeloten worden¹⁵².

Het object werd als oppervlaktevondst (OV 3) aangetroffen binnen de contouren van een laat-Romeinse gebouwplattegrond maar kan chronologisch moeilijk aan deze periode worden gelinkt.

¹⁵⁰ Verhart & Groenendijk 2005: 163.

¹⁵¹ Verhart & Groenendijk 2005: 165. Biermann 2006.

¹⁵² Theunissen 2009: 154.

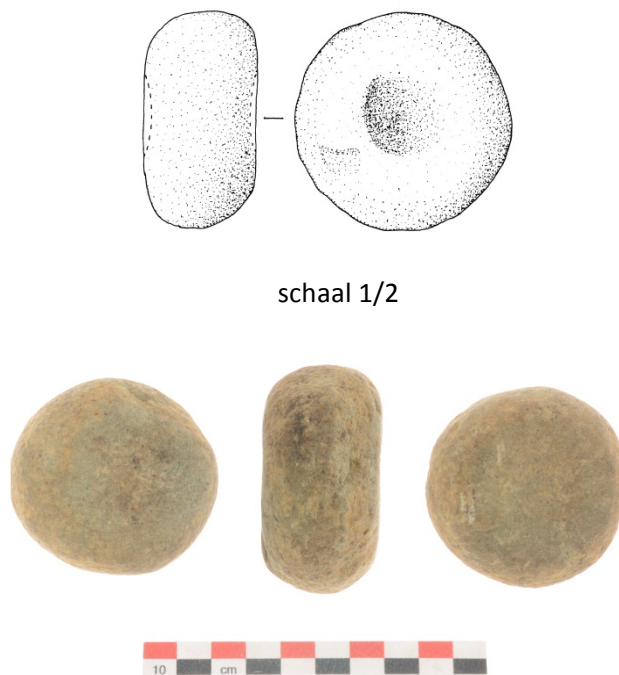


Fig. 11.5: Overzicht van de mogelijke *Geröllkeule*.

11.3.3 Maalsteenfragment in tefriet

Een laatste opmerkelijk fragment is dat van een maalsteen uit tefriet (fig. 11.6). Het fragment kan door zijn typerende profiel en functionele maalzijde met groeven aan de bovenzijde geïnterpreteerd worden als een fragment van een loper of *cattilus*.

Tefriet is een vulkanisch gesteente dat in onze contreien gevonden wordt in de vulkanische regio van de Eifel. Vooral tijdens de Romeinse periode is er een florerende handel in tefrietmaalstenen uit deze regio over het gehele noordelijke Romeinse Rijk.

Een datering in de Romeinse tijd wordt mede bevestigd doordat dat het fragment deel uitmaakt van het assemblage aangetroffen in de laat-Romeinse waterkuil.

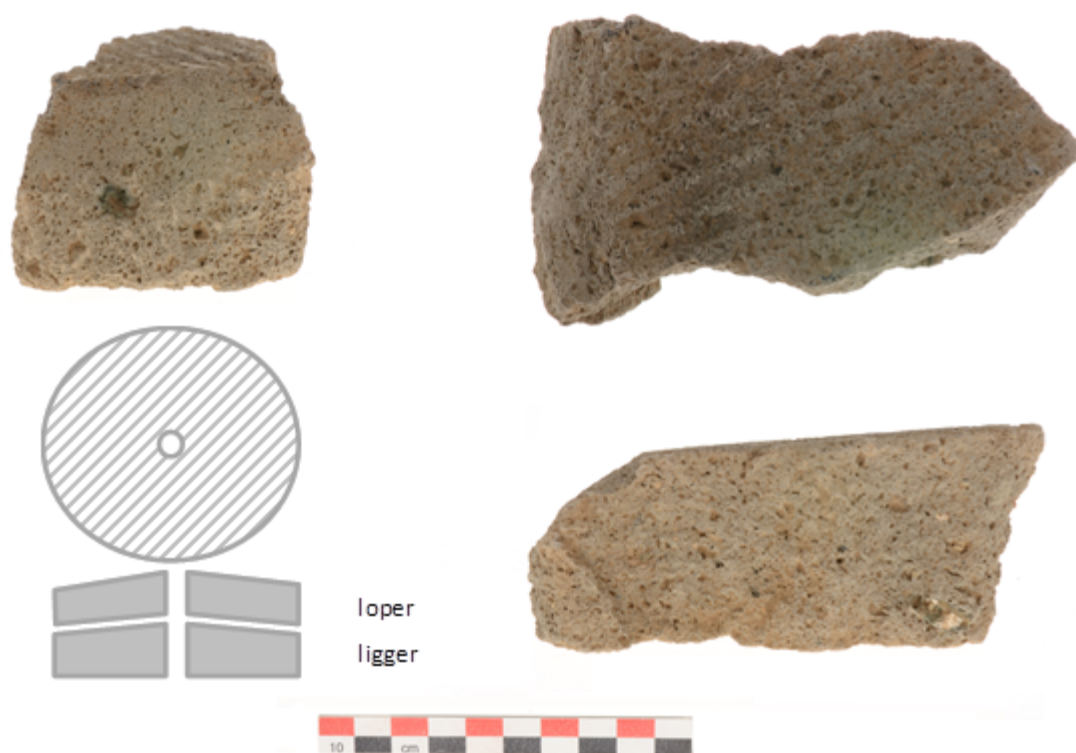


Fig. 11.6: Overzicht van het tefrietfragment van een maalsteen.

Hoofdstuk 12 Analyse van de houtvondsten

Tim Clerbaut & Anouk van der Kelen

12.1 Inleiding tot houtvondsten in de Romeinse periode

Door zijn natuurlijke verspreiding, zijn relatief eenvoudige verwerking en zijn stevige structuur is hout een dankbaar materiaal om te gebruiken bij de vervaardiging van gebruiksvoorwerpen. Reeds in de Romeinse tijd werd hout multifunctioneel ingezet als constructiemateriaal voor huizen en waterputten of als grondstof voor fijnere gebruiksoBJECTEN zoals onder andere emmers, kammetjes en kistjes. Ondanks de grote hoeveelheid hout die in het verleden moet zijn gebruikt, is er slechts weinig archeologisch gekend over deze vondstcategorie.

Voor veel voorwerpen was er een duidelijke voorkeur in de gebruikte houtsoort voor de fijnere en meer luxueuze objecten. Dit leidde tot het ontstaan van gespecialiseerde ateliers die een afzetmarkt kenden over het gehele Romeinse Rijk. De verschillende houtsoorten kwamen immers niet overal in het Romeinse Rijk voor en waren zo ook een gegeerd handelsproduct. Een goed voorbeeld hiervan is buxushout dat over lange afstand werd verhandeld voor het vervaardigen van luxueuze kammen¹⁵³.

Ook voor hout dat als constructiemateriaal werd gebruikt ontstond na verloop van tijd een voorkeur. Hierbij valt op dat de keuze in de Romeinse periode meer en meer naar eikenhout overhelt¹⁵⁴. Archeologisch en natuurwetenschappelijk onderzoek heeft uitgewezen dat de keuze van de houtsoort op een gegeven moment niet langer ingegeven was door lokale voorradigheid, maar dat er bewust aan aanplanting van bossen werd gedaan die rekening hielden met het type hout dat men het meest frequent gebruikte¹⁵⁵.

12.1.1 Houtvondsten, bewaringsconditie en vondstcontext

Alle macroresten van hout werden aangetroffen binnen de context van de waterput (fig. 12.1). In totaal konden 27 individuen in hout worden ingezameld uit het onderste deel van de waterput, onder de grondwatertafel. Deze selectieve bewaring heeft alles te maken met de geschikte bewaringscondities voor hout. Hout is erg onderhevig aan degradatie doorheen de tijd die te wijten is aan interne degradatie van de structuur. Deze structuur bestaat grotendeels uit lignine en cellulose. Deze laatste wordt afgebroken tot suikers wat een verlies aan interne structuur en stevigheid met zich meebrengt en het oprotten van het materiaal bevordert¹⁵⁶.

¹⁵³ Thys 2012: 33.

¹⁵⁴ Haneca e.a. 2005.

¹⁵⁵ Haneca e.a. 2005; Mondelinge mededeling Thys 2012.

¹⁵⁶ Rowell & Barbour 1988: 10-14.

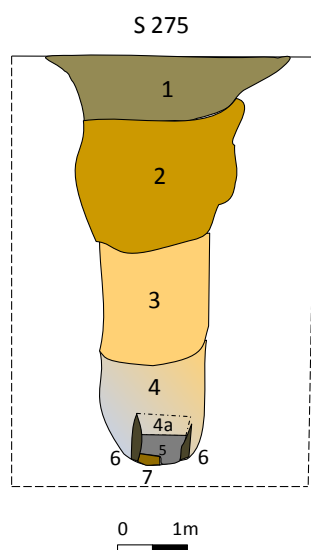


Fig. 12.1: Overzicht van de vondstcontext van de boomstamwaterput (S275).

12.1.2 Houtvondsten in Vlaanderen: *status quaestiones*

Hout komt in archeologische context regelmatig aan het licht en dit vooral in de vorm van constructiehout. Dit heeft grotendeels te maken met de bewaringsproblematiek van hout in de bodem. Enkel wanneer de bodemgesteldheid goed is en de context vochtig genoeg blijft hout dermate goed bewaard dat verder archeologisch onderzoek mogelijk is. De meest geschikte bewaringscondities op de zandige en droge bodems van Vlaanderen zijn dan ook *waterlogged conditions* die voorkomen bij bewaring onder de grondwatertafel. Hierdoor is vooral diep in de bodem begraven constructiehout zoals dit van waterputten erg goed bewaard. Naast constructiehout leveren deze waterputten soms ook andere gebruiksvoorwerpen op.

Tot voor kort was er enorm weinig geweten over deze houten gebruiksvoorwerpen maar een recente studie van Clara Thys in het kader van haar masterscriptie bracht hier verandering in¹⁵⁷.

Deze studie geeft een overzicht van een zo groot mogelijk overzicht van de gebruiksvoorwerpen in hout gedurende de Romeins periode. In totaal konden 54 verschillende voorwerpen worden opgelijst, verspreid over gans Vlaanderen (fig. 12.2). In de regio van Meldert (rode cirkel) is het aantal houtvondsten relatief beperkt net als op de rest van de zandgronden in de Limburgse en Antwerpse Kempen. In feite vormt de houtvondst van Meldert een geïsoleerde vondst in een zeer brede geografische regio. De slechte bewaringscondities van hout op de droge zandgronden is hier in alle waarschijnlijkheid niet vreemd aan.

¹⁵⁷ Thys 2012.



Fig. 12.2: Overzichtskartaal van de gekende Romeinse houtvondsten van gebruiksvoorwerpen anno 2012. (Thys 2012).

12.2 Onderzoeksdoel en methodologie

Met de studie van de aangetroffen houtvondsten op de site te Meldert wordt beoogd een aanvulling te bieden op de kennis over de bewoners van de site en dit in de vorm van hun houtkeuze, hun gebruikte huisraad en hun technische vaardigheid die samengaat met het bewerken van hout.

Meer specifiek wordt getracht door gedetailleerde houtanalyse een antwoord te bieden op een aantal voor de site relevante onderzoeksvragen zoals daar zijn: Welke houtsoorten werden aangewend als constructie- en gebruikshout? Kan op basis van de gebruikte houtsoorten een inschatting gemaakt worden van het landschappelijke kader van de site? Zijn er sporen zichtbaar van de technische bewerking van het hout en zegt ons dit iets over de status, herkomst of vaardigheid van de bewoners? Bieden de gebruikte dateringstechnieken een bijdrage aan het dateren van de bestaande waterputtypologieën?

Om tot een antwoord te komen op deze vragen is een nauwgezette en geïntegreerde studie van het aangetroffen houtmateriaal noodzakelijk. Een gedetailleerde registratie door metingen van alle stukken samen met een fotodocumentatie vormt het uitgangspunt voor verdere studie van het houtmateriaal.

Na registratie werd een selectie gemaakt voor datering door middel van dendrochronologische onderzoek. Deze geselecteerde stukken werden door een zaagsnede bemonsterd en onderzocht

door dendrochronoloog Sjoerd van Daalen (BAAC) (zie hoofdstuk 13). Daarnaast werden de stukken aandachtig geanalyseerd naar de aanwezigheid van vervaardigings- en gebruikssporen, wat toeliet een typologische studie uit te voeren van de aanwezige gebruiksvoorwerpen, net als de gebruikte constructievormen.

12.3 Technische beschrijving en vervaardiging

12.3.1 Houtbewerking en houtbewerkingstechnieken in de Romeinse periode

Al vanaf dat de mens in het Neolithicum beslist om niet langer rond te trekken en zich ergens, meer permanent te gaan vestigen, worden bomen gerooid, gebruikt en waar nodig bewerkt. In de protohistorie gebeurde dit stevast met stenen of metalen dissels voor het rooien en bewerken van stammen. Het vervaardigen van planken en balken door het zagen van hout wordt pas door de Romeinen in onze contreien geïntroduceerd¹⁵⁸. Daarvoor werden gelijkaardige houten planken of balken vervaardigd door het kloven of splijten van stammen met een dissel, of couranter, met het inslaan van wiggen die het splijten langsheen de natuurlijke interne structuur moest bevorderen.

Het gebruik van verschillende werktuigen leidt onmiskenbaar tot het voorkomen van verschillende 'toolmarks' die getuigen van de verdere bewerking van het gekapte hout. Op de beide helften van de boomstam, die dienst deed als waterputwand, en op twee planken zijn onmiskenbaar nog bewerkingssporen zichtbaar (fig. 12.3).

Alle vervaardigingssporen voor het aangetroffen constructiehout bestaan uit splijt- of kloofsporen die getuigen van het vervaardigen van radiale planken door middel van het uitsplitsen van de stam met behulp van een wig (fig. 12.3-A). Deze sporen, die zich tonen als het laminair en onregelmatig wegsplijten van het hout zijn op zowat alle radiale planken zichtbaar. Het detail getoond in fig. 12.3-E toont naar alle waarschijnlijkheid het negatieve spoor van een wig waarbij de respectievelijke plank is losgehaakt van de kern.

Minder courante sporen zijn deze van het eigenlijke bewerken van het hout. In de eerste plaats zijn vooral de sporen van het bewerken van de boomstam hier een representatief voorbeeld. De gevelde boomstam werd gekliefd en vervolgens met een bijl of dissel uitgehold alvorens terug te worden samengesteld. Deze bijl- of disselsporen zijn nog duidelijk zichtbaar langs de binnenzijde van de boomstam (fig. 12.3-B&C) en getuigen van het uithakken van de kern van de stam met een bijl of dissel met een bolle metalen snede van om en bij de 4 cm. Andere kasporen bevinden zich ook op de aangepunte radiale planken waarbij alle punten tot stand kwamen door de combinatie van twee slagvlakken (fig. 12.3-D). Mogelijk werd hiervoor een bijl gebruikt zoals gekend is uit epigrafisch onderzoek en archeologische vondsten (fig. 12.4).

¹⁵⁸ Cherretté 2000b: 8-9.

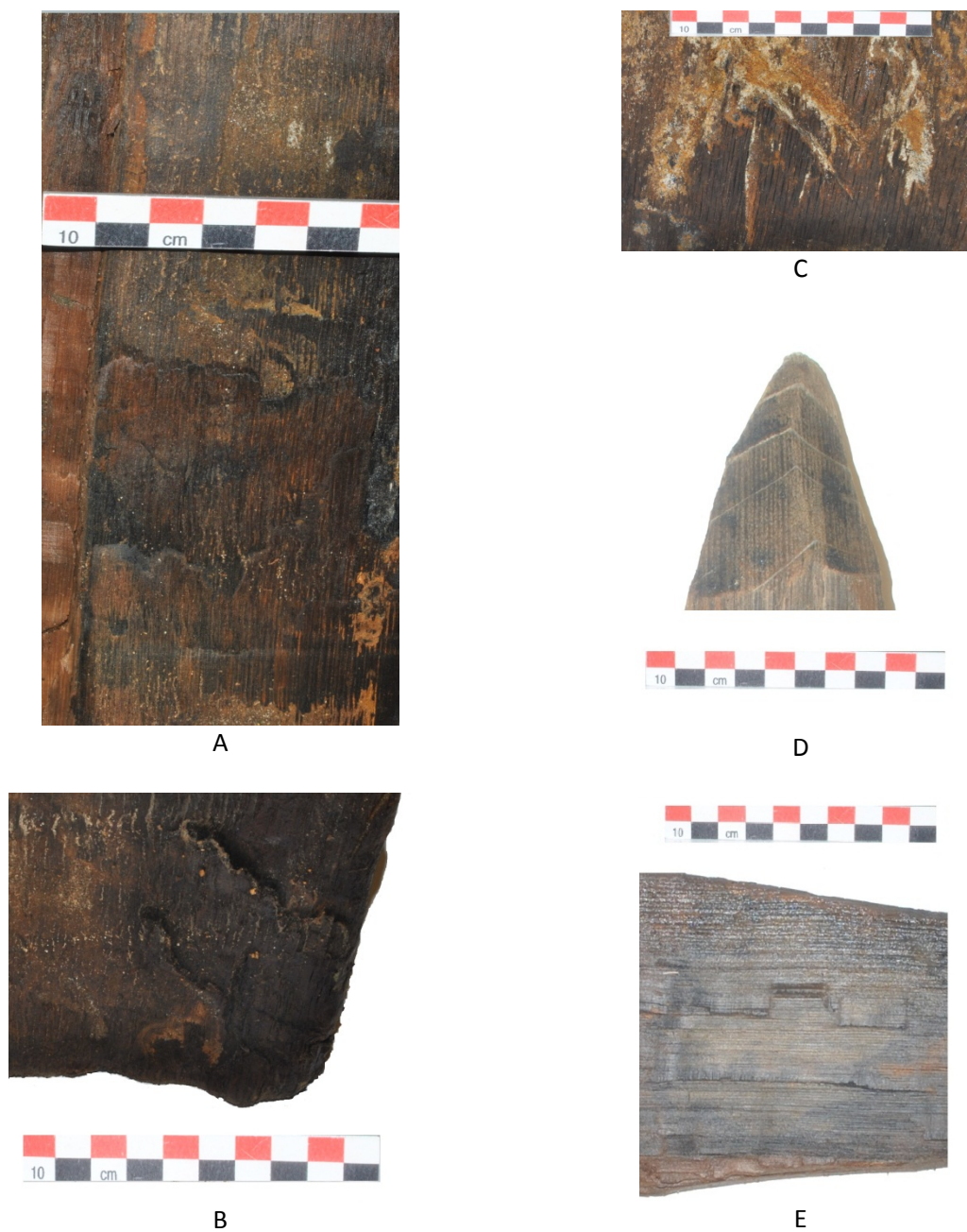


Fig. 12.3: Overzicht van verschillende bewerkingssporen op het aangetroffen hout:
A: kliefsporen, B: dissel- of haksporen, C-D: kapsporen en E: sporen van het gebruik van een wig?



Fig. 12.4: Overzicht van de meest gebruikte werktuigen voor de bewerking van hout
links : replica op basis van archeologische vondsten¹⁵⁹.
rechts : marmeren altaar met de werktuigen van de houtbewerkersgilde¹⁶⁰.

12.3.2 Beschrijving van het aanwezige constructiehout

De meest prominent aanwezige constructiehoutvondst is zonder twijfel de uitgeholde massieve stam, gebruikt als hoofdconstructie-element van de waterput. Deze boomstam heeft een bewaarde maximale doormeter van ca. 1,04 m. Gelet op het feit de stam voor gebruik werd ontschorst (fig. 12.5) was deze oorspronkelijk nog enkele centimeters dikker. Voor het overgaan tot het uithollen van de boomstam werd de stam gemakkelijks halve eerst in tweeën gekliefd. Beide delen werden daarna met een dissels of bijl uitgehakt tot twee gebogen stukken overbleven met een gemiddelde dikte tussen de 4,6 en de 5,2 cm. Beide stamhelften blijken steeds naar de zijkanten iets dikker te zijn dan in het centrum. Mogelijk kan dit verschil toegewezen worden aan het uithollingsprocede.

De uitgeholde boomstam die de schacht van de waterput vormde, was tot op de hoogte van maximaal 65 cm bewaard gebleven. Daarboven is de schacht niet bewaard en moeilijk verder te volgen binnen de aflijning van de aanlegkuil.

¹⁵⁹ Replica's in opdracht van National Geographic.

¹⁶⁰ Capitolijs Museum Rome - Uit: Ulrich 2007: 10.



Fig. 12.5: De uitgeholde boomstam uit de boomstamwaterput: exterieur en interieur.

Naast de vondst van de beide helften van de boomstam kwamen er nog verschillende andere houten constructieonderdelen aan het licht. De best vertegenwoordigde categorie is deze van de planken. Alle acht aangetroffen planken zijn radiaal uit het kernhout van een stam gekloven. De meeste zijn relatief rechthoekig en regelmatig met een dikte variërende tussen de 1,3 en de 2,2 cm. Sommige planken lijken vertonen sporen van het zagen. Deze planken hebben een zeer vlak oppervlak waarbij de houtcellen aan de oppervlakte zijn doorsneden. Eén van de grotere fragmenten (fig. 12.6) laat een volledige plankbreedte opmeten van ca. 19,6 cm.

Sommige planken, ondanks hun beperkte dikte, zijn aan de onderzijde aangepunt (fig. 12.7). De punt waarin de plank uitloopt, werd verkregen door een tweeledig slagvlak waarbij eerst de ene zijde van de punt werd aangescherpt waarna een tweede deels overlappend slagvlak de punt vervolledigde (fig. 12.3-D). Dergelijke aanpuntingswijze is ook terug te vinden bij enkele radiaal gekloven stukken rondhout afkomstig van een in oorsprong kleine stam. De kleine spie die uit het rondhout werd gekloven, kon net zoals de planken eenvoudig met slechts twee slagvlakken worden aangepunt.

Een laatste stuk rondhout heeft een bijzondere vorm (fig. 12.8) en laat zich daardoor moeilijk meteen toewijzen tot een zekere categorie van constructiehout. Zeker is dat het gaat om een stuk rondhout, afkomstig van een in twee gekleefde stam van beperkte diameter. Geen van beide uiteinden van het hout lijkt afgezaagd, gekapt of aangepunt. Beide uiteinden lijken echter wel toe te lopen in een soort zwaluwstaart die tot stand is gekomen door het bewust inklieven van het uiteinde met een scherpe bijl of door een zaagsnede.

Het feit dat het stuk zich relatief hoog in het profiel bevond, bevestigt het vermoeden dat dit element niet op de bodem was ingeheid maar een ander doel moet hebben gehad.



Fig. 12.6: Eén van de beter bewaarde radiale planken.



Fig. 12.7: Eén van de aangepunte stukken constructiehout.



Fig. 12.8: Een stuk rondhout met een bijzondere vorm.

12.3.3 Reconstructie van de waterput (S275)

De hoeveelheid en de grote verscheidenheid aan constructiehout doet vermoeden dat de constructie net iets complexer moet zijn geweest dan een eenvoudige boomstamp.

De fragmentaire bewaring van sommige elementen en de moeilijke situering binnen de stratigrafie van andere, maakt de reconstructie van de eigenlijke waterputopbouw niet evident.

De bodem van de stam bevond zich op een diepte van 5,5 m onder het opgravingsvlak. Als de waterputschacht uit slechts één stam is vervaardigd, moet deze dus minimaal deze hoogte hebben gehad. Plausibeler echter is dat verschillende stammen op elkaar werden geplaatst zoals bij de Romeinse boomstamwaterput te Knesselare¹⁶¹. Andere voorbeelden tonen een bovenbouw bestaande uit een vierkante houten kaderwerk. Opvallend bij deze laatste categorie is de aanwezigheid van een aanlegkuil die al vrij diep begint te verbreden zodat de doormeter van de aanlegkuil al snel deze van de eigenlijke boomstam overschrijdt in tegenstelling tot de zuivere boomstampotten die veelal enkel in de bovenste zone licht verbreden om de plaatsing van de uitgeholde boomstam toe te laten.

Deze verbreding in aanlegkuil heeft te maken met de aanwezigheid van een andere opbouw voor de bovenbouw van de waterput. Deze bovenbouw kon op de site van Deventer¹⁶² mooi worden geïllustreerd. Bij deze waterput werd de onderste zone opgebouwd uit een uitgeholde boomstamwaterput waarnaast aangepunte elementen verticaal in de bodem werden ingeheid. Deze vier 'palen' vormen de fundering van een quasi vierkanten houten bekisting die de rest van de bovenbouw uitmaakt en is opgebouwd uit houten planken.

Mogelijk is deze dualiteit in opbouw te verklaren door de soms instabiele zandbodem waarop dit waterputtype voorkomt, waarbij de massieve boomstronk op de bodem instaat voor het tegengaan van verzanding van de watervoerende laag van de waterput.

Het aangetroffen constructiehout te Meldert doet in ieder geval een compositie opbouw vermoeden. Enkele terreinobservaties spreken echter een reconstructie zoals in Deventer tegen.

¹⁶¹ Knesselare – Aquafin: opgraving van de Kale Leie Archeologische Dienst (KLAD)

¹⁶² Hermesen 2007: 82.

Eerst en vooral kon er bij het couperen gedurende de gehele diepte van de bovenbouw geen afwijkingen worden waargenomen van de ronde schachtdoorsnede. Ook werd er naast de aangepunte houtelementen slechts 1 rij planken aangetroffen.

Twee verticaal ingeheide planken waren op de bodem geplaatst vlak voor de naden van beide boomstamdelen. Beide planken werden op hun plaats gehouden door één enkele horizontale plank die voor de verticale plank werd geplaatst en op zijn plaats werd gehouden door ingeheide puntige korte plankjes. Opvallend is echter dat er geen sporen werden gevonden van eventuele extra horizontale planken die het geheel tot een kader zouden vormen, wat doet vermoeden dat, in tegenstelling tot het voorbeeld uit Deventer (fig. 12.9), de boomstam het primaire element was in de waterput van Meldert (fig. 12.10).

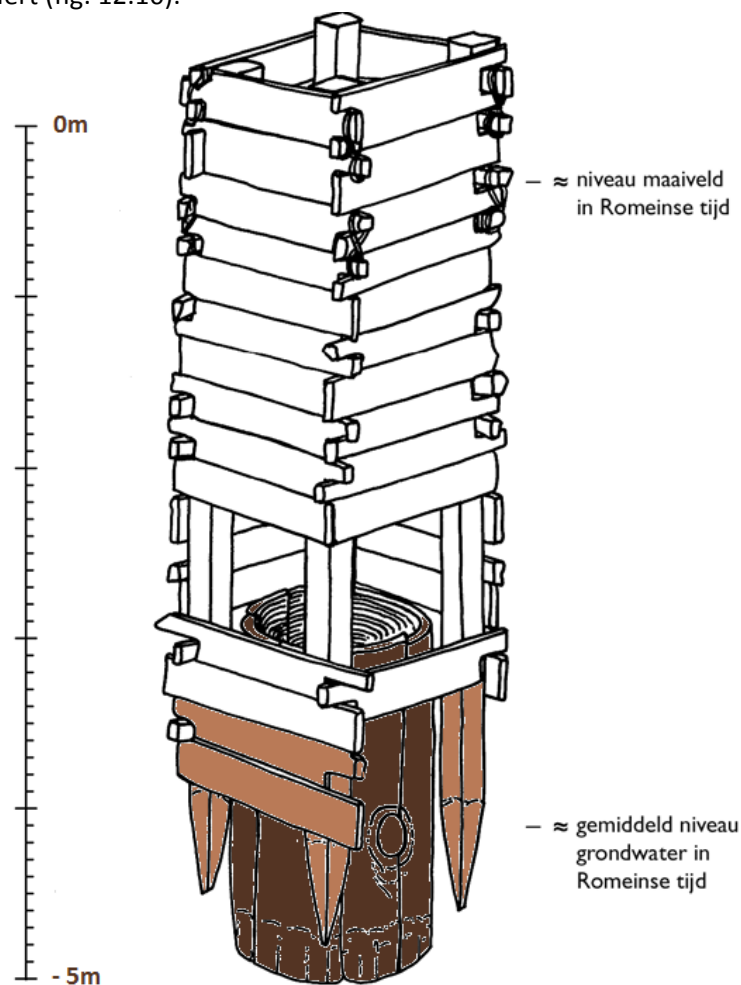
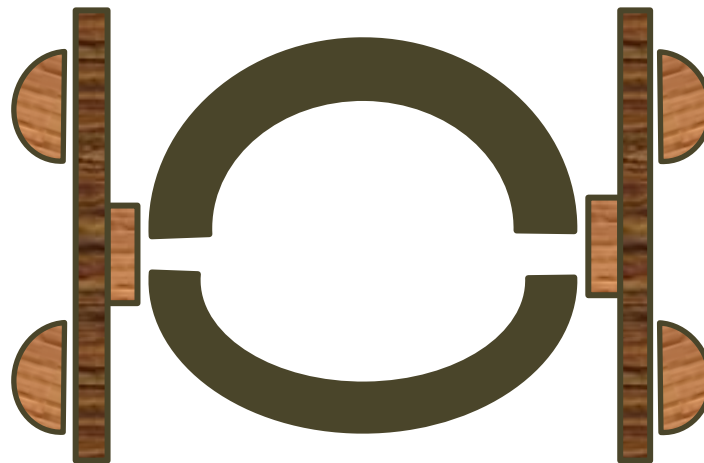


Fig. 12.9: Reconstructie van de compositie waterput van Deventer:
Gekleurde delen werden effectief aangetroffen in Meldert¹⁶³.

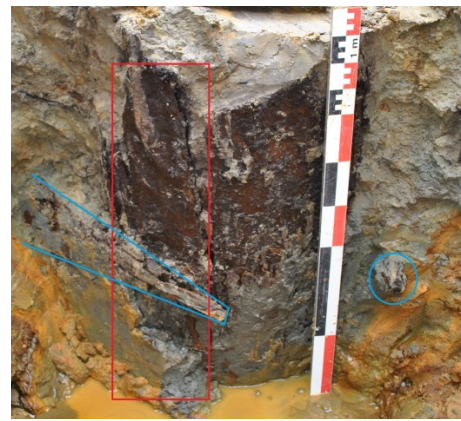
¹⁶³ Naar: Hermesen 2007: 82.



Bovenaanzicht



Zicht op één van de naden (reconstructie)



Coupefoto

Fig. 12.10: Reconstructie van de compositie waterput van Meldert.
*donkerbruin: uitgeholde boomstam ; bruin: horizontale elementen ; lichtbruin: verticale(soms)
aangepunte elementen.*

De complexe houtconstructie kan zonder twijfel gelinkt worden aan het zo goed mogelijk aan elkaar sluiten van de twee boomstamhelften zodat sediment en andere ongewilde intrusies het water in de waterput niet zouden kunnen bezoedelen en om de boomstam een stevige basis te geven.

12.3.4 Beschrijving van de aanwezige gebruiksvoorwerpen

Bij het couperen van de boomstamwaterput zijn in totaal 27 individuele houtvondsten gedaan, slechts één daarvan kan worden geïdentificeerd als een gebruiksvoorwerp. Het voorwerp (fig. 12.11) werd gevormd uit een radiaal gespleten eiken plank die daarna werd bewerkt tot de uiteindelijke vorm. Het object heeft een totale lengte van 57 cm en kan ingedeeld worden in twee zones: een smalle zone met dimensies van 32 cm bij 4,5 cm en een maximale dikte van 1,2 cm en een brede zone van 25 cm bij 15,5 cm en een maximale dikte van 4,5 cm. De aanzet naar het onderste bredere gedeelte wordt reeds gegeven op 26,5 cm van de bovenzijde van het smalle gedeelte. Opvallend hierbij is dat één van de twee zijdes van het bredere gedeelte beter en gladder is afgewerkt.



Fig. 12.11: Het houten gebruiksvoorwerp uit waterput S275.

Na het schoonmaken van het voorwerp werd er langs één van de zijdes een rechte breuklijn aangetroffen op het onderste bredere gedeelte. Hierdoor lijkt één van de zijdes nogal rechtlijnig en lijkt het object hierdoor asymmetrisch gevormd. Het object was bij vervaardiging dus breder. Het kapspoor bevindt zich aan de zijde van de breuklijn en heeft de vorm van een rechthoekige driehoek (dimensies basis 5,5 cm; schuine zijde 7 cm en rechthoekszijde 6 cm) (fig. 12.12). De hoeken van de basis bevinden zich op respectievelijk 1,4 en 0,2 cm van de rand.

12.3.5 Mogelijke interpretaties van het gebruiksvoorwerp

De functie van het hierboven beschreven voorwerp is moeilijk met zekerheid te bepalen. Hieronder worden vier hypothesen geformuleerd en onderzocht aangaande de mogelijke gebruiksfunctie van het object.

Hypothese 1 : een spade

Deze denkpijpe werd reeds bij de ontdekking als een mogelijkheid beschouwd. De aanwezigheid van een (mogelijke) spade in een Romeinse waterput is geen ongekend fenomeen. Voorbeelden van

Romeinse vindplaatsen in Vlaanderen zijn Maldegem-Vake¹⁶⁴ en Sint-Gillis-Waas-Ambachtelijke zone¹⁶⁵. Op vijf Nederlandse sites¹⁶⁶ wordt er eveneens melding gemaakt van de vondst van een houten spade in een waterput. Opmerkelijk is wel dat geen enkele hiervan uit eikenhout was vervaardigd.



Fig. 12.12: Detail van de kasporen op het houten gebruiksvoorwerp.

Tot slot is ook de site van Wijnegem-Steenakker het vermelden waard. Hier werd eveneens in een boomstamwaterput, een vormelijk gelijkend object teruggevonden dat is gedefinieerd als een spade. De context waarin deze vondst werd gedaan is echter op basis van het teruggevonden aardewerk gedefinieerd als vroegmiddeleeuws¹⁶⁷.

De hypothese van de spade is niet zo vreemd, daar een spade vooral bij het aanleggen van de waterput wordt ingezet. Het verliezen van een spade tijdens de graafwerken of het dumpen van een kapot exemplaar behoorde dan ook zeker tot de mogelijkheden.

¹⁶⁴ Thys 2012: 74.

¹⁶⁵ Thys 2012: 79.

¹⁶⁶ Oss, Nederweert, Den Haag en Spijkenisse leverden allemaal één spade op in een waterput. In Veldhoven werden vijf spades gevonden met een onzekere Romeinse datering. Twee van dergelijke spades waren niet in eiken- maar in essenhout gemaakt.

¹⁶⁷ Cuyt 1996: 137-138.

Zuiver op basis van de typologische kenmerken zou het ook bij het in Meldert aangetroffen voorwerp om een spade kunnen gaan¹⁶⁸. Tevens vertoont het sterke vormelijke parallellen met de vondst gedaan op de sites te Maldegem-Vake¹⁶⁹ en Wijnegem-Steenakker¹⁷⁰. Echter de vormelijke overgang van het bovenste smalle naar het onderste bredere gedeelte stelt de functionaliteit van het object van Meldert echter enigszins in vraag. De overgang gebeurt zeer geleidelijk zonder dat er op enig moment een strakke lijn of een breder horizontaal vlak wordt gevormd. Bij de meeste spades is dit wel aanwezig om het in de grond drijven van het schepvlak met de voet te vergemakkelijken.

De dimensies van het voorwerp stellen de hypothese van een spade eveneens in vraag (tenzij het om een kleine handspade zou gaan). Het bredere onderste gedeelte zou weldegelijk het blad van een spade kunnen zijn, maar overschrijdt wel de maximale breedte van 22,5 cm vooropgesteld door Manning¹⁷¹. Het smallere gedeelte van het voorwerp lijkt qua lengte ook te kort te zijn om makkelijk hanteerbaar te zijn. Er is daarom grondig nagekeken of de mogelijkheid bestond dat het smallere gedeelte (steel) van het object van Meldert bovenaan een breukspoor vertoont wat zou duiden op het feit dat dit gedeelte langer zou zijn geweest. Dit bleek niet het geval, integendeel, het vlak vertoonde een duidelijk bewerkingsspoor.

Nadere bestudering van het voorwerp kan dus geen definitief uitsluitel geven rond de toewijzing. De kans dat het effectief een spade betreft lijkt echter gering.

Hypothese 2 : een peddel

Evenals bij de vorige hypothese werd deze mogelijkheid reeds op het terrein gesuggereerd. Belangrijkste motivatie moet, evenals bij deze van de spade, gezocht worden in de vormelijke kenmerken van het voorwerp. De hypothese wordt ondersteund door het feit dat de aanzet voor het blad van een peddel eveneens vrij hoog en geleidelijk vanaf de steel wordt aangezet met een mooie ononderbroken boog. Deze kenmerken zijn terug te vinden bij het voorwerp van Meldert.

Een belangrijk tegenargument is, net zoals voor hypothese 1, de totale lengte van het object, hoewel er bij peddels een grote variatie voorkomt in relatie met de dimensie van de boot en gebruik in maritieme of fluviatiele context. Het object blijkt echter ook voor de kortere rivierpeddels geen adequate lengte te hebben, aangezien men zelfs voor de kleinste peddel een minimale totale lengte van 100 cm verwacht¹⁷². Met een totale lengte van 57 cm blijft het object van Meldert met bijna de helft onder de vooropgestelde minimumlengte.

Het aantreffen van een mogelijke peddel op de site van Meldert zou verklaard kunnen worden door de ligging van de site nabij de loop van de Demer¹⁷³. Waarom net dit voorwerp dan in de waterput zou zijn gedumpt en niet als brandhout is gebruikt na het verlies van zijn functie, is niet duidelijk.

¹⁶⁸ Manning 1970: 23.

¹⁶⁹ Thys 2012: 74.

¹⁷⁰ Cuyt 1996: 138.

¹⁷¹ Manning 1970: 24.

¹⁷² Dit is de kleinste mogelijke afmeting die een hedendaagse houten peddel kan hebben voor het gebruik in een rivierkano volgens de internationale roeifederatie (FISA).

¹⁷³ De Demer bevindt zich op goed 2 km ten zuiden van de site.

In Nederland is een houten voorwerp teruggevonden in een rijnaak te Utrecht-De Meern dat gedefinieerd werd als peddel op basis van grootte en vondstcontext¹⁷⁴.

De hypothese van de peddel had vormelijk gezien meer potentieel dan deze van de spade. Dit wordt voornamelijk gebaseerd op de vormingswijze van het onderste bredere gedeelte. Bij nader onderzoek is echter gebleken dat door de beperkte lengte van zowel het bovenste smallere gedeelte als het onderste bredere gedeelte de hypothese van een peddel niet afdoende kan worden ondersteund om het voorwerp met zekerheid als dusdanig te definiëren.

Hypothese 3 : een broodschep

Nadat de voorgaande hypothesen geen definitief uitsluitel brachten werd er een derde hypothese geopperd, namelijk deze van een broodschep. Vormelijk zou het mogelijk zijn en ook de beperkte lengte van de steel zou voor deze interpretatie geen bezwaar zijn, op voorwaarde dat het gebruikt werd bij een niet te groot type broodoven. Het was in de Romeinse periode niet ongebruikelijk dat woningen op een rurale site van een eigen broodoven waren voorzien. Een tegenargument is echter dat op het voorwerp geen brand- of roetsporen zijn aangetroffen, wat wel zou te verwachten zijn als een houten voorwerp frequent in contact komt met grote hitte en vuur.

Hypothese 4 : een spatel

Op basis van de vorm van het voorwerp wordt deze hypothese eveneens onderzocht. Hoewel deze hypothese op het eerste zicht vormelijk zeker potentieel heeft, lijken de algemene dimensies hiervoor niet te kloppen. In tegenstelling tot de hypothesen van een spade/peddel lijkt het voorwerp van Meldert in het geval van een spatel te groot te zijn. Deze conclusie komt er na vergelijking met een houten spatel teruggevonden in Kerkhove-Waarmaardse Kouter¹⁷⁵. De totale lengte van dit voorwerp bedraagt slechts 19,9 cm in tegenstelling tot de 57 cm van het voorwerp van Meldert. Op basis van één vergelijkingsstuk is het echter niet mogelijk om deze hypothese volledig af te schrijven.

Conclusie:

De vier geformuleerde hypothesen kunnen in dit stadium van het onderzoek noch met zekerheid bevestigd, noch definitief ontkracht worden. Het gebruiksvoorwerp vertoont verscheidene kenmerken die gedeeltelijk in elk van de hypothesen passen. Er zijn weldegelijk gelijkaardige objecten teruggevonden zonder dat er een éénduidige definitie aan kan worden toegekend. Mede door het nog beperkte referentiekader in Vlaanderen (slechts 54 objecten) staat de studie van houten gebruiksvoorwerpen nog in haar kinderschoenen. Naarmate archeologische studie van houten gebruiksvoorwerpen verder evolueert, kan er hopelijk binnen afzienbare tijd uitsluitel worden gegeven over de functie van het gebruiksvoorwerp van Meldert.

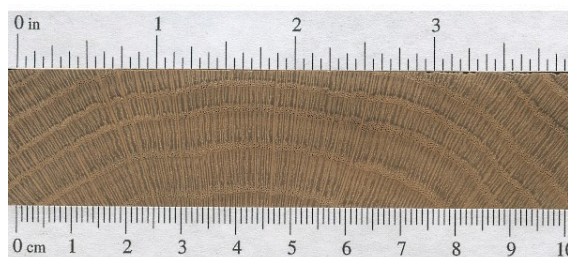
¹⁷⁴ Jansma e.a. 2007: 504.

¹⁷⁵ De Cock 1996: 79-80.

12.4 Houtdeterminatie als inzicht op het omliggende landschap?

12.4.1 Determinatie van de aanwezige houtsoorten

Al het aanwezige constructiehout kon op basis van de morfologische kenmerken van de houtstructuur (fig. 12.13) worden toegewezen aan de Europese zomereik (*Quercus robur*¹⁷⁶). Ook de kleinere fragmenten die los werden ingezameld behoren alle tot deze ene soort (tabel 12.1).



Verse transversale doorsnede.



Macro-opname van de interne structuur.

Fig. 12.13: De houtstructuur van de *Quercus robur*¹⁷⁷.

Dit monotoon beeld is eerder uitzonderlijk, zeker in vergelijking met andere sites uit de Romeinse periode. Een goed voorbeeld hiervan is de studie van de houtvondsten van de site te Alphen aan den Rijn, die naast eik ook sporen opleverde van andere boomsoorten zoals berk, beuk, els, wilg en olm¹⁷⁸.

Inventarisnr.	Context	Soort	Richting + vorm	Aantal	Bewerking
ME-10-ZE-467	275 laag 4	<i>Quercus robur</i>	radiale plank	1	
ME-10-ZE-468	275 laag 4a	<i>Quercus robur</i>	radiale plank	1	
ME-10-ZE-470	276 laag 6	<i>Quercus robur</i>	niet gedermineerd	11	kleinere fragmenten
ME-10-ZE-471	276 laag 6	<i>Quercus robur</i>	radiale plank	1	
ME-10-ZE-472	276 laag 6	<i>Quercus robur</i>	radiale plank	2	tweevlaks aangepunt
ME-10-ZE-473	276 laag 6	<i>Quercus robur</i>	gekliefd rondhout	1	beide zijden een gezaagde zwaluwstaart
ME-10-ZE-474	276 laag 6	<i>Quercus robur</i>	stam	2	
ME-10-ZE-475	276 laag 6	<i>Quercus robur</i>	gekliefd rondhout	3	
ME-10-ZE-476	276 laag 6	<i>Quercus robur</i>	radiale plank	2	
ME-10-ZE-479	276 laag 6	<i>Quercus robur</i>	radiale plank	1	gebruiksvoorwerp

Tabel. 12.1: Overzicht van de houtdeterminatie op het aanwezige hout in Meldert.

¹⁷⁶ The Wood Database: lumber identification. www.wood-database.com

¹⁷⁷ The Wood Database: lumber identification. www.wood-database.com

¹⁷⁸ Van Rijn 1999: 14-15.

Een verklaring voor de dominante keuze voor eik kan door verschillende argumenten worden verklaard. In de eerste plaats was voor de boomstamwaterput nood aan een grote boom met stevig constructiehout. De brede, harde stam van een 'oude' eik, die daarenboven nog eens relatief recht zijn in vergelijking met andere boomstammen, loont zich volledig voor dit doel. Ook de keuze voor eik bij de brede planken wordt door dezelfde elementen ingegeven. Verrassend echter is dat ook het (al dan niet gekleefd) rondhout uit kleine eikenstammen bestaat terwijl andere boomsoorten hiervoor misschien beter (en sneller) in aanmerking zouden komen.

Een verklaring voor dit fenomeen komt naar voren in de studie van Bart Cherretté¹⁷⁹ die opmerkt dat voor de bouw van waterputten vooral eik en els de geliefkoosde houtsoorten waren. Deze keuze werd ingegeven door de specifieke eigenschappen van beide houtsoorten onder water waarbij deze slechts een beperkte degradatie¹⁸⁰ in stevigheid en interne structuur ondergaan. Hierdoor zijn deze houtsoorten uitermate geschikt voor een duurzame constructie onder de watertafel.

12.4.2 Houtdeterminatie als opstap naar landschapsreconstructie

De reconstructie van het omliggende landschap op basis van enkel de macroresten van archeologisch hout is erg moeilijk. Het aangetroffen hout, gebruikt voor constructie, hoeft niet meteen een weerspiegeling te zijn van de houtsoorten in de onmiddellijke omgeving van de site, laat staan een representatieve steekproef uit deze diversiteit.

Het op een site gebruikte hout werd veelal in de eerste plaats gekozen voor zijn fysische en mechanische eigenschappen en werd indien nodig uit de bredere regio rondheen de site ingevoerd.

De studie van macroresten alleen volstaat niet om tot een betrouwbare landschapsreconstructie te komen. Aanvullend onderzoek door middel van pollenanalyse kan een zinvolle aanvulling vormen en hierdoor wel een onderbouwde landschapsreconstructie toestaan (zie hoofdstuk 14).

Opvallende conclusies uit dit onderzoek met betrekking tot macroresten uit eikenhout is ook de aanwezigheid van eikenpollen in de waterput. Vermits eiken geen windverstuivers zijn, kunnen hun pollen zich niet erg ver verplaatsen en moeten er zich dus eiken in de nabijheid van de waterput bevonden hebben.

12.5 Slotbeschouwing

De gedetailleerde studie van de aangetroffen macroresten bestaande uit eikenhout heeft belangrijke extra informatie kunnen toevoegen aan de interpretatie van de site.

Op basis van de resultaten van het bewerkingssporen onderzoek kon hard gemaakt worden dat naast het klieven van hout ook het zagen van hout duidelijk behoorde tot de technische vaardigheden van de bewoners van de site. Deze technische innovatie die door de Romeinen in onze streken werd

¹⁷⁹ Cherretté 2000a: 26-32. Cherretté 2000b: 3-13.

¹⁸⁰ Rowell & Barbour 1990: 39-48.

geïntroduceerd, wordt vooral teruggevonden op meer geromaniseerde nederzettingen waar de rondhoutbouw stilaan plaats maakt voor meer vierkantig of rechthoekig gezaagde planken en balken. Deze combinatie van het klieven en zagen komt ook mooi naar voren bij de huisconstructies waar balken en rondhout elkaar afwisselen.

De door dendrochronologisch onderzoek mogelijk gemaakte datering van de constructie van de waterput vormt een ijkpunt voor de verdere studie van dit waterputtype en vormt zo misschien in de toekomst de aanzet voor een verdere typochronologische datering van dit waterputtype.

Hoofstuk 13 Dendrochronologisch onderzoek

Sjoerd van Daalen (BAAC)

13.1 Inleiding

Het doel van dit onderzoek is de ouderdom te bepalen van houten vondsten afkomstig van een opgraving aan de Zelemsebaan te Meldert (gemeente Lummen). In totaal was een dozijn vondsten voorhanden waaruit vijf vondsten geselecteerd zijn (zie tabel 13.1). Het ging hierbij om een soort van boomstamp, waarbij, naast twee halve uitgeholde boomstammen, ook een aantal planken verticaal geplaatst zijn om de diameter te vergroten. In alle gevallen bleek het om eikenhout (*Quercus sp.*) te gaan.

vondstnummer	houtsoort	omschrijving	meting
ME-10-2E-467	eik	radiale plank	1TN0128
ME-10-2E-472	eik	radiale plank	1TN0129
ME-10-2E-472	eik	radiale plank	1TN0130
ME-10-2E-474	eik	halve uitgeholde stam	1TN0131
ME-10-2E-475	eik	halve uitgeholde stam	1TN0132

Tabel 13.1. Overzicht van de aangeleverde monsters.

13.2 Methode

De monsters zijn volgens standaard dendrochronologische methodes geprepareerd¹⁸¹ en de jaarringbreedtes zijn ingemeten met een daartoe ingerichte meetopstelling¹⁸².

Voor het synchroniseren (zie fig. 13.1) van de ingemeten jaarringreeksen (de meting of monstercurve) wordt mede gebruik gemaakt van een computerprogramma¹⁸³, waarbij drie parameters berekend worden:

- de Student t-waarde na transformatie van de jaarringbreedtes zodat deze een normale verdeling benaderen¹⁸⁴

- de Gleichläufigkeit (GLK); het percentage intervallen waarin de meting en referentiecurve gelijktijdig een verbreding of versmalling van de jaarringen laten zien.

- de overschrijdingskans (P); de kans dat de gevonden Gleichläufigkeit op toeval berust.

Hierna worden de berekende posities door de dendrochronoloog visueel beoordeeld en kan een positie geaccepteerd of verworpen worden. Het is mogelijk dat geen van de berekende posities acceptabel is. In dat geval is de meting (voorlopig) ongedateerd.

¹⁸¹ Pilcher 1990.

¹⁸² Een Velmex meetopstelling met Acu-Rite QV10-V lineaire codeerder met een nauwkeurigheid van 10 µm gekoppeld aan een Euromex binoculair microscoop met een vergroting van 10 en 30 maal.

¹⁸³ PAST4, Knibbe, B. *Sciem Scientific Engineering & Manufacturing*, Wenen, Oostenrijk.

¹⁸⁴ De zogeheten transformatie van Hollstein (Hollstein 1980).

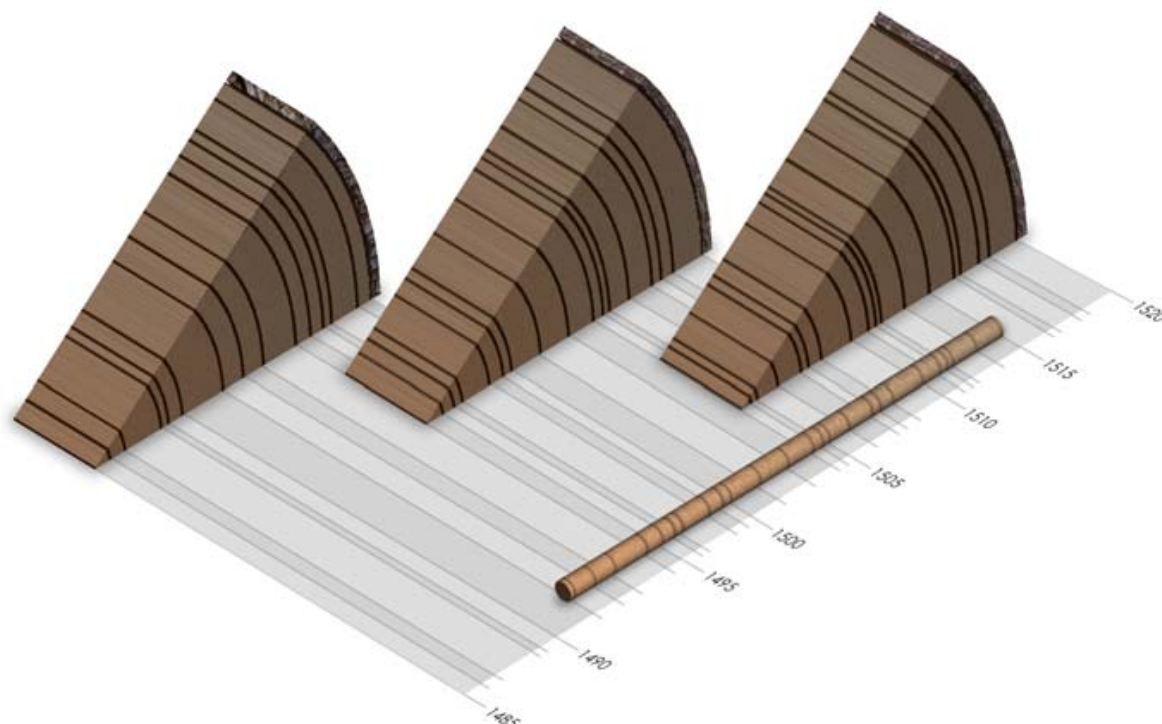


Fig. 13.1: Vereenvoudigde weergave van het vergelijken van jaarringpatronen.

Als een meting gedateerd is, betekent dit niets meer dan dat het jaartal, dat bij de laatst gemeten jaarring hoort, bekend is. Om de kapinterval te kunnen schatten van de boom waaruit het onderzochte monster afkomstig is, dient de marge tussen de laatste jaarring van het monster en de laatste jaarring in de boom bepaald te worden. Als de bast of wankant¹⁸⁵ aanwezig is, kan een kapseizoen bepaald worden. Bij eikenhout kan aan de hand van het spinthout¹⁸⁶ een schatting gemaakt worden. Het aantal spinthoutringen is bij eiken betrekkelijk constant. Uit berekeningen via OxCal¹⁸⁷ voor West-Europees eikenhout uit het dendrochronologisch archief van BAAC volgt een asymmetrische verdeling van het aantal spinthoutringen. Bij een $2 \times \delta$ bereik (of 95,4% betrouwbaarheidsinterval) zijn de onder- en bovengrens respectievelijk 6 en 30 spinthoutringen, maar het verwachte aantal spintringen ligt met 16 stuks iets onder het gemiddelde.

Afhankelijk van het herkomstgebieden gelden verschillende spinthoutstatistieken¹⁸⁸.

Als er geen spinthout aanwezig is, kan alleen het vroegst mogelijke kapjaar geschat worden aan de hand van het minimum aantal te verwachten spinthoutringen. Bij andere houtsoorten dan eik is de buitenste jaarring tevens het vroegst mogelijk kapjaar en kan alleen met aanwezigheid van de bast of wankant een kapjaar vastgesteld worden.

Andere houtsoorten dan eik hebben geen kernhout of het aantal spinthoutringen is dusdanig onregelmatig dat hier geen schattingen voor gemaakt kunnen worden.

¹⁸⁵ De buitenste jaarring onder de bast.

¹⁸⁶ De buitenste rand van de stam waar het hout nog niet in kernhout is omgezet.

¹⁸⁷ OxCal versie 4.1. Bronk Ramsey 2009.

¹⁸⁸ Haneca e.a. 2009.

13.3 Resultaten

De planken zijn afkomstig van radiaal gekleefde eiken en bevatten ruim voldoende jaarringen. De delen van de boomstampotten zijn aanzienlijk kleiner, maar compenseren dit met een beduidend langzamere aanwas. Spinthout is bij delen van de boomstampotten en op één plank aangetroffen. De aanwezigheid van de wankant kon bij één van de vondsten met zekerheid bepaald worden (zie tabel 13.2).

vondstnr.	houtsoort	meting	n	n _s	wankant
ME-10-2E-467	eik	1TN0128	97	-	-
ME-10-2E-472	eik	1TN0129	118	38	-
ME-10-2E-472	eik	1TN0130	113	-	-
ME-10-2E-474	eik	1TN0131	126	33	aanwezig, kapseizoen onduidelijk
ME-10-2E-475	eik	1TN0132	115	36	

Tabel 13.2: Meetgegevens van het monster. n: aantal ringen, n_s: aantal spintringen.

Onderlinge synchronisaties van de metingen leverde beperkt resultaat op (zie tabel 13.3); de uitgeholde halve stammen (meting 1TN0131 en 132) bleken van dezelfde boom en vertegenwoordigen de basis van de waterput. Daarnaast konden de metingen 1TN0128 en 130 onderling gedateerd worden. De middelcurve die hier uit gemaakt kon worden, was weer te dateren met meting 1TN0131 (maar niet met 1TN0132, ondanks dat deze uit dezelfde boom afkomstig is). Op deze wijze kon uit deze vier metingen een 127 jaar lange middelcurve gemaakt worden.

t-waarde/GLK	1TN0128	1TN0129	1TN0130	1TN0131	1TN0132
1TN0128		-	4,61	-	-
1TN0129	-		-	-	-
1TN0130	68,9	-		4,08	-
1TN0131	-	-	62,4		11,4
1TN0132	-	-	-	77,0	

Tabel 13.3: overzicht van de onderlinge synchronisaties. Rechtsboven de t-waarden, linksonder de GLK. Lege cellen duiden op een te zwakke synchronisatie.

Vergelijking van deze middelcurve en de losse metingen met referentiecurven leverde direct of indirect voor alle metingen resultaten op (zie tabel 13.4).

meting	datering	kapinterval mediaan (2×5)	referentie	overlap	GLK	P	t-waarde
1TN0128	412	na 418	1TN0130	90	68,9	0,0005	4,61
1TN0129	422	422-427	FR_MOSSELLE ⁹	118	65,3	0,001	6,13
1TN0130	405	na 411	NLROME01 ¹⁰	103	63,6	0,01	4,59
1TN0131	411	411/412	DECENT01 ¹¹	126	67,1	0,0002	4,48
1TN0132	410	411/412	DECENT01	115	61,3	0,02	3,49
middelcurve	412	-	BRAB_899 ¹²	50	77,0	0,0002	4,52

Tabel 13.4: Gegevens van de metingen en bijbehorende statistische onderbouwing. Cursieve waarden zijn opgenomen voor illustratieve doeleinden en zijn geen onderbouwing van de dateringen.

⁹ Referentiecurve voor Frankrijk, Champagne en Lorraine (-501 - 500), Tegel ongepubliceerde data, DendroNet, Bohlingen (D).

¹⁰ Referentiecurve voor Oost-Nederland (188 - 395), Jansma 1995.

¹¹ Referentiecurve voor Centraal Duitsland (-690 - 1975), Hollstein 1980.

¹² Van Daalen 2012, ongepubliceerde data.

Hierbij valt een aantal zaken op; de twee delen van de boomstamput dateren met dezelfde referentiecurve, maar de sterkte is beduidend anders. Meting 1TN0131 laat een veel sterkere *match* zien dan 1TN0132, hetgeen bij de onderlinge dateringen ook het geval bleek en er op lijkt te wijzen dat binnen één boom het jaarringssignaal sterk kan variëren. Daarnaast is het opmerkelijk dat de middelcurve minder sterk synchroniseert met referentiecurven dan de losse metingen. De middelcurve laat echter wel een sterke gelijkenis zien met een Brabantse referentiecurve. Zonder aanvullende ondersteuning zou deze overlap echter als te kort beschouwd moeten worden, maar kan in dit geval gezien worden als een verlenging van de bestaande curve (fig. 13.2 en bijlage 4).

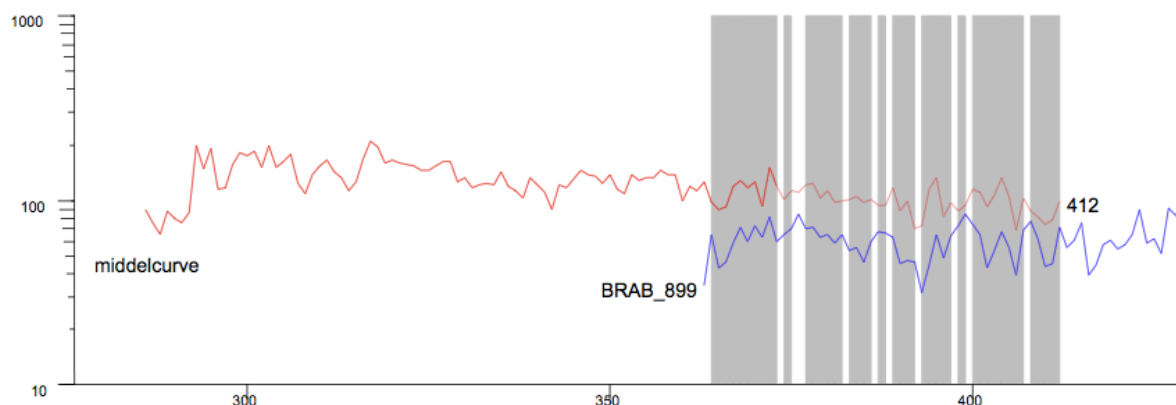


Fig. 13.2: Weergave van de middelcurve met BRAB_899. Op de x-as staan de jaartallen en op de y-as de jaarringbreedtes op een logaritmische schaal, uitgedrukt in 1/00 mm (10 µm).

13.4 Conclusie en discussie

Uit de dateringen blijkt dat de uitgeholde boomstamdelen en de planken niet tot dezelfde fase gerekend kunnen worden; de boomstamdelen zijn tussen 411 en voorjaar 412 gekapt, terwijl de andere dateringen op latere jaartallen wijzen. Mogelijkerwijs gaat het hier om een boomstamput uit 411/412 die een aantal jaren later is hergebruikt of uitgebreid met een aantal planken. Vondstnummer ME-10-2E-472 geeft hiervoor de beste benadering. Aangezien de 38 aanwezige spintringen aanzienlijk meer is dan verwacht mag worden, lijkt het aannemelijk dat de wankant niet ver na 422 kan liggen. In dit geval is een arbitraire marge van 5 jaar gehanteerd. Dit betekent dat de boomstamput na circa 10 jaar gebruik is hergebruikt.

Door onderlinge datering van vier metingen kon een 127 jaar lange middelcurve gemaakt worden. Deze enigszins onoverzichtelijke procedure om tot dateringen te komen, mag als typisch beschouwd worden voor inheems eikenhout uit Nederlands en Belgisch Brabant. Hieraan lijkt een betrekkelijk zwak jaarringsignaal voor deze regio ten grondslag te liggen. Hierdoor is het van belang in alle gevallen met meerdere monsters te werken zodat alle mogelijke interacties tussen monsters gebruikt kunnen worden om een duidelijke jaarringsignaal te verkrijgen.

Hoofdstuk 14 Het archeo-botanische onderzoek

Wouter van der Meer (BIAX Consult)

14.1 Inleiding

Bij de opgraving zijn bewoningssporen aangetroffen uit de ijzertijd en de Romeinse periode. De sporen bestaan uit paalsporen van meerdere structuren, (afval)kuilen en een enkele waterput. Uit de kansrijke sporen zijn monsters genomen voor botanisch onderzoek. Na waardering van een aantal monsters uit deze kansrijke sporen zijn er drie monster verder geanalyseerd op macroresten. Deze monsters zijn afkomstig uit een waterkuil (S597) en de waterput (S275). Vraagstelling bij dit onderzoek is voornamelijk gericht op de landschappelijke reconstructie, specifiek de menselijke invloed op het landschap en het gebruik van het landschap door de mens voor onder andere de landbouw.

14.2 Materiaal en methode

14.2.1 Botanische macroresten

Er zijn zes gezeefde zeefstalen aangeleverd (tabel 14.1), waarbij de kleinste fractie 0,25-0,5 mm bedroeg. De stalen zijn onder een opvallend-lichtmicroscop (Leica M8Z) met vergrotingen tot 10x5 geïnventariseerd op botanische macroresten. Er zijn aantekeningen gemaakt van de globale soortenrijkdom, het aantal resten en de staat van conservering. Bijlage 5 geeft de resultaten van deze inventarisatie weer.

vondst	spoor	volume (l)	context	datering	analyse?
467	275	?	waterput	>411 (dendro)	ja
468	275	?	waterput	>411 (dendro)	ja
469	323	?	paalkuil	?	nee
470	597	?	kuil	ROM (cer.)	ja
471	597	?	kuil	ROM (cer.)	nee
472	999	?	kuil	ROM/ME	nee

Tabel 14.1: Administratieve gegevens van de macrorestenmonsters. Verklaring: dendro = datering op basis dendrochronologie, cer. datering op basis van ceramiek.

Na waardering zijn in overleg drie stalen geselecteerd voor analyse. Het selectie criterium was de aanwezigheid van voldoende analyseerbaar plantaardig materiaal. Bij de analyse is eveneens gebruik gemaakt van opvallend-lichtmicroscop (Wild M3Z). Indien nodig is tevens gebruik gemaakt van een doorvallend-lichtmicroscop (Olympus CHB) met vergroting tot 10x40. De grotere fracties zijn in hun geheel onderzocht, van de kleinste (0,25-0,5 mm) is een representatief deel onderzocht. De macroresten zijn gedetermineerd met behulp van de gebruikelijke determinatieliteratuur en de

vergelijkingscollectie van BIAAX Consult¹⁸⁹. Nomenclatuur volgt de 22^e druk van de Heukels' Flora van Nederland¹⁹⁰. Bijzondere gedetermineerde resten zijn opgeslagen in het archief voor botanische macroresten van BIAAX Consult. De inventarisatie en analyse zijn uitgevoerd door de auteur. De resultaten van de analyse staan in bijlage 7.

14.2.2 Pollen

Ten behoeve van palynologisch onderzoek zijn met behulp van drie pollenbakken twee profielen uit antropogene sporen bemonsterd (tabel 14.2). De sporen betreffen een waterput (spoor 275) en een kuil met een fijn gelaagde opvulling (spoor 596). Uit de pollenbakken zijn uiteindelijk negen substalen genomen voor het pollenonderzoek (fig. 14.1).

lab-nummer	volume (cm ³)	spoor	laag	beschrijving	analyse?
BX 4883	4	spoor 275	laag 4a 9-10 cm	oranje en grijsbruin zand	ja
BX 4884	3	spoor 275	laag 5 25-26 cm	grijsbruin zand	ja
BX 4885	3	spoor 597	profiel 1 laag 2 24-25 cm	bruin zand	ja
BX 4886	4	spoor 597	profiel 1 laag 4 48-49 cm	lichtbruin zand	nee
BX 4887	3	spoor 597	profiel 1 laag 5 54-55 cm	bruin zand	nee
BX 4888	3	spoor 597	profiel 2 laag 6 3-4 cm	bruin zand met houtskool	nee
BX 4889	4	spoor 597	profiel 2 laag 11 31-32 cm	geelgrijs/bruin zand met houtskool	nee
BX 4890	4	spoor 597	profiel 2 laag 13 44-45 cm	geelgrijs zand met houtskool	nee
BX 4891	4	spoor 597	profiel 2 laag 15 55-56 cm	lichtbruin zand met houtskool	nee

Tabel 14.2: Administratieve gegevens van de pollenstalen.

Voor het palynologisch onderzoek zijn substalen genomen van drie tot vier kubieke centimeter per substaal. De pollenstalen zijn bereid volgens de standaardmethode van Erdtman¹⁹¹. Om een indruk te krijgen van de pollenconcentratie is aan elk staal een vaste hoeveelheid sporen (twee tabletten met ca. 18.583 sporen per tablet) van een niet in België voorkomende wolfsklauwsoort (*Lycopodium*) toegevoegd. De bereiding is uitgevoerd door M. Hagen van de Vrije Universiteit van Amsterdam. De resultaten van de pollenwaardering staan in bijlage 6.

De pollenstalen zijn geïnventariseerd om uit te zoeken welke stalen voor analyse in aanmerking komen. Daarbij is gekeken naar de rijkdom van het materiaal en naar de aantasting van het pollen. Daarnaast is gekeken naar de pollensamenstelling van het staal, waarbij extra aandacht is besteed aan de aanwezigheid van pollen van cultuurgewassen en aan andere indicatoren die op menselijke activiteiten wijzen. Bij de inventarisatie is gebruik gemaakt van een doorvallend-lichtmicroscop (Olympus BH-2) met vergrotingen van 10x40.

Op basis van de waarderingsresultaten is besloten tot de analyse van drie pollenstalen. Voor de analyse is gebruik gemaakt van een doorvallend-lichtmicroscop (Olympus BH-2) met vergrotingen van maximaal 10x100 en/of fasecontrastmicroscopie. Er is een pollensom aangehouden van 600 pollen en sporen van varens en mossen. De identificatie is verricht aan de hand van de

¹⁸⁹ Berggren 1969, 1981; Anderberg 1994; Cappers e.a. 2006; Körber-Grohne 1964, 1991; Tomlinson 1985.

¹⁹⁰ Van der Meijden 1996.

¹⁹¹ Erdtman 1960; Fægri e.a. 1989; met modificaties van Konert 2002.

pollencollectie van BIAx Consult en met behulp van determinatieliteratuur¹⁹². Nomenclatuur volgt de 22^e druk van de Heukels' Flora van Nederland, naamgeving van de pollentypen is gebaseerd op Beug¹⁹³. M. van der Linden voerde de pollenanalyse en -waardering uit. De resultaten van de analyse staan in bijlage 8.

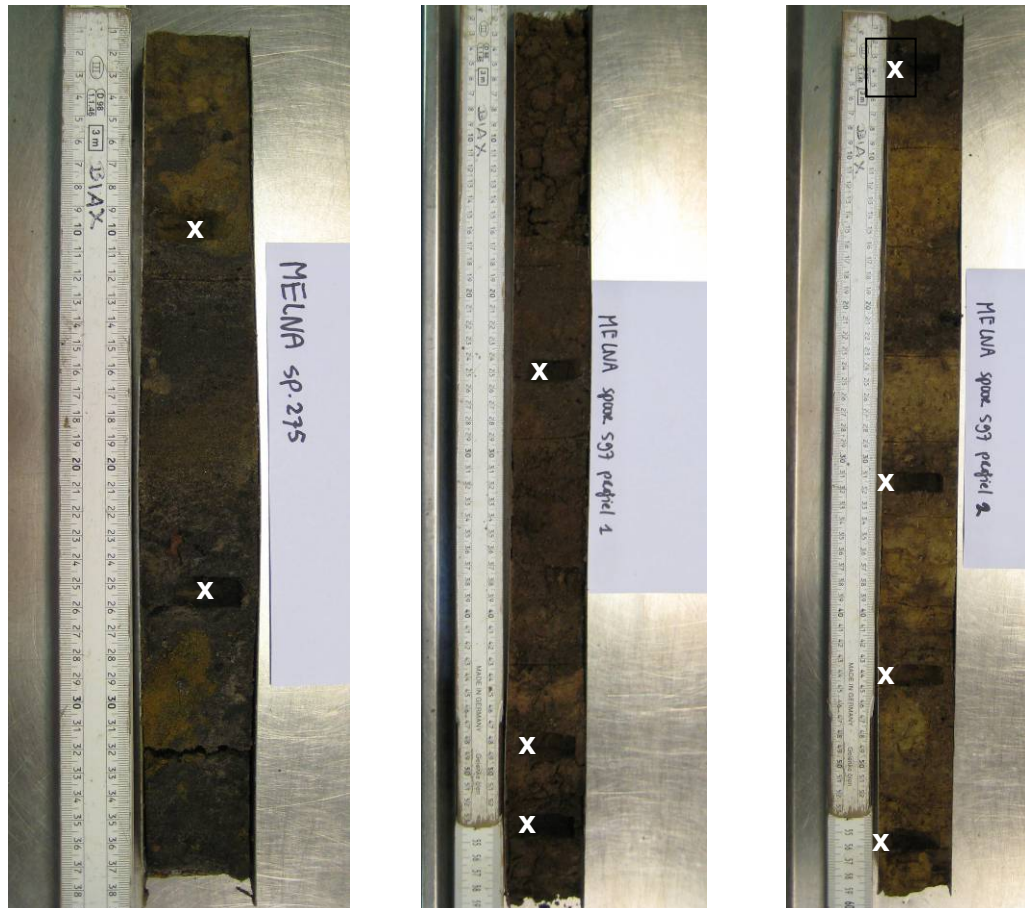


Fig. 14.1: Foto's van de bemonsterde pollenbakken met daarop aangegeven op welke dieptes substalen zijn geselecteerd.

14.2.3 Staalbeschrijving

De voor analyse geselecteerde macrorestenstalen en pollenstalen zijn afkomstig uit sporen 275 (fig. 14.2) en 597 (fig. 14.3). De stalen zijn zo gekozen dat elk pollenstaal gecomplementeerd wordt door een macrorestenstaal.

¹⁹² Punt e.a. 1976-1991; Moore e.a. 1991; Beug 2004; Non-Pollen Palynomorfen: Van Geel 1998.

¹⁹³ Van der Meijden 1996; Beug 2004.



Fig. 14.2: Coupefoto van de waterput (spoor 275). De positie van de pollenbak is aangegeven met rood.



Fig. 14.3: Coupefoto van de kuil met gelaagde vulling (spoor 597) met positie van pollenbakken. De rode lijnen geven de positie van de genomen macrorestenstalen aan.

14.3 Resultaten en discussie

Bijlage 7 geeft de resultaten van de macrorestenanalyse weer. In deze bijlage zijn de gebruiksgewassen ingedeeld naar categorie van vermoed gebruik. De wilde planten zijn ingedeeld op basis van oecologische groepen¹⁹⁴. Deze oecologische groepen zijn gebaseerd op de aanwezigheid van plantensoorten bij bepaalde abiotische en biotische factoren. Het voorkomen van een soort op een bepaalde standplaats betekent echter niet dat hij tot deze standplaats is beperkt. Tevens is deze indeling gebaseerd op huidige situaties, die niet zonder meer als identiek met de vroegere kunnen worden beschouwd. Indien nodig is de oorspronkelijke indeling van soorten aangepast op basis van het systeem van ecotopen¹⁹⁵. De indeling zal in de discussie waar nodig worden genuanceerd en toegelicht¹⁹⁶.

Bijlage 8 bevat de resultaten van het pollenonderzoek, waarbij de binnen de palynologie gebruikelijke indelingen zijn aangehouden. Bij de bespreking van de vegetatie rond de vindplaats op basis van het pollen wordt aangenomen dat het regionale pollen in een klein opvangbekken zoals een waterput een brongebied heeft met een straal van ongeveer 500 meter¹⁹⁷.

14.3.1 Conservering

De conservering van het pollen in de drie geanalyseerde stalen was redelijk goed, hoewel in de stalen uit spoor 275 ook verweerd pollen aanwezig was. De onverkoolde macroresten in de geanalyseerde stalen uit spoor 275 waren goed tot redelijk geconserveerd, de verkoolde resten in dit spoor waren goed geconserveerd. De verkoolde macroresten in staal 470 spoor 597 waren eveneens goed bewaard gebleven, maar de onverkoolde niet. In dit staal waren slechts de zeer corrosieresistente resten bewaard gebleven die bovendien sterk waren aangetast.

14.3.2 Datering

Ter datering van de onderzochte sporen is uit drie stalen (467, 468 en 470) materiaal verzameld voor radiokoolstofdatering. Het materiaal is gedateerd door het ¹⁴C-dateringslaboratorium CEDAD (universiteit van Salento, Italië). Tabellen 14.3 en 14.4 geven een samenvatting van de resultaten. Helaas heeft de meting aan staal 470 door defecte apparatuur bij de voorbereiding van het staal geen resultaat opgeleverd. Het spoor waaruit dit staal afkomstig is (S597) is aan de hand van aardwerkvondsten gedateerd in de Romeinse periode.

Opvallend is dat de ¹⁴C-datering van de onderste laag uit spoor 275 (468) veel ouder uitvalt dan de dendrochronologische datering van de wand van de waterput (kapdatum 411/412). Deze ¹⁴C-datering moet daarom worden verworpen. Op basis van de min of meer gelijke botanische samenstelling van de stalen 467 en 468 kan verder worden aangenomen dat het tijdsverloop tussen de vorming van de lagen 5 en 4a niet zeer groot is geweest (fig. 14.4 en 14.5).

¹⁹⁴ Tamis e.a. 2004.

¹⁹⁵ Runhaar e.a. 2004.

¹⁹⁶ Met gebruikmaking van: Weeda e.a. 1985, 1987, 1988, 1991, 1994; Schaminee e.a. 1995, 1996, 1998, 1999; Lambinon e.a. 1998.

¹⁹⁷ Zie Groenewoudt e.a. 2007.

labcode	spoor	staal	materiaal (alles verkooled)	¹⁴ C-ouderdom	calibratie (σ2)
LTL12376A	275	467	Hordeum vulgare 3x, Cerealia indet 1x, Solanum nigrum 2x, Vicia hirsuta 1x, Setaria 3x, Spargula arvensis 1x, Rumex acetosella 2x, Chenopodium album 2x, Persicaria lapathifolia 14x, Galium aparine 1x, Urtica dioica 1x	1569 ± 45 BP	400-600 AD
LTL12377A	275	468	Corylus avellana 1 fragment	1866 ± 40 BP	60-240 AD
LTL12378A	579	470	Raphanus raphanistrum 1x, Echinochloa crus-galli 1x, Rumex acetosella 2x, Chenopodium album 3x, Persicaria lapathifolia 2x, Persicaria 3x, Poaceae 1x, Galium 2x	-	-

Tabel 14.3: Resultaten van de radiokoolstofdateringen.

Sample ID	CEDAD Code	Radiocarbon Age (BP)	δ ¹³ C (‰)
MELNA 467	LTL12376A	1569 ± 45	-23.1 ± 0.5
MELNA 468	LTL12377A	1866 ± 40	-30.6 ± 0.5

Tabel 14.4: Administratieve gegevens en resultaten van de radiokoolstofdateringen.

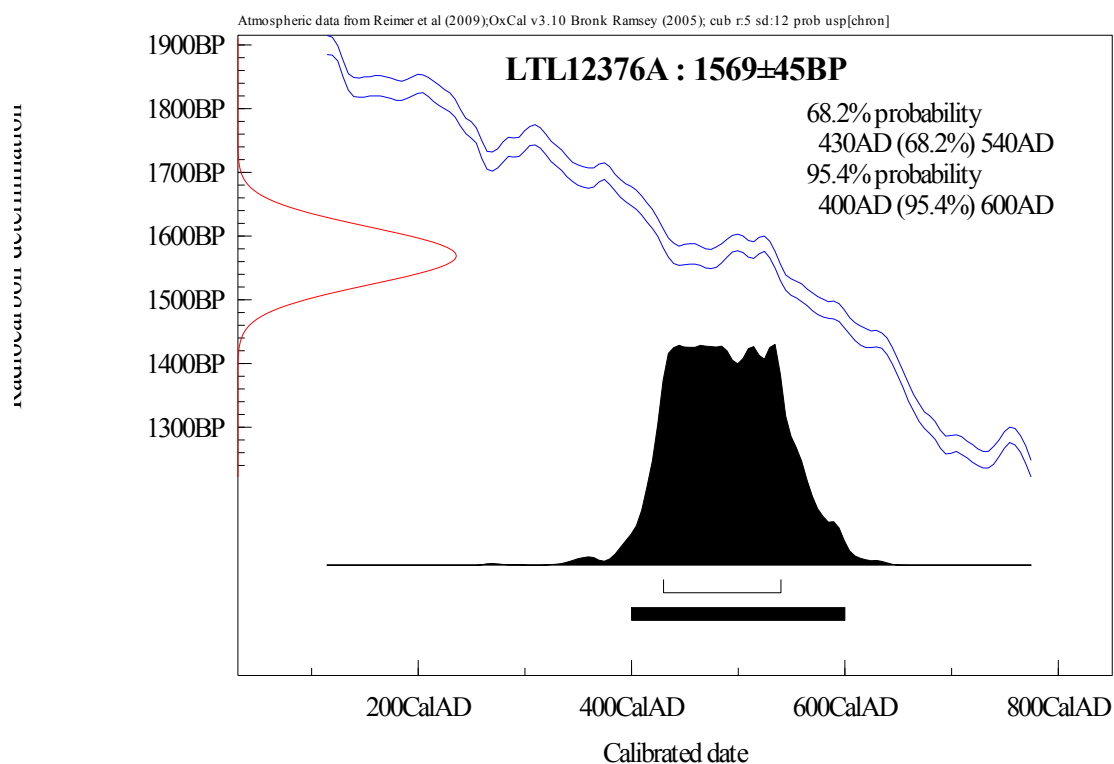


Fig. 14.4: Callibratie van de radiocarbondatering van staal LTL12376A.

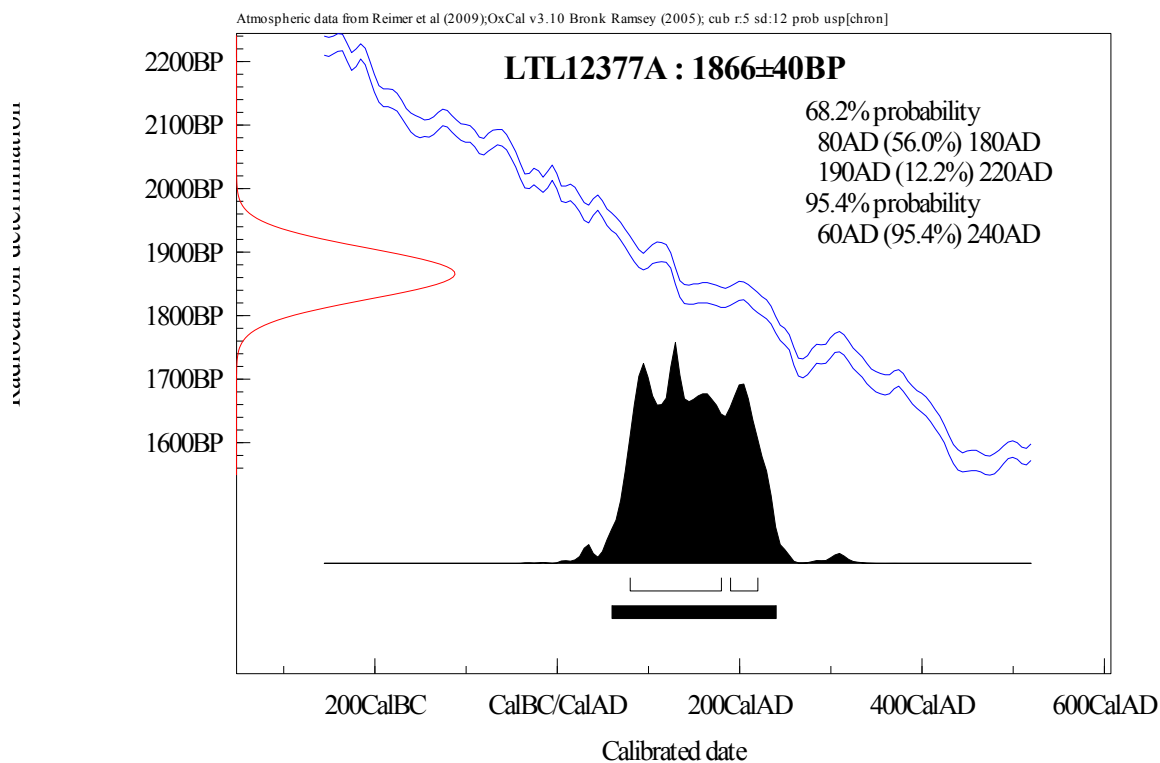


Fig. 14.5: Callibratie van de radiocarbondatering van staal LTL12377A.

14.3.3 Macroresten

14.3.3.1 Spoor 597

In antropogene sporen is er een kans dat het pollenspectrum niet alleen bestaat uit stuifmeel dat is neergeslagen met de natuurlijke pollenregen, maar ook uit stuifmeel dat door menselijk toedoen in het spoor terecht is gekomen. Dit is bijvoorbeeld het geval wanneer in de nabijheid van het spoor graan is gedorst, of hooi of heideplaggen zijn opgeslagen.

In spoor 597 is er sprake van een zeer hoog percentage pollen van grassen (Poaceae), 61,8%. Dergelijke percentages worden over het algemeen niet waargenomen in natuurlijke sedimenten. Ook het percentage pollen van granen, met name het gerst/tarwe-type (*Hordeum/Triticum*-type), is relatief hoog. Zowel gerst als tarwe zijn kleistogaam en verspreiden hun pollen niet met de wind. Pas bij dorsen komt het pollen vrij uit de bloemen¹⁹⁸. Het graanpollen was in een enkel geval nog samengeklonterd, wat inhoudt dat het waarschijnlijk met bloem(rest) en al in de kuil terecht is gekomen. Opvallend voor deze periode is het relatief hoge percentage pollen van rogge (*Secale cereale*).

Bovenstaande wijst erop dat het pollen in staal BX4885 grotendeels afkomstig moet zijn van plantaardig materiaal dat in de kuil is geworpen¹⁹⁹. Voor landschapsreconstructie is de inhoud van dit staal daarom ongeschikt. Het plantaardig materiaal kan bestaan hebben uit gemaaid gras of hooi en stro of dorsafval. De aanwezigheid van enkele schimmels, *Cercophora* en *Sordaria*, die voorkomen op mest en ander rottend plantenmateriaal, zou kunnen betekenen dat het plantaardig materiaal bedorven was of (deels) uit mest heeft bestaan.

Het macrorestenstaal (V470) uit dit spoor bevatte alleen verkoolde resten. Het materiaal staat daarom niet in direct verband met het pollen uit hetzelfde spoor. Het verkoolde materiaal moet worden geïnterpreteerd als zwerfafval dat onbedoeld in het kuil terecht is gekomen. Aangekomen zijn drie graansoorten: gerst (*Hordeum vulgare*), pluimgierst (*Panicum miliaceum*) en rogge.

Samen met het verkoolde graan zijn ook verkoolde zaden van wilde soorten aangetroffen. Deze zijn naar alle waarschijnlijkheid afkomstig van akkeronkruiden die met de gewassen op de akkers hebben gestaan²⁰⁰. Knopherik (*Raphanus raphanistrum*) en schapenzuring (*Rumex acetosella*) zijn kenmerkend voor akkers op kalkarme, relatief voedselarme bodem. Melganzenvoet (*Chenopodium album*), beklierde duizendknoop (*Persicaria lapathifolia*) en sommige walstrosoorten (*Galium* spp.) komen vooral voor op voedselrijkere bodem, maar ook wel op minder voedselrijke.

¹⁹⁸ Diot 1992.

¹⁹⁹ Een vergelijkbare situatie is aangetroffen op de vindplaats Lier-Duwijck: Van der Meer & Hänninen 2012.

²⁰⁰ Van der Veen 2007. Er moet onderscheid worden gemaakt tussen de standplaatscategorie "akkeronkruiden" en planten die daadwerkelijk als onkruid op akkers hebben gegroeid. De standplaatscategorie akkeronkruiden omvat soorten die hun optimum hebben als akkeronkruid, maar in principe ook op andere standplaatsen kunnen voorkomen. Onkruiden op akkers hoeven andersom niet altijd soorten te zijn uit de standplaatscategorie akkeronkruiden.

14.3.3.2 Spoor 275

Hoewel in het pollenspectrum in stalen uit de inhoud van waterputten ook enige verstoring door menselijke activiteit verwacht mag worden, zijn dergelijke sporen meestal geschikt voor een poging tot vegetatiereconstructie²⁰¹. De verhouding boompollen/niet-boompollen geeft een indicatie van de landschapsopenheid. Een boompollenpercentage van 23,9% is zeer laag en wijst op een open landschap; een omgeving die wordt gedomineerd door lage vegetaties²⁰². Uit de hoge percentages van grassen (Poaceae) en struikhei (*Calluna vulgaris*) valt op te maken dat grasland en heide belangrijke landschapstypen waren in de omgeving van de vindplaats.

Binnen het boompollen domineert dat van els (*Alnus*). Berk (*Betula*), hazelaar (*Corylus avellana*) en eik (*Quercus*) zijn met lage percentages aanwezig, in mindere mate ook beuk (*Fagus sylvatica*) en linde (*Tilia*). Van es-type (*Fraxinus*-type) en haagbeuk (*Carpinus betulus*) zijn enkele waarnemingen gedaan. De verhoudingen tussen de verschillende pollentypen laten zich niet vertalen naar gelijke verhoudingen in het bosbestand. Els, berk en eik produceren bijvoorbeeld veel meer pollen dan beuk en linde.

Linde, beuk en haagbeuk zijn soorten van oude, voedselrijke bosbodems. Berk is een pionierende soort die kenmerkend is voor voedselarme grond. Er zijn twee inheemse berkensoorten, waarvan één, ruwe berk (*Betula pendula*) hoofdzakelijk op droge grond voorkomt en de ander, zachte berk (*Betula pubescens*) voorkomt op natte grond. Ruwe berk komt tevens veel voor op heidegrond. Van eik bestaan eveneens twee inheemse soorten: zomereik (*Quercus robur*) en wintereik (*Quercus petraea*).

De zwarte els (*Alnus glutinosa*) is een soort van natte bodem²⁰³. Het hoge percentage pollen van els ten opzichte van dat van soorten van drogere bodemtypen kan worden opgevat als een landschapssituatie waarbij de drogere, meest productieve, gronden grotendeels zijn ontgonnen voor akkerbouw en veeteelt, maar de oorspronkelijke bossen in de nattere delen van het landschap nog deels intact zijn gelaten. In dit geval betreft het waarschijnlijk een broekbos in het beekdal van de Zwarte Beek²⁰⁴.

Van zwarte els, ruwe/zachte berk, beuk, zomer-/wintereik, hazelaar en haagbeuk zijn tevens macroresten aangetroffen in dezelfde laag. Behalve berk kunnen deze soorten hun diasporen niet verspreiden op de wind. Het kan dus worden aangenomen dat ze op de nederzetting zelf aanwezig waren. Els, berk, eik, hazelaar en haagbeuk zijn soorten die zeer geschikt zijn voor hakhoutcultuur. Bij het kappen van de stam iets boven de basis loopt de boom weer uit, zodat deze een aantal jaar later weer geschikt hout oplevert. In een landschap relatief arm aan bomen kunnen erfgebonden hakhoutbosjes (geriefbos) toch voldoen aan de houtbehoefte van een nederzetting.

Er is een hoog percentage pollen van struikhei vastgesteld voor dit staal. Opvallend is dat in het macrorestenstaal V468 nauwelijks resten van struikhei of andere heisoorten zijn aangetroffen, maar wel vrij veel van diverse andere soorten uit heidevegetaties, zoals tormentil (*Potentilla erecta*),

²⁰¹ Van Groenewoudt e.a. 2007.

²⁰² Groenman-Van Waateringe 1986.

²⁰³ De witte els (*Alnus incana*) komt van nature nauwelijks in de Benelux voor en is wellicht niet autochtoon (Maes e.a. 2006).

²⁰⁴ De Zwarte Beek is een kleine rivier waarvan de oevers over zijn gehele lengte onder natuurbeheer staan. Ook tegenwoordig zijn er nog delen waar broekbossen voorkomen, een bostype dat in de Benelux meestal slechts in zeer gereduceerde vorm voorkomt.

pilzegge (*Carex pilulifera*) en trekrus (*Juncus squarrosus*). Het is onduidelijk of dit resten van de vegetatie uit de directe omgeving van de waterput betreft, of zwerfafval van materiaal dat op de heide is verzameld.

Het percentage graspollen is bijna net zo hoog als dat van struikhei. Opvallend is dat er maar relatief weinig pollen afkomstig is van typische graslandsoorten, zoals blauwe knoop-type (*Succisa*-type) en in mindere mate veldzuring-type (*Rumex acetosa*-type) en smalle weegbree-type (*Plantago lanceolata*-type). Graslandsoorten waarvan macroresten zijn aangetroffen zijn gewoon duizendblad (*Achillea millefolium*), grasmuur (*Stellaria graminea*) en ratelaar (*Rhinanthus*) (fig. 14.6). Blauwe knoop en ratelaar zijn taxa die voornamelijk voorkomen in hooilanden.



Fig. 14.6: Grote ratelaar (© BIAX).

Planten van storingsmilieus kunnen eveneens in de context van grasland worden geplaatst. Soorten zoals vertakte leeuwentand (*Leontodon autumnalis*), krulzuring-type (*Rumex crispus*-type) en boterbloemen (*Ranunculus* spp.) zijn kenmerkend voor grasland dat wordt begraaasd door vee.

Het percentage pollen van cultuurgewassen is niet bijzonder hoog. Aangetroffen is pollen van het gerst/tarwe-type en rogge. Cultuurgewassen waarvan macroresten zijn aangetroffen zijn gerst, rogge en pluimgierst. Lage percentages van sommige graanpollentypen, zoals het gerst/tarwe-type zijn al indicatief voor lokale verbouw. Het aangetroffen percentage roggepollen is niet zeer hoog. In

tegenstelling tot veel andere granen is rogge een windbestuiver en produceert veel pollen dat over grote afstanden wordt verspreid. In combinatie met de verkoolde graankorrels en kafresten van rogge moet echter wel worden aangenomen dat dit graan lokaal is verbouwd²⁰⁵. Pollen van pluimgierst kan niet worden onderscheiden van dat van andere grassen met relatief grote pollenkorrels (>40 µm).

Behalve van granen zijn er ook macroresten gevonden van andere soorten cultuurgewassen, zoals koriander (*Coriandrum sativum*), kattenkruid (*Nepeta cataria*), biet (*Beta vulgaris*), peen (*Daucus carota*), wouw (*Reseda luteola*) en hennep (*Cannabis sativa*). Koriander, kattenkruid en wouw zijn soorten van Mediterrane oorsprong²⁰⁶. Koriander is door de Romeinen geïntroduceerd als keukenkruid. Kattenkruid wellicht eveneens, de soort wordt genoemd in Romeinse recepten, maar deze plant is mogelijk als cultuurvolger (onkruid) meegekomen met de intensieve tuinbouw die eveneens door de Romeinen naar onze streken is gebracht. In de vroege middeleeuwen was kattenkruid een soort die in kloostertuinen werd verbouwd²⁰⁷. Wouw is een verplant waaruit een gele (textiel)verfstof werd gewonnen. Ook deze soort is door de Romeinen naar onze streken gebracht. Biet en peen zijn inheemse soorten. De eetbare cultuurvarianten zijn echter pas met de Romeinen in België bekend geraakt. Het is in dit geval onduidelijk of de macroresten van peen afkomstig zijn van gecultiveerde planten of van wilde. Wilde peen is een graslandsoort. In het geval van biet is vrijwel zeker dat het om de cultuurvariant gaat, aangezien wilde biet alleen in het kustgebied voorkomt. Hennep is eveneens door de Romeinen in de Lage Landen geïntroduceerd. Het is een vezelgewas: van de vezels in de stengel kan touw en grove textiel worden vervaardigd. De zaden leveren een eetbare olie.

Een aantal van de macroresten in de stalen uit de waterput zijn afkomstig van wilde soorten met eetbare vruchten. Dit zijn hazelnoot (*Corylus avellana*), beuk (*Fagus sylvatica*), eik (*Quercus*), gewone braam (*Rubus fruticosus*), framboos (*Rubus idaeus*) en gewone vlier (*Sambucus nigra*). Van al deze soorten is bekend dat ze in het verleden werden verzameld en gegeten. Omdat het wilde soorten betreft is het echter niet bewijsbaar dat de hier aanwezige resten inderdaad verzameld zijn ter consumptie.

Ook in dit monster kunnen de verkoolde zaden van wilde soorten worden beschouwd als afkomstig van akkeronkruiden, zelfs als ze een andere standplaatscategorie toebehoren. Aangekomen verkoolde soorten zijn: schapenzuring, smalle wikke (*Vicia sativa* cf. var. *nigra*), melganzenvoet, beklierde duizendknoop, grote brandnetel (*Urtica dioica*) en struis-/beemdgras (*Agrostis/Poa*). Van de zaden van smalle wikke valt niet met zekerheid te zeggen of ze van deze wilde variant zijn, of van de gecultiveerde variant, gewone wikke (*Vicia sativa* var. *sativa*). De zaden van beide onderscheiden zich alleen op basis van grootte. Gemiddeld genomen heeft smalle wikke kleinere zaden dan gewone, maar er is overlap. De determinatie is hier gemaakt op basis van de geringe grootte van de hier gevonden zaden (fig. 14.7).

²⁰⁵ Hillman 1981, 1984.

²⁰⁶ Pals 1997.

²⁰⁷ Strabo W. 827: Liber de Cultura Hortorum.



Fig. 14.7: Smalle wikke in een roggeakker (© BIAx).

Er is vrij weinig pollen aangetroffen van wilde soorten uit antropogene vegetaties (akkeronkruiden en ruderalen), maar des te meer macroresten (akkeronkruiden, tredplanten, planten van ruigten). De onverkoolde akkeronkruiden hebben geen directe relatie met de aanwezige verkoolde graan- en onkruidresten, maar geven een meer algemeen signaal over de agrarische activiteiten op en rond de vindplaats. Schapenzuring en gewone spurrie (*Spergula arvensis* var. *arvensis*) zijn akkeronkruiden van kalkarme, relatief voedselarme zandbodem. Het zijn kenmerkende soorten voor de graanverbouw op schrale zandgrond. Ook de ruigtesoort klein vlasbekje (*Linaria vulgaris*) past in deze context. Zwarte nachtschade (*Solanum nigrum*), zwaluwtong (*Fallopia convolvulus*) en veel andere aangetroffen soorten zijn akkeronkruiden met een voorkeur voor voedselrijke bodem, maar komen niet exclusief op voedselrijke bodem voor. Korrelganzenvoet (*Chenopodium polyspermum*), bilzekruid (*Hyoscyamus niger*) en gevlekte scheerling (*Conium maculatum*) zijn echter werkelijke stikstofliefhebbers. Ze kunnen in deze context worden opgevat als sterke indicatoren voor lokale tuinbouw, waarbij (kleine) percelen grond intensief worden omgewerkt, bemest en geïrrigeerd.

Een categorie die eveneens nauwelijks is vertegenwoordigd in het pollenspectrum, maar wel in het macrorestenspectrum is die van de zoomplanten. Zoomplanten komen voor op de grens van bossen, bosjes en hagen met open vegetatietypes als grasland en akkers. Soorten als grote brandnetel en heggedoornzaad (*Torilis japonica*) staan ook vaak in en langs de randen van nederzettingen, op

beschaduwde, enigszins verlaten plekken. Borstelkrans (*Clinopodium vulgare*) is meer een “pure” zoomplant, die bovendien indicatief is voor kalk in de ondergrond.

Er is in het pollenstaal een enkel microfossiel van een groenwier (*Debarya*) aangetroffen. Dit betreft de vegetatie binnenin de waterput. Tevens zijn er macroresten aangetroffen van planten die waarschijnlijk direct rond de waterput (of op een nabijgelegen natte plek) groeiden, zoals waterpeper (*Persicaria hydropiper*), watermuur (*Stellaria media*) en grote lisdodde (*Typha latifolia*). Er zijn vele resten van mestschimmels aanwezig in het pollenstaal, waaronder die van de geslachten *Sporormiella* en *Tripterospora*. Deze twee geslachten beperken zich meer tot mest en komen minder vaak voor op ander rottend plantaardig materiaal dan bijvoorbeeld *Sordaria* en *Cercophora*. De aanwezigheid van deze mestschimmels vormt dus een sterke aanwijzing voor het houden van vee op de nederzetting zelf.

14.3.3.3 Verbouw van rogge

Enkele graankorrels van rogge, of enkele pollenkorrels ervan, worden in prehistorische contexten niet beschouwd als aanwijzingen voor de cultivatie van deze soort. Het is immers een akkeronkruid, dat al voor de domesticatie ervan in heel Europa voorkwam. Grotere aantallen graankorrels en/of kafresten en hogere percentages pollen kunnen wel als indicatief voor lokale verbouw worden opgevat, hoewel de precieze hoeveelheid waarbij een dergelijke conclusie gerechtvaardigd is alleen arbitrair kan worden vastgesteld. De vondsten van rogge op de vindplaats Meldert-Zelemsebaan laten zich moeilijk indelen. In geen van de drie gevallen betreft het vondstmateriaal een voorraad of dorsafval, maar zwerfafval. De hoeveelheden zijn bovendien niet groot, maar het zijn ook geen enkele graankorrels of incidentele pollenkorrels. Bovendien zijn er ook kafresten aanwezig en zijn er meer verkoolde graankorrels van rogge dan van andere graangewassen. De voorzichtige conclusie alhier is dat de hier aangetroffen resten van rogge afkomstig zijn van lokale cultuur.

Rogge is een graangewas dat is ontstaan uit een akkeronkruid. De domesticatie van deze soort heeft vermoedelijk op meerdere plaatsen en perioden onafhankelijk van elkaar plaats gevonden²⁰⁸. Op basis van archeologische vondsten van rogge kan worden verondersteld dat de domesticatie van rogge in Noordwest-Europa plaatsvond gedurende de Late-IJzertijd en Vroeg-Romeinse periode ten noorden van de Rijn. Bij de migratie van de noordelijke Germanen naar de gebieden ten zuiden van de rivieren in de 4^{de} en 5^{de} eeuw na Chr., introduceerden zij dit gewas dan ook aldaar²⁰⁹. De aanwezigheid van rogge blijkt in Nederland inderdaad hand in hand te gaan met indicatoren voor Germaanse invloed. Zo kan het verschijnen van rogge in sporen uit de late 4^{de} eeuw en eerste helft van de 4^{de} eeuw na Chr. in het *castrum* van Maastricht worden verbonden aan de aanwezigheid van hutkommen rond dit *castrum* in dezelfde periode²¹⁰. In Maastricht en de Romeinse stad Tongeren zijn echter gedurende voorgaande perioden geen vondsten van rogge bekend²¹¹.

²⁰⁸ Behre 1992.

²⁰⁹ Lauwerier e.a. 1999.

²¹⁰ Bakels & Dijkman 2000.

²¹¹ Vanderhoeven e.a. 1987; Cooremans & Vanderhoeven 1992.

14.3.3.4 Tuinbouw

De introductie van tuinbouwcultuur in Noordwest-Europa mag als één van de Romeinse zegeningen worden beschouwd. Er zijn geen aanwijzingen dat de inheemse bevolking vóór de Romeinen andere zaken verbouwde dan stapelvoedsel. De Romeinse legioenen brachten een veelheid aan gewassen met zich mee met als enig doel het veraangenamen van de smaak van de maaltijd. De specifieke kennis van de verbouw van deze gewassen, hoewel weinig ingewikkeld, kwam waarschijnlijk ook met hen mee. Ook introduceerden de Romeinen enkele gewassen die niet bedoeld waren voor de spijs, maar wel een vergelijkbare intensieve productiemethode vereisten.

Te Meldert zijn drie, mogelijk vier, mediterrane groenten of kruiden teruggevonden: biet, koriander, kattenkruid en mogelijk peen. Tevens zijn er twee nieuw geïntroduceerde gewassen aanwezig die met textielproductie te maken hebben: hennep en wouw.

Op het eerste gezicht lijkt een discussie van kleine plantjes als keukenkruiden onbetekenend, maar er moet worden stilgestaan bij het feit dat kleine toevoeging van “bijzondere” ingrediënten in de ogen van kok en eters als betekenisvol kan worden gezien. Zonder in te gaan op alle sociale aspecten van het gebruik van kruiden en specerijen, kan wel worden gesteld dat het wel of niet gebruiken ervan behalve met smaak ook te maken heeft met etnische identiteit en/of statusontlening aan uitwisselingscontacten.

De vroegste geschiedenis van de Noordwest-Europese tuinbouw valt af te leiden uit de verspreiding per periode van archeobotanische vondsten van een aantal “Mediterrane” keukenkruiden²¹². Zo blijkt dat keukenkruiden zoals koriander bij introductie alleen in legioensstandplaatsen en andere militaire vestigingen aanwezig waren, om zich vervolgens in de eeuwen na de verovering te verspreiden over de opkomende steden en zelfs de rurale bevolking. Ten noorden van de Rijn zijn geen vondsten van keukenkruiden bekend daterend van vóór de middeleeuwen. Na de val van het Romeinse Rijk neemt het aantal archeobotanische vondsten van keukenkruiden sterk af. Tevens wordt het overgrote deel van de vondsten van keukenkruiden gedaan in elitaire, stedelijke, of kloosterlijke contexten gedaan. Kennelijk waren de eerder en later gewone keukenkruiden in deze periode weer een bijzonder goed. Het kan echter zijn dat dit beeld moet worden aangepast in het licht van nieuwe ontdekkingen van keukenkruiden, koriander in het bijzonder, in rurale nederzettingen zonder duidelijke handelscontacten zoals bijvoorbeeld te Someren (NL) en Nijlen (BE)²¹³. Het is zeker niet onmogelijk dat de verbouw en het gebruik van bepaalde keukenkruiden zowel in de Romeinse periode als de vroege middeleeuwen worden gebruikt om bepaalde (culturele?) contacten met zuidelijkere centra aan te duiden.

14.3.3.5 Zuidelijke en noordelijke invloeden

Bij het onderzoek van archeobotanisch materiaal in opslagruimten van het Romeinse Castrum te Maastricht, daterend uit de 4^{de}-5^{de} eeuw, worden de verkoolde roggevoorraden in verband gebracht met typisch Germaanse verschijnselen als hutkommen. De verkoolde zaden van koriander en biet die in dezelfde en oudere sporen aanwezig waren, zijn echter aspecten van de Romeinse cultuur, die in Maastricht vrij vroeg werden overgenomen en relatief lang werden voortgezet²¹⁴.

²¹² Livarda & Van der Veen 2008.

²¹³ Van der Meer e.a. 2009; Van der Meer & Van Haaster 2010.

²¹⁴ Bakels & Dijkman 2000: 50.

Op de vindplaats Meldert-Zelemsebaan is er eveneens sprake van het gelijktijdig voorkomen van de “Germaanse” graansoort rogge en “Romeinse” gastronomische zaken als keukenkruiden en groenten. Het kan daarom worden verondersteld dat Meldert zich in de 5^{de} eeuw eveneens in een contactzone bevond tussen Rome enerzijds en de Germanen anderzijds. Mogelijk neemt dit de vorm aan van Germaanse *foederati* die zich hebben gevestigd op deze locatie, zoals ook wordt gesuggereerd door de aanwezigheid van hutkommen op deze vindplaats.

14.4 Conclusies

Het archeobotanisch onderzoek in het kader van de opgraving Meldert-Zelemsebaan omvatte zes macrorestenstalen uit drie sporen en negen pollenstalen uit twee sporen. Na waardering zijn uit een waterput (S275) uit twee lagen zowel een macrorestenstaal als een pollenstaal verder geanalyseerd, evenals een macrorestenstaal en pollenstaal uit een waterkuil (S597). De conservering van het materiaal in de waterput was redelijk tot goed. Van het botanisch materiaal in de kuil was het pollen wisselend geconserveerd, de onverkoolde macroresten in de kuil waren slecht bewaard gebleven, maar de verkoolde goed.

Uit het onderzoek blijkt dat de waterkuil met spoornummer 597 onder andere gedempt is met plantaardig materiaal afkomstig van gras en granen. Het is mogelijk dat de kuil is hergebruikt als afvalkuil, waarin bijvoorbeeld dorsafval en bedorven hooi is gestort.

De vegetatie in de omgeving van de waterput is gedurende de gerepresenteerde periode grotendeels open geweest. In de lagere delen, het dal van de Zwarte Beek, was vermoedelijk een elzenbos aanwezig, maar er zijn geen aanwijzingen voor gesloten bos op de helling van de getuigenheuvel in de omgeving van de vindplaats. Heide, grasland en akkergrond moeten het landschapsbeeld hebben bepaald. Wel hebben op de nederzetting zelf enkele bomen gestaan. Er zijn aanwijzingen voor het beheer van grasland als weiland en hooiland, alsmede voor het houden van vee op de vindplaats. De akkergrond lijkt op basis van de aangetroffen akkeronkruiden van nature overwegend kalkarm en niet voedselrijk te zijn geweest.

De bewoners van de vindplaats kenden het gebruik van gerst, pluimgierst, rogge en mogelijk ook nog tarwe. Er is bewijs dat tenminste de rogge en gerst lokaal zijn verbouwd. Tevens zijn er enkele tuingewassen op (hoogstwaarschijnlijk) kleine, maar arbeidsintensieve schaal verbouwd. Dit zijn biet, koriander, hennep, wouw en mogelijk ook peen en kattenkruid. Er zijn verschillende resten aangetroffen van eetbare wilde soorten die mogelijk menselijk gebruik hebben gekend, zoals resten van beukenootjes, eikels, hazelnoten, braam, framboos en vlierbes.

De verbouw van rogge in de Romeinse periode kan in Nederland altijd worden verbonden aan een Germaanse invloed. Andersom is de aanwezigheid van tuingewassen een teken van Romeinse of Romaanse invloed. Meldert moet zich dus tenminste gedurende de vroege 5^{de} eeuw in een contactzone tussen beide culturen hebben bevonden.

Hoofdstuk 15 Besluit

Maarten Smeets

Nadat een archeologisch vooronderzoek de aanwezigheid van nederzettingssporen uit de vermoedelijke (midden- tot late) ijzertijd aan het licht hadden gebracht, werd in de zomer van 2010 overgegaan tot een vlakdekkende opgraving van een terrein van ongeveer 1,5 ha. De selectie van deze zone was ingegeven door meerdere factoren.

In de meest noordelijke zone van het terrein, gelegen tussen de reeds bestaande bewoning, was bij het vooronderzoek een tot bijna 120 cm dik afdekkend colluviumpakket vastgesteld. De opdrachtgever kon bij het voormalige Agentschap Ruimte & Erfgoed beargumenteren dat deze zone voorzien was van een voldoende dikke buffer, zodat er sprake kon zijn van behoud in situ. Uiteraard zal de aanleg van riolering, mogelijke kelders van de huizen en regen- en andere putten een negatieve invloed hebben op deze bewaring in situ.

Bij het vooronderzoek werden in de oostelijke zone van het terrein geen sporen vastgesteld. Ook in de zuidelijke zone van het terrein, op de kop en net onder de kop van de getuigenheuvel, werd op 20-30 cm onder het huidige maaiveld zand van geologische oorsprong aangetroffen. Sporen waren er niet aanwezig en de conclusie voor deze zone was dat er daar reeds erosie had plaatsgehad.

Lager op de helling was de sporendensiteit veel lager en hoewel geadviseerd was deze zone ook op te graven, werd ze niet voor verder onderzoek weerhouden. Dit bleek een jammerlijke keuze te zijn, aangezien vooral de ijzertijdstructuren die werden aangetroffen zich hier net tegen de rand van de opgravingszone bevonden.

Uit de midden- tot late bronstijd werden 59 scherven aangetroffen, waarvan evenwel slechts 3 effectief aan een spoor gelinkt kunnen worden.

De bekomen opgravingsresultaten mogen desalniettemin zeer interessant genoemd worden. De oudste sporen van menselijke aanwezigheid zijn 29 fragmenten (alle losse vondsten) in silex en andere soorten natuursteen. Een afslagschrabber kan in het midden tot late mesolithicum gedateerd worden. De datering van een microkling is meer algemeen mesolithisch.

Daarnaast werd er ook een deel van een kringgreppel (diameter 14 m) aangetroffen, die geïnterpreteerd kan worden als restant van een grafstructuur. Er werden helaas geen vondsten aangetroffen die een datering toelaten en ook resten van menselijke begravingen werden niet meer aangetroffen.

Uit de midden- tot late ijzertijd werden vooral in het zuidoostelijke deel van het terrein twee hoofdgebouwen en negen bijgebouwtjes, waaronder zeven spiekers, aangetroffen. Beide tweeschepige hoofdgebouwen hebben een noordoost-zuidwest oriëntatie. De hoofdkenmerken van de plattegronden zijn te vergelijken met hoofdgebouwen van het type Oss 4A/Haps. Op basis van de typologie van de hoofdgebouwen kunnen de structuren in de midden- tot late ijzertijd gedateerd worden.

Spiekers zijn kleine gebouwtjes die dienden voor de oogstopslag. Grote en diepe paalkuilen zijn kenmerkend voor spiekers. De functie van andere bijgebouwen is moeilijker te bepalen. De grote bijgebouwen worden in de literatuur wel met het neutrale 'schuur' aangeduid. Waarschijnlijk stonden er op de prehistorische nederzettingen ook andere kleine bijgebouwen met een andere (agrarische) functie dan graanopslag, zoals hokken, verhogingen voor bijenkorven, die eenzelfde patroon van paalsporen kunnen hebben achtergelaten als spiekers. De datering van deze structuren berust met name op het feit dat ze zich in het zuidoostelijk deel van het opgegraven areaal situeren. Slechts één spieker (structuur B4) kon op basis van aardewerk ook daadwerkelijk aan deze periode

toegeschreven worden. Deze structuur bevindt zich op een afstand van 45 meter van de hoofdgebouwen. De oppervlaktes van de spiekers zijn goed te vergelijken met spiekers van andere ijzertijd nederzettingen. De in de ijzertijd gedateerde spiekers te Oss-Ussen hebben een gemiddeld oppervlak van tussen de 3,5 en 6,5 m². Grotere spiekers, zoals structuren B6 en B7, komen in de ijzertijd echter ook voor. De spiekers uit de Romeinse periode hebben oppervlaktes, die vaak tien maal zo groot zijn. De oppervlaktes zijn een extra argument om de spiekers toe te schrijven aan de prehistorische nederzetting en niet aan de laat-Romeinse nederzetting. Het is niet uit te sluiten dat een aantal bijgebouwen in werkelijkheid ouder zijn.

Kuil 1787, met vier vullingen waarvan de onderste twee houtskool bevatten, is mogelijk gegraven en weer gevuld tijdens een verlatingsritueel. In het Maas-Demer-Scheldegebied komen bij hoofdgebouwen soms grote kuilen voor met grote hoeveelheden 'afval', die geïnterpreteerd kunnen worden als overblijfselen van een verlatingsritueel. Hoewel in kuil 1787 veel scherven zijn gevonden, is de hoeveelheid materiaal klein in vergelijking met andere 'rituele' kuilen in het MDS-gebied. Toch kan de locatie van de kuil bij de ingang er op wijzen dat het om een overblijfsel van een verlatingsritueel gaat. Zo lagen bij huis 1 van Sint Oedenrode en huis 2 te Riethoven de 'rituele' kuilen ook in de ingangszones.

De vondsten uit deze periode zijn vrij beperkt en kunnen grotendeels in de late ijzertijd gedateerd worden. In totaal zijn 318 handgevormde scherven aardewerk gevonden tijdens de opgraving en 37 tijdens het proefsleuvenonderzoek. Hierbij zijn ook wel de 59 stuks uit de midden- tot late bronstijd geteld. Ze zijn onderverdeeld in 28 rand-, 262 wand-, 8 bodemscherven en 57 fragmenten.

Op basis van de datering van voornamelijk het aardewerk, maar ook omdat er geen gepubliceerd materiaal voorhanden was voor de site Meldert-Dorpveld 11 (CAI 700195), slechts een 300-tal meter ten zuidoosten van het projectgebied, kon geen directe relatie tussen beide sites aangetoond worden. De aangetroffen graven op deze werden door de opgravers gedateerd in de midden-ijzertijd, wat op basis van het aangetroffen aardewerk niet helemaal lijkt overeen te komen met de datering van de site Meldert-Zelemsebaan.

De beste resultaten werden echter bekomen voor een periode die op basis van het vooronderzoek niet vermoed werd, namelijk de laat-Romeinse periode. Dit komt zeker voor een deel door de beperkte kennis die er over deze periode is. Ook de onderzoeksbalans van het Vlaams Instituut voor het Onroerend Erfgoed toont dit aan. In vergelijking met vindplaatsen uit de midden-Romeinse tijd is in het MDS-gebied slechts een gering aantal vindplaatsen uit de laat-Romeinse periode bekend. Voor de zandgronden in het MDS-gebied lijkt het of er lange tijd minimale of zelfs helemaal geen bewoning was na de teruggang tussen 225 en 250.

Het aantonen van nederzettingen uit de laat-Romeinse periode blijkt niet zo eenvoudig. In de eerste plaats zijn de paalkuilen relatief ondiep. Daarnaast is ook de kennis van het vondstmateriaal uit deze periode, door het geringe aantal studies, eerder beperkt. Dit vormt vooral problemen bij de aardewerkstudie en het handgevormd aardewerk in het bijzonder. Deze veel voorkomende categorie binnen het nederzettingsmateriaal maakt dat dit handgevormd materiaal slecht te onderscheiden is van het materiaal uit de ijzertijd of de vroege middeleeuwen. Voor nederzettingen uit de vroegmiddeleeuwse periode gelden dezelfde redenen.

Tijdens de vlakdekkende opgraving zijn een zestal plattegronden van hoofdgebouwen uit de laat-Romeinse periode blootgelegd. Daarnaast zijn er twee hutkommen, een aantal bijgebouwen, een waterput en (water)kuilen aangetroffen. Alle plattegronden van de hoofdgebouwen zijn fragmentarisch bewaard, waardoor een aantal hoofdgebouwen eerder hypothetisch zijn. De plattegronden werden vergeleken met vergelijkbare plattegronden uit het MDS-gebied en wegens de Germaanse invloeden in dit gebied in de laat-Romeinse periode ook met plattegronden buiten dit gebied.

Bij alle hoofdgebouwen valt op dat ze alle een noordoost-zuidwest oriëntatie hebben. Drie hoofdgebouwen (H3, H4 en H7) vertonen grote gelijkenissen. Deze drie gebouwen zijn deels drieschepig (oosten) en deels éénschepig (westen). Bij alle drie de gebouwen zijn duidelijke ingangspartijen herkend. Bij H3 bevinden deze ingangen zich centraal in de noordelijke en zuidelijke lange zijde en in de westelijke kopse zijde. De beste parallellen voor dit type zijn gebouwen van het type Peelo A-Wijster B en structuur 6 in Goirle-Huzarenwei. In structuren H4 en H7 werden mogelijk telkens één kelderkuil gevonden.

Structuur H5, en mogelijk ook H6, heeft geen kenmerkende ingangspartijen zoals het eerste huistype. Dit type gebouw, dat het best te vergelijken valt met structuur 10 in Goirle-Huzarenwei, is tweeschepig en heeft mogelijk iets afgeronde hoeken. In structuur H5 werden twee mogelijke haardkuilen aangetroffen.

Een laatste, zeer hypothetische structuur, is structuur H8. Deze structuur had een dubbele rij wandstijlen evenals twee rijen binnenstijlen.

Naast deze hoofdgebouwen werden ook twee hutkommen opgegraven. Een hutkom is een type bijgebouw waarvan het vloeroppervlak verdiept is aangelegd. Eén van de interpretaties is dat in hutkommen ambachtelijke activiteiten werden uitgevoerd, zoals spinnen en weven. Er zijn aanwijzingen dat de hutkommen ook voor metaalbewerking zijn gebruikt. Mogelijk werden de hutkommen ook gebruikt als opslagplaats. Tacitus beschrijft dat de Germanen ondergrondse holen graven en die afdekken met een hoop mest. Volgens Tacitus dienden ze als provisiekamer en om 's winters in te schuilen.

Over het algemeen variëren de afmetingen van hutkommen, maar doorgaans is een hutkom 2 x 3 m groot, wat min of meer overeen komt met de twee opgegraven exemplaren die beide 3,5 x 3,2 m groot waren. Meestal stonden in de korte wanden drie palen die waarschijnlijk een zadelvormig dak droegen. De ingang van de hutkommen bevond zich vermoedelijk aan de korte zijde. Hiervoor is in Meldert een aanwijzing teruggevonden in de vorm van een vertrapte zone aan de oostelijke zijde van een hutkom.

Hutkommen zijn kenmerkend voor een Germaanse invloed daar ze in oorsprong enkel in Germaans gebied worden aangetroffen. In Zuid-Nederland komen ze vanaf de tweede helft van de derde eeuw voor, maar voornamelijk in de 4^{de} eeuw. In het Belgisch deel van het MDS-gebied werden ze tot nu toe enkel aangetroffen te Donk-Het Groot Veld en Neerharen-Rekem.

Er werden ook twee bijgebouwtjes aangetroffen. Structuur B10 is een 8-palige structuur van het type Oss IIC en is noordoost-zuidwest georiënteerd. B11 is een 4-palige spieker met een lichte noordwest-zuidoost oriëntatie. Er werden ook resten van een erfafsluiting, meerdere kuilen (waaronder één waterkuil) en een waterput aangetroffen. In het vlak was de insteek van de waterput 3,6 x 3,2 m. Op een diepte van 2,6 m onder het vlak eindigde de insteek en begon een smalle schacht met een diameter van 1,3 m. Op een diepte van 4,7 m onder het vlak kwam in de schacht een houtconstructie tevoorschijn. Deze bestond uit twee halve uitgeholde boomstammen, waarvan de kapdatum dendrochronologisch vastgesteld werd tussen 411 en het voorjaar van 412, waartegen een aantal verticale planken waren geplaatst, dendrochronologische een tiental jaren later te dateren. Een verklaring ligt in een constructie van de waterput in of na 422, waarbij gebruik werd gemaakt van een al 10 jaar eerder gekapte stam. Veel bouwceramiek was op de bodem geplaatst, waarschijnlijk om de instroom van al te veel zand tegen te gaan. De onderzijde van de schacht en de houtconstructie bevindt zich op 5,5 m onder het vlak.

De opgraving aan de Zelemsebaan te Meldert heeft voor de laat-Romeinse periode zowel informatie opgeleverd over de materiële cultuur als over de omgeving waarin de nederzetting zich bevond.

Het aardewerk uit de laat-Romeinse periode is, in tegenstelling tot het aardewerk uit de vroeg- en midden-Romeinse periode, minder goed gekend. Vooral de 5^{de} eeuw is een "dark age" binnen de

archeologische (materiaal)kennis. Omdat een duidelijk beeld ontbreekt voor deze periode werd deze in het verleden ook moeilijk als dusdanig herkend zoals dit wel meer het geval is met aardewerk uit een transitieperiode.

De grote fractie verzorgd handgevormd materiaal doet voor een onge oefend oog soms ijzertijdachtig of vroeg-Romeins aan. Ook de vormschat speelt hierin zijn rol met vormen die sterk op de lokale handgevormde traditie zijn geënd of aansluiten bij de terra nigra-vormen uit hoofdzakelijk de 1^{ste} eeuw.

Door de belangrijke rol van regionaliteit en lokale traditie in de materiële cultuur zou het verkeerd zijn om Meldert af te toetsen aan enkele beter gekende sites uit Vlaanderen, Nederland of Duitsland. In een regionaal kader zijn de beste parallellen voor Meldert te vinden op de sites Neerharen-Rekem en Donk. Een vergelijking tussen Meldert en deze twee sites is niet mogelijk doordat het eigenlijke vondstmateriaal van beide sites nooit afdoende gepubliceerd is.

In totaal werden 257 fragmenten Romeins aardewerk aangereikt voor verdere studie die afkomstig zijn uit 73 verschillende stratigrafische eenheden, verspreid over de westelijke zone van het plangebied. Opvallend is het hoge percentage aan handgevormd aardewerk dat in zijn totaliteit maar liefst 23,7% (of 61 fragmenten) van het geheel uitmaakt. Het gedraaid aardewerk wordt onmiskenbaar gedomineerd door het terra nigra-achtige aardewerk. Zogenaamde 'kwaliteitscategorieën' zoals terra sigillata en geverfde waar vertegenwoordigen in het assemblage slechts 4,3% (of 11 fragmenten).

Naar datering toe is een algemene datering in de 4^{de} en de eerste helft van de 5^{de} eeuw naar voren te schuiven. Het beperkte aantal terra sigillata dat enkel als kleine kom met radstempelversiering, dan wel als schotel voorkomt, staat in schril contrast met de grote hoeveelheid terra nigra-achtig aardewerk dat typologisch vooral bestaat uit standvoetkoppen en een enkele kruik.

Naast de terra sigillata, afkomstig uit de Argonnen, en een deel van het terra nigra-achtig aardewerk konden andere importen worden herkend in de vorm van ruwwandige Eifelwaar en handgevormd Noord-Germaans aardewerk. De aanwezigheid van aardewerk uit de Argonnen en de Eifel hoeft niet te verbazen door de relatief korte afstand tot de site voor deze periode. De import van Noord-Germaans materiaal uit het noorden van Duitsland of zelfs het zuiden van Denemarken doet echter wel vragen rijzen omtrent de germanisering van het MDS-gebied.

Een tweede categorie van materiaal is de bouwceramiek, die in onze gewesten werd geïntroduceerd vanaf de militaire aanwezigheid onder Augustus en een snelle adaptatie kent voor een klein aantal vormen, met name de daktegels (*tegulae* en *imbrices*), de (hypocaust)tegels, de *tubuli* en de bakstenen of *testae*.

Met uitzondering van de *testae*, konden alle voorgenoemde vormen in Meldert worden herkend. Duidelijk dominant, mede door hun goede herkenning, zijn de daktegels of *tegulae* die 65% uitmaken van het herkend aantal minimaal individuen (MAI). Een vierde van het materiaal bestaat uit gebogen dakpannen of *imbrices*. De overige 10% wordt ingenomen door tegels en *tubuli*. De aanwezige *tubuli*-fragmenten zijn op een rurale site als Meldert eerder zeldzaam. Vooral de aanwezigheid van deze twee laatste vormen kan een indicatie zijn voor een doorgedreven romanisatie van de materiële cultuur.

Typochronologisch onderzoek maakte het mogelijk, gecombineerd met de fabricanalyse, om de lokale *tegulae*-variatie uit de laat-Romeinse tijd te duiden en op deze manier een dateringsondersteuning te vormen voor het aardewerkmateriaal dat tevens in de laat-Romeinse tijd kan worden gedateerd.

In totaal werden ook 83 vondsten uit metaal gedaan. Het merendeel hiervan, 64 om precies te zijn (of 77% van het totaal) bestond uit nagels, spijkers en krammen. Daarnaast waren er ook nog 9

fragmenten (of 12%) van koper of koperlegering aanwezig. Tot slot waren er nog 6 ijzeren voorwerpen, 1 fragment lood en 3 metaalslakken.

Een bijzondere vondst is deze van een goed bewaarde veebel, gemaakt uit onzuiver smeedijzer, met een grootte van 7,4 x 8,1 x 11,9 cm. De onzuiverheid van het ijzer laat zich merken door een groene aanslag op het metaaloppervlak na reiniging en het licht gelig uitslaan van de metallische kern van het voorwerp. Gelijkaardige vondsten werden steeds gedaan in rurale nederzettingen, waardoor ook de link met de veestapel eenvoudig valt te leggen. Deze grote ijzeren bellen zouden in tegenstelling tot kleinere bronzen veebellen eerder bedoeld zijn voor groot (rund)vee. Opvallend echter is dat de in de literatuur aangetroffen bellen van het 'type Meldert' zich lijken te concentreren op de zandgronden van het MDS-gebied en geheel lijken te ontbreken in de kustregio. Mogelijk kan dit in verband worden gebracht met een dominantie van kleinvee (schapen?) in de kustregio.

Een tweede opmerkelijk stuk is een bandvormig voorwerp met een maximale grootte van 12,8 x 10,4 cm dat kan worden geïnterpreteerd als neusriem, een deel van het hoofdstel van een paard. In tegenstelling tot het frequenter voorkomend tweeledig type, is dit type vervaardigd uit een enkele strook smeedijzer met een breedte variërend tussen de 0,8 en 1,7 cm. Slechts één van de uiteinden is bewaard. De uiteinden kwamen tot stand door het behameren van de ijzeren strook tot een puntiger, iets verbredend uiteinde met een quasi vierkante doorsnede. De datering van deze vondst is niet zo nauwkeurig vast te stellen. Mogelijk gaat het om een vondst die op het einde van de laat-Romeinse periode of in vroegmiddeleeuwse periode moet worden gedateerd.

Een laatste opmerkelijk metalen voorwerp bestaat uit drie fragmenten die alle aan elkaar kunnen worden gepast, maar door hun verwrongen toestand niet terug aan elkaar konden worden verlijmd. Door middel van een flexibele meter konden de maximale (bewaarde) afmetingen van het voorwerp bepaald worden op een lengte van 12,6 cm en een breedte van 4,9 cm. In oorsprong bestond de vorm van het voorwerp uit een lange bronzen strip die tot een U-vormig profiel was geplooid. De vorm is typerend voor een *strigilis* of schraapijzer. In onze contreien wordt het gebruik ervan pas echt populair wanneer ook de badcultuur voor een breder publiek zijn intrede doet vanaf de 2^{de} eeuw. Het is ook vanaf deze periode dat het bezitten of het meegeven van een *strigilis* aan een dode gezien wordt als een teken van status en romanisatie. Het functionele gebruik van dit voorwerp in relatie met de romeinse badcultuur stelt de vondsten van enkele losse hypocausttegels en *tubuli* in een ander daglicht. Vormen zij samen de sporen van de aanwezigheid van een badgebouw in de nabije of bredere omgeving van de site?

In de laat-Romeinse nederzettingen in het MDS-gebied worden er tijdens opgravingen maar weinig metalen voorwerpen gevonden. Toch getuigt het ensemble van Meldert-Zelemsebaan van een zekere rijkdom en romanisatie van de materiële cultuur op de site. De aanwezigheid van een schrijfstift, een badschrapper en elementen van koperen of bronzen beslag duiden op de relatief hoge status van de site. Anderzijds tonen vondsten zoals een deel van het hoofdstel van een paard en de veebel dat de site toch een belangrijk agrarisch karakter had.

Ondanks de relatief beperkte omvang van het vondstensemble laat dit toch toe de bewoners te tekenen als een landelijke boerenbevolking die duidelijk hun geromaniseerde aard aan de buitenwereld wilden tonen. Gezien de sociale en politieke situatie in de laat-Romeinse periode is dit beeld vooral toe te schrijven aan sites met een Germaanse invloed.

Er werden ook een aantal glasvondsten gedaan, verspreid over de gehele zone met laat-Romeinse sporen. Glasvondsten zijn niet uitzonderlijk op laat-Romeinse sites in het MDS-gebied voor. De aanwezigheid van laat-Romeins vensterglas lijkt voor Vlaanderen echter een unieke vondst.

Net zoals bij de metalen voorwerpen, kan vanuit het standpunt van het glasmateriaal de geromaniseerde status van de site worden aangetoond.

Een specifieke vondstcategorie vormt het hout, dat omwille van de specifieke noodzakelijke bewaringsomstandigheden vaak niet wordt teruggevonden. Een uitgeholde boom bleef bewaard als schacht van de waterput en de kapdatum kon, zoals eerder vermeld, tussen 411 en het voorjaar van 412 gedateerd worden. Ook ander constructiehout, steeds uit eikenhout, werd aangetroffen.

Bij het couperen van de boomstamwaterput zijn in totaal 27 individuele houtvondsten gedaan, slechts één daarvan kan worden geïdentificeerd als een gebruiksvoorwerp. Dit voorwerp werd gevormd uit een radiaal gespleten eiken plank die daarna werd bewerkt tot de uiteindelijke vorm. Het object heeft een totale lengte van 57 cm en kan ingedeeld worden in twee zones: een smalle zone met dimensies van 32 cm bij 4,5 cm en een maximale dikte van 1,2 cm en een brede zone van 25 cm bij 15,5 cm en een maximale dikte van 4,5 cm. De aanzet naar het onderste bredere gedeelte wordt reeds gegeven op 26,5 cm van de bovenzijde van het smalle gedeelte. Opvallend hierbij is ook dat één van de twee zijdes van het bredere gedeelte beter en gladder is afgewerkt. Mogelijke hypothesen zijn een spade, een peddel, een broodschip of een spatel.

Op basis van de resultaten van het bewerkingssporenonderzoek kon hard gemaakt worden dat naast het klieven van hout ook het zagen van hout duidelijk behoorde tot de technische vaardigheden van de bewoners van de site. Deze technische innovatie, die door de Romeinen in onze streken werd geïntroduceerd, wordt vooral teruggevonden op meer geromaniseerde nederzettingen waar de rondhoutbouw stilaan plaats maakt voor meer vierkantig of rechthoekig gezaagde planken en balken, wat ook duidelijk kon worden vastgesteld bij de aangetroffen structuren.

Uit het archeo-botanisch onderzoek van de waterput (S275) is gebleken dat de kuil gevuld is met plantaardig materiaal dat afkomstig is van gras en granen. Het is mogelijk dat de kuil, na in onbruik geraakt te zijn, is gebruikt als afvalkuil, waarin bijvoorbeeld dorsafval en bedorven hooi is gestort.

De vegetatie in de omgeving van de waterput is gedurende de gerepresenteerde periode grotendeels open geweest. In de lagere delen, het dal van de Zwarte Beek, was vermoedelijk een elzenbos aanwezig, maar er zijn geen aanwijzingen voor gesloten bos op de helling van de getuigenheuvel in de omgeving van de vindplaats. Heide, grasland en akkergrond moeten het landschapsbeeld hebben bepaald. Wel hebben op de nederzetting zelf enkele bomen gestaan. Er zijn aanwijzingen voor het beheer van grasland als weiland en hooiland, alsmede voor het houden van vee op de vindplaats. De akkergrond lijkt op basis van de aangetroffen akkeronkruiden van nature overwegend kalkarm en niet voedselrijk te zijn geweest.

De bewoners van de vindplaats kenden het gebruik van gerst, pluimgierst, rogge en mogelijk ook nog tarwe. Er is bewijs dat tenminste de rogge en gerst lokaal werd verbouwd. Tevens zijn er enkele tuingewassen op (hoogstwaarschijnlijk) kleine, maar arbeidsintensieve schaal verbouwd. Dit zijn biet, koriander, hennep, wouw en mogelijk ook peen en kattenkruid. Er zijn verschillende resten aangetroffen van eetbare wilde soorten die mogelijk menselijk gebruik hebben gekend, zoals resten van beukenootjes, eikels, hazelnoten, braam, framboos en vlierbes.

Het verbouwen van rogge in de Romeinse periode kan in Nederland altijd worden verbonden aan een Germaanse invloed. Andersom is de aanwezigheid van tuinbouwgewassen een teken van Romeinse invloed. Meldert moet zich dus tenminste gedurende de vroege 5^{de} eeuw in een contactzone tussen beide culturen hebben bevonden.

Het globale beeld dat voor de laat-Romeinse site aan de Zelemsebaan te Meldert bekomen werd op basis van het archeologisch onderzoek is dat van een relatief rijke landbouwnederzetting die uit minstens een aantal huishoudens bestond. Zowel het aardewerk, het bouwmetaal en de metaal- en glasvondsten bevestigen dit rijkere beeld en geven het beeld van enerzijds romaniserende invloeden, maar anderzijds ook Germaanse invloeden. Ook de resultaten van het archeo-botanische onderzoek sluiten hierbij aan.

Hoewel binnen het projectgebied geen relevante sporen uit latere perioden meer aanwezig zijn, kan de aanwezigheid van een Sint-Willibrorduskerk en -kapel het belang van de plaats in de vroege middeleeuwen alleen maar duiden. De latere dorpsontwikkeling vond in de onmiddellijke omgeving plaats, met de volmiddeleeuwse kerk op slechts een 100-tal m ten zuiden van het projectgebied. Het is dan ook aangewezen in de toekomst iedere verdere ontwikkeling in de omgeving van de dorpskerk van Meldert met een hoge archeologische potentie in te delen en projectzones, hoe klein ook, steeds aan een gedegen (voor)onderzoek te onderwerpen teneinde de verdere dorpsontwikkeling, nog zo een thema waar archeologisch gezien zeer weinig over geweten is, te onderzoeken. Alleen zo kan het huidige onderzoek in een nog ruimer kader geplaatst worden.

Bibliografie

ANDERBERG A.-L. 1994: *Atlas of Seeds and Small Fruits of Northwest-European Plant Species, Part 4: Resedaceae-Umbelliferae*, Stockholm.

ARNOLDUSSEN S. & BALL E.A.G. 2007: Nederzettingsaardewerk uit de late bronstijd in Noord-Brabant en het rivierengebied, in: JANSEN R. & LOUWE KOOIJMANS L.P. (EDS.) *Tien jaar Archol; van contract naar wetenschap*, Leiden, p. 181-203.

BAKELS C.C. & DIJKMAN W. 2000: *Maastricht in the First Millennium AD, the Archaeobotanical Evidence* (Archaeologica Mosana II), Maastricht.

BAKK R.C.A. 2011: *Beast and burden, the intensification of cattle-breeding during the protohistory in the western Netherlands*, Ongepubliceerde masterthesis, Universiteit Leiden.

BALL E.A.G. & MOESKER T.P. in prep.: *Opgraving en inventariserend veldonderzoek met proefsleuven gemeente Best (Noord-Brabant)*, Amsterdam.

BAZELMANS J. 1990: Een Germaanse nederzetting uit de 4de en 5de eeuw, in: J. BAZELMANS & Theuws F. (EDS.) *Tussen zes gehuchten, de Laat-Romeinse en middeleeuwse bewoning van Geldrop-'t Zand*, Amsterdam, p. 24-31.

BAZELMANS J. 1991: Geldrop-Genoehuis, *Brabants Heem* 43(3/4), p. 144-145.

BEHRE K.-E. 1992: The History of Rye Cultivation in Europe, *Vegetation History and Archaeobotany* 1(3), p. 141-156.

BERGGREN G. 1969: *Atlas of Seeds and Small Fruits of Northwest-European Plant Species, Part 2: Cyperaceae*, Stockholm.

BERGGREN G. 1981: *Atlas of Seeds and Small Fruits of Northwest-European Plant Species, Part 3: Salicaceae-Cruciferae*, Stockholm.

BERKVENS R. & TAAYKE E. 2004: Germanische besiedlung der späten Kaiserzeit in Breda-West (NL), in: LODEWIJCKX M. (EDS.) *Bruc ealles well: Archaeological essays concerning the peoples of North-West Europe in the first millennium AD* (Acta Archaeologica Lovaniensia Monographiae 15), p. 37-46.

BEUG H.-J. 2004: *Leitfaden der Pollenbestimmung für Mitteleuropa und angrenzende Gebiete*, München.

BIERMANN E. 2006: Alt- bis mittelneolithische Keulenköpfe und Bohrkernfunde: Mögliche Hinweise auf potenzielle Produktionszentren?, *Varia neolithica* IV, p. 95-101.

BINK M. 2005: *Goirle-Huzarenwei, Definitief onderzoek* (BAAC-rapport 04.134), 's-Hertogenbosch.

BLOMME A., DEGRYSE P., VAN PEER P. & ELSSEN J. 2012: The characterization of sedimentary quartzite artefacts from Mesolithic sites, Belgium, *Geologica Belgica* 15(3), p. 193-199.

- BRONK RAMSEY C. 2009: Bayesian analysis of radiocarbon dates, *Radiocarbon* 51(1), p. 337-360.
- BRULET R., VILVORDER F. & DELAGE R. 2010: *La céramique romaine en Gaule du nord. Dictionnaire des céramiques*, Turnhout.
- CAPPERS R.T.J., BEKKER R.M. & JANS J.E.A. 2006: *Digitale zadenatlas van Nederland*, Groningen.
- CHENET G. 1941: *La céramique gallo-romaine d'Argonne du IVe siècle et la terre sigillée décorée à la molette*, Mâcon.
- CHERETTE B. 2000a: Waterputten te Sint-Gillis-Waas en te Berlare (O.-VI.): een houtanalytisch onderzoek, *Lunula Archaeologia protohistorica VIII*, p. 26-32.
- CHERETTE B. 2000b: Waterputten te Sint-Gillis-Waas en te Berlare: een houtanalytisch onderzoek, *VOBOV-info* 51, p. 3-13.
- CLAASEN A. 1998: *Een belangrijke Gallo-Romeinse nederzetting aan het Kolisbos, Sint-Huibrechts-Lille, Overpelt*.
- CLERBAUT in prep.: Het vormtype Chenet 324, eenheid of verscheidenheid?
- COOREMANS B. & VANDERHOEVEN A. 1992: De plantaardige macroresten, in: VANDERHOEVEN A., VYNCKIER G., ERVYNCK A. & COOREMANS B. Het oudheidkundig bodemonderzoek aan de Kielenstraat te Tongeren (prov. Limburg), *Archeologie in Vlaanderen II*, p. 89-146.
- CREEMERS G. 1996: Noodonderzoek te Lummen-Meldert (Lb.): protohistorische graven en structuren, *Lunula Archaeologia protohistorica IV*, p.40.
- CUYT G. 1996: Waterputten uit de duistere Middeleeuwen belicht, *Ons Heem* 50(3), p. 136-142.
- DE BOE G. 1985: De opgravingscampagne 1984 te Neerharen-Rekem, *Archaeologia Belgica* I(2), p. 53-62.
- DE CLERCQ W., VAN RECHEM H. & VAN STRYDONK M. 2005: Activiteiten in een landschap uit de 4de-3de eeuw v. Chr. te Denderbelle, plaats Fonteintje (gem. Lebbeke), in: IN 'T VEN I., DE CLERCQ W. (ED.) *Een lijn door het landschap II: Archeologie en het vTn-project 1997-1998* (Archeologie in Vlaanderen, Monografie 5), Brussel, p. 231-257.
- DE COCK S. 1996: Van archeologische site tot openluchtmuseum. De Gallo-Romeinse baanpost en Merovingische nederzetting van Kerkhove. Ca. midden 1ste eeuw - Late Middeleeuwen, in: VAN ROEYEN J.-P. (ED.) *Uit Vlaamse bodem: 10 archeologische verhalen*, Sint-Niklaas.
- DE KONING J. 2005: *Alphen in de vijfde eeuw, Definitieve Opgraving van een vroeg middeleeuwse nederzettingscomplex op de Kerkakkers te Alphen (Alphen-Chaam)* (ADC-rapport 518), Amersfoort.

DELARUELLE S., VAN LIEFFERINGE N., CRYNS J., VAN DONINCK J. 2010: Een nederzetting uit de midden-ijzertijd aan de Holleweg in Beerse (Provincie Antwerpen, België), *Lunula Archaeologia protohistorica* XVIII, p. 131-137.

DE WINTER J. 2010: *Archeologisch onderzoek op het plangebied Schrames te Helden, Bewoningssporen van het neolithicum tot de late middeleeuwen* (BAAC rapport A-07.0204), 's-Hertogenbosch.

DIOT M.F. 1992: Études palynologiques de blés sauvages et domestiques issus de cultures expérimentales, in: ANDERSON P.C. (ED.) *Préhistoire de l'agriculture: nouvelles approches expérimentales et ethnographiques* (Monographie du CRA 6), Paris, p. 107-111.

DYSELINCK T. in prep. *Sevenum-De Krouwel, definitieve opgraving* (BAAC-rapport A-10.0164), 's-Hertogenbosch.

ERDTMAN G. 1960: The Acetolysis Method in a revised description, *Svensk Botanisk Tidskrift* 54(4), p. 561-564.

FÆGRI K., KALAND P.E. & KRZYWINSKI K. 1989: *Textbook of Pollen Analysis* (4th Ed.), Chichester.

FOKKENS H., JANSEN R. & VAN WIJK I.M. (EDS.) 2009: *Oss-Zevenbergen; de langetermijn-geschiedenis van een prehistorisch grafveld* (Archol Rapport 50), Leiden.

GERRITSEN F. 2003: *Local Identities, landscape and community in the late prehistoric Meuse-Demer-Scheldt region* (Archaeological Studies 9), Amsterdam.

GROENEWOUDT B., VAN HAASTER H., VAN BEEK R. & BRINKKEMPER O. 2007: Towards a Reverse Image, Botanical Research into the Landscape History of the Eastern Netherlands (BC 1100 – AD 1500), *Landscape History* 27, p. 17-33.

GROENMAN-VAN WAATERINGE W. 1986: Grazing Possibilities in the Neolithic of the Netherlands based on Palynological Data, in: Behre K.-E. (ED.) *Anthropogenic Indicators in Pollen Diagrams*, Rotterdam, p. 187-202.

HABEREY W. 1942: Spätantike Gläser aus Gräbern von Mayen, *Bonner Jahrbücher* 147, p. 249-284.

HAEVERNICK T.E. 1960: *Die Glasarmringe und Ringperlen der Mittel- und Spätlatènezeit auf dem europäischen Festland*, Bonn.

HANECA K., VAN ACKER J. & BEECKMAN H. 2005: Growth trends reveal the forest structure during Roman and Medieval times in Western Europe: a comparison between archaeological and actual oak ring series (*Quercus robur* and *Quercus petraea*), *Annals of Forest Science* 62(8), p. 797-805.

HANECA K., ČUFAR K. & BEECKMAN H. 2009: Oaks, tree-rings and wooden cultural heritage: a review of the main characteristics and applications of oak dendrochronology in Europe, *Journal of Archaeological Science* 36(1), p. 1-11.

HEEREN S. 2005: *De verlaten van het Maas-Demer-Schelde-gebied in de 3^{de} eeuw na Chr.*, in: VAN ROSSENBERG E., HENDRIKS J., BRIGHT A. & SMAL D. (EDS.) *SOJA-bundel 2002-2003*, Leiden, p. 53-67.

HEIDINGA H.A. & OFFENBERG A.M. 1992: *Op zoek naar de vijfde eeuw, De Franken tussen Rijn en Maas*, Amsterdam.

HERMSEN I. 2007: Een afdaling in het verleden: archeologisch onderzoek van bewoningsresten uit de prehistorie en de Romeinse tijd op het terrein Colmschate-Skibaan (gemeente Deventer) (Rapportages Archeologie Deventer 19), Deventer.

HIDDINK H. 2005: *Archeologisch onderzoek aan de Beekseweg te Lieshout* (Zuidnederlandse Archeologische Rapporten 18), Amsterdam.

HILLMAN G.C. 1981: Reconstructing Crop Husbandry Practices from Charred Remains of Crops, in: R. MERCER (ED.), *Farming Practice: British Prehistory*, Edinburgh, p. 123-166.

HILLMAN G.C. 1984: Interpretation of Archaeological Plant Remains: the Application of Ethnographic Models from Turkey, in: VAN ZEIST W. & CASPARIE W.A. (EDS.) *Plants and Ancient Man*, Rotterdam, p. 1-41.

HOLLSTEIN E. 1980: *Trierer Grabungen und Forschungen XI*, Mainz am Rhein.

HÜBENER W. 1968: Eine Studie zur spätrömischen Rädchensigillata (Argonnensigillata), *Bonner Jahrbücher* 168, p. 241-298.

HUIJTS C.S.T.J. 1992: *De voor-historische boerderijbouw in Drenthe, Reconstructiemodellen van 1300 vóór tot 1300 na Chr.*, Arnhem.

ISINGS C. 1957: *Roman Glass from dated finds* (Archaeologica Traiectina 2), Groningen.

JANSMA E. 1995: *RememberRINGS: Te development and application of local and regional treering chronologies of oak for the purposes of archaeological and historical research in the Netherlands*, Amersfoort.

JANSMA E., DE GROOT T. & MOREL J.-M.A.W. 2007: Een Romeinse Rijnaak, gevonden in Utrecht-De Meern: resultaten van het onderzoek naar de platbodem 'De Meern 1' (Rapportage Archeologische Monumentenzorg 144), Amersfoort.

JANSSENS N. 2010: *Het bewonen en verlaten van de region tussen Maas, Demer en Schelde in de Romeinse periode*, Onuitgegeven masterthesis, Universiteit Gent.

KONERT M. 2002: *Pollen Preparation Method*, intern rapport VU Amsterdam.

KOOT C.W. & BERKVEN R. 2004: *Bredase akkers eeuwenoud, 4000 jaar bewoningsgeschiedenis op de rand van zand en klei* (Rapportage Archeologische Monumentenzorg 102/ErfgoedStudies Breda 1), Breda.

KÖRBER-GROHNE U. 1964: *Bestimmungsschlüssel für subfossile Juncus-Samen und Gramineen-Früchte*, Hildesheim.

- KÖRBER-GROHNE U. 1991: Bestimmungsschlüssel für subfossile Gramineen-Früchte, *Probleme der Küstenforschung im südlichen Nordseegebiet* 18, p. 169-234.
- KRANENDONK P. & AALBERSBERG G. 2006: *Witte vlekken ingekleurd: archeologie in het tracé van de HSL-Zuid* (Rapportage Archeologische Monumentenzorg 113), Amersfoort.
- LAMBINON J., DE LANGHE J.-E., DELVOSALLE L. & DUVIGNEAUD J. 1998: *Flora van België, het Groothertogdom Luxemburg, Noord-Frankrijk en de aangrenzende gebieden (Pteridofyten en Spermatofyten)*, Meise.
- LAUWERIER R.C.G.M., GROENEWOUDT B.J., BRINKKEMPER O. & LAARMAN F.J. 1999: Between Ritual and Economics: Animals and Plants in a Fourth-Century Native Settlement at Heeten, the Netherlands, *Berichten van de Rijksdienst van het Oudheidkundig Bodemonderzoek* 43, p. 155-198.
- LIVARDA A. & VAN DER VEEN M. 2008: Social Access and Dispersal of Condiments in North-West Europe from the Roman to the Medieval Period, *Vegetation History and Archaeobotany* 17 (Suppl 1), p. 201-209.
- MACWHIRR A. 1979: *Roman Brick and Tile* (BAR International Series 68), Oxford.
- MAES B., Bastiaens J., Brinkkemper O., Deforce K., Rövekamp C., Van den Brecht P. & Zwaenepoel A. 2006: *Inheemse bomen en struiken in Nederland en Vlaanderen: herkenning, verspreiding, geschiedenis en gebruik*, Amsterdam.
- MANNING W.H. 1970: Mattocks, Hoes, Spades and Related Tools in Roman Britain, in: GALEY A. & FENTON A. (EDS.) *The Spade in Northern and Atlantic Europe*, Belfast p. 18-29.
- MOORE P.D., WEBB J.A. & COLLINSON M.E., 1991: *Pollen Analysis*, Oxford.
- PALS J.-P. 1997: Introductie van cultuurgewassen in de Romeinse Tijd, in: ZEVEN A.C. (ED.) *De introductie van onze cultuurplanten en hun begeleiders van het Neolithicum tot 1500 AD*, Wageningen, p. 25-52.
- PILCHER J.R. 1990: Sample preparation, Cross-dating, and Measurement, in: COOK E.R., KAIRIUKSTIS L.A. (EDS.) *Methods of Dendrochronology, Applications in the Environmental Sciences*, Dordrecht, p. 40-50.
- PIRLING R. & SIEPEN M. 2006: *Die Funde aus den Römischen Gräbern von Krefeld-Gellep*, Stuttgart.
- PUNT W., CLARKE G.C.S., HOEN P., BLACKMORE S., STAFFORD P.J. (EDS.) 1976-2009: *The Northwest European Pollen Flora* (acht delen), Amsterdam.
- ROWELL R.M. & BARBOUR R.J. (EDS.) 1988: Archaeological Wood. Properties, Chemistry and Preservation, *Advances in Chemistry Series* 225, p. 141-174.
- RUNHAAR J., VAN LANDUYT W., GROEN C.L.G., WEEDA E.J. & VERLOOVE F. 2004: Herziening van de indeling in ecologische soortengroepen voor Nederland en Vlaanderen, *Gorteria* 30, p. 12-26.

SAS K. & VAN DEN DRIES F.M.A. 2009: *Fragiel! Glazen kostbaarheden uit het Romeinse Rijk*, (tentoonstellingscatalogus PAM Velzeke), Zottegem.

SCHAMINÉE J.H.J., STORTELDER A.H.F., WEEDA E.J., WESTHOFF V. & HOMMEL P.W.F.M. 1995-1999: *De vegetatie van Nederland* (vijf delen), Leiden.

SCHINKEL C. 1994: *Zwervende erven, bewoningssporen in Oss-Ussen uit Bronstijd, IJzertijd en Romeinse tijd opgravingen 1976-1986, Deel I: analyse Bronstijd en IJzertijd & Deel II: catalogus*, Leiden.

SCHINKEL C. 1998: Unsettled settlement, occupation remains from the Bronze Age and the Iron Age at Oss-Ussen. The 1976-1986 excavations, in: H. FOKKENS (ED.) *The Ussen Project. The first decade of excavations at Oss* (Analecta Praehistorica Leidensia 30), Leiden, p. 5-305.

SMEETS M. 2010: *Het archeologisch vooronderzoek van de verkaveling "Het Dorp" te Meldert* (Archeo-rapport 25), Kessel-Lo.

SMEETS M. 2012: *Het archeologisch onderzoek van de Sint-Willibrorduskerk te Meldert (Lummen)*, (Archeo-rapport 95), Kessel-Lo.

STOEPKER H. 1993: Archeologisch kroniek over 1992 en 1993 (Publications de Soci  t   Historique et Arch  ologique dans le Limbourg 129), Maastricht, p. 283-334.

STRABO W. 827: *Liber de Cultura Hortorum*, g.p.

TAMIS W.L.M., VAN DER MEIJDEN R., RUNHAAR J., BEKKER R.M., OZINGA W.A., OD   B. & HOSTE I. 2004: Standaardlijst van de Nederlandse flora 2003, *Gorteria* 30(4/5), p. 101-195.

THEUNISSEN L. 2009: *Midden-bronstijdsamenlevingen in het zuiden van de Lage Landen. Een evaluatie van het begrip 'Hilversum-cultuur'*, Leiden.

THEUWS F. & H.A. HIDDINK 1996: Der Kontakt Zu Rom, in A. WIECZOREK, KOCH U. & BRAUN C. (EDS.) *Die Franken, Wegbereiter Europas: vor 1500 Jahren: K  nig Chlodwig und seine Erben* (tentoonstellingscatalogus Reiss-Museum), Mainz/Mannheim, p. 66-80.

THYS 2012: *Houten gebruiksvoorwerpen uit de Romeinse periode*, Onuitgegeven masterthesis Universiteit Gent.

TOMLINSON P. 1985: An Aid to the Identification of Fossil Buds, Bud-Scales, and Catkin-Scales of British Trees and Scrubs, *Circaea* 3(2), p. 45-130.

ULRICH R.B. 2007: *Roman woodworking*, New Haven.

UNVERZAGT W. 1976: *Die Keramik des Kastells Alzei, Materialien zur R  misch-Germanischen Keramik: Heft 2*, Bonn.

VAN DEN BROEKE P.W. 1987a: De dateringsmiddelen voor de ijzertijd van Zuid-Nederland, In: VAN DER SANDEN W.A.B. & VAN DEN BROEKE P.W. (EDS.): *Getekend zand. Tien jaar archeologisch onderzoek in Oss-Ussen* (Bijdragen tot de Studie van het Brabantse Heem 31), Waalre, p. 23-43.

- VAN DEN BROEKE P.W. 1987b: Oss-Ussen: het handgemaakte aardewerk, In: VAN DER SANDEN W.A.B. & VAN DEN BROEKE P.W. (EDS.) *Getekend zand. Tien jaar archeologisch onderzoek in Oss-Ussen*, (Bijdragen tot de Studie van het Brabantse Heem 31), Waalre, p. 101-119.
- VAN DEN BROEKE P.W. 1991: Nederzettingsaardewerk uit de late bronstijd in Zuid-Nederland, in FOKKENS H. & ROYMANS N. (EDS.) *Nederzettingen uit de bronstijd en de vroege ijzertijd in de lage landen* (Nederlandse Archeologische Rapporten 13), Amersfoort, p. 193-211.
- VAN DEN BROEKE P.W. 2012: *Het handgevormde aardewerk uit de ijzertijd en de Romeinse tijd van Oss-Ussen. Studies naar typochronologie, technologie en herkomst*, Leiden.
- VAN DEN DRIES F.M.A. 2007: *Breekbaar verleden. Romeins glas in de Lage Landen*, Utrecht.
- VANDERHOEVEN A., VAN DE KONIJNENBURG R. & DE BOE G. 1987: Het oudheidkundig bodemonderzoek aan de Kielenstraat te Tongeren (interimverslag 1986), *Archaeologia Belgica* III, p. 127-138.
- VAN DER MEER W. 2012: *Archeobotanisch onderzoek aan een waterput en een kuil van de vindplaats Meldert-Nachtegaalstraat* (BIAX-rapport 579), Zaandam.
- VAN DER MEER W., DE WOLF H. & HÄNNINEN K. 2009: *Zo hard als ijzer, archeobotanisch onderzoek aan twee vroeg-middeleeuwse waterputten en een ijzertijd-loopvlak van de vindplaats Nijlen-Mussenpad*, Zaandam (BIAXiaal 412), Zaandam.
- VAN DER MEER W. & VAN HAASTER H. 2010: *À la Merovingienne? Verslag van onderzoek aan archeobotanisch materiaal van Someren-Waterdael III (IJzertijd-Middeleeuwen)* (BIAXiaal 461), Zaandam.
- VAN DER MEER W. & HÄNNINEN K. 2012: *Lier - Duwijck II, fase 1 (wegkoffer), pollen-, zaden- en houtonderzoek* (BIAXiaal 581), Zaandam.
- VAN DER MEIJDEN R. 1996: *Heukels' Flora van Nederland*, Groningen.
- VAN DER VEEN M. 2007: Formation Processes of Desiccated and Carbonized Plant Remains – the Identification of Routine practice, *Journal of Archaeological Science* 34, p. 968-990.
- VAN ES W.A. & VERWERS W.J.H. 1994: De huizen van Dorestad: van plattegrond tot boerderij, in: VAN ES W.A. & HESSING W.A.M. (EDS.) *Romeinen, Friezen en Franken in het hart van Nederland: van Traiectum tot Dorestad (50 v.Chr.-950 na Chr.)*, Utrecht, p. 189-194.
- VAN ES W.A. & VERWERS W.J.H. 1995: House Plans from Dorestad, *Berichten van de Rijksdienst voor het Oudheidkundig Bodemonderzoek* 41, p. 173-186.
- VAN GEEL B. 1998: *A Study of Non-Pollen Objects in Pollen Slides*, Utrecht (ongepubliceerd).
- VAN IMPE L. 1983: Het oudheidkundig bodemonderzoek in Donk (Gem. Herk-de-Stad) 1977-1982, *Archaeologia Belgica* 255, p. 65-94.

VAN LIEFFERINGE N. 2008: *Resultaten van het archeologisch onderzoek op de verkaveling 'Schransdriesen' te Beerse-Holleweg* (AS rapportage 27), Mechelen.

VAN RIJN P. 1999: *Houtonderzoek van de opgravingen Alphen aan den Rijn 1998: locaties Julianastraat, Castellumstraat, 'Het Eiland' en het CBK Terrein* (BIAXiaal80), Zaandam.

VERHART L. & GROENENDIJK H. 2005: Leven in overvloed: midden- en laat-mesolithicum, in: LOUWE KOOIJMANS L. P., VAN DEN BROEKE P.W., FOKKENS H. & VAN GIJN A. (EDS.) *Nederland in de prehistorie*, Amsterdam, p. 161-178.

VERHOEVEN A.A.A. 2002: *Archeologisch onderzoek op het Hoogveld-oost te Horst (L.)* (ADC-rapporten 122), Amersfoort.

VERWERS G.J. 1972: Das Kamps Veld in Haps in Neolithikum, Bronzezeit und Eisenzeit, *Analecta Praehistorica Leidensia* 5, p. 1-174.

VERWERS G.J. 1991: Archeologische kroniek van Noord-Brabant 1990, *Brabant Heem* 43(3/4), p. 105-152.

WARRY P. 2006: *Tegulae: manufacture, typology and use in Roman Britain* (BAR International Series 417), Oxford.

WEEDA E.J., WESTRA R., WESTRA Ch. & WESTRA T. 1985-1994: *Nederlandse oecologische flora. Wilde planten en hun relaties* (vijf delen), Deventer.

Bijlagen

Bijlage 1 Sporeninventaris

Sp. Nr.	Werk put	Vorm	Kleur	Bijmening of vondsten	Opmerkingen	Aard
1	1	Onregelmatig	LBr - LGL			Natuurlijk
2	1	Onregelmatig	Br-Gr			Natuurlijk
3	1	Vierkant	Wt-Br			Natuurlijk
4	1	Ovaal	LGr			Natuurlijk
5	1	Vierkant	Br-Wt-Gr			Natuurlijk
6	1	Rond	Br-LGL gevlekt			Natuurlijk
7	1	Rond	Br-LGI gevlekt			Natuurlijk
8	1	Rond	Br-LGI gevlekt			Natuurlijk
9	1	Rond	Br-LGI gevlekt			Natuurlijk
10	1	Onregelmatig	Br			Natuurlijk
11	1	Vierkant	Wt-Br gevlekt + DBr-Gr		Recent	Paalkuil
12	1	Rond	LGr-Wt			Natuurlijk
13	1	Rond	LGr-Wt			Natuurlijk
14	1	Rond	LGr-Wt			Natuurlijk
15	1	Vierkant	Wt-Br gevlekt+ DBr-Gr		Recent	Paalkuil
16	1	Ovaal	Br-WTt			Natuurlijk
17	1	Ovaal	LGR-GR			Natuurlijk
18	1	Ovaal	LGr			Natuurlijk
19	1	Ovaal	LBr			Natuurlijk
20	1	Ovaal	LBr			Natuurlijk
21	1	Ovaal	LGr			Natuurlijk
22	1	Langwerpig	Br	BS, HK		Greppel
23	1	Onregelmatig	Wt-Br gevlekt	BS	Recent Bij graafwerk voor waterput	Recente verstoring
24	1	Onregelmatig	DBr	BS	Recent Bij graafwerk voor waterput	Recente verstoring
25	1	Rechthoekig				Natuurlijk
26	1	Rechthoekig	Br		Zeer klein	Natuurlijk
27	1	Rechthoekig	DBr-Gr		Zeer klein	Natuurlijk
28	1	Ovaal	LBr			Natuurlijk
29	1	Onregelmatig	Br-Wt-Gl			Natuurlijk
30	1	Ovaal	LBr			Natuurlijk
31	1	Vierkant	Br-Gl gevlekt			Natuurlijk
32	1	Ovaal	Wt-LBr + Zw ?	HK		Natuurlijk
33	1	Vierkant met afgeronde hoeken	LBr			Natuurlijk
34	1	Rechthoekig	LBr		Klein	Natuurlijk
35	1	Ovaal	LBr		Recent	Paalkuil

36	1	Ovaal	LBr			Natuurlijk
37	1	Onregelmatig	LBr			Natuurlijk
38	1	Onregelmatig	LBr			Natuurlijk
39	1	Rond	Br	HK		Paalkuil
40	1	Rond	LGI-Wt			Natuurlijk
41	1	Onregelmatig	LGI-Wt			Natuurlijk
42	1	Onregelmatig	LroestBr			Natuurlijk
43	1	Rond	Br-Wt-Gl gevekt	BS, AR		Onbepaald
44	1	Onregelmatig	Br-Wt-Gl gevekt	BS, AR		Natuurlijk
45	1	Onregelmatig	Br-Wt-Gl gevekt LroestBr lijn	BS, HK		Natuurlijk
46	1	Ovaal	LBr			Natuurlijk
47	1	Onregelmatig	Br-Wt-Gl gevekt	HK		Natuurlijk
48	1	Rond	LBr-Gr			Paalkuil
49	1	Onregelmatig	Br-Wt-Gl gevekt	HK		Natuurlijk
50	1	Onregelmatig	Br-Wt-Gl gevekt	BS		Kuil
51	1	Rond	Br-Wt gevekt			Natuurlijk
52	1	Rond	Br-Wt gevekt			Natuurlijk
53	1	Onregelmatig	Gr-Gl-Br	HK, BS		Natuurlijk
54	1	Ovaal	LBr			Natuurlijk
55	1	Rond	LGr			Natuurlijk
56	1	Rond	Br-DBr			Kuil
57	1	Rond	LGr-Wt			Natuurlijk
58	1	Rond	LGr-Wt			Natuurlijk
59	1	Rond	LBr-Br			Natuurlijk
60	1	Onregelmatig	LGr-LGI	HK		Kuil
61	1	Rond	Gr-Gl-Br	HK		kuil
62	1	Ovaal	LGr-LGI			Natuurlijk
63	1	Rond	LGr-LGI			Natuurlijk
64	1	Ovaal	LBr			Paalkuil
65	1	Ovaal	LBr			Paalkuil
66	1	Ovaal	LBr			Paalkuil
67	1	Ovaal	Br-LroestBr		Sporen van verbranding	Kuil
68	1	Ovaal	Wt-Br-LBr			Natuurlijk
69	1	Ovaal	Wt-Br-LBr			Natuurlijk
70	1	Onregelmatig	LBr-Br			Kuil
71	1	Rond	Br-LBr-Gl gevekt			Paalkuil
72	1	Ovaal	Br-LBr-Gl gevekt			Natuurlijk
73	1	Rond	Br-LBr-Wt			Paalkuil

			gevekt			
74	1	Onregelmatig	Br-LBr-Wt gevekt			Kuil
75	1	Rond	Br-LBr-Wt gevekt			Natuurlijk
76	1	Onregelmatig	Br-LBr-Wt gevekt			Natuurlijk
77	1	Onregelmatig	Br-Wt gevekt			Natuurlijk
78	1	Onregelmatig	LBR-LGI gevekt			Natuurlijk
79	1	Onregelmatig	Wt_LBr gevekt			Natuurlijk
80	1	Onregelmatig	Br-Wt-GI gevekt	HK		Natuurlijk
81	1	Ovaal	Br-Zw-Wt	HK		Paalkuil
82	1	Onregelmatig	LBr-Br-Wt gevekt			Paalkuil
83	1	Rond	Br-Wt gevekt			Paalkuil
84	1	Rond	Br-LBr gevekt			Paalkuil
85	1	Rond	Wt-LBr + Zw ?			Natuurlijk
86	1	Ovaal	Wt-LBr + Zw ?			Natuurlijk
87	1	Vierkant	DBr-Zw		Losse Kern (Zw) Recent	Paalkuil
88	1	Vierkant	DBr-Zw		Losse Kern (Zw) Recent	Paalkuil
89	1	Onregelmatig	DBr-Zw		Losse Kern (Zw) Recent	Paalkuil
90	1	Ovaal	LBr-Wt gevekt			Natuurlijk
91	1	Rond	Br			Paalkuil
92	1	Rechthoekig	DBr-Zw		Losse Kern (Zw) Recent	Paalkuil
93	1	Onregelmatig	LBr-Br-Wt			Natuurlijk
94	1	Rechthoekig	DBr-Zw		Losse Kern (Zw) Recent	Paalkuil
95	1	Rechthoekig	DBr + zeer losse Zw kern		Losse kern (Zw) Recent	Paalkuil
96	1	Ovaal	LBr			Natuurlijk
97	1	Ovaal	LBr-Wt gevekt			Natuurlijk
98	1	Ovaal	LBr-Wt gevekt			Natuurlijk
99	1	Rond	Br-GI vlekken			Kuil
100	1	Rond	LBr gevekt			Natuurlijk
101	1	Ovaal	LBr gevekt			Natuurlijk
102	1	Rond	LBr gevekt			Natuurlijk
103	1	Rond	LBr gevekt			Natuurlijk
104	1	Ovaal	LBr gevekt			Natuurlijk
105	1	Rechthoekig	Br + Wt-GI vlekken	HK		Natuurlijk
106	1	Rond	Br			Kuil
107	1	Ovaal	Br gevekt			Natuurlijk
108	1	Rond	Br gevekt			Natuurlijk
109	1	Rond	LBr-Wt gevekt			Natuurlijk

110	1	Onregelmatig	LGr-LBr gevlekt			Natuurlijk
111	1	Ovaal	Wt-Gl-LBr gevlekt			Natuurlijk
112	1	Ovaal	LBr gevlekt			Natuurlijk
113	1	Ovaal	LBr gevlekt			Natuurlijk
114	1	Ovaal	LBr gevlekt			Natuurlijk
115	1	Rond	Br			Natuurlijk
116	1	Ovaal	Br-LBr gevlekt	HK		Kuil
117	1	Onregelmatig	Zw-Wt-Gl gevlekt	HK		Kuil
118	1	Ovaal	LBr-Gl vlekken			Natuurlijk
119	1	Vierkant	Zw-Gr-Br gevlekt		Recent	Paalkuil
120	1	Rechthoekig	Zw-Gr-Br gevlekt		Recent	Paalkuil
121	1	Vierkant	Zw-Gr-Br gevlekt		Recent	Paalkuil
122	1	Vierkant	Zw-Gr-Br gevlekt		Recent	Paalkuil
123	1	Vierkant	Zw-Gr-Br gevlekt		Recent	Paalkuil
124	1	Rechthoekig	Zw-Gr-Br gevlekt		Recent	Paalkuil
125	1	Rond	LBr gevlekt		Structuur B1	Paalkuil
126	1	Rond	LBr gevlekt		Structuur B1	Paalkuil
127	1	Rond	LBr gevlekt		Structuur B1	Paalkuil
128	1	Rond	LBr gevlekt			Natuurlijk
129	1	Rond	LBr gevlekt		Structuur B1	Paalkuil
130	1	Rond	LBr gevlekt		Structuur B1	Paalkuil
131	1	Rond	LBr gevlekt		Structuur B1	Paalkuil
132	1	Rond	LBr gevlekt		Structuur B1	Paalkuil
133	1	Rond	LBr gevlekt		Structuur B1	Paalkuil
134	1	Rond	LBr gevlekt			Natuurlijk
135	1	Rond	LBr gevlekt			Natuurlijk
136	1	Rond	LBr gevlekt		Structuur B1	Paalkuil
137	1	Rond	LBr gevlekt			Natuurlijk
138	1	Rond	LBr gevlekt		Structuur B1	Paalkuil
139	1	Rond	LBr gevlekt			Natuurlijk
140	1	Rond	LBr gevlekt		Structuur B1	Paalkuil
141	1	Rond	LBr gevlekt		Structuur B1	Paalkuil
142	1	Rond	LBr gevlekt			Natuurlijk
143	1	Rond	LBr gevlekt		Structuur B1	Paalkuil
144	1	Rechthoekig	Zw-Gr-Br gevlekt		Zeer los	Recente verstoring
145	1	Ovaal	LBr-Wt gevlekt			Natuurlijk
146	1	Langwerpig	DBr-LBr	HK		Greppel
147	1				Snr. Niet uitgegeven	
148	1	Rond	LGr-LBr			Natuurlijk

149	1	Rond	LGr-LBr			Natuurlijk
150	1	Ovaal	LGr-Br			Natuurlijk
151	1		DBr + Zw		Losse kern (Zw). Recent.	Paalkuil
152	1	Halve ronde	LBr			Natuurlijk
153	1	Ovaal	LBr			Natuurlijk
154	1	Rond	LGr	HK		Kuil
155	1	Rond	Gr			Kuil
156	1	Rond	Gr	HK		Natuurlijk
157	1	Ovaal	Gr-Br gevlekt			Onbepaald
158	1	Onregelmatig	LBr gevlekt			Natuurlijk
159	1	Rechthoekig	DBr + Zw		Losse kern (Zw). Recent.	Paalkuil
160	1	Ovaal	Br gevlekt		Recent	Paalkuil
161	1	Rond	Br gevlekt		Recent	Paalkuil
162	1	Rechthoekig	Br + Zw		Losse kern (Zw). Recent.	Paalkuil
163	1	Rechthoekig	Br + Zw		Losse kern (Zw). Recent.	Paalkuil
164	1	Onregelmatig	LBr gevlekt			Natuurlijk
165	1	Ovaal	Lgr-Wt			Natuurlijk
166	1		Gr-Zw		Losse structuur	Natuurlijk
167	1	Rechthoekig	LGI-DBr gevlekt		Dierlijk bot	Natuurlijk
168	1	Rechthoekig	Br			Natuurlijk
169	1	Onregelmatig	LBr-Br gevlekt			Natuurlijk
170	1	Ovaal	LGr-Wt			Natuurlijk
171	1	Ovaal	Zw		Zeer losse structuur. Recent. Dierlijk bot	Kuil
172	1	Rechthoekig	LBr gevlekt			Natuurlijk
173	1	Rechthoekig	LGr-Wt			Natuurlijk
174	1	Onregelmatig	LBr gevlekt			Natuurlijk
175	1	Rond	LBr gevlekt			Natuurlijk
176	1	Ovaal	DBr + Zw			Natuurlijk
177	1	Vierkant	DBr + Zw			Paalkuil
178	1	Rond	LBr gevlekt			Natuurlijk
179	1	Rond	LBr gevlekt			Natuurlijk
180	1	Langwerpig	Br-GI			Greppel
181	2	Onregelmatig	Wt-GI + Gr-Br vlekken			Natuurlijk
182	2	Onregelmatig	Wt-LGr			Natuurlijk
183	2	Onregelmatig	Wt-GI + Gr-br vlekken			Natuurlijk
184	2	Rond	Wt-LGr			Natuurlijk
185	2	Rond	Wt-LGr			Natuurlijk
186	2	Rechthoekig	Wt-LGr			Kuil
187	2	Langwerpig				Greppel
188	2	Rond	LGr-Gr	HK		Paalkuil
189	2	Langwerpig	LGr-Br			Recente versterking
190	2	Rond	LGr-Br			Natuurlijk

191	2	Ovaal	LGr-Br		Structuur H8	Paalkuil
192	2	Ovaal	LGr-Br			Natuurlijk
193	2	Rond	LGr-Br	HK, VZ	Structuur H8	Paalkuil
194	2	Rond	LGr-Br			Natuurlijk
195	2	Rond	LGr-Br			Natuurlijk
196	2	Ovaal	LBr gevlekt			Paalkuil
197	2	Rond	LBr		Structuur H8	Paalkuil
198	2	Rond	LGr-Gr	HK	Structuur H8	Paalkuil
199	2	Rond	LBr gevlekt			Natuurlijk
200	2	Ovaal	LBr-Gr			Onebaald
201	2	Rond	LBr		Mogelijk structuur H8	Paalkuil
202	2	Ovaal	LBr			Onbepaald
203	2	Rond	LBr gevlekt			Natuurlijk
204	2	Ovaal	LBr gevelkt			Natuurlijk
205	2	Langwerpig				Recente verstoring
206	2	Onregelmatig	LBr-LGr gevlekt			Natuurlijk
207	2	Onregelmatig	Br gevlekt			Natuurlijk
208	2	Ovaal	LBr gevlekt			Natuurlijk
209	2	Rond	LBr gevlekt		Structuur H8	Paalkuil
210	2	Rond	LBr gevlekt			Natuurlijk
211	2	Rond	LBr gevlekt		Mogelijk structuur H8	Paalkuil
212	2	Rond	LBr gevlekt			Natuurlijk
213	2	Ovaal	LBr gevlekt		Structuur H8	Paalkuil
214	2	Rond	LBr gevlekt		Structuur H8	Paalkuil
215	2	Onregelmatig	LBr gevlekt			Natuurlijk
216	2	Rond	LBr gevlekt			Natuurlijk
217	2	Rond	Br gevlekt		Mogelijk structuur H8	Paalkuil
218	2	Rond	Br gevlekt		Structuur H8	Paalkuil
219	2	Rond	LBr		Structuur H8	Paalkuil
220	2	Rechthoekig	LBr		Mogelijk structuur H8	Paalkuil
221	2	Rond	LBr		Structuur H8	Paalkuil
222	2	Rond	LBr		Structuur H8	Paalkuil
223	2	Rond	LBr		Structuur H8	Paalkuil
224	2	Rond	LBr		Structuur H8	Paalkuil
225	2	Rechthoekig	LGr-Br		Structuur H8	Paalkuil
226	2	Rond	LBR gevlekt			Natuurlijk
227	2	Onregelmatig	LBR gevlekt		Structuur H8	Paalkuil
228	2	Ovaal	Br-LBr gevlekt			Kuil
229	2	Ovaal	Br-LBr-Zw	HK	Mogelijk structuur H8	Kuil
230	2	Ovaal	LBr gevlekt			Natuurlijk
231	2	Rond	LBr gevlekt		Mogelijk structuur H8	Paalkuil
232	2	Rond	LBr gevlekt		Mogelijk structuur H8	Paalkuil
233	2	Onregelmatig	LBr-Br		Structuur H8	Paalkuil
234	2	Rond	LBr-Br		Structuur H8	Paalkuil

235	2	Rond	Br gevlekt			Natuurlijk
236	2	Ovaal	LBr gevlekt		Structuur H8	Paalkuil
237	2	Rond	LBr gevlekt			Natuurlijk
238	2	Ovaal	LGr-Wt			Natuurlijk
239	2	Ovaal - onregelmatig	Zw-Br-Gr			Kuil
240	2	Rond	LBr		Mogelijk structuur H8	Paalkuil
241	2	Onregelmatig	DBr			Natuurlijk
242	2	Rond	LBr gevlekt			Natuurlijk
243	2	Ovaal	LBr gevlekt			Natuurlijk
244	2	Rond	LBr gevlekt		Structuur H8	Paalkuil
245	2	Rond	DBr-LBr gevlekt		Structuur H8	Paalkuil
246	2	Rond	DBr-LBr gevlekt		Structuur H8	Paalkuil
247	2	Rond	DBr-LBr gevlekt			Natuurlijk
248	2	Ovaal	DBr-LBr gevlekt			Natuurlijk
249	2	Rond	LBr gevlekt			Natuurlijk
250	2	Ovaal	LBr, DBr gelvlekt			Natuurlijk
251	2	Ovaal	LBr gevlekt			Natuurlijk
252	2	Ovaal	LBr gevlekt			Paalkuil
253	2	Ovaal	LBr gevlekt			Paalkuil
254	2	Rond	LBr gevlekt			Natuurlijk
255	2	Ovaal	Br gevlekt			Natuurlijk
256	2	Rond	Br gevlekt			Natuurlijk
257	2	Rond	LGr-LBr			Paalkuil
258	2	Halfrond	LBr gevlekt			Paalkuil
259	2	Rond	LGr-Br	HK		Kuil
260	2	Ovaal	LBr gevlekt			Natuurlijk
261	2	Ovaal	LBr gevlekt			Natuurlijk
262	2	Rond	Br gevlekt			Natuurlijk
263	2	Rond	Br gevlekt			Natuurlijk
264	2	Ovaal	LGr			Natuurlijk
265	2	Ovaal	LGr-Wt			Natuurlijk
266	2	In profiel	LBr-LGr gevlekt			Paalkuil
267	2	Rond	LBr			Natuurlijk
268	2	Rond	LBr gevlekt			Natuurlijk
269	2	Rechthoekig	DBr-Gr	HK		Kuil
270	2	Rechthoekig	DBr-Gr	HK		Kuil
271	2	Rond	LBr gevlekt			Natuurlijk
272	2	Rond	LBr gevlekt			Natuurlijk
273	2	Rond	LBr gevlekt			Natuurlijk
274	2	Ovaal	Br gevlekt	BS, HK		Natuurlijk
275	2	In profiel	Br-LBr			Waterput
276	2	Ovaal	DBr-Br gevlekt	HK, VL		Kuil
277	2	Ovaal	Br-LRoestBr			Onbepaald

278	2	Rond	Br-LBr gevlekt			Natuurlijk
279	2	Rond	Br-LBr gevlekt			Natuurlijk
280	2	Rond	Br-LBr gevlekt			Natuurlijk
281	2	Rond	Br-LBr gevlekt			Natuurlijk
282	2	Onregelmatig	DBr gevlekt	HK		Natuurlijk
283	2	Rond	LBr gevlekt			Natuurlijk
284	2	Onregelmatig	DBr gevlekt	HK		Kuil
285	2	Rond	LBr gevlekt			Natuurlijk
286	2	Rond	Wt-LBr			Natuurlijk
287	2	Ovaal	LBr gevlekt			Natuurlijk
288	2	Rond	DBr gevlekt	HK		Natuurlijk
289	2	Rond	LBr gevlekt			Paalkuil
290	2	Rond	LBr gevlekt	HK, VL		Paalkuil
291	2	Ovaal	LGr-Gr			Paalkuil
292	2	Ovaal	LGr-Gr	HK		Natuurlijk
293	2	Rond	LBr gevlekt	HK		Natuurlijk
294	2	Rond	LBr gevlekt			Natuurlijk
295	2	Rechthoekig	Zw + Gl-Gr-DGr vlekken	veel HK, BS		Hutkom
296	2	Ovaal	LBr gevlekt			Natuurlijk
297	2	Ovaal	Br gevlekt			Natuurlijk
298	2	Rond	LBr gevlekt			Natuurlijk
299	2	Ovaal	LBr gevlekt			Natuurlijk
300	2	Ovaal	LBr gevlekt			Natuurlijk
301	2	Ovaal	LBr gevlekt			Natuurlijk
302	2	Onregelmatig	Zw-Gr-Gl gevekt	HK		Kuil
303	2	Ovaal	LBr-Br gevlekt			Paalkuil
304	2	Rechthoekig	Zw-Gr-Gl-Wt gevekt		Recent Zeer los	Recente verstoring
305	2	Ovaal	LBr-Br gevlekt			Natuurlijk
306	2	Rechthoekig	Zw-Gr-Gl-Wt gevekt			Natuurlijk
307	2	Rechthoekig	Zw-Gr-Gl-Wt gevekt		Recent Zeer los	Recente verstoring
308	2	Langwerpig	Br-LBr			Greppel
309	2	Langwerpig onregelmatig	DBr-Gr	BS, HK		Recente verstoring
310	2	Rond	LBr gevlekt			Natuurlijk
311	2	Ovaal	LBr-Br gevlekt			Natuurlijk
312	2	Ovaal	LBr-Br gevlekt			Natuurlijk
313	2	Ovaal	LBr gevlekt			Natuurlijk
314	2	Rond	LBr gevlekt			Natuurlijk
315	2	Rond	LBr gevlekt			Natuurlijk
316	2	Rond	LBr gevlekt			Natuurlijk
317	2	Ovaal	LBr gevlekt			Natuurlijk

318	2	Ovaal	Br-LBr gevlekt			Natuurlijk
319	2	Ovaal	LBr-Wt gevlekt			Natuurlijk
320	2	Ovaal	Br gevlekt			Natuurlijk
321	2	Rond	LBr gevlekt			Natuurlijk
322	2	Rond	LBr gevlekt			Natuurlijk
323	2	Rond	LBr gevlekt			Natuurlijk
324	2	Ovaal	LBr gevlekt			Natuurlijk
325	2	Ovaal	LBr gevlekt			Paalkuil
326	2	Rechthoekig	LBr gevlekt			Onbepaald
327	2	Ovaal	Br gevlekt			Paalkuil
328	2	Ovaal	Br gevlekt			Paalkuil
329	2	Rond	LBr gevlekt			Natuurlijk
330	2	Ovaal	LBr gevlekt	HK		Natuurlijk
331	2	Rond	Gr-Br	HK		Paalkuil
332	2	Rond	LGr-Br	HK		Kuil
333	2	Ovaal	LGr-Br	HK		Kuil
334	2	Rond	LBr-Wt gevlekt		Structuur H6	Paalkuil
335	2	Rond	LBr-Wt			Natuurlijk
336	2	Vierkant	Br gevlekt	HK	Structuur H6	Paalkuil
337	2	Onregelmatig	Br	HK	Structuur H6	Paalkuil
338	2	Rond	Br			Natuurlijk
339	2	Rond	Br gevlekt	HK		Natuurlijk
340	2	Rechthoekig	Br gevlekt		Structuur H6	Paalkuil
341	2	Halfrond	LBr			Natuurlijk
342	2	Ovaal	Br gevlekt		Structuur H6	Paalkuil
343	2	Onregelmatig	LGr-Gr	HK		Kuil
344	2	Ovaal	LBr gevlekt			Natuurlijk
345	2	Rechthoekig	Br gevlekt			Natuurlijk
346	2	Rond	Br gevlekt			Natuurlijk
347	2	Ovaal	Br gevlekt		Structuur H5	Paalkuil
348	2	Rond	Br		Mogelijk structuur H5	Paalkuil
349	2	Rond	Br			Onbepaald
350	2	Ovaal	LBr		Roestig	Paalkuil
351	2	Rond	Br gevlekt		Structuur H5	Paalkuil
352	2	Rond	Br gevlekt		Structuur H5	Paalkuil
353	2	Rond	Br		Structuur H5	Paalkuil
354	2	Rond	Br gevlekt			Paalkuil
355	2	Rond	Br-LBr-Gr gevlekt	HK	Structuur H6	Paalkuil
356	2	Rond	Br-LBr-Gr gevlekt	HK		Natuurlijk
357	2	Rond	Br-LBr-Gr gevlekt	HK		Natuurlijk
358	2	Rond	Br-LBr-Gr gevlekt	HK		Natuurlijk
359	2	Rond	Br-LBr-Gr	HK		Natuurlijk

			gevekt			
360	2	Ovaal	LBr gevekt			Natuurlijk
361	2	Ovaal	LBr gevekt		Structuur H5	Paalkuil
362	2	Ovaal	LBr-Br gevekt			Natuurlijk
363	2	Ovaal	LBr-Br gevekt			Natuurlijk
364	2	Rond	LBr			Natuurlijk
365	2	Ovaal	Br-LBr gevekt			Natuurlijk
366	2	Rond	LBr gevekt			Natuurlijk
367	2	Rond	Br	HK	Structuur H5	Paalkuil
368	2	Rond	Br	HK	Structuur H5	Paalkuil
369	2	Rechthoekig	DBr	HK, BS, VL (veel)	2 lagen	Kuil
370	2	Onregelmatig		HK, VL (veel)	3 lagen	Kuil
371	2	Ovaal	LBr gevekt			Natuurlijk
372	2	Onregelmatig	LBr-Br gevekt	HK		Natuurlijk
373	2	Rond	Br-LBr	HK		Natuurlijk
374	2	Rond	Gr-LBr-Br gevekt	HK	Mogelijk structuur H5	Paalkuil
375	2	Half rond	LBr			Natuurlijk
376	2	Ovaal	LBr-Br gevekt			Natuurlijk
377	2	Ovaal	LBr-Br			Natuurlijk
378	2	Rond	LBr-Br			Natuurlijk
379	2	Rechthoekig	Br		Structuur H6	Paalkuil
380	2	Onregelmatig	LBr-Br			Natuurlijk
381	2	Rond	Br gevekt			Natuurlijk
382	2	Rond	Br gevekt	HK	Structuur H5	Paalkuil
383	2	Onregelmatig	Br	HK, VL		Natuurlijk
384	2	Ovaal	LBr-Br	HK		Natuurlijk
385	2	Onregelmatig	Gr-Br	HK, VL	Mogelijk structuur H5	Paalkuil
386	2	Rond	LGr-Br	HK	Mogelijk structuur H5	Paalkuil
387	2	Rond	LGr-Br	HK		Natuurlijk
388	2	Rond	LBr-Br		Mogelijk structuur H5	Paalkuil
389	2	Ovaal	LBr-Br			Natuurlijk
390	2	Ovaal	LBr-Br			Natuurlijk
391	2	Rond	LBr-Br			Natuurlijk
392	2	Rond	LBr-Br		Structuur H5	Paalkuil
393	2	Rond	LBr-Br			Natuurlijk
394	2	Ovaal	LBr-Gr	HK		Natuurlijk
395	2	Rond	LBr-Br		Mogelijk structuur H5	Paalkuil
396	2	Ovaal	Br-Gr	HK	Mogelijk structuur H5	Paalkuil
397	2	Rond	LBr-Br			Onbepaald
398	2	Ovaal	LBr-Br-Gr	HK		Onbepaald
399	2	Rechthoekig	Br	HK	Structuur H5	Paalkuil
400	2	Rond	Br	HK	Structuur H5	Paalkuil

401	2	Rechthoekig	Gr-Br	HK	Structuur H5	Paalkuil
402	2	Ovaal	Br-LBR			Natuurlijk
403	2	Rond	Br-LBr			Natuurlijk
404	2	Rond	Br-LBr			Natuurlijk
405	2	Vierkant	Br-Gr	HK	Strcutuur H5	Paalkuil
406	2	Ovaal	LBr-Br			Natuurlijk
407	2	Vierkant	Br-Gr	HK	Structuur H6	Paalkuil
408	2	Ovaal	LGr-LBr			Natuurlijk
409	2	Vierkant	LGr-Br		Structuur H6	Paalkuil
410	2	Ovaal	LGr-Br			Natuurlijk
411	2	Ovaal	LGr-Br			Natuurlijk
412	2	Rond	LGr-Br			Natuurlijk
413	2	Rond	LGr-Br			Natuurlijk
414	2	Rond	LGr-Br			Natuurlijk
415	2	Ovaal	LGr-Br			Natuurlijk
416	2	Rond	LGr-Br			Natuurlijk
417	2	Rond	Br			Natuurlijk
418	2	Ovaal	Br			Onbepaald
419	2	Rond	LBr-Br			Natuurlijk
420	2	Rechthoekig	Br-DBr		Structuur H5	Paalkuil
421	2	Vierkant	Br-LBr			Onbepaald
422	2	Ovaal	LGr-Br		Mogelijk structuur H5	Paalkuil
423	2	Onregelmatig	LBr-Br	HK		Natuurlijk
424	2	Onregelmatig	LBr-Br			Natuurlijk
425	2	Ovaal	LBr-Br		Structuur H5	Paalkuil
426	2	Rond	LBr-Br		Mogelijk structuur H5	Paalkuil
427	2	Rond	LBr-Br		Structuur H5	Paalkuil
428	2	Rond	LBr-Br			Paalkuil
429	2	Rond	LBr-Br	HK		Paalkuil
430	2	Rond	LBr-Br			Paalkuil
431	2	Rond	LBr-Br			Natuurlijk
432	2	Ovaal	Br gevlekt	HK	Recent	Paalkuil
433	2	Ovaal	LBr-Br	HK		Natuurlijk
434	2	Ovaal	LBr-Br	HK	Mogelijk structuur H5	Paalkuil
435	2	Rond	LBr-Br		Mogelijk structuur H5	Paalkuil
436	2	Ovaal	Br		Structuur H5	Paalkuil
437	2	Onregelmatig	LBr-Br		Mogelijk structuur H1	Paalkuil
438	2	Rond	LBr-Br	HK	Mogelijk structuur H1	Paalkuil
439	2	Rond	LBR-Br-Gr	HK		Natuurlijk
440	2	Rond	LBr-Br	HK	Mogelijk structuur H1	Paalkuil
441	2	Onregelmatig	LBr-Br	HK	Mogelijk structuur H1	Paalkuil
442	2	Rechthoekig	Gr-Br	HK	Mogelijk structuur H5	Paalkuil
443	2	Rechthoekig	DBr	HK	Structuur H5	Paalkuil
444	2	Onregelmatig	DBr-LBr		Structuur H5	Paalkuil

445	2	Rond	LBr-Br		Structuur H5	Paalkuil
446	2	Onregelmatig	LBr-Br		Mogelijk structuur H5	Paalkuil
447	2	Rond	LBr-Br			Natuurlijk
448	2	Onregelmatig	LBr-Br-Gr gevekt			Natuurlijk
449	2	Onregelmatig	LBr	HK		Natuurlijk
450	2	Ovaal	LBr-Br		Structuur H1	Paalkuil
451	2	Ovaal	LBr		Structuur H1	Paalkuil
452	2	Rond	LGr			Paalkuil
453	2	Rond	LGr			Paalkuil
454	2	Ovaal	LBr		Structuur H1	Paalkuil
455	2	Onregelmatig	LBr		Structuur H1	Paalkuil
456	2	Ovaal	LBr-Br		Structuur H1	Paalkuil
457	2	Ovaal	LBr-Br			Onbepaald
458	2	Rond	LBr-Br			Onbepaald
459	2	Ovaal		HK	Structuur H1	Paalkuil
460	2	Ovaal	LBr			Natuurlijk
461	2	Ovaal	LBr-LGr gevlekt	HK	Structuur H1	Paalkuil
462	2	Onregelmatig	LBr-Br		Structuur H1	Paalkuil
463	2	rond	LBr-Br			Onbepaald
464	2	Ovaal	LBr-Br			Paalkuil
465	2	Rechthoekig	Br		Structuur H1	Paalkuil
466	2	Rond	LBr-Gl + Br gevekt			Natuurlijk
467	2	Rond	LGr-Wt			Natuurlijk
468	2	Rond	LBr			Natuurlijk
469	2	Rond	DBr	HK		Paalkuil
470	2	Onregelmatig	DBr	HK		Onbepaald
471	2	Rond	LBr			Natuurlijk
472	2	Onregelmatig	Br gevlekt			Natuurlijk
473	2	Onregelmatig	Br gevlekt			Natuurlijk
474	2	Onregelmatig	Br			Natuurlijk
475	2	Onregelmatig	Br			Natuurlijk
476	2	Rond	Br-Gr			Onbepaald
477	2	Rond	Br-Gr	HK, VL		Natuurlijk
478	2	Rond	LBr-Br			Natuurlijk
479	2	Vierkant	DBr-Gr	HK		Paalkuil
480	2	Rond	LBr-Br			Natuurlijk
481	2	Rond	LBr-Br			Natuurlijk
482	2	Rond	LBr-Gr			Paalkuil
483	2	Ovaal	LBr-LGr gevlekt			Natuurlijk
484	2	Ovaal	LBr-Br			Natuurlijk
485	2	Onregelmatig	LBr-Br gevlekt			Natuurlijk
486	2	Ovaal	LBr-Br			Natuurlijk
487	2	Rond	LBr-Br			Natuurlijk

488	2	Rond	LBr-Br			Natuurlijk
489	2	Rechthoekig	LBr-Br			Natuurlijk
490	2	Rechthoekig	LBr-Br			Natuurlijk
491	2	Vierkant	LBr-Br			Natuurlijk
492	2	Ovaal	LBr-Br			Natuurlijk
493	2	Onregelmatig	Br-Gr	HK		Natuurlijk
494	2	Onregelmatig	Br gevlekt			Natuurlijk
495	2	Onregelmatig	Br gevlekt			Natuurlijk
496	2	Onregelmatig	Br gevlekt			Onbepaald
497	2	Rond	Br gevlekt			Natuurlijk
498	2	Onregelmatig	Br gevlekt			Natuurlijk
499	2	Rond	Gr-DBr			Paalkuil
500	2	Rond	LBr-Br			Natuurlijk
501	2	Ovaal	LBr-Br-Wt gevekt			Natuurlijk
502	2	Ovaal	LBr-Wt-Br gevekt			Natuurlijk
503	2	Rond				Natuurlijk
504	2	Ovaal	LGr	HK	Structuur H1	Paalkuil
505	2		LBr-Wt gevlekt		Uitloper greppel	Kuil
506	2	Langwerpig	LBr		Roestig	Greppel
507	2	Vierkant	DGr		Recent	Paalkuil
508	2	Rond	LGr-Wt			Natuurlijk
509	2	Ovaal	Br			Paalkuil
510	2	Ovaal	LBr-Br gevlekt			Natuurlijk
511	2	Rond	LGr-LBr			Natuurlijk
512	2	Rond	Zw-Gr	HK		Natuurlijk
513	2	Rond	LBr-Br			Natuurlijk
514	2	Rond	Br-Gr DBr-Gr kern	HK		Kuil
515	2	Rond	DBr-GI vlekken			Natuurlijk
516	2	Rond			Mogelijk structuur H5	Paalkuil
517	3	Vierkant	DBr		Recent	Paalkuil
518	3	Vierkant	DBr		Recent. Losse structuur	Paalkuil
519	3	Vierkant	DBr + Wt vlekken		Recent. Losse structuur	Paalkuil
520	3	Langw	LRoestBr	HK		Greppel
521	3	Rond	DBr gevlekt	HK		Natuurlijk
522	3	Rechthoekig	DBr + Wt vlekken	HK, Fe		Natuurlijk
523	3	Onregelmatig	DBr + Wt vlekken	HK, Fe		Natuurlijk
524	3	Ovaal	DBr + Wt vlekken	HK, Fe		Natuurlijk
525	3	Rond	LBr			Natuurlijk
526	3	Onregelmatig	Br-Wt gevlekt			Natuurlijk

527	3	Onregelmatig	DBr + Wt vlekken		Structuur H4	Paalkuil
528	3	Rechthoekig	DBr + Wt vlekken			Natuurlijk
529	3	ROnd	LBr-Br gevlekt	HK	Structuur H4	Paalkuil
530	3	Onregelmatig	Br-Wt vlekken	HK, Fe		Natuurlijk
531	3	Rond	Br-Wt vlekken	HK, Fe		Natuurlijk
532	3	Onregelmatig				Natuurlijk
533	3	In profiel	LBr + Br vlekken	HK	Structuur H4	Paalkuil
534	3	Ovaal	Br + Wt vlekken	HK		Natuurlijk
535	3	Rond	LBr-Gr			Paalkuil
536	3	Ovaal	Br-Wt vlekken	HK		Natuurlijk
537	3	Vierkant	LGr-LBr		Mogelijk structuur H4	Paalkuil
538	3	Rechthoekig	Br gevlekt		Structuur Hu1	Paalkuil
539	3	Onregelmatig	Br-Wt gevlekt		Structuur H4	Paalkuil
540	3	Rechthoekig	Br gevlekt		Structuur Hu1	Paalkuil
541	3	Onregelmatig	Br-Wt gevlekt			Onbepaald
542	3	Ovaal	Br gevlekt		Structuur Hu1	Paalkuil
543	3	Vierkant	Br-DBr	HK	DBr (kern). Structuur H4.	Paalkuil
544	3	Rechthoekig	Br-DBr	HK	DBr (kern). Structuur H4.	Paalkuil
545	3	In profiel	Br gevlekt	HK	Structuur H4.	Paalkuil
546	3	Onregelmatig	Br-Wt gevlekt			Natuurlijk
547	3	Rechthoekig	Br-DBr	HK	DBr (kern). Mogelijk structuur H4.	Paalkuil
548	3	Onregelmatig	Br + Wt vlekken	HK		Natuurlijk
549	3		Br-DBr	HK	DBr (kern)	Natuurlijk
550	3	Onregelmatig	Br-LBr gevlekt		Structuur Hu1	Paalkuil
551	3	Ovaal	LBr +			Natuurlijk
552	3	Ovaal	Br-Gr	HK, VL	Structuur Hu1	Paalkuil
553	3	Ovaal	Br + Wt vlekken	HK, VL	Structuur Hu1	Paalkuil
554	3	Rechthoekig	Br-Gr-Zw	HK(veel), BS, VL	Structuur Hu1	hutkom
555	3	Onregelmatig	DBr			Paalkuil
556	3	Rond	Br-Wt gevlekt + DBr		DBr (kern). Structuur H4.	Paalkuil
557	3	Rond	Br-LBr		Structuur H4	Paalkuil
558	3	Ovaal	Br-LGr	HK		Natuurlijk
559	3	Ovaal	Br-Gr	HK		Natuurlijk
560	3	Onregelmatig	Gr-Br	HK	Structuur H4	Standgreppel
561	3	Onregelmatig	DBr-Br gevlekt			Natuurlijk
562	3	Ovaal	DBr	HK	Mogelijk structuur H4	Paalkuil
563	3	Ovaal	Br			Onbepaald
564	3	Ovaal	Br-DBr		Structuur H4	Paalkuil
565	3	Rond	LBr gevlekt + Gr	HK, VL	Gr (kern). Structuur H4.	Paalkuil
566	3	Ovaal	Br gevlekt		Structuur H4.	Paalkuil
567	3	Ovaal	Br gevlekt			Natuurlijk

568	3	Rond	Br gevlekt			Natuurlijk
569	3	Onregelmatig	Gr-LBr-Br gevlekt		Mogelijk structuur H4	Kuil
570	3	Onregelmatig	LGr			Onbepaald
571	3	Onregelmatig	Br-Wt gevlekt		Structuur H4	Paalkuil
572	3	Ovaal	Br gevlekt		Structuur H4	Paalkuil
573	3	Rechthoekig	Br-Gr	VL, HK (veel)		Kuil
574	3	Vierkant	Gr-LBr-Br gevlekt	HK, VL		Kuil
575	3	Ovaal	LBr-Br	BS		Natuurlijk
576	3	Rond	Br gevlekt	HK		Natuurlijk
577	3	Rond	Br gevlekt	HK		Natuurlijk
578	3	Onregelmatig	Br gevlekt	HK		Natuurlijk
579	3	Onregelmatig	Br+Gl vlekken	HK		Natuurlijk
580	3	Rond	Br-Gl gevlekt	HK		Kuil
581	3	Rechthoekig		HK, Fe		Natuurlijk
582	3	Ovaal	Br-Dbr			Natuurlijk
583	3	Onregelmatig	Dbr	HK		Natuurlijk
584	3	Rechthoekig		HK, Cer, Fe		Natuurlijk
585	3	Ovaal	LBr-Br-Gr	HK		Natuurlijk
586	3	Ovaal	Br gevlekt	HK		Onbepaald
587	3	Ovaal	Br gevlekt	HK, Cer, Fe		Natuurlijk
588	3	In profiel	Br + Gl vlekken	HK		Natuurlijk
589	3	Ovaal	Br + Wt vlekken	HK		Natuurlijk
590	3	Ovaal	Br-Gl gevlekt	HK		Natuurlijk
591	3	Rond	LBr			Natuurlijk
592	3	Ovaal	Br+Gl vlekken	HK, BS, Cer		Natuurlijk
593	3	Ovaal	LBr-Br gevlekt	HK		Natuurlijk
594	3	Rond	Br + Gl vlekken	HK		Natuurlijk
595	3	Onregelmatig	Br-LBr + Gl vlekken	HK		Natuurlijk
596	3	Rond	Br-LBr gevlekt	HK		Natuurlijk
597	3	In profiel	Dbr	HK, BS		Waterkuil
598	3	In profiel	LBr			Natuurlijk
599	3	Rechthoekig	Dbr-Br gevlekt	HK	Structuur H3	Paalkuil
600	3	Rechthoekig	Br-LBr	HK	Structuur H3	Paalkuil
601	3	Rond	LBr gevlekt		Structuur H3	Paalkuil
602	3	Rond	LBr		Structuur H3	Paalkuil
603	3	Rechthoekig	LBr-Br		Structuur H3	Paalkuil
604	3	Vierkant	Br-LBr	HK	Structuur H3	Paalkuil
605	3	Rond	Br-Gr	HK, Cer, Fe	Structuur H3	Paalkuil
606	3	Rechthoekig	LBr-Wt gevlekt			Natuurlijk
607	3	Vierkant	LBr			Onbepaald

608	3	Rechthoekig	Br-Wt gevelt		Structuur H3	Paalkuil
609	3	Rechthoekig	DBr-Gr	HK	Structuur H3	Paalkuil
610	3	Ovaal	Br-Gr	HK	Structuur H3	Paalkuil
611	3	Rond	LBr-Gr	HK	Structuur H3	Paalkuil
612	3	Ovaal	Br-Gr	HK	Structuur H3	Paalkuil
613	3	Rechthoekig	LRoestBr		Sporen van verbranding	Kuil
614	3	Vierkant	LRoestBr	HK		Natuurlijk
615	3	In profiel	Gr-Br	HK		Natuurlijk
616	3	In profiel	Br-Wt gevlekt	HK, Cer		Natuurlijk
617	3	Rechthoekig	LBr-Br	HK	Structuur H3	Paalkuil
618	3	Ovaal	Br gevlekt			Natuurlijk
619	3	Rechthoekig	LBr-Br	HK	Structuur H3	Paalkuil
620	3	In profiel	LBr-Br			Paalkuil
621	3	Onregelmatig	Dbr-Wt gevlekt	HK	Mogelijk structuur H3	Paalkuil
622	3	Rechthoekig	DBr-Br gevlekt	HK	Structuur H3	Paalkuil
623	3	Vierkant	Br-Gr	HK	Structuur H3	Paalkuil
624	3	Ovaal	Br-Wt gevlekt	BS		Natuurlijk
625	3	Rechthoekig	DBr-Br gevlekt		Mogelijk structuur H3	Paalkuil
626	3	Onregelmatig	DBr + Wt vlekken	HK	Structuur H3	Paalkuil
627	3	Rond	DBr-Br	HK		Natuurlijk
628	3	Ovaal	Gr-Br	HK		Natuurlijk
629	3	Rechthoekig	Br gevlekt		Structuur H3	Paalkuil
630	3	Ovaal	Br gevlekt		Structuur H3	Paalkuil
631	3	Vierkant	LBr			Natuurlijk
632	3	Ovaal	Br gevlekt			Natuurlijk
633	3	Langwerpig Onregelmatig	DBr-Gr	HK, glas	Recent	Kuil
634	3	Rond	Gr-Br			Paalkuil
635	3	Rond	Gr-Br			Natuurlijk
636	3	Rechthoekig	Zw-Br-Gr-Gl gevekt	HK	Recent	Kuil
637	3	Onregelmatig	Zw-Br-Gr-Gl gevekt	HK	Recent	Kuil
638	3	Langwerpig	LRoestBr-DBr	BS		Greppel
639	3	Rechthoekig	Br-LRoestBr+ Wt vlekken	HK (veel)		Kuil
640	3	Vierkant	LBr-Br			Natuurlijk
641	3	Rechthoekig	LBr-Br			Natuurlijk
642	3	Rechthoekig	LRoestBr-Zw	HK (veel)	Sporen van verbranding	Kuil
643	3	Rond	Br gevlekt			Natuurlijk
644	3	Onregelmatig	Br gevlekt			Onbepaald
645	3	Ovaal	Br gevlekt			Natuurlijk
646	3	Ovaal	LBr			Natuurlijk
647	3	Rond	LBr			Natuurlijk
648	3	Rond	LBr			Natuurlijk

649	3	Rond	LBr			Paalkuil
650	3	Rond	LBr			Paalkuil
651	3	Rond	LBr			Natuurlijk
652	3	Rond	LBr			Paalkuil
653	3	Rond	Br			Paalkuil
654	3	Rechthoekig	LBr-Br	HK		Paalkuil
655	3	Ovaal	Br-Wt gevlekt			Natuurlijk
656	3	Rond	LBr-Br	HK		Paalkuil
657	3	Ovaal	LBr			Paalkuil
658	3	Onregelmatig	LBr-Br			Kuil
659	3	Rond	LBr-Br			Natuurlijk
660	3	Onregelmatig	Br-Wt gevlekt			Paalkuil
661	3	Ovaal	LBr			Natuurlijk
662	3	Rond	LBr-Br			Paalkuil
663	3	Ovaal	LBr			Natuurlijk
664	3	Rnd	LBr			Paalkuil
665	3	Ovaal	LBr			Natuurlijk
666	3	Rond	LBr			Kuil
667	3	Rond	LBR-Br			Natuurlijk
668	3	Rechthoekig	Br-Wt gevlekt			Kuil
669	3	Ovaal	Br-Wt gevlekt			Paalkuil
670	3	Ovaal	Br gevlekt			Paalkuil
671	3	Ovaal	Br gevlekt			Paalkuil
672	3	Rond	LBr-LGr gevlekt			Paalkuil
673	3	Rechthoekig	Br-Wt gevlekt			Paalkuil
674	3	Onregelmatig	Br-Wt gevlekt			Onbepaald
675	3	Onregelmatig	LBr			Natuurlijk
676	3	Ovaal	LBr-Br			Paalkuil
677	3	Rond	LBR-LGr gevlekt			Natuurlijk
678	3	Ovaal	LBr			Paalkuil
679	3	Ovaal	LBr-Gr gevlekt	HK		Paalkuil
680	3	Rond	LGr			Natuurlijk
681	3	Rond	Br-Gr			Paalkuil
682	3	Ovaal	LGr-LBr			Natuurlijk
683	3	Ovaal	LBr			Paalkuil
684	3	Rond	LBr			Onbepaald
685	3	Ovaal	Br-LBr			Natuurlijk
686	3	Ovaal	LBr	HK		Natuurlijk
687	3	Ovaal	LBr-LGr gevlekt			Paalkuil
688	3	Ovaal	LGr	HK		Natuurlijk
689	3	Ovaal	LBr	HK, Cer		Natuurlijk
690	3	In profiel	LBr-Br			Kuil
691	3	Ovaal	LBr-Br			Paalkuil
692	3	Ovaal	LBr-Br			Natuurlijk

693	3	Rond	LBr-Br			Paalkuil
694	3	Rond	LBr-Br			Paalkuil
695	3	Onregelmatig	LBr-Br			Natuurlijk
696	3	Ovaal	LBr-Br			Kuil
697	3	Rechthoekig	Br			Onbepaald
698	3	Rond	LBr-Br			Paalkuil
699	3	Ovaal	LBr-Br		Structuur B9	Paalkuil
700	3	Ovaal	LBr-Br		Structuur B9	Paalkuil
701	3	Rond	LBr-Br		Structuur B9	Paalkuil
702	3	Rond	LBr-Br			Natuurlijk
703	3	Rond	LBr-Br			Kuil
704	3	Ovaal	LBr-Br		Structuur B9	Paalkuil
705	3	Rond	LBr-Br		Structuur B9	Paalkuil
706	3	Rond	LBr-Br		Structuur B9	Paalkuil
707	3	Onregelmatig	Br gevlekt	Cer		Natuurlijk
708	3	Rond	Br gevlekt	Cer		Natuurlijk
709	3	Rond	Br gevlekt			Natuurlijk
710	3	Rond	Br gevlekt	Cer		Natuurlijk
711	3	Rond	Br gevlekt			Natuurlijk
712	3	Onregelmatig	Br gevlekt			Natuurlijk
713	3	Onregelmatig	Br gevlekt			Onbepaald
714	3	Langwerpig	LBr-Br + Wt + Zw gevlekt			Greppel
715	3	Rechthoekig	LBr-Br+ Wt gevekt		Recent	Kuil
716	3	Rond	LBr-Br			Natuurlijk
717	3					Natuurlijk
718	3					Natuurlijk
719	3					Natuurlijk
720	4	Ovaal	LBr gevlekt			Natuurlijk
721	4	Rond	DBr			Natuurlijk
722	4	Ovaal	Br gevlekt			Natuurlijk
723	4	Rond	Br gevlekt			Natuurlijk
724	4	Rond	Br gevlekt			Natuurlijk
725	4	Rond	DBr gevlekt			Natuurlijk
726	4	Ovaal	DBr gevlekt			Natuurlijk
727	4	Rond	Br gevlekt			Natuurlijk
728	4	Rond	Br gevlekt			Natuurlijk
729	4	Ovaal	LBr gevlekt			Natuurlijk
730	4	Rond	LBr gevlekt			Natuurlijk
731	4	Ovaal	DBr			Natuurlijk
732	4	Recht	DBr gevlekt			Kuil
733	4	Ovaal	Br			Paalkuil
734	4	ovaal	Br gevlekt			Kuil
735	4	Rond	Br			Paalkuil

736	4	Ovaal	Br			Natuurlijk
737	4	Vierkant	DBr		Recent	Paalkuil
738	4	Vierkant	DBr		Recent	Paalkuil
739	4	Rond	Br			Natuurlijk
740	4	Rond	Br			Natuurlijk
741	4	Ovaal	Br			Natuurlijk
742	4	Rond	Br			Natuurlijk
743	4	Ovaal	Br			Natuurlijk
744	4	Ovaal	DBr-Zw			Natuurlijk
745	4	Rond	LBr			Natuurlijk
746	4	Rond	LBr			Paalkuil
747	4	Ovaal	Br gevlekt			Natuurlijk
748	4	Ovaal	Br			Natuurlijk
749	4	Rond	Br			Natuurlijk
750	4	Rond	Br			Natuurlijk
751	4	Rond	Br			Natuurlijk
752	4	Rond	Br gevlekt			Natuurlijk
753	4	Rond	LBr			Natuurlijk
754	4	Ovaal	Br			Natuurlijk
755	4	Ovaal	LBr			Natuurlijk
756	4	Ovaal	Br gevlekt			Natuurlijk
757	4	Rond	DBr		Structuur H7	Paalkuil
758	4	Rond	DBr gevlekt		Structuur H7	Paalkuil
759	4	Onre	DBr gevlekt			Onbepaald
760	4	Rond	DBr			Natuurlijk
761	4	Rond	Br gevlekt			Natuurlijk
762	4	Rechthoekig	DBr			Kuil
763	4	Rond	DBr			Kuil
764	4	Ovaal	Br			Natuurlijk
765	4	Rond	LBr			Natuurlijk
766	4	Rond	Br			Natuurlijk
767	4	Ovaal	Br			Natuurlijk
768	4	Onregelmatig	DBr gevlekt			Natuurlijk
769	4	Rechthoekig	DBr			Natuurlijk
770	4	Rond	DBr			Natuurlijk
771	4	Ovaal	DBr gevlekt			Natuurlijk
772	4	Onregelmatig	DBr gevlekt			Natuurlijk
773	4	Rond	DBr gevlekt			Natuurlijk
774	4	Rond	DBr gevlekt			Natuurlijk
775	4	Rond	Br gevlekt			Natuurlijk
776	4	Ovaal	Br			Natuurlijk
777	5	Ovaal	LBr			Natuurlijk
778	5	Rond	LBr			Paalkuil
779	5	Rond	LBr			Paalkuil

780	5	Ovaal	Br			Natuurlijk
781	5	Ovaal	DBr			Onbepaald
782	5	Ovaal	Br			Natuurlijk
783	5	Rond	br			Natuurlijk
784	5	Ovaal	Br gevlekt			Natuurlijk
785	5	Ovaal	Br gevlekt			Natuurlijk
786	5	Vierkant	DBr-Zw		Recent	Paalkuil
787	5	Vierkant	DBr-Zw		Recent	Paalkuil
788	5	Vierkant	DBr-Zw		Recent	Paalkuil
789	5	Rond	DBr			Natuurlijk
790	5	Rond	DBr			Paalkuil
791	5	Ovaal	Br			Paalkuil
792	5	Rond	Br			Paalkuil
793	5	Rond	DBr			Natuurlijk
794	5	Rond	Br			Natuurlijk
795	5	Rond	Br			Natuurlijk
796	5	Rond	DBr			Natuurlijk
797	5	Ovaal	Br			Natuurlijk
798	5	Vierkant	Br			Natuurlijk
799	5	Rond	Br			Natuurlijk
800	5	Ovaal	Br			Natuurlijk
801	5	Rond	Gr			Onbepaald
802	5	Vierkant	DBr gevlekt			Onbepaald
803	5	Rond	Zw-Br		Recent	Paalkuil
804	5	Rond	Zw-Br		Recent	Paalkuil
805	5	Onregelmatig	DBr gevlekt			Natuurlijk
806	5	Rond	Zw-Br			Natuurlijk
807	5	Vierkant	Zw-Br			Natuurlijk
808	5	Rond	Zw-Br			Natuurlijk
809	5	Rond	Br		Recent	Paalkuil
810	5	Rond	DBr		Recent	Paalkuil
811	5	Rechthoekig	DBr		Recent	Paalkuil
812	5	Ovaal	DBr			Natuurlijk
813	5	Vierkant	Br			Natuurlijk
814	5	Rond	LBr			Paalkuil
815	5	Rond	Br			Natuurlijk
816	5	Rond	Br gevlekt			Paalkuil
817	5	Rond	DBr			Paalkuil
818	5	Vierkant	Br			Natuurlijk
819	5	Ovaal	Br			Paalkuil
820	5	Ovaal	DBr			Paalkuil
821	5	Rond	Br gevlekt			Paalkuil
822	5	Onregelmatig	Br gevlekt			Kuil
823	5	Ovaal	Zw-DBr			Kuil

824	5	Ovaal	Br			Paalkuil
825	5	Vierkant	Br gevlekt			Paalkuil
826	5	Vierkant	DBr-Zw gevlekt			Kuil
827	5	Ovaal	DBr		Recent	Kuil
828	5	Rechthoekig	DBr			Natuurlijk
829	5	Rond	DBr			Natuurlijk
830	5	Rond	Gr			Paalkuil
831	5	Rond	Br gevlekt			Onbepaald
832	5	Ovaal	LBr			Onbepaald
833	5	Rond	Br gevlekt			Kuil
834	5	Ovaal	Br			Natuurlijk
835	5	Rond	DBr-Zw gevlekt			Kuil
836	5	Ovaal	DBr-Zw gevlekt			Paalkuil
837	5	Ovaal	DBr			Natuurlijk
838	5	Rond	DBr			Natuurlijk
839	5	Rechthoekig	Br			Paalkuil
840	5	Onregelmatig	br			Natuurlijk
841	5	Rechthoekig	Br			Natuurlijk
842	5	Rechthoekig	Br			Natuurlijk
843	5	Rechthoekig	br			Natuurlijk
844	5	Vierkant	DBr			Paalkuil
845	5	Rechthoekig	Br-Zw gevlekt			Natuurlijk
846	5	Onregelmatig	DBr			Natuurlijk
847	5	Rond	LBr			Natuurlijk
848	5	Onregelmatig	DBr		Recent	Paalkuil
849	5	Rechthoekig	DBr		Recent	Paalkuil
850	5	Rond	Br			Natuurlijk
851	5	Rond	Gr			Kuil
852	5	Vierkant	Br			Greppel
853	5	Onregelmatig	Br			Greppel
854	5	Vierkant	DBr		Recent	Paalkuil
855	5	Ovaal	LBr		Recent	Kuil
856	5	Vierkant	DBr gevlekt		Recent	Paalkuil
857	5	Vierkant	LBr		Recent	Paalkuil
858	5	Rechthoekig	DBr		Recent	Paalkuil
859	5	Vierkant	DBr		Recent	Paalkuil
860	5	Rechthoekig	DBr		Recent	Paalkuil
861	5	Rechthoekig	DBr		Recent	Paalkuil
862	5	Vierkant	DBr		Recent	Paalkuil
863	5	Rechthoekig	DBr		Recent	Paalkuil
864	5	Ovaal	Gr			Kuil
865	5	Onregelmatig	Br			Natuurlijk
866	5	Rond	Br			Natuurlijk
867	5	Rond	Br			Paalkuil

868	5	Ovaal	Br			Paalkuil
869	5	Onregelmatig	Br		Structuur B2	Paalkuil
870	5	Ovaal	Br		Structuur B2	Paalkuil
871	5	Ovaal	DBr		Structuur B2	Paalkuil
872	5	Ovaal	DBr		Structuur B2	Paalkuil
873	5	Ovaal	Br		Structuur B2	Paalkuil
874	5	Onregelmatig	Br		Structuur B2	Paalkuil
875	5	Rond	Br		Structuur B2	Paalkuil
876	5	Rond	Br		Structuur B2	Paalkuil
877	5	Rond	Br			Natuurlijk
878	5	Onregelmatig	Br			Natuurlijk
879	5	Vierkant	DBr		Recent	Paalkuil
880	5	Rond	Br			Paalkuil
881	5	Ovaal	Br			Natuurlijk
882	5	Rechthoekig	Br gevlekt			Natuurlijk
883	5	Vierkant	DBr			Natuurlijk
884	5	Onregelmatig	Br		Recent	Paalkuil
885	5	Onregelmatig	DBr			Natuurlijk
886	5	Vierkant	DBr		Recent	Paalkuil
887	5	Onregelmatig	Br			Paalkuil
888	5				Spoornr. niet uitgegeven.	
889	5	Rond	DBr		Recent	Paalkuil
890	5	Rond	Br		Structuur B2	Paalkuil
891	5	Rond	Br			Natuurlijk
892	5	Onregelmatig	Br			Onbepaald
893	5	Ovaal	Br			Natuurlijk
894	5	Vierkant	Br		Structuur B2	Paalkuil
895	5	Rond	Br			Natuurlijk
896	5	Rond	DBr		Recent	Paalkuil
897	5	Rond	DBr			Natuurlijk
898	5	Rechthoekig	DBr		Recent	Paalkuil
899	5	Rechthoekig	DBr		Recent	Paalkuil
900	5	Rond	DBr		Recent	Paalkuil
901	5	Rechthoekig	DBr		Recent. Hetzelfde als S1545.	Paalkuil
902	5	Rechthoekig	DBr		Recent. Hetzelfde als S1546.	Paalkuil
903	5	Rechthoekig	DBr		Recent	Paalkuil
904	5	Vierkant	DBr		Recent	Paalkuil
905	5	Rechthoekig	DBr		Recent	Paalkuil
906	5	Vierkant	DBr		Recent	Paalkuil
907	5	Rond	DBr		Recent	Paalkuil
908	5	Rond	Br		Recent	Paalkuil
909	5	Ovaal	Br			Paalkuil
910	5	Onregelmatig	Br gevlekt			Onbepaald
911	5	Ovaal	Br			Natuurlijk

912	5	Rond	DBr			Paalkuil
913	5	Rechthoekig	DBr			Paalkuil
914	5	Rond	DBr		Recent	Paalkuil
915	5	Rechthoekig	DBr			Kuil
916	5	Rechthoekig	DBr			Kuil
917	5	Rechthoekig	DBr			Natuurlijk
918	5	Rond	Br			Natuurlijk
919	5	Onregelmatig	Br			Paalkuil
920	5	Rechthoekig	Br gevlekt			Kuil
921	5	Rond	Gr			Natuurlijk
922	5	Rond	DBr		Recent	Paalkuil
923	5	Vierkant	DBr		Recent	Paalkuil
924	5	Rechthoekig	DBr			Natuurlijk
925	5	Rond	DBr		Recent	Paalkuil
926	6	Rechthoekig	DBr-Zw			Natuurlijk
927	6	Vierkant	DBr		Recent	Paalkuil
928	6	Onregelmatig	DBr			Natuurlijk
929	6	Vierkant	Br			Natuurlijk
930	6	Rechthoekig	Br gevlekt			Natuurlijk
931	6	Vierkant	Br			Paalkuil
932	6	Rechthoekig	Br			Paalkuil
933	6	Rond	Br			Paalkuil
934	6	Rechthoekig	Br			Paalkuil
935	6	Vierkant	DBr			Natuurlijk
936	6	Vierkant	DBr gevlekt		Recent	Paalkuil
937	6	Vierkant	DBr gevlekt		Recent	Paalkuil
938	6	Vierkant	DBr gevlekt		Recent	Paalkuil
939	6	Rond	DBr gevlekt			Natuurlijk
940	6	Rechthoekig	Br		Structuur H4	Paalkuil
941	6	Rechthoekig	DBr		Structuur H4	Paalkuil
942	6	Onregelmatig	DBr gevlekt			Natuurlijk
943	6	Onregelmatig	DBr gevlekt			Natuurlijk
944	6	Cirkelvormig	Br			Kringgreppel
945	6	Rond	DBr			Natuurlijk
946	6	Rond	DBr			Natuurlijk
947	6	Rond	DBr			Natuurlijk
948	6	Onregelmatig	DBr gevlekt			Natuurlijk
949	6	Rond	DBr gevlekt			Natuurlijk
950	6	Rechthoekig	DBr gevlekt			Natuurlijk
951	6	Vierkant	DBr gevlekt			Paalkuil
952	6	Vierkant	DBr gevlekt			Natuurlijk
953	6	Ovaal	Br gevlekt			Natuurlijk
954	6	Ovaal	Br gevlekt			Natuurlijk
955	6	Ovaal	Br gevlekt			Natuurlijk

956	6	Rond	Br gevlekt			Natuurlijk
957	6	Vierkant	Br			Paalkuil
958	6	Rond	DBr gevlekt			Natuurlijk
959	6	Voerk	DBr gevlekt			Natuurlijk
960	6	Onregelmatig	DBr gevlekt			Natuurlijk
961	6	Rond	Br			Paalkuil
962	6	Rond	Br gevlekt			Natuurlijk
963	6	Onregelmatig	Br gevlekt			Natuurlijk
964	6	Ovaal	DBr gevlekt			Natuurlijk
965	6	Onregelmatig	Br			Paalkuil
966	6	Rond	Br			Paalkuil
967	6	Vierkant	Br			Paalkuil
968	6	Ovaal	LBr gevlekt			Onbepaald
969	6	Rond	Br			Natuurlijk
970	6	Rond	DBr gevlekt			Natuurlijk
971	6	Onregelmatig	DBr gevlekt			Natuurlijk
972	6	Rond	DBr gevlekt			Onbepaald
973	6	Rechthoekig	DBr			Natuurlijk
974	6	Vierkant	DBr			Natuurlijk
975	6	Ovaal	Br			Paalkuil
976	6	Ovaal	Br			Natuurlijk
977	6	Onregelmatig	DBr gevlekt			Natuurlijk
978	6	Rond	DBr gevlekt			Natuurlijk
979	6	Vierkant	DBr			Paalkuil
980	6	Onregelmatig	DBr			Kuil
981	6	Rechthoekig	Br			Paalkuil
982	6	Rond	Br			Paalkuil
983	6	Vierkant	DBr			Natuurlijk
984	6	Rechthoekig	Br			Paalkuil
985	6	Onregelmatig	Br			Paalkuil
986	6	Rond	DBr gevlekt			Natuurlijk
987	6	Onregelmatig	Br			Paalkuil
988	6	Vierkant	Br			Paalkuil
989	6	Ovaal	DBr			Natuurlijk
990	6	Ovaal	Br gevlekt			Natuurlijk
991	6				Spoornr. niet uitgegeven	
992	6	Onregelmatig	Br gevlekt			Natuurlijk
993	6	Onregelmatig	Gr			Natuurlijk
994	6	Onregelmatig	DBr			Paalkuil
995	6	Ovaal	DBr			Natuurlijk
996	6	Ovaal	DBr gevlekt			Natuurlijk
997	6	Onregelmatig	DBr			Natuurlijk
998	6	Rechthoekig	DBr gevlekt			Natuurlijk
999	6	Onregelmatig	DBr			Kuil

1000	6	Rechthoekig	Br			Paalkuil
1001	6	rond	Br gevlekt			Natuurlijk
1002	6	Rond	Br			Natuurlijk
1003	6	Onregelmatig	Br gevlekt			Paalkuil
1004	6	Rechthoekig	Br gevlekt			Natuurlijk
1005	6	Rechthoekig	Br			Natuurlijk
1006	6	Rond	DBr			Natuurlijk
1007	6	Rechthoekig	DBr			Onbepaald
1008	6	Rond	Br			Natuurlijk
1009	6	Onregelmatig	Br			Natuurlijk
1010	6	Rond	Br			Natuurlijk
1011	6	Rechthoekig	Br gevlekt			Paalkuil
1012	6	Ovaal	Br			Paalkuil
1013	6	Onregelmatig	DBr gevlekt			Natuurlijk
1014	6	Onregelmatig	DBr gevlekt			Kuil
1015	6	Ovaal	DBr gevlekt			Natuurlijk
1016	6	Ovaal	DBr-Zw			Kuil
1017	6	Rond	LBr			Paalkuil
1018	6	Rond	LBr			Paalkuil
1019	6	Rond	LBr			Paalkuil
1020	6	Ovaal	LBr			Kuil
1021	6	Onregelmatig	DBr gevlekt			Natuurlijk
1022	6	Rond	Br			Natuurlijk
1023	6	Rond	Br			Paalkuil
1024	6	Rond	Br			Paalkuil
1025	6	Vierkant	Br			Paalkuil
1026	6	Rond	DBr			Kuil
1027	6	Rechthoekig	Br gevlekt			Paalkuil
1028	6	Rechthoekig	DBr			Natuurlijk
1029	6	Onregelmatig	Gr			Paalkuil
1030	6	Onregelmatig	Gr			Natuurlijk
1031	6	Rond	DBr gevlekt			Paalkuil
1032	6	Vierkant	DBr			Paalkuil
1033	6	Vierkant	DBr			Paalkuil
1034	6	Rond	DBr			Paalkuil
1035	6	Vierkant	DBr			Natuurlijk
1036	6	Onregelmatig	DBr			Kuil
1037	6	Rond	LBr			Paalkuil
1038	6	Rechthoekig	LBr			Natuurlijk
1039	6	Rechthoekig	DBr			Natuurlijk
1040	6	Rechthoekig	DBr			Paalkuil
1041	6	Onregelmatig	DBr gevlekt			Natuurlijk
1042	6	Onregelmatig	DBr gevlekt			Kuil
1043	6	Rond	DBr gevlekt			Onbepaald

1044	6	Onregelmatig	DBr gevlekt			Kuil
1045	6	Onregelmatig	DBr gevlekt			Onbepaald
1046	6	Rechthoekig	Br			Paalkuil
1047	6	Onregelmatig	Gr			Natuurlijk
1048	6	Ovaal	DBr gevlekt			Natuurlijk
1049	6	Onregelmatig	DBr	HK		Kuil
1050	6	Rond	DBr	HK		Kuil
1051	6	Vierkant	DBr gevlekt			Onbepaald
1052	6	Rond	Br			Paalkuil
1053	6	Rond	DBr gevlekt			Natuurlijk
1054	6	Rechthoekig	DBr	HK		Kuil
1055	6	Vierkant	Br			Paalkuil
1056	6	Onregelmatig	Or-Br		Sporen van verbranding	Kuil
1057	6	Onregelmatig	DBr gevlekt			Kuil
1058	6					Paalkuil
1059	6	Onregelmatig	Br			Paalkuil
1060	6	Onregelmatig	Br			Paalkuil
1061	6	Vierkant	Br gevlekt			Paalkuil
1062	6	Rechthoekig	Br			Paalkuil
1063	6	Rechthoekig	Br			Paalkuil
1064	6	Rechthoekig	Br			Paalkuil
1065	6	Rechthoekig	Br		Structuur B10	Paalkuil
1066	6	Ovaal	Br		Structuur B10	Paalkuil
1067	6	Vierkant	Br		Structuur B10	Paalkuil
1068	6	Vierkant	Br gevlekt		Structuur B10	Paalkuil
1069	6	Vierkant	Br			Natuurlijk
1070	6	Vierkant	Br		Structuur B10	Paalkuil
1071	6	Vierkant	Br		Structuur B10	Paalkuil
1072	6	Onregelmatig	Br gevlekt		Structuur B10	Paalkuil
1073	6	Vierkant	Br		Structuur B10	Paalkuil
1074	6	Rechthoekig	LBr			Natuurlijk
1075	6	Ovaal	DGr			Kuil
1076	6	Rond	DBr gevlekt	HK		Paalkuil
1077	6	Vierkant	DBr gevlekt			Paalkuil
1078	6	Onregelmatig	Br	HK, baksteen		Kuil
1079	6	Vierkant	Br			Paalkuil
1080	6	Ovaal	LGr			Natuurlijk
1081	6	Rond	Br gevlekt			Paalkuil
1082	6	Vierkant	Br gevlekt			Paalkuil
1083	6	Rechthoekig	Br			Paalkuil
1084	6	Vierkant	Br			Paalkuil
1085	6	Rond	Br gevlekt			Paalkuil
1086	6	Rond	Br gevlekt			Paalkuil
1087	6	Ovaal	Br gevlekt			Natuurlijk

1088	6	Rechthoekig	Br gevlekt			Natuurlijk
1089	6	Rechthoekig	Zw gevlekt	HK	Sporen van verbranding.	Kuil
1090	6	Rechthoekig	Zw gevlekt		Sporen van verbranding.	Kuil
1091	6	Rond	Br			Paalkuil
1092	6	Rond/ovaal	Zw-Br			Natuurlijk
1093	6	Onregelmatig	DBr			Natuurlijk
1094	6	Rond	Br			Natuurlijk
1095	6	Ovaal	DBR-Zw gevlekt			Kuil
1096	6	Onregelmatig	DBR-Zw gevlekt			Kuil
1097	6	Onregelmatig	Br			Natuurlijk
1098	6	Vierkant	Br			Paalkuil
1099	6	Rond	Br			Paalkuil
1100	6	Ovaal	Br			Natuurlijk
1101	6	Ovaal	Br gevlekt			Paalkuil
1102	6	Ovaal	Br			Natuurlijk
1103	6	Rond	Br			Kuil
1104	6	Ovaal	LBr			Natuurlijk
1105	6	Ovaal	Br			Natuurlijk
1106	6	Rond	Br			Paalkuil
1107	6	Rond	Br			Paalkuil
1108	6	Rond	Br			Paalkuil
1109	6	Rond	Gr			Natuurlijk
1110	6	Ovaal	DBr		Structuur B11	Paalkuil
1111	6	Rechthoekig	DBr			Kuil
1112	6	Ovaal	DBr			Kuil
1113	6	ovaal	DBr		Structuur B11	Paalkuil
1114	6	Vierkant	Br		Structuur B11	Paalkuil
1115	6	Onregelmatig	DBr		Structuur B11	Paalkuil
1116	6	Vierkant	DBr		Structuur B11	Paalkuil
1117	6	Vierkant	Br			Natuurlijk
1118	6	Rond	Br			Natuurlijk
1119	6	Vierkant	Br			Paalkuil
1120	6	Rond	Br			Paalkuil
1121	6	Rond	Br			Paalkuil
1122	6	Onregelmatig	Br			Paalkuil
1123	6		Br			Onbepaald
1124	6	Rond	Br			Paalkuil
1125	6	Onregelmatig	Br			Paalkuil
1126	6	Onregelmatig	DBr			Paalkuil
1127	6	Rond	LBr			Natuurlijk
1128	6	Rechthoekig	Br			Natuurlijk
1129	6	Rond	Br			Paalkuil
1130	6	Rond	Br			Paalkuil
1131	6	Ovaal	Br gevlekt			Natuurlijk

1132	6	Ovaal	DBr			Paalkuil
1133	6	Rond	DBr gevlekt			Natuurlijk
1134	6	Rond	DBr		Mogelijk structuur H5	Paalkuil
1135	6	Onregelmatig	Br gevlekt			Natuurlijk
1136	6	Ovaal	DBr			Paalkuil
1137	6	Rond	LBr-LGr			Paalkuil
1138	6	Rond	LBr-LGr			Paalkuil
1139	6	Ovaal	LBr-LGr			Paalkuil
1140	6	Ovaal	Br-LBr			Paalkuil
1141	7	Rechthoekig	Wt-Br + Br		Recent	Paalkuil
1142	7	Rechthoekig	Wt-Br + Br			Kuil
1143	7	Langwerpig	LBr-Br			Greppel
1144	7	Rond	LBr	HK		Paalkuil
1145	7	Rond	LBr			Onbepaald
1146	7	Rond	LBr			Paalkuil
1147	7	Rond	LBr			Paalkuil
1148	7	Rond	Br-DBr			Paalkuil
1149	7	Rond	Br-DBr			Natuurlijk
1150	7	Ovaal	Zw-DGr	HK		Paalkuil
1151	7	Onregelmatig	Gr-DGr gevlekt	HK		Natuurlijk
1152	7	Ovaal	LBr-Br + Gr-Zw vlekken	HK		Kuil
1153	7	Rond	DBr	HK		Paalkuil
1154	7	Rond	LBR-Br			Onbepaald
1155	7	Ovaal	LBr	HK		Paalkuil
1156	7	Ovaal	LBr	HK		Onbepaald
1157	7	Ovaal	LBr			Natuurlijk
1158	7	Ovaal	LBr-Br	HK, VL		Paalkuil
1159	7	Ovaal	LBr			Natuurlijk
1160	7	Ovaal	LBr	HK		Paalkuil
1161	7	Rechthoekig	LBr-Br			Paalkuil
1162	7	Rond	LBr-Br			Natuurlijk
1163	7	Ovaal	LBr-Br	HK		Natuurlijk
1164	7	Onregelmatig	Zw-DGr	HK		Paalkuil
1165	7	Vierkant	DBr-Gr	HK, BS, Cer, Glas		Kuil
1166	7	Rechthoekig			Recent	Paalkuil
1167	7	Rechthoekig			Recent	Paalkuil
1168	7	Rechthoekig				Natuurlijk
1169	7	Ovaal	LBr	VL		Paalkuil
1170	7	Ovaal	LBr	VL		Paalkuil
1171	7	Ovaal	LBr-Br			Onbepaald
1172	7	Vierkant	LBr + Br vlekken	HK, Bron, Fe		Kuil
1173	7	Rechthoekig	LBr-Br	HK		Paalkuil

1174	7	Rond	LBr		Structuur H3	Paalkuil
1175	7	Rond	LBr		Structuur H3	Paalkuil
1176	7	Ovaal	LBr-LGr	HK		Natuurlijk
1177	7	Ovaal	LBr-Br		Mogelijk structuur H3	Paalkuil
1178	7	Ovaal	LBr-Br		Mogelijk structuur H3	Paalkuil
1179	7	Rond	LBr-Br			Onbepaald
1180	7	Rond	LBr-Br		Structuur H3	Paalkuil
1181	7	Rond	LBr-Br		Structuur H3	Paalkuil
1182	7	Rechthoekig	Br-Gr-DGr		Structuur H3	Paalkuil
1183	7	Rechthoekig	Br		Structuur H3	Paalkuil
1184	7	Onregelmatig	DBr		Recent	Kuil
1185	7	Onregelmatig	Br		Structuur H3	Paalkuil
1186	7	Rechthoekig	Br gevlekt			Natuurlijk
1187	7	Vierkant	Br gevlekt			Natuurlijk
1188	7	Ovaal	Gr			Natuurlijk
1189	7	Rond	Br gevlekt			Natuurlijk
1190	7	Rond	Br gevlekt			Natuurlijk
1191	7	Rechthoekig	LBr		Structuur H3	Paalkuil
1192	7	Vierkant	LBr gevlekt		Structuur H3	Paalkuil
1193	7	Vierkant	Gr		Recent	Paalkuil
1194	7	Rechthoekig	Br			Natuurlijk
1195	7	Onregelmatig	Br			Natuurlijk
1196	7	Rond	LBr gevlekt			Paalkuil
1197	7	Vierkant	DBr-Gr		Recent	Paalkuil
1198	7	Onregelmatig	DBr gevlekt		Recent	Paalkuil
1199	7	Rechthoekig	DBr		Recent	Paalkuil
1200	7	Rechthoekig	DBr gevlekt		Recent	Kuil
1201	7	Halfrond	Gr			Kuil
1202	7	Vierkant	DBr gevlekt		Recent	Paalkuil
1203	7	Onregelmatig	Br gevlekt		Recent	Paalkuil
1204	7	Ovaal	LBr			Natuurlijk
1205	7	Rond	Br gevlekt			Paalkuil
1206	7	Rechthoekig	DBr gevlekt			Paalkuil
1207	7	Onregelmatig	DBr gevlekt			Natuurlijk
1208	7	Rond	LBr gevlekt			Paalkuil
1209	7	Rechthoekig	DBr			Natuurlijk
1210	7	Rechthoekig	DBr			Natuurlijk
1211	7	Ovaal	Br			Natuurlijk
1212	7	Vierkant	Br			Natuurlijk
1213	7	Vierkant	LBr			Natuurlijk
1214	7	Rechthoekig	Br			Natuurlijk
1215	7	Rond	Br			Natuurlijk
1216	7	Ovaal	DBr gevlekt			Natuurlijk
1217	7	Onregelmatig	Br			Paalkuil

1218	7		LBr-Br		Roestig	Greppel
1219	7		Br-Wt-Gl		Recent	Kuil
1220	7		Br-Wt-Gl		Recent	Kuil
1221	7	Rond	Br			Natuurlijk
1222	7	Rond	LBr			Natuurlijk
1223	7	Rond	LBr			Paalkuil
1224	7	Langwerpig	LBr-Br	BS	Roestig	Greppel
1225	7	Rond	Br			Paalkuil
1226	7	Ovaal	DBr-Zw-Or	HK	Sporen van verbranding	Kuil
1227	7	Rond	LBr			Paalkuil
1228	7	Onregelmatig	LBr			Paalkuil
1229	7	Rond	LBr			Paalkuil
1230	7	Ovaal	LGr			Natuurlijk
1231	7	Rechthoekig	Br		Recent	Paalkuil
1232	7	Rechthoekig	Br-LBr			Onbepaald
1233	7	Rechthoekig	LBr-Gl		Recent	Paalkuil
1234	7	Rechthoekig	Br		Recent	Paalkuil
1235	7	Rechthoekig	Br		Recent	Paalkuil
1236	7	Onregelmatig	Gl + Br gevlekt	inox, staal	Recent	Kuil
1237	7	Vierkant	Br + Gl gevlekt			Natuurlijk
1238	7	Rond	Br			Natuurlijk
1239	7	Rechthoekig	Br			Paalkuil
1240	7	Ovaal	Gr			Natuurlijk
1241	7	Vierkant	Br + Wt gevlekt		Recent	Paalkuil
1242	7	Vierkant	Br + Wt gevlekt		Recent	Paalkuil
1243	7	Rond	Br + Wt gevlekt		Recent	Paalkuil
1244	7	Vierkant	Br		Recent	Paalkuil
1245	7	Vierkant	Br + Gl gevlekt		Recent	Paalkuil
1246	7	Rond	Br		Recent	Paalkuil
1247	7	Rond	DGr - Gl		Recent	Paalkuil
1248	7	Vierkant	Br-Wt gevlekt		Recent	Paalkuil
1249	7	Rond	Br-Wt gevlekt		Recent	Paalkuil
1250	7	Vierkant	Br-Wt gevlekt		Recent	Paalkuil
1251	7	Vierkant	Br-Wt gevlekt		Recent	Paalkuil
1252	7	Vierkant	Br-Wt gevlekt		Recent	Paalkuil
1253	7	Rechthoekig	Br-Wt gevlekt		Recent	Paalkuil
1254	7	Rechthoekig	Br-Wt gevlekt		Recent	Paalkuil
1255	7	Rechthoekig	Br-Wt gevlekt		Recent	Paalkuil
1256	7	Rechthoekig	Br-Wt gevlekt		Recent	Paalkuil
1257	7	Ovaal	LBr			Natuurlijk
1258	7	Rond	LBr			Natuurlijk
1259	7	Langwerpig	Br	BS	Roestig	Greppel
1260	7	Rond	LBr			Onbepaald
1261	7	Rond	LBr			Paalkuil

1262	7	Rond	LBr			Natuurlijk
1263	7	Rond	LBr			Natuurlijk
1264	7	Rond	LBr			Natuurlijk
1265	7	Rond	LBr			Natuurlijk
1266	7	Ovaal	Br + Gl gevlekt			Natuurlijk
1267	7	Ovaal	LBr			Natuurlijk
1268	7	Vierkant	Br-DBr			Natuurlijk
1269	7	Ovaal	LBr-Br			Natuurlijk
1270	7	Rechthoekig	LBr+Br+Gl+Wt gevekt		Recent	Paalkuil
1271	7	Vierkant	Br-DBr		Recent	Paalkuil
1272	7	Rond	Gr			Natuurlijk
1273	7	Ovaal	Br+DBr+Gl gevekt			Natuurlijk
1274	7	Rechthoekig	DBr		Recent	Paalkuil
1275	7	Rond	DBr		Recent	Paalkuil
1276	7	Rechthoekig	DBr		Recent	Paalkuil
1277	7	Rechthoekig	DBr		Recent	Paalkuil
1278	7	Rond	LGr			Natuurlijk
1279	7	Rond	LBr			Natuurlijk
1280	7	Onregelmatig	LBr-Br			Natuurlijk
1281	7	Rond	LBr-Br			Onbepaald
1282	8	Ovaal	LBr			Onbepaald
1283	8	Rond	Br		Mogelijk structuur H7	Paalkuil
1284	8	Rond	Br			Natuurlijk
1285	8	Vierkant	Br		Structuur H7	Paalkuil
1286	8	Rond	Br		Mogelijk structuur H7	Paalkuil
1287	8	Vierkant	Br		Structuur H7	Paalkuil
1288	8	Vierkant	LBr		Structuur H7	Paalkuil
1289	8	Vierkant	Br		Structuur H7	Paalkuil
1290	8	Ovaal	Br gevlekt		Mogelijk structuur H7	Paalkuil
1291	8	Ovaal	LBr			Natuurlijk
1292	8	Rond	LBr			Natuurlijk
1293	8	Rond	LBr			Natuurlijk
1294	8	Vierkant	DBr			Natuurlijk
1295	8	Vierkant	DBr			Natuurlijk
1296	8	Vierkant	DBr			Natuurlijk
1297	8	Ovaal	LBr			Natuurlijk
1298	8	Rond	LBr			Natuurlijk
1299	8	Rond	LBr			Natuurlijk
1300	8	Rond	Br gevlekt		Mogelijk structuur H7	Paalkuil
1301	8	Rond	Br gevlekt			Natuurlijk
1302	8	Rond	DBr gevlekt		Mogelijk structuur H7	Paalkuil
1303	8	Ovaal	DBr gevlekt			Natuurlijk
1304	8	Ovaal	DBr gevlekt			Natuurlijk

1305	8	Vierkant	DBr gevlekt			Natuurlijk
1306	8	Rond	Br			Natuurlijk
1307	8	Vierkant	DBr gevlekt			Natuurlijk
1308	8	Rond	Br			Natuurlijk
1309	8	Rechthoekig	DBr			Onbepaald
1310	8	Vierkant	Br		Mogelijk structuur H7	Paalkuil
1311	8	Ovaal	Br			Kuil
1312	8	Rechthoekig	Br			Natuurlijk
1313	8	Rechthoekig	Br		Structuur H7	Paalkuil
1314	8	Onregelmatig	DBr gevlekt		Structuur H7	Paalkuil
1315	8	Rechthoekig	Br			Natuurlijk
1316	8	Rond	LBr			Natuurlijk
1317	8	Rond	DBr		Structuur H7	Paalkuil
1318	8	Vierkant	DBr		Structuur H7	Paalkuil
1319	8	Rond	Br		Mogelijk structuur H7	Paalkuil
1320	8	Ovaal	DBr gevlekt		Structuur H7	Paalkuil
1321	8	Rond	Br		Structuur H7	Paalkuil
1322	8	Rond	LBr			Natuurlijk
1323	8	Vierkant	Br		Structuur H7	Paalkuil
1324	8	Rechthoekig	Br			Kuil
1325	8	Rond	Br		Structuur H7	Paalkuil
1326	8	Onregelmatig	Br		Mogelijk structuur H7	Paalkuil
1327	8	Rond	Br		Structuur H7	Paalkuil
1328	8	Rond	DBr		Structuur H7	Paalkuil
1329	8	Ovaal	LBr			Natuurlijk
1330	8	Rond	LBr			Paalkuil
1331	8	Vierkant	LBr			Natuurlijk
1332	8	Rond	LBr			Natuurlijk
1333	8	Rechthoekig	Br			Paalkuil
1334	8	Rond	LBr	HK		Paalkuil
1335	8	Rond	Zw	HK		Paalkuil
1336	8	Rechthoekig	LBr			Paalkuil
1337	8	Rond	DBr-Zw			Paalkuil
1338	8	Ovaal	Br			Natuurlijk
1339	8	Rond	LBr			Kuil
1340	8	Ovaal	LBr			Natuurlijk
1341	8	Halfrond	DBr			Paalkuil
1342	8	Vierkant	DBr			Paalkuil
1343	8	Rond	DBr			Natuurlijk
1344	8	Onregelmatig	Br-Rood			Natuurlijk
1345	8	Rond	Gr			Kuil
1346	8	Onregelmatig	Br gevlekt			Paalkuil
1347	8	Rond	LBr			Natuurlijk
1348	8	Vierkant	Br			Natuurlijk

1349	8	Rond	Br			Onbepaald
1350	8	Rond	Br			Natuurlijk
1351	8	Rond	Br			Paalkuil
1352	8	Rond	Br			Paalkuil
1353	8	Rond	Br-Gr-DGr			Paalkuil
1354	8	Rond	Br			Paalkuil
1355	8	Rond	Br			Paalkuil
1356	8	Rond	LBr gevlekt			Natuurlijk
1357	8	Rond	LBr gevlekt			Natuurlijk
1358	8	Rond	Br			Paalkuil
1359	8	Vierkant	LBr			Onbepaald
1360	8	Vierkant	Br			Paalkuil
1361	8	Vierkant	Br			Natuurlijk
1362	8	Onregelmatig	Br gevlekt			Paalkuil
1363	8	Vierkant	Br			Paalkuil
1364	8	Vierkant	Br			Natuurlijk
1365	8	Rond	Br			Paalkuil
1366	8	Rond	Br			Natuurlijk
1367	8	Rond	Br			Natuurlijk
1368	8	Rond	Br			Natuurlijk
1369	8	Ovaal	DGr			Natuurlijk
1370	8	Rond	Br			Natuurlijk
1371	8	Vierkant	Br			Paalkuil
1372	8	Rond	DGr gevlekt			Paalkuil
1373	8	Vierkant	DGr gevlekt			Natuurlijk
1374	8	Rond	Br			Paalkuil
1375	8	Rond	Br			Natuurlijk
1376	8	Rond	Br			Natuurlijk
1377	8	Ovaal	LBr			Natuurlijk
1378	8	Rond	Br			Onbepaald
1379	8	Rond	LBr			Natuurlijk
1380	8	Vierkant	LBr			Natuurlijk
1381	8	Rond	DGr		Structuur B4	Paalkuil
1382	8	Rond	Br			Natuurlijk
1383	8	Rechthoekig	Br			Paalkuil
1384	8	Ovaal	Br			Natuurlijk
1385	8	Ovaal	Br			Natuurlijk
1386	8	Rond	DGr			Paalkuil
1387	8	Rond	LBr			Paalkuil
1388	8	Rond	DGr	HK	Structuur B4	Paalkuil
1389	8	Rond	DGr			Paalkuil
1390	8	Ovaal	LBr			Natuurlijk
1391	8	Onregelmatig	Br			Paalkuil
1392	8	Rond	LBr			Paalkuil

1393	8	Rond	Br	HK	Structuur B4	Paalkuil
1394	8	Rond	DBr	HK	Structuur B4	Paalkuil
1395	8	Rond	Br			Natuurlijk
1396	8	Rechthoekig	LBr			Natuurlijk
1397	8	Onregelmatig	LBr			Natuurlijk
1398	8	Rond	LBr			Natuurlijk
1399	8	Rond	LBr			Natuurlijk
1400	8	Vierkant	Br			Paalkuil
1401	8	Ovaal	Br			Paalkuil
1402	8	Ovaal	LBr			Natuurlijk
1403	8	Vierkant	DBr			Natuurlijk
1404	8	Rond	Br			Natuurlijk
1405	8	Rond	Br			Natuurlijk
1406	8	Vierkant	Br			Natuurlijk
1407	8	Rond	Br			Paalkuil
1408	8	Rond	DBr		Structuur B5	Paalkuil
1409	8	Rond	LBr			Natuurlijk
1410	8	Rond	LBr			Natuurlijk
1411	8	Rond	LBr			Natuurlijk
1412	8	Rond	Br			Onbepaald
1413	8	Rond	Br		Structuur B5	Paalkuil
1414	8	Rond	Br gevlekt			Natuurlijk
1415	8	Vierkant	DBr		Structuur B5	Paalkuil
1416	8	Vierkant	DBr			Natuurlijk
1417	8	Vierkant	Wt-Gl			Natuurlijk
1418	8	Ovaal	LBr			Natuurlijk
1419	8	Ovaal	LBr			Paalkuil
1420	8	Rond	LBr gevlekt			Paalkuil
1421	8	Ovaal	Br-DBr gevlekt			Paalkuil
1422	8	Rond	Br-DBr gevlekt			Paalkuil
1423	8	Rechthoekig	LBr	HK, VL	Structuur B5	Paalkuil
1424	8	Onregelmatig	LGr			Natuurlijk
1425	8	Ovaal	LBr			Natuurlijk
1426	8	Ovaal	Br-DBr	HK		Paalkuil
1427	8	Rond	LBr			Natuurlijk
1428	8	Rond	LBr			Natuurlijk
1429	8	Ovaal	LBr-Br			Paalkuil
1430	8	Ovaal	LBr-Br			Natuurlijk
1431	8	Rond	LBr-Br			Paalkuil
1432	8	Rond	LBr-Br			Paalkuil
1433	8	Rond	LBr-Br			Natuurlijk
1434	8	Rond	LBr-Br			Natuurlijk
1435	8	Rond	LBr-Br			Natuurlijk
1436	8	Rond	Br		Roestkleur	Natuurlijk

1437	8	Onregelmatig	Gr-LGr			Natuurlijk
1438	8	Ovaal	LGr-LBr			Natuurlijk
1439	8	Rond	Br			Natuurlijk
1440	8	Rond	Br-LBr			Paalkuil
1441	8	Rond	Br-LBr			Paalkuil
1442	8	Rond	Br		Roestkleur	Kuil
1443	8	Rond	Gr-LGr			Paalkuil
1444	8	Ovaal	Br			Natuurlijk
1445	8	Rond	LBr			Natuurlijk
1446	8	Ovaal	LBr			Paalkuil
1447	8	Rechthoekig	Br			Paalkuil
1448	8	Rechthoekig	LBr			Paalkuil
1449	8	Vierkant	Br-DGr-Wt			Natuurlijk
1450	8	Rond	LBr-Br			Paalkuil
1451	8	Langwerpig	Br		Roestig	Greppel
1452	8	Rond	Br			Paalkuil
1453	8	Rond	Br			Natuurlijk
1454	8	Rond	LBr			Natuurlijk
1455	8	Rond	LGr-Wt			Onbepaald
1456	8	Ovaal	LGr-Wt			Natuurlijk
1457	8	Ovaal	LGr-Wt			Natuurlijk
1458	8	Ovaal	LGr			Natuurlijk
1459	8	Ovaal	RoestBr		Z leem	Natuurlijk
1460	8	Rond	LGr			Natuurlijk
1461	8	Ovaal	LBr			Natuurlijk
1462	8	Rond	Br		Roestig	Kuil
1463	8	Rond	LGr-LBr			Natuurlijk
1464	8	Ovaal	Br-DGr			Natuurlijk
1465	8	Rechthoekig	Gr-LGr			Paalkuil
1466	8	Rond	LBr		Roestig	Paalkuil
1467	8	Rond	DGr gevlekt		Structuur B7	Paalkuil
1468	8	Rond	LBr			Natuurlijk
1469	8	Rond	DGr gevlekt		Structuur B7	Paalkuil
1470	8	Rond	LBr		Structuur B6	Paalkuil
1471	8	Rond	LBr		Structuur B6	Paalkuil
1472	8	Rond	LBr		Structuur B6	Paalkuil
1473	8	Rond	Br-Gr-DGr		Structuur B7	Paalkuil
1474	8	Onregelmatig	Br-DGr gevlekt			Kuil
1475	8	Rond	Br gevlekt		Structuur B7	Paalkuil
1476	8	Ovaal	Br gevlekt			Natuurlijk
1477	8	Ovaal	Br-DGr		Structuur B6	Paalkuil
1478	8	Ovaal	DGr		Structuur B7	Paalkuil
1479	8	Rond	LBr		Structuur B6	Paalkuil
1480	8	Rond	DGr-Br		Structuur B7	Paalkuil

1481	8	Rond	Br			Paalkuil
1482	8	Rond	Br			Paalkuil
1483	8	Rond	LBr			Natuurlijk
1484	8	Rond	LBr			Natuurlijk
1485	8	Onregelmatig	LBr			Natuurlijk
1486	8	Rond	LBr			Paalkuil
1487	8	Ovaal	LBr			Natuurlijk
1488	8	Rond	LBr			Natuurlijk
1489	8	Vierkant	DBr			Natuurlijk
1490	8	Rond	LBr			Kuil
1491	8	Rond	DBr gevlekt			Natuurlijk
1492	8	Rond	DBr gevlekt			Natuurlijk
1493	8	Rond	LBr-Gr	HK		Paalkuil
1494	8	Ovaal	Gr-Br	HK		Onbepaald
1495	8	Rond	DBr-Dgr		Recent	Paalkuil
1496	8	Rond	DBr-DGr		Recent	Paalkuil
1497	8	Rechthoekig	Gr	HK	Recent	Paalkuil
1498	8	Rond	DBr-Gr gevlekt		Recent	Paalkuil
1499	8	Rond	LGr			Natuurlijk
1500	8	Langwerpig	Br		Roestig	Greppel
1501	8	Rond	LGr-LBr			Natuurlijk
1502	8	Rond	LBr			Paalkuil
1503	8	Ovaal	LBr			Paalkuil
1504	8	Rond	Wt-LGI			Natuurlijk
1505	8	Ovaal	LBr			Paalkuil
1506	8	Langwerpig	Br		Roestig	Greppel
1507	8	Rond	LBr			Onbepaald
1508	8	Rond	LBr			Paalkuil
1509	8	Ovaal	LBr			Natuurlijk
1510	8	Ovaal	LBr			Paalkuil
1511	8	Ovaal	LBr			Paalkuil
1512	8	Ovaal	LBr			Paalkuil
1513	8	Vierkant	LBr			Paalkuil
1514	8	Ovaal	LBr-Br			Natuurlijk
1515	8	Ovaal	LBr gevlekt			Natuurlijk
1516	8	Ovaal	LBr gevlekt			Natuurlijk
1517	8	Ovaal	LBr gevlekt			Natuurlijk
1518	8		LGr			Natuurlijk
1519	8	Rond	DBr			Natuurlijk
1520	8	Rond	DBr			Natuurlijk
1521	8	Rond	LBr			Natuurlijk
1522	8	Rond	LBr		Roestig	Paalkuil
1523	8	Langwerpig	LBr		Roestig	Greppel
1524	8	Rond	LBr			Natuurlijk

1525	8	Rond	LBr			Natuurlijk
1526	8	Rond	LBr			Natuurlijk
1527	8	Rond	DBr			Natuurlijk
1528	8	Rond	DBr			Paalkuil
1529	8	Rond	LBr			Natuurlijk
1530	8	Rond	LBr			Kuil
1531	8	Rond	LBr			Natuurlijk
1532	8	Rond	LBr			Paalkuil
1533	8	Ovaal	LBr			Natuurlijk
1534	8	Ovaal	DBr			Paalkuil
1535	8	Rond	LBr			Natuurlijk
1536	8	Rond	LBr			Paalkuil
1537	8	Ovaal	LBr			Paalkuil
1538	8	Rond	LBr			Natuurlijk
1539	8	Rond	LBr			Paalkuil
1540	8	Ovaal	LBr			Paalkuil
1541	8	Ovaal	LBr			Natuurlijk
1542	7	Ovaal	LGr-LBr			Kuil
1543	7	Ovaal	LGl-LBr			Natuurlijk
1544	7	Rond	LBr			Paalkuil
1545	7	Vierkant	DBr-Br		Recent. Hetzelfde als S901.	Paalkuil
1546	7	Vierkant	DBr-Br		Recent. Hetzelfde als S902.	Paalkuil
1547	7	Rond	DBr-Br		Recent	Paalkuil
1548	7	Vierkant	DBr-Br		Recent	Paalkuil
1549	7	Vierkant	DBr-Br		Recent	Paalkuil
1550	7	Vierkant	DBr-Br		Recent	Paalkuil
1551	7	Vierkant	DBr-Br		Recent	Paalkuil
1552	7	Rond	Gl-LBr gevlekt		Recent	Paalkuil
1553	7	Rond	DBr-Br gevlekt		Recent	Paalkuil
1554	7	Vierkant	DBr-Br gevlekt		Recent	Paalkuil
1555	7	Vierkant	DBr-Br gevlekt		Recent	Paalkuil
1556	7	Vierkant	DBr-Br gevlekt		Recent	Paalkuil
1557	7	Vierkant	DBr-Br gevlekt		Recent	Paalkuil
1558	7	Vierkant	DBr-Br gevlekt		Recent	Paalkuil
1559	7	Ovaal	LBr-Br			Natuurlijk
1560	7	Rond	DBr-Br		Recent	Paalkuil
1561	7	Langwerpig	LBr			Greppel
1562	7	Onregelmatig	Gr-Br		Uitloper greppel	Kuil
1563	7	Ovaal	Gr-Br	HK		Natuurlijk
1564	7	Ovaal	Br-Gr-DGr	HK		Natuurlijk
1565	7	Rond	LBr			Kuil
1566	7	Rond	LBr			Paalkuil
1567	7	Rond	LBr			Paalkuil
1568	7	Rechthoekig	LBr		Recent	Paalkuil

1569	9	Ovaal	Br-LBr			Natuurlijk
1570	9	Rond	Br-LBr			Natuurlijk
1571	9	Rond	Br-LBr			Paalkuil
1572	9	Ovaal	Br			Natuurlijk
1573	9	Rond	Br			Natuurlijk
1574	9	Rond	Br-LBr			Natuurlijk
1575	9	Rond	Gr			Natuurlijk
1576	9	Ovaal	LBr			Paalkuil
1577	9	Ovaal	LBr			Natuurlijk
1578	9	Rond	Br			Paalkuil
1579	9	Rechthoekig	Br-Gl gevlekt			Natuurlijk
1580	9	Ovaal	LBr-Br			Natuurlijk
1581	9	Ovaal	Br	Cer		Natuurlijk
1582	9	Rond	Gr			Kuil
1583	9	Ovaal	Br-LBr			Natuurlijk
1584	9	Ovaal	LBr-Wt-LGr			Paalkuil
1585	9	Rond	Gr-Br			Natuurlijk
1586	9	Ovaal	LBr-Gr-Wt			Kuil
1587	9	Ovaal	LGI-LBr			Natuurlijk
1588	9	Rond	LGI-LBr			Natuurlijk
1589	9	Rond	LGI-LBr			Natuurlijk
1590	9	Rond	LBr			Natuurlijk
1591	9	Ovaal	LBr-LGI + Gr kern			Natuurlijk
1592	9	Ovaal	LBr-LGI + Gr kern			Natuurlijk
1593	9	Ovaal	LGr			Natuurlijk
1594	9	Ovaal	LGr-Wt			Natuurlijk
1595	9	Rond	LGr-Wt			Natuurlijk
1596	9	Rond	Br			Natuurlijk
1597	9		LBr-Br			Natuurlijk
1598	9	Ovaal	LBr-LGI			Natuurlijk
1599	9	Ovaal	LBr-LGI			Natuurlijk
1600	9	Ovaal	LBr			Natuurlijk
1601	9	Rond	DBr + Gr			Natuurlijk
1602	9	Rond	Br			Natuurlijk
1603	9	Rond	Br			Natuurlijk
1604	9	Rond	Br			Natuurlijk
1605	9	Rond	DBr-Or			Natuurlijk
1606	9	Ovaal	DBr + Gr			Natuurlijk
1607	9	Rond	Br			Natuurlijk
1608	9	Rond	GI-Br			Natuurlijk
1609	9	Vierkant	GI-Gr			Paalkuil
1610	9	Rond	LBr			Natuurlijk
1611	9	Ovaal	LBr			Natuurlijk

1612	9	Rond	LBr			Natuurlijk
1613	9	Ovaal	LBr			Natuurlijk
1614	9	Rond	LBr			Natuurlijk
1615	9	Ovaal	LBr-Or			Natuurlijk
1616	9	Rond	LBr			Natuurlijk
1617	9	Ovaal	LBr			Natuurlijk
1618	9	Ovaal	LBr-DBr			Natuurlijk
1619	9	Ovaal	DBr + Zw vlekken			Natuurlijk
1620	9	Ovaal	Zw		Recent	Kuil
1621	9	Ovaal	LBr			Natuurlijk
1622	9	Rond	LBr			Natuurlijk
1623	9	Rond	Gr-Br			Paalkuil
1624	9	Rond	LBr-Gl			Natuurlijk
1625	9	Rond	DBr-Oranje-LBr			Natuurlijk
1626	9	Ovaal	LBr			Natuurlijk
1627	9	Rond	LBr + Wt vlekken			Natuurlijk
1628	9	Ovaal	LBr-DBr- RoodBr			Natuurlijk
1629	9	Rond	LBr-DBr			Natuurlijk
1630	9	Rond	LBr-GlBr			Natuurlijk
1631	9	Vierkant	DBr-Gr gevlekt			Paalkuil
1632	9	Rond	DBr-GlBr			Natuurlijk
1633	9	Rond	LBr-GlBr			Paalkuil
1634	9	Rond	GlBr-LBr			Paalkuil
1635	9	Ovaal	DBr-LBr-Gr			Paalkuil
1636	9	Vierkant	LBr-Gr			Natuurlijk
1637	9	Rond	LBr			Paalkuil
1638	9	Vierkant	DBr-Gr gevlekt			Natuurlijk
1639	9	Ovaal	DBr-LBr-Gr			Paalkuil
1640	9	Ovaal	LBr-Gr			Natuurlijk
1641	9	Rechthoekig	DBr-Gr gevlekt		Recent	Kuil
1642	9	Rond	LBr			Paalkuil
1643	9	Rond	LBr			Natuurlijk
1644	9	Ovaal	DBr		Recent	Kuil
1645	9	Rond	DBr-Zw			Paalkuil
1646	9	Rond	LBr-Or-Br			Natuurlijk
1647	9	Ovaal	LBr			Natuurlijk
1648	9	Vierkant	DBr		Recent	Paalkuil
1649	9	Onregelmatig	DBr-LBr		Recent	Kuil
1650	9	Onregelmatig	DBr-LBr-Or		Recent	Kuil
1651	9	Ovaal	DBr-Or		Recent	Kuil
1652	9	Ovaal	DBr-Or-Gr		Recent	Kuil
1653	9	Rechthoekig	DBr-Gr -Gl		Recent	Kuil

1654	9	Vierkant	Br			Onbepaald
1655	9	Ovaal	Br-Gl-Gr		Centr:Gr	Onbepaald
1656	9	Rechthoekig	DBr-Gl + Or vlekken			Paalkuil
1657	9	Rechthoekig	DBr			paalkuil
1658	9	Rond	DBr-LBr-Gl-Or		Recent	Kuil
1659	9	Vierkant	Br-LBr-Or			Natuurlijk
1660	9	Langwerpig	Br		Vervolg sp 1561	Greppel
1661	9	Vierkant	DBr		Recent	Paalkuil
1662	9	Ovaal	DBr-LBr		Recent	Paalkuil
1663	9	Ovaal	DBr		Recent	Paalkuil
1664	9	Ovaal	DBr		Recent	Paalkuil
1665	9	Rond	DBr		Recent	Paalkuil
1666	9	Rond	DBr		Recent	Paalkuil
1667	9	Ovaal	LBr-Or			Paalkuil
1668	9	Rond	LBr			Paalkuil
1669	9	Rond	LBr			Natuurlijk
1670	9	Rond	LBr			Natuurlijk
1671	9	Rond	LBr			Paalkuil
1672	9	Rond	LBr + DBr vlekken			Paalkuil
1673	9	Vierkant	DBr		Recent	Paalkuil
1674	9	Ovaal	LBr-DBr		Recent	Paalkuil
1675	9	Vierkant	DBr-LBr (buiten)		Recent	Paalkuil
1676	9	Ovaal	DBr-Gr		Recent	Paalkuil
1677	9	Onregelmatig	Br+DBr vlekken)			Paalkuil
1678	9	Rond	Gl-Gr-DBr			Paalkuil
1679	9	Ovaal	DBr			Paalkuil
1680	9	Ovaal	DBr-Gr		Recent	Kuil
1681	9	Rechthoekig	Gl-Br			Natuurlijk
1682	9	Rond	LBr			Natuurlijk
1683	9	Rond	LBr-Gr-Gl			Paalkuil
1684	9	Rond	DBr + Gl vlekken			Paalkuil
1685	9	Rond	Br-Gl			Paalkuil
1686	9	Rond	LBr			Natuurlijk
1687	9	Ovaal	LBr			Natuurlijk
1688	9	Ovaal	LBr-Gl-DBr			Natuurlijk
1689	9	Ovaal	LBr-DBr vlekken			Natuurlijk
1690	9	Rond	LBr			Natuurlijk
1691	9	Ovaal	LBr-Gl			Natuurlijk
1692	9	Ovaal	LBr-Gl		Hetzelfde als S2002	Natuurlijk
1693	9	Rond	LBr-Gl			Paalkuil
1694	9	Ovaal	LBr-Gl-Gr			Kuil

1695	9	Ovaal	LBr-Gl			Paalkuil
1696	9	Langwerpig	LBr			Natuurlijk
1697	9	Ovaal	LBr			Natuurlijk
1698	9	Rechthoekig	DBr-Zw		Recent	Kuil
1699	9	Rond	LBr			Natuurlijk
1700	9	Onregelmatig	DBr		Recent	Paalkuil
1701	9	Onregelmatig	DBr		Recent	Kuil
1702	9	Vierkant	DBr		Recent	Paalkuil
1703	9	Rond	LBr-Gl			Natuurlijk
1704	9	Vierkant	DBr		Recent	Paalkuil
1705	9	Vierkant	DBr		Recent	Paalkuil
1706	9	Rond	DBr		Recent	Paalkuil
1707	9	Rond	LBr-Gl			Paalkuil
1708	9	Rond	Gl_DBr-Zw			Paalkuil
1709	9	Rond	LBr-Gl + DBr vlekken			Natuurlijk
1710	9	Rond	LBr-Gl + DBr vlekken			Natuurlijk
1711	9	Rond	LBr-Gl			Paalkuil
1712	9	Rond	LBr-Gl + zw vlekken			Paalkuil
1713	9	Rond	LBr			Natuurlijk
1714	9	Rechthoekig	LBr			Paalkuil
1715	9	Rond	LBr-Gl			Natuurlijk
1716	9	Rond	LBr-Gl			Paalkuil
1717	9	Ovaal	LBr + DBr vlekken			Kuil
1718	9	Ovaal	LBr + Gl vlekken			Paalkuil
1719	9	Ovaal	LBr-Or			Paalkuil
1720	9	Ovaal	LBr-Gl			Natuurlijk
1721	9	Rond	LBr-Gl-Gr			Paalkuil
1722	9	Rond	Gr-Gl			Natuurlijk
1723	9	Onregelmatig	LBr-Gl			Natuurlijk
1724	9	Rond	DBr-Gr			Natuurlijk
1725	9	Vierkant	DBr-Br		Recent	Paalkuil
1726	9	Vierkant	DBr-Br		Recent	Paalkuil
1727	9	Vierkant	DBr		Recent	Paalkuil
1728	9	Ovaal	LBr-Gl			Paalkuil
1729	9	Ovaal	LBr-Gl			Paalkuil
1730	9	Rond	LBr-Gl			Natuurlijk
1731	9	Rond	LBr		Donkere vlekken	Natuurlijk
1732	9	Rond	LBr		Donkere vlekken	Natuurlijk
1733	9	Ovaal	LBr			Natuurlijk
1734	9	Rond	LBr-Or			Natuurlijk
1735	9	Rond	LBr-Or			Natuurlijk

1736	9	Ovaal	LBr-Dbr-Or			Natuurlijk
1737	9	Ovaal	LBr-Or		Deels in profiel	Natuurlijk
1738	9	Rond	LBr-Gl			Natuurlijk
1739	9	Rechthoekig	Lbr-Gl			Natuurlijk
1740	9	Onregelmatig tot ovaal	LBr-Gl			Natuurlijk
1741	9	Rond	LBr-Gl-DBr			Natuurlijk
1742	9	Ovaal	LBr-Gl			Natuurlijk
1743	9	Vierkant	DBr		Recent	Paalkuil
1744	9	Rond	LBr			Paalkuil
1745	9	Rond	Br-Gl			Natuurlijk
1746	9	Ovaal	Br-Gl			Natuurlijk
1747	9	Rond	Br-Gl			Natuurlijk
1748	9	Rond	Br-Gl			Natuurlijk
1749	9	Rond	LBr-Gl			Natuurlijk
1750	9	Rond	LBr-Gl			Natuurlijk
1751	9	Rond	LBr-DBr			Natuurlijk
1752	9	Rond	LBr-Gl			Natuurlijk
1753	9	Rond	LBr-Oranje			Natuurlijk
1754	9	Rond	LBr-Gl-DBr			Natuurlijk
1755	9	Rond	DBr-Gl-Gr			Natuurlijk
1756	9	Rond	DBr-Gl			Natuurlijk
1757	9	Rond	DBr-Gl	HK		Natuurlijk
1758	9	Ovaal	DBr-Gl			Natuurlijk
1759	10	Rond	DBr			Natuurlijk
1760	10	Vierkant	DBr			Natuurlijk
1761	10	Vierkant	DBr			Natuurlijk
1762	10	Rond	LBr			Kuil
1763	10	Rond	LBr-Gl			Natuurlijk
1764	10	Rond	Gl-Br		Structuur H2	Paalkuil
1765	10	Ovaal	LBr-Gl		Structuur H2	Paalkuil
1766	10	Ovaal	LBr-Gl+ Dbr vlekken		Structuur H2	Paalkuil
1767	10	Rond	DBr-Gl			Natuurlijk
1768	10	Ovaal	Gl-Oranje-Br			Natuurlijk
1769	10	Rond	Gl+ zw vlekken			Natuurlijk
1770	10	Onregelmatig	Dbr-Zw		Recente verstoring	Kuil
1771	10	Rond	LBr-Gl			Natuurlijk
1772	10	Rond	LBr-Gl			Natuurlijk
1773	10	Rond	LBr-Gl		Structuur H2	Paalkuil
1774	10	Ovaal	Lbr-Dbr + Zw vlekken		Structuur H2	Paalkuil
1775	10	Rond	Dbr			Paalkuil
1776	10	Vierkant	DBr			Natuurlijk
1777	10	Onregelmatig	Dbr-Gl-Or		Recent	Kuil

1778	10	Ovaal	LBr-Dbr			Natuurlijk
1779	10	Ovaal	LBr-GI-DBr		Structuur H2	Paalkuil
1780	10	Ovaal	LBr-GI		Structuur H2	Paalkuil
1781	10	Rond	GI-Dbr vlekken			Natuurlijk
1782	10	Ovaal	LBr-GI		Structuur H2	Paalkuil
1783	10	Rond	LBr-GI			Natuurlijk
1784	10	Rond	LBr-GI		Structuur H2	Paalkuil
1785	10	Langwerpig	LBr-GI		Structuur H2	Paalkuil
1786	10	Langwerpig	DBr		Recent, coupe vooronderzoek	Kuil
1787	10	Ovaal	LBr			Kuil
1788	10	Ovaal	GI-Gr			Natuurlijk
1789	10	Onregelmatig	LBr-DBr-GI		Recent	Kuil
1790	10	Ovaal	LBr-DBr-Zw		Recent	Kuil
1791	10	Ovaal	RoestBr-DBr-GI			Natuurlijk
1792	10	Rond	LBr-GI			Natuurlijk
1793	10	Vierkant	Br			Natuurlijk
1794	10	Rond	LBr-Br	Cer		Paalkuil
1795	10	Ovaal	LBr-Br	Cer		Natuurlijk
1796	10	Ovaal	Br			Natuurlijk
1797	10	Ovaal	LBr		Structuur H2	Paalkuil
1798	10	Rond	LBr		Structuur H2	Paalkuil
1799	10	Ovaal	LBr-Br			Natuurlijk
1800	10	Rond	LBr		Roestig	Natuurlijk
1801	10	Rond	LBr-Br			Natuurlijk
1802	10	Ovaal	Br-LBr			Natuurlijk
1803	10	Rond	Br-LBr	VL, HK	Structuur H2	Paalkuil
1804	10	Rond	Br-Wt gevlekt			Natuurlijk
1805	10	Ovaal	LBr			Onbepaald
1806	10	Langwerpig	LBr		Structuur H2	Paalkuil
1807	10	Vierkant	DBr-Zw LBr-GI		Recent	Kuil
1808	10	Ovaal	LBr-Or-GI- Zw vlekken			Natuurlijk
1809	10	Rond	LBr-GI			Natuurlijk
1810	10	Rond	LBr-Oranje			Natuurlijk
1811	10	Vierkant	LBr-DBr-GI			Natuurlijk
1812	10	Ovaal	LBr + donkere vlekken			Natuurlijk
1813	10	Rond	LBr + DGr vlekken			Natuurlijk
1814	10	Ovaal	LBr			Natuurlijk
1815	10	Rond	LBr			Paalkuil
1816	10	Rond	LBr			Paalkuil
1817	10	Rond	LBr			Paalkuil

1818	10	Rond	LBr			Natuurlijk
1819	10	Rond	LBr			Paalkuil
1820	10	Rond	LBr			Natuurlijk
1821	10	Rond	LBr-Br			Paalkuil
1822	10	Rond	LBr-Br			Natuurlijk
1823	10	Rond	LBr-Br			Paalkuil
1824	10	Ovaal	LBr-Br	VL, HK		Paalkuil
1825	10	Rond	LBr			Natuurlijk
1826	10	Rond	LBr	HK		Natuurlijk
1827	10	Ovaal	LBr			Paalkuil
1828	10	Ovaal	LBr			Paalkuil
1829	10	Rond	LBr-Br			Paalkuil
1830	10	Rond	LGr			Natuurlijk
1831	10	Ovaal	LBr-LGr	HK	Structuur H1	Paalkuil
1832	10	Rond	LBr-LGr		Structuur H1	Paalkuil
1833	10	Ovaal	LBr-LGr		Structuur H1	Paalkuil
1834	10	Ovaal	LBr-LGr			Natuurlijk
1835	10	Ovaal	LBr-LGr		Structuur H1	Paalkuil
1836	10	Rond	LBr-LGr		Structuur H1	Paalkuil
1837	10	Onregelmatig	LBr-LGr	HK	Structuur H1	Paalkuil
1838	10	Rechthoekig	Br-Gl gevlekt			Natuurlijk
1839	10	Ovaal	LBr-Br		Structuur H1	Paalkuil
1840	10	ovaal	LBr-Br			Natuurlijk
1841	10	Ovaal	Br gevlekt		Structuur H1	Paalkuil
1842	10	Ovaal	LBr		Structuur H1	Paalkuil
1843	10	Ovaal	LBr-br		Structuur H1	Paalkuil
1844	10	Langwerpig	LGr		Structuur H1	Paalkuil
1845	10	Rechthoekig	LBr-Br + Gl gevlekt			Kuil
1846	10	Langwerpig	Br	HK	Roestig	Greppel
1847	10	Ovaal	LGr			Paalkuil
1848	10	Rond	Br-Gr	HK		Kuil
1849	10	Rond	LBr gevlekt			Natuurlijk
1850	10	Rond	LBr gevlekt		Structuur B3	Paalkuil
1851	10	Ovaal	LBr		Structuur B3	Paalkuil
1852	10	Rond	LBr		Structuur B3	Paalkuil
1853	10	Ovaal	LBr		Structuur B3	Paalkuil
1854	10	Ovaal	LBr	HK		Kuil
1855	10	Rechthoekig	Br-Gr	HK, VL, BS		Kuil
1856	10	Rond	LBr			Paalkuil
1857	10	Rond	LBr			Paalkuil
1858	10	Ovaal	LBr			Onbepaald
1859	10	Ovaal	LBr-Br			Natuurlijk
1860	10	Ovaal	LBr-Br			Natuurlijk
1861	10	Ovaal	LBr-Br			Natuurlijk

1862	10	Ovaal	LBr-Br			Natuurlijk
1863	10	Ovaal	LBr-Br			Natuurlijk
1864	10	Rond	LBr			Natuurlijk
1865	10	Rond	LBr			Natuurlijk
1866	10	Rond	LBr			Natuurlijk
1867	10	Ovaal	LGr			Natuurlijk
1868	10	Rond	LBr			Natuurlijk
1869	10	Ovaal	LBr			Natuurlijk
1870	10	Onregelmatig	Br-Gl gevlekt			Natuurlijk
1871	10	Ovaal	LBr-Br			Natuurlijk
1872	10	Rond	LBr			Natuurlijk
1873	10		LBr			Natuurlijk
1874	10	Ovaal	LBr			Natuurlijk
1875	10	Ovaal	LBr			Natuurlijk
1876	10	Rond	LBr-Br			Paalkuil
1877	10	Rond	LBr			Paalkuil
1878	10	Rond	LBr			Natuurlijk
1879	10	Rond	LBr	HK		Natuurlijk
1880	10	Rechthoekig	Br-Gr			Onbepaald
1881	10	Ovaal	LBr-Gr			Natuurlijk
1882	10	Ovaal	LBr-Gr			Natuurlijk
1883	10	Ovaal	LBr			Natuurlijk
1884	10	Ovaal	LBr			Paalkuil
1885	10	Ovaal	LBr-LGr			Natuurlijk
1886	10	Ovaal	LBr-Br			Natuurlijk
1887	10	Ovaal	LBr-Br			Natuurlijk
1888	10	Rond	LBr-Br		Structuur H2	Paalkuil
1889	10	Rond	LBr			Natuurlijk
1890	10	Ovaal	LBr			Natuurlijk
1891	10	Ovaal	LBr			Natuurlijk
1892	10	Ovaal	Br			Natuurlijk
1893	10	Ovaal	LGr-LBr			Natuurlijk
1894	10	Rond	LBr			Natuurlijk
1895	10	Rond	LBr-Br			Natuurlijk
1896	10	Rond	LBr			Natuurlijk
1897	10	Rond	LBr-Br			Paalkuil
1898	10	Rond	LBr			Paalkuil
1899	10	Rond	LBr			Paalkuil
1900	10	Rond	LBr			Natuurlijk
1901	10	Rond	LBr			Paalkuil
1902	10	Ovaal	LBr			Paalkuil
1903	10	Rond	LBr			Paalkuil
1904	10	Rond	LBr			Paalkuil

1905	10	Rond	LBr			Paalkuil
1906	10	Rond	LBr			Paalkuil
1907	10	Rond	LBr-Br			Paalkuil
1908	10	Onregelmatig	Gr-Or-DGr			Natuurlijk
1909	10	Rond	LBr			Paalkuil
1910	10	Rond	LBr			Onbepaald
1911	10	Rond	LBr			Paalkuil
1912	10	Onregelmatig	LGr			Natuurlijk
1913	10	Rond	LGr			Natuurlijk
1914	9	Rond	LGr			Natuurlijk
1915	10	Onregelmatig	LBr-Br			Natuurlijk
1916	10	Ovaal	LBr-Gr			Kuil
1917	10	Ovaal	Br-Gr			Kuil
1918	10	Rond	LBr			Paalkuil
1919	10	Onregelmatig	LBr			Natuurlijk
1920	10	Rond	LBr-Gr			Paalkuil
1921	10	Rond	LBr			Natuurlijk
1922	10	Ovaal	LBr			Natuurlijk
1923	10	Rond	LBr + grijze vlekken			Natuurlijk
1924	10	Rond	LBr			Natuurlijk
1925	10	Onregelmatig	LBr-Gr			Natuurlijk
1926	10	Onregelmatig	LBr-Br-Zw			Natuurlijk
1927	10	Rond	LBr-Br-Ro gevekt			Kuil
1928	10	Rond	LBr			Kuil
1929	10	Rond	LBr		Roestig	Natuurlijk
1930	10	Rond	LBr		Roestig	Natuurlijk
1931	10	Ovaal	LBr		Roestig	Natuurlijk
1932	10	Rond	LBr-Gr			Natuurlijk
1933	10	Rond	LBr			Natuurlijk
1934	10	Rond	LBr			Paalkuil
1935	10	Rond	LBr			Natuurlijk
1936	10	Rond	LBr			Natuurlijk
1937	10	Rond	LBr			Onbepaald
1938	10	Ovaal	LBr			Kuil
1939	10	Rond	LBr-Br			Natuurlijk
1940	10	Rond	LBr-Br			Natuurlijk
1941	10	Rond	LBr			Paalkuil
1942	10	Rond	LBr		Roestig	Paalkuil
1943	10	Rond	LBr		Roestig	Natuurlijk
1944	10	Onregelmatig	LBr			Paalkuil
1945	10	Rond	LBr			Paalkuil
1946	10	Rond	LBr		Roestig	Paalkuil
1947	10	Ovaal	LBr			Natuurlijk

1948	10	Ovaal	LBr			Paalkuil
1949	10	Rond	LBr			Paalkuil
1950	10	Rond	LBr		Roestig	Paalkuil
1951	10	Rond	LBr			Paalkuil
1952	10	Rond	LBr			Natuurlijk
1953	10	Rond	LBr			Natuurlijk
1954	10	Rond	LBr			Natuurlijk
1955	10	Rond	LBr			Natuurlijk
1956	10	Rond	LBr			Natuurlijk
1957	10	Rond	LBr-Gr			Natuurlijk
1958	10	Rond	LBr			Natuurlijk
1959	10	Rond	LBR			Natuurlijk
1960	10	Rond	LBr			Natuurlijk
1961	10	Rond	LBr			Natuurlijk
1962	10	Onregelmatig	LBr			Natuurlijk
1963	10	Rond	LBr			Natuurlijk
1964	10	Rond	LBr			Natuurlijk
1965	10	Rond	LBr			Natuurlijk
1966	10	Rond	LBr			Paalkuil
1967	10	Rond	LBr			Natuurlijk
1968	10	Rond	LBr			Natuurlijk
1969	10	Rond	LBr-Gr			Natuurlijk
1970	10	Rond	LBr			Natuurlijk
1971	10	Rechthoekig				Paalkuil
1972	10	Rechthoekig Onregelmatig				Natuurlijk
1973	10	Ovaal	DBr-Br gevlekt			Natuurlijk
1974	10	Rond	Br-DBr			Natuurlijk
1975	9	Rond	LBr			Natuurlijk
1976	11	Rond	Br-Gr			Paalkuil
1977	11	Rond	Br-Gr			Natuurlijk
1978	11	Ovaal	Br-Gr- Zw vlekken			Paalkuil
1979	11	Ovaal	Br-Gr gevlekt			Paalkuil
1980	11	Rond	DBr-Gr			Paalkuil
1981	11	Rond	Gr gevlekt	HK spikkels		Natuurlijk
1982	11	Ovaal	LGr			Natuurlijk
1983	11	Vierkant	DBr-Gr			Natuurlijk
1984	11	Langwerpig	DBr			Natuurlijk
1985	11	Rond	LBr-Gr gevlekt			Paalkuil
1986	11	Rond	Br-Gr			Paalkuil
1987	11	Rond	Gr gevlekt			Natuurlijk
1988	11	Rond	Gr gevlekt			Natuurlijk
1989	11	Ovaal	DGr			Kuil

1990	11	Ovaal	Gr		Doorsnede door sp 1989	Kuil
1991	11	Rond	Gr-Br gevlekt			Natuurlijk
1992	11	Ovaal	Br gevlekt			Natuurlijk
1993	11	Rond	DBr			Natuurlijk
1994	11	Vierkant	Br gevlekt		Recent	Paalkuil
1995	11	Onregelmatig	LBr			Kuil
1996	11	Ovaal	DBr			Natuurlijk
1997	11	Langwerpig	Gr			Kuil
1998	11	Rechthoekig	Gr-DBr		Recent	Paalkuil
1999	11	Rechthoekig	DBr		Recent	Paalkuil
2000	11	Rond	LBr			Paalkuil
2001	11	Ovaal	LBr gevlekt			Paalkuil
2002	11				Is hetzelfde als S1692	Natuurlijk
2003	11	Rond	LBr gevlekt			Natuurlijk
2004	11	Rechthoekig	DBr		Recent	Paalkuil
2005	11	Vierkant	DBr gevlekt		Recent	Paalkuil
2006	11	Rond	DBr		Recent	Paalkuil
2007	11	Rond	LGr			Onbepaald
2008	11	Rechthoekig	DBr-Gr		Recent	Paalkuil
2009	11	Rechthoekig	DBr		Recent	Paalkuil
2010	11	Rechthoekig	DBr		Recent	Onbepaald
2011	11	Rechthoekig	Gr-DBr		Recent	Paalkuil
2012	11	Vierkant	Gr-DBr		Recent	Paalkuil
2013	11	Vierkant	Gr-DBr		Recent	Paalkuil
2014	11	Rechthoekig	DBr-Gr		Recent	Paalkuil
2015	11	Rechthoekig	DBr-Gr		Recent	Paalkuil
2016	11	Vierkant	DBr		Recent	Paalkuil
2017	11	Vierkant	DBr		Recent	Paalkuil
2018	11	Rechthoekig	Gr-Br gevlekt		Recent	Paalkuil
2019	11	Vierkant	LBr gevlekt		Recent	Paalkuil
2020	11	Ovaal	LBr gevlekt			Natuurlijk
2021	11	Ovaal	LBr			Natuurlijk
2022	11	Ovaal	LBr			Natuurlijk
2023	11	Ovaal	LBr		Roestig	Paalkuil
2024	11	Rond	LBr		Recent	Paalkuil
2025	11	Rond	Br-Gr			Natuurlijk
2026	11	Rechthoekig	DBr gevlekt		Recent	Paalkuil
2027	11	Rond	LBr		Roestig	Natuurlijk
2028	11	Langwerpig	Br		Roestig	Greppel
2029	11	Vierkant	Br-DBr-Gl gevekt		Recent	Paalkuil
2030	11	Rond	Br-DBr-Gl gevekt		Recent	Paalkuil

2031	11	Vierkant	Br-DBr-GI gevekt		Recent	Paalkuil
2032	11	Rechthoekig	Br-DBr gevekt		Recent	Paalkuil
2033	11	Rechthoekig	Br-DBr gevekt		Recent	Paalkuil
2034	11	Rechthoekig	Br-DBr gevekt		Recent	Paalkuil
2035	11	Ovaal	Br-DBr gevekt		Recent	Paalkuil
2036	11	Rechthoekig	Br-DBr gevekt		Recent	Paalkuil
2037	11	Ovaal	LBr			Paalkuil
2038	11	Ovaal	LBr			Natuurlijk
2039	11	Rond	LBr		Recent	Paalkuil
2040	11	Rond	DBr		Recent	Paalkuil
2041	11	Ovaal	DBr		Recent	Paalkuil
2042	11	Rond	DBr		Recent	Paalkuil
2043	11	Onregelmatig	LBr			Natuurlijk
2044	11	Rechthoekig	DBr-Br		Recent	Paalkuil
2045	11	Rond	LBr-Br			Natuurlijk
2046	11	Rond	DGr-Gr gevekt	HK, VL, BS		Paalkuil
2047	11	Onregelmatig	Gr-LGr gevekt	Cer		Natuurlijk
2048	11	Rond-Ovaal	LGr-LBr			Natuurlijk
2049	11	Ovaal	LGr-Gr			Onbepaald
2050	11	Rechthoekig	Br-DBr-GI gevekt		Recent	Paalkuil
2051	11	Onregelmatig	LBr-GI gevekt		Recent	Kuil
2052	11	Rond	Br		Recent	Paalkuil
2053	11	Ovaal	Br		Roestig	Natuurlijk
2054	11	Ovaal	Br		Roestig	Onbepaald
2055	11		LBr-DBr-Zw gevekt	HK, keitjes	Recent	Kuil
2056	11	Vierkant	DBr gevekt		Recent	Paalkuil
2057	11	S-vormig	LBr-DBr gevekt		Recent	Paalkuil
2058	11	Vierkant	DBr gevekt		Recent	Paalkuil
2059	11	Vierkant	Br-DBr gevekt		Recent	Paalkuil
2060	11	Rond	LBr			Natuurlijk
2061	11	Rond	LBr			Natuurlijk
2062	11	Vierkant	DBr-Gr		Recent	Paalkuil
2063	11	Ovaal	LBr			Onbepaald
2064	11	Rechthoekig	Br-Gr		Recent	Paalkuil
2065	11	Vierkant	Br-DBr gevekt		Recent	Paalkuil
2066	11	Rond	LBr			Natuurlijk
2067	11	Ovaal	Gr-Br gevekt		Recent	Paalkuil
2068	11	Rond	LBr			Natuurlijk
2069	11	Ovaal	Gr-LBr gevekt		Roestig	Natuurlijk
2070	11	Ovaal	Br-DBr gevekt			Natuurlijk
2071	11	Vierkant	Br-Gr		Recent	Paalkuil
2072	11	Ovaal	DGr		Recent	Paalkuil

2073	11	Vierkant	DBr-Gr gevlekt		Recent	Paalkuil
2074	11	Vierkant	Dgr-DBr gevlekt		Recent	Paalkuil
2075	11	Vierkant	DGr		Recent	Paalkuil
2076	11	Rond	Gr	HK spikkels		Natuurlijk
2077	11	Ovaal	Gr	HK spikkels		Natuurlijk
2078	11	Ovaal	DBr-Gr	HK spikkels		Kuil
2079	11	Rond	Gr			Natuurlijk
2080	11	Vierkant	LBr			Natuurlijk
2081	11	Ovaal	Gr-LBr gevlekt	HK spikkels		Natuurlijk
2082	11	Vierkant	DGr		Recent	Paalkuil
2083	11	Rond	DBr		Recent	Paalkuil
2084	11	Vierkant	DBr		Recent	Paalkuil
2085	11	Ovaal	DBr			Natuurlijk
2086	11	Rond	Gr-DBr		Recent	Paalkuil
2087	11	Rond	DGr		Recent	Paalkuil
2088	11	Vierkant	DBr gevlekt		Recent	Paalkuil
2089	11	Vierkant	DBr-DGr		Recent	Paalkuil
2090	11	Vierkant	DBr-Gr		Recent	Paalkuil
2091	11	Vierkant	Br-DBr gevlekt		Recent	Paalkuil
2092	11	Rechthoekig	DBr		Recent	Paalkuil
2093	11	Rechthoekig	DBr-Gr gevlekt		Recent	Paalkuil
2094	11	Vierkant	DGr gevlekt		Recent	Paalkuil
2095	11	Rond	DBr-DGr gevlekt		Recent	Paalkuil
2096	11	Vierkant	DBr-DGr		Recent	Paalkuil
2097	11	Vierkant	DGr gevlekt		Recent	Paalkuil
2098	11	Vierkant	Dgr-DBr		Recent	Paalkuil
2099	11	Rechthoekig	DBr-Gr		Recent	Paalkuil
2100	11	Vierkant	DBr-Gr		Recent	Paalkuil
2101	11	Langwerpig	Gr-DBr		Recent	Paalkuil
2102	11	Vierkant	Gr-DBr		Recent	Paalkuil
2103	11	Vierkant	DBr-DGr		Recent	Paalkuil
2104	11		Gr-DBr gevlekt		Recent	Paalkuil
2105	11	Rond	LBr gevlekt			Paalkuil
2106	11	Rond	DBr		Recent	Paalkuil
2107	11	Rond	DBr		Recent	Paalkuil
2108	11	Rond	Gr			Natuurlijk
2109	11	Ovaal	LBr			Natuurlijk
2110	11	Ovaal	DBr-DGr gevlekt		Recent	Kuil
2111	11	Vierkant	DBr gevlekt		Recent	Paalkuil
2112	11	Rechthoekig	LBr gevlekt		Recent	Paalkuil

2113	11	Vierkant	Br-DBr gevlekt		Recent	Paalkuil
2114	11	Vierkant	DBr		Recent	Paalkuil
2115	11	Rechthoekig	DBr-Gr gevlekt		Recent	Paalkuil
2116	11	Rechthoekig	Br-DBr gevlekt			Natuurlijk
2117	11	Rechthoekig	DBr		Recent	Paalkuil
2118	11	Rond	LBr		Recent	Paalkuil
2119	11	Rond	DBr gevlekt		Recent	Paalkuil
2120	11	Ovaal	LBr gevlekt			Natuurlijk
2121	11	Rechthoekig	Dgr-DBr gevlekt		Recent	Paalkuil
2122	11	Rechthoekig	Br-DBr gevlekt		Recent	Paalkuil
2123	11	Rechthoekig	Br-DBr gevlekt		Recent	Paalkuil
2124	11	Rechthoekig	Br-DBr gevlekt		Recent	Paalkuil
2125	11	Ovaal	LBr			Natuurlijk
2126	11	Rond	Br-Gr			Paalkuil
2127	11	Ovaal	Gr			Paalkuil
2128	11	Ovaal	Br-Gr			Paalkuil
2129	11	Rond	LBr-DBr			Paalkuil
2130	11	Ovaal	Br-Gr			Natuurlijk
2131	11	Ovaal	Br-Gr gevlekt			Paalkuil
2132	11	Rond	LBr-Gr			Natuurlijk
2133	11	Rond	Gr-LBr gevlekt			Paalkuil
2134	11	Ovaal	LBr-Gr gevlekt			Natuurlijk
2135	11	Rond	Gr-Br gevlekt			Natuurlijk
2136	11	Rond	Gr-LBr gevlekt			Natuurlijk
2137	11	Ovaal	LBr			Natuurlijk
2138	9	Ovaal	LGr			Natuurlijk
2139	9	Rond	LBr			Onbepaald
2140	9	Rond	LBr			Natuurlijk
2141	9	Rond	LBr		Roestig. Structuur B8.	Paalkuil
2142	9	Rond	LBr gevlekt		Structuur B8.	Paalkuil
2143	9	Rond	LBr		Structuur B8.	Paalkuil
2144	9	Rond	LBr gevlekt			Natuurlijk
2145	9	Rond	LBr		Roestig. Structuur B8.	Paalkuil
2146	9	Rond	LBr		Roestig	Paalkuil
2147	9	Langwerpig	LBr gevlekt		Roestig	Kuil
2148	9	Ovaal	LBr-Br		Roestig	Paalkuil
2149	9	Rond	LBr			Paalkuil
2150	9	Ovaal	LBr		Roestig	Natuurlijk
2151	9	Rond	LBr			Natuurlijk
2152	9	Ovaal	LBr		Roestig	Natuurlijk
2153	9	Rond	LBr			Natuurlijk
2154	9	Ovaal	LBr-Gr			Natuurlijk
2155	9	Rond	Gr			Natuurlijk
2156	9	Ovaal	Br	HK		Kuil

				spikkels		
2157	9	Onregelmatig	Gr-LBr gevlekt		Doorsneden door recente versterking	Kuil
2158	9	Rechthoekig	LBr			Onbepaald
2159	9	Rond	Gr-LBr gevlekt			Natuurlijk
2160	9	Rond	Gr-LBr gevlekt			Paalkuil
2161	9	Rond	Gr-LBr gevlekt			Paalkuil
2162	9	Langwerpig	LBr		Recent	Kuil
2163	9	Rond	Br			Paalkuil
2164	9	Rechthoekig	LBr			Onbepaald
2165	9	Rond	DBr			Natuurlijk
2166	9	Ovaal	LBr-Gr	HK spikkels		Natuurlijk
2167	9	Ovaal	LBr	HK spikkels		Natuurlijk
2168	9	Rond	LBr	HK spikkels		Natuurlijk
2169	9	Ovaal	LBr	HK spikkels		Natuurlijk
2170	9	Rond	LBr			Natuurlijk
2171	9	Rond	LBr			Onbepaald
2172	9	Rond	LBr-Gr			Natuurlijk
2173	9	Rond	LBr-Gr			Natuurlijk
2174	9	Rond	LBr			Paalkuil
2175	9	Ovaal	DBr vlekken			Natuurlijk
2176	9	Ovaal	DGr gevlekt			Paalkuil
2177	9	Rond	LBr			Natuurlijk
2178	9	Rond	Gr			Natuurlijk
2179	9	Ovaal	LBr			Natuurlijk
2180	9	Rond	LBr gevlekt			Natuurlijk
2181	11	Rond	LBr-Br-Gr	Cer		Paalkuil
2182	8	trapezium	Br		Structuur H7. Tijdens uitwerking herkend.	Paalkuil
2183	3	vierkant	GrBr		Mogelijk structuur H3. Tijdens uitwerking herkend.	Paalkuil
2184	7	driehoekig	Br		Mogelijk structuur H3. Tijdens uitwerking herkend.	Paalkuil
2185	3	rechthoekig	Br		Mogelijk structuur H3. Tijdens uitwerking herkend.	Paalkuil
2186	3	rechthoekig	Br		Mogelijk structuur H4. Tijdens uitwerking herkend.	Paalkuil
2187	3	rechthoekig	Br		Structuur H4. Tijdens uitwerking herkend.	Paalkuil
2188	3	rechthoekig	GrBr		Structuur H4. Tijdens uitwerking herkend.	Standgreppel
2189	2	rechthoekig	GrBr		Structuur H1. Tijdens uitwerking herkend.	Paalkuil
2190	2	rechthoekig	GrBr		Structuur H1. Tijdens uitwerking herkend.	Paalkuil
2191	2	driehoekig	Br		Structuur H8. Tijdens uitwerking herkend.	Paalkuil

2192	2	driehoekig	Br		Structuur H8. Tijdens uitwerking herkend.	Paalkuil
2193	7	rechthoekig	LBr		Structuur H3. Aangetroffen tijdens proefsleufonderzoek. Niet teruggevonden bij definitieve opgraving.	Paalkuil
2194	5	onregelmatig	Br		Structuur B2. Tijdens uitwerking herkend. Ligt tegen S869. Oversnijding met dit spoor is niet te zien.	Paalkuil

Afkortingen:

L- licht
 D- donker
 Br bruin
 Ge geel
 Go groen
 Gr grijs
 Or oranje
 Wt wit
 Zw zwart

BS baksteen
 Cer ceramiek
 HK houtskool
 VL verbrande leem

Bijlage 2 Vondsteninventaris

Vondstnummer	Sp. Nr.	WP	Materiaal	Soort	Aantal	Laag	RF	BF	OF
ME-10-ZE-001	22	1	Aardewerk		1				
ME-10-ZE-002	54	1	Aardewerk		1				
ME-10-ZE-003	54	1	Metaalslak		1				
ME-10-ZE-004	80	1	Aardewerk		1				
ME-10-ZE-005	93	1	Metaal (gewichtje)		1				
ME-10-ZE-006	95	1	Aardewerk		1				
ME-10-ZE-007	169	1	Silex		1				
ME-10-ZE-008	22	1	Aardewerk		4			1	
ME-10-ZE-009	22	1	Aardewerk (pan)		1				
ME-10-ZE-010	35	1	Aardewerk		1				
ME-10-ZE-011	37	1	Aardewerk		1				
ME-10-ZE-012	43	1	Aardewerk		1				
ME-10-ZE-013	45	1	Aardewerk		2				
ME-10-ZE-014	47	1	Verbrande leem		2				
ME-10-ZE-015	48	1	Verbrande leem		1				
ME-10-ZE-016	50	1	Aardewerk		1				
ME-10-ZE-017	53	1	Aardewerk		1				
ME-10-ZE-018	56	1	Aardewerk		1				
ME-10-ZE-019	91	1	Aardewerk		1				
ME-10-ZE-020	106	1	Aardewerk (pan)		2				
ME-10-ZE-022	118	1	Aardewerk		1				
ME-10-ZE-023	151	1	Aardewerk		1				
ME-10-ZE-024	163	1	Aardewerk		1				
ME-10-ZE-025	189	2	Aardewerk		1		1		
ME-10-ZE-026	241	2	Aardewerk		1				
ME-10-ZE-027	274	2	Aardewerk		2				
ME-10-ZE-028	284	2	Aardewerk		1				
ME-10-ZE-029	308	2	Aardewerk		1				
ME-10-ZE-030	309	2	Aardewerk		1			1	
ME-10-ZE-031	342	2	Aardewerk	Handgevormd	2				
ME-10-ZE-032	344	2	Aardewerk		1				
ME-10-ZE-033	366	2	Aardewerk	Handgevormd	2				
ME-10-ZE-034	370	2	Aardewerk		1				
ME-10-ZE-035	412	2	Aardewerk	Handgevormd	1				
ME-10-ZE-036	439	2	Aardewerk		1				
ME-10-ZE-037	482	2	Aardewerk		1				
ME-10-ZE-038	485	2	Aardewerk	Handgevormd	2				
ME-10-ZE-039	484	2	Aardewerk		2				
ME-10-ZE-040	498	2	Aardewerk		1				
ME-10-ZE-041	500	2	Aardewerk		1				
ME-10-ZE-042	506	2	Aardewerk	Handgevormd	1		1		

ME-10-ZE-043	191	2	Glas		1				1
ME-10-ZE-044	191	2	Aardewerk		1				
ME-10-ZE-045	204	2	Aardewerk		1				
ME-10-ZE-046	295	2	Bouwmateriaal	Dakpan	2				
ME-10-ZE-047	307	2	Bouwmateriaal	Verbrande leem	1				
ME-10-ZE-048	336	2	Aardewerk	Romeins	1				
ME-10-ZE-048	336	2	Bouwmateriaal		2				
ME-10-ZE-049	369	2	Aardewerk		1				
ME-10-ZE-050	369	2	Bouwmateriaal		16				
ME-10-ZE-051	370	2	Aardewerk		1				
ME-10-ZE-052	392	2	Bouwmateriaal		1				
ME-10-ZE-053	401	2	Bouwmateriaal		1				
ME-10-ZE-054	432	2	Aardewerk	Handgevormd	1		1		
ME-10-ZE-055	439	2	Aardewerk	Handgevormd	2				
ME-10-ZE-056	505	2	Aardewerk		1		1		
ME-10-ZE-057	690	3	Aardewerk	Gladwandig	1				
ME-10-ZE-058	520	3	Aardewerk		3			1	
ME-10-ZE-059	538	3	Aardewerk		2		1		
ME-10-ZE-060	552	3	Verbrande leem		2				
ME-10-ZE-061	552	3	Aardewerk		6		1		
ME-10-ZE-062	554	3	Aardewerk		2				
ME-10-ZE-063	554	3	Bouwmateriaal		4				
ME-10-ZE-064	554	3	Aardewerk		2				
ME-10-ZE-065	555	3	Verbrande leem		1				
ME-10-ZE-066	556	3	Aardewerk		1				
ME-10-ZE-067	584	3	Aardewerk		1			1	
ME-10-ZE-068	587	3	Aardewerk		2				
ME-10-ZE-069	592	3	Bouwmateriaal		1				
ME-10-ZE-070	592	3	Aardewerk		1				
ME-10-ZE-071	591	3	Aardewerk		24		6	1	
ME-10-ZE-072	597	3	Bouwmateriaal		7				
ME-10-ZE-073	619	3	Glas		1		1		
ME-10-ZE-074	632	3	Aardewerk		3		1		
ME-10-ZE-075	668	3	Aardewerk		1				
ME-10-ZE-076	679	3	Aardewerk		1				
ME-10-ZE-077	690	3	Bouwmateriaal		8				
ME-10-ZE-078	690	3	Aardewerk		8		1		
ME-10-ZE-079	696	3	Aardewerk	Handgevormd	1				
ME-10-ZE-081	618	3	Aardewerk		1		1		
ME-10-ZE-082	700	3	Aardewerk		2				
ME-10-ZE-083	707	3	Aardewerk		2		2		
ME-10-ZE-084	708	3	Aardewerk		1				1
ME-10-ZE-085	710	3	Aardewerk		1		1		
ME-10-ZE-086	714	3	Aardewerk		1		1		

ME-10-ZE-087	579	3	Bouwmateriaal						
ME-10-ZE-088	569	3	Aardewerk		1				
ME-10-ZE-089	649	3	Bouwmateriaal		2				
ME-10-ZE-090	672	3	Aardewerk		2				
ME-10-ZE-091	/	4	Aardewerk		1				
ME-10-ZE-092	/	4	Aardewerk		1				
ME-10-ZE-093	OV 1	4	Aardewerk		1				
ME-10-ZE-094	OV 2	4	Aardewerk		2				
ME-10-ZE-095	OV 3	4	Steen						
ME-10-ZE-096	OV 4	4	Aardewerk		1				
ME-10-ZE-097	OV 5	4	Aardewerk		1				
ME-10-ZE-098	OV 6	4	Aardewerk		1		1		
ME-10-ZE-099	180	1 & 4	Aardewerk		8		4	1	1
ME-10-ZE-100	749	4	Aardewerk		1				
ME-10-ZE-101	180	4	Aardewerk		1		1		
ME-10-ZE-102	736	4	Aardewerk		1				
ME-10-ZE-103	742	4	Aardewerk		1				
ME-10-ZE-104	748	4	Aardewerk		1				
ME-10-ZE-105	763	4	Bouwmateriaal		1				
ME-10-ZE-106	OV 7	5	Aardewerk		1				
ME-10-ZE-107	OV 8	5	Aardewerk		1				
ME-10-ZE-108	OV 9	5	Verbrande leem		1				
ME-10-ZE-109	OV 11	5	Bouwmateriaal		1				
ME-10-ZE-110	OV 13	5	Aardewerk		1				
ME-10-ZE-111	OV 14	5	Verbrande leem		1				
ME-10-ZE-112	OV 15	5	Metaal		1				
ME-10-ZE-113	OV 15	5	Verbrande leem		1				
ME-10-ZE-114	OV 15	5	Aardewerk		1				
ME-10-ZE-115	OV 16	5	Aardewerk		1		1		
ME-10-ZE-116	OV 17	5	Aardewerk		1				
ME-10-ZE-117	OV 18	5	Aardewerk		1		1		
ME-10-ZE-118	OV 19	5	Verbrande leem		2				
ME-10-ZE-119	OV 20	5	Aardewerk		5				
ME-10-ZE-120	OV 21	5	Aardewerk		2				
ME-10-ZE-121	OV 23	5	Aardewerk		1				
ME-10-ZE-122	OV 24	5	Aardewerk		1				
ME-10-ZE-123	OV 25	5	Verbrande leem		3				
ME-10-ZE-124	OV 26	5	Bouwmateriaal		1				
ME-10-ZE-125	OV 27	5	Aardewerk		2		1		
ME-10-ZE-126	OV 28	5	Aardewerk		1				
ME-10-ZE-127	OV 29	5	Metaal		1				
ME-10-ZE-128	OV 30	5	Aardewerk		1				
ME-10-ZE-129	180	5	IJzer		1				
ME-10-ZE-130	180	5	Aardewerk		1				

ME-10-ZE-131	180	5	Bouwmateriaal		1				
ME-10-ZE-132	822	5	Aardewerk		1				
ME-10-ZE-133	823	5	Aardewerk		1				
ME-10-ZE-134	828	5	Aardewerk		1				
ME-10-ZE-135	829	5	Aardewerk		1				
ME-10-ZE-136	833	5	Aardewerk		8				
ME-10-ZE-137	841	5	Aardewerk		1		1		
ME-10-ZE-138	843	5	Aardewerk		3				
ME-10-ZE-139	924	5	Aardewerk		1		1		
ME-10-ZE-140	180	5	Bouwmateriaal		3				
ME-10-ZE-141	180	5	Aardewerk		8		1		
ME-10-ZE-142	180	5	IJzer		1				
ME-10-ZE-143	823	5	Aardewerk		4				
ME-10-ZE-144	823	5	Glas		1				
ME-10-ZE-145	823	5	Brons		1				
ME-10-ZE-146	835	5	Bouwmateriaal		1				
ME-10-ZE-147	835	5	Bot		2				
ME-10-ZE-148	840	5	Bouwmateriaal		4				
ME-10-ZE-149	840	5	Aardewerk		1				1
ME-10-ZE-150	836	5	Bouwmateriaal		1				
ME-10-ZE-151	836	5	Verbrande leem		2				
ME-10-ZE-152	836	5	Aardewerk		2		1		
ME-10-ZE-154	OV 31	6	?		1				
ME-10-ZE-155	OV 32	6	Aardewerk		1				
ME-10-ZE-156	OV 33	6	Bouwmateriaal		1				
ME-10-ZE-157	OV 34	6	Aardewerk		1				
ME-10-ZE-158	OV 35	6	Aardewerk		1				
ME-10-ZE-159	OV 37	6	Verbrande leem		1				
ME-10-ZE-160	OV 38	6	Aardewerk		1				
ME-10-ZE-161	187	2	Aardewerk		2			1	
ME-10-ZE-162	597	6	Bouwmateriaal		2				
ME-10-ZE-163	597	6	Aardewerk		2				
ME-10-ZE-164	935	6	Aardewerk		1				
ME-10-ZE-165	935	6	Bouwmateriaal		1				
ME-10-ZE-166	945	6	Aardewerk		1				
ME-10-ZE-167	946	6	Bouwmateriaal		3				
ME-10-ZE-168	987	6	Aardewerk		1				
ME-10-ZE-169	1042	6	Aardewerk		1		1		
ME-10-ZE-170	1054	6	Aardewerk		4		1		
ME-10-ZE-171	1085	6	Aardewerk		1				
ME-10-ZE-172	1099	6	Aardewerk		1				
ME-10-ZE-173	1104	6	Aardewerk		1		1		
ME-10-ZE-174	1105	6	Aardewerk		5				
ME-10-ZE-175	1107	6	Aardewerk		1				

ME-10-ZE-176	275	6	Bouwmateriaal	8				
ME-10-ZE-177	275	6	Aardewerk	1				
ME-10-ZE-178	295	6	IJzer	1				
ME-10-ZE-179	295	6	Aardewerk	9		3		
ME-10-ZE-180	295	6	Bouwmateriaal	6				
ME-10-ZE-181	295	6	Verbrande leem	2				
ME-10-ZE-182	295	6	Glas	2				
ME-10-ZE-183	295	6	Aardewerk	1				
ME-10-ZE-184	295	6	Glas	1				
ME-10-ZE-185	638	6	Glas	1				
ME-10-ZE-186	638	6	Aardewerk	3		2		1
ME-10-ZE-187	638	6	Bouwmateriaal	3				
ME-10-ZE-188	823	5	Aardewerk	9		1		
ME-10-ZE-189	826	5	Aardewerk	4				
ME-10-ZE-190	948	6	Aardewerk	1				
ME-10-ZE-191	958	6	Bouwmateriaal	1				
ME-10-ZE-192	962	6	Verbrande leem	3				
ME-10-ZE-193	963	6	Aardewerk	7		2		
ME-10-ZE-194	980	6	Aardewerk	1				
ME-10-ZE-195	980	6	Bouwmateriaal	1				
ME-10-ZE-196	999	6	Bouwmateriaal	11				
ME-10-ZE-197	999	6	Aardewerk	1				
ME-10-ZE-198	999	6	Aardewerk	4		1		
ME-10-ZE-199	999	6	Lood	1				
ME-10-ZE-200	999	6	Bouwmateriaal	2				
ME-10-ZE-201	999	6	Aardewerk	2				
ME-10-ZE-202	999	6	Glas	1				
ME-10-ZE-203	999	6	Aardewerk	1				
ME-10-ZE-204	1003	6	Aardewerk	1				
ME-10-ZE-205	1003	6	Verbrande leem	1				
ME-10-ZE-206	1014	6	Aardewerk	1				
ME-10-ZE-207	1016	6	IJzer	1				
ME-10-ZE-208	1016	6	Aardewerk	7		1		
ME-10-ZE-209	1016	6	Bouwmateriaal	5				
ME-10-ZE-210	1016	6	Aardewerk	5				
ME-10-ZE-211	1016	6	Aardewerk	3				
ME-10-ZE-212	1030	6	Aardewerk	1				
ME-10-ZE-213	1036	6	Metaal	1				
ME-10-ZE-214	1036	6	Aardewerk	9		3		
ME-10-ZE-215	1039	6	Aardewerk	1				
ME-10-ZE-216	1042	6	Aardewerk	5		2		
ME-10-ZE-218	1044	6	Glas	1				
ME-10-ZE-219	1044	6	Metaal	2				
ME-10-ZE-220	1044	6	Bot	1				

ME-10-ZE-221	1045	6	Aardewerk		3				
ME-10-ZE-222	1049	6	Metaal		2				
ME-10-ZE-223	1054	6	Aardewerk		8		1		
ME-10-ZE-224	1054	6	Bouwmateriaal		3				
ME-10-ZE-225	1054	6	Aardewerk		18		5	3	
ME-10-ZE-226	1054	6	Bot		1				
ME-10-ZE-227	1054	6	Aardewerk		1				
ME-10-ZE-228	1055	6	Aardewerk		1				
ME-10-ZE-229	1057	6	Aardewerk		7		1		
ME-10-ZE-230	1057	6	Aardewerk		4				
ME-10-ZE-231	1061	6	IJzer		1				
ME-10-ZE-232	1070	6	Aardewerk		1				
ME-10-ZE-233	1078	6	Aardewerk		3			1	
ME-10-ZE-234	1078	6	Bouwmateriaal		15				
ME-10-ZE-235	1078	6	Aardewerk		3		1		
ME-10-ZE-236	1092	6	Bouwmateriaal		4				
ME-10-ZE-237	1095	6	Aardewerk		1				
ME-10-ZE-238	1096	6	Metaal		1				
ME-10-ZE-239	1096	6	Aardewerk		11		3	1	
ME-10-ZE-240	1024	6	Aardewerk		2				
ME-10-ZE-241	1025	6	Aardewerk		2				
ME-10-ZE-242	116	1	Aardewerk						
ME-10-ZE-243	241	2	Aardewerk		1		1		
ME-10-ZE-244	259	2	?		1				
ME-10-ZE-245	266	2	Aardewerk		3				
ME-10-ZE-246	269	2	Aardewerk		2		1		
ME-10-ZE-247	270	2	Aardewerk		1				
ME-10-ZE-248	284	2	Aardewerk		1				
ME-10-ZE-249	337	2	Bouwmateriaal		3				
ME-10-ZE-250	369	2	Bouwmateriaal		3				
ME-10-ZE-251	462	2	Aardewerk		1				
ME-10-ZE-252	472	2	Aardewerk		1				
ME-10-ZE-256	597	3	Aardewerk		2				
ME-10-ZE-257	597	3	Glas		1				
ME-10-ZE-258	597	3	Steen		1				
ME-10-ZE-259	597	3	Aardewerk		9		1		
ME-10-ZE-260	597	3	Bouwmateriaal		1				
ME-10-ZE-261	597	3	Aardewerk		2				
ME-10-ZE-262	597	3	Bouwmateriaal		1				
ME-10-ZE-263	597	3	Aardewerk		1			1	
ME-10-ZE-264	597	3	Aardewerk		22		6		
ME-10-ZE-265	597	3	Bouwmateriaal		9				
ME-10-ZE-266	275	2	Bouwmateriaal		4				
ME-10-ZE-267	320	5	Aardewerk		4				

ME-10-ZE-268	1151	7	Aardewerk	1				
ME-10-ZE-269	1165	7	Aardewerk	15		2		
ME-10-ZE-270	1165	7	Glas	4				
ME-10-ZE-271	1165	7	Metaal	1				
ME-10-ZE-272	1206	7	Aardewerk	2			1	
ME-10-ZE-273	1206	7	Glas	1				
ME-10-ZE-274	1562	7	Aardewerk	1				
ME-10-ZE-275	1568	7	Aardewerk	1				
ME-10-ZE-276	1143	7	IJzer	1				
ME-10-ZE-277	1165	7	Aardewerk	18		5	1	
ME-10-ZE-278	1165	7	Glas	3				
ME-10-ZE-279	1165	7	Bouwmateriaal	1				
ME-10-ZE-280	1172	7	Aardewerk	7		1		
ME-10-ZE-281	1172	7	Glas	1				
ME-10-ZE-282	1172	7	Metaal	1				
ME-10-ZE-283	1174	7	Aardewerk	1				
ME-10-ZE-284	1227	7	Aardewerk	1				
ME-10-ZE-285	1234	7	Aardewerk	2				
ME-10-ZE-286	1311	8	Aardewerk	1			1	
ME-10-ZE-287	1339	8	Aardewerk	1				
ME-10-ZE-288	1381	8	Aardewerk	1				
ME-10-ZE-289	1421	8	Aardewerk	1				
ME-10-ZE-290	1423	8	Aardewerk	1				
ME-10-ZE-291	1448	8	Aardewerk	2				
ME-10-ZE-292	1451	8	Aardewerk	1				
ME-10-ZE-293	1459	8	Aardewerk	2				
ME-10-ZE-294	1471	8	Aardewerk	1				
ME-10-ZE-295	1500	8	Aardewerk	3		1		2
ME-10-ZE-296	1500	8	Bouwmateriaal	1				
ME-10-ZE-297	1500	8	Aardewerk	1				
ME-10-ZE-298	OV 40	8	Aardewerk	2				
ME-10-ZE-299	OV 42	8	Aardewerk	1			1	
ME-10-ZE-300	OV 43	8	Aardewerk	2				
ME-10-ZE-301	OV 45	8	Aardewerk	1				
ME-10-ZE-302	OV 46	8	Aardewerk	2				
ME-10-ZE-303	OV 47	8	Aardewerk	2				
ME-10-ZE-304	OV 48	8	Aardewerk	1				
ME-10-ZE-305	OV 49	8	Aardewerk	1				
ME-10-ZE-306	OV 51	8	Aardewerk	1				
ME-10-ZE-307	OV 52	8	Aardewerk	1				
ME-10-ZE-308	OV 53	8	Aardewerk	1				
ME-10-ZE-309	OV 55	8	Aardewerk	1				
ME-10-ZE-310	OV 56	8	Aardewerk	2				
ME-10-ZE-311	OV 57	8	Aardewerk	1				

ME-10-ZE-312	OV 58	8	Aardewerk		1				
ME-10-ZE-313	OV 60	8	Aardewerk		1				
ME-10-ZE-314	OV 61	8	Aardewerk		4				
ME-10-ZE-315	OV 62	8	Aardewerk		1				
ME-10-ZE-316	OV 63	8	Aardewerk		1				
ME-10-ZE-317	OV 82	7	Aardewerk		2				
ME-10-ZE-318	1311	8	Aardewerk		2				
ME-10-ZE-319	1311	8	Bouwmateriaal		1				
ME-10-ZE-320	1388	8	Aardewerk		2				
ME-10-ZE-321	1401	8	Aardewerk		3				
ME-10-ZE-322	1415	8	Aardewerk		1				
ME-10-ZE-323	1421	8	Aardewerk		1				
ME-10-ZE-324	1448	8	Fezandsteen		1				
ME-10-ZE-325	1474	8	Aardewerk		9				
ME-10-ZE-326	1485	8	Fezandsteen		6				
ME-10-ZE-327	1502	8	Aardewerk		2				
ME-10-ZE-328	1506	8	Bouwmateriaal		1				
ME-10-ZE-329	1581	9	Aardewerk		1				
ME-10-ZE-330	1624	9	Aardewerk		1				
ME-10-ZE-331	1625	9	Aardewerk		1				
ME-10-ZE-332	1648	9	Aardewerk		1				
ME-10-ZE-333	1754	9	Aardewerk		2				
ME-10-ZE-334	1938	9	Aardewerk		1				
ME-10-ZE-335	OV 64	9	Aardewerk		1				
ME-10-ZE-336	OV 65	9	Aardewerk		1				
ME-10-ZE-337	OV 66	9	Aardewerk		1				
ME-10-ZE-338	OV 67	9	Aardewerk		2				
ME-10-ZE-339	OV 68	9	Aardewerk		1		1		
ME-10-ZE-340	OV 69	9	Aardewerk		1				
ME-10-ZE-341	OV 70	9	Aardewerk		1				
ME-10-ZE-342	OV 71	9	Aardewerk		1				
ME-10-ZE-343	OV 72	9	Aardewerk		1				
ME-10-ZE-344	OV 73 A	9	Aardewerk		1				
ME-10-ZE-345	OV 73 B	9	Aardewerk		1				
ME-10-ZE-346	OV 74 A	9	Aardewerk		1				
ME-10-ZE-347	OV 74 B	9	Aardewerk		1				
ME-10-ZE-348	OV 75 A	9	Aardewerk		1				
ME-10-ZE-349	OV 75 B	9	Aardewerk		1				
ME-10-ZE-350	OV 77	9	Aardewerk		1				
ME-10-ZE-351	OV 78	9	Aardewerk		1		1		
ME-10-ZE-352	OV 80	9	Silex		1				

ME-10-ZE-353	OV 81	9	Aardewerk		1			1	
ME-10-ZE-354	OV 83	9	Silex		1				
ME-10-ZE-355	OV 93	9	Aardewerk		2				
ME-10-ZE-356	OV 94	9	Bouwmateriaal		1				
ME-10-ZE-357	OV 95	9	Aardewerk		1				
ME-10-ZE-358	OV 96	9	Aardewerk		1				
ME-10-ZE-359	OV 97	9	Aardewerk		1				
ME-10-ZE-360	OV 98	9	Aardewerk		1				
ME-10-ZE-361	OV 98 bis	9	Aardewerk		1				
ME-10-ZE-362	OV 100	9	Aardewerk		1				
ME-10-ZE-363	OV 101	9	Aardewerk		1				
ME-10-ZE-364	OV 103	9	Aardewerk		1				
ME-10-ZE-365	OV 104	9	Aardewerk		1				
ME-10-ZE-366	OV 105	9	Aardewerk		1		1		
ME-10-ZE-367	OV 106	9	Aardewerk		1				
ME-10-ZE-368	OV 107	9	Aardewerk		1				
ME-10-ZE-369	OV 108	9	Aardewerk		2				
ME-10-ZE-370	OV 109	9	Aardewerk		1				
ME-10-ZE-371	1606	9	Aardewerk		4				
ME-10-ZE-372	1626	9	Aardewerk		1				1
ME-10-ZE-373	1647	9	Aardewerk		1				
ME-10-ZE-374	1660	9	Aardewerk		3				1
ME-10-ZE-375	1673	9	Silex		1				
ME-10-ZE-376	1928	9	Aardewerk		1				
ME-10-ZE-377	Losse vondst	9	Aardewerk		1				
ME-10-ZE-378	Losse vondst	9	Aardewerk		1				
ME-10-ZE-379	1762	10	Aardewerk		1		1		
ME-10-ZE-380	1774	10	Aardewerk		2				
ME-10-ZE-381	1787	10	Aardewerk (gewicht)		1				
ME-10-ZE-382	1787	10	Aardewerk		1				
ME-10-ZE-383	1789	10	Glas		1				
ME-10-ZE-384	1794	10	Aardewerk		1				
ME-10-ZE-385	1799	10	Aardewerk		1				
ME-10-ZE-386	1806	10	Aardewerk		1				
ME-10-ZE-387	1837	10	Aardewerk		1				
ME-10-ZE-388	OV 85	10	Aardewerk		1				
ME-10-ZE-389	OV 86	10	Aardewerk		1				
ME-10-ZE-390	OV 87	10	Aardewerk		1				
ME-10-ZE-391	OV 88	10	Aardewerk		1				
ME-10-ZE-392	OV 89	10	Aardewerk		1				
ME-10-ZE-393	OV 90	10	Aardewerk		2				
ME-10-ZE-394	OV 91	10	Aardewerk		2				

ME-10-ZE-395	OV 92	10	Aardewerk		1				
ME-10-ZE-396	1776	10	Aardewerk		1		1		
ME-10-ZE-397	1787	10	Aardewerk		15				
ME-10-ZE-398	1787	10	Aardewerk		13				
ME-10-ZE-399	1787	10	Aardewerk		5				
ME-10-ZE-400	1787	10	Aardewerk		6				
ME-10-ZE-401	1816	10	Aardewerk		1				
ME-10-ZE-402	1846	10	Aardewerk		13		1		
ME-10-ZE-403	1846	10	Bouwmateriaal		3				
ME-10-ZE-404	1848	10	Aardewerk		7			1	
ME-10-ZE-405	1848	10	Aardewerk		6				
ME-10-ZE-406	1848	10	Aardewerk		5		1	1	
ME-10-ZE-407	1848	10	Aardewerk		3			1	
ME-10-ZE-408	1848	10	Aardewerk		1				
ME-10-ZE-409	1855	10	Aardewerk		1				
ME-10-ZE-410	1901	10	Aardewerk		1				
ME-10-ZE-411	1979	11	Aardewerk		1				
ME-10-ZE-412	2047	11	Aardewerk		8				
ME-10-ZE-413	2078	11	Aardewerk		1				
ME-10-ZE-414	2116	11	Aardewerk		1				
ME-10-ZE-415	2181	11	Aardewerk		1				
ME-10-ZE-416	114	1	Aardewerk		4		1		
ME-10-ZE-417	114	1	Glas		1				
ME-10-ZE-418	597	3	Aardewerk		3		1		
ME-10-ZE-419	597	3	Aardewerk		5				
ME-10-ZE-420	275	2	Bouwmateriaal		3				
ME-10-ZE-423	295	6	Metaal		1				
ME-10-ZE-424	1506	8	Bot		1				
ME-10-ZE-425	1054	6	Metaal		1				
ME-10-ZE-426	1065	6	Glas		1				
ME-10-ZE-427	1054	6	Metaal		1				
ME-10-ZE-428	2057	11	Metaal		1				
ME-10-ZE-429	1172	7	Metaal		1				
ME-10-ZE-430	295	6	Metaal		2				
ME-10-ZE-431	1016	6	Metaal		3				
ME-10-ZE-432	1016	6	Metaal (brons)		2				
ME-10-ZE-433	370	2	Bot		1				
ME-10-ZE-434	1172	7	Metaal (brons)		6				
ME-10-ZE-435	259	2	Bot						
ME-10-ZE-436	1973	10	Metaal		1				
ME-10-ZE-437	597	3	Metaal		1				
ME-10-ZE-438	597	3	Bot		3				
ME-10-ZE-439	1311	8	Metaal		1				
ME-10-ZE-440	2028	11	Metaal		1				

ME-10-ZE-441	OV 29	5	Metaal		1				
ME-10-ZE-442	1071	6	Metaal		1				
ME-10-ZE-443	1054	6	Metaal		6				
ME-10-ZE-444	1311	8	Metaal		3				
ME-10-ZE-445	1045	6	Metaal		1				
ME-10-ZE-446	1036	6	Metaal		1				
ME-10-ZE-447	OV 36	6	Silex		1				
ME-10-ZE-448	180	5	Metaal		1				
ME-10-ZE-449	170	1	Aardewerk		1				
ME-10-ZE-450	109	1	Aardewerk		1				
ME-10-ZE-451	201	2	Aardewerk		1				
ME-10-ZE-452	201	2	Bouwmateriaal		5				
ME-10-ZE-453	209	2	Aardewerk		1				
ME-10-ZE-454	209	2	Bouwmateriaal		1				
ME-10-ZE-455	193	2	Aardewerk	Handgevormd	8		2		
ME-10-ZE-456	65	1	Aardewerk		3				
ME-10-ZE-457	65	1	Metaal		1				
ME-10-ZE-458	190	2	Aardewerk en bot	Handgevormd	6 (Aardewerk) & 1 (bot)		1		
ME-10-ZE-459	190	2	Bot		4				
ME-10-ZE-460	260	2	Aardewerk		8				
ME-10-ZE-461	260	2	Bouwmateriaal		1				
ME-10-ZE-462	260	2	Metaal		1				
ME-10-ZE-463	193	2	Metaal		14				
ME-10-ZE-464	999	6	Metaal		1				
ME-10-ZE-465	275	2	Bouwmateriaal	Dakpan	42				
ME-10-ZE-466	275	2	Steen		2				
ME-10-ZE-467	275	2	Hout plank		1	4			
ME-10-ZE-468	275	2	Hout plank		1	4a			
ME-10-ZE-469	275	2	Hout schup/peddel		1	6			
ME-10-ZE-470	275	2	Hout kleine stukjes		11	6			
ME-10-ZE-471	275	2	Hout planken		2	6			
ME-10-ZE-472	275	2	Hout aangepunte plank		2	6			
ME-10-ZE-473	275	2	Hout verbindingsstuk aangepunt + punten in twee gezaagd		1	6			
ME-10-ZE-474	275	2	Hout uitgeholde boomstam		3	6			
ME-10-ZE-475	275	2	Hout in 2 gezaagd		3	6			
ME-10-ZE-476	275	2	Houten planken		2	6			

Bijlage 3 Fotoinventaris

Inv. Nr.	Werkput	Spoor	Aard
ME-10-ZE-0001	1		Overzicht
ME-10-ZE-0002	1		Overzicht
ME-10-ZE-0003	1		Overzicht
ME-10-ZE-0004	1		Overzicht
ME-10-ZE-0005	1		Overzicht
ME-10-ZE-0006	1		Overzicht
ME-10-ZE-0007	1		Overzicht
ME-10-ZE-0008	1		Overzicht
ME-10-ZE-0009	1		Overzicht
ME-10-ZE-0010	1		Overzicht
ME-10-ZE-0011	1		Overzicht
ME-10-ZE-0012	1		Overzicht
ME-10-ZE-0013	1		Overzicht
ME-10-ZE-0014	1		Overzicht
ME-10-ZE-0015	1		Overzicht
ME-10-ZE-0016	1		Overzicht
ME-10-ZE-0017	1		Overzicht
ME-10-ZE-0018	1		Overzicht
ME-10-ZE-0019	1		Overzicht
ME-10-ZE-0020	1		Overzicht
ME-10-ZE-0021	1		Overzicht
ME-10-ZE-0022	1		Overzicht
ME-10-ZE-0023	1		Overzicht
ME-10-ZE-0024	1		Overzicht
ME-10-ZE-0025	1		Overzicht
ME-10-ZE-0026	1		Overzicht
ME-10-ZE-0027	1		Overzicht
ME-10-ZE-0028	1		Overzicht
ME-10-ZE-0029	1		Overzicht
ME-10-ZE-0030	1		Overzicht
ME-10-ZE-0031	1		Overzicht
ME-10-ZE-0032	1		Overzicht
ME-10-ZE-0033	1		Overzicht
ME-10-ZE-0034	1		Overzicht
ME-10-ZE-0035	1		Overzicht
ME-10-ZE-0036	1		Overzicht
ME-10-ZE-0037	1		Overzicht
ME-10-ZE-0038	1		Overzicht
ME-10-ZE-0039	1		Overzicht
ME-10-ZE-0040	1		Overzicht
ME-10-ZE-0041	1		Overzicht

ME-10-ZE-0042	1		Overzicht
ME-10-ZE-0043	1		Overzicht
ME-10-ZE-0044	1	1	Detail
ME-10-ZE-0045	1	1	Detail
ME-10-ZE-0046	1	2	Detail
ME-10-ZE-0047	1	2, 3	Detail
ME-10-ZE-0048	1	2, 3	Detail
ME-10-ZE-0049	1	4	Detail
ME-10-ZE-0050	1	4	Detail
ME-10-ZE-0051	1	5	Detail
ME-10-ZE-0052	1	5	Detail
ME-10-ZE-0053	1	6, 7, 8, 9, 10	Detail
ME-10-ZE-0054	1	6, 7, 8, 9, 10	Detail
ME-10-ZE-0055	1	11	Detail
ME-10-ZE-0056	1	11	Detail
ME-10-ZE-0057	1	12	Detail
ME-10-ZE-0058	1	12	Detail
ME-10-ZE-0059	1	13	Detail
ME-10-ZE-0060	1	13	Detail
ME-10-ZE-0061	1	14	Detail
ME-10-ZE-0062	1	14	Detail
ME-10-ZE-0063	1	15	Detail
ME-10-ZE-0064	1	15	Detail
ME-10-ZE-0065	1	16	Detail
ME-10-ZE-0066	1	16	Detail
ME-10-ZE-0067	1	17	Detail
ME-10-ZE-0068	1	17	Detail
ME-10-ZE-0069	1	18	Detail
ME-10-ZE-0070	1	18	Detail
ME-10-ZE-0071	1	19, 20, 21	Detail
ME-10-ZE-0072	1	19, 20, 21	Detail
ME-10-ZE-0073	1	19, 20, 21	Detail
ME-10-ZE-0074	1	22	Detail
ME-10-ZE-0075	1	22	Detail
ME-10-ZE-0076	1	23	Detail
ME-10-ZE-0077	1	23	Detail
ME-10-ZE-0078	1	24	Detail
ME-10-ZE-0079	1	24	Detail
ME-10-ZE-0080	1	25	Detail
ME-10-ZE-0081	1	25	Detail
ME-10-ZE-0082	1	26, 27, 28	Detail
ME-10-ZE-0083	1	26, 27, 28	Detail
ME-10-ZE-0084	1	29, 30, 31	Detail

ME-10-ZE-0085	1	29, 30, 31	Detail
ME-10-ZE-0086	1	32, 33	Detail
ME-10-ZE-0087	1	32, 33	Detail
ME-10-ZE-0088	1	32, 33	Detail
ME-10-ZE-0089	1	34, 35	Detail
ME-10-ZE-0090	1	34, 35	Detail
ME-10-ZE-0091	1	34, 35	Detail
ME-10-ZE-0092	1	34, 35	Detail
ME-10-ZE-0093	1	36, 37	Detail
ME-10-ZE-0094	1	36, 37	Detail
ME-10-ZE-0095	1	38, 39	Detail
ME-10-ZE-0096	1	38, 39	Detail
ME-10-ZE-0097	1	40, 41	Detail
ME-10-ZE-0098	1	40, 41	Detail
ME-10-ZE-0099	1	42	Detail
ME-10-ZE-0100	1	42	Detail
ME-10-ZE-0101	1	43, 44	Detail
ME-10-ZE-0102	1	43, 44	Detail
ME-10-ZE-0103	1	45	Detail
ME-10-ZE-0104	1	45	Detail
ME-10-ZE-0105	1	46	Detail
ME-10-ZE-0106	1	46	Detail
ME-10-ZE-0107	1	47, 48	Detail
ME-10-ZE-0108	1	47, 48	Detail
ME-10-ZE-0109	1	49	Detail
ME-10-ZE-0110	1	49	Detail
ME-10-ZE-0111	1	50	Detail
ME-10-ZE-0112	1	50	Detail
ME-10-ZE-0113	1	50	Detail
ME-10-ZE-0114	1	51, 52	Detail
ME-10-ZE-0115	1	51, 52	Detail
ME-10-ZE-0116	1	51, 52	Detail
ME-10-ZE-0117	1	51, 52	Detail
ME-10-ZE-0118	1	53	Detail
ME-10-ZE-0119	1	53	Detail
ME-10-ZE-0120	1	54	Detail
ME-10-ZE-0121	1	54	Detail
ME-10-ZE-0122	1	56	Detail
ME-10-ZE-0123	1	56	Detail
ME-10-ZE-0124	1	55	Detail
ME-10-ZE-0125	1	55	Detail
ME-10-ZE-0126	1	57	Detail
ME-10-ZE-0127	1	57	Detail
ME-10-ZE-0128	1	58	Detail

ME-10-ZE-0129	1	58	Detail
ME-10-ZE-0130	1	59	Detail
ME-10-ZE-0131	1	59	Detail
ME-10-ZE-0132	1	60, 61	Detail
ME-10-ZE-0133	1	60, 61	Detail
ME-10-ZE-0134	1	62, 63	Detail
ME-10-ZE-0135	1	62, 63	Detail
ME-10-ZE-0136	1	64, 65	Detail
ME-10-ZE-0137	1	64, 65	Detail
ME-10-ZE-0138	1	66	Detail
ME-10-ZE-0139	1	66	Detail
ME-10-ZE-0140	1	67	Detail
ME-10-ZE-0141	1	67	Detail
ME-10-ZE-0142	1	68, 69	Detail
ME-10-ZE-0143	1	68, 69	Detail
ME-10-ZE-0144	1	70	Detail
ME-10-ZE-0145	1	70	Detail
ME-10-ZE-0146	1	71	Detail
ME-10-ZE-0147	1	71	Detail
ME-10-ZE-0148	1	72	Detail
ME-10-ZE-0149	1	72	Detail
ME-10-ZE-0150	1	73	Detail
ME-10-ZE-0151	1	73	Detail
ME-10-ZE-0152	1	74	Detail
ME-10-ZE-0153	1	74	Detail
ME-10-ZE-0154	1	75	Detail
ME-10-ZE-0155	1	75	Detail
ME-10-ZE-0156	1	76, 77	Detail
ME-10-ZE-0157	1	76, 77	Detail
ME-10-ZE-0158	1	78	Detail
ME-10-ZE-0159	1	78	Detail
ME-10-ZE-0160	1	79	Detail
ME-10-ZE-0161	1	79	Detail
ME-10-ZE-0162	1	80	Detail
ME-10-ZE-0163	1	80	Detail
ME-10-ZE-0164	1	81	Detail
ME-10-ZE-0165	1	81	Detail
ME-10-ZE-0166	1	82	Detail
ME-10-ZE-0167	1	82	Detail
ME-10-ZE-0168	1	83	Detail
ME-10-ZE-0169	1	83	Detail
ME-10-ZE-0170	1	84	Detail
ME-10-ZE-0171	1	84	Detail
ME-10-ZE-0172	1	85, 86	Detail

ME-10-ZE-0173	1	85, 86	Detail
ME-10-ZE-0174	1	87, 88	Detail
ME-10-ZE-0175	1	87, 88	Detail
ME-10-ZE-0176	1	89	Detail
ME-10-ZE-0177	1	89	Detail
ME-10-ZE-0178	1	90	Detail
ME-10-ZE-0179	1	90	Detail
ME-10-ZE-0180	1	91	Detail
ME-10-ZE-0181	1	91	Detail
ME-10-ZE-0182	1	92, 93	Detail
ME-10-ZE-0183	1	92, 93	Detail
ME-10-ZE-0184	1	94	Detail
ME-10-ZE-0185	1	94	Detail
ME-10-ZE-0186	1	95	Detail
ME-10-ZE-0187	1	95	Detail
ME-10-ZE-0188	1	96	Detail
ME-10-ZE-0189	1	96	Detail
ME-10-ZE-0190	1	97	Detail
ME-10-ZE-0191	1	97	Detail
ME-10-ZE-0192	1	98	Detail
ME-10-ZE-0193	1	98	Detail
ME-10-ZE-0194	1	99	Detail
ME-10-ZE-0195	1	99	Detail
ME-10-ZE-0196	1	99	Detail
ME-10-ZE-0197	1	100	Detail
ME-10-ZE-0198	1	100	Detail
ME-10-ZE-0199	1	101	Detail
ME-10-ZE-0200	1	101	Detail
ME-10-ZE-0201	1	102	Detail
ME-10-ZE-0202	1	102	Detail
ME-10-ZE-0203	1	103	Detail
ME-10-ZE-0204	1	103	Detail
ME-10-ZE-0205	1	104	Detail
ME-10-ZE-0206	1	104	Detail
ME-10-ZE-0207	1	105	Detail
ME-10-ZE-0208	1	105	Detail
ME-10-ZE-0209	1	106, 107	Detail
ME-10-ZE-0210	1	106, 107	Detail
ME-10-ZE-0211	1	108, 109	Detail
ME-10-ZE-0212	1	108, 109	Detail
ME-10-ZE-0213	1	110	Detail
ME-10-ZE-0214	1	110	Detail
ME-10-ZE-0215	1	111	Detail
ME-10-ZE-0216	1	111	Detail

ME-10-ZE-0217	1	112	Detail
ME-10-ZE-0218	1	112	Detail
ME-10-ZE-0219	1	113	Detail
ME-10-ZE-0220	1	113	Detail
ME-10-ZE-0221	1	114	Detail
ME-10-ZE-0222	1	114	Detail
ME-10-ZE-0223	1	115	Detail
ME-10-ZE-0224	1	115	Detail
ME-10-ZE-0225	1	116	Detail
ME-10-ZE-0226	1	116	Detail
ME-10-ZE-0227	1	117	Detail
ME-10-ZE-0228	1	117	Detail
ME-10-ZE-0229	1	118	Detail
ME-10-ZE-0230	1	118	Detail
ME-10-ZE-0231	1	119	Detail
ME-10-ZE-0232	1	119	Detail
ME-10-ZE-0233	1	120	Detail
ME-10-ZE-0234	1	120	Detail
ME-10-ZE-0235	1	121	Detail
ME-10-ZE-0236	1	121	Detail
ME-10-ZE-0237	1	122	Detail
ME-10-ZE-0238	1	122	Detail
ME-10-ZE-0239	1	123	Detail
ME-10-ZE-0240	1	123	Detail
ME-10-ZE-0241	1	124	Detail
ME-10-ZE-0242	1	124	Detail
ME-10-ZE-0243	1	125	Detail
ME-10-ZE-0244	1	125	Detail
ME-10-ZE-0245	1	126	Detail
ME-10-ZE-0246	1	126	Detail
ME-10-ZE-0247	1	127	Detail
ME-10-ZE-0248	1	127	Detail
ME-10-ZE-0249	1	128	Detail
ME-10-ZE-0250	1	128	Detail
ME-10-ZE-0251	1	129	Detail
ME-10-ZE-0252	1	129	Detail
ME-10-ZE-0253	1	130	Detail
ME-10-ZE-0254	1	130	Detail
ME-10-ZE-0255	1	131	Detail
ME-10-ZE-0256	1	131	Detail
ME-10-ZE-0257	1	132	Detail
ME-10-ZE-0258	1	132	Detail
ME-10-ZE-0259	1	133	Detail
ME-10-ZE-0260	1	133	Detail

ME-10-ZE-0261	1	134	Detail
ME-10-ZE-0262	1	134	Detail
ME-10-ZE-0263	1	135	Detail
ME-10-ZE-0264	1	135	Detail
ME-10-ZE-0265	1	136	Detail
ME-10-ZE-0266	1	136	Detail
ME-10-ZE-0267	1	137	Detail
ME-10-ZE-0268	1	137	Detail
ME-10-ZE-0269	1	138	Detail
ME-10-ZE-0270	1	138	Detail
ME-10-ZE-0271	1	139	Detail
ME-10-ZE-0272	1	139	Detail
ME-10-ZE-0273	1	140	Detail
ME-10-ZE-0274	1	140	Detail
ME-10-ZE-0275	1	141	Detail
ME-10-ZE-0276	1	141	Detail
ME-10-ZE-0277	1	142	Detail
ME-10-ZE-0278	1	142	Detail
ME-10-ZE-0279	1	143	Detail
ME-10-ZE-0280	1	143	Detail
ME-10-ZE-0281	1	144	Detail
ME-10-ZE-0282	1	144	Detail
ME-10-ZE-0283	1	145	Detail
ME-10-ZE-0284	1	145	Detail
ME-10-ZE-0285	1	146	Detail
ME-10-ZE-0286	1	146	Detail
ME-10-ZE-0287	1	148, 149, 150	Detail
ME-10-ZE-0288	1	148, 149, 150	Detail
ME-10-ZE-0289	1	151	Detail
ME-10-ZE-0290	1	151	Detail
ME-10-ZE-0291	1	152	Detail
ME-10-ZE-0292	1	152	Detail
ME-10-ZE-0293	1	153	Detail
ME-10-ZE-0294	1	153	Detail
ME-10-ZE-0295	1	154, 155, 156	Detail
ME-10-ZE-0296	1	154, 155, 156	Detail
ME-10-ZE-0297	1	157	Detail
ME-10-ZE-0298	1	157	Detail
ME-10-ZE-0299	1	158	Detail
ME-10-ZE-0300	1	158	Detail
ME-10-ZE-0301	1	159	Detail
ME-10-ZE-0302	1	159	Detail

ME-10-ZE-0303	1	160	Detail
ME-10-ZE-0304	1	160	Detail
ME-10-ZE-0305	1	161, 162	Detail
ME-10-ZE-0306	1	161, 162	Detail
ME-10-ZE-0307	1	163	Detail
ME-10-ZE-0308	1	163	Detail
ME-10-ZE-0309	1	164	Detail
ME-10-ZE-0310	1	164	Detail
ME-10-ZE-0311	1	165, 166	Detail
ME-10-ZE-0312	1	165, 166	Detail
ME-10-ZE-0313	1	167	Detail
ME-10-ZE-0314	1	167	Detail
ME-10-ZE-0315	1	168	Detail
ME-10-ZE-0316	1	168	Detail
ME-10-ZE-0317	1	169	Detail
ME-10-ZE-0318	1	169	Detail
ME-10-ZE-0319	1	170	Detail
ME-10-ZE-0320	1	170	Detail
ME-10-ZE-0321	1	171, 172, 173	Detail
ME-10-ZE-0322	1	171, 172, 173	Detail
ME-10-ZE-0323	1	174	Detail
ME-10-ZE-0324	1	174	Detail
ME-10-ZE-0325	1	175	Detail
ME-10-ZE-0326	1	175	Detail
ME-10-ZE-0327	1	176	Detail
ME-10-ZE-0328	1	176	Detail
ME-10-ZE-0329	1	177	Detail
ME-10-ZE-0330	1	177	Detail
ME-10-ZE-0331	1	178, 179	Detail
ME-10-ZE-0332	1	178, 179	Detail
ME-10-ZE-0333	1	178	Coupe
ME-10-ZE-0334	1	178	Coupe
ME-10-ZE-0335	1	179	Coupe
ME-10-ZE-0336	1	179	Coupe
ME-10-ZE-0337	1	179	Coupe
ME-10-ZE-0338	1	179	Coupe
ME-10-ZE-0339	1	179	Coupe
ME-10-ZE-0340	1	177	Coupe
ME-10-ZE-0341	1	177	Coupe
ME-10-ZE-0342	1	176	Coupe
ME-10-ZE-0343	1	176	Coupe
ME-10-ZE-0344	1	176	Coupe
ME-10-ZE-0345	1	176	Coupe

ME-10-ZE-0346	1	174	Coupe
ME-10-ZE-0347	1	174	Coupe
ME-10-ZE-0348	1	174	Coupe
ME-10-ZE-0349	1	174	Coupe
ME-10-ZE-0350	1	170	Coupe
ME-10-ZE-0351	1	170	Coupe
ME-10-ZE-0352	1	172, 173	Coupe
ME-10-ZE-0353	1	172, 173	Coupe
ME-10-ZE-0354	1	172, 173	Coupe
ME-10-ZE-0355	1	171	Coupe
ME-10-ZE-0356	1	171	Coupe
ME-10-ZE-0357	1	161	Coupe
ME-10-ZE-0358	1	161	Coupe
ME-10-ZE-0359	1	154	Coupe
ME-10-ZE-0360	1	154	Coupe
ME-10-ZE-0361	1	163	Coupe
ME-10-ZE-0362	1	163	Coupe
ME-10-ZE-0363	1	163	Coupe
ME-10-ZE-0364	1	163	Coupe
ME-10-ZE-0365	1	159	Coupe
ME-10-ZE-0366	1	159	Coupe
ME-10-ZE-0367	1	157	Coupe
ME-10-ZE-0368	1	157	Coupe
ME-10-ZE-0369	1	157	Coupe
ME-10-ZE-0370	1	160	Coupe
ME-10-ZE-0371	1	160	Coupe
ME-10-ZE-0372	1	160	Coupe
ME-10-ZE-0373	1	155, 156	Coupe
ME-10-ZE-0374	1	155, 156	Coupe
ME-10-ZE-0375	1	164	Coupe
ME-10-ZE-0376	1	164	Coupe
ME-10-ZE-0377	1	166	Coupe
ME-10-ZE-0378	1	166	Coupe
ME-10-ZE-0379	1	151	Coupe
ME-10-ZE-0380	1	151	Coupe
ME-10-ZE-0381	1	153	Coupe
ME-10-ZE-0382	1	153	Coupe
ME-10-ZE-0383	1	152	Coupe
ME-10-ZE-0384	1	152	Coupe
ME-10-ZE-0385	1	148	Coupe
ME-10-ZE-0386	1	148	Coupe
ME-10-ZE-0387	1	5	Coupe
ME-10-ZE-0388	1	5	Coupe
ME-10-ZE-0389	1	5	Coupe

ME-10-ZE-0390	1	14	Coupe
ME-10-ZE-0391	1	14	Coupe
ME-10-ZE-0392	1	15	Coupe
ME-10-ZE-0393	1	15	Coupe
ME-10-ZE-0394	1	15	Coupe
ME-10-ZE-0395	1	17	Coupe
ME-10-ZE-0396	1	17	Coupe
ME-10-ZE-0397	1	17	Coupe
ME-10-ZE-0398	1	17	Coupe
ME-10-ZE-0399	1	11	Coupe
ME-10-ZE-0400	1	11	Coupe
ME-10-ZE-0401	1		Coupe
ME-10-ZE-0402	1		Coupe
ME-10-ZE-0403	1		Coupe
ME-10-ZE-0404	1		Coupe
ME-10-ZE-0405	1		Coupe
ME-10-ZE-0406	1		Coupe
ME-10-ZE-0407	1		Coupe
ME-10-ZE-0408	1	134	Coupe
ME-10-ZE-0409	1	134	Coupe
ME-10-ZE-0410	1	133	Coupe
ME-10-ZE-0411	1	133	Coupe
ME-10-ZE-0412	1	132	Coupe
ME-10-ZE-0413	1	132	Coupe
ME-10-ZE-0414	1	131	Coupe
ME-10-ZE-0415	1	131	Coupe
ME-10-ZE-0416	1	130	Coupe
ME-10-ZE-0417	1	130	Coupe
ME-10-ZE-0418	1	129	Coupe
ME-10-ZE-0419	1	129	Coupe
ME-10-ZE-0420	1	128	Coupe
ME-10-ZE-0421	1	128	Coupe
ME-10-ZE-0422	1	127	Coupe
ME-10-ZE-0423	1	127	Coupe
ME-10-ZE-0424	1	126	Coupe
ME-10-ZE-0425	1	126	Coupe
ME-10-ZE-0426	1	125	Coupe
ME-10-ZE-0427	1	125	Coupe
ME-10-ZE-0428	1	125	Coupe
ME-10-ZE-0429	1	135	Coupe
ME-10-ZE-0430	1	135	Coupe
ME-10-ZE-0431	1	136	Coupe
ME-10-ZE-0432	1	136	Coupe
ME-10-ZE-0433	1	138	Coupe

ME-10-ZE-0434	1	138	Coupe
ME-10-ZE-0435	1	138	Coupe
ME-10-ZE-0436	1	138	Coupe
ME-10-ZE-0437	1	139	Coupe
ME-10-ZE-0438	1	139	Coupe
ME-10-ZE-0439	1	140	Coupe
ME-10-ZE-0440	1	140	Coupe
ME-10-ZE-0441	1	141	Coupe
ME-10-ZE-0442	1	141	Coupe
ME-10-ZE-0443	1	143	Coupe
ME-10-ZE-0444	1	143	Coupe
ME-10-ZE-0445	1	146	Coupe
ME-10-ZE-0446	1	146	Coupe
ME-10-ZE-0447	1	146	Coupe
ME-10-ZE-0448	1	145	Coupe
ME-10-ZE-0449	1	145	Coupe
ME-10-ZE-0450	1	145	Coupe
ME-10-ZE-0451	1	144	Coupe
ME-10-ZE-0452	1	144	Coupe
ME-10-ZE-0453	1	144	Coupe
ME-10-ZE-0454	1	6	Coupe
ME-10-ZE-0455	1	6	Coupe
ME-10-ZE-0456	1	19	Coupe
ME-10-ZE-0457	1	19	Coupe
ME-10-ZE-0458	1	19	Coupe
ME-10-ZE-0459	1	25	Coupe
ME-10-ZE-0460	1	25	Coupe
ME-10-ZE-0461	1	25	Coupe
ME-10-ZE-0462	1	43	Coupe
ME-10-ZE-0463	1	43	Coupe
ME-10-ZE-0464	1	44	Coupe
ME-10-ZE-0465	1	44	Coupe
ME-10-ZE-0466	1	51	Coupe
ME-10-ZE-0467	1	51	Coupe
ME-10-ZE-0468	1	31	Coupe
ME-10-ZE-0469	1	31	Coupe
ME-10-ZE-0470	1	31	Coupe
ME-10-ZE-0471	1	40	Coupe
ME-10-ZE-0472	1	40	Coupe
ME-10-ZE-0473	1	40	Coupe
ME-10-ZE-0474	1	48	Coupe
ME-10-ZE-0475	1	48	Coupe
ME-10-ZE-0476	1	50	Coupe
ME-10-ZE-0477	1	50	Coupe

ME-10-ZE-0478	1	56	Coupe
ME-10-ZE-0479	1	56	Coupe
ME-10-ZE-0480	1	56	Coupe
ME-10-ZE-0481	1	66	Coupe
ME-10-ZE-0482	1	66	Coupe
ME-10-ZE-0483	1	66	Coupe
ME-10-ZE-0484	1	65	Coupe
ME-10-ZE-0485	1	65	Coupe
ME-10-ZE-0486	1	65	Coupe
ME-10-ZE-0487	1	45	Coupe
ME-10-ZE-0488	1	45	Coupe
ME-10-ZE-0489	1	45	Coupe
ME-10-ZE-0490	1	64	Coupe
ME-10-ZE-0491	1	64	Coupe
ME-10-ZE-0492	1	59	Coupe
ME-10-ZE-0493	1	59	Coupe
ME-10-ZE-0494	1	59	Coupe
ME-10-ZE-0495	1	46	Coupe
ME-10-ZE-0496	1	46	Coupe
ME-10-ZE-0497	1	46	Coupe
ME-10-ZE-0498	1	46, 47	Coupe
ME-10-ZE-0499	1	46, 47	Coupe
ME-10-ZE-0500	1	46, 47	Coupe
ME-10-ZE-0501	1	21, 22	Coupe
ME-10-ZE-0502	1	21, 22	Coupe
ME-10-ZE-0503	1	21, 22	Coupe
ME-10-ZE-0504	1	27, 28	Coupe
ME-10-ZE-0505	1	27, 28	Coupe
ME-10-ZE-0506	1	37	Coupe
ME-10-ZE-0507	1	37	Coupe
ME-10-ZE-0508	1	37	Coupe
ME-10-ZE-0509	1	34, 35	Coupe
ME-10-ZE-0510	1	34, 35	Coupe
ME-10-ZE-0511	1	60	Coupe
ME-10-ZE-0512	1	60	Coupe
ME-10-ZE-0513	1	60	Coupe
ME-10-ZE-0514	1	32, 33	Coupe
ME-10-ZE-0515	1	32, 33	Coupe
ME-10-ZE-0516	1	39	Coupe
ME-10-ZE-0517	1	39	Coupe
ME-10-ZE-0518	1	74	Coupe
ME-10-ZE-0519	1	74	Coupe
ME-10-ZE-0520	1	81	Coupe
ME-10-ZE-0521	1	81	Coupe

ME-10-ZE-0522	1	71	Coupe
ME-10-ZE-0523	1	71	Coupe
ME-10-ZE-0524	1	72	Coupe
ME-10-ZE-0525	1	72	Coupe
ME-10-ZE-0526	1	73	Coupe
ME-10-ZE-0527	1	73	Coupe
ME-10-ZE-0528	1	91	Coupe
ME-10-ZE-0529	1	91	Coupe
ME-10-ZE-0530	1	67	Coupe
ME-10-ZE-0531	1	67	Coupe
ME-10-ZE-0532	1	99	Coupe
ME-10-ZE-0533	1	99	Coupe
ME-10-ZE-0534	1	106	Coupe
ME-10-ZE-0535	1	106	Coupe
ME-10-ZE-0536	1	107	Coupe
ME-10-ZE-0537	1	107	Coupe
ME-10-ZE-0538	1	115	Coupe
ME-10-ZE-0539	1	115	Coupe
ME-10-ZE-0540	1	118	Coupe
ME-10-ZE-0541	1	118	Coupe
ME-10-ZE-0542	1	118	Coupe
ME-10-ZE-0543	1	117	Coupe
ME-10-ZE-0544	1	117	Coupe
ME-10-ZE-0545	1	116	Coupe
ME-10-ZE-0546	1	116	Coupe
ME-10-ZE-0547	1	180	Detail
ME-10-ZE-0548	1	180	Detail
ME-10-ZE-0549	2		Overzicht
ME-10-ZE-0550	2		Overzicht
ME-10-ZE-0551	2		Overzicht
ME-10-ZE-0552	2		Overzicht
ME-10-ZE-0553	2		Overzicht
ME-10-ZE-0554	2		Overzicht
ME-10-ZE-0555	2		Overzicht
ME-10-ZE-0556	2		Overzicht
ME-10-ZE-0557	2		Overzicht
ME-10-ZE-0558	2		Overzicht
ME-10-ZE-0559	2		Overzicht
ME-10-ZE-0560	2		Overzicht
ME-10-ZE-0561	2		Overzicht
ME-10-ZE-0562	2		Overzicht
ME-10-ZE-0563	2		Overzicht
ME-10-ZE-0564	2		Overzicht
ME-10-ZE-0565	2		Overzicht

ME-10-ZE-0566	2		Overzicht
ME-10-ZE-0567	2		Overzicht
ME-10-ZE-0568	2		Overzicht
ME-10-ZE-0569	2		Overzicht
ME-10-ZE-0570	2		Overzicht
ME-10-ZE-0571	2		Overzicht
ME-10-ZE-0572	2		Overzicht
ME-10-ZE-0573	2		Overzicht
ME-10-ZE-0574	2		Overzicht
ME-10-ZE-0575	2		Overzicht
ME-10-ZE-0576	2		Overzicht
ME-10-ZE-0577	2		Overzicht
ME-10-ZE-0578	2		Overzicht
ME-10-ZE-0579	2		Overzicht
ME-10-ZE-0580	2		Overzicht
ME-10-ZE-0581	2		Overzicht
ME-10-ZE-0582	2		Overzicht
ME-10-ZE-0583	2		Overzicht
ME-10-ZE-0584	2		Overzicht
ME-10-ZE-0585	2		Overzicht
ME-10-ZE-0586	2		Overzicht
ME-10-ZE-0587	2		Overzicht
ME-10-ZE-0588	2		Overzicht
ME-10-ZE-0589	2		Overzicht
ME-10-ZE-0590	2		Overzicht
ME-10-ZE-0591	2		Overzicht
ME-10-ZE-0592	2		Overzicht
ME-10-ZE-0593	2		Overzicht
ME-10-ZE-0594	2		Overzicht
ME-10-ZE-0595	2		Overzicht
ME-10-ZE-0596	2		Overzicht
ME-10-ZE-0597	2		Overzicht
ME-10-ZE-0598	2		Overzicht
ME-10-ZE-0599	2		Overzicht
ME-10-ZE-0600	2		Overzicht
ME-10-ZE-0601	2		Overzicht
ME-10-ZE-0602	2		Overzicht
ME-10-ZE-0603	2		Overzicht
ME-10-ZE-0604	2		Overzicht
ME-10-ZE-0605	2		Overzicht
ME-10-ZE-0606	2		Overzicht
ME-10-ZE-0607	2		Overzicht
ME-10-ZE-0608	2		Overzicht
ME-10-ZE-0609	2		Overzicht

ME-10-ZE-0610	2		Overzicht
ME-10-ZE-0611	2		Overzicht
ME-10-ZE-0612	2		Overzicht
ME-10-ZE-0613	2		Overzicht
ME-10-ZE-0614	2		Overzicht
ME-10-ZE-0615	2		Overzicht
ME-10-ZE-0616	2		Overzicht
ME-10-ZE-0617	2		Overzicht
ME-10-ZE-0618	2		Overzicht
ME-10-ZE-0619	2		Overzicht
ME-10-ZE-0620	2		Overzicht
ME-10-ZE-0621	2		Overzicht
ME-10-ZE-0622	2		Overzicht
ME-10-ZE-0623	2		Overzicht
ME-10-ZE-0624	2		Overzicht
ME-10-ZE-0625	2		Overzicht
ME-10-ZE-0626	2		Overzicht
ME-10-ZE-0627	2		Overzicht
ME-10-ZE-0628	2		Overzicht
ME-10-ZE-0629	2		Overzicht
ME-10-ZE-0630	2		Overzicht
ME-10-ZE-0631	2		Overzicht
ME-10-ZE-0632	2		Overzicht
ME-10-ZE-0633	2	181	Vlak
ME-10-ZE-0634	2	181	Vlak
ME-10-ZE-0635	2	182	Vlak
ME-10-ZE-0636	2	182	Vlak
ME-10-ZE-0637	2	183	Vlak
ME-10-ZE-0638	2	183	Vlak
ME-10-ZE-0639	2	184	Vlak
ME-10-ZE-0640	2	184	Vlak
ME-10-ZE-0641	2	185	Vlak
ME-10-ZE-0642	2	185	Vlak
ME-10-ZE-0643	2	186	Vlak
ME-10-ZE-0644	2	186	Vlak
ME-10-ZE-0645	2	187	Vlak
ME-10-ZE-0646	2	187	Vlak
ME-10-ZE-0647	2	188, 189	Vlak
ME-10-ZE-0648	2	188, 189	Vlak
ME-10-ZE-0649	2	190, 191, 192	Vlak
ME-10-ZE-0650	2	190, 191, 192	Vlak
ME-10-ZE-0651	2	193, 194, 195	Vlak

ME-10-ZE-0652	2	193, 194, 195	Vlak
ME-10-ZE-0653	2	196	Vlak
ME-10-ZE-0654	2	196	Vlak
ME-10-ZE-0655	2	197, 198	Vlak
ME-10-ZE-0656	2	197, 198	Vlak
ME-10-ZE-0657	2	199	Vlak
ME-10-ZE-0658	2	199	Vlak
ME-10-ZE-0659	2	200	Vlak
ME-10-ZE-0660	2	200	Vlak
ME-10-ZE-0661	2	202	Vlak
ME-10-ZE-0662	2	202	Vlak
ME-10-ZE-0663	2	203	Vlak
ME-10-ZE-0664	2	203	Vlak
ME-10-ZE-0665	2	204	Vlak
ME-10-ZE-0666	2	204	Vlak
ME-10-ZE-0667	2	205	Vlak
ME-10-ZE-0668	2	205	Vlak
ME-10-ZE-0669	2	206	Vlak
ME-10-ZE-0670	2	206	Vlak
ME-10-ZE-0671	2	207	Vlak
ME-10-ZE-0672	2	207	Vlak
ME-10-ZE-0673	2	208, 209, 210	Vlak
ME-10-ZE-0674	2	208, 209, 210	Vlak
ME-10-ZE-0675	2	211	Vlak
ME-10-ZE-0676	2	211	Vlak
ME-10-ZE-0677	2	212	Vlak
ME-10-ZE-0678	2	212	Vlak
ME-10-ZE-0679	2	212	Vlak
ME-10-ZE-0680	2	213, 214	Vlak
ME-10-ZE-0681	2	213, 214	Vlak
ME-10-ZE-0682	2	215, 216, 217	Vlak
ME-10-ZE-0683	2	215, 216, 217	Vlak
ME-10-ZE-0684	2	218	Vlak
ME-10-ZE-0685	2	218	Vlak
ME-10-ZE-0686	2	219, 220	Vlak
ME-10-ZE-0687	2	219, 220	Vlak
ME-10-ZE-0688	2	221	Vlak
ME-10-ZE-0689	2	221	Vlak
ME-10-ZE-0690	2	222	Vlak
ME-10-ZE-0691	2	222	Vlak
ME-10-ZE-0692	2	223, 224, 225	Vlak

ME-10-ZE-0693	2	223, 224, 225	Vlak
ME-10-ZE-0694	2	226	Vlak
ME-10-ZE-0695	2	226	Vlak
ME-10-ZE-0696	2	227	Vlak
ME-10-ZE-0697	2	227	Vlak
ME-10-ZE-0698	2	228	Vlak
ME-10-ZE-0699	2	228	Vlak
ME-10-ZE-0700	2	229	Vlak
ME-10-ZE-0701	2	229	Vlak
ME-10-ZE-0702	2	230	Vlak
ME-10-ZE-0703	2	230	Vlak
ME-10-ZE-0704	2	231	Vlak
ME-10-ZE-0705	2	231	Vlak
ME-10-ZE-0706	2	232	Vlak
ME-10-ZE-0707	2	232	Vlak
ME-10-ZE-0708	2	233	Vlak
ME-10-ZE-0709	2	233	Vlak
ME-10-ZE-0710	2	234	Vlak
ME-10-ZE-0711	2	234	Vlak
ME-10-ZE-0712	2	235	Vlak
ME-10-ZE-0713	2	235	Vlak
ME-10-ZE-0714	2	236	Vlak
ME-10-ZE-0715	2	236	Vlak
ME-10-ZE-0716	2	237	Vlak
ME-10-ZE-0717	2	237	Vlak
ME-10-ZE-0718	2	238	Vlak
ME-10-ZE-0719	2	238	Vlak
ME-10-ZE-0720	2	239	Vlak
ME-10-ZE-0721	2	239	Vlak
ME-10-ZE-0722	2	240	Vlak
ME-10-ZE-0723	2	240	Vlak
ME-10-ZE-0724	2	241	Vlak
ME-10-ZE-0725	2	241	Vlak
ME-10-ZE-0726	2	242	Vlak
ME-10-ZE-0727	2	242	Vlak
ME-10-ZE-0728	2	243, 244, 245	Vlak
ME-10-ZE-0729	2	243, 244, 245	Vlak
ME-10-ZE-0730	2	246	Vlak
ME-10-ZE-0731	2	246	Vlak
ME-10-ZE-0732	2	247, 248	Vlak
ME-10-ZE-0733	2	247, 248	Vlak
ME-10-ZE-0734	2	249	Vlak

ME-10-ZE-0735	2	249	Vlak
ME-10-ZE-0736	2	250	Vlak
ME-10-ZE-0737	2	250	Vlak
ME-10-ZE-0738	2	251	Vlak
ME-10-ZE-0739	2	251	Vlak
ME-10-ZE-0740	2	252	Vlak
ME-10-ZE-0741	2	252	Vlak
ME-10-ZE-0742	2	253	Vlak
ME-10-ZE-0743	2	253	Vlak
ME-10-ZE-0744	2	254, 255, 256	Vlak
ME-10-ZE-0745	2	254, 255, 256	Vlak
ME-10-ZE-0746	2	257	Vlak
ME-10-ZE-0747	2	257	Vlak
ME-10-ZE-0748	2	258, 259	Vlak
ME-10-ZE-0749	2	258, 259	Vlak
ME-10-ZE-0750	2	260	Vlak
ME-10-ZE-0751	2	260	Vlak
ME-10-ZE-0752	2	261	Vlak
ME-10-ZE-0753	2	261	Vlak
ME-10-ZE-0754	2	262	Vlak
ME-10-ZE-0755	2	262	Vlak
ME-10-ZE-0756	2	263	Vlak
ME-10-ZE-0757	2	263	Vlak
ME-10-ZE-0758	2	264	Vlak
ME-10-ZE-0759	2	264	Vlak
ME-10-ZE-0760	2	265	Vlak
ME-10-ZE-0761	2	265	Vlak
ME-10-ZE-0762	2	266	Vlak
ME-10-ZE-0763	2	266	Vlak
ME-10-ZE-0764	2	267	Vlak
ME-10-ZE-0765	2	267	Vlak
ME-10-ZE-0766	2	268	Vlak
ME-10-ZE-0767	2	268	Vlak
ME-10-ZE-0768	2	269	Vlak
ME-10-ZE-0769	2	269	Vlak
ME-10-ZE-0770	2	270	Vlak
ME-10-ZE-0771	2	270	Vlak
ME-10-ZE-0772	2	271	Vlak
ME-10-ZE-0773	2	271	Vlak
ME-10-ZE-0774	2	272	Vlak
ME-10-ZE-0775	2	272	Vlak
ME-10-ZE-0776	2	273	Vlak
ME-10-ZE-0777	2	273	Vlak

ME-10-ZE-0778	2	274	Vlak
ME-10-ZE-0779	2	274	Vlak
ME-10-ZE-0780	2	275	Vlak
ME-10-ZE-0781	2	275	Vlak
ME-10-ZE-0782	2	276	Vlak
ME-10-ZE-0783	2	276	Vlak
ME-10-ZE-0784	2	277, 278, 279	Vlak
ME-10-ZE-0785	2	277, 278, 279	Vlak
ME-10-ZE-0786	2	280	Vlak
ME-10-ZE-0787	2	280	Vlak
ME-10-ZE-0788	2	281	Vlak
ME-10-ZE-0789	2	281	Vlak
ME-10-ZE-0790	2	282	Vlak
ME-10-ZE-0791	2	282	Vlak
ME-10-ZE-0792	2	283	Vlak
ME-10-ZE-0793	2	283	Vlak
ME-10-ZE-0794	2	284	Vlak
ME-10-ZE-0795	2	284	Vlak
ME-10-ZE-0796	2	285	Vlak
ME-10-ZE-0797	2	285	Vlak
ME-10-ZE-0798	2	286	Vlak
ME-10-ZE-0799	2	286	Vlak
ME-10-ZE-0800	2	287, 288	Vlak
ME-10-ZE-0801	2	287, 288	Vlak
ME-10-ZE-0802	2	289	Vlak
ME-10-ZE-0803	2	289	Vlak
ME-10-ZE-0804	2	290	Vlak
ME-10-ZE-0805	2	290	Vlak
ME-10-ZE-0806	2	291	Vlak
ME-10-ZE-0807	2	291	Vlak
ME-10-ZE-0808	2	292	Vlak
ME-10-ZE-0809	2	292	Vlak
ME-10-ZE-0810	2	293	Vlak
ME-10-ZE-0811	2	293	Vlak
ME-10-ZE-0812	2	294	Vlak
ME-10-ZE-0813	2	294	Vlak
ME-10-ZE-0814	2	295	Vlak
ME-10-ZE-0815	2	295	Vlak
ME-10-ZE-0816	2	296	Vlak
ME-10-ZE-0817	2	296	Vlak
ME-10-ZE-0818	2	297	Vlak
ME-10-ZE-0819	2	297	Vlak
ME-10-ZE-0820	2	298	Vlak

ME-10-ZE-0821	2	298	Vlak
ME-10-ZE-0822	2	299	Vlak
ME-10-ZE-0823	2	299	Vlak
ME-10-ZE-0824	2	300	Vlak
ME-10-ZE-0825	2	300	Vlak
ME-10-ZE-0826	2	301	Vlak
ME-10-ZE-0827	2	301	Vlak
ME-10-ZE-0828	2	302	Vlak
ME-10-ZE-0829	2	302	Vlak
ME-10-ZE-0830	2	303	Vlak
ME-10-ZE-0831	2	303	Vlak
ME-10-ZE-0832	2	304	Vlak
ME-10-ZE-0833	2	304	Vlak
ME-10-ZE-0834	2	305	Vlak
ME-10-ZE-0835	2	305	Vlak
ME-10-ZE-0836	2	306	Vlak
ME-10-ZE-0837	2	306	Vlak
ME-10-ZE-0838	2	307	Vlak
ME-10-ZE-0839	2	307	Vlak
ME-10-ZE-0840	2	308, 309	Vlak
ME-10-ZE-0841	2	308, 309	Vlak
ME-10-ZE-0842	2	310	Vlak
ME-10-ZE-0843	2	310	Vlak
ME-10-ZE-0844	2	311, 312	Vlak
ME-10-ZE-0845	2	311, 312	Vlak
ME-10-ZE-0846	2	313	Vlak
ME-10-ZE-0847	2	313	Vlak
ME-10-ZE-0848	2	314	Vlak
ME-10-ZE-0849	2	314	Vlak
ME-10-ZE-0850	2	315, 316, 317	Vlak
ME-10-ZE-0851	2	315, 316, 317	Vlak
ME-10-ZE-0852	2	318	Vlak
ME-10-ZE-0853	2	318	Vlak
ME-10-ZE-0854	2	319	Vlak
ME-10-ZE-0855	2	319	Vlak
ME-10-ZE-0856	2	320, 321	Vlak
ME-10-ZE-0857	2	320, 321	Vlak
ME-10-ZE-0858	2	322	Vlak
ME-10-ZE-0859	2	322	Vlak
ME-10-ZE-0860	2	323	Vlak
ME-10-ZE-0861	2	323	Vlak
ME-10-ZE-0862	2	324, 325	Vlak
ME-10-ZE-0863	2	324, 325	Vlak

ME-10-ZE-0864	2	326	Vlak
ME-10-ZE-0865	2	326	Vlak
ME-10-ZE-0866	2	327	Vlak
ME-10-ZE-0867	2	327	Vlak
ME-10-ZE-0868	2	328, 329	Vlak
ME-10-ZE-0869	2	328, 329	Vlak
ME-10-ZE-0870	2	330	Vlak
ME-10-ZE-0871	2	330	Vlak
ME-10-ZE-0872	2	331	Vlak
ME-10-ZE-0873	2	331	Vlak
ME-10-ZE-0874	2	332, 333	Vlak
ME-10-ZE-0875	2	332, 333	Vlak
ME-10-ZE-0876	2	334	Vlak
ME-10-ZE-0877	2	334	Vlak
ME-10-ZE-0878	2	335	Vlak
ME-10-ZE-0879	2	335	Vlak
ME-10-ZE-0880	2	336	Vlak
ME-10-ZE-0881	2	336	Vlak
ME-10-ZE-0882	2	337, 338	Vlak
ME-10-ZE-0883	2	337, 338	Vlak
ME-10-ZE-0884	2	339, 340	Vlak
ME-10-ZE-0885	2	339, 340	Vlak
ME-10-ZE-0886	2	341, 342	Vlak
ME-10-ZE-0887	2	341, 342	Vlak
ME-10-ZE-0888	2	343	Vlak
ME-10-ZE-0889	2	343	Vlak
ME-10-ZE-0890	2	344	Vlak
ME-10-ZE-0891	2	344	Vlak
ME-10-ZE-0892	2	345, 346	Vlak
ME-10-ZE-0893	2	345, 346	Vlak
ME-10-ZE-0894	2	347, 348	Vlak
ME-10-ZE-0895	2	347, 348	Vlak
ME-10-ZE-0896	2	349, 350	Vlak
ME-10-ZE-0897	2	349, 350	Vlak
ME-10-ZE-0898	2	351, 352	Vlak
ME-10-ZE-0899	2	351, 352	Vlak
ME-10-ZE-0900	2	353	Vlak
ME-10-ZE-0901	2	353	Vlak
ME-10-ZE-0902	2	354	Vlak
ME-10-ZE-0903	2	354	Vlak
ME-10-ZE-0904	2	355, 356	Vlak
ME-10-ZE-0905	2	355, 356	Vlak
ME-10-ZE-0906	2	357, 358	Vlak
ME-10-ZE-0907	2	357, 358	Vlak

ME-10-ZE-0908	2	359	Vlak
ME-10-ZE-0909	2	359	Vlak
ME-10-ZE-0910	2	360	Vlak
ME-10-ZE-0911	2	360	Vlak
ME-10-ZE-0912	2	361	Vlak
ME-10-ZE-0913	2	361	Vlak
ME-10-ZE-0914	2	362	Vlak
ME-10-ZE-0915	2	362	Vlak
ME-10-ZE-0916	2	363, 364	Vlak
ME-10-ZE-0917	2	363, 364	Vlak
ME-10-ZE-0918	2	365, 366	Vlak
ME-10-ZE-0919	2	365, 366	Vlak
ME-10-ZE-0920	2	367, 368	Vlak
ME-10-ZE-0921	2	367, 368	Vlak
ME-10-ZE-0922	2	369, 370	Vlak
ME-10-ZE-0923	2	369, 370	Vlak
ME-10-ZE-0924	2	371, 372	Vlak
ME-10-ZE-0925	2	371, 372	Vlak
ME-10-ZE-0926	2	373, 374	Vlak
ME-10-ZE-0927	2	373, 374	Vlak
ME-10-ZE-0928	2	375	Vlak
ME-10-ZE-0929	2	375	Vlak
ME-10-ZE-0930	2	376, 377	Vlak
ME-10-ZE-0931	2	376, 377	Vlak
ME-10-ZE-0932	2	378, 379, 380	Vlak
ME-10-ZE-0933	2	378, 379, 380	Vlak
ME-10-ZE-0934	2	381	Vlak
ME-10-ZE-0935	2	381	Vlak
ME-10-ZE-0936	2	382	Vlak
ME-10-ZE-0937	2	382	Vlak
ME-10-ZE-0938	2	383, 384, 385	Vlak
ME-10-ZE-0939	2	383, 384, 385	Vlak
ME-10-ZE-0940	2	386, 387, 388	Vlak
ME-10-ZE-0941	2	386, 387, 388	Vlak
ME-10-ZE-0942	2	389	Vlak
ME-10-ZE-0943	2	389	Vlak
ME-10-ZE-0944	2	390, 391, 392	Vlak
ME-10-ZE-0945	2	390, 391, 392	Vlak
ME-10-ZE-0946	2	393, 394, 395	Vlak

ME-10-ZE-0947	2	393, 394, 395	Vlak
ME-10-ZE-0948	2	396, 397, 398	Vlak
ME-10-ZE-0949	2	396, 397, 398	Vlak
ME-10-ZE-0950	2	399, 400	Vlak
ME-10-ZE-0951	2	399, 400	Vlak
ME-10-ZE-0952	2	401, 402	Vlak
ME-10-ZE-0953	2	401, 402	Vlak
ME-10-ZE-0954	2	403, 404	Vlak
ME-10-ZE-0955	2	403, 404	Vlak
ME-10-ZE-0956	2	405	Vlak
ME-10-ZE-0957	2	405	Vlak
ME-10-ZE-0958	2	406	Vlak
ME-10-ZE-0959	2	406	Vlak
ME-10-ZE-0960	2	407, 408	Vlak
ME-10-ZE-0961	2	407, 408	Vlak
ME-10-ZE-0962	2	409	Vlak
ME-10-ZE-0963	2	409	Vlak
ME-10-ZE-0964	2	410	Vlak
ME-10-ZE-0965	2	410	Vlak
ME-10-ZE-0966	2	411	Vlak
ME-10-ZE-0967	2	411	Vlak
ME-10-ZE-0968	2	412	Vlak
ME-10-ZE-0969	2	412	Vlak
ME-10-ZE-0970	2	412	Vlak
ME-10-ZE-0971	2	413, 414	Vlak
ME-10-ZE-0972	2	413, 414	Vlak
ME-10-ZE-0973	2	415, 416	Vlak
ME-10-ZE-0974	2	415, 416	Vlak
ME-10-ZE-0975	2	417, 418	Vlak
ME-10-ZE-0976	2	417, 418	Vlak
ME-10-ZE-0977	2	419	Vlak
ME-10-ZE-0978	2	419	Vlak
ME-10-ZE-0979	2	420, 421, 422	Vlak
ME-10-ZE-0980	2	420, 421, 422	Vlak
ME-10-ZE-0981	2	423, 424	Vlak
ME-10-ZE-0982	2	423, 424	Vlak
ME-10-ZE-0983	2	425, 426, 427	Vlak
ME-10-ZE-0984	2	425, 426, 427	Vlak
ME-10-ZE-0985	2	425, 426, 427	Vlak
ME-10-ZE-0986	2	428, 429	Vlak

ME-10-ZE-0987	2	428, 429	Vlak
ME-10-ZE-0988	2	430, 431, 432	Vlak
ME-10-ZE-0989	2	430, 431, 432	Vlak
ME-10-ZE-0990	2	433, 434	Vlak
ME-10-ZE-0991	2	433, 434	Vlak
ME-10-ZE-0992	2	435, 436	Vlak
ME-10-ZE-0993	2	435, 436	Vlak
ME-10-ZE-0994	2	437, 438, 439	Vlak
ME-10-ZE-0995	2	437, 438, 439	Vlak
ME-10-ZE-0996	2	437, 438, 439	Vlak
ME-10-ZE-0997	2	440, 441	Vlak
ME-10-ZE-0998	2	440, 441	Vlak
ME-10-ZE-0999	2	442	Vlak
ME-10-ZE-1000	2	442	Vlak
ME-10-ZE-1001	2	443	Vlak
ME-10-ZE-1002	2	443	Vlak
ME-10-ZE-1003	2	444, 445	Vlak
ME-10-ZE-1004	2	444, 445	Vlak
ME-10-ZE-1005	2	446	Vlak
ME-10-ZE-1006	2	446	Vlak
ME-10-ZE-1007	2	447	Vlak
ME-10-ZE-1008	2	447	Vlak
ME-10-ZE-1009	2	448	Vlak
ME-10-ZE-1010	2	448	Vlak
ME-10-ZE-1011	2	449, 450, 451	Vlak
ME-10-ZE-1012	2	449, 450, 451	Vlak
ME-10-ZE-1013	2	452, 453, 454, 455	Vlak
ME-10-ZE-1014	2	452, 453, 454, 455	Vlak
ME-10-ZE-1015	2	456, 457, 458, 459	Vlak
ME-10-ZE-1016	2	456, 457, 458, 459	Vlak
ME-10-ZE-1017	2	456, 457, 458, 459	Vlak
ME-10-ZE-1018	2	456, 457, 458, 459	Vlak
ME-10-ZE-1019	2	460, 461	Vlak
ME-10-ZE-1020	2	460, 461	Vlak
ME-10-ZE-1021	2	462	Vlak
ME-10-ZE-1022	2	462	Vlak
ME-10-ZE-1023	2	463, 464, 46	Vlak

		5	
ME-10-ZE-1024	2	463,464,465	Vlak
ME-10-ZE-1025	2	466,467	Vlak
ME-10-ZE-1026	2	466,467	Vlak
ME-10-ZE-1027	2	468, 469	Vlak
ME-10-ZE-1028	2	468, 469	Vlak
ME-10-ZE-1029	2	470, 471	Vlak
ME-10-ZE-1030	2	470, 471	Vlak
ME-10-ZE-1031	2	472, 473	Vlak
ME-10-ZE-1032	2	472, 473	Vlak
ME-10-ZE-1033	2	474, 475	Vlak
ME-10-ZE-1034	2	474, 475	Vlak
ME-10-ZE-1035	2	476, 477, 478	Vlak
ME-10-ZE-1036	2	576, 477, 478	Vlak
ME-10-ZE-1037	2	479	Vlak
ME-10-ZE-1038	2	479	Vlak
ME-10-ZE-1039	2	480, 481	Vlak
ME-10-ZE-1040	2	480, 481	Vlak
ME-10-ZE-1041	2	482	Vlak
ME-10-ZE-1042	2	482	Vlak
ME-10-ZE-1043	2	483	Vlak
ME-10-ZE-1044	2	483	Vlak
ME-10-ZE-1045	2	484	Vlak
ME-10-ZE-1046	2	484	Vlak
ME-10-ZE-1047	2	485, 486	Vlak
ME-10-ZE-1048	2	485, 486	Vlak
ME-10-ZE-1049	2	487, 488, 489	Vlak
ME-10-ZE-1050	2	487, 488, 489	Vlak
ME-10-ZE-1051	2	490, 491	Vlak
ME-10-ZE-1052	2	490, 491	Vlak
ME-10-ZE-1053	2	492, 493	Vlak
ME-10-ZE-1054	2	492, 493	Vlak
ME-10-ZE-1055	2	494, 495, 496, 497	Vlak
ME-10-ZE-1056	2	494, 495, 496, 497	Vlak
ME-10-ZE-1057	2	498	Vlak
ME-10-ZE-1058	2	498	Vlak
ME-10-ZE-1059	2	499, 500, 501	Vlak
ME-10-ZE-1060	2	499, 500, 501	Vlak
ME-10-ZE-1061	2	502	Vlak

ME-10-ZE-1062	2	502	Vlak
ME-10-ZE-1063	2	503, 504	Vlak
ME-10-ZE-1064	2	503, 504	Vlak
ME-10-ZE-1065	2	505, 506	Vlak
ME-10-ZE-1066	2	505, 506	Vlak
ME-10-ZE-1067	2	505, 506	Vlak
ME-10-ZE-1068	2	505, 506	Vlak
ME-10-ZE-1069	2	505, 506, 507	Vlak
ME-10-ZE-1070	2	505, 506, 507	Vlak
ME-10-ZE-1071	2	505, 506, 507	Vlak
ME-10-ZE-1072	2	508, 509	Vlak
ME-10-ZE-1073	2	508, 509	Vlak
ME-10-ZE-1074	2	510	Vlak
ME-10-ZE-1075	2	510	Vlak
ME-10-ZE-1076	2	511	Vlak
ME-10-ZE-1077	2	511	Vlak
ME-10-ZE-1078	2	512, 513	Vlak
ME-10-ZE-1079	2	512, 513	Vlak
ME-10-ZE-1080	2	514	Vlak
ME-10-ZE-1081	2	514	Vlak
ME-10-ZE-1082	2	181	Coupe
ME-10-ZE-1083	2		Coupe
ME-10-ZE-1084	2	183	Coupe
ME-10-ZE-1085	2		Coupe
ME-10-ZE-1086	2	186	Coupe
ME-10-ZE-1087	2		Coupe
ME-10-ZE-1088	2	188	Coupe
ME-10-ZE-1089	2	188	Coupe
ME-10-ZE-1090	2		Coupe
ME-10-ZE-1091	2	192	Coupe
ME-10-ZE-1092	2		Coupe
ME-10-ZE-1093	2	191	Coupe
ME-10-ZE-1094	2		Coupe
ME-10-ZE-1095	2	203	Coupe
ME-10-ZE-1096	2		Coupe
ME-10-ZE-1097	2		Coupe
ME-10-ZE-1098	2	201	Coupe
ME-10-ZE-1099	2		Coupe
ME-10-ZE-1100	2	197	Coupe
ME-10-ZE-1101	2		Coupe
ME-10-ZE-1102	2	196	Coupe
ME-10-ZE-1103	2		Coupe

ME-10-ZE-1104	2	193	Coupe
ME-10-ZE-1105	2		Coupe
ME-10-ZE-1106	2	198	Coupe
ME-10-ZE-1107	2		Coupe
ME-10-ZE-1108	2	215	Coupe
ME-10-ZE-1109	2	208	Coupe
ME-10-ZE-1110	2	209	Coupe
ME-10-ZE-1111	2	214	Coupe
ME-10-ZE-1112	2	216	Coupe
ME-10-ZE-1113	2	219	Coupe
ME-10-ZE-1114	2	218	Coupe
ME-10-ZE-1115	2	222	Coupe
ME-10-ZE-1116	2	221	Coupe
ME-10-ZE-1117	2	225	Coupe
ME-10-ZE-1118	2	234	Coupe
ME-10-ZE-1119	2	233	Coupe
ME-10-ZE-1120	2	235	Coupe
ME-10-ZE-1121	2	236	Coupe
ME-10-ZE-1122	2	232	Coupe
ME-10-ZE-1123	2	227	Coupe
ME-10-ZE-1124	2	248	Coupe
ME-10-ZE-1125	2	247	Coupe
ME-10-ZE-1126	2	239	Coupe
ME-10-ZE-1127	2	244	Coupe
ME-10-ZE-1128	2	249	Coupe
ME-10-ZE-1129	2	250	Coupe
ME-10-ZE-1130	2	246	Coupe
ME-10-ZE-1131	2	241	Coupe
ME-10-ZE-1132	2	263	Coupe
ME-10-ZE-1133	2	251	Coupe
ME-10-ZE-1134	2	267	Coupe
ME-10-ZE-1135	2	267	Coupe
ME-10-ZE-1136	2	245	Coupe
ME-10-ZE-1137	2	245	Coupe
ME-10-ZE-1138	2	252	Coupe
ME-10-ZE-1139	2	252	Coupe
ME-10-ZE-1140	2	210	Coupe
ME-10-ZE-1141	2	210	Coupe
ME-10-ZE-1142	2	209	Coupe
ME-10-ZE-1143	2	209	Coupe
ME-10-ZE-1144	2	260	Coupe
ME-10-ZE-1145	2	260	Coupe
ME-10-ZE-1146	2	228, 229	Coupe
ME-10-ZE-1147	2	228, 229	Coupe

ME-10-ZE-1148	2	253	Coupe
ME-10-ZE-1149	2	253	Coupe
ME-10-ZE-1150	2	257	Coupe
ME-10-ZE-1151	2	257	Coupe
ME-10-ZE-1152	2	271	Coupe
ME-10-ZE-1153	2	271	Coupe
ME-10-ZE-1154	2	259	Coupe
ME-10-ZE-1155	2	259	Coupe
ME-10-ZE-1156	2	266	Coupe
ME-10-ZE-1157	2	266	Coupe
ME-10-ZE-1158	2	279	Coupe
ME-10-ZE-1159	2	279	Coupe
ME-10-ZE-1160	2	277	Coupe
ME-10-ZE-1161	2	277	Coupe
ME-10-ZE-1162	2	276	Coupe
ME-10-ZE-1163	2	276	Coupe
ME-10-ZE-1164	2	287	Coupe
ME-10-ZE-1165	2	287	Coupe
ME-10-ZE-1166	2	270	Coupe
ME-10-ZE-1167	2	270	Coupe
ME-10-ZE-1168	2	289	Coupe
ME-10-ZE-1169	2	289	Coupe
ME-10-ZE-1170	2	288	Coupe
ME-10-ZE-1171	2	288	Coupe
ME-10-ZE-1172	2	284	Coupe
ME-10-ZE-1173	2	284	Coupe
ME-10-ZE-1174	2	291	Coupe
ME-10-ZE-1175	2	291	Coupe
ME-10-ZE-1176	2	294	Coupe
ME-10-ZE-1177	2	294	Coupe
ME-10-ZE-1178	2	290	Coupe
ME-10-ZE-1179	2	290	Coupe
ME-10-ZE-1180	2	269	Coupe
ME-10-ZE-1181	2	269	Coupe
ME-10-ZE-1182	2	292	Coupe
ME-10-ZE-1183	2	292	Coupe
ME-10-ZE-1184	2	296	Coupe
ME-10-ZE-1185	2	296	Coupe
ME-10-ZE-1186	2	307	Coupe
ME-10-ZE-1187	2	307	Coupe
ME-10-ZE-1188	2	292	Coupe
ME-10-ZE-1189	2	292	Coupe
ME-10-ZE-1190	2	326	Coupe
ME-10-ZE-1191	2	326	Coupe

ME-10-ZE-1192	2	308	Coupe
ME-10-ZE-1193	2	308	Coupe
ME-10-ZE-1194	2	327	Coupe
ME-10-ZE-1195	2	327	Coupe
ME-10-ZE-1196	2	302	Coupe
ME-10-ZE-1197	2	302	Coupe
ME-10-ZE-1198	2	303	Coupe
ME-10-ZE-1199	2	303	Coupe
ME-10-ZE-1200	2	295	Coupe
ME-10-ZE-1201	2	295	Coupe
ME-10-ZE-1202	2	295	Coupe
ME-10-ZE-1203	2	325	Coupe
ME-10-ZE-1204	2	325	Coupe
ME-10-ZE-1205	2	350	Coupe
ME-10-ZE-1206	2	350	Coupe
ME-10-ZE-1207	2	331	Coupe
ME-10-ZE-1208	2	331	Coupe
ME-10-ZE-1209	2	331	Coupe
ME-10-ZE-1210	2	324	Coupe
ME-10-ZE-1211	2	324	Coupe
ME-10-ZE-1212	2	328	Coupe
ME-10-ZE-1213	2	328	Coupe
ME-10-ZE-1214	2	318	Coupe
ME-10-ZE-1215	2	318	Coupe
ME-10-ZE-1216	2	353	Coupe
ME-10-ZE-1217	2	353	Coupe
ME-10-ZE-1218	2	352	Coupe
ME-10-ZE-1219	2	352	Coupe
ME-10-ZE-1220	2	351	Coupe
ME-10-ZE-1221	2	351	Coupe
ME-10-ZE-1222	2	332	Coupe
ME-10-ZE-1223	2	332	Coupe
ME-10-ZE-1224	2	316	Coupe
ME-10-ZE-1225	2	316	Coupe
ME-10-ZE-1226	2	334	Coupe
ME-10-ZE-1227	2	334	Coupe
ME-10-ZE-1228	2	336	Coupe
ME-10-ZE-1229	2	336	Coupe
ME-10-ZE-1230	2	347	Coupe
ME-10-ZE-1231	2	347	Coupe
ME-10-ZE-1232	2	335	Coupe
ME-10-ZE-1233	2	335	Coupe
ME-10-ZE-1234	2	335	Coupe
ME-10-ZE-1235	2	340	Coupe

ME-10-ZE-1236	2	340	Coupe
ME-10-ZE-1237	2	365	Coupe
ME-10-ZE-1238	2	365	Coupe
ME-10-ZE-1239	2	361	Coupe
ME-10-ZE-1240	2	361	Coupe
ME-10-ZE-1241	2	354	Coupe
ME-10-ZE-1242	2	354	Coupe
ME-10-ZE-1243	2	337	Coupe
ME-10-ZE-1244	2	337	Coupe
ME-10-ZE-1245	2	368	Coupe
ME-10-ZE-1246	2	368	Coupe
ME-10-ZE-1247	2	368	Coupe
ME-10-ZE-1248	2	374	Coupe
ME-10-ZE-1249	2	374	Coupe
ME-10-ZE-1250	2	377	Coupe
ME-10-ZE-1251	2	377	Coupe
ME-10-ZE-1252	2	342	Coupe
ME-10-ZE-1253	2	342	Coupe
ME-10-ZE-1254	2	342	Coupe
ME-10-ZE-1255	2	343	Coupe
ME-10-ZE-1256	2	343	Coupe
ME-10-ZE-1257	2	367	Coupe
ME-10-ZE-1258	2	367	Coupe
ME-10-ZE-1259	2	332, 333	Coupe
ME-10-ZE-1260	2	332, 333	Coupe
ME-10-ZE-1261	2	356	Coupe
ME-10-ZE-1262	2	356	Coupe
ME-10-ZE-1263	2	372	Coupe
ME-10-ZE-1264	2	372	Coupe
ME-10-ZE-1265	2	409	Coupe
ME-10-ZE-1266	2	409	Coupe
ME-10-ZE-1267	2	355	Coupe
ME-10-ZE-1268	2	355	Coupe
ME-10-ZE-1269	2	379	Coupe
ME-10-ZE-1270	2	379	Coupe
ME-10-ZE-1271	2	407	Coupe
ME-10-ZE-1272	2	407	Coupe
ME-10-ZE-1273	2	386	Coupe
ME-10-ZE-1274	2	386	Coupe
ME-10-ZE-1275	2	385	Coupe
ME-10-ZE-1276	2	385	Coupe
ME-10-ZE-1277	2	417	Coupe
ME-10-ZE-1278	2	417	Coupe
ME-10-ZE-1279	2	382	Coupe

ME-10-ZE-1280	2	382	Coupe
ME-10-ZE-1281	2	369, 370	Coupe
ME-10-ZE-1282	2	369, 370	Coupe
ME-10-ZE-1283	2	369, 370	Coupe
ME-10-ZE-1284	2	387	Coupe
ME-10-ZE-1285	2	387	Coupe
ME-10-ZE-1286	2	395	Coupe
ME-10-ZE-1287	2	395	Coupe
ME-10-ZE-1288	2	396	Coupe
ME-10-ZE-1289	2	396	Coupe
ME-10-ZE-1290	2	408	Coupe
ME-10-ZE-1291	2	408	Coupe
ME-10-ZE-1292	2	399, 400	Coupe
ME-10-ZE-1293	2	399, 400	Coupe
ME-10-ZE-1294	2	401	Coupe
ME-10-ZE-1295	2	401	Coupe
ME-10-ZE-1296	2	388, 516	Coupe
ME-10-ZE-1297	2	388, 516	Coupe
ME-10-ZE-1298	2	482	Coupe
ME-10-ZE-1299	2	482	Coupe
ME-10-ZE-1300	2	479	Coupe
ME-10-ZE-1301	2	479	Coupe
ME-10-ZE-1302	2	420	Coupe
ME-10-ZE-1303	2	420	Coupe
ME-10-ZE-1304	2	442	Coupe
ME-10-ZE-1305	2	442	Coupe
ME-10-ZE-1306	2	443	Coupe
ME-10-ZE-1307	2	443	Coupe
ME-10-ZE-1308	2	435	Coupe
ME-10-ZE-1309	2	435	Coupe
ME-10-ZE-1310	2	436	Coupe
ME-10-ZE-1311	2	436	Coupe
ME-10-ZE-1312	2	445	Coupe
ME-10-ZE-1313	2	445	Coupe
ME-10-ZE-1314	2	444	Coupe
ME-10-ZE-1315	2	444	Coupe
ME-10-ZE-1316	2	434	Coupe
ME-10-ZE-1317	2	434	Coupe
ME-10-ZE-1318	2	450	Coupe
ME-10-ZE-1319	2	450	Coupe
ME-10-ZE-1320	2	451	Coupe
ME-10-ZE-1321	2	451	Coupe
ME-10-ZE-1322	2	196	Coupe
ME-10-ZE-1323	2	196	Coupe

ME-10-ZE-1324	2	392	Coupe
ME-10-ZE-1325	2	392	Coupe
ME-10-ZE-1326	2	470	Coupe
ME-10-ZE-1327	2	470	Coupe
ME-10-ZE-1328	2	479	Coupe
ME-10-ZE-1329	2	479	Coupe
ME-10-ZE-1330	2	431	Coupe
ME-10-ZE-1331	2	431	Coupe
ME-10-ZE-1332	2	367	Coupe
ME-10-ZE-1333	2	367	Coupe
ME-10-ZE-1334	2	501	Coupe
ME-10-ZE-1335	2	501	Coupe
ME-10-ZE-1336	2	506, 505	Coupe
ME-10-ZE-1337	2	506, 505	Coupe
ME-10-ZE-1338	2	509	Coupe
ME-10-ZE-1339	2	509	Coupe
ME-10-ZE-1340	2	508	Coupe
ME-10-ZE-1341	2	508	Coupe
ME-10-ZE-1342	2	499	Coupe
ME-10-ZE-1343	2	499	Coupe
ME-10-ZE-1344	2	452, 453	Coupe
ME-10-ZE-1345	2	452, 453	Coupe
ME-10-ZE-1346	2	422	Coupe
ME-10-ZE-1347	2	422	Coupe
ME-10-ZE-1348	2	446	Coupe
ME-10-ZE-1349	2	446	Coupe
ME-10-ZE-1350	2	446	Coupe
ME-10-ZE-1351	2	511	Coupe
ME-10-ZE-1352	2	511	Coupe
ME-10-ZE-1353	2	459, 460	Coupe
ME-10-ZE-1354	2	459, 460	Coupe
ME-10-ZE-1355	2	427	Coupe
ME-10-ZE-1356	2	427	Coupe
ME-10-ZE-1357	2	428	Coupe
ME-10-ZE-1358	2	428	Coupe
ME-10-ZE-1359	2	429	Coupe
ME-10-ZE-1360	2	429	Coupe
ME-10-ZE-1361	2	462	Coupe
ME-10-ZE-1362	2	462	Coupe
ME-10-ZE-1363	2	439, 444	Coupe
ME-10-ZE-1364	2	493, 494	Coupe
ME-10-ZE-1365	2	472	Coupe
ME-10-ZE-1366	2	472	Coupe
ME-10-ZE-1367	2	476	Coupe

ME-10-ZE-1368	2	476	Coupe
ME-10-ZE-1369	2	454	Coupe
ME-10-ZE-1370	2	454	Coupe
ME-10-ZE-1371	2	454	Coupe
ME-10-ZE-1372	2	430	Coupe
ME-10-ZE-1373	2	430	Coupe
ME-10-ZE-1374	2	504	Coupe
ME-10-ZE-1375	2	504	Coupe
ME-10-ZE-1376	2	456	Coupe
ME-10-ZE-1377	2	456	Coupe
ME-10-ZE-1378	2	463	Coupe
ME-10-ZE-1379	2	463	Coupe
ME-10-ZE-1380	2	464	Coupe
ME-10-ZE-1381	2	464	Coupe
ME-10-ZE-1382	2	432	Coupe
ME-10-ZE-1383	2	432	Coupe
ME-10-ZE-1384	2	437, 438	Coupe
ME-10-ZE-1385	2	437, 438	Coupe
ME-10-ZE-1386	2	441	Coupe
ME-10-ZE-1387	2	441	Coupe
ME-10-ZE-1388	3		Overzicht
ME-10-ZE-1389	3		Overzicht
ME-10-ZE-1390	3		Overzicht
ME-10-ZE-1391	3		Overzicht
ME-10-ZE-1392	3		Overzicht
ME-10-ZE-1393	3		Overzicht
ME-10-ZE-1394	3		Overzicht
ME-10-ZE-1395	3		Overzicht
ME-10-ZE-1396	3		Overzicht
ME-10-ZE-1397	3		Overzicht
ME-10-ZE-1398	3		Overzicht
ME-10-ZE-1399	3		Overzicht
ME-10-ZE-1400	3		Overzicht
ME-10-ZE-1401	3		Overzicht
ME-10-ZE-1402	3		Overzicht
ME-10-ZE-1403	3		Overzicht
ME-10-ZE-1404	3		Overzicht
ME-10-ZE-1405	3		Overzicht
ME-10-ZE-1406	3		Overzicht
ME-10-ZE-1407	3		Overzicht
ME-10-ZE-1408	3		Overzicht
ME-10-ZE-1409	3		Overzicht
ME-10-ZE-1410	3		Overzicht
ME-10-ZE-1411	3		Overzicht

ME-10-ZE-1412	3		Overzicht
ME-10-ZE-1413	3		Overzicht
ME-10-ZE-1414	3		Overzicht
ME-10-ZE-1415	3		Overzicht
ME-10-ZE-1416	3		Overzicht
ME-10-ZE-1417	3		Overzicht
ME-10-ZE-1418	3		Overzicht
ME-10-ZE-1419	3		Overzicht
ME-10-ZE-1420	3		Overzicht
ME-10-ZE-1421	3		Overzicht
ME-10-ZE-1422	3		Overzicht
ME-10-ZE-1423	3		Overzicht
ME-10-ZE-1424	3		Overzicht
ME-10-ZE-1425	3		Overzicht
ME-10-ZE-1426	3		Overzicht
ME-10-ZE-1427	3		Overzicht
ME-10-ZE-1428	3		Overzicht
ME-10-ZE-1429	3		Overzicht
ME-10-ZE-1430	3		Overzicht
ME-10-ZE-1431	3		Overzicht
ME-10-ZE-1432	3		Overzicht
ME-10-ZE-1433	3		Overzicht
ME-10-ZE-1434	3		Overzicht
ME-10-ZE-1435	3		Overzicht
ME-10-ZE-1436	3		Overzicht
ME-10-ZE-1437	3		Overzicht
ME-10-ZE-1438	3		Overzicht
ME-10-ZE-1439	3		Overzicht
ME-10-ZE-1440	3		Overzicht
ME-10-ZE-1441	3		Overzicht
ME-10-ZE-1442	3		Overzicht
ME-10-ZE-1443	3		Overzicht
ME-10-ZE-1444	3		Overzicht
ME-10-ZE-1445	3		Overzicht
ME-10-ZE-1446	3		Overzicht
ME-10-ZE-1447	3		Overzicht
ME-10-ZE-1448	3		Overzicht
ME-10-ZE-1449	3		Overzicht
ME-10-ZE-1450	3		Overzicht
ME-10-ZE-1451	3		Overzicht
ME-10-ZE-1452	3		Overzicht
ME-10-ZE-1453	3		Overzicht
ME-10-ZE-1454	3		Overzicht
ME-10-ZE-1455	3		Overzicht

ME-10-ZE-1456	3		Overzicht
ME-10-ZE-1457	3		Overzicht
ME-10-ZE-1458	3	589	Vlak
ME-10-ZE-1459	3	589	Vlak
ME-10-ZE-1460	3	590	Vlak
ME-10-ZE-1461	3	590	Vlak
ME-10-ZE-1462	3	592	Vlak
ME-10-ZE-1463	3	592	Vlak
ME-10-ZE-1464	3	593	Vlak
ME-10-ZE-1465	3	593	Vlak
ME-10-ZE-1466	3	594, 595	Vlak
ME-10-ZE-1467	3	594, 595	Vlak
ME-10-ZE-1468	3	596	Vlak
ME-10-ZE-1469	3	596	Vlak
ME-10-ZE-1470	3	597	Vlak
ME-10-ZE-1471	3	597	Vlak
ME-10-ZE-1472	3	598	Vlak
ME-10-ZE-1473	3	598	Vlak
ME-10-ZE-1474	3	599	Vlak
ME-10-ZE-1475	3	599	Vlak
ME-10-ZE-1476	3	600	Vlak
ME-10-ZE-1477	3	600	Vlak
ME-10-ZE-1478	3	601	Vlak
ME-10-ZE-1479	3	601	Vlak
ME-10-ZE-1480	3	602, 603	Vlak
ME-10-ZE-1481	3	602, 603	Vlak
ME-10-ZE-1482	3	604, 605	Vlak
ME-10-ZE-1483	3	604, 605	Vlak
ME-10-ZE-1484	3	606, 607	Vlak
ME-10-ZE-1485	3	606, 607	Vlak
ME-10-ZE-1486	3	608	Vlak
ME-10-ZE-1487	3	608	Vlak
ME-10-ZE-1488	3	609	Vlak
ME-10-ZE-1489	3	609	Vlak
ME-10-ZE-1490	3	610	Vlak
ME-10-ZE-1491	3	610	Vlak
ME-10-ZE-1492	3	611	Vlak
ME-10-ZE-1493	3	611	Vlak
ME-10-ZE-1494	3	612	Vlak
ME-10-ZE-1495	3	612	Vlak
ME-10-ZE-1496	3	613, 614	Vlak
ME-10-ZE-1497	3	613, 614	Vlak
ME-10-ZE-1498	3	615	Vlak
ME-10-ZE-1499	3	615	Vlak

ME-10-ZE-1500	3	616	Vlak
ME-10-ZE-1501	3	616	Vlak
ME-10-ZE-1502	3	617	Vlak
ME-10-ZE-1503	3	617	Vlak
ME-10-ZE-1504	3	618	Vlak
ME-10-ZE-1505	3	618	Vlak
ME-10-ZE-1506	3	619	Vlak
ME-10-ZE-1507	3	619	Vlak
ME-10-ZE-1508	3	620	Vlak
ME-10-ZE-1509	3	620	Vlak
ME-10-ZE-1510	3	621, 622	Vlak
ME-10-ZE-1511	3	621, 622	Vlak
ME-10-ZE-1512	3	623	Vlak
ME-10-ZE-1513	3	623	Vlak
ME-10-ZE-1514	3	624	Vlak
ME-10-ZE-1515	3	624	Vlak
ME-10-ZE-1516	3	625	Vlak
ME-10-ZE-1517	3	625	Vlak
ME-10-ZE-1518	3	626	Vlak
ME-10-ZE-1519	3	626	Vlak
ME-10-ZE-1520	3	627	Vlak
ME-10-ZE-1521	3	627	Vlak
ME-10-ZE-1522	3	628	Vlak
ME-10-ZE-1523	3	628	Vlak
ME-10-ZE-1524	3	629	Vlak
ME-10-ZE-1525	3	629	Vlak
ME-10-ZE-1526	3	630	Vlak
ME-10-ZE-1527	3	630	Vlak
ME-10-ZE-1528	3	631	Vlak
ME-10-ZE-1529	3	631	Vlak
ME-10-ZE-1530	3	632	Vlak
ME-10-ZE-1531	3	632	Vlak
ME-10-ZE-1532	3	633	Vlak
ME-10-ZE-1533	3	633	Vlak
ME-10-ZE-1534	3	634	Vlak
ME-10-ZE-1535	3	634	Vlak
ME-10-ZE-1536	3	635	Vlak
ME-10-ZE-1537	3	635	Vlak
ME-10-ZE-1538	3	636, 637, 638	Vlak
ME-10-ZE-1539	3	636, 637, 638	Vlak
ME-10-ZE-1540	3	639	Vlak
ME-10-ZE-1541	3	639	Vlak
ME-10-ZE-1542	3	640	Vlak

ME-10-ZE-1543	3	640	Vlak
ME-10-ZE-1544	3	641	Vlak
ME-10-ZE-1545	3	641	Vlak
ME-10-ZE-1546	3	642	Vlak
ME-10-ZE-1547	3	642	Vlak
ME-10-ZE-1548	3	643	Vlak
ME-10-ZE-1549	3	643	Vlak
ME-10-ZE-1550	3	644	Vlak
ME-10-ZE-1551	3	644	Vlak
ME-10-ZE-1552	3	645	Vlak
ME-10-ZE-1553	3	645	Vlak
ME-10-ZE-1554	3	646	Vlak
ME-10-ZE-1555	3	646	Vlak
ME-10-ZE-1556	3	647	Vlak
ME-10-ZE-1557	3	647	Vlak
ME-10-ZE-1558	3	648	Vlak
ME-10-ZE-1559	3	648	Vlak
ME-10-ZE-1560	3	649	Vlak
ME-10-ZE-1561	3	649	Vlak
ME-10-ZE-1562	3	650	Vlak
ME-10-ZE-1563	3	650	Vlak
ME-10-ZE-1564	3	651	Vlak
ME-10-ZE-1565	3	651	Vlak
ME-10-ZE-1566	3	652	Vlak
ME-10-ZE-1567	3	652	Vlak
ME-10-ZE-1568	3	653	Vlak
ME-10-ZE-1569	3	653	Vlak
ME-10-ZE-1570	3	654	Vlak
ME-10-ZE-1571	3	654	Vlak
ME-10-ZE-1572	3	655	Vlak
ME-10-ZE-1573	3	655	Vlak
ME-10-ZE-1574	3	656	Vlak
ME-10-ZE-1575	3	656	Vlak
ME-10-ZE-1576	3	657	Vlak
ME-10-ZE-1577	3	657	Vlak
ME-10-ZE-1578	3	658	Vlak
ME-10-ZE-1579	3	658	Vlak
ME-10-ZE-1580	3	659	Vlak
ME-10-ZE-1581	3	659	Vlak
ME-10-ZE-1582	3	660	Vlak
ME-10-ZE-1583	3	660	Vlak
ME-10-ZE-1584	3	661	Vlak
ME-10-ZE-1585	3	661	Vlak
ME-10-ZE-1586	3	662	Vlak

ME-10-ZE-1587	3	662	Vlak
ME-10-ZE-1588	3	663	Vlak
ME-10-ZE-1589	3	663	Vlak
ME-10-ZE-1590	3	664	Vlak
ME-10-ZE-1591	3	664	Vlak
ME-10-ZE-1592	3	665	Vlak
ME-10-ZE-1593	3	665	Vlak
ME-10-ZE-1594	3	666	Vlak
ME-10-ZE-1595	3	666	Vlak
ME-10-ZE-1596	3	667	Vlak
ME-10-ZE-1597	3	667	Vlak
ME-10-ZE-1598	3	668	Vlak
ME-10-ZE-1599	3	668	Vlak
ME-10-ZE-1600	3	669	Vlak
ME-10-ZE-1601	3	669	Vlak
ME-10-ZE-1602	3	670	Vlak
ME-10-ZE-1603	3	670	Vlak
ME-10-ZE-1604	3	671	Vlak
ME-10-ZE-1605	3	671	Vlak
ME-10-ZE-1606	3	672, 673, 674	Vlak
ME-10-ZE-1607	3	672, 673, 674	Vlak
ME-10-ZE-1608	3	675	Vlak
ME-10-ZE-1609	3	675	Vlak
ME-10-ZE-1610	3	676	Vlak
ME-10-ZE-1611	3	676	Vlak
ME-10-ZE-1612	3	677	Vlak
ME-10-ZE-1613	3	677	Vlak
ME-10-ZE-1614	3	678	Vlak
ME-10-ZE-1615	3	678	Vlak
ME-10-ZE-1616	3	517	Vlak
ME-10-ZE-1617	3	517	Vlak
ME-10-ZE-1618	3	518	Vlak
ME-10-ZE-1619	3	518	Vlak
ME-10-ZE-1620	3	519	Vlak
ME-10-ZE-1621	3	519	Vlak
ME-10-ZE-1622	3	520	Vlak
ME-10-ZE-1623	3	520	Vlak
ME-10-ZE-1624	3	521	Vlak
ME-10-ZE-1625	3	521	Vlak
ME-10-ZE-1626	3	522	Vlak
ME-10-ZE-1627	3	522	Vlak
ME-10-ZE-1628	3	523, 524	Vlak
ME-10-ZE-1629	3	523, 524	Vlak

ME-10-ZE-1630	3	525, 526	Vlak
ME-10-ZE-1631	3	525, 526	Vlak
ME-10-ZE-1632	3	527	Vlak
ME-10-ZE-1633	3	527	Vlak
ME-10-ZE-1634	3	528	Vlak
ME-10-ZE-1635	3	528	Vlak
ME-10-ZE-1636	3	529, 530, 531	Vlak
ME-10-ZE-1637	3	529, 530, 531	Vlak
ME-10-ZE-1638	3	532	Vlak
ME-10-ZE-1639	3	532	Vlak
ME-10-ZE-1640	3	533, 534	Vlak
ME-10-ZE-1641	3	533, 534	Vlak
ME-10-ZE-1642	3	535	Vlak
ME-10-ZE-1643	3	535	Vlak
ME-10-ZE-1644	3	536	Vlak
ME-10-ZE-1645	3	536	Vlak
ME-10-ZE-1646	3	537	Vlak
ME-10-ZE-1647	3	537	Vlak
ME-10-ZE-1648	3	538, 539	Vlak
ME-10-ZE-1649	3	538, 539	Vlak
ME-10-ZE-1650	3	540	Vlak
ME-10-ZE-1651	3	540	Vlak
ME-10-ZE-1652	3	541, 542	Vlak
ME-10-ZE-1653	3	541, 542	Vlak
ME-10-ZE-1654	3	543	Vlak
ME-10-ZE-1655	3	543	Vlak
ME-10-ZE-1656	3	544, 545	Vlak
ME-10-ZE-1657	3	544, 545	Vlak
ME-10-ZE-1658	3	546, 547	Vlak
ME-10-ZE-1659	3	546, 547	Vlak
ME-10-ZE-1660	3	548, 549	Vlak
ME-10-ZE-1661	3	548, 549	Vlak
ME-10-ZE-1662	3	550	Vlak
ME-10-ZE-1663	3	550	Vlak
ME-10-ZE-1664	3	551, 552	Vlak
ME-10-ZE-1665	3	551, 552	Vlak
ME-10-ZE-1666	3	553	Vlak
ME-10-ZE-1667	3	553	Vlak
ME-10-ZE-1668	3	554	Vlak
ME-10-ZE-1669	3	554	Vlak
ME-10-ZE-1670	3	555	Vlak
ME-10-ZE-1671	3	555	Vlak
ME-10-ZE-1672	3	556	Vlak

ME-10-ZE-1673	3	556	Vlak
ME-10-ZE-1674	3	557	Vlak
ME-10-ZE-1675	3	557	Vlak
ME-10-ZE-1676	3	558	Vlak
ME-10-ZE-1677	3	558	Vlak
ME-10-ZE-1678	3	559	Vlak
ME-10-ZE-1679	3	559	Vlak
ME-10-ZE-1680	3	560	Vlak
ME-10-ZE-1681	3	560	Vlak
ME-10-ZE-1682	3	560	Vlak
ME-10-ZE-1683	3	560	Vlak
ME-10-ZE-1684	3	717	Vlak
ME-10-ZE-1685	3	561, 562	Vlak
ME-10-ZE-1686	3	717	Vlak
ME-10-ZE-1687	3	561, 562	Vlak
ME-10-ZE-1688	3	718, 719	Vlak
ME-10-ZE-1689	3	563, 564	Vlak
ME-10-ZE-1690	3	718, 719	Vlak
ME-10-ZE-1691	3	563, 564	Vlak
ME-10-ZE-1692	3	565	Vlak
ME-10-ZE-1693	3	565	Vlak
ME-10-ZE-1694	3	566	Vlak
ME-10-ZE-1695	3	566	Vlak
ME-10-ZE-1696	3	567	Vlak
ME-10-ZE-1697	3	567	Vlak
ME-10-ZE-1698	3	568	Vlak
ME-10-ZE-1699	3	568	Vlak
ME-10-ZE-1700	3	569	Vlak
ME-10-ZE-1701	3	569	Vlak
ME-10-ZE-1702	3	570	Vlak
ME-10-ZE-1703	3	570	Vlak
ME-10-ZE-1704	3	571	Vlak
ME-10-ZE-1705	3	571	Vlak
ME-10-ZE-1706	3	572	Vlak
ME-10-ZE-1707	3	572	Vlak
ME-10-ZE-1708	3	573, 574	Vlak
ME-10-ZE-1709	3	573, 574	Vlak
ME-10-ZE-1710	3	575	Vlak
ME-10-ZE-1711	3	575	Vlak
ME-10-ZE-1712	3	576	Vlak
ME-10-ZE-1713	3	576	Vlak
ME-10-ZE-1714	3	577	Vlak
ME-10-ZE-1715	3	577	Vlak
ME-10-ZE-1716	3	578	Vlak

ME-10-ZE-1717	3	578	Vlak
ME-10-ZE-1718	3	579	Vlak
ME-10-ZE-1719	3	579	Vlak
ME-10-ZE-1720	3	580, 581	Vlak
ME-10-ZE-1721	3	580, 581	Vlak
ME-10-ZE-1722	3	582	Vlak
ME-10-ZE-1723	3	582	Vlak
ME-10-ZE-1724	3	583	Vlak
ME-10-ZE-1725	3	583	Vlak
ME-10-ZE-1726	3	584	Vlak
ME-10-ZE-1727	3	584	Vlak
ME-10-ZE-1728	3	585	Vlak
ME-10-ZE-1729	3	585	Vlak
ME-10-ZE-1730	3	586	Vlak
ME-10-ZE-1731	3	586	Vlak
ME-10-ZE-1732	3	587	Vlak
ME-10-ZE-1733	3	587	Vlak
ME-10-ZE-1734	3	588	Vlak
ME-10-ZE-1735	3	588	Vlak
ME-10-ZE-1736	3	679	Vlak
ME-10-ZE-1737	3	679	Vlak
ME-10-ZE-1738	3	680	Vlak
ME-10-ZE-1739	3	680	Vlak
ME-10-ZE-1740	3	681, 682	Vlak
ME-10-ZE-1741	3	681, 682	Vlak
ME-10-ZE-1742	3	683	Vlak
ME-10-ZE-1743	3	683	Vlak
ME-10-ZE-1744	3	684	Vlak
ME-10-ZE-1745	3	684	Vlak
ME-10-ZE-1746	3	685	Vlak
ME-10-ZE-1747	3	685	Vlak
ME-10-ZE-1748	3	686	Vlak
ME-10-ZE-1749	3	686	Vlak
ME-10-ZE-1750	3	687	Vlak
ME-10-ZE-1751	3	687	Vlak
ME-10-ZE-1752	3	688, 689	Vlak
ME-10-ZE-1753	3	688, 689	Vlak
ME-10-ZE-1754	3	690	Vlak
ME-10-ZE-1755	3	690	Vlak
ME-10-ZE-1756	3	690	Vlak
ME-10-ZE-1757	3	691	Vlak
ME-10-ZE-1758	3	691	Vlak
ME-10-ZE-1759	3	692	Vlak
ME-10-ZE-1760	3	692	Vlak

ME-10-ZE-1761	3	693	Vlak
ME-10-ZE-1762	3	693	Vlak
ME-10-ZE-1763	3	694	Vlak
ME-10-ZE-1764	3	694	Vlak
ME-10-ZE-1765	3	695	Vlak
ME-10-ZE-1766	3	695	Vlak
ME-10-ZE-1767	3	696	Vlak
ME-10-ZE-1768	3	696	Vlak
ME-10-ZE-1769	3	697	Vlak
ME-10-ZE-1770	3	697	Vlak
ME-10-ZE-1771	3	698	Vlak
ME-10-ZE-1772	3	698	Vlak
ME-10-ZE-1773	3	699	Vlak
ME-10-ZE-1774	3	699	Vlak
ME-10-ZE-1775	3	700	Vlak
ME-10-ZE-1776	3	700	Vlak
ME-10-ZE-1777	3	701, 702	Vlak
ME-10-ZE-1778	3	701, 702	Vlak
ME-10-ZE-1779	3	703	Vlak
ME-10-ZE-1780	3	703	Vlak
ME-10-ZE-1781	3	704	Vlak
ME-10-ZE-1782	3	704	Vlak
ME-10-ZE-1783	3	705	Vlak
ME-10-ZE-1784	3	705	Vlak
ME-10-ZE-1785	3	706	Vlak
ME-10-ZE-1786	3	706	Vlak
ME-10-ZE-1787	3	707	Vlak
ME-10-ZE-1788	3	707	Vlak
ME-10-ZE-1789	3	708	Vlak
ME-10-ZE-1790	3	708	Vlak
ME-10-ZE-1791	3	709	Vlak
ME-10-ZE-1792	3	709	Vlak
ME-10-ZE-1793	3	710	Vlak
ME-10-ZE-1794	3	710	Vlak
ME-10-ZE-1795	3	711	Vlak
ME-10-ZE-1796	3	711	Vlak
ME-10-ZE-1797	3	712	Vlak
ME-10-ZE-1798	3	712	Vlak
ME-10-ZE-1799	3	713	Vlak
ME-10-ZE-1800	3	713	Vlak
ME-10-ZE-1801	3	714, 715	Vlak
ME-10-ZE-1802	3	714, 715	Vlak
ME-10-ZE-1803	3	716	Vlak
ME-10-ZE-1804	3	716	Vlak

ME-10-ZE-1805	3	526	Coupe
ME-10-ZE-1806	3	526	Coupe
ME-10-ZE-1807	3	529	Coupe
ME-10-ZE-1808	3	529	Coupe
ME-10-ZE-1809	3	531	Coupe
ME-10-ZE-1810	3	531	Coupe
ME-10-ZE-1811	3	522	Coupe
ME-10-ZE-1812	3	522	Coupe
ME-10-ZE-1813	3	523	Coupe
ME-10-ZE-1814	3	523	Coupe
ME-10-ZE-1815	3	527	Coupe
ME-10-ZE-1816	3	527	Coupe
ME-10-ZE-1817	3	535	Coupe
ME-10-ZE-1818	3	535	Coupe
ME-10-ZE-1819	3	533	Coupe
ME-10-ZE-1820	3	533	Coupe
ME-10-ZE-1821	3	544	Coupe
ME-10-ZE-1822	3	544	Coupe
ME-10-ZE-1823	3	543	Coupe
ME-10-ZE-1824	3	543	Coupe
ME-10-ZE-1825	3	542	Coupe
ME-10-ZE-1826	3	542	Coupe
ME-10-ZE-1827	3	540	Coupe
ME-10-ZE-1828	3	540	Coupe
ME-10-ZE-1829	3	537	Coupe
ME-10-ZE-1830	3	537	Coupe
ME-10-ZE-1831	3	555	Coupe
ME-10-ZE-1832	3	555	Coupe
ME-10-ZE-1833	3	547	Coupe
ME-10-ZE-1834	3	547	Coupe
ME-10-ZE-1835	3	549	Coupe
ME-10-ZE-1836	3	549	Coupe
ME-10-ZE-1837	3	556	Coupe
ME-10-ZE-1838	3	556	Coupe
ME-10-ZE-1839	3	539	Coupe
ME-10-ZE-1840	3	539	Coupe
ME-10-ZE-1841	3	546	Coupe
ME-10-ZE-1842	3	546	Coupe
ME-10-ZE-1843	3	545	Coupe
ME-10-ZE-1844	3	545	Coupe
ME-10-ZE-1845	3	547	Coupe
ME-10-ZE-1846	3	547	Coupe
ME-10-ZE-1847	3	550	Coupe
ME-10-ZE-1848	3	550	Coupe

ME-10-ZE-1849	3	553	Coupe
ME-10-ZE-1850	3	553	Coupe
ME-10-ZE-1851	3	557	Coupe
ME-10-ZE-1852	3	557	Coupe
ME-10-ZE-1853	3	552	Coupe
ME-10-ZE-1854	3	552	Coupe
ME-10-ZE-1855	3	565	Coupe
ME-10-ZE-1856	3	565	Coupe
ME-10-ZE-1857	3	540, 552, 554	Coupe
ME-10-ZE-1858	3	540, 552, 554	Coupe
ME-10-ZE-1859	3	554	Coupe
ME-10-ZE-1860	3	554	Coupe
ME-10-ZE-1861	3	558	Coupe
ME-10-ZE-1862	3	558	Coupe
ME-10-ZE-1863	3	563	Coupe
ME-10-ZE-1864	3	563	Coupe
ME-10-ZE-1865	3	569	Coupe
ME-10-ZE-1866	3	569	Coupe
ME-10-ZE-1867	3	580	Coupe
ME-10-ZE-1868	3	580	Coupe
ME-10-ZE-1869	3	560	Coupe
ME-10-ZE-1870	3	560	Coupe
ME-10-ZE-1871	3		Coupe
ME-10-ZE-1872	3		Coupe
ME-10-ZE-1873	3		Coupe
ME-10-ZE-1874	3		Coupe
ME-10-ZE-1875	3		Coupe
ME-10-ZE-1876	3	586	Coupe
ME-10-ZE-1877	3	586	Coupe
ME-10-ZE-1878	3	575	Coupe
ME-10-ZE-1879	3	575	Coupe
ME-10-ZE-1880	3	573, 574	Coupe
ME-10-ZE-1881	3	573, 574	Coupe
ME-10-ZE-1882	3	595	Coupe
ME-10-ZE-1883	3	595	Coupe
ME-10-ZE-1884	3	601	Coupe
ME-10-ZE-1885	3	601	Coupe
ME-10-ZE-1886	3	599	Coupe
ME-10-ZE-1887	3	599	Coupe
ME-10-ZE-1888	3	603	Coupe
ME-10-ZE-1889	3	603	Coupe
ME-10-ZE-1890	3	605	Coupe
ME-10-ZE-1891	3	605	Coupe

ME-10-ZE-1892	3	600	Coupe
ME-10-ZE-1893	3	600	Coupe
ME-10-ZE-1894	3	604	Coupe
ME-10-ZE-1895	3	604	Coupe
ME-10-ZE-1896	3	597	Coupe
ME-10-ZE-1897	3	597	Coupe
ME-10-ZE-1898	3	597	Coupe
ME-10-ZE-1899	3	597	Coupe
ME-10-ZE-1900	3	597	Coupe
ME-10-ZE-1901	3	597	Coupe
ME-10-ZE-1902	3	609	Coupe
ME-10-ZE-1903	3	609	Coupe
ME-10-ZE-1904	3	622	Coupe
ME-10-ZE-1905	3	622	Coupe
ME-10-ZE-1906	3	623	Coupe
ME-10-ZE-1907	3	623	Coupe
ME-10-ZE-1908	3	613, 614	Coupe
ME-10-ZE-1909	3	613, 614	Coupe
ME-10-ZE-1910	3	610, 611, 612, 613	Coupe
ME-10-ZE-1911	3	610, 611, 612, 613	Coupe
ME-10-ZE-1912	3	628, 629	Coupe
ME-10-ZE-1913	3	628, 629	Coupe
ME-10-ZE-1914	3	619	Coupe
ME-10-ZE-1915	3	619	Coupe
ME-10-ZE-1916	3	627	Coupe
ME-10-ZE-1917	3	627	Coupe
ME-10-ZE-1918	3	634	Coupe
ME-10-ZE-1919	3	634	Coupe
ME-10-ZE-1920	3	635	Coupe
ME-10-ZE-1921	3	635	Coupe
ME-10-ZE-1922	3	640	Coupe
ME-10-ZE-1923	3	640	Coupe
ME-10-ZE-1924	3	631	Coupe
ME-10-ZE-1925	3	631	Coupe
ME-10-ZE-1926	3	632	Coupe
ME-10-ZE-1927	3	632	Coupe
ME-10-ZE-1928	3	638	Coupe
ME-10-ZE-1929	3	638	Coupe
ME-10-ZE-1930	3	639	Coupe
ME-10-ZE-1931	3	639	Coupe
ME-10-ZE-1932	3	642	Coupe
ME-10-ZE-1933	3	642	Coupe
ME-10-ZE-1934	3	660	Coupe

ME-10-ZE-1935	3	660	Coupe
ME-10-ZE-1936	3	644	Coupe
ME-10-ZE-1937	3	644	Coupe
ME-10-ZE-1938	3	645	Coupe
ME-10-ZE-1939	3	645	Coupe
ME-10-ZE-1940	3	646	Coupe
ME-10-ZE-1941	3	646	Coupe
ME-10-ZE-1942	3	653	Coupe
ME-10-ZE-1943	3	653	Coupe
ME-10-ZE-1944	3	654	Coupe
ME-10-ZE-1945	3	654	Coupe
ME-10-ZE-1946	3	656	Coupe
ME-10-ZE-1947	3	656	Coupe
ME-10-ZE-1948	3	659	Coupe
ME-10-ZE-1949	3	659	Coupe
ME-10-ZE-1950	3	662	Coupe
ME-10-ZE-1951	3	662	Coupe
ME-10-ZE-1952	3	668	Coupe
ME-10-ZE-1953	3	668	Coupe
ME-10-ZE-1954	3	664	Coupe
ME-10-ZE-1955	3	664	Coupe
ME-10-ZE-1956	3	649	Coupe
ME-10-ZE-1957	3	649	Coupe
ME-10-ZE-1958	3	676	Coupe
ME-10-ZE-1959	3	676	Coupe
ME-10-ZE-1960	3	670	Coupe
ME-10-ZE-1961	3	670	Coupe
ME-10-ZE-1962	3	650	Coupe
ME-10-ZE-1963	3	650	Coupe
ME-10-ZE-1964	3	666	Coupe
ME-10-ZE-1965	3	666	Coupe
ME-10-ZE-1966	3	669	Coupe
ME-10-ZE-1967	3	669	Coupe
ME-10-ZE-1968	3	683	Coupe
ME-10-ZE-1969	3	683	Coupe
ME-10-ZE-1970	3	699	Coupe
ME-10-ZE-1971	3	699	Coupe
ME-10-ZE-1972	3	700	Coupe
ME-10-ZE-1973	3	700	Coupe
ME-10-ZE-1974	3	701	Coupe
ME-10-ZE-1975	3	701	Coupe
ME-10-ZE-1976	3	704	Coupe
ME-10-ZE-1977	3	704	Coupe
ME-10-ZE-1978	3	705	Coupe

ME-10-ZE-1979	3	705	Coupe
ME-10-ZE-1980	3	706	Coupe
ME-10-ZE-1981	3	706	Coupe
ME-10-ZE-1982	3	699, 706	Coupe
ME-10-ZE-1983	3	699, 706	Coupe
ME-10-ZE-1984	3	652	Coupe
ME-10-ZE-1985	3	652	Coupe
ME-10-ZE-1986	3	657	Coupe
ME-10-ZE-1987	3	657	Coupe
ME-10-ZE-1988	3	667	Coupe
ME-10-ZE-1989	3	667	Coupe
ME-10-ZE-1990	3	672	Coupe
ME-10-ZE-1991	3	672	Coupe
ME-10-ZE-1992	3	676	Coupe
ME-10-ZE-1993	3	676	Coupe
ME-10-ZE-1994	3	681	Coupe
ME-10-ZE-1995	3	681	Coupe
ME-10-ZE-1996	3	658	Coupe
ME-10-ZE-1997	3	658	Coupe
ME-10-ZE-1998	3	673	Coupe
ME-10-ZE-1999	3	673	Coupe
ME-10-ZE-2000	3	671	Coupe
ME-10-ZE-2001	3	671	Coupe
ME-10-ZE-2002	3	679	Coupe
ME-10-ZE-2003	3	679	Coupe
ME-10-ZE-2004	3	681	Coupe
ME-10-ZE-2005	3	681	Coupe
ME-10-ZE-2006	3	683	Coupe
ME-10-ZE-2007	3	683	Coupe
ME-10-ZE-2008	3	686	Coupe
ME-10-ZE-2009	3	686	Coupe
ME-10-ZE-2010	3	687	Coupe
ME-10-ZE-2011	3	687	Coupe
ME-10-ZE-2012	3	690	Coupe
ME-10-ZE-2013	3	690	Coupe
ME-10-ZE-2014	3	691	Coupe
ME-10-ZE-2015	3	691	Coupe
ME-10-ZE-2016	3	696	Coupe
ME-10-ZE-2017	3	696	Coupe
ME-10-ZE-2018	3	703	Coupe
ME-10-ZE-2019	3	703	Coupe
ME-10-ZE-2020	3	694	Coupe
ME-10-ZE-2021	3	694	Coupe
ME-10-ZE-2022	3	695	Coupe

ME-10-ZE-2023	3	695	Coupe
ME-10-ZE-2024	3	698	Coupe
ME-10-ZE-2025	3	698	Coupe
ME-10-ZE-2026	3	709	Coupe
ME-10-ZE-2027	3	709	Coupe
ME-10-ZE-2028	3	710	Coupe
ME-10-ZE-2029	3	710	Coupe
ME-10-ZE-2030	3	520	Coupe
ME-10-ZE-2031	3	520	Coupe
ME-10-ZE-2032	3	714	Coupe
ME-10-ZE-2033	3	714	Coupe
ME-10-ZE-2034	4		Overzicht
ME-10-ZE-2035	4		Overzicht
ME-10-ZE-2036	4		Overzicht
ME-10-ZE-2037	4		Overzicht
ME-10-ZE-2038	4		Overzicht
ME-10-ZE-2039	4		Overzicht
ME-10-ZE-2040	4		Overzicht
ME-10-ZE-2041	4		Overzicht
ME-10-ZE-2042	4		Overzicht
ME-10-ZE-2043	4		Overzicht
ME-10-ZE-2044	4		Overzicht
ME-10-ZE-2045	4		Overzicht
ME-10-ZE-2046	4	739	Vlak
ME-10-ZE-2047	4	739	Vlak
ME-10-ZE-2048	4	740	Vlak
ME-10-ZE-2049	4	740	Vlak
ME-10-ZE-2050	4	741	Vlak
ME-10-ZE-2051	4	741	Vlak
ME-10-ZE-2052	4	720	Vlak
ME-10-ZE-2053	4	720	Vlak
ME-10-ZE-2054	4	721	Vlak
ME-10-ZE-2055	4	721	Vlak
ME-10-ZE-2056	4	722	Vlak
ME-10-ZE-2057	4	722	Vlak
ME-10-ZE-2058	4	723	Vlak
ME-10-ZE-2059	4	723	Vlak
ME-10-ZE-2060	4	724	Vlak
ME-10-ZE-2061	4	724	Vlak
ME-10-ZE-2062	4	725, 726, 727	Vlak
ME-10-ZE-2063	4	725, 726, 727	Vlak
ME-10-ZE-2064	4	728	Vlak
ME-10-ZE-2065	4	728	Vlak

ME-10-ZE-2066	4	729	Vlak
ME-10-ZE-2067	4	729	Vlak
ME-10-ZE-2068	4	730	Vlak
ME-10-ZE-2069	4	730	Vlak
ME-10-ZE-2070	4	731	Vlak
ME-10-ZE-2071	4	731	Vlak
ME-10-ZE-2072	4	732	Vlak
ME-10-ZE-2073	4	732	Vlak
ME-10-ZE-2074	4	180	Vlak
ME-10-ZE-2075	4	180	Vlak
ME-10-ZE-2076	4	733	Vlak
ME-10-ZE-2077	4	733	Vlak
ME-10-ZE-2078	4	734	Vlak
ME-10-ZE-2079	4	734	Vlak
ME-10-ZE-2080	4	735	Vlak
ME-10-ZE-2081	4	735	Vlak
ME-10-ZE-2082	4	736	Vlak
ME-10-ZE-2083	4	736	Vlak
ME-10-ZE-2084	4	737	Vlak
ME-10-ZE-2085	4	737	Vlak
ME-10-ZE-2086	4	738	Vlak
ME-10-ZE-2087	4	738	Vlak
ME-10-ZE-2088	4	180	Vlak
ME-10-ZE-2089	4	180	Vlak
ME-10-ZE-2090	4	180	Vlak
ME-10-ZE-2091	4	180	Vlak
ME-10-ZE-2092	4	743	Vlak
ME-10-ZE-2093	4	743	Vlak
ME-10-ZE-2094	4	745	Vlak
ME-10-ZE-2095	4	745	Vlak
ME-10-ZE-2096	4	746	Vlak
ME-10-ZE-2097	4	746	Vlak
ME-10-ZE-2098	4	742	Vlak
ME-10-ZE-2099	4	742	Vlak
ME-10-ZE-2100	4	743	Vlak
ME-10-ZE-2101	4	743	Vlak
ME-10-ZE-2102	4	744	Vlak
ME-10-ZE-2103	4	744	Vlak
ME-10-ZE-2104	4	745	Vlak
ME-10-ZE-2105	4	745	Vlak
ME-10-ZE-2106	4	746	Vlak
ME-10-ZE-2107	4	746	Vlak
ME-10-ZE-2108	4	747	Vlak
ME-10-ZE-2109	4	747	Vlak

ME-10-ZE-2110	4	747	Vlak
ME-10-ZE-2111	4	748	Vlak
ME-10-ZE-2112	4	748	Vlak
ME-10-ZE-2113	4	749	Vlak
ME-10-ZE-2114	4	749	Vlak
ME-10-ZE-2115	4	750, 751	Vlak
ME-10-ZE-2116	4	750, 751	Vlak
ME-10-ZE-2117	4	752	Vlak
ME-10-ZE-2118	4	752	Vlak
ME-10-ZE-2119	4	753	Vlak
ME-10-ZE-2120	4	753	Vlak
ME-10-ZE-2121	4	754	Vlak
ME-10-ZE-2122	4	754	Vlak
ME-10-ZE-2123	4	755	Vlak
ME-10-ZE-2124	4	755	Vlak
ME-10-ZE-2125	4	756	Vlak
ME-10-ZE-2126	4	756	Vlak
ME-10-ZE-2127	4	757	Vlak
ME-10-ZE-2128	4	757	Vlak
ME-10-ZE-2129	4	758, 759	Vlak
ME-10-ZE-2130	4	758, 759	Vlak
ME-10-ZE-2131	4	760	Vlak
ME-10-ZE-2132	4	760	Vlak
ME-10-ZE-2133	4	761	Vlak
ME-10-ZE-2134	4	761	Vlak
ME-10-ZE-2135	4	762	Vlak
ME-10-ZE-2136	4	762	Vlak
ME-10-ZE-2137	4	763	Vlak
ME-10-ZE-2138	4	763	Vlak
ME-10-ZE-2139	4	764	Vlak
ME-10-ZE-2140	4	764	Vlak
ME-10-ZE-2141	4	765, 767	Vlak
ME-10-ZE-2142	4	765, 767	Vlak
ME-10-ZE-2143	4	766, 768	Vlak
ME-10-ZE-2144	4	766, 768	Vlak
ME-10-ZE-2145	4	769	Vlak
ME-10-ZE-2146	4	769	Vlak
ME-10-ZE-2147	4	770	Vlak
ME-10-ZE-2148	4	770	Vlak
ME-10-ZE-2149	4	771	Vlak
ME-10-ZE-2150	4	771	Vlak
ME-10-ZE-2151	4	772	Vlak
ME-10-ZE-2152	4	772	Vlak
ME-10-ZE-2153	4	773	Vlak

ME-10-ZE-2154	4	773	Vlak
ME-10-ZE-2155	4	774	Vlak
ME-10-ZE-2156	4	774	Vlak
ME-10-ZE-2157	4	775	Vlak
ME-10-ZE-2158	4	775	Vlak
ME-10-ZE-2159	4	776	Vlak
ME-10-ZE-2160	4	776	Vlak
ME-10-ZE-2161	4	720	Coupe
ME-10-ZE-2162	4	720	Coupe
ME-10-ZE-2163	4	726	Coupe
ME-10-ZE-2164	4	726	Coupe
ME-10-ZE-2165	4	733	Coupe
ME-10-ZE-2166	4	733	Coupe
ME-10-ZE-2167	4	732	Coupe
ME-10-ZE-2168	4	732	Coupe
ME-10-ZE-2169	4	735	Coupe
ME-10-ZE-2170	4	735	Coupe
ME-10-ZE-2171	4	725	Coupe
ME-10-ZE-2172	4	725	Coupe
ME-10-ZE-2173	4	739	Coupe
ME-10-ZE-2174	4	739	Coupe
ME-10-ZE-2175	4	740	Coupe
ME-10-ZE-2176	4	740	Coupe
ME-10-ZE-2177	4	749	Coupe
ME-10-ZE-2178	4	749	Coupe
ME-10-ZE-2179	4	746	Coupe
ME-10-ZE-2180	4	746	Coupe
ME-10-ZE-2181	4	759	Coupe
ME-10-ZE-2182	4	759	Coupe
ME-10-ZE-2183	4	758	Coupe
ME-10-ZE-2184	4	758	Coupe
ME-10-ZE-2185	4	755	Coupe
ME-10-ZE-2186	4	755	Coupe
ME-10-ZE-2187	4	757	Coupe
ME-10-ZE-2188	4	757	Coupe
ME-10-ZE-2189	4	763	Coupe
ME-10-ZE-2190	4	763	Coupe
ME-10-ZE-2191	4	762	Coupe
ME-10-ZE-2192	4	762	Coupe
ME-10-ZE-2193	4	768	Coupe
ME-10-ZE-2194	4	768	Coupe
ME-10-ZE-2195	4	776	Coupe
ME-10-ZE-2196	4	776	Coupe
ME-10-ZE-2197	4	765, 767	Coupe

ME-10-ZE-2198	4	765, 767	Coupe
ME-10-ZE-2199	4	766	Coupe
ME-10-ZE-2200	4	766	Coupe
ME-10-ZE-2201	5		Overzicht
ME-10-ZE-2202	5		Overzicht
ME-10-ZE-2203	5		Overzicht
ME-10-ZE-2204	5		Overzicht
ME-10-ZE-2205	5		Overzicht
ME-10-ZE-2206	5		Overzicht
ME-10-ZE-2207	5		Overzicht
ME-10-ZE-2208	5		Overzicht
ME-10-ZE-2209	5		Overzicht
ME-10-ZE-2210	5		Overzicht
ME-10-ZE-2211	5		Overzicht
ME-10-ZE-2212	5		Overzicht
ME-10-ZE-2213	5		Overzicht
ME-10-ZE-2214	5		Overzicht
ME-10-ZE-2215	5		Overzicht
ME-10-ZE-2216	5		Overzicht
ME-10-ZE-2217	5		Overzicht
ME-10-ZE-2218	5		Overzicht
ME-10-ZE-2219	5		Overzicht
ME-10-ZE-2220	5		Overzicht
ME-10-ZE-2221	5		Overzicht
ME-10-ZE-2222	5		Overzicht
ME-10-ZE-2223	5	777	Vlak
ME-10-ZE-2224	5	777	Vlak
ME-10-ZE-2225	5	778	Vlak
ME-10-ZE-2226	5	778	Vlak
ME-10-ZE-2227	5	779	Vlak
ME-10-ZE-2228	5	779	Vlak
ME-10-ZE-2229	5	780	Vlak
ME-10-ZE-2230	5	780	Vlak
ME-10-ZE-2231	5	781	Vlak
ME-10-ZE-2232	5	781	Vlak
ME-10-ZE-2233	5	782	Vlak
ME-10-ZE-2234	5	782	Vlak
ME-10-ZE-2235	5	783	Vlak
ME-10-ZE-2236	5	783	Vlak
ME-10-ZE-2237	5	784	Vlak
ME-10-ZE-2238	5	784	Vlak
ME-10-ZE-2239	5	785	Vlak
ME-10-ZE-2240	5	785	Vlak
ME-10-ZE-2241	5	786	Vlak

ME-10-ZE-2242	5	786	Vlak
ME-10-ZE-2243	5	787	Vlak
ME-10-ZE-2244	5	787	Vlak
ME-10-ZE-2245	5	788	Vlak
ME-10-ZE-2246	5	788	Vlak
ME-10-ZE-2247	5	790	Vlak
ME-10-ZE-2248	5	790	Vlak
ME-10-ZE-2249	5	791	Vlak
ME-10-ZE-2250	5	791	Vlak
ME-10-ZE-2251	5	792	Vlak
ME-10-ZE-2252	5	792	Vlak
ME-10-ZE-2253	5	180	Vlak
ME-10-ZE-2254	5	180	Vlak
ME-10-ZE-2255	5	793, 794	Vlak
ME-10-ZE-2256	5	793, 794	Vlak
ME-10-ZE-2257	5	795	Vlak
ME-10-ZE-2258	5	795	Vlak
ME-10-ZE-2259	5	796	Vlak
ME-10-ZE-2260	5	796	Vlak
ME-10-ZE-2261	5	797	Vlak
ME-10-ZE-2262	5	797	Vlak
ME-10-ZE-2263	5	798	Vlak
ME-10-ZE-2264	5	798	Vlak
ME-10-ZE-2265	5	799	Vlak
ME-10-ZE-2266	5	799	Vlak
ME-10-ZE-2267	5	800	Vlak
ME-10-ZE-2268	5	800	Vlak
ME-10-ZE-2269	5	801	Vlak
ME-10-ZE-2270	5	801	Vlak
ME-10-ZE-2271	5	802	Vlak
ME-10-ZE-2272	5	802	Vlak
ME-10-ZE-2273	5	803	Vlak
ME-10-ZE-2274	5	803	Vlak
ME-10-ZE-2275	5	804	Vlak
ME-10-ZE-2276	5	804	Vlak
ME-10-ZE-2277	5	805, 806	Vlak
ME-10-ZE-2278	5	805, 806	Vlak
ME-10-ZE-2279	5	807	Vlak
ME-10-ZE-2280	5	807	Vlak
ME-10-ZE-2281	5	808	Vlak
ME-10-ZE-2282	5	808	Vlak
ME-10-ZE-2283	5	809, 810	Vlak
ME-10-ZE-2284	5	809, 810	Vlak
ME-10-ZE-2285	5	811	Vlak

ME-10-ZE-2286	5	811	Vlak
ME-10-ZE-2287	5	812	Vlak
ME-10-ZE-2288	5	812	Vlak
ME-10-ZE-2289	5	180	Vlak
ME-10-ZE-2290	5	180	Vlak
ME-10-ZE-2291	5	813	Vlak
ME-10-ZE-2292	5	813	Vlak
ME-10-ZE-2293	5	814	Vlak
ME-10-ZE-2294	5	814	Vlak
ME-10-ZE-2295	5	815, 816	Vlak
ME-10-ZE-2296	5	815, 816	Vlak
ME-10-ZE-2297	5	817	Vlak
ME-10-ZE-2298	5	817	Vlak
ME-10-ZE-2299	5	818	Vlak
ME-10-ZE-2300	5	818	Vlak
ME-10-ZE-2301	5	819	Vlak
ME-10-ZE-2302	5	819	Vlak
ME-10-ZE-2303	5	820	Vlak
ME-10-ZE-2304	5	820	Vlak
ME-10-ZE-2305	5	821	Vlak
ME-10-ZE-2306	5	821	Vlak
ME-10-ZE-2307	5	822	Vlak
ME-10-ZE-2308	5	822	Vlak
ME-10-ZE-2309	5	823	Vlak
ME-10-ZE-2310	5	823	Vlak
ME-10-ZE-2311	5	824	Vlak
ME-10-ZE-2312	5	824	Vlak
ME-10-ZE-2313	5	825, 826	Vlak
ME-10-ZE-2314	5	825, 826	Vlak
ME-10-ZE-2315	5	827	Vlak
ME-10-ZE-2316	5	827	Vlak
ME-10-ZE-2317	5	828	Vlak
ME-10-ZE-2318	5	828	Vlak
ME-10-ZE-2319	5	829	Vlak
ME-10-ZE-2320	5	829	Vlak
ME-10-ZE-2321	5	830	Vlak
ME-10-ZE-2322	5	830	Vlak
ME-10-ZE-2323	5	831	Vlak
ME-10-ZE-2324	5	831	Vlak
ME-10-ZE-2325	5	832	Vlak
ME-10-ZE-2326	5	832	Vlak
ME-10-ZE-2327	5	833	Vlak
ME-10-ZE-2328	5	833	Vlak
ME-10-ZE-2329	5	834	Vlak

ME-10-ZE-2330	5	834	Vlak
ME-10-ZE-2331	5	835, 836	Vlak
ME-10-ZE-2332	5	835, 836	Vlak
ME-10-ZE-2333	5	837	Vlak
ME-10-ZE-2334	5	837	Vlak
ME-10-ZE-2335	5	838	Vlak
ME-10-ZE-2336	5	838	Vlak
ME-10-ZE-2337	5	839	Vlak
ME-10-ZE-2338	5	839	Vlak
ME-10-ZE-2339	5	839	Vlak
ME-10-ZE-2340	5	840	Vlak
ME-10-ZE-2341	5	840	Vlak
ME-10-ZE-2342	5	841, 842	Vlak
ME-10-ZE-2343	5	841, 842	Vlak
ME-10-ZE-2344	5	843	Vlak
ME-10-ZE-2345	5	843	Vlak
ME-10-ZE-2346	5	844	Vlak
ME-10-ZE-2347	5	844	Vlak
ME-10-ZE-2348	5	180	Vlak
ME-10-ZE-2349	5	180	Vlak
ME-10-ZE-2350	5	180	Vlak
ME-10-ZE-2351	5	180	Vlak
ME-10-ZE-2352	5	180	Vlak
ME-10-ZE-2353	5	845	Vlak
ME-10-ZE-2354	5	845	Vlak
ME-10-ZE-2355	5	846	Vlak
ME-10-ZE-2356	5	846	Vlak
ME-10-ZE-2357	5	847	Vlak
ME-10-ZE-2358	5	847	Vlak
ME-10-ZE-2359	5	848	Vlak
ME-10-ZE-2360	5	848	Vlak
ME-10-ZE-2361	5	849	Vlak
ME-10-ZE-2362	5	849	Vlak
ME-10-ZE-2363	5		Vlak
ME-10-ZE-2364	5		Vlak
ME-10-ZE-2365	5	850	Vlak
ME-10-ZE-2366	5	850	Vlak
ME-10-ZE-2367	5	851	Vlak
ME-10-ZE-2368	5	851	Vlak
ME-10-ZE-2369	5	852	Vlak
ME-10-ZE-2370	5	852	Vlak
ME-10-ZE-2371	5	852	Vlak
ME-10-ZE-2372	5	853	Vlak
ME-10-ZE-2373	5	853	Vlak

ME-10-ZE-2374	5	854	Vlak
ME-10-ZE-2375	5	854	Vlak
ME-10-ZE-2376	5	855	Vlak
ME-10-ZE-2377	5	855	Vlak
ME-10-ZE-2378	5	856, 857	Vlak
ME-10-ZE-2379	5	856, 857	Vlak
ME-10-ZE-2380	5	858	Vlak
ME-10-ZE-2381	5	858	Vlak
ME-10-ZE-2382	5	859	Vlak
ME-10-ZE-2383	5	859	Vlak
ME-10-ZE-2384	5	860, 861	Vlak
ME-10-ZE-2385	5	860, 861	Vlak
ME-10-ZE-2386	5	862	Vlak
ME-10-ZE-2387	5	862	Vlak
ME-10-ZE-2388	5	863	Vlak
ME-10-ZE-2389	5	863	Vlak
ME-10-ZE-2390	5	864	Vlak
ME-10-ZE-2391	5	864	Vlak
ME-10-ZE-2392	5	865	Vlak
ME-10-ZE-2393	5	865	Vlak
ME-10-ZE-2394	5	866	Vlak
ME-10-ZE-2395	5	866	Vlak
ME-10-ZE-2396	5	867	Vlak
ME-10-ZE-2397	5	867	Vlak
ME-10-ZE-2398	5	868	Vlak
ME-10-ZE-2399	5	868	Vlak
ME-10-ZE-2400	5	869	Vlak
ME-10-ZE-2401	5	869	Vlak
ME-10-ZE-2402	5	870	Vlak
ME-10-ZE-2403	5	870	Vlak
ME-10-ZE-2404	5	871	Vlak
ME-10-ZE-2405	5	871	Vlak
ME-10-ZE-2406	5	872	Vlak
ME-10-ZE-2407	5	872	Vlak
ME-10-ZE-2408	5	873	Vlak
ME-10-ZE-2409	5	873	Vlak
ME-10-ZE-2410	5	874	Vlak
ME-10-ZE-2411	5	874	Vlak
ME-10-ZE-2412	5	675, 676	Vlak
ME-10-ZE-2413	5	675, 676	Vlak
ME-10-ZE-2414	5	877	Vlak
ME-10-ZE-2415	5	877	Vlak
ME-10-ZE-2416	5	878	Vlak
ME-10-ZE-2417	5	878	Vlak

ME-10-ZE-2418	5	879	Vlak
ME-10-ZE-2419	5	879	Vlak
ME-10-ZE-2420	5	880	Vlak
ME-10-ZE-2421	5	880	Vlak
ME-10-ZE-2422	5	881	Vlak
ME-10-ZE-2423	5	881	Vlak
ME-10-ZE-2424	5	882	Vlak
ME-10-ZE-2425	5	882	Vlak
ME-10-ZE-2426	5	883	Vlak
ME-10-ZE-2427	5	883	Vlak
ME-10-ZE-2428	5	884	Vlak
ME-10-ZE-2429	5	884	Vlak
ME-10-ZE-2430	5	884	Vlak
ME-10-ZE-2431	5	885	Vlak
ME-10-ZE-2432	5	885	Vlak
ME-10-ZE-2433	5	886	Vlak
ME-10-ZE-2434	5	886	Vlak
ME-10-ZE-2435	5	887	Vlak
ME-10-ZE-2436	5	887	Vlak
ME-10-ZE-2437	5	889	Vlak
ME-10-ZE-2438	5	889	Vlak
ME-10-ZE-2439	5	890	Vlak
ME-10-ZE-2440	5	890	Vlak
ME-10-ZE-2441	5	891	Vlak
ME-10-ZE-2442	5	891	Vlak
ME-10-ZE-2443	5	892	Vlak
ME-10-ZE-2444	5	892	Vlak
ME-10-ZE-2445	5	893, 894	Vlak
ME-10-ZE-2446	5	893, 894	Vlak
ME-10-ZE-2447	5	895	Vlak
ME-10-ZE-2448	5	895	Vlak
ME-10-ZE-2449	5	896	Vlak
ME-10-ZE-2450	5	896	Vlak
ME-10-ZE-2451	5	897	Vlak
ME-10-ZE-2452	5	897	Vlak
ME-10-ZE-2453	5	898	Vlak
ME-10-ZE-2454	5	898	Vlak
ME-10-ZE-2455	5	899	Vlak
ME-10-ZE-2456	5	899	Vlak
ME-10-ZE-2457	5	900	Vlak
ME-10-ZE-2458	5	900	Vlak
ME-10-ZE-2459	5	901, 902	Vlak
ME-10-ZE-2460	5	901, 902	Vlak
ME-10-ZE-2461	5	903	Vlak

ME-10-ZE-2462	5	903	Vlak
ME-10-ZE-2463	5	904	Vlak
ME-10-ZE-2464	5	904	Vlak
ME-10-ZE-2465	5	905	Vlak
ME-10-ZE-2466	5	905	Vlak
ME-10-ZE-2467	5	906	Vlak
ME-10-ZE-2468	5	906	Vlak
ME-10-ZE-2469	5	907	Vlak
ME-10-ZE-2470	5	907	Vlak
ME-10-ZE-2471	5	908	Vlak
ME-10-ZE-2472	5	908	Vlak
ME-10-ZE-2473	5	909	Vlak
ME-10-ZE-2474	5	909	Vlak
ME-10-ZE-2475	5	910	Vlak
ME-10-ZE-2476	5	910	Vlak
ME-10-ZE-2477	5	911	Vlak
ME-10-ZE-2478	5	911	Vlak
ME-10-ZE-2479	5	912	Vlak
ME-10-ZE-2480	5	912	Vlak
ME-10-ZE-2481	5	180	Vlak
ME-10-ZE-2482	5	180	Vlak
ME-10-ZE-2483	5	180	Vlak
ME-10-ZE-2484	5	180	Vlak
ME-10-ZE-2485	5	913	Vlak
ME-10-ZE-2486	5	913	Vlak
ME-10-ZE-2487	5	914	Vlak
ME-10-ZE-2488	5	914	Vlak
ME-10-ZE-2489	5	915	Vlak
ME-10-ZE-2490	5	915	Vlak
ME-10-ZE-2491	5	916	Vlak
ME-10-ZE-2492	5	916	Vlak
ME-10-ZE-2493	5	917	Vlak
ME-10-ZE-2494	5	917	Vlak
ME-10-ZE-2495	5	918	Vlak
ME-10-ZE-2496	5	918	Vlak
ME-10-ZE-2497	5	919	Vlak
ME-10-ZE-2498	5	919	Vlak
ME-10-ZE-2499	5	920	Vlak
ME-10-ZE-2500	5	920	Vlak
ME-10-ZE-2501	5	921	Vlak
ME-10-ZE-2502	5	921	Vlak
ME-10-ZE-2503	5	922	Vlak
ME-10-ZE-2504	5	922	Vlak
ME-10-ZE-2505	5	923	Vlak

ME-10-ZE-2506	5	923	Vlak
ME-10-ZE-2507	5	924	Vlak
ME-10-ZE-2508	5	924	Vlak
ME-10-ZE-2509	5	925	Vlak
ME-10-ZE-2510	5	925	Vlak
ME-10-ZE-2511	5	180	Coupe
ME-10-ZE-2512	5	180	Coupe
ME-10-ZE-2513	5	832	Coupe
ME-10-ZE-2514	5	832	Coupe
ME-10-ZE-2515	5	836	Coupe
ME-10-ZE-2516	5	836	Coupe
ME-10-ZE-2517	5	833	Coupe
ME-10-ZE-2518	5	833	Coupe
ME-10-ZE-2519	5	824	Coupe
ME-10-ZE-2520	5	824	Coupe
ME-10-ZE-2521	5	835	Coupe
ME-10-ZE-2522	5	835	Coupe
ME-10-ZE-2523	5	842	Coupe
ME-10-ZE-2524	5	842	Coupe
ME-10-ZE-2525	5	834	Coupe
ME-10-ZE-2526	5	834	Coupe
ME-10-ZE-2527	5	839	Coupe
ME-10-ZE-2528	5	839	Coupe
ME-10-ZE-2529	5	830	Coupe
ME-10-ZE-2530	5	830	Coupe
ME-10-ZE-2531	5	831	Coupe
ME-10-ZE-2532	5	831	Coupe
ME-10-ZE-2533	5	825	Coupe
ME-10-ZE-2534	5	825	Coupe
ME-10-ZE-2535	5	826	Coupe
ME-10-ZE-2536	5	826	Coupe
ME-10-ZE-2537	5	826	Coupe
ME-10-ZE-2538	5	827	Coupe
ME-10-ZE-2539	5	827	Coupe
ME-10-ZE-2540	5	828	Coupe
ME-10-ZE-2541	5	828	Coupe
ME-10-ZE-2542	5	829	Coupe
ME-10-ZE-2543	5	829	Coupe
ME-10-ZE-2544	5	840	Coupe
ME-10-ZE-2545	5	840	Coupe
ME-10-ZE-2546	5	823	Coupe
ME-10-ZE-2547	5	823	Coupe
ME-10-ZE-2548	5	822	Coupe
ME-10-ZE-2549	5	822	Coupe

ME-10-ZE-2550	5	821	Coupe
ME-10-ZE-2551	5	821	Coupe
ME-10-ZE-2552	5	811	Coupe
ME-10-ZE-2553	5	811	Coupe
ME-10-ZE-2554	5	820	Coupe
ME-10-ZE-2555	5	820	Coupe
ME-10-ZE-2556	5	819	Coupe
ME-10-ZE-2557	5	819	Coupe
ME-10-ZE-2558	5	817	Coupe
ME-10-ZE-2559	5	817	Coupe
ME-10-ZE-2560	5	814	Coupe
ME-10-ZE-2561	5	814	Coupe
ME-10-ZE-2562	5	816	Coupe
ME-10-ZE-2563	5	816	Coupe
ME-10-ZE-2564	5	813	Coupe
ME-10-ZE-2565	5	813	Coupe
ME-10-ZE-2566	5	803	Coupe
ME-10-ZE-2567	5	803	Coupe
ME-10-ZE-2568	5	804	Coupe
ME-10-ZE-2569	5	804	Coupe
ME-10-ZE-2570	5	802	Coupe
ME-10-ZE-2571	5	802	Coupe
ME-10-ZE-2572	5	801	Coupe
ME-10-ZE-2573	5	801	Coupe
ME-10-ZE-2574	5	800	Coupe
ME-10-ZE-2575	5	800	Coupe
ME-10-ZE-2576	5	781	Coupe
ME-10-ZE-2577	5	781	Coupe
ME-10-ZE-2578	5	779	Coupe
ME-10-ZE-2579	5	779	Coupe
ME-10-ZE-2580	5	784	Coupe
ME-10-ZE-2581	5	784	Coupe
ME-10-ZE-2582	5	746	Coupe
ME-10-ZE-2583	5	746	Coupe
ME-10-ZE-2584	5	778	Coupe
ME-10-ZE-2585	5	778	Coupe
ME-10-ZE-2586	5	180	Coupe
ME-10-ZE-2587	5	180	Coupe
ME-10-ZE-2588	5	792	Coupe
ME-10-ZE-2589	5	792	Coupe
ME-10-ZE-2590	5	790	Coupe
ME-10-ZE-2591	5	790	Coupe
ME-10-ZE-2592	5	884	Coupe
ME-10-ZE-2593	5	884	Coupe

ME-10-ZE-2594	5	868	Coupe
ME-10-ZE-2595	5	868	Coupe
ME-10-ZE-2596	5	853	Coupe
ME-10-ZE-2597	5	853	Coupe
ME-10-ZE-2598	5	865	Coupe
ME-10-ZE-2599	5	865	Coupe
ME-10-ZE-2600	5	869	Coupe
ME-10-ZE-2601	5	869	Coupe
ME-10-ZE-2602	5	851	Coupe
ME-10-ZE-2603	5	851	Coupe
ME-10-ZE-2604	5	870	Coupe
ME-10-ZE-2605	5	870	Coupe
ME-10-ZE-2606	5	871	Coupe
ME-10-ZE-2607	5	871	Coupe
ME-10-ZE-2608	5	872	Coupe
ME-10-ZE-2609	5	872	Coupe
ME-10-ZE-2610	5	852	Coupe
ME-10-ZE-2611	5	852	Coupe
ME-10-ZE-2612	5	882	Coupe
ME-10-ZE-2613	5	882	Coupe
ME-10-ZE-2614	5	880	Coupe
ME-10-ZE-2615	5	880	Coupe
ME-10-ZE-2616	5	873	Coupe
ME-10-ZE-2617	5	873	Coupe
ME-10-ZE-2618	5	912	Coupe
ME-10-ZE-2619	5	912	Coupe
ME-10-ZE-2620	5	911	Coupe
ME-10-ZE-2621	5	911	Coupe
ME-10-ZE-2622	5	909	Coupe
ME-10-ZE-2623	5	909	Coupe
ME-10-ZE-2624	5	993	Coupe
ME-10-ZE-2625	5	993	Coupe
ME-10-ZE-2626	5	894	Coupe
ME-10-ZE-2627	5	894	Coupe
ME-10-ZE-2628	5	875	Coupe
ME-10-ZE-2629	5	875	Coupe
ME-10-ZE-2630	5	876	Coupe
ME-10-ZE-2631	5	876	Coupe
ME-10-ZE-2632	5	180	Coupe
ME-10-ZE-2633	5	180	Coupe
ME-10-ZE-2634	5	180	Coupe
ME-10-ZE-2635	5	180	Coupe
ME-10-ZE-2636	5	913	Coupe
ME-10-ZE-2637	5	913	Coupe

ME-10-ZE-2638	5	864	Coupe
ME-10-ZE-2639	5	864	Coupe
ME-10-ZE-2640	5	890	Coupe
ME-10-ZE-2641	5	890	Coupe
ME-10-ZE-2642	5	887	Coupe
ME-10-ZE-2643	5	887	Coupe
ME-10-ZE-2644	5	889	Coupe
ME-10-ZE-2645	5	889	Coupe
ME-10-ZE-2646	5	915	Coupe
ME-10-ZE-2647	5	915	Coupe
ME-10-ZE-2648	5	923	Coupe
ME-10-ZE-2649	5	923	Coupe
ME-10-ZE-2650	5	898	Coupe
ME-10-ZE-2651	5	898	Coupe
ME-10-ZE-2652	5	898	Coupe
ME-10-ZE-2653	5	180	Coupe
ME-10-ZE-2654	5	180	Coupe
ME-10-ZE-2655	5	180	Coupe
ME-10-ZE-2656	5	900	Coupe
ME-10-ZE-2657	5	900	Coupe
ME-10-ZE-2658	5	900	Coupe
ME-10-ZE-2659	5	787	Coupe
ME-10-ZE-2660	5	787	Coupe
ME-10-ZE-2661	5	787	Coupe
ME-10-ZE-2662	5	791	Coupe
ME-10-ZE-2663	5	791	Coupe
ME-10-ZE-2664	5	791	Coupe
ME-10-ZE-2665	5	916	Coupe
ME-10-ZE-2666	5	916	Coupe
ME-10-ZE-2667	6		Overzicht
ME-10-ZE-2668	6		Overzicht
ME-10-ZE-2669	6		Overzicht
ME-10-ZE-2670	6		Overzicht
ME-10-ZE-2671	6		Overzicht
ME-10-ZE-2672	6		Overzicht
ME-10-ZE-2673	6		Overzicht
ME-10-ZE-2674	6		Overzicht
ME-10-ZE-2675	6		Overzicht
ME-10-ZE-2676	6		Overzicht
ME-10-ZE-2677	6		Overzicht
ME-10-ZE-2678	6		Overzicht
ME-10-ZE-2679	6		Overzicht
ME-10-ZE-2680	6		Overzicht
ME-10-ZE-2681	6		Overzicht

ME-10-ZE-2682	6		Overzicht
ME-10-ZE-2683	6		Overzicht
ME-10-ZE-2684	6		Overzicht
ME-10-ZE-2685	6		Overzicht
ME-10-ZE-2686	6		Overzicht
ME-10-ZE-2687	6		Overzicht
ME-10-ZE-2688	6		Overzicht
ME-10-ZE-2689	6		Overzicht
ME-10-ZE-2690	6		Overzicht
ME-10-ZE-2691	6		Overzicht
ME-10-ZE-2692	6		Overzicht
ME-10-ZE-2693	6		Overzicht
ME-10-ZE-2694	6		Overzicht
ME-10-ZE-2695	6		Overzicht
ME-10-ZE-2696	6		Overzicht
ME-10-ZE-2697	6		Overzicht
ME-10-ZE-2698	6		Overzicht
ME-10-ZE-2699	6		Overzicht
ME-10-ZE-2700	6		Overzicht
ME-10-ZE-2701	6		Overzicht
ME-10-ZE-2702	6		Overzicht
ME-10-ZE-2703	6		Overzicht
ME-10-ZE-2704	6		Overzicht
ME-10-ZE-2705	6		Overzicht
ME-10-ZE-2706	6		Overzicht
ME-10-ZE-2707	6		Overzicht
ME-10-ZE-2708	6		Overzicht
ME-10-ZE-2709	6		Overzicht
ME-10-ZE-2710	6		Overzicht
ME-10-ZE-2711	6		Overzicht
ME-10-ZE-2712	6		Overzicht
ME-10-ZE-2713	6	952	Vlak
ME-10-ZE-2714	6	952	Vlak
ME-10-ZE-2715	6	948	Vlak
ME-10-ZE-2716	6	948	Vlak
ME-10-ZE-2717	6	951	Vlak
ME-10-ZE-2718	6	951	Vlak
ME-10-ZE-2719	6	949	Vlak
ME-10-ZE-2720	6	949	Vlak
ME-10-ZE-2721	6	947	Vlak
ME-10-ZE-2722	6	947	Vlak
ME-10-ZE-2723	6	946	Vlak
ME-10-ZE-2724	6	946	Vlak
ME-10-ZE-2725	6	945	Vlak

ME-10-ZE-2726	6	945	Vlak
ME-10-ZE-2727	6	944	Vlak
ME-10-ZE-2728	6	944	Vlak
ME-10-ZE-2729	6	950	Vlak
ME-10-ZE-2730	6	950	Vlak
ME-10-ZE-2731	6	939	Vlak
ME-10-ZE-2732	6	939	Vlak
ME-10-ZE-2733	6	943	Vlak
ME-10-ZE-2734	6	943	Vlak
ME-10-ZE-2735	6	940	Vlak
ME-10-ZE-2736	6	940	Vlak
ME-10-ZE-2737	6	941	Vlak
ME-10-ZE-2738	6	941	Vlak
ME-10-ZE-2739	6	957	Vlak
ME-10-ZE-2740	6	957	Vlak
ME-10-ZE-2741	6	956	Vlak
ME-10-ZE-2742	6	956	Vlak
ME-10-ZE-2743	6	955	Vlak
ME-10-ZE-2744	6	955	Vlak
ME-10-ZE-2745	6	954	Vlak
ME-10-ZE-2746	6	954	Vlak
ME-10-ZE-2747	6	953	Vlak
ME-10-ZE-2748	6	953	Vlak
ME-10-ZE-2749	6	958	Vlak
ME-10-ZE-2750	6	958	Vlak
ME-10-ZE-2751	6	959	Vlak
ME-10-ZE-2752	6	959	Vlak
ME-10-ZE-2753	6	960, 961	Vlak
ME-10-ZE-2754	6	960, 961	Vlak
ME-10-ZE-2755	6	962	Vlak
ME-10-ZE-2756	6	962	Vlak
ME-10-ZE-2757	6	963, 964	Vlak
ME-10-ZE-2758	6	963, 964	Vlak
ME-10-ZE-2759	6	965	Vlak
ME-10-ZE-2760	6	965	Vlak
ME-10-ZE-2761	6	966, 967	Vlak
ME-10-ZE-2762	6	966, 967	Vlak
ME-10-ZE-2763	6	968	Vlak
ME-10-ZE-2764	6	968	Vlak
ME-10-ZE-2765	6	970, 971	Vlak
ME-10-ZE-2766	6	970, 971	Vlak
ME-10-ZE-2767	6	973, 974	Vlak
ME-10-ZE-2768	6	973, 974	Vlak
ME-10-ZE-2769	6	975, 976	Vlak

ME-10-ZE-2770	6	975, 976	Vlak
ME-10-ZE-2771	6	977	Vlak
ME-10-ZE-2772	6	977	Vlak
ME-10-ZE-2773	6	978, 980	Vlak
ME-10-ZE-2774	6	978, 980	Vlak
ME-10-ZE-2775	6	979	Vlak
ME-10-ZE-2776	6	979	Vlak
ME-10-ZE-2777	6	981	Vlak
ME-10-ZE-2778	6	981	Vlak
ME-10-ZE-2779	6	982, 983	Vlak
ME-10-ZE-2780	6	982, 982	Vlak
ME-10-ZE-2781	6	969	Vlak
ME-10-ZE-2782	6	969	Vlak
ME-10-ZE-2783	6	984, 985	Vlak
ME-10-ZE-2784	6	984, 985	Vlak
ME-10-ZE-2785	6	972	Vlak
ME-10-ZE-2786	6	972	Vlak
ME-10-ZE-2787	6	987	Vlak
ME-10-ZE-2788	6	987	Vlak
ME-10-ZE-2789	6	988	Vlak
ME-10-ZE-2790	6	988	Vlak
ME-10-ZE-2791	6	986, 989	Vlak
ME-10-ZE-2792	6	986, 989	Vlak
ME-10-ZE-2793	6	990	Vlak
ME-10-ZE-2794	6	990	Vlak
ME-10-ZE-2795	6	972	Vlak
ME-10-ZE-2796	6	972	Vlak
ME-10-ZE-2797	6	992	Vlak
ME-10-ZE-2798	6	992	Vlak
ME-10-ZE-2799	6	993, 994	Vlak
ME-10-ZE-2800	6	993, 994	Vlak
ME-10-ZE-2801	6	995, 996	Vlak
ME-10-ZE-2802	6	995, 996	Vlak
ME-10-ZE-2803	6	997	Vlak
ME-10-ZE-2804	6	997	Vlak
ME-10-ZE-2805	6	998	Vlak
ME-10-ZE-2806	6	998	Vlak
ME-10-ZE-2807	6	999, 1001	Vlak
ME-10-ZE-2808	6	999, 1001	Vlak
ME-10-ZE-2809	6	1000	Vlak
ME-10-ZE-2810	6	1000	Vlak
ME-10-ZE-2811	6	1002, 1003	Vlak
ME-10-ZE-2812	6	1002, 1003	Vlak
ME-10-ZE-2813	6	1005, 1006	Vlak

ME-10-ZE-2814	6	1005, 1006	Vlak
ME-10-ZE-2815	6	1004	Vlak
ME-10-ZE-2816	6	1004	Vlak
ME-10-ZE-2817	6	1007, 1008	Vlak
ME-10-ZE-2818	6	1007, 1008	Vlak
ME-10-ZE-2819	6	1009	Vlak
ME-10-ZE-2820	6	1009	Vlak
ME-10-ZE-2821	6	1010	Vlak
ME-10-ZE-2822	6	1010	Vlak
ME-10-ZE-2823	6	1011	Vlak
ME-10-ZE-2824	6	1011	Vlak
ME-10-ZE-2825	6	1012	Vlak
ME-10-ZE-2826	6	1012	Vlak
ME-10-ZE-2827	6	1013	Vlak
ME-10-ZE-2828	6	1013	Vlak
ME-10-ZE-2829	6	1014	Vlak
ME-10-ZE-2830	6	1014	Vlak
ME-10-ZE-2831	6	1015	Vlak
ME-10-ZE-2832	6	1015	Vlak
ME-10-ZE-2833	6	1016	Vlak
ME-10-ZE-2834	6	1016	Vlak
ME-10-ZE-2835	6	1017, 1018	Vlak
ME-10-ZE-2836	6	1017, 1018	Vlak
ME-10-ZE-2837	6	1019	Vlak
ME-10-ZE-2838	6	1019	Vlak
ME-10-ZE-2839	6	1020	Vlak
ME-10-ZE-2840	6	1020	Vlak
ME-10-ZE-2841	6	1021	Vlak
ME-10-ZE-2842	6	1021	Vlak
ME-10-ZE-2843	6	1022	Vlak
ME-10-ZE-2844	6	1022	Vlak
ME-10-ZE-2845	6	1023, 1024	Vlak
ME-10-ZE-2846	6	1023, 1024	Vlak
ME-10-ZE-2847	6	1025, 1021	Vlak
ME-10-ZE-2848	6	1025, 1021	Vlak
ME-10-ZE-2849	6	1026	Vlak
ME-10-ZE-2850	6	1026	Vlak
ME-10-ZE-2851	6	1027	Vlak
ME-10-ZE-2852	6	1027	Vlak
ME-10-ZE-2853	6	1028	Vlak
ME-10-ZE-2854	6	1028	Vlak
ME-10-ZE-2855	6	1029	Vlak
ME-10-ZE-2856	6	1029	Vlak
ME-10-ZE-2857	6	1030	Vlak

ME-10-ZE-2858	6	1030	Vlak
ME-10-ZE-2859	6	1031	Vlak
ME-10-ZE-2860	6	1031	Vlak
ME-10-ZE-2861	6	1032	Vlak
ME-10-ZE-2862	6	1032	Vlak
ME-10-ZE-2863	6	1032, 1034	Vlak
ME-10-ZE-2864	6	1032, 1034	Vlak
ME-10-ZE-2865	6	1035	Vlak
ME-10-ZE-2866	6	1035	Vlak
ME-10-ZE-2867	6	1036	Vlak
ME-10-ZE-2868	6	1036	Vlak
ME-10-ZE-2869	6	1037	Vlak
ME-10-ZE-2870	6	1037	Vlak
ME-10-ZE-2871	6	1038, 1039	Vlak
ME-10-ZE-2872	6	1038, 1039	Vlak
ME-10-ZE-2873	6	1040	Vlak
ME-10-ZE-2874	6	1040	Vlak
ME-10-ZE-2875	6	1043	Vlak
ME-10-ZE-2876	6	1043	Vlak
ME-10-ZE-2877	6	1042	Vlak
ME-10-ZE-2878	6	1042	Vlak
ME-10-ZE-2879	6	1041	Vlak
ME-10-ZE-2880	6	1041	Vlak
ME-10-ZE-2881	6	1044	Vlak
ME-10-ZE-2882	6	1044	Vlak
ME-10-ZE-2883	6	1056	Vlak
ME-10-ZE-2884	6	1056	Vlak
ME-10-ZE-2885	6	1045	Vlak
ME-10-ZE-2886	6	1045	Vlak
ME-10-ZE-2887	6	1046	Vlak
ME-10-ZE-2888	6	1046	Vlak
ME-10-ZE-2889	6	1047	Vlak
ME-10-ZE-2890	6	1047	Vlak
ME-10-ZE-2891	6	1048	Vlak
ME-10-ZE-2892	6	1048	Vlak
ME-10-ZE-2893	6	1058	Vlak
ME-10-ZE-2894	6	1058	Vlak
ME-10-ZE-2895	6	1049	Vlak
ME-10-ZE-2896	6	1049	Vlak
ME-10-ZE-2897	6	1053	Vlak
ME-10-ZE-2898	6	1053	Vlak
ME-10-ZE-2899	6	1055	Vlak
ME-10-ZE-2900	6	1055	Vlak
ME-10-ZE-2901	6	1054	Vlak

ME-10-ZE-2902	6	1054	Vlak
ME-10-ZE-2903	6	1059	Vlak
ME-10-ZE-2904	6	1059	Vlak
ME-10-ZE-2905	6	1060	Vlak
ME-10-ZE-2906	6	1060	Vlak
ME-10-ZE-2907	6	1061	Vlak
ME-10-ZE-2908	6	1061	Vlak
ME-10-ZE-2909	6	1062	Vlak
ME-10-ZE-2910	6	1062	Vlak
ME-10-ZE-2911	6	1052	Vlak
ME-10-ZE-2912	6	1052	Vlak
ME-10-ZE-2913	6	1051	Vlak
ME-10-ZE-2914	6	1051	Vlak
ME-10-ZE-2915	6	1050	Vlak
ME-10-ZE-2916	6	1050	Vlak
ME-10-ZE-2917	6	1057	Vlak
ME-10-ZE-2918	6	1057	Vlak
ME-10-ZE-2919	6	597	Vlak
ME-10-ZE-2920	6	597	Vlak
ME-10-ZE-2921	6	1063	Vlak
ME-10-ZE-2922	6	1063	Vlak
ME-10-ZE-2923	6	1065	Vlak
ME-10-ZE-2924	6	1065	Vlak
ME-10-ZE-2925	6	1066	Vlak
ME-10-ZE-2926	6	1066	Vlak
ME-10-ZE-2927	6	1067	Vlak
ME-10-ZE-2928	6	1067	Vlak
ME-10-ZE-2929	6	1068	Vlak
ME-10-ZE-2930	6	1068	Vlak
ME-10-ZE-2931	6	1075	Vlak
ME-10-ZE-2932	6	1075	Vlak
ME-10-ZE-2933	6	1069	Vlak
ME-10-ZE-2934	6	1069	Vlak
ME-10-ZE-2935	6	1070	Vlak
ME-10-ZE-2936	6	1070	Vlak
ME-10-ZE-2937	6	1071	Vlak
ME-10-ZE-2938	6	1071	Vlak
ME-10-ZE-2939	6	1072	Vlak
ME-10-ZE-2940	6	1072	Vlak
ME-10-ZE-2941	6	1073	Vlak
ME-10-ZE-2942	6	1073	Vlak
ME-10-ZE-2943	6	1074	Vlak
ME-10-ZE-2944	6	1074	Vlak
ME-10-ZE-2945	6	1079	Vlak

ME-10-ZE-2946	6	1079	Vlak
ME-10-ZE-2947	6	1076	Vlak
ME-10-ZE-2948	6	1076	Vlak
ME-10-ZE-2949	6	1077	Vlak
ME-10-ZE-2950	6	1077	Vlak
ME-10-ZE-2951	6	1078	Vlak
ME-10-ZE-2952	6	1078	Vlak
ME-10-ZE-2953	6	275	Vlak
ME-10-ZE-2954	6	275	Vlak
ME-10-ZE-2955	6	1064	Vlak
ME-10-ZE-2956	6	1064	Vlak
ME-10-ZE-2957	6	1080	Vlak
ME-10-ZE-2958	6	1080	Vlak
ME-10-ZE-2959	6	1081	Vlak
ME-10-ZE-2960	6	1081	Vlak
ME-10-ZE-2961	6	1082	Vlak
ME-10-ZE-2962	6	1082	Vlak
ME-10-ZE-2963	6	1088	Vlak
ME-10-ZE-2964	6	1088	Vlak
ME-10-ZE-2965	6	1089	Vlak
ME-10-ZE-2966	6	1089	Vlak
ME-10-ZE-2967	6	1087	Vlak
ME-10-ZE-2968	6	1087	Vlak
ME-10-ZE-2969	6	1085, 1086	Vlak
ME-10-ZE-2970	6	1085, 1086	Vlak
ME-10-ZE-2971	6	1084	Vlak
ME-10-ZE-2972	6	1084	Vlak
ME-10-ZE-2973	6	1083	Vlak
ME-10-ZE-2974	6	1083	Vlak
ME-10-ZE-2975	6	1091	Vlak
ME-10-ZE-2976	6	1091	Vlak
ME-10-ZE-2977	6	295	Vlak
ME-10-ZE-2978	6	295	Vlak
ME-10-ZE-2979	6	1092	Vlak
ME-10-ZE-2980	6	1092	Vlak
ME-10-ZE-2981	6	638	Vlak
ME-10-ZE-2982	6	638	Vlak
ME-10-ZE-2983	6		Vlak
ME-10-ZE-2984	6		Vlak
ME-10-ZE-2985	6	1095	Vlak
ME-10-ZE-2986	6	1095	Vlak
ME-10-ZE-2987	6	1096	Vlak
ME-10-ZE-2988	6	1096	Vlak
ME-10-ZE-2989	6	1097	Vlak

ME-10-ZE-2990	6	1097	Vlak
ME-10-ZE-2991	6	1093	Vlak
ME-10-ZE-2992	6	1093	Vlak
ME-10-ZE-2993	6	1094	Vlak
ME-10-ZE-2994	6	1094	Vlak
ME-10-ZE-2995	6	1098	Vlak
ME-10-ZE-2996	6	1098	Vlak
ME-10-ZE-2997	6	1099	Vlak
ME-10-ZE-2998	6	1099	Vlak
ME-10-ZE-2999	6	1100	Vlak
ME-10-ZE-3000	6	1100	Vlak
ME-10-ZE-3001	6	1101	Vlak
ME-10-ZE-3002	6	1101	Vlak
ME-10-ZE-3003	6	1102	Vlak
ME-10-ZE-3004	6	1102	Vlak
ME-10-ZE-3005	6	1103	Vlak
ME-10-ZE-3006	6	1103	Vlak
ME-10-ZE-3007	6	1104	Vlak
ME-10-ZE-3008	6	1104	Vlak
ME-10-ZE-3009	6	1105	Vlak
ME-10-ZE-3010	6	1105	Vlak
ME-10-ZE-3011	6	1106	Vlak
ME-10-ZE-3012	6	1106	Vlak
ME-10-ZE-3013	6	1107	Vlak
ME-10-ZE-3014	6	1107	Vlak
ME-10-ZE-3015	6	1108	Vlak
ME-10-ZE-3016	6	1108	Vlak
ME-10-ZE-3017	6	1109	Vlak
ME-10-ZE-3018	6	1109	Vlak
ME-10-ZE-3019	6	1110	Vlak
ME-10-ZE-3020	6	1110	Vlak
ME-10-ZE-3021	6	1111	Vlak
ME-10-ZE-3022	6	1111	Vlak
ME-10-ZE-3023	6	1112	Vlak
ME-10-ZE-3024	6	1112	Vlak
ME-10-ZE-3025	6	1113	Vlak
ME-10-ZE-3026	6	1113	Vlak
ME-10-ZE-3027	6	1114	Vlak
ME-10-ZE-3028	6	1114	Vlak
ME-10-ZE-3029	6	1115	Vlak
ME-10-ZE-3030	6	1115	Vlak
ME-10-ZE-3031	6	1116	Vlak
ME-10-ZE-3032	6	1116	Vlak
ME-10-ZE-3033	6	1117	Vlak

ME-10-ZE-3034	6	1117	Vlak
ME-10-ZE-3035	6	1118	Vlak
ME-10-ZE-3036	6	1118	Vlak
ME-10-ZE-3037	6	1119	Vlak
ME-10-ZE-3038	6	1119	Vlak
ME-10-ZE-3039	6	1120	Vlak
ME-10-ZE-3040	6	1120	Vlak
ME-10-ZE-3041	6	1121	Vlak
ME-10-ZE-3042	6	1121	Vlak
ME-10-ZE-3043	6	1122	Vlak
ME-10-ZE-3044	6	1122	Vlak
ME-10-ZE-3045	6	112	Vlak
ME-10-ZE-3046	6	1123	Vlak
ME-10-ZE-3047	6	1125	Vlak
ME-10-ZE-3048	6	1125	Vlak
ME-10-ZE-3049	6	1126	Vlak
ME-10-ZE-3050	6	1126	Vlak
ME-10-ZE-3051	6	1127	Vlak
ME-10-ZE-3052	6	1127	Vlak
ME-10-ZE-3053	6	1128	Vlak
ME-10-ZE-3054	6	1128	Vlak
ME-10-ZE-3055	6	1129	Vlak
ME-10-ZE-3056	6	1129	Vlak
ME-10-ZE-3057	6	1130	Vlak
ME-10-ZE-3058	6	1130	Vlak
ME-10-ZE-3059	6	1131	Vlak
ME-10-ZE-3060	6	1131	Vlak
ME-10-ZE-3061	6	1132	Vlak
ME-10-ZE-3062	6	1132	Vlak
ME-10-ZE-3063	6	1133	Vlak
ME-10-ZE-3064	6	1133	Vlak
ME-10-ZE-3065	6	1134	Vlak
ME-10-ZE-3066	6	1134	Vlak
ME-10-ZE-3067	6	1135	Vlak
ME-10-ZE-3068	6	1135	Vlak
ME-10-ZE-3069	6	1136	Vlak
ME-10-ZE-3070	6	1136	Vlak
ME-10-ZE-3071	6	926	Vlak
ME-10-ZE-3072	6	926	Vlak
ME-10-ZE-3073	6	927	Vlak
ME-10-ZE-3074	6	927	Vlak
ME-10-ZE-3075	6	928	Vlak
ME-10-ZE-3076	6	928	Vlak
ME-10-ZE-3077	6	929	Vlak

ME-10-ZE-3078	6	929	Vlak
ME-10-ZE-3079	6	930	Vlak
ME-10-ZE-3080	6	930	Vlak
ME-10-ZE-3081	6	931	Vlak
ME-10-ZE-3082	6	931	Vlak
ME-10-ZE-3083	6	932	Vlak
ME-10-ZE-3084	6	932	Vlak
ME-10-ZE-3085	6	933	Vlak
ME-10-ZE-3086	6	933	Vlak
ME-10-ZE-3087	6	934	Vlak
ME-10-ZE-3088	6	934	Vlak
ME-10-ZE-3089	6	935	Vlak
ME-10-ZE-3090	6	935	Vlak
ME-10-ZE-3091	6	936	Vlak
ME-10-ZE-3092	6	936	Vlak
ME-10-ZE-3093	6	937	Vlak
ME-10-ZE-3094	6	937	Vlak
ME-10-ZE-3095	6	938	Vlak
ME-10-ZE-3096	6	938	Vlak
ME-10-ZE-3097	6	934	Coupe
ME-10-ZE-3098	6	934	Coupe
ME-10-ZE-3099	6	957	Coupe
ME-10-ZE-3100	6	957	Coupe
ME-10-ZE-3101	6	931	Coupe
ME-10-ZE-3102	6	931	Coupe
ME-10-ZE-3103	6	933	Coupe
ME-10-ZE-3104	6	933	Coupe
ME-10-ZE-3105	6	959	Coupe
ME-10-ZE-3106	6	959	Coupe
ME-10-ZE-3107	6	960	Coupe
ME-10-ZE-3108	6	960	Coupe
ME-10-ZE-3109	6	961	Coupe
ME-10-ZE-3110	6	961	Coupe
ME-10-ZE-3111	6	958	Coupe
ME-10-ZE-3112	6	958	Coupe
ME-10-ZE-3113	6	955	Coupe
ME-10-ZE-3114	6	955	Coupe
ME-10-ZE-3115	6	945	Coupe
ME-10-ZE-3116	6	945	Coupe
ME-10-ZE-3117	6	954	Coupe
ME-10-ZE-3118	6	954	Coupe
ME-10-ZE-3119	6	962	Coupe
ME-10-ZE-3120	6	962	Coupe
ME-10-ZE-3121	6	946	Coupe

ME-10-ZE-3122	6	946	Coupe
ME-10-ZE-3123	6	947	Coupe
ME-10-ZE-3124	6	947	Coupe
ME-10-ZE-3125	6	951	Coupe
ME-10-ZE-3126	6	951	Coupe
ME-10-ZE-3127	6	940	Coupe
ME-10-ZE-3128	6	940	Coupe
ME-10-ZE-3129	6	941	Coupe
ME-10-ZE-3130	6	941	Coupe
ME-10-ZE-3131	6	965	Coupe
ME-10-ZE-3132	6	965	Coupe
ME-10-ZE-3133	6	972	Coupe
ME-10-ZE-3134	6	972	Coupe
ME-10-ZE-3135	6	944, 950	Coupe
ME-10-ZE-3136	6	944, 950	Coupe
ME-10-ZE-3137	6	948, 934	Coupe
ME-10-ZE-3138	6	948, 931	Coupe
ME-10-ZE-3139	6	968	Coupe
ME-10-ZE-3140	6	968	Coupe
ME-10-ZE-3141	6	987	Coupe
ME-10-ZE-3142	6	987	Coupe
ME-10-ZE-3143	6	975	Coupe
ME-10-ZE-3144	6	975	Coupe
ME-10-ZE-3145	6	970	Coupe
ME-10-ZE-3146	6	970	Coupe
ME-10-ZE-3147	6	988	Coupe
ME-10-ZE-3148	6	988	Coupe
ME-10-ZE-3149	6	967, 966	Coupe
ME-10-ZE-3150	6	967, 966	Coupe
ME-10-ZE-3151	6	979	Coupe
ME-10-ZE-3152	6	979	Coupe
ME-10-ZE-3153	6	980, 981	Coupe
ME-10-ZE-3154	6	980, 981	Coupe
ME-10-ZE-3155	6	980, 981	Coupe
ME-10-ZE-3156	6	993	Coupe
ME-10-ZE-3157	6	993	Coupe
ME-10-ZE-3158	6	994	Coupe
ME-10-ZE-3159	6	994	Coupe
ME-10-ZE-3160	6	990	Coupe
ME-10-ZE-3161	6	990	Coupe
ME-10-ZE-3162	6	982	Coupe
ME-10-ZE-3163	6	982	Coupe
ME-10-ZE-3164	6	984	Coupe
ME-10-ZE-3165	6	984	Coupe

ME-10-ZE-3166	6	985	Coupe
ME-10-ZE-3167	6	985	Coupe
ME-10-ZE-3168	6	1014	Coupe
ME-10-ZE-3169	6	1014	Coupe
ME-10-ZE-3170	6	999	Coupe
ME-10-ZE-3171	6	999	Coupe
ME-10-ZE-3172	6	1003	Coupe
ME-10-ZE-3173	6	1003	Coupe
ME-10-ZE-3174	6	1000	Coupe
ME-10-ZE-3175	6	1000	Coupe
ME-10-ZE-3176	6	1005	Coupe
ME-10-ZE-3177	6	1005	Coupe
ME-10-ZE-3178	6	1032	Coupe
ME-10-ZE-3179	6	1032	Coupe
ME-10-ZE-3180	6	1034	Coupe
ME-10-ZE-3181	6	1034	Coupe
ME-10-ZE-3182	6	1033	Coupe
ME-10-ZE-3183	6	1033	Coupe
ME-10-ZE-3184	6	1006	Coupe
ME-10-ZE-3185	6	1006	Coupe
ME-10-ZE-3186	6	1011	Coupe
ME-10-ZE-3187	6	1011	Coupe
ME-10-ZE-3188	6	1031	Coupe
ME-10-ZE-3189	6	1031	Coupe
ME-10-ZE-3190	6	1017	Coupe
ME-10-ZE-3191	6	1017	Coupe
ME-10-ZE-3192	6	1018	Coupe
ME-10-ZE-3193	6	1018	Coupe
ME-10-ZE-3194	6	1019	Coupe
ME-10-ZE-3195	6	1019	Coupe
ME-10-ZE-3196	6	1023, 1024	Coupe
ME-10-ZE-3197	6	1023, 1024	Coupe
ME-10-ZE-3198	6	1037	Coupe
ME-10-ZE-3199	6	1037	Coupe
ME-10-ZE-3200	6	1025	Coupe
ME-10-ZE-3201	6	1025	Coupe
ME-10-ZE-3202	6	1020	Coupe
ME-10-ZE-3203	6	1020	Coupe
ME-10-ZE-3204	6	1058	Coupe
ME-10-ZE-3205	6	1058	Coupe
ME-10-ZE-3206	6	1063	Coupe
ME-10-ZE-3207	6	1063	Coupe
ME-10-ZE-3208	6	1036	Coupe
ME-10-ZE-3209	6	1036	Coupe

ME-10-ZE-3210	6	1065	Coupe
ME-10-ZE-3211	6	1065	Coupe
ME-10-ZE-3212	6	1030	Coupe
ME-10-ZE-3213	6	1030	Coupe
ME-10-ZE-3214	6	1026	Coupe
ME-10-ZE-3215	6	1026	Coupe
ME-10-ZE-3216	6	1066	Coupe
ME-10-ZE-3217	6	1066	Coupe
ME-10-ZE-3218	6	1067	Coupe
ME-10-ZE-3219	6	1067	Coupe
ME-10-ZE-3220	6	1068	Coupe
ME-10-ZE-3221	6	1068	Coupe
ME-10-ZE-3222	6	1038	Coupe
ME-10-ZE-3223	6	1038	Coupe
ME-10-ZE-3224	6	1072	Coupe
ME-10-ZE-3225	6	1072	Coupe
ME-10-ZE-3226	6	1039	Coupe
ME-10-ZE-3227	6	1039	Coupe
ME-10-ZE-3228	6	1040	Coupe
ME-10-ZE-3229	6	1040	Coupe
ME-10-ZE-3230	6	1070	Coupe
ME-10-ZE-3231	6	1070	Coupe
ME-10-ZE-3232	6	1071	Coupe
ME-10-ZE-3233	6	1071	Coupe
ME-10-ZE-3234	6	1073	Coupe
ME-10-ZE-3235	6	1073	Coupe
ME-10-ZE-3236	6	1016	Coupe
ME-10-ZE-3237	6	1016	Coupe
ME-10-ZE-3238	6	1137	Coupe
ME-10-ZE-3239	6	1137	Coupe
ME-10-ZE-3240	6	1138	Coupe
ME-10-ZE-3241	6	1138	Coupe
ME-10-ZE-3242	6	1140	Coupe
ME-10-ZE-3243	6	1140	Coupe
ME-10-ZE-3244	6	1049	Coupe
ME-10-ZE-3245	6	1049	Coupe
ME-10-ZE-3246	6	1049	Coupe
ME-10-ZE-3247	6	1069	Coupe
ME-10-ZE-3248	6	1069	Coupe
ME-10-ZE-3249	6	1029	Coupe
ME-10-ZE-3250	6	1029	Coupe
ME-10-ZE-3251	6	1027	Coupe
ME-10-ZE-3252	6	1027	Coupe
ME-10-ZE-3253	6	1046	Coupe

ME-10-ZE-3254	6	1046	Coupe
ME-10-ZE-3255	6	1062	Coupe
ME-10-ZE-3256	6	1062	Coupe
ME-10-ZE-3257	6	1061	Coupe
ME-10-ZE-3258	6	1061	Coupe
ME-10-ZE-3259	6	1059, 1060	Coupe
ME-10-ZE-3260	6	1059, 1060	Coupe
ME-10-ZE-3261	6	1059, 1064	Coupe
ME-10-ZE-3262	6	1059, 1064	Coupe
ME-10-ZE-3263	6	1042, 1044	Coupe
ME-10-ZE-3264	6	1042, 1044	Coupe
ME-10-ZE-3265	6	1051	Coupe
ME-10-ZE-3266	6	1051	Coupe
ME-10-ZE-3267	6	1045	Coupe
ME-10-ZE-3268	6	1045	Coupe
ME-10-ZE-3269	6	1056	Coupe
ME-10-ZE-3270	6	1056	Coupe
ME-10-ZE-3271	6	1052	Coupe
ME-10-ZE-3272	6	1052	Coupe
ME-10-ZE-3273	6	1076	Coupe
ME-10-ZE-3274	6	1076	Coupe
ME-10-ZE-3275	6	1077	Coupe
ME-10-ZE-3276	6	1077	Coupe
ME-10-ZE-3277	6	1055	Coupe
ME-10-ZE-3278	6	1055	Coupe
ME-10-ZE-3279	6	1057	Coupe
ME-10-ZE-3280	6	1057	Coupe
ME-10-ZE-3281	6	1082	Coupe
ME-10-ZE-3282	6	1082	Coupe
ME-10-ZE-3283	6	1079	Coupe
ME-10-ZE-3284	6	1079	Coupe
ME-10-ZE-3285	6	1084	Coupe
ME-10-ZE-3286	6	1084	Coupe
ME-10-ZE-3287	6	1083	Coupe
ME-10-ZE-3288	6	1086	Coupe
ME-10-ZE-3289	6	1086	Coupe
ME-10-ZE-3290	6	1103	Coupe
ME-10-ZE-3291	6	1103	Coupe
ME-10-ZE-3292	6	1078	Coupe
ME-10-ZE-3293	6	1078	Coupe
ME-10-ZE-3294	6	1078	Coupe
ME-10-ZE-3295	6	1075	Coupe
ME-10-ZE-3296	6	1075	Coupe
ME-10-ZE-3297	6	1054	Coupe

ME-10-ZE-3298	6	1054	Coupe
ME-10-ZE-3299	6	1090	Coupe
ME-10-ZE-3300	6	1090	Coupe
ME-10-ZE-3301	6	1089	Coupe
ME-10-ZE-3302	6	1089	Coupe
ME-10-ZE-3303	6	1092	Coupe
ME-10-ZE-3304	6	1092	Coupe
ME-10-ZE-3305	6	1095	Coupe
ME-10-ZE-3306	6	1095	Coupe
ME-10-ZE-3307	6	1096	Coupe
ME-10-ZE-3308	6	1096	Coupe
ME-10-ZE-3309	6	1106	Coupe
ME-10-ZE-3310	6	1106	Coupe
ME-10-ZE-3311	6	1107	Coupe
ME-10-ZE-3312	6	1107	Coupe
ME-10-ZE-3313	6	1108	Coupe
ME-10-ZE-3314	6	1108	Coupe
ME-10-ZE-3315	6	1120	Coupe
ME-10-ZE-3316	6	1120	Coupe
ME-10-ZE-3317	6	1119	Coupe
ME-10-ZE-3318	6	1119	Coupe
ME-10-ZE-3319	6	1118	Coupe
ME-10-ZE-3320	6	1118	Coupe
ME-10-ZE-3321	6	1101	Coupe
ME-10-ZE-3322	6	1101	Coupe
ME-10-ZE-3323	6	1110	Coupe
ME-10-ZE-3324	6	1110	Coupe
ME-10-ZE-3325	6	1113	Coupe
ME-10-ZE-3326	6	1113	Coupe
ME-10-ZE-3327	6	1114	Coupe
ME-10-ZE-3328	6	1114	Coupe
ME-10-ZE-3329	6	1115	Coupe
ME-10-ZE-3330	6	1115	Coupe
ME-10-ZE-3331	6	1116	Coupe
ME-10-ZE-3332	6	1116	Coupe
ME-10-ZE-3333	6	1109	Coupe
ME-10-ZE-3334	6	1109	Coupe
ME-10-ZE-3335	6	1199	Coupe
ME-10-ZE-3336	6	1199	Coupe
ME-10-ZE-3337	6	295	Coupe
ME-10-ZE-3338	6	295	Coupe
ME-10-ZE-3339	6	1050	Coupe
ME-10-ZE-3340	6	1050	Coupe
ME-10-ZE-3341	6	1112	Coupe

ME-10-ZE-3342	6	1112	Coupe
ME-10-ZE-3343	6	1111	Coupe
ME-10-ZE-3344	6	1111	Coupe
ME-10-ZE-3345	6	1126	Coupe
ME-10-ZE-3346	6	1126	Coupe
ME-10-ZE-3347	6	1136	Coupe
ME-10-ZE-3348	6	1136	Coupe
ME-10-ZE-3349	6	1132	Coupe
ME-10-ZE-3350	6	1132	Coupe
ME-10-ZE-3351	6	1134	Coupe
ME-10-ZE-3352	6	1134	Coupe
ME-10-ZE-3353	6	1130	Coupe
ME-10-ZE-3354	6	1130	Coupe
ME-10-ZE-3355	6	1129	Coupe
ME-10-ZE-3356	6	1129	Coupe
ME-10-ZE-3357	6	1125	Coupe
ME-10-ZE-3358	6	1125	Coupe
ME-10-ZE-3359	6	1124	Coupe
ME-10-ZE-3360	6	1124	Coupe
ME-10-ZE-3361	6	1122	Coupe
ME-10-ZE-3362	6	1122	Coupe
ME-10-ZE-3363	6	1121	Coupe
ME-10-ZE-3364	6	1121	Coupe
ME-10-ZE-3365	6	1098	Coupe
ME-10-ZE-3366	6	1098	Coupe
ME-10-ZE-3367	6	956, 520	Coupe
ME-10-ZE-3368	6	956, 520	Coupe
ME-10-ZE-3369	6	638	Coupe
ME-10-ZE-3370	6	638	Coupe
ME-10-ZE-3371	6	638	Coupe
ME-10-ZE-3372	7		Overzicht
ME-10-ZE-3373	7		Overzicht
ME-10-ZE-3374	7		Overzicht
ME-10-ZE-3375	7		Overzicht
ME-10-ZE-3376	7		Overzicht
ME-10-ZE-3377	7		Overzicht
ME-10-ZE-3378	7		Overzicht
ME-10-ZE-3379	7		Overzicht
ME-10-ZE-3380	7		Overzicht
ME-10-ZE-3381	7		Overzicht
ME-10-ZE-3382	7		Overzicht
ME-10-ZE-3383	7		Overzicht
ME-10-ZE-3384	7		Overzicht
ME-10-ZE-3385	7		Overzicht

ME-10-ZE-3386	7		Overzicht
ME-10-ZE-3387	7		Overzicht
ME-10-ZE-3388	7		Overzicht
ME-10-ZE-3389	7		Overzicht
ME-10-ZE-3390	7		Overzicht
ME-10-ZE-3391	7		Overzicht
ME-10-ZE-3392	7		Overzicht
ME-10-ZE-3393	7		Overzicht
ME-10-ZE-3394	7		Overzicht
ME-10-ZE-3395	7		Overzicht
ME-10-ZE-3396	7		Overzicht
ME-10-ZE-3397	7		Overzicht
ME-10-ZE-3398	7		Overzicht
ME-10-ZE-3399	7		Overzicht
ME-10-ZE-3400	7		Overzicht
ME-10-ZE-3401	7		Overzicht
ME-10-ZE-3402	7		Overzicht
ME-10-ZE-3403	7		Overzicht
ME-10-ZE-3404	7		Overzicht
ME-10-ZE-3405	7		Overzicht
ME-10-ZE-3406	7		Overzicht
ME-10-ZE-3407	7		Overzicht
ME-10-ZE-3408	7		Overzicht
ME-10-ZE-3409	7		Overzicht
ME-10-ZE-3410	7		Overzicht
ME-10-ZE-3411	7		Overzicht
ME-10-ZE-3412	7		Overzicht
ME-10-ZE-3413	7		Overzicht
ME-10-ZE-3414	7		Overzicht
ME-10-ZE-3415	7		Overzicht
ME-10-ZE-3416	7		Overzicht
ME-10-ZE-3417	7		Overzicht
ME-10-ZE-3418	7		Overzicht
ME-10-ZE-3419	7		Overzicht
ME-10-ZE-3420	7		Overzicht
ME-10-ZE-3421	7		Overzicht
ME-10-ZE-3422	7		Overzicht
ME-10-ZE-3423	7		Overzicht
ME-10-ZE-3424	7		Overzicht
ME-10-ZE-3425	7		Overzicht
ME-10-ZE-3426	7		Overzicht
ME-10-ZE-3427	7		Overzicht
ME-10-ZE-3428	7		Overzicht
ME-10-ZE-3429	7		Overzicht

ME-10-ZE-3430	7		Overzicht
ME-10-ZE-3431	7		Overzicht
ME-10-ZE-3432	7		Overzicht
ME-10-ZE-3433	7	1141	Vlak
ME-10-ZE-3434	7	1141	Vlak
ME-10-ZE-3435	7	1142	Vlak
ME-10-ZE-3436	7	1142	Vlak
ME-10-ZE-3437	7	1271	Vlak
ME-10-ZE-3438	7	1271	Vlak
ME-10-ZE-3439	7	1144	Vlak
ME-10-ZE-3440	7	1144	Vlak
ME-10-ZE-3441	7	1145, 1146	Vlak
ME-10-ZE-3442	7	1145, 1146	Vlak
ME-10-ZE-3443	7	1147	Vlak
ME-10-ZE-3444	7	1147	Vlak
ME-10-ZE-3445	7	1148	Vlak
ME-10-ZE-3446	7	1148	Vlak
ME-10-ZE-3447	7	1149, 1150	Vlak
ME-10-ZE-3448	7	1149, 1150	Vlak
ME-10-ZE-3449	7	1151	Vlak
ME-10-ZE-3450	7	1151	Vlak
ME-10-ZE-3451	7	1152	Vlak
ME-10-ZE-3452	7	1152	Vlak
ME-10-ZE-3453	7	1152	Vlak
ME-10-ZE-3454	7	115	Vlak
ME-10-ZE-3455	7	1153	Vlak
ME-10-ZE-3456	7	1153	Vlak
ME-10-ZE-3457	7	1154	Vlak
ME-10-ZE-3458	7	1154	Vlak
ME-10-ZE-3459	7	1154	Vlak
ME-10-ZE-3460	7	1155	Vlak
ME-10-ZE-3461	7	1155	Vlak
ME-10-ZE-3462	7	1155	Vlak
ME-10-ZE-3463	7	1156	Vlak
ME-10-ZE-3464	7	1156	Vlak
ME-10-ZE-3465	7	1156	Vlak
ME-10-ZE-3466	7	1157	Vlak
ME-10-ZE-3467	7	1157	Vlak
ME-10-ZE-3468	7	1157	Vlak
ME-10-ZE-3469	7	1158	Vlak
ME-10-ZE-3470	7	1158	Vlak
ME-10-ZE-3471	7	1158	Vlak
ME-10-ZE-3472	7	1159	Vlak
ME-10-ZE-3473	7	1159	Vlak

ME-10-ZE-3474	7	1159	Vlak
ME-10-ZE-3475	7	1160, 1161	Vlak
ME-10-ZE-3476	7	1160, 1161	Vlak
ME-10-ZE-3477	7	1160, 1161	Vlak
ME-10-ZE-3478	7	1162, 1163	Vlak
ME-10-ZE-3479	7	1162, 1163	Vlak
ME-10-ZE-3480	7	1162, 1163	Vlak
ME-10-ZE-3481	7	1162, 1163	Vlak
ME-10-ZE-3482	7	1164	Vlak
ME-10-ZE-3483	7	1164	Vlak
ME-10-ZE-3484	7	1164	Vlak
ME-10-ZE-3485	7	1165	Vlak
ME-10-ZE-3486	7	1165	Vlak
ME-10-ZE-3487	7	1166	Vlak
ME-10-ZE-3488	7	1166	Vlak
ME-10-ZE-3489	7	1166	Vlak
ME-10-ZE-3490	7	1167	Vlak
ME-10-ZE-3491	7	1167	Vlak
ME-10-ZE-3492	7	1167	Vlak
ME-10-ZE-3493	7	1168	Vlak
ME-10-ZE-3494	7	1168	Vlak
ME-10-ZE-3495	7	1168	Vlak
ME-10-ZE-3496	7	1169	Vlak
ME-10-ZE-3497	7	1169	Vlak
ME-10-ZE-3498	7	1169	Vlak
ME-10-ZE-3499	7	1169	Vlak
ME-10-ZE-3500	7	1170	Vlak
ME-10-ZE-3501	7	1170	Vlak
ME-10-ZE-3502	7	1170	Vlak
ME-10-ZE-3503	7	1171	Vlak
ME-10-ZE-3504	7	1171	Vlak
ME-10-ZE-3505	7	1171	Vlak
ME-10-ZE-3506	7	1172	Vlak
ME-10-ZE-3507	7	1172	Vlak
ME-10-ZE-3508	7	1172	Vlak
ME-10-ZE-3509	7	1173	Vlak
ME-10-ZE-3510	7	1173	Vlak
ME-10-ZE-3511	7	1173	Vlak
ME-10-ZE-3512	7	1174	Vlak
ME-10-ZE-3513	7	1174	Vlak
ME-10-ZE-3514	7	1174	Vlak
ME-10-ZE-3515	7	1175	Vlak
ME-10-ZE-3516	7	1175	Vlak
ME-10-ZE-3517	7	1175	Vlak

ME-10-ZE-3518	7	1176	Vlak
ME-10-ZE-3519	7	1176	Vlak
ME-10-ZE-3520	7	1177	Vlak
ME-10-ZE-3521	7	1177	Vlak
ME-10-ZE-3522	7	1178	Vlak
ME-10-ZE-3523	7	1178	Vlak
ME-10-ZE-3524	7	1179	Vlak
ME-10-ZE-3525	7	1179	Vlak
ME-10-ZE-3526	7	1180	Vlak
ME-10-ZE-3527	7	1180	Vlak
ME-10-ZE-3528	7	1181	Vlak
ME-10-ZE-3529	7	1181	Vlak
ME-10-ZE-3530	7	1182	Vlak
ME-10-ZE-3531	7	1182	Vlak
ME-10-ZE-3532	7	1183	Vlak
ME-10-ZE-3533	7	1183	Vlak
ME-10-ZE-3534	7	1184	Vlak
ME-10-ZE-3535	7	1184	Vlak
ME-10-ZE-3536	7	1185	Vlak
ME-10-ZE-3537	7	1185	Vlak
ME-10-ZE-3538	7	1186, 1187	Vlak
ME-10-ZE-3539	7	1186, 1187	Vlak
ME-10-ZE-3540	7	1188	Vlak
ME-10-ZE-3541	7	1188	Vlak
ME-10-ZE-3542	7	1189	Vlak
ME-10-ZE-3543	7	1189	Vlak
ME-10-ZE-3544	7	1190	Vlak
ME-10-ZE-3545	7	1190	Vlak
ME-10-ZE-3546	7	1191	Vlak
ME-10-ZE-3547	7	1191	Vlak
ME-10-ZE-3548	7	1542	Vlak
ME-10-ZE-3549	7	1542	Vlak
ME-10-ZE-3550	7	1543	Vlak
ME-10-ZE-3551	7	1543	Vlak
ME-10-ZE-3552	7	1192	Vlak
ME-10-ZE-3553	7	1544	Vlak
ME-10-ZE-3554	7	1544	Vlak
ME-10-ZE-3555	7	1545	Vlak
ME-10-ZE-3556	7	1545	Vlak
ME-10-ZE-3557	7	1546	Vlak
ME-10-ZE-3558	7	1546	Vlak
ME-10-ZE-3559	7	1547, 1548	Vlak
ME-10-ZE-3560	7	1547, 1548	Vlak
ME-10-ZE-3561	7	1549	Vlak

ME-10-ZE-3562	7	1549	Vlak
ME-10-ZE-3563	7	1192	Vlak
ME-10-ZE-3564	7	1550, 1551	Vlak
ME-10-ZE-3565	7	1150, 1151	Vlak
ME-10-ZE-3566	7	1552	Vlak
ME-10-ZE-3567	7	1552	Vlak
ME-10-ZE-3568	7	1553	Vlak
ME-10-ZE-3569	7	1553	Vlak
ME-10-ZE-3570	7	1554, 1555	Vlak
ME-10-ZE-3571	7	1554, 1555	Vlak
ME-10-ZE-3572	7	1556	Vlak
ME-10-ZE-3573	7	1556	Vlak
ME-10-ZE-3574	7	1193	Vlak
ME-10-ZE-3575	7	1557, 1558	Vlak
ME-10-ZE-3576	7	1557, 1558	Vlak
ME-10-ZE-3577	7	1559, 1560	Vlak
ME-10-ZE-3578	7	1559, 1560	Vlak
ME-10-ZE-3579	7	1561	Vlak
ME-10-ZE-3580	7	1561	Vlak
ME-10-ZE-3581	7	1562	Vlak
ME-10-ZE-3582	7	1562	Vlak
ME-10-ZE-3583	7	1563	Vlak
ME-10-ZE-3584	7	1563	Vlak
ME-10-ZE-3585	7	1193	Vlak
ME-10-ZE-3586	7	1564	Vlak
ME-10-ZE-3587	7	1564	Vlak
ME-10-ZE-3588	7	1565	Vlak
ME-10-ZE-3589	7	1565	Vlak
ME-10-ZE-3590	7	1566	Vlak
ME-10-ZE-3591	7	1566	Vlak
ME-10-ZE-3592	7	1567	Vlak
ME-10-ZE-3593	7	1567	Vlak
ME-10-ZE-3594	7	1568	Vlak
ME-10-ZE-3595	7	1568	Vlak
ME-10-ZE-3596	7	1194	Vlak
ME-10-ZE-3597	7	1194	Vlak
ME-10-ZE-3598	7	1195	Vlak
ME-10-ZE-3599	7	1195	Vlak
ME-10-ZE-3600	7	1196	Vlak
ME-10-ZE-3601	7	1196	Vlak
ME-10-ZE-3602	7	1197	Vlak
ME-10-ZE-3603	7	1197	Vlak
ME-10-ZE-3604	7	1198	Vlak
ME-10-ZE-3605	7	1198	Vlak

ME-10-ZE-3606	7	1199	Vlak
ME-10-ZE-3607	7	1199	Vlak
ME-10-ZE-3608	7	1200	Vlak
ME-10-ZE-3609	7	1200	Vlak
ME-10-ZE-3610	7	1201	Vlak
ME-10-ZE-3611	7	1201	Vlak
ME-10-ZE-3612	7	1202	Vlak
ME-10-ZE-3613	7	1202	Vlak
ME-10-ZE-3614	7	1203	Vlak
ME-10-ZE-3615	7	1203	Vlak
ME-10-ZE-3616	7		Vlak
ME-10-ZE-3617	7		Vlak
ME-10-ZE-3618	7	1204	Vlak
ME-10-ZE-3619	7	1204	Vlak
ME-10-ZE-3620	7	1205	Vlak
ME-10-ZE-3621	7	1205	Vlak
ME-10-ZE-3622	7	1206	Vlak
ME-10-ZE-3623	7	1206	Vlak
ME-10-ZE-3624	7	1207	Vlak
ME-10-ZE-3625	7	1207	Vlak
ME-10-ZE-3626	7	1208	Vlak
ME-10-ZE-3627	7	1208	Vlak
ME-10-ZE-3628	7		Vlak
ME-10-ZE-3629	7		Vlak
ME-10-ZE-3630	7	1209	Vlak
ME-10-ZE-3631	7	1209	Vlak
ME-10-ZE-3632	7	1210	Vlak
ME-10-ZE-3633	7	1210	Vlak
ME-10-ZE-3634	7	1211	Vlak
ME-10-ZE-3635	7	1211	Vlak
ME-10-ZE-3636	7	1212, 1213	Vlak
ME-10-ZE-3637	7	1212, 1213	Vlak
ME-10-ZE-3638	7	1214	Vlak
ME-10-ZE-3639	7	1214	Vlak
ME-10-ZE-3640	7	1215	Vlak
ME-10-ZE-3641	7	1215	Vlak
ME-10-ZE-3642	7	1216	Vlak
ME-10-ZE-3643	7	1216	Vlak
ME-10-ZE-3644	7	1217	Vlak
ME-10-ZE-3645	7	1217	Vlak
ME-10-ZE-3646	7	1218	Vlak
ME-10-ZE-3647	7	1218	Vlak
ME-10-ZE-3648	7	1219	Vlak
ME-10-ZE-3649	7	1219	Vlak

ME-10-ZE-3650	7	1220	Vlak
ME-10-ZE-3651	7	1220	Vlak
ME-10-ZE-3652	7	1221	Vlak
ME-10-ZE-3653	7	1221	Vlak
ME-10-ZE-3654	7	1222	Vlak
ME-10-ZE-3655	7	1222	Vlak
ME-10-ZE-3656	7	1223	Vlak
ME-10-ZE-3657	7	1223	Vlak
ME-10-ZE-3658	7		Vlak
ME-10-ZE-3659	7		Vlak
ME-10-ZE-3660	7		Vlak
ME-10-ZE-3661	7	1224	Vlak
ME-10-ZE-3662	7	1224	Vlak
ME-10-ZE-3663	7	1225	Vlak
ME-10-ZE-3664	7	1225	Vlak
ME-10-ZE-3665	7	1226	Vlak
ME-10-ZE-3666	7	1226	Vlak
ME-10-ZE-3667	7	1227	Vlak
ME-10-ZE-3668	7	1227	Vlak
ME-10-ZE-3669	7	1228, 1229	Vlak
ME-10-ZE-3670	7	1228, 1229	Vlak
ME-10-ZE-3671	7	1230	Vlak
ME-10-ZE-3672	7	1230	Vlak
ME-10-ZE-3673	7	1231	Vlak
ME-10-ZE-3674	7	1231	Vlak
ME-10-ZE-3675	7	1232	Vlak
ME-10-ZE-3676	7	1232	Vlak
ME-10-ZE-3677	7	1233	Vlak
ME-10-ZE-3678	7	1233	Vlak
ME-10-ZE-3679	7	1234	Vlak
ME-10-ZE-3680	7	1234	Vlak
ME-10-ZE-3681	7	1235	Vlak
ME-10-ZE-3682	7	1235	Vlak
ME-10-ZE-3683	7	1236	Vlak
ME-10-ZE-3684	7	1236	Vlak
ME-10-ZE-3685	7	1237	Vlak
ME-10-ZE-3686	7	1237	Vlak
ME-10-ZE-3687	7	1238	Vlak
ME-10-ZE-3688	7	1238	Vlak
ME-10-ZE-3689	7	1239	Vlak
ME-10-ZE-3690	7	1239	Vlak
ME-10-ZE-3691	7	1240	Vlak
ME-10-ZE-3692	7	1240	Vlak
ME-10-ZE-3693	7	1241	Vlak

ME-10-ZE-3694	7	1241	Vlak
ME-10-ZE-3695	7	1242, 1243	Vlak
ME-10-ZE-3696	7	1242, 1243	Vlak
ME-10-ZE-3697	7	1244, 1245	Vlak
ME-10-ZE-3698	7	1244, 1245	Vlak
ME-10-ZE-3699	7	1246	Vlak
ME-10-ZE-3700	7	1246	Vlak
ME-10-ZE-3701	7	1247	Vlak
ME-10-ZE-3702	7	1247	Vlak
ME-10-ZE-3703	7	1248, 1249	Vlak
ME-10-ZE-3704	7	1248, 1249	Vlak
ME-10-ZE-3705	7	1250, 1251	Vlak
ME-10-ZE-3706	7	1250, 1251	Vlak
ME-10-ZE-3707	7	1252, 1253	Vlak
ME-10-ZE-3708	7	1252, 1253	Vlak
ME-10-ZE-3709	7	1254	Vlak
ME-10-ZE-3710	7	1254	Vlak
ME-10-ZE-3711	7	1255, 1256	Vlak
ME-10-ZE-3712	7	1255, 1256	Vlak
ME-10-ZE-3713	7	1257	Vlak
ME-10-ZE-3714	7	1257	Vlak
ME-10-ZE-3715	7	1258	Vlak
ME-10-ZE-3716	7	1258	Vlak
ME-10-ZE-3717	7	1259	Vlak
ME-10-ZE-3718	7	1259	Vlak
ME-10-ZE-3719	7	1260	Vlak
ME-10-ZE-3720	7	1260	Vlak
ME-10-ZE-3721	7	1261	Vlak
ME-10-ZE-3722	7	1261	Vlak
ME-10-ZE-3723	7	1262	Vlak
ME-10-ZE-3724	7	1262	Vlak
ME-10-ZE-3725	7	1263, 1264	Vlak
ME-10-ZE-3726	7	1263, 1264	Vlak
ME-10-ZE-3727	7	1265, 1266	Vlak
ME-10-ZE-3728	7	1265, 1266	Vlak
ME-10-ZE-3729	7	1267	Vlak
ME-10-ZE-3730	7	1267	Vlak
ME-10-ZE-3731	7	1268	Vlak
ME-10-ZE-3732	7	1268	Vlak
ME-10-ZE-3733	7	1269	Vlak
ME-10-ZE-3734	7	1269	Vlak
ME-10-ZE-3735	7	1270	Vlak
ME-10-ZE-3736	7	1270	Vlak
ME-10-ZE-3737	7	1271	Vlak

ME-10-ZE-3738	7	1271	Vlak
ME-10-ZE-3739	7	1272, 1273	Vlak
ME-10-ZE-3740	7	1272, 1273	Vlak
ME-10-ZE-3741	7	1274	Vlak
ME-10-ZE-3742	7	1274	Vlak
ME-10-ZE-3743	7	1275	Vlak
ME-10-ZE-3744	7	1275	Vlak
ME-10-ZE-3745	7	1276, 1278	Vlak
ME-10-ZE-3746	7	1276, 1278	Vlak
ME-10-ZE-3747	7	1277	Vlak
ME-10-ZE-3748	7	1277	Vlak
ME-10-ZE-3749	7	1279	Vlak
ME-10-ZE-3750	7	1279	Vlak
ME-10-ZE-3751	7	1279	Vlak
ME-10-ZE-3752	7	1280	Vlak
ME-10-ZE-3753	7	1280	Vlak
ME-10-ZE-3754	7	1281	Vlak
ME-10-ZE-3755	7	1281	Vlak
ME-10-ZE-3756	7	1146	Coupe
ME-10-ZE-3757	7	1146	Coupe
ME-10-ZE-3758	7	1143	Coupe
ME-10-ZE-3759	7	1143	Coupe
ME-10-ZE-3760	7	1143	Coupe
ME-10-ZE-3761	7	1147	Coupe
ME-10-ZE-3762	7	1147	Coupe
ME-10-ZE-3763	7	1147	Coupe
ME-10-ZE-3764	7	1148	Coupe
ME-10-ZE-3765	7	1148	Coupe
ME-10-ZE-3766	7	1148	Coupe
ME-10-ZE-3767	7	1153	Coupe
ME-10-ZE-3768	7	1153	Coupe
ME-10-ZE-3769	7	1154	Coupe
ME-10-ZE-3770	7	1154	Coupe
ME-10-ZE-3771	7	1154	Coupe
ME-10-ZE-3772	7	1164	Coupe
ME-10-ZE-3773	7	1164	Coupe
ME-10-ZE-3774	7	1164	Coupe
ME-10-ZE-3775	7	1150	Coupe
ME-10-ZE-3776	7	1150	Coupe
ME-10-ZE-3777	7	1144	Coupe
ME-10-ZE-3778	7	1144	Coupe
ME-10-ZE-3779	7	1144	Coupe
ME-10-ZE-3780	7	1156	Coupe
ME-10-ZE-3781	7	1156	Coupe

ME-10-ZE-3782	7	1156	Coupe
ME-10-ZE-3783	7	1157	Coupe
ME-10-ZE-3784	7	1157	Coupe
ME-10-ZE-3785	7	1157	Coupe
ME-10-ZE-3786	7	1162	Coupe
ME-10-ZE-3787	7	1162	Coupe
ME-10-ZE-3788	7	1162	Coupe
ME-10-ZE-3789	7	1161	Coupe
ME-10-ZE-3790	7	1161	Coupe
ME-10-ZE-3791	7	1152	Coupe
ME-10-ZE-3792	7	1152	Coupe
ME-10-ZE-3793	7	1152	Coupe
ME-10-ZE-3794	7	1155	Coupe
ME-10-ZE-3795	7	1155	Coupe
ME-10-ZE-3796	7	1155	Coupe
ME-10-ZE-3797	7	1170	Coupe
ME-10-ZE-3798	7	1170	Coupe
ME-10-ZE-3799	7	1170	Coupe
ME-10-ZE-3800	7	1165	Coupe
ME-10-ZE-3801	7	1165	Coupe
ME-10-ZE-3802	7	1165	Coupe
ME-10-ZE-3803	7	1160, 1159	Coupe
ME-10-ZE-3804	7	1160, 1159	Coupe
ME-10-ZE-3805	7	1160, 1159	Coupe
ME-10-ZE-3806	7	1173	Coupe
ME-10-ZE-3807	7	1173	Coupe
ME-10-ZE-3808	7	1169	Coupe
ME-10-ZE-3809	7	1169	Coupe
ME-10-ZE-3810	7	1169	Coupe
ME-10-ZE-3811	7	1172	Coupe
ME-10-ZE-3812	7	1172	Coupe
ME-10-ZE-3813	7	1172	Coupe
ME-10-ZE-3814	7	1175	Coupe
ME-10-ZE-3815	7	1175	Coupe
ME-10-ZE-3816	7	1175	Coupe
ME-10-ZE-3817	7	1181	Coupe
ME-10-ZE-3818	7	1181	Coupe
ME-10-ZE-3819	7	1181	Coupe
ME-10-ZE-3820	7	1177	Coupe
ME-10-ZE-3821	7	1177	Coupe
ME-10-ZE-3822	7	1177	Coupe
ME-10-ZE-3823	7	1182	Coupe
ME-10-ZE-3824	7	1182	Coupe
ME-10-ZE-3825	7	1182	Coupe

ME-10-ZE-3826	7	1183	Coupe
ME-10-ZE-3827	7	1183	Coupe
ME-10-ZE-3828	7	1183	Coupe
ME-10-ZE-3829	7	1196	Coupe
ME-10-ZE-3830	7	1196	Coupe
ME-10-ZE-3831	7	1196	Coupe
ME-10-ZE-3832	7	1192	Coupe
ME-10-ZE-3833	7	1192	Coupe
ME-10-ZE-3834	7	1184	Coupe
ME-10-ZE-3835	7	1184	Coupe
ME-10-ZE-3836	7	1185	Coupe
ME-10-ZE-3837	7	1185	Coupe
ME-10-ZE-3838	7	1185	Coupe
ME-10-ZE-3839	7	1191	Coupe
ME-10-ZE-3840	7	1191	Coupe
ME-10-ZE-3841	7	1191	Coupe
ME-10-ZE-3842	7	1191	Coupe
ME-10-ZE-3843	7	1200	Coupe
ME-10-ZE-3844	7	1200	Coupe
ME-10-ZE-3845	7	1200	Coupe
ME-10-ZE-3846	7	1218	Coupe
ME-10-ZE-3847	7	1218	Coupe
ME-10-ZE-3848	7	1218	Coupe
ME-10-ZE-3849	7	1219	Coupe
ME-10-ZE-3850	7	1219	Coupe
ME-10-ZE-3851	7	1219	Coupe
ME-10-ZE-3852	7	1203	Coupe
ME-10-ZE-3853	7	1203	Coupe
ME-10-ZE-3854	7	1203	Coupe
ME-10-ZE-3855	7	1204	Coupe
ME-10-ZE-3856	7	1204	Coupe
ME-10-ZE-3857	7	1204	Coupe
ME-10-ZE-3858	7	1205	Coupe
ME-10-ZE-3859	7	1205	Coupe
ME-10-ZE-3860	7	1206	Coupe
ME-10-ZE-3861	7	1206	Coupe
ME-10-ZE-3862	7	1206	Coupe
ME-10-ZE-3863	7	1209	Coupe
ME-10-ZE-3864	7	1209	Coupe
ME-10-ZE-3865	7	1208	Coupe
ME-10-ZE-3866	7	1208	Coupe
ME-10-ZE-3867	7	1208	Coupe
ME-10-ZE-3868	7	919	Coupe
ME-10-ZE-3869	7	919	Coupe

ME-10-ZE-3870	7	919	Coupe
ME-10-ZE-3871	7	920	Coupe
ME-10-ZE-3872	7	920	Coupe
ME-10-ZE-3873	7	921	Coupe
ME-10-ZE-3874	7	921	Coupe
ME-10-ZE-3875	7	1279	Coupe
ME-10-ZE-3876	7	1279	Coupe
ME-10-ZE-3877	7	1271	Coupe
ME-10-ZE-3878	7	1271	Coupe
ME-10-ZE-3879	7	1271	Coupe
ME-10-ZE-3880	7	1265	Coupe
ME-10-ZE-3881	7	1265	Coupe
ME-10-ZE-3882	7	1273	Coupe
ME-10-ZE-3883	7	1273	Coupe
ME-10-ZE-3884	7	1270	Coupe
ME-10-ZE-3885	7	1270	Coupe
ME-10-ZE-3886	7	1261	Coupe
ME-10-ZE-3887	7	1261	Coupe
ME-10-ZE-3888	7	1240	Coupe
ME-10-ZE-3889	7	1240	Coupe
ME-10-ZE-3890	7	1239	Coupe
ME-10-ZE-3891	7	1239	Coupe
ME-10-ZE-3892	7	1259	Coupe
ME-10-ZE-3893	7	1259	Coupe
ME-10-ZE-3894	7	1259	Coupe
ME-10-ZE-3895	7	1233	Coupe
ME-10-ZE-3896	7	1233	Coupe
ME-10-ZE-3897	7	1230	Coupe
ME-10-ZE-3898	7	1230	Coupe
ME-10-ZE-3899	7	1230	Coupe
ME-10-ZE-3900	7	1231	Coupe
ME-10-ZE-3901	7	1231	Coupe
ME-10-ZE-3902	7	1231	Coupe
ME-10-ZE-3903	7	1232	Coupe
ME-10-ZE-3904	7	1232	Coupe
ME-10-ZE-3905	7	1232	Coupe
ME-10-ZE-3906	7	1228, 1229	Coupe
ME-10-ZE-3907	7	1228, 1229	Coupe
ME-10-ZE-3908	7	1228, 1229	Coupe
ME-10-ZE-3909	7	1225	Coupe
ME-10-ZE-3910	7	1225	Coupe
ME-10-ZE-3911	7	1225	Coupe
ME-10-ZE-3912	7	1226	Coupe
ME-10-ZE-3913	7	1226	Coupe

ME-10-ZE-3914	7	1226	Coupe
ME-10-ZE-3915	7	1227	Coupe
ME-10-ZE-3916	7	1227	Coupe
ME-10-ZE-3917	7	1227	Coupe
ME-10-ZE-3918	7	1221	Coupe
ME-10-ZE-3919	7	1221	Coupe
ME-10-ZE-3920	7	1221	Coupe
ME-10-ZE-3921	7	1222, 1223	Coupe
ME-10-ZE-3922	7	1222, 1223	Coupe
ME-10-ZE-3923	7	1222, 1223	Coupe
ME-10-ZE-3924	7	1211	Coupe
ME-10-ZE-3925	7	1211	Coupe
ME-10-ZE-3926	7	1217	Coupe
ME-10-ZE-3927	7	1217	Coupe
ME-10-ZE-3928	7	1217	Coupe
ME-10-ZE-3929	7	1216	Coupe
ME-10-ZE-3930	7	1216	Coupe
ME-10-ZE-3931	7	1216	Coupe
ME-10-ZE-3932	7	1207	Coupe
ME-10-ZE-3933	7	1207	Coupe
ME-10-ZE-3934	7	1207	Coupe
ME-10-ZE-3935	7	1214	Coupe
ME-10-ZE-3936	7	1214	Coupe
ME-10-ZE-3937	7	1215	Coupe
ME-10-ZE-3938	7	1215	Coupe
ME-10-ZE-3939	7	1215	Coupe
ME-10-ZE-3940	7	1234	Coupe
ME-10-ZE-3941	7	1234	Coupe
ME-10-ZE-3942	7	1234	Coupe
ME-10-ZE-3943	7	1234	Coupe
ME-10-ZE-3944	7	1212, 1213	Coupe
ME-10-ZE-3945	7	1212, 1213	Coupe
ME-10-ZE-3946	7	1566	Coupe
ME-10-ZE-3947	7	1566	Coupe
ME-10-ZE-3948	7	1567	Coupe
ME-10-ZE-3949	7	1567	Coupe
ME-10-ZE-3950	7	1568	Coupe
ME-10-ZE-3951	7	1568	Coupe
ME-10-ZE-3952	7	1563	Coupe
ME-10-ZE-3953	7	1563	Coupe
ME-10-ZE-3954	7	1561	Coupe
ME-10-ZE-3955	7	1561	Coupe
ME-10-ZE-3956	7	1559	Coupe
ME-10-ZE-3957	7	1559	Coupe

ME-10-ZE-3958	7	1559	Coupe
ME-10-ZE-3959	7	1542	Coupe
ME-10-ZE-3960	7	1542	Coupe
ME-10-ZE-3961	7	1544	Coupe
ME-10-ZE-3962	7	1544	Coupe
ME-10-ZE-3963	7	1565	Coupe
ME-10-ZE-3964	7	1565	Coupe
ME-10-ZE-3965	8		Overzicht
ME-10-ZE-3966	8		Overzicht
ME-10-ZE-3967	8		Overzicht
ME-10-ZE-3968	8		Overzicht
ME-10-ZE-3969	8		Overzicht
ME-10-ZE-3970	8		Overzicht
ME-10-ZE-3971	8		Overzicht
ME-10-ZE-3972	8		Overzicht
ME-10-ZE-3973	8		Overzicht
ME-10-ZE-3974	8		Overzicht
ME-10-ZE-3975	8		Overzicht
ME-10-ZE-3976	8		Overzicht
ME-10-ZE-3977	8		Overzicht
ME-10-ZE-3978	8		Overzicht
ME-10-ZE-3979	8		Overzicht
ME-10-ZE-3980	8		Overzicht
ME-10-ZE-3981	8		Overzicht
ME-10-ZE-3982	8		Overzicht
ME-10-ZE-3983	8		Overzicht
ME-10-ZE-3984	8		Overzicht
ME-10-ZE-3985	8		Overzicht
ME-10-ZE-3986	8		Overzicht
ME-10-ZE-3987	8		Overzicht
ME-10-ZE-3988	8		Overzicht
ME-10-ZE-3989	8		Overzicht
ME-10-ZE-3990	8		Overzicht
ME-10-ZE-3991	8		Overzicht
ME-10-ZE-3992	8		Overzicht
ME-10-ZE-3993	8		Overzicht
ME-10-ZE-3994	8		Overzicht
ME-10-ZE-3995	8		Overzicht
ME-10-ZE-3996	8		Overzicht
ME-10-ZE-3997	8		Overzicht
ME-10-ZE-3998	8		Overzicht
ME-10-ZE-3999	8		Overzicht
ME-10-ZE-4000	8		Overzicht
ME-10-ZE-4001	8		Overzicht

ME-10-ZE-4002	8		Overzicht
ME-10-ZE-4003	8		Overzicht
ME-10-ZE-4004	8		Overzicht
ME-10-ZE-4005	8		Overzicht
ME-10-ZE-4006	8		Overzicht
ME-10-ZE-4007	8		Overzicht
ME-10-ZE-4008	8		Overzicht
ME-10-ZE-4009	8		Overzicht
ME-10-ZE-4010	8		Overzicht
ME-10-ZE-4011	8		Overzicht
ME-10-ZE-4012	8		Overzicht
ME-10-ZE-4013	8		Overzicht
ME-10-ZE-4014	8		Overzicht
ME-10-ZE-4015	8		Overzicht
ME-10-ZE-4016	8		Overzicht
ME-10-ZE-4017	8		Overzicht
ME-10-ZE-4018	8		Overzicht
ME-10-ZE-4019	8		Overzicht
ME-10-ZE-4020	8		Overzicht
ME-10-ZE-4021	8		Overzicht
ME-10-ZE-4022	8		Overzicht
ME-10-ZE-4023	8		Overzicht
ME-10-ZE-4024	8		Overzicht
ME-10-ZE-4025	8		Overzicht
ME-10-ZE-4026	8		Overzicht
ME-10-ZE-4027	8		Overzicht
ME-10-ZE-4028	8		Overzicht
ME-10-ZE-4029	8		Overzicht
ME-10-ZE-4030	8		Overzicht
ME-10-ZE-4031	8		Overzicht
ME-10-ZE-4032	8		Overzicht
ME-10-ZE-4033	8		Overzicht
ME-10-ZE-4034	8		Overzicht
ME-10-ZE-4035	8		Overzicht
ME-10-ZE-4036	8		Overzicht
ME-10-ZE-4037	8		Overzicht
ME-10-ZE-4038	8		Overzicht
ME-10-ZE-4039	8		Overzicht
ME-10-ZE-4040	8		Overzicht
ME-10-ZE-4041	8		Overzicht
ME-10-ZE-4042	8		Overzicht
ME-10-ZE-4043	8		Overzicht
ME-10-ZE-4044	8		Overzicht
ME-10-ZE-4045	8		Overzicht

ME-10-ZE-4046	8		Overzicht
ME-10-ZE-4047	8		Overzicht
ME-10-ZE-4048	8		Overzicht
ME-10-ZE-4049	8		Overzicht
ME-10-ZE-4050	8		Overzicht
ME-10-ZE-4051	8		Overzicht
ME-10-ZE-4052	8		Overzicht
ME-10-ZE-4053	8		Overzicht
ME-10-ZE-4054	8		Overzicht
ME-10-ZE-4055	8		Overzicht
ME-10-ZE-4056	8		Overzicht
ME-10-ZE-4057	8		Overzicht
ME-10-ZE-4058	8		Overzicht
ME-10-ZE-4059	8		Overzicht
ME-10-ZE-4060	8	1467	Vlak
ME-10-ZE-4061	8	1467	Vlak
ME-10-ZE-4062	8	1468	Vlak
ME-10-ZE-4063	8	1468	Vlak
ME-10-ZE-4064	8	1469	Vlak
ME-10-ZE-4065	8	1469	Vlak
ME-10-ZE-4066	8	1470	Vlak
ME-10-ZE-4067	8	1470	Vlak
ME-10-ZE-4068	8	1471	Vlak
ME-10-ZE-4069	8	1471	Vlak
ME-10-ZE-4070	8	1472	Vlak
ME-10-ZE-4071	8	1472	Vlak
ME-10-ZE-4072	8	1473	Vlak
ME-10-ZE-4073	8	1473	Vlak
ME-10-ZE-4074	8	1474	Vlak
ME-10-ZE-4075	8	1474	Vlak
ME-10-ZE-4076	8	1475	Vlak
ME-10-ZE-4077	8	1475	Vlak
ME-10-ZE-4078	8	1476	Vlak
ME-10-ZE-4079	8	1476	Vlak
ME-10-ZE-4080	8	1477	Vlak
ME-10-ZE-4081	8	1477	Vlak
ME-10-ZE-4082	8	1478	Vlak
ME-10-ZE-4083	8	1478	Vlak
ME-10-ZE-4084	8	1479	Vlak
ME-10-ZE-4085	8	1479	Vlak
ME-10-ZE-4086	8	1480	Vlak
ME-10-ZE-4087	8	1480	Vlak
ME-10-ZE-4088	8	1481	Vlak
ME-10-ZE-4089	8	1481	Vlak

ME-10-ZE-4090	8	1482	Vlak
ME-10-ZE-4091	8	1482	Vlak
ME-10-ZE-4092	8	1483	Vlak
ME-10-ZE-4093	8	1483	Vlak
ME-10-ZE-4094	8	1484	Vlak
ME-10-ZE-4095	8	1484	Vlak
ME-10-ZE-4096	8	1485	Vlak
ME-10-ZE-4097	8	1485	Vlak
ME-10-ZE-4098	8	1486	Vlak
ME-10-ZE-4099	8	1486	Vlak
ME-10-ZE-4100	8	1487	Vlak
ME-10-ZE-4101	8	1487	Vlak
ME-10-ZE-4102	8	1488	Vlak
ME-10-ZE-4103	8	1488	Vlak
ME-10-ZE-4104	8	1489	Vlak
ME-10-ZE-4105	8	1489	Vlak
ME-10-ZE-4106	8	1490	Vlak
ME-10-ZE-4107	8	1490	Vlak
ME-10-ZE-4108	8	1491	Vlak
ME-10-ZE-4109	8	1491	Vlak
ME-10-ZE-4110	8	1492	Vlak
ME-10-ZE-4111	8	1492	Vlak
ME-10-ZE-4112	8		Vlak
ME-10-ZE-4113	8		Vlak
ME-10-ZE-4114	8	1493	Vlak
ME-10-ZE-4115	8	1493	Vlak
ME-10-ZE-4116	8	1499	Vlak
ME-10-ZE-4117	8	1499	Vlak
ME-10-ZE-4118	8	1494	Vlak
ME-10-ZE-4119	8	1494	Vlak
ME-10-ZE-4120	8	1495	Vlak
ME-10-ZE-4121	8	1495	Vlak
ME-10-ZE-4122	8	1496	Vlak
ME-10-ZE-4123	8	1496	Vlak
ME-10-ZE-4124	8	1497	Vlak
ME-10-ZE-4125	8	1497	Vlak
ME-10-ZE-4126	8	1500	Vlak
ME-10-ZE-4127	8	1500	Vlak
ME-10-ZE-4128	8	1501	Vlak
ME-10-ZE-4129	8	1501	Vlak
ME-10-ZE-4130	8	1502	Vlak
ME-10-ZE-4131	8	1502	Vlak
ME-10-ZE-4132	8	1503	Vlak
ME-10-ZE-4133	8	1503	Vlak

ME-10-ZE-4134	8	1504	Vlak
ME-10-ZE-4135	8	1504	Vlak
ME-10-ZE-4136	8	1505	Vlak
ME-10-ZE-4137	8	1505	Vlak
ME-10-ZE-4138	8	1506	Vlak
ME-10-ZE-4139	8	1506	Vlak
ME-10-ZE-4140	8	1507	Vlak
ME-10-ZE-4141	8	1507	Vlak
ME-10-ZE-4142	8	1508	Vlak
ME-10-ZE-4143	8	1508	Vlak
ME-10-ZE-4144	8	1509	Vlak
ME-10-ZE-4145	8	1509	Vlak
ME-10-ZE-4146	8	1510	Vlak
ME-10-ZE-4147	8	1510	Vlak
ME-10-ZE-4148	8	1511	Vlak
ME-10-ZE-4149	8	1511	Vlak
ME-10-ZE-4150	8	1512, 1513	Vlak
ME-10-ZE-4151	8	1512, 1513	Vlak
ME-10-ZE-4152	8	1514	Vlak
ME-10-ZE-4153	8	1514	Vlak
ME-10-ZE-4154	8	1515	Vlak
ME-10-ZE-4155	8	1515	Vlak
ME-10-ZE-4156	8	1516	Vlak
ME-10-ZE-4157	8	1516	Vlak
ME-10-ZE-4158	8	1517	Vlak
ME-10-ZE-4159	8	1517	Vlak
ME-10-ZE-4160	8	1518	Vlak
ME-10-ZE-4161	8	1518	Vlak
ME-10-ZE-4162	8	1519	Vlak
ME-10-ZE-4163	8	1519	Vlak
ME-10-ZE-4164	8	1520	Vlak
ME-10-ZE-4165	8	1520	Vlak
ME-10-ZE-4166	8	1521	Vlak
ME-10-ZE-4167	8	1521	Vlak
ME-10-ZE-4168	8	1522	Vlak
ME-10-ZE-4169	8	1522	Vlak
ME-10-ZE-4170	8	1523	Vlak
ME-10-ZE-4171	8	1523	Vlak
ME-10-ZE-4172	8	1524	Vlak
ME-10-ZE-4173	8	1524	Vlak
ME-10-ZE-4174	8	1525	Vlak
ME-10-ZE-4175	8	1525	Vlak
ME-10-ZE-4176	8	1526	Vlak
ME-10-ZE-4177	8	1526	Vlak

ME-10-ZE-4178	8	1527	Vlak
ME-10-ZE-4179	8	1527	Vlak
ME-10-ZE-4180	8	1528	Vlak
ME-10-ZE-4181	8	1528	Vlak
ME-10-ZE-4182	8	1529	Vlak
ME-10-ZE-4183	8	1529	Vlak
ME-10-ZE-4184	8	1530	Vlak
ME-10-ZE-4185	8	1530	Vlak
ME-10-ZE-4186	8	1531	Vlak
ME-10-ZE-4187	8	1531	Vlak
ME-10-ZE-4188	8	1532	Vlak
ME-10-ZE-4189	8	1532	Vlak
ME-10-ZE-4190	8	1533	Vlak
ME-10-ZE-4191	8	1533	Vlak
ME-10-ZE-4192	8	1534	Vlak
ME-10-ZE-4193	8	1534	Vlak
ME-10-ZE-4194	8	1535	Vlak
ME-10-ZE-4195	8	1535	Vlak
ME-10-ZE-4196	8	1536	Vlak
ME-10-ZE-4197	8	1536	Vlak
ME-10-ZE-4198	8	1537	Vlak
ME-10-ZE-4199	8	1537	Vlak
ME-10-ZE-4200	8	1538	Vlak
ME-10-ZE-4201	8	1538	Vlak
ME-10-ZE-4202	8	1539	Vlak
ME-10-ZE-4203	8	1539	Vlak
ME-10-ZE-4204	8	1540	Vlak
ME-10-ZE-4205	8	1540	Vlak
ME-10-ZE-4206	8	1541	Vlak
ME-10-ZE-4207	8	1541	Vlak
ME-10-ZE-4208	8	1282	Vlak
ME-10-ZE-4209	8	1282	Vlak
ME-10-ZE-4210	8	1283, 1284	Vlak
ME-10-ZE-4211	8	1283, 1284	Vlak
ME-10-ZE-4212	8	1285	Vlak
ME-10-ZE-4213	8	1285	Vlak
ME-10-ZE-4214	8	1286	Vlak
ME-10-ZE-4215	8	1286	Vlak
ME-10-ZE-4216	8	1287	Vlak
ME-10-ZE-4217	8	1287	Vlak
ME-10-ZE-4218	8	1288	Vlak
ME-10-ZE-4219	8	1288	Vlak
ME-10-ZE-4220	8	1289	Vlak
ME-10-ZE-4221	8	1289	Vlak

ME-10-ZE-4222	8	1290	Vlak
ME-10-ZE-4223	8	1290	Vlak
ME-10-ZE-4224	8	1291	Vlak
ME-10-ZE-4225	8	1291	Vlak
ME-10-ZE-4226	8	1292, 1293	Vlak
ME-10-ZE-4227	8	1292, 1293	Vlak
ME-10-ZE-4228	8	1294, 1295	Vlak
ME-10-ZE-4229	8	1294, 1295	Vlak
ME-10-ZE-4230	8	1296	Vlak
ME-10-ZE-4231	8	1296	Vlak
ME-10-ZE-4232	8	1297	Vlak
ME-10-ZE-4233	8	1297	Vlak
ME-10-ZE-4234	8	1298	Vlak
ME-10-ZE-4235	8	1298	Vlak
ME-10-ZE-4236	8	1299	Vlak
ME-10-ZE-4237	8	1299	Vlak
ME-10-ZE-4238	8	1300, 1301	Vlak
ME-10-ZE-4239	8	1300, 1301	Vlak
ME-10-ZE-4240	8	1302	Vlak
ME-10-ZE-4241	8	1302	Vlak
ME-10-ZE-4242	8	1303	Vlak
ME-10-ZE-4243	8	1303	Vlak
ME-10-ZE-4244	8	1304, 1305	Vlak
ME-10-ZE-4245	8	1304, 1305	Vlak
ME-10-ZE-4246	8	1306, 1307	Vlak
ME-10-ZE-4247	8	1306, 1307	Vlak
ME-10-ZE-4248	8	1308	Vlak
ME-10-ZE-4249	8	1308	Vlak
ME-10-ZE-4250	8	1309	Vlak
ME-10-ZE-4251	8	1309	Vlak
ME-10-ZE-4252	8	1310	Vlak
ME-10-ZE-4253	8	1310	Vlak
ME-10-ZE-4254	8	1311	Vlak
ME-10-ZE-4255	8	1311	Vlak
ME-10-ZE-4256	8	1312, 1313	Vlak
ME-10-ZE-4257	8	1312, 1313	Vlak
ME-10-ZE-4258	8	1314	Vlak
ME-10-ZE-4259	8	1314	Vlak
ME-10-ZE-4260	8	1315	Vlak
ME-10-ZE-4261	8	1315	Vlak
ME-10-ZE-4262	8	1316	Vlak
ME-10-ZE-4263	8	1316	Vlak
ME-10-ZE-4264	8	1317	Vlak
ME-10-ZE-4265	8	1317	Vlak

ME-10-ZE-4266	8	1318	Vlak
ME-10-ZE-4267	8	1318	Vlak
ME-10-ZE-4268	8	1319	Vlak
ME-10-ZE-4269	8	1319	Vlak
ME-10-ZE-4270	8	1320	Vlak
ME-10-ZE-4271	8	1320	Vlak
ME-10-ZE-4272	8	1321	Vlak
ME-10-ZE-4273	8	1321	Vlak
ME-10-ZE-4274	8	1322, 1323	Vlak
ME-10-ZE-4275	8	1322, 1323	Vlak
ME-10-ZE-4276	8	1324	Vlak
ME-10-ZE-4277	8	1324	Vlak
ME-10-ZE-4278	8	1325	Vlak
ME-10-ZE-4279	8	1325	Vlak
ME-10-ZE-4280	8	1326	Vlak
ME-10-ZE-4281	8	1326	Vlak
ME-10-ZE-4282	8	1327	Vlak
ME-10-ZE-4283	8	1327	Vlak
ME-10-ZE-4284	8	1328	Vlak
ME-10-ZE-4285	8	1328	Vlak
ME-10-ZE-4286	8	1329	Vlak
ME-10-ZE-4287	8	1329	Vlak
ME-10-ZE-4288	8	1330	Vlak
ME-10-ZE-4289	8	1330	Vlak
ME-10-ZE-4290	8	1331	Vlak
ME-10-ZE-4291	8	1331	Vlak
ME-10-ZE-4292	8	1332	Vlak
ME-10-ZE-4293	8	1332	Vlak
ME-10-ZE-4294	8	1333	Vlak
ME-10-ZE-4295	8	1333	Vlak
ME-10-ZE-4296	8	1334	Vlak
ME-10-ZE-4297	8	1334	Vlak
ME-10-ZE-4298	8	1335	Vlak
ME-10-ZE-4299	8	1335	Vlak
ME-10-ZE-4300	8	1336	Vlak
ME-10-ZE-4301	8	1336	Vlak
ME-10-ZE-4302	8	1337	Vlak
ME-10-ZE-4303	8	1337	Vlak
ME-10-ZE-4304	8	1338	Vlak
ME-10-ZE-4305	8	1338	Vlak
ME-10-ZE-4306	8	1339	Vlak
ME-10-ZE-4307	8	1339	Vlak
ME-10-ZE-4308	8	1340, 1341	Vlak
ME-10-ZE-4309	8	1340, 1341	Vlak

ME-10-ZE-4310	8	1351	Vlak
ME-10-ZE-4311	8	1351	Vlak
ME-10-ZE-4312	8	1342, 1343	Vlak
ME-10-ZE-4313	8	1342, 1343	Vlak
ME-10-ZE-4314	8	1344	Vlak
ME-10-ZE-4315	8	1344	Vlak
ME-10-ZE-4316	8	1345	Vlak
ME-10-ZE-4317	8	1345	Vlak
ME-10-ZE-4318	8	1346	Vlak
ME-10-ZE-4319	8	1346	Vlak
ME-10-ZE-4320	8	1347	Vlak
ME-10-ZE-4321	8	1347	Vlak
ME-10-ZE-4322	8	1348	Vlak
ME-10-ZE-4323	8	1348	Vlak
ME-10-ZE-4324	8	1349	Vlak
ME-10-ZE-4325	8	1349	Vlak
ME-10-ZE-4326	8	1350	Vlak
ME-10-ZE-4327	8	1350	Vlak
ME-10-ZE-4328	8	1352	Vlak
ME-10-ZE-4329	8	1352	Vlak
ME-10-ZE-4330	8	1353	Vlak
ME-10-ZE-4331	8	1353	Vlak
ME-10-ZE-4332	8	1354	Vlak
ME-10-ZE-4333	8	1354	Vlak
ME-10-ZE-4334	8	1355	Vlak
ME-10-ZE-4335	8	1355	Vlak
ME-10-ZE-4336	8	1356	Vlak
ME-10-ZE-4337	8	1356	Vlak
ME-10-ZE-4338	8	1357	Vlak
ME-10-ZE-4339	8	1357	Vlak
ME-10-ZE-4340	8	1358	Vlak
ME-10-ZE-4341	8	1358	Vlak
ME-10-ZE-4342	8	1359	Vlak
ME-10-ZE-4343	8	1359	Vlak
ME-10-ZE-4344	8	1360	Vlak
ME-10-ZE-4345	8	1360	Vlak
ME-10-ZE-4346	8	1361	Vlak
ME-10-ZE-4347	8	1361	Vlak
ME-10-ZE-4348	8	1362	Vlak
ME-10-ZE-4349	8	1362	Vlak
ME-10-ZE-4350	8	1363	Vlak
ME-10-ZE-4351	8	1363	Vlak
ME-10-ZE-4352	8	1364	Vlak
ME-10-ZE-4353	8	1364	Vlak

ME-10-ZE-4354	8	1365	Vlak
ME-10-ZE-4355	8	1365	Vlak
ME-10-ZE-4356	8	1366	Vlak
ME-10-ZE-4357	8	1366	Vlak
ME-10-ZE-4358	8	1367	Vlak
ME-10-ZE-4359	8	1367	Vlak
ME-10-ZE-4360	8	1368	Vlak
ME-10-ZE-4361	8	1368	Vlak
ME-10-ZE-4362	8	1369	Vlak
ME-10-ZE-4363	8	1369	Vlak
ME-10-ZE-4364	8	1370	Vlak
ME-10-ZE-4365	8	1370	Vlak
ME-10-ZE-4366	8	1371	Vlak
ME-10-ZE-4367	8	1371	Vlak
ME-10-ZE-4368	8	1372	Vlak
ME-10-ZE-4369	8	1372	Vlak
ME-10-ZE-4370	8	1373	Vlak
ME-10-ZE-4371	8	1373	Vlak
ME-10-ZE-4372	8	1374	Vlak
ME-10-ZE-4373	8	1374	Vlak
ME-10-ZE-4374	8	1375	Vlak
ME-10-ZE-4375	8	1375	Vlak
ME-10-ZE-4376	8	1376	Vlak
ME-10-ZE-4377	8	1376	Vlak
ME-10-ZE-4378	8	1377	Vlak
ME-10-ZE-4379	8	1377	Vlak
ME-10-ZE-4380	8	1378	Vlak
ME-10-ZE-4381	8	1378	Vlak
ME-10-ZE-4382	8	1382	Vlak
ME-10-ZE-4383	8	1382	Vlak
ME-10-ZE-4384	8	1383	Vlak
ME-10-ZE-4385	8	1383	Vlak
ME-10-ZE-4386	8	1384	Vlak
ME-10-ZE-4387	8	1384	Vlak
ME-10-ZE-4388	8	1385	Vlak
ME-10-ZE-4389	8	1385	Vlak
ME-10-ZE-4390	8	1386	Vlak
ME-10-ZE-4391	8	1386	Vlak
ME-10-ZE-4392	8	1381	Vlak
ME-10-ZE-4393	8	1381	Vlak
ME-10-ZE-4394	8	1387	Vlak
ME-10-ZE-4395	8	1387	Vlak
ME-10-ZE-4396	8	1388	Vlak
ME-10-ZE-4397	8	1388	Vlak

ME-10-ZE-4398	8	1389	Vlak
ME-10-ZE-4399	8	1389	Vlak
ME-10-ZE-4400	8	1380	Vlak
ME-10-ZE-4401	8	1380	Vlak
ME-10-ZE-4402	8	1380	Vlak
ME-10-ZE-4403	8	1380	Vlak
ME-10-ZE-4404	8	1391	Vlak
ME-10-ZE-4405	8	1391	Vlak
ME-10-ZE-4406	8	1392	Vlak
ME-10-ZE-4407	8	1392	Vlak
ME-10-ZE-4408	8	1393	Vlak
ME-10-ZE-4409	8	1393	Vlak
ME-10-ZE-4410	8	1394	Vlak
ME-10-ZE-4411	8	1394	Vlak
ME-10-ZE-4412	8	1395	Vlak
ME-10-ZE-4413	8	1395	Vlak
ME-10-ZE-4414	8	1396	Vlak
ME-10-ZE-4415	8	1396	Vlak
ME-10-ZE-4416	8	1397	Vlak
ME-10-ZE-4417	8	1397	Vlak
ME-10-ZE-4418	8	1399	Vlak
ME-10-ZE-4419	8	1399	Vlak
ME-10-ZE-4420	8	1400	Vlak
ME-10-ZE-4421	8	1400	Vlak
ME-10-ZE-4422	8	1401	Vlak
ME-10-ZE-4423	8	1401	Vlak
ME-10-ZE-4424	8	1402	Vlak
ME-10-ZE-4425	8	1402	Vlak
ME-10-ZE-4426	8	1403	Vlak
ME-10-ZE-4427	8	1403	Vlak
ME-10-ZE-4428	8	1404	Vlak
ME-10-ZE-4429	8	1404	Vlak
ME-10-ZE-4430	8	1405	Vlak
ME-10-ZE-4431	8	1405	Vlak
ME-10-ZE-4432	8	1406	Vlak
ME-10-ZE-4433	8	1406	Vlak
ME-10-ZE-4434	8	1407	Vlak
ME-10-ZE-4435	8	1407	Vlak
ME-10-ZE-4436	8	1408, 1409	Vlak
ME-10-ZE-4437	8	1408, 1409	Vlak
ME-10-ZE-4438	8	1410	Vlak
ME-10-ZE-4439	8	1410	Vlak
ME-10-ZE-4440	8	1411	Vlak
ME-10-ZE-4441	8	1411	Vlak

ME-10-ZE-4442	8	1412	Vlak
ME-10-ZE-4443	8	1412	Vlak
ME-10-ZE-4444	8	1413	Vlak
ME-10-ZE-4445	8	1413	Vlak
ME-10-ZE-4446	8	1414	Vlak
ME-10-ZE-4447	8	1414	Vlak
ME-10-ZE-4448	8	1415	Vlak
ME-10-ZE-4449	8	1415	Vlak
ME-10-ZE-4450	8	1416	Vlak
ME-10-ZE-4451	8	1416	Vlak
ME-10-ZE-4452	8	1417	Vlak
ME-10-ZE-4453	8	1417	Vlak
ME-10-ZE-4454	8	1418	Vlak
ME-10-ZE-4455	8	1418	Vlak
ME-10-ZE-4456	8	1419	Vlak
ME-10-ZE-4457	8	1419	Vlak
ME-10-ZE-4458	8	1427, 1428	Vlak
ME-10-ZE-4459	8	1427, 1428	Vlak
ME-10-ZE-4460	8	1426	Vlak
ME-10-ZE-4461	8	1426	Vlak
ME-10-ZE-4462	8	1420	Vlak
ME-10-ZE-4463	8	1420	Vlak
ME-10-ZE-4464	8	1421, 1422	Vlak
ME-10-ZE-4465	8	1421, 1422	Vlak
ME-10-ZE-4466	8	1423	Vlak
ME-10-ZE-4467	8	1423	Vlak
ME-10-ZE-4468	8	1424	Vlak
ME-10-ZE-4469	8	1424	Vlak
ME-10-ZE-4470	8	1425	Vlak
ME-10-ZE-4471	8	1425	Vlak
ME-10-ZE-4472	8	1434, 1435	Vlak
ME-10-ZE-4473	8	1434, 1435	Vlak
ME-10-ZE-4474	8	1431, 1432	Vlak
ME-10-ZE-4475	8	1431, 1432	Vlak
ME-10-ZE-4476	8	1433	Vlak
ME-10-ZE-4477	8	1433	Vlak
ME-10-ZE-4478	8	1429, 1430	Vlak
ME-10-ZE-4479	8	1429, 1430	Vlak
ME-10-ZE-4480	8	1436	Vlak
ME-10-ZE-4481	8	1436	Vlak
ME-10-ZE-4482	8	1437	Vlak
ME-10-ZE-4483	8	1437	Vlak
ME-10-ZE-4484	8	1438	Vlak
ME-10-ZE-4485	8	1438	Vlak

ME-10-ZE-4486	8	1439	Vlak
ME-10-ZE-4487	8	1439	Vlak
ME-10-ZE-4488	8	1440	Vlak
ME-10-ZE-4489	8	1440	Vlak
ME-10-ZE-4490	8	1441	Vlak
ME-10-ZE-4491	8	1441	Vlak
ME-10-ZE-4492	8	1442	Vlak
ME-10-ZE-4493	8	1442	Vlak
ME-10-ZE-4494	8	1443	Vlak
ME-10-ZE-4495	8	1443	Vlak
ME-10-ZE-4496	8	1444	Vlak
ME-10-ZE-4497	8	1444	Vlak
ME-10-ZE-4498	8	1445	Vlak
ME-10-ZE-4499	8	1445	Vlak
ME-10-ZE-4500	8	1446	Vlak
ME-10-ZE-4501	8	1446	Vlak
ME-10-ZE-4502	8	1447	Vlak
ME-10-ZE-4503	8	1447	Vlak
ME-10-ZE-4504	8	1448	Vlak
ME-10-ZE-4505	8	1448	Vlak
ME-10-ZE-4506	8	1449	Vlak
ME-10-ZE-4507	8	1449	Vlak
ME-10-ZE-4508	8	1450	Vlak
ME-10-ZE-4509	8	1450	Vlak
ME-10-ZE-4510	8	1451	Vlak
ME-10-ZE-4511	8	1451	Vlak
ME-10-ZE-4512	8	1452	Vlak
ME-10-ZE-4513	8	1452	Vlak
ME-10-ZE-4514	8	1453	Vlak
ME-10-ZE-4515	8	1453	Vlak
ME-10-ZE-4516	8	1454	Vlak
ME-10-ZE-4517	8	1454	Vlak
ME-10-ZE-4518	8	1455	Vlak
ME-10-ZE-4519	8	1455	Vlak
ME-10-ZE-4520	8	1456	Vlak
ME-10-ZE-4521	8	1456	Vlak
ME-10-ZE-4522	8	1457	Vlak
ME-10-ZE-4523	8	1457	Vlak
ME-10-ZE-4524	8	1458	Vlak
ME-10-ZE-4525	8	1458	Vlak
ME-10-ZE-4526	8	1459	Vlak
ME-10-ZE-4527	8	1459	Vlak
ME-10-ZE-4528	8	1460	Vlak
ME-10-ZE-4529	8	1460	Vlak

ME-10-ZE-4530	8	1461	Vlak
ME-10-ZE-4531	8	1461	Vlak
ME-10-ZE-4532	8	1462	Vlak
ME-10-ZE-4533	8	1462	Vlak
ME-10-ZE-4534	8	1463	Vlak
ME-10-ZE-4535	8	1463	Vlak
ME-10-ZE-4536	8	1464	Vlak
ME-10-ZE-4537	8	1464	Vlak
ME-10-ZE-4538	8	1465	Vlak
ME-10-ZE-4539	8	1465	Vlak
ME-10-ZE-4540	8	1466	Vlak
ME-10-ZE-4541	8	1466	Vlak
ME-10-ZE-4542	8	1347	Coupe
ME-10-ZE-4543	8	1347	Coupe
ME-10-ZE-4544	8	1364	Coupe
ME-10-ZE-4545	8	1364	Coupe
ME-10-ZE-4546	8	1289	Coupe
ME-10-ZE-4547	8	1289	Coupe
ME-10-ZE-4548	8	1372	Coupe
ME-10-ZE-4549	8	1372	Coupe
ME-10-ZE-4550	8	1373	Coupe
ME-10-ZE-4551	8	1373	Coupe
ME-10-ZE-4552	8	1382	Coupe
ME-10-ZE-4553	8	1382	Coupe
ME-10-ZE-4554	8	1383	Coupe
ME-10-ZE-4555	8	1383	Coupe
ME-10-ZE-4556	8	1390	Coupe
ME-10-ZE-4557	8	1390	Coupe
ME-10-ZE-4558	8	1389	Coupe
ME-10-ZE-4559	8	1389	Coupe
ME-10-ZE-4560	8	1388	Coupe
ME-10-ZE-4561	8	1388	Coupe
ME-10-ZE-4562	8	1381	Coupe
ME-10-ZE-4563	8	1381	Coupe
ME-10-ZE-4564	8	1386	Coupe
ME-10-ZE-4565	8	1386	Coupe
ME-10-ZE-4566	8	1415	Coupe
ME-10-ZE-4567	8	1415	Coupe
ME-10-ZE-4568	8	1394	Coupe
ME-10-ZE-4569	8	1394	Coupe
ME-10-ZE-4570	8	1393	Coupe
ME-10-ZE-4571	8	1393	Coupe
ME-10-ZE-4572	8	1391	Coupe
ME-10-ZE-4573	8	139 1	Coupe

ME-10-ZE-4574	8	1392	Coupe
ME-10-ZE-4575	8	1392	Coupe
ME-10-ZE-4576	8	1400	Coupe
ME-10-ZE-4577	8	1400	Coupe
ME-10-ZE-4578	8	1404	Coupe
ME-10-ZE-4579	8	1404	Coupe
ME-10-ZE-4580	8	1405	Coupe
ME-10-ZE-4581	8	1405	Coupe
ME-10-ZE-4582	8	1401	Coupe
ME-10-ZE-4583	8	1401	Coupe
ME-10-ZE-4584	8	1408	Coupe
ME-10-ZE-4585	8	1408	Coupe
ME-10-ZE-4586	8	1311	Coupe
ME-10-ZE-4587	8	1311	Coupe
ME-10-ZE-4588	8	1339	Coupe
ME-10-ZE-4589	8	1339	Coupe
ME-10-ZE-4590	8	1364	Coupe
ME-10-ZE-4591	8	1364	Coupe
ME-10-ZE-4592	8	1407	Coupe
ME-10-ZE-4593	8	1407	Coupe
ME-10-ZE-4594	8	1423	Coupe
ME-10-ZE-4595	8	1423	Coupe
ME-10-ZE-4596	8	1412	Coupe
ME-10-ZE-4597	8	1412	Coupe
ME-10-ZE-4598	8	1413	Coupe
ME-10-ZE-4599	8	1413	Coupe
ME-10-ZE-4600	8	1425	Coupe
ME-10-ZE-4601	8	1425	Coupe
ME-10-ZE-4602	8	1426	Coupe
ME-10-ZE-4603	8	1426	Coupe
ME-10-ZE-4604	8	1430	Coupe
ME-10-ZE-4605	8	1430	Coupe
ME-10-ZE-4606	8	1431	Coupe
ME-10-ZE-4607	8	1431	Coupe
ME-10-ZE-4608	8	1432	Coupe
ME-10-ZE-4609	8	1432	Coupe
ME-10-ZE-4610	8	1432	Coupe
ME-10-ZE-4611	8	1421, 1422	Coupe
ME-10-ZE-4612	8	1421, 1422	Coupe
ME-10-ZE-4613	8	1429	Coupe
ME-10-ZE-4614	8	1429	Coupe
ME-10-ZE-4615	8	1419	Coupe
ME-10-ZE-4616	8	1419	Coupe
ME-10-ZE-4617	8	1435, 1436	Coupe

ME-10-ZE-4618	8	1435, 1436	Coupe
ME-10-ZE-4619	8	1438	Coupe
ME-10-ZE-4620	8	1438	Coupe
ME-10-ZE-4621	8	1420	Coupe
ME-10-ZE-4622	8	1420	Coupe
ME-10-ZE-4623	8	1436	Coupe
ME-10-ZE-4624	8	1436	Coupe
ME-10-ZE-4625	8	1440	Coupe
ME-10-ZE-4626	8	1440	Coupe
ME-10-ZE-4627	8	1441	Coupe
ME-10-ZE-4628	8	1441	Coupe
ME-10-ZE-4629	8	1439	Coupe
ME-10-ZE-4630	8	1439	Coupe
ME-10-ZE-4631	8	1442	Coupe
ME-10-ZE-4632	8	1442	Coupe
ME-10-ZE-4633	8	1443	Coupe
ME-10-ZE-4634	8	1443	Coupe
ME-10-ZE-4635	8	1444	Coupe
ME-10-ZE-4636	8	1444	Coupe
ME-10-ZE-4637	8	1445	Coupe
ME-10-ZE-4638	8	1445	Coupe
ME-10-ZE-4639	8	1446	Coupe
ME-10-ZE-4640	8	1446	Coupe
ME-10-ZE-4641	8	1447	Coupe
ME-10-ZE-4642	8	1447	Coupe
ME-10-ZE-4643	8	1448	Coupe
ME-10-ZE-4644	8	1448	Coupe
ME-10-ZE-4645	8	1449	Coupe
ME-10-ZE-4646	8	1449	Coupe
ME-10-ZE-4647	8	1450	Coupe
ME-10-ZE-4648	8	1450	Coupe
ME-10-ZE-4649	8	1451	Coupe
ME-10-ZE-4650	8	1451	Coupe
ME-10-ZE-4651	8	1452	Coupe
ME-10-ZE-4652	8	1452	Coupe
ME-10-ZE-4653	8	1453	Coupe
ME-10-ZE-4654	8	1453	Coupe
ME-10-ZE-4655	8	1456	Coupe
ME-10-ZE-4656	8	1456	Coupe
ME-10-ZE-4657	8	1457	Coupe
ME-10-ZE-4658	8	1457	Coupe
ME-10-ZE-4659	8	1455	Coupe
ME-10-ZE-4660	8	1455	Coupe
ME-10-ZE-4661	8	1466	Coupe

ME-10-ZE-4662	8	1466	Coupe
ME-10-ZE-4663	8	1460	Coupe
ME-10-ZE-4664	8	1460	Coupe
ME-10-ZE-4665	8	1459	Coupe
ME-10-ZE-4666	8	1459	Coupe
ME-10-ZE-4667	8	1461	Coupe
ME-10-ZE-4668	8	1461	Coupe
ME-10-ZE-4669	8	1462	Coupe
ME-10-ZE-4670	8	1462	Coupe
ME-10-ZE-4671	8	1463	Coupe
ME-10-ZE-4672	8	1463	Coupe
ME-10-ZE-4673	8	1464	Coupe
ME-10-ZE-4674	8	1464	Coupe
ME-10-ZE-4675	8	1465	Coupe
ME-10-ZE-4676	8	1465	Coupe
ME-10-ZE-4677	8	1185	Coupe
ME-10-ZE-4678	8	1485	Coupe
ME-10-ZE-4679	8	1485	Coupe
ME-10-ZE-4680	8	1485	Coupe
ME-10-ZE-4681	8	1485	Coupe
ME-10-ZE-4682	8	1484	Coupe
ME-10-ZE-4683	8	1484	Coupe
ME-10-ZE-4684	8	1486	Coupe
ME-10-ZE-4685	8	1486	Coupe
ME-10-ZE-4686	8	1487	Coupe
ME-10-ZE-4687	8	1487	Coupe
ME-10-ZE-4688	8	1467	Coupe
ME-10-ZE-4689	8	1467	Coupe
ME-10-ZE-4690	8	1472	Coupe
ME-10-ZE-4691	8	1472	Coupe
ME-10-ZE-4692	8	1473	Coupe
ME-10-ZE-4693	8	1473	Coupe
ME-10-ZE-4694	8	1480	Coupe
ME-10-ZE-4695	8	1480	Coupe
ME-10-ZE-4696	8	1479	Coupe
ME-10-ZE-4697	8	1479	Coupe
ME-10-ZE-4698	8	1448	Coupe
ME-10-ZE-4699	8	1448	Coupe
ME-10-ZE-4700	8	1477	Coupe
ME-10-ZE-4701	8	1477	Coupe
ME-10-ZE-4702	8	1475	Coupe
ME-10-ZE-4703	8	1475	Coupe
ME-10-ZE-4704	8	1476	Coupe
ME-10-ZE-4705	8	1476	Coupe

ME-10-ZE-4706	8	1469	Coupe
ME-10-ZE-4707	8	1469	Coupe
ME-10-ZE-4708	8	1470	Coupe
ME-10-ZE-4709	8	1470	Coupe
ME-10-ZE-4710	8	1471	Coupe
ME-10-ZE-4711	8	1471	Coupe
ME-10-ZE-4712	8	1468	Coupe
ME-10-ZE-4713	8	1468	Coupe
ME-10-ZE-4714	8	1481	Coupe
ME-10-ZE-4715	8	1481	Coupe
ME-10-ZE-4716	8	1482	Coupe
ME-10-ZE-4717	8	1482	Coupe
ME-10-ZE-4718	8	1482	Coupe
ME-10-ZE-4719	8	1493	Coupe
ME-10-ZE-4720	8	1493	Coupe
ME-10-ZE-4721	8	1493	Coupe
ME-10-ZE-4722	8	1494	Coupe
ME-10-ZE-4723	8	1497	Coupe
ME-10-ZE-4724	8	1497	Coupe
ME-10-ZE-4725	8	1490	Coupe
ME-10-ZE-4726	8	1490	Coupe
ME-10-ZE-4727	8	1478	Coupe
ME-10-ZE-4728	8	1478	Coupe
ME-10-ZE-4729	8	1503	Coupe
ME-10-ZE-4730	8	1503	Coupe
ME-10-ZE-4731	8	1502	Coupe
ME-10-ZE-4732	8	1502	Coupe
ME-10-ZE-4733	8	1504	Coupe
ME-10-ZE-4734	8	1504	Coupe
ME-10-ZE-4735	8	1505	Coupe
ME-10-ZE-4736	8	1505	Coupe
ME-10-ZE-4737	8	1500	Coupe
ME-10-ZE-4738	8	1500	Coupe
ME-10-ZE-4739	8	1500	Coupe
ME-10-ZE-4740	8	1506	Coupe
ME-10-ZE-4741	8	1506	Coupe
ME-10-ZE-4742	8	1519	Coupe
ME-10-ZE-4743	8	1519	Coupe
ME-10-ZE-4744	8	1520	Coupe
ME-10-ZE-4745	8	1520	Coupe
ME-10-ZE-4746	8	1521	Coupe
ME-10-ZE-4747	8	1521	Coupe
ME-10-ZE-4748	8	1522	Coupe
ME-10-ZE-4749	8	1522	Coupe

ME-10-ZE-4750	8	1528	Coupe
ME-10-ZE-4751	8	1528	Coupe
ME-10-ZE-4752	8	1528	Coupe
ME-10-ZE-4753	8	1529	Coupe
ME-10-ZE-4754	8	1529	Coupe
ME-10-ZE-4755	8	1529	Coupe
ME-10-ZE-4756	8	1530	Coupe
ME-10-ZE-4757	8	1530	Coupe
ME-10-ZE-4758	8	1523	Coupe
ME-10-ZE-4759	8	1523	Coupe
ME-10-ZE-4760	8	1534	Coupe
ME-10-ZE-4761	8	1534	Coupe
ME-10-ZE-4762	8	1540	Coupe
ME-10-ZE-4763	8	1540	Coupe
ME-10-ZE-4764	8	1532	Coupe
ME-10-ZE-4765	8	1532	Coupe
ME-10-ZE-4766	8	1536	Coupe
ME-10-ZE-4767	8	1536	Coupe
ME-10-ZE-4768	8	1537	Coupe
ME-10-ZE-4769	8	1537	Coupe
ME-10-ZE-4770	8	1539	Coupe
ME-10-ZE-4771	8	1539	Coupe
ME-10-ZE-4772	8	1509	Coupe
ME-10-ZE-4773	8	1509	Coupe
ME-10-ZE-4774	8	1510	Coupe
ME-10-ZE-4775	8	1510	Coupe
ME-10-ZE-4776	8	1511	Coupe
ME-10-ZE-4777	8	1511	Coupe
ME-10-ZE-4778	8	1512, 1513	Coupe
ME-10-ZE-4779	8	1512, 1513	Coupe
ME-10-ZE-4780	8	1508	Coupe
ME-10-ZE-4781	8	1508	Coupe
ME-10-ZE-4782	8	1507	Coupe
ME-10-ZE-4783	8	1507	Coupe
ME-10-ZE-4784	8	1283	Coupe
ME-10-ZE-4785	8	1283	Coupe
ME-10-ZE-4786	8	1285	Coupe
ME-10-ZE-4787	8	1285	Coupe
ME-10-ZE-4788	8	1286	Coupe
ME-10-ZE-4789	8	1474	Coupe
ME-10-ZE-4790	8	1286	Coupe
ME-10-ZE-4791	8	1474	Coupe
ME-10-ZE-4792	8	1287	Coupe
ME-10-ZE-4793	8	1474	Coupe

ME-10-ZE-4794	8	1287	Coupe
ME-10-ZE-4795	8	1474	Coupe
ME-10-ZE-4796	8	1288	Coupe
ME-10-ZE-4797	8	1288	Coupe
ME-10-ZE-4798	8	1307	Coupe
ME-10-ZE-4799	8	1307	Coupe
ME-10-ZE-4800	8	1324	Coupe
ME-10-ZE-4801	8	1324	Coupe
ME-10-ZE-4802	8	1309	Coupe
ME-10-ZE-4803	8	1309	Coupe
ME-10-ZE-4804	8	1325	Coupe
ME-10-ZE-4805	8	1325	Coupe
ME-10-ZE-4806	8	1326	Coupe
ME-10-ZE-4807	8	1326	Coupe
ME-10-ZE-4808	8	1290	Coupe
ME-10-ZE-4809	8	1290	Coupe
ME-10-ZE-4810	8	1282	Coupe
ME-10-ZE-4811	8	1282	Coupe
ME-10-ZE-4812	8	1297	Coupe
ME-10-ZE-4813	8	1297	Coupe
ME-10-ZE-4814	8	1298	Coupe
ME-10-ZE-4815	8	1298	Coupe
ME-10-ZE-4816	8	1314	Coupe
ME-10-ZE-4817	8	1314	Coupe
ME-10-ZE-4818	8	1313	Coupe
ME-10-ZE-4819	8	1313	Coupe
ME-10-ZE-4820	8	1310	Coupe
ME-10-ZE-4821	8	1310	Coupe
ME-10-ZE-4822	8	1319	Coupe
ME-10-ZE-4823	8	1319	Coupe
ME-10-ZE-4824	8	1317	Coupe
ME-10-ZE-4825	8	1317	Coupe
ME-10-ZE-4826	8	1318	Coupe
ME-10-ZE-4827	8	1318	Coupe
ME-10-ZE-4828	8	1327	Coupe
ME-10-ZE-4829	8	1327	Coupe
ME-10-ZE-4830	8	1335	Coupe
ME-10-ZE-4831	8	1335	Coupe
ME-10-ZE-4832	8	1334	Coupe
ME-10-ZE-4833	8	1334	Coupe
ME-10-ZE-4834	8	1337	Coupe
ME-10-ZE-4835	8	1337	Coupe
ME-10-ZE-4836	8	1336	Coupe
ME-10-ZE-4837	8	1336	Coupe

ME-10-ZE-4838	8	1333	Coupe
ME-10-ZE-4839	8	1333	Coupe
ME-10-ZE-4840	8	1330	Coupe
ME-10-ZE-4841	8	1330	Coupe
ME-10-ZE-4842	8	1321	Coupe
ME-10-ZE-4843	8	1321	Coupe
ME-10-ZE-4844	8	1323	Coupe
ME-10-ZE-4845	8	1323	Coupe
ME-10-ZE-4846	8	1302	Coupe
ME-10-ZE-4847	8	1302	Coupe
ME-10-ZE-4848	8	1300	Coupe
ME-10-ZE-4849	8	1300	Coupe
ME-10-ZE-4850	8	1320	Coupe
ME-10-ZE-4851	8	1320	Coupe
ME-10-ZE-4852	8	1341	Coupe
ME-10-ZE-4853	8	1341	Coupe
ME-10-ZE-4854	8	1346	Coupe
ME-10-ZE-4855	8	1346	Coupe
ME-10-ZE-4856	8	1365	Coupe
ME-10-ZE-4857	8	1365	Coupe
ME-10-ZE-4858	8	1363	Coupe
ME-10-ZE-4859	8	1363	Coupe
ME-10-ZE-4860	8	1352	Coupe
ME-10-ZE-4861	8	1352	Coupe
ME-10-ZE-4862	8	1360	Coupe
ME-10-ZE-4863	8	1360	Coupe
ME-10-ZE-4864	8	1348	Coupe
ME-10-ZE-4865	8	1348	Coupe
ME-10-ZE-4866	8	1345	Coupe
ME-10-ZE-4867	8	1345	Coupe
ME-10-ZE-4868	8	1359	Coupe
ME-10-ZE-4869	8	1359	Coupe
ME-10-ZE-4870	8	1358	Coupe
ME-10-ZE-4871	8	1358	Coupe
ME-10-ZE-4872	8	1353	Coupe
ME-10-ZE-4873	8	1353	Coupe
ME-10-ZE-4874	8	1368	Coupe
ME-10-ZE-4875	8	1368	Coupe
ME-10-ZE-4876	8	1362	Coupe
ME-10-ZE-4877	8	1362	Coupe
ME-10-ZE-4878	8	1330	Coupe
ME-10-ZE-4879	8	1330	Coupe
ME-10-ZE-4880	8	1342	Coupe
ME-10-ZE-4881	8	1342	Coupe

ME-10-ZE-4882	8	1354	Coupe
ME-10-ZE-4883	8	1354	Coupe
ME-10-ZE-4884	8	1371	Coupe
ME-10-ZE-4885	8	1371	Coupe
ME-10-ZE-4886	8	1375	Coupe
ME-10-ZE-4887	8	1375	Coupe
ME-10-ZE-4888	8	1374	Coupe
ME-10-ZE-4889	8	1374	Coupe
ME-10-ZE-4890	8	1378	Coupe
ME-10-ZE-4891	8	1378	Coupe
ME-10-ZE-4892	8	1355	Coupe
ME-10-ZE-4893	8	1355	Coupe
ME-10-ZE-4894	9		Overzicht
ME-10-ZE-4895	9		Overzicht
ME-10-ZE-4896	9		Overzicht
ME-10-ZE-4897	9		Overzicht
ME-10-ZE-4898	9		Overzicht
ME-10-ZE-4899	9		Overzicht
ME-10-ZE-4900	9		Overzicht
ME-10-ZE-4901	9		Overzicht
ME-10-ZE-4902	9		Overzicht
ME-10-ZE-4903	9		Overzicht
ME-10-ZE-4904	9		Overzicht
ME-10-ZE-4905	9		Overzicht
ME-10-ZE-4906	9		Overzicht
ME-10-ZE-4907	9		Overzicht
ME-10-ZE-4908	9		Overzicht
ME-10-ZE-4909	9		Overzicht
ME-10-ZE-4910	9		Overzicht
ME-10-ZE-4911	9		Overzicht
ME-10-ZE-4912	9		Overzicht
ME-10-ZE-4913	9		Overzicht
ME-10-ZE-4914	9		Overzicht
ME-10-ZE-4915	9		Overzicht
ME-10-ZE-4916	9		Overzicht
ME-10-ZE-4917	9		Overzicht
ME-10-ZE-4918	9		Overzicht
ME-10-ZE-4919	9		Overzicht
ME-10-ZE-4920	9		Overzicht
ME-10-ZE-4921	9		Overzicht
ME-10-ZE-4922	9		Overzicht
ME-10-ZE-4923	9		Overzicht
ME-10-ZE-4924	9		Overzicht
ME-10-ZE-4925	9		Overzicht

ME-10-ZE-4926	9		Overzicht
ME-10-ZE-4927	9		Overzicht
ME-10-ZE-4928	9		Overzicht
ME-10-ZE-4929	9		Overzicht
ME-10-ZE-4930	9		Overzicht
ME-10-ZE-4931	9		Overzicht
ME-10-ZE-4932	9		Overzicht
ME-10-ZE-4933	9		Overzicht
ME-10-ZE-4934	9		Overzicht
ME-10-ZE-4935	9		Overzicht
ME-10-ZE-4936	9		Overzicht
ME-10-ZE-4937	9		Overzicht
ME-10-ZE-4938	9		Overzicht
ME-10-ZE-4939	9		Overzicht
ME-10-ZE-4940	9		Overzicht
ME-10-ZE-4941	9		Overzicht
ME-10-ZE-4942	9		Overzicht
ME-10-ZE-4943	9		Overzicht
ME-10-ZE-4944	9		Overzicht
ME-10-ZE-4945	9		Overzicht
ME-10-ZE-4946	9		Overzicht
ME-10-ZE-4947	9		Overzicht
ME-10-ZE-4948	9		Overzicht
ME-10-ZE-4949	9		Overzicht
ME-10-ZE-4950	9		Overzicht
ME-10-ZE-4951	9		Overzicht
ME-10-ZE-4952	9		Overzicht
ME-10-ZE-4953	9		Overzicht
ME-10-ZE-4954	9		Overzicht
ME-10-ZE-4955	9		Overzicht
ME-10-ZE-4956	9		Overzicht
ME-10-ZE-4957	9		Overzicht
ME-10-ZE-4958	9		Overzicht
ME-10-ZE-4959	9		Overzicht
ME-10-ZE-4960	9		Overzicht
ME-10-ZE-4961	9		Overzicht
ME-10-ZE-4962	9		Overzicht
ME-10-ZE-4963	9		Overzicht
ME-10-ZE-4964	9		Overzicht
ME-10-ZE-4965	9		Overzicht
ME-10-ZE-4966	9		Overzicht
ME-10-ZE-4967	9		Overzicht
ME-10-ZE-4968	9		Overzicht
ME-10-ZE-4969	9		Overzicht

ME-10-ZE-4970	9		Overzicht
ME-10-ZE-4971	9		Overzicht
ME-10-ZE-4972	9		Overzicht
ME-10-ZE-4973	9		Overzicht
ME-10-ZE-4974	9		Overzicht
ME-10-ZE-4975	9		Overzicht
ME-10-ZE-4976	9		Overzicht
ME-10-ZE-4977	9		Overzicht
ME-10-ZE-4978	9		Overzicht
ME-10-ZE-4979	9		Overzicht
ME-10-ZE-4980	9		Overzicht
ME-10-ZE-4981	9		Overzicht
ME-10-ZE-4982	9		Overzicht
ME-10-ZE-4983	9		Overzicht
ME-10-ZE-4984	9		Overzicht
ME-10-ZE-4985	9		Overzicht
ME-10-ZE-4986	9		Overzicht
ME-10-ZE-4987	9		Overzicht
ME-10-ZE-4988	9		Overzicht
ME-10-ZE-4989	9		Overzicht
ME-10-ZE-4990	9		Overzicht
ME-10-ZE-4991	9		Overzicht
ME-10-ZE-4992	9		Overzicht
ME-10-ZE-4993	9		Overzicht
ME-10-ZE-4994	9		Overzicht
ME-10-ZE-4995	9		Overzicht
ME-10-ZE-4996	9		Overzicht
ME-10-ZE-4997	9		Overzicht
ME-10-ZE-4998	9		Overzicht
ME-10-ZE-4999	9		Overzicht
ME-10-ZE-5000	9		Overzicht
ME-10-ZE-5001	9		Overzicht
ME-10-ZE-5002	9		Overzicht
ME-10-ZE-5003	9		Overzicht
ME-10-ZE-5004	9		Overzicht
ME-10-ZE-5005	9	1571	Vlak
ME-10-ZE-5006	9	1571	Vlak
ME-10-ZE-5007	9	1571	Vlak
ME-10-ZE-5008	9	1570	Vlak
ME-10-ZE-5009	9	1570	Vlak
ME-10-ZE-5010	9	1570	Vlak
ME-10-ZE-5011	9	1570	Vlak
ME-10-ZE-5012	9	1569	Vlak
ME-10-ZE-5013	9	1569	Vlak

ME-10-ZE-5014	9	1572	Vlak
ME-10-ZE-5015	9	1572	Vlak
ME-10-ZE-5016	9	1572	Vlak
ME-10-ZE-5017	9	1573	Vlak
ME-10-ZE-5018	9	1573	Vlak
ME-10-ZE-5019	9	1574	Vlak
ME-10-ZE-5020	9	1574	Vlak
ME-10-ZE-5021	9	1577	Vlak
ME-10-ZE-5022	9	1577	Vlak
ME-10-ZE-5023	9	1576	Vlak
ME-10-ZE-5024	9	1576	Vlak
ME-10-ZE-5025	9	1576	Vlak
ME-10-ZE-5026	9	1575	Vlak
ME-10-ZE-5027	9	1575	Vlak
ME-10-ZE-5028	9	1578	Vlak
ME-10-ZE-5029	9	1578	Vlak
ME-10-ZE-5030	9	1579	Vlak
ME-10-ZE-5031	9	1579	Vlak
ME-10-ZE-5032	9	1580	Vlak
ME-10-ZE-5033	9	1580	Vlak
ME-10-ZE-5034	9	1581	Vlak
ME-10-ZE-5035	9	1581	Vlak
ME-10-ZE-5036	9	1582	Vlak
ME-10-ZE-5037	9	1582	Vlak
ME-10-ZE-5038	9	1583	Vlak
ME-10-ZE-5039	9	1583	Vlak
ME-10-ZE-5040	9	1584	Vlak
ME-10-ZE-5041	9	1584	Vlak
ME-10-ZE-5042	9	1585	Vlak
ME-10-ZE-5043	9	1585	Vlak
ME-10-ZE-5044	9	1586	Vlak
ME-10-ZE-5045	9	1586	Vlak
ME-10-ZE-5046	9	1587	Vlak
ME-10-ZE-5047	9	1587	Vlak
ME-10-ZE-5048	9	1588	Vlak
ME-10-ZE-5049	9	1588	Vlak
ME-10-ZE-5050	9	1589	Vlak
ME-10-ZE-5051	9	1589	Vlak
ME-10-ZE-5052	9	1589	Vlak
ME-10-ZE-5053	9	1590	Vlak
ME-10-ZE-5054	9	1590	Vlak
ME-10-ZE-5055	9	1591	Vlak
ME-10-ZE-5056	9	1591	Vlak
ME-10-ZE-5057	9	1592	Vlak

ME-10-ZE-5058	9	1592	Vlak
ME-10-ZE-5059	9	1592	Vlak
ME-10-ZE-5060	9	1593	Vlak
ME-10-ZE-5061	9	1593	Vlak
ME-10-ZE-5062	9	1594	Vlak
ME-10-ZE-5063	9	1594	Vlak
ME-10-ZE-5064	9	1594	Vlak
ME-10-ZE-5065	9	1595	Vlak
ME-10-ZE-5066	9	1595	Vlak
ME-10-ZE-5067	9	1596	Vlak
ME-10-ZE-5068	9	1596	Vlak
ME-10-ZE-5069	9	1597	Vlak
ME-10-ZE-5070	9	1597	Vlak
ME-10-ZE-5071	9	1598	Vlak
ME-10-ZE-5072	9	1598	Vlak
ME-10-ZE-5073	9	1599	Vlak
ME-10-ZE-5074	9	1599	Vlak
ME-10-ZE-5075	9	1599	Vlak
ME-10-ZE-5076	9	1600	Vlak
ME-10-ZE-5077	9	1600	Vlak
ME-10-ZE-5078	9	1601	Vlak
ME-10-ZE-5079	9	1601	Vlak
ME-10-ZE-5080	9	1602	Vlak
ME-10-ZE-5081	9	1602	Vlak
ME-10-ZE-5082	9	1603	Vlak
ME-10-ZE-5083	9	1603	Vlak
ME-10-ZE-5084	9	1604	Vlak
ME-10-ZE-5085	9	1604	Vlak
ME-10-ZE-5086	9	1605	Vlak
ME-10-ZE-5087	9	1605	Vlak
ME-10-ZE-5088	9	1606	Vlak
ME-10-ZE-5089	9	1606	Vlak
ME-10-ZE-5090	9	1606	Vlak
ME-10-ZE-5091	9	1606	Vlak
ME-10-ZE-5092	9	1607	Vlak
ME-10-ZE-5093	9	1607	Vlak
ME-10-ZE-5094	9	1608	Vlak
ME-10-ZE-5095	9	1608	Vlak
ME-10-ZE-5096	9	1609	Vlak
ME-10-ZE-5097	9	1609	Vlak
ME-10-ZE-5098	9	1610, 1611	Vlak
ME-10-ZE-5099	9	1610, 1611	Vlak
ME-10-ZE-5100	9	1612, 1613	Vlak
ME-10-ZE-5101	9	1612, 1613	Vlak

ME-10-ZE-5102	9	1614	Vlak
ME-10-ZE-5103	9	1614	Vlak
ME-10-ZE-5104	9	1615	Vlak
ME-10-ZE-5105	9	1615	Vlak
ME-10-ZE-5106	9	1616	Vlak
ME-10-ZE-5107	9	1616	Vlak
ME-10-ZE-5108	9	1617, 1618	Vlak
ME-10-ZE-5109	9	1617, 1618	Vlak
ME-10-ZE-5110	9	1619	Vlak
ME-10-ZE-5111	9	1619	Vlak
ME-10-ZE-5112	9	1620	Vlak
ME-10-ZE-5113	9	1620	Vlak
ME-10-ZE-5114	9	1623	Vlak
ME-10-ZE-5115	9	1623	Vlak
ME-10-ZE-5116	9	1621	Vlak
ME-10-ZE-5117	9	1621	Vlak
ME-10-ZE-5118	9	1622	Vlak
ME-10-ZE-5119	9	1622	Vlak
ME-10-ZE-5120	9	1624	Vlak
ME-10-ZE-5121	9	2625	Vlak
ME-10-ZE-5122	9	1625	Vlak
ME-10-ZE-5123	9	1626	Vlak
ME-10-ZE-5124	9	1626	Vlak
ME-10-ZE-5125	9	1627	Vlak
ME-10-ZE-5126	9	1627	Vlak
ME-10-ZE-5127	9	1628	Vlak
ME-10-ZE-5128	9	1628	Vlak
ME-10-ZE-5129	9	1629, 1630	Vlak
ME-10-ZE-5130	9	1629, 1630	Vlak
ME-10-ZE-5131	9	1631	Vlak
ME-10-ZE-5132	9	1631	Vlak
ME-10-ZE-5133	9	1632	Vlak
ME-10-ZE-5134	9	1632	Vlak
ME-10-ZE-5135	9	1633, 1634	Vlak
ME-10-ZE-5136	9	1633, 1634	Vlak
ME-10-ZE-5137	9	1635, 1636	Vlak
ME-10-ZE-5138	9	1635, 1636	Vlak
ME-10-ZE-5139	9	1637	Vlak
ME-10-ZE-5140	9	1637	Vlak
ME-10-ZE-5141	9	1638	Vlak
ME-10-ZE-5142	9	1638	Vlak
ME-10-ZE-5143	9	1639	Vlak
ME-10-ZE-5144	9	1639	Vlak
ME-10-ZE-5145	9	1640	Vlak

ME-10-ZE-5146	9	1640	Vlak
ME-10-ZE-5147	9	1641	Vlak
ME-10-ZE-5148	9	1641	Vlak
ME-10-ZE-5149	9	1642	Vlak
ME-10-ZE-5150	9	1642	Vlak
ME-10-ZE-5151	9	1643, 1644	Vlak
ME-10-ZE-5152	9	1643, 1644	Vlak
ME-10-ZE-5153	9	1645	Vlak
ME-10-ZE-5154	9	1645	Vlak
ME-10-ZE-5155	9	1646	Vlak
ME-10-ZE-5156	9	1646	Vlak
ME-10-ZE-5157	9	1647	Vlak
ME-10-ZE-5158	9	1647	Vlak
ME-10-ZE-5159	9	1648	Vlak
ME-10-ZE-5160	9	1648	Vlak
ME-10-ZE-5161	9	1649	Vlak
ME-10-ZE-5162	9	1649	Vlak
ME-10-ZE-5163	9	1650	Vlak
ME-10-ZE-5164	9	1650	Vlak
ME-10-ZE-5165	9	1651, 1652	Vlak
ME-10-ZE-5166	9	1651, 1652	Vlak
ME-10-ZE-5167	9	1653	Vlak
ME-10-ZE-5168	9	1653	Vlak
ME-10-ZE-5169	9	1654	Vlak
ME-10-ZE-5170	9	1654	Vlak
ME-10-ZE-5171	9	1655	Vlak
ME-10-ZE-5172	9	1655	Vlak
ME-10-ZE-5173	9	1656	Vlak
ME-10-ZE-5174	9	1656	Vlak
ME-10-ZE-5175	9	1657	Vlak
ME-10-ZE-5176	9	1657	Vlak
ME-10-ZE-5177	9	1658	Vlak
ME-10-ZE-5178	9	1658	Vlak
ME-10-ZE-5179	9	1659	Vlak
ME-10-ZE-5180	9	1659	Vlak
ME-10-ZE-5181	9	1660	Vlak
ME-10-ZE-5182	9	1660	Vlak
ME-10-ZE-5183	9	1660	Vlak
ME-10-ZE-5184	9	1661, 1662	Vlak
ME-10-ZE-5185	9	1661, 1662	Vlak
ME-10-ZE-5186	9	1664, 1665	Vlak
ME-10-ZE-5187	9	1664, 1665	Vlak
ME-10-ZE-5188	9	1663	Vlak
ME-10-ZE-5189	9	1663	Vlak

ME-10-ZE-5190	9	1666	Vlak
ME-10-ZE-5191	9	1666	Vlak
ME-10-ZE-5192	9	1667	Vlak
ME-10-ZE-5193	9	1667	Vlak
ME-10-ZE-5194	9	1668	Vlak
ME-10-ZE-5195	9	1668	Vlak
ME-10-ZE-5196	9	1669, 1670	Vlak
ME-10-ZE-5197	9	1669, 1670	Vlak
ME-10-ZE-5198	9	1671, 1672	Vlak
ME-10-ZE-5199	9	1671, 1672	Vlak
ME-10-ZE-5200	9	1673	Vlak
ME-10-ZE-5201	9	1673	Vlak
ME-10-ZE-5202	9	1674	Vlak
ME-10-ZE-5203	9	1674	Vlak
ME-10-ZE-5204	9	1675	Vlak
ME-10-ZE-5205	9	1675	Vlak
ME-10-ZE-5206	9	1676, 1677	Vlak
ME-10-ZE-5207	9	1676, 1677	Vlak
ME-10-ZE-5208	9	1678	Vlak
ME-10-ZE-5209	9	1678	Vlak
ME-10-ZE-5210	9	1679	Vlak
ME-10-ZE-5211	9	1679	Vlak
ME-10-ZE-5212	9	1680	Vlak
ME-10-ZE-5213	9	1680	Vlak
ME-10-ZE-5214	9	1681	Vlak
ME-10-ZE-5215	9	1681	Vlak
ME-10-ZE-5216	9	1682	Vlak
ME-10-ZE-5217	9	1682	Vlak
ME-10-ZE-5218	9	1683	Vlak
ME-10-ZE-5219	9	1683	Vlak
ME-10-ZE-5220	9	1684	Vlak
ME-10-ZE-5221	9	1684	Vlak
ME-10-ZE-5222	9	1685	Vlak
ME-10-ZE-5223	9	1685	Vlak
ME-10-ZE-5224	9	1686, 1687	Vlak
ME-10-ZE-5225	9	1686, 1687	Vlak
ME-10-ZE-5226	9	1688	Vlak
ME-10-ZE-5227	9	1688	Vlak
ME-10-ZE-5228	9	1689	Vlak
ME-10-ZE-5229	9	1689	Vlak
ME-10-ZE-5230	9	1690	Vlak
ME-10-ZE-5231	9	1690	Vlak
ME-10-ZE-5232	9	1691	Vlak
ME-10-ZE-5233	9	1691	Vlak

ME-10-ZE-5234	9	1692, 1693	Vlak
ME-10-ZE-5235	9	1692, 1693	Vlak
ME-10-ZE-5236	9	1694	Vlak
ME-10-ZE-5237	9	1694	Vlak
ME-10-ZE-5238	9	1695, 1696	Vlak
ME-10-ZE-5239	9	1695, 1696	Vlak
ME-10-ZE-5240	9	1697, 1698	Vlak
ME-10-ZE-5241	9	1697, 1698	Vlak
ME-10-ZE-5242	9	1699	Vlak
ME-10-ZE-5243	9	1699	Vlak
ME-10-ZE-5244	9	1700	Vlak
ME-10-ZE-5245	9	1700	Vlak
ME-10-ZE-5246	9	1701	Vlak
ME-10-ZE-5247	9	1701	Vlak
ME-10-ZE-5248	9	1702	Vlak
ME-10-ZE-5249	9	1702	Vlak
ME-10-ZE-5250	9	1703	Vlak
ME-10-ZE-5251	9	1703	Vlak
ME-10-ZE-5252	9	1704	Vlak
ME-10-ZE-5253	9	1704	Vlak
ME-10-ZE-5254	9	1705	Vlak
ME-10-ZE-5255	9	1705	Vlak
ME-10-ZE-5256	9	1706	Vlak
ME-10-ZE-5257	9	1705	Vlak
ME-10-ZE-5258	9	1707	Vlak
ME-10-ZE-5259	9	1707	Vlak
ME-10-ZE-5260	9	1708	Vlak
ME-10-ZE-5261	9	1708	Vlak
ME-10-ZE-5262	9	1709, 1710	Vlak
ME-10-ZE-5263	9	1709, 1710	Vlak
ME-10-ZE-5264	9	1711	Vlak
ME-10-ZE-5265	9	1711	Vlak
ME-10-ZE-5266	9	1712	Vlak
ME-10-ZE-5267	9	1712	Vlak
ME-10-ZE-5268	9	1713	Vlak
ME-10-ZE-5269	9	1713	Vlak
ME-10-ZE-5270	9	1714	Vlak
ME-10-ZE-5271	9	1714	Vlak
ME-10-ZE-5272	9	1715	Vlak
ME-10-ZE-5273	9	1715	Vlak
ME-10-ZE-5274	9	1716, 1717	Vlak
ME-10-ZE-5275	9	1716, 1717	Vlak
ME-10-ZE-5276	9	1720, 1721	Vlak
ME-10-ZE-5277	9	1720, 1721	Vlak

ME-10-ZE-5278	9	1719	Vlak
ME-10-ZE-5279	9	1719	Vlak
ME-10-ZE-5280	9	1718	Vlak
ME-10-ZE-5281	9	1718	Vlak
ME-10-ZE-5282	9	1722	Vlak
ME-10-ZE-5283	9	1722	Vlak
ME-10-ZE-5284	9	1723	Vlak
ME-10-ZE-5285	9	1723	Vlak
ME-10-ZE-5286	9	1724	Vlak
ME-10-ZE-5287	9	1724	Vlak
ME-10-ZE-5288	9	1725	Vlak
ME-10-ZE-5289	9	1725	Vlak
ME-10-ZE-5290	9	1726	Vlak
ME-10-ZE-5291	9	1726	Vlak
ME-10-ZE-5292	9	1727	Vlak
ME-10-ZE-5293	9	1727	Vlak
ME-10-ZE-5294	9	1728	Vlak
ME-10-ZE-5295	9	1728	Vlak
ME-10-ZE-5296	9	1729, 1730	Vlak
ME-10-ZE-5297	9	1729, 1730	Vlak
ME-10-ZE-5298	9	1729, 1730	Vlak
ME-10-ZE-5299	9	1729, 1730	Vlak
ME-10-ZE-5300	9	1731	Vlak
ME-10-ZE-5301	9	1731	Vlak
ME-10-ZE-5302	9	1732	Vlak
ME-10-ZE-5303	9	1732	Vlak
ME-10-ZE-5304	9	1733	Vlak
ME-10-ZE-5305	9	1733	Vlak
ME-10-ZE-5306	9	1734	Vlak
ME-10-ZE-5307	9	1734	Vlak
ME-10-ZE-5308	9	1735	Vlak
ME-10-ZE-5309	9	1735	Vlak
ME-10-ZE-5310	9	1736	Vlak
ME-10-ZE-5311	9	1736	Vlak
ME-10-ZE-5312	9	1737	Vlak
ME-10-ZE-5313	9	1737	Vlak
ME-10-ZE-5314	9	1737	Vlak
ME-10-ZE-5315	9	1737	Vlak
ME-10-ZE-5316	9	1738	Vlak
ME-10-ZE-5317	9	1738	Vlak
ME-10-ZE-5318	9	1739	Vlak
ME-10-ZE-5319	9	1739	Vlak
ME-10-ZE-5320	9	1740	Vlak
ME-10-ZE-5321	9	1740	Vlak

ME-10-ZE-5322	9	1741	Vlak
ME-10-ZE-5323	9	1741	Vlak
ME-10-ZE-5324	9	1742	Vlak
ME-10-ZE-5325	9	1742	Vlak
ME-10-ZE-5326	9	1743	Vlak
ME-10-ZE-5327	9	1743	Vlak
ME-10-ZE-5328	9	1744	Vlak
ME-10-ZE-5329	9	1744	Vlak
ME-10-ZE-5330	9	1745	Vlak
ME-10-ZE-5331	9	1745	Vlak
ME-10-ZE-5332	9	1746	Vlak
ME-10-ZE-5333	9	1746	Vlak
ME-10-ZE-5334	9	1747, 1748	Vlak
ME-10-ZE-5335	9	1747, 1748	Vlak
ME-10-ZE-5336	9	1749	Vlak
ME-10-ZE-5337	9	1749	Vlak
ME-10-ZE-5338	9	1750	Vlak
ME-10-ZE-5339	9	1750	Vlak
ME-10-ZE-5340	9	1751	Vlak
ME-10-ZE-5341	9	1751	Vlak
ME-10-ZE-5342	9	1752	Vlak
ME-10-ZE-5343	9	1752	Vlak
ME-10-ZE-5344	9	1753	Vlak
ME-10-ZE-5345	9	1753	Vlak
ME-10-ZE-5346	9	1754	Vlak
ME-10-ZE-5347	9	1754	Vlak
ME-10-ZE-5348	9	1755	Vlak
ME-10-ZE-5349	9	1755	Vlak
ME-10-ZE-5350	9	1756, 1757	Vlak
ME-10-ZE-5351	9	1756, 1757	Vlak
ME-10-ZE-5352	9	1758	Vlak
ME-10-ZE-5353	9	1758	Vlak
ME-10-ZE-5354	9	2138	Vlak
ME-10-ZE-5355	9	2138	Vlak
ME-10-ZE-5356	9	2139	Vlak
ME-10-ZE-5357	9	2139	Vlak
ME-10-ZE-5358	9	2140	Vlak
ME-10-ZE-5359	9	2140	Vlak
ME-10-ZE-5360	9	2141	Vlak
ME-10-ZE-5361	9	2141	Vlak
ME-10-ZE-5362	9	2142	Vlak
ME-10-ZE-5363	9	2142	Vlak
ME-10-ZE-5364	9	2143	Vlak
ME-10-ZE-5365	9	2143	Vlak

ME-10-ZE-5366	9	2144	Vlak
ME-10-ZE-5367	9	2144	Vlak
ME-10-ZE-5368	9	2145	Vlak
ME-10-ZE-5369	9	2145	Vlak
ME-10-ZE-5370	9	2146	Vlak
ME-10-ZE-5371	9	2146	Vlak
ME-10-ZE-5372	9	2147	Vlak
ME-10-ZE-5373	9	2147	Vlak
ME-10-ZE-5374	9	2148	Vlak
ME-10-ZE-5375	9	2148	Vlak
ME-10-ZE-5376	9	2149	Vlak
ME-10-ZE-5377	9	2149	Vlak
ME-10-ZE-5378	9	2150	Vlak
ME-10-ZE-5379	9	2150	Vlak
ME-10-ZE-5380	9	2151	Vlak
ME-10-ZE-5381	9	2151	Vlak
ME-10-ZE-5382	9	2152	Vlak
ME-10-ZE-5383	9	2152	Vlak
ME-10-ZE-5384	9	2153, 2155	Vlak
ME-10-ZE-5385	9	2153, 2155	Vlak
ME-10-ZE-5386	9	2156	Vlak
ME-10-ZE-5387	9	2156	Vlak
ME-10-ZE-5388	9	2157	Vlak
ME-10-ZE-5389	9	2157	Vlak
ME-10-ZE-5390	9	2158	Vlak
ME-10-ZE-5391	9	2158	Vlak
ME-10-ZE-5392	9	2159, 2161	Vlak
ME-10-ZE-5393	9	2159, 2161	Vlak
ME-10-ZE-5394	9	2162	Vlak
ME-10-ZE-5395	9	2162	Vlak
ME-10-ZE-5396	9	2163	Vlak
ME-10-ZE-5397	9	2163	Vlak
ME-10-ZE-5398	9	2164, 2165	Vlak
ME-10-ZE-5399	9	2164, 2165	Vlak
ME-10-ZE-5400	9	2166, 2167	Vlak
ME-10-ZE-5401	9	2166, 2167	Vlak
ME-10-ZE-5402	9	2168, 2169	Vlak
ME-10-ZE-5403	9	2168, 2169	Vlak
ME-10-ZE-5404	9	2170	Vlak
ME-10-ZE-5405	9	2170	Vlak
ME-10-ZE-5406	9	2171	Vlak
ME-10-ZE-5407	9	2171	Vlak
ME-10-ZE-5408	9	2172	Vlak
ME-10-ZE-5409	9	2172	Vlak

ME-10-ZE-5410	9	2173	Vlak
ME-10-ZE-5411	9	2173	Vlak
ME-10-ZE-5412	9	2174	Vlak
ME-10-ZE-5413	9	2174	Vlak
ME-10-ZE-5414	9	2175	Vlak
ME-10-ZE-5415	9	2175	Vlak
ME-10-ZE-5416	9	2176	Vlak
ME-10-ZE-5417	9	2176	Vlak
ME-10-ZE-5418	9	2177	Vlak
ME-10-ZE-5419	9	2177	Vlak
ME-10-ZE-5420	9	2178	Vlak
ME-10-ZE-5421	9	2178	Vlak
ME-10-ZE-5422	9	2179	Vlak
ME-10-ZE-5423	9	2179	Vlak
ME-10-ZE-5424	9	2180	Vlak
ME-10-ZE-5425	9	2180	Vlak
ME-10-ZE-5426	9	1915	Vlak
ME-10-ZE-5427	9	1915	Vlak
ME-10-ZE-5428	9	1916, 1917	Vlak
ME-10-ZE-5429	9	1916, 1917	Vlak
ME-10-ZE-5430	9	1918	Vlak
ME-10-ZE-5431	9	1918	Vlak
ME-10-ZE-5432	9	1919	Vlak
ME-10-ZE-5433	9	1919	Vlak
ME-10-ZE-5434	9	1920	Vlak
ME-10-ZE-5435	9	1920	Vlak
ME-10-ZE-5436	9	1921	Vlak
ME-10-ZE-5437	9	1921	Vlak
ME-10-ZE-5438	9	1922	Vlak
ME-10-ZE-5439	9	1922	Vlak
ME-10-ZE-5440	9	1923, 1924	Vlak
ME-10-ZE-5441	9	1923, 1924	Vlak
ME-10-ZE-5442	9	1925, 1926	Vlak
ME-10-ZE-5443	9	1925, 1926	Vlak
ME-10-ZE-5444	9		Vlak
ME-10-ZE-5445	9		Vlak
ME-10-ZE-5446	9		Vlak
ME-10-ZE-5447	9		Vlak
ME-10-ZE-5448	9		Vlak
ME-10-ZE-5449	9	1927	Vlak
ME-10-ZE-5450	9	1927	Vlak
ME-10-ZE-5451	9	1927	Vlak
ME-10-ZE-5452	9	1928	Vlak
ME-10-ZE-5453	9	1928	Vlak

ME-10-ZE-5454	9	1928	Vlak
ME-10-ZE-5455	9	1929	Vlak
ME-10-ZE-5456	9	1929	Vlak
ME-10-ZE-5457	9	1930	Vlak
ME-10-ZE-5458	9	1930	Vlak
ME-10-ZE-5459	9		Vlak
ME-10-ZE-5460	9		Vlak
ME-10-ZE-5461	9		Vlak
ME-10-ZE-5462	9		Vlak
ME-10-ZE-5463	9	1931	Vlak
ME-10-ZE-5464	9	1931	Vlak
ME-10-ZE-5465	9	1932	Vlak
ME-10-ZE-5466	9	1932	Vlak
ME-10-ZE-5467	9	1933	Vlak
ME-10-ZE-5468	9	1933	Vlak
ME-10-ZE-5469	9	1934	Vlak
ME-10-ZE-5470	9	1934	Vlak
ME-10-ZE-5471	9	1935	Vlak
ME-10-ZE-5472	9	1935	Vlak
ME-10-ZE-5473	9	1936	Vlak
ME-10-ZE-5474	9	1936	Vlak
ME-10-ZE-5475	9	1937	Vlak
ME-10-ZE-5476	9	1937	Vlak
ME-10-ZE-5477	9	1938	Vlak
ME-10-ZE-5478	9	1938	Vlak
ME-10-ZE-5479	9	1938	Vlak
ME-10-ZE-5480	9	1939	Vlak
ME-10-ZE-5481	9	1939	Vlak
ME-10-ZE-5482	9	1940	Vlak
ME-10-ZE-5483	9	1940	Vlak
ME-10-ZE-5484	9	1941	Vlak
ME-10-ZE-5485	9	1941	Vlak
ME-10-ZE-5486	9	1942	Vlak
ME-10-ZE-5487	9	1942	Vlak
ME-10-ZE-5488	9	1943	Vlak
ME-10-ZE-5489	9	1943	Vlak
ME-10-ZE-5490	9	1944	Vlak
ME-10-ZE-5491	9	1944	Vlak
ME-10-ZE-5492	9	1945	Vlak
ME-10-ZE-5493	9	1945	Vlak
ME-10-ZE-5494	9	1946	Vlak
ME-10-ZE-5495	9	1946	Vlak
ME-10-ZE-5496	9	1947, 1948	Vlak
ME-10-ZE-5497	9	1947, 1948	Vlak

ME-10-ZE-5498	9	1949	Vlak
ME-10-ZE-5499	9	1949	Vlak
ME-10-ZE-5500	9	1950	Vlak
ME-10-ZE-5501	9	1950	Vlak
ME-10-ZE-5502	9	1951, 1952	Vlak
ME-10-ZE-5503	9	1951, 1952	Vlak
ME-10-ZE-5504	9	1951, 1952	Vlak
ME-10-ZE-5505	9	1953	Vlak
ME-10-ZE-5506	9	1953	Vlak
ME-10-ZE-5507	9	1954	Vlak
ME-10-ZE-5508	9	1954	Vlak
ME-10-ZE-5509	9	1955, 1956	Vlak
ME-10-ZE-5510	9	1955, 1956	Vlak
ME-10-ZE-5511	9	1957	Vlak
ME-10-ZE-5512	9	1957	Vlak
ME-10-ZE-5513	9	1958	Vlak
ME-10-ZE-5514	9	1958	Vlak
ME-10-ZE-5515	9	1959	Vlak
ME-10-ZE-5516	9	1959	Vlak
ME-10-ZE-5517	9	1960	Vlak
ME-10-ZE-5518	9	1960	Vlak
ME-10-ZE-5519	9	1961	Vlak
ME-10-ZE-5520	9	1961	Vlak
ME-10-ZE-5521	9	1962	Vlak
ME-10-ZE-5522	9	1962	Vlak
ME-10-ZE-5523	9	1963	Vlak
ME-10-ZE-5524	9	1963	Vlak
ME-10-ZE-5525	9	1964, 1965, 1966	Vlak
ME-10-ZE-5526	9	1964, 1965, 1966	Vlak
ME-10-ZE-5527	9	1964, 1965, 1966	Vlak
ME-10-ZE-5528	9	1967, 1967	Vlak
ME-10-ZE-5529	9	1968	Vlak
ME-10-ZE-5530	9	1968	Vlak
ME-10-ZE-5531	9	1969	Vlak
ME-10-ZE-5532	9	1969	Vlak
ME-10-ZE-5533	9	1969	Vlak
ME-10-ZE-5534	9	1969	Vlak
ME-10-ZE-5535	9	1970	Vlak
ME-10-ZE-5536	9	1970	Vlak
ME-10-ZE-5537	9	1971	Vlak
ME-10-ZE-5538	9	1971	Vlak
ME-10-ZE-5539	9	1972	Vlak

ME-10-ZE-5540	9	1972	Vlak
ME-10-ZE-5541	9	1575	Coupe
ME-10-ZE-5542	9	1575	Coupe
ME-10-ZE-5543	9	1575	Coupe
ME-10-ZE-5544	9	1575	Coupe
ME-10-ZE-5545	9	1575	Coupe
ME-10-ZE-5546	9	1575	Coupe
ME-10-ZE-5547	9	1575	Coupe
ME-10-ZE-5548	9	1575	Coupe
ME-10-ZE-5549	9	1576	Coupe
ME-10-ZE-5550	9	1576	Coupe
ME-10-ZE-5551	9	1577	Coupe
ME-10-ZE-5552	9	1577	Coupe
ME-10-ZE-5553	9	1577	Coupe
ME-10-ZE-5554	9	1577	Coupe
ME-10-ZE-5555	9	1577	Coupe
ME-10-ZE-5556	9	1569	Coupe
ME-10-ZE-5557	9	1569	Coupe
ME-10-ZE-5558	9	1569	Coupe
ME-10-ZE-5559	9	1569	Coupe
ME-10-ZE-5560	9	1569	Coupe
ME-10-ZE-5561	9	1569	Coupe
ME-10-ZE-5562	9	1578	Coupe
ME-10-ZE-5563	9	1578	Coupe
ME-10-ZE-5564	9	1578	Coupe
ME-10-ZE-5565	9	1579	Coupe
ME-10-ZE-5566	9	1579	Coupe
ME-10-ZE-5567	9	1579	Coupe
ME-10-ZE-5568	9	1582	Coupe
ME-10-ZE-5569	9	1582	Coupe
ME-10-ZE-5570	9	1582	Coupe
ME-10-ZE-5571	9	1582	Coupe
ME-10-ZE-5572	9	1582	Coupe
ME-10-ZE-5573	9	1585	Coupe
ME-10-ZE-5574	9	1585	Coupe
ME-10-ZE-5575	9	1585	Coupe
ME-10-ZE-5576	9	1584	Coupe
ME-10-ZE-5577	9	1584	Coupe
ME-10-ZE-5578	9	1584	Coupe
ME-10-ZE-5579	9	1584	Coupe
ME-10-ZE-5580	9	1586	Coupe
ME-10-ZE-5581	9	1586	Coupe
ME-10-ZE-5582	9	1586	Coupe
ME-10-ZE-5583	9	1586	Coupe

ME-10-ZE-5584	9	1586	Coupe
ME-10-ZE-5585	9	1586	Coupe
ME-10-ZE-5586	9	1609	Coupe
ME-10-ZE-5587	9	1609	Coupe
ME-10-ZE-5588	9	1920	Coupe
ME-10-ZE-5589	9	1920	Coupe
ME-10-ZE-5590	9	1915	Coupe
ME-10-ZE-5591	9	1915	Coupe
ME-10-ZE-5592	9	1918	Coupe
ME-10-ZE-5593	9	1918	Coupe
ME-10-ZE-5594	9	1921	Coupe
ME-10-ZE-5595	9	1921	Coupe
ME-10-ZE-5596	9	1922	Coupe
ME-10-ZE-5597	9	1922	Coupe
ME-10-ZE-5598	9	1932	Coupe
ME-10-ZE-5599	9	1932	Coupe
ME-10-ZE-5600	9	1928	Coupe
ME-10-ZE-5601	9	1928	Coupe
ME-10-ZE-5602	9	1933	Coupe
ME-10-ZE-5603	9	1933	Coupe
ME-10-ZE-5604	9	1942	Coupe
ME-10-ZE-5605	9	1942	Coupe
ME-10-ZE-5606	9	1975	Coupe
ME-10-ZE-5607	9	1975	Coupe
ME-10-ZE-5608	9	1941	Coupe
ME-10-ZE-5609	9	1941	Coupe
ME-10-ZE-5610	9	1916	Coupe
ME-10-ZE-5611	9	1916	Coupe
ME-10-ZE-5612	9	1917	Coupe
ME-10-ZE-5613	9	1917	Coupe
ME-10-ZE-5614	9	1917	Coupe
ME-10-ZE-5615	9	1934	Coupe
ME-10-ZE-5616	9	1934	Coupe
ME-10-ZE-5617	9	1935	Coupe
ME-10-ZE-5618	9	1935	Coupe
ME-10-ZE-5619	9	1945	Coupe
ME-10-ZE-5620	9	1945	Coupe
ME-10-ZE-5621	9	1944	Coupe
ME-10-ZE-5622	9	1944	Coupe
ME-10-ZE-5623	9	1954	Coupe
ME-10-ZE-5624	9	1954	Coupe
ME-10-ZE-5625	9	1959	Coupe
ME-10-ZE-5626	9	1959	Coupe
ME-10-ZE-5627	9	1927	Coupe

ME-10-ZE-5628	9	1927	Coupe
ME-10-ZE-5629	9	1948, 1947	Coupe
ME-10-ZE-5630	9	1948, 1947	Coupe
ME-10-ZE-5631	9	1950	Coupe
ME-10-ZE-5632	9	1950	Coupe
ME-10-ZE-5633	9	1949	Coupe
ME-10-ZE-5634	9	1949	Coupe
ME-10-ZE-5635	9	1963	Coupe
ME-10-ZE-5636	9	1963	Coupe
ME-10-ZE-5637	9	1946	Coupe
ME-10-ZE-5638	9	1946	Coupe
ME-10-ZE-5639	9	1938	Coupe
ME-10-ZE-5640	9	1938	Coupe
ME-10-ZE-5641	9	1953	Coupe
ME-10-ZE-5642	9	1953	Coupe
ME-10-ZE-5643	9	1957	Coupe
ME-10-ZE-5644	9	1957	Coupe
ME-10-ZE-5645	9	1931	Coupe
ME-10-ZE-5646	9	1931	Coupe
ME-10-ZE-5647	9	1971	Coupe
ME-10-ZE-5648	9	1971	Coupe
ME-10-ZE-5649	9	1970	Coupe
ME-10-ZE-5650	9	1970	Coupe
ME-10-ZE-5651	9	1951	Coupe
ME-10-ZE-5652	9	1951	Coupe
ME-10-ZE-5653	9	1961	Coupe
ME-10-ZE-5654	9	1961	Coupe
ME-10-ZE-5655	9	1966	Coupe
ME-10-ZE-5656	9	1966	Coupe
ME-10-ZE-5657	9	1592	Coupe
ME-10-ZE-5658	9	1592	Coupe
ME-10-ZE-5659	9	1591	Coupe
ME-10-ZE-5660	9	1591	Coupe
ME-10-ZE-5661	9	1598	Coupe
ME-10-ZE-5662	9	1598	Coupe
ME-10-ZE-5663	9	1604	Coupe
ME-10-ZE-5664	9	1604	Coupe
ME-10-ZE-5665	9	1605	Coupe
ME-10-ZE-5666	9	1605	Coupe
ME-10-ZE-5667	9	1606	Coupe
ME-10-ZE-5668	9	1606	Coupe
ME-10-ZE-5669	9	1616	Coupe
ME-10-ZE-5670	9	1616	Coupe
ME-10-ZE-5671	9	1614	Coupe

ME-10-ZE-5672	9	1614	Coupe
ME-10-ZE-5673	9	1619	Coupe
ME-10-ZE-5674	9	1619	Coupe
ME-10-ZE-5675	9	1623	Coupe
ME-10-ZE-5676	9	1623	Coupe
ME-10-ZE-5677	9	2152	Coupe
ME-10-ZE-5678	9	1615	Coupe
ME-10-ZE-5679	9	2152	Coupe
ME-10-ZE-5680	9	1615	Coupe
ME-10-ZE-5681	9	2145	Coupe
ME-10-ZE-5682	9	2145	Coupe
ME-10-ZE-5683	9	2144	Coupe
ME-10-ZE-5684	9	2144	Coupe
ME-10-ZE-5685	9	2143	Coupe
ME-10-ZE-5686	9	2143	Coupe
ME-10-ZE-5687	9	2139	Coupe
ME-10-ZE-5688	9	2139	Coupe
ME-10-ZE-5689	9	2141	Coupe
ME-10-ZE-5690	9	2141	Coupe
ME-10-ZE-5691	9	2142	Coupe
ME-10-ZE-5692	9	2142	Coupe
ME-10-ZE-5693	9	2156	Coupe
ME-10-ZE-5694	9	2156	Coupe
ME-10-ZE-5695	9	2159	Coupe
ME-10-ZE-5696	9	2159	Coupe
ME-10-ZE-5697	9	2160	Coupe
ME-10-ZE-5698	9	2160	Coupe
ME-10-ZE-5699	9	2161	Coupe
ME-10-ZE-5700	9	2161	Coupe
ME-10-ZE-5701	9	2162	Coupe
ME-10-ZE-5702	9	2162	Coupe
ME-10-ZE-5703	9	2163	Coupe
ME-10-ZE-5704	9	2163	Coupe
ME-10-ZE-5705	9	2157	Coupe
ME-10-ZE-5706	9	2157	Coupe
ME-10-ZE-5707	9	2168	Coupe
ME-10-ZE-5708	9	2168	Coupe
ME-10-ZE-5709	9	2169	Coupe
ME-10-ZE-5710	9	2169	Coupe
ME-10-ZE-5711	9	2170	Coupe
ME-10-ZE-5712	9	2170	Coupe
ME-10-ZE-5713	9	2177	Coupe
ME-10-ZE-5714	9	2177	Coupe
ME-10-ZE-5715	9	2179	Coupe

ME-10-ZE-5716	9	2179	Coupe
ME-10-ZE-5717	9	2178	Coupe
ME-10-ZE-5718	9	2178	Coupe
ME-10-ZE-5719	9	2176	Coupe
ME-10-ZE-5720	9	2176	Coupe
ME-10-ZE-5721	9	2174	Coupe
ME-10-ZE-5722	9	2174	Coupe
ME-10-ZE-5723	9	2172	Coupe
ME-10-ZE-5724	9	2172	Coupe
ME-10-ZE-5725	9	1756	Coupe
ME-10-ZE-5726	9	1756	Coupe
ME-10-ZE-5727	9	1758	Coupe
ME-10-ZE-5728	9	1758	Coupe
ME-10-ZE-5729	9	1745	Coupe
ME-10-ZE-5730	9	1745	Coupe
ME-10-ZE-5731	9	1746	Coupe
ME-10-ZE-5732	9	1746	Coupe
ME-10-ZE-5733	9	1747, 1748	Coupe
ME-10-ZE-5734	9	1747, 1748	Coupe
ME-10-ZE-5735	9	1749	Coupe
ME-10-ZE-5736	9	1749	Coupe
ME-10-ZE-5737	9	1753	Coupe
ME-10-ZE-5738	9	1753	Coupe
ME-10-ZE-5739	9	1744	Coupe
ME-10-ZE-5740	9	1744	Coupe
ME-10-ZE-5741	9	1742	Coupe
ME-10-ZE-5742	9	1742	Coupe
ME-10-ZE-5743	9	1741	Coupe
ME-10-ZE-5744	9	1741	Coupe
ME-10-ZE-5745	9	1739	Coupe
ME-10-ZE-5746	9	1739	Coupe
ME-10-ZE-5747	9	1736	Coupe
ME-10-ZE-5748	9	1736	Coupe
ME-10-ZE-5749	9	1735	Coupe
ME-10-ZE-5750	9	1735	Coupe
ME-10-ZE-5751	9	1733	Coupe
ME-10-ZE-5752	9	1733	Coupe
ME-10-ZE-5753	9	1725	Coupe
ME-10-ZE-5754	9	1725	Coupe
ME-10-ZE-5755	9	1741	Coupe
ME-10-ZE-5756	9	1741	Coupe
ME-10-ZE-5757	9	1742	Coupe
ME-10-ZE-5758	9	1742	Coupe
ME-10-ZE-5759	9	1732	Coupe

ME-10-ZE-5760	9	1732	Coupe
ME-10-ZE-5761	9	1724	Coupe
ME-10-ZE-5762	9	1724	Coupe
ME-10-ZE-5763	9	1693, 1694	Coupe
ME-10-ZE-5764	9	1693, 1694	Coupe
ME-10-ZE-5765	9	1723	Coupe
ME-10-ZE-5766	9	1723	Coupe
ME-10-ZE-5767	9	1721	Coupe
ME-10-ZE-5768	9	1721	Coupe
ME-10-ZE-5769	9	1720	Coupe
ME-10-ZE-5770	9	1720	Coupe
ME-10-ZE-5771	9	1722	Coupe
ME-10-ZE-5772	9	1722	Coupe
ME-10-ZE-5773	9	1722	Coupe
ME-10-ZE-5774	9	1717	Coupe
ME-10-ZE-5775	9	1717	Coupe
ME-10-ZE-5776	9	1716	Coupe
ME-10-ZE-5777	9	1716	Coupe
ME-10-ZE-5778	9	1719	Coupe
ME-10-ZE-5779	9	1719	Coupe
ME-10-ZE-5780	9	1718	Coupe
ME-10-ZE-5781	9	1718	Coupe
ME-10-ZE-5782	9	1712	Coupe
ME-10-ZE-5783	9	1712	Coupe
ME-10-ZE-5784	9	1711	Coupe
ME-10-ZE-5785	9	1711	Coupe
ME-10-ZE-5786	9	1709	Coupe
ME-10-ZE-5787	9	1709	Coupe
ME-10-ZE-5788	9	1708	Coupe
ME-10-ZE-5789	9	1708	Coupe
ME-10-ZE-5790	9	1687	Coupe
ME-10-ZE-5791	9	1687	Coupe
ME-10-ZE-5792	9	1671	Coupe
ME-10-ZE-5793	9	1671	Coupe
ME-10-ZE-5794	10		Overzicht
ME-10-ZE-5795	10		Overzicht
ME-10-ZE-5796	10		Overzicht
ME-10-ZE-5797	10		Overzicht
ME-10-ZE-5798	10		Overzicht
ME-10-ZE-5799	10		Overzicht
ME-10-ZE-5800	10		Overzicht
ME-10-ZE-5801	10		Overzicht
ME-10-ZE-5802	10		Overzicht
ME-10-ZE-5803	10		Overzicht

ME-10-ZE-5804	10		Overzicht
ME-10-ZE-5805	10		Overzicht
ME-10-ZE-5806	10		Overzicht
ME-10-ZE-5807	10		Overzicht
ME-10-ZE-5808	10		Overzicht
ME-10-ZE-5809	10		Overzicht
ME-10-ZE-5810	10		Overzicht
ME-10-ZE-5811	10		Overzicht
ME-10-ZE-5812	10		Overzicht
ME-10-ZE-5813	10		Overzicht
ME-10-ZE-5814	10		Overzicht
ME-10-ZE-5815	10		Overzicht
ME-10-ZE-5816	10		Overzicht
ME-10-ZE-5817	10		Overzicht
ME-10-ZE-5818	10		Overzicht
ME-10-ZE-5819	10		Overzicht
ME-10-ZE-5820	10		Overzicht
ME-10-ZE-5821	10		Overzicht
ME-10-ZE-5822	10		Overzicht
ME-10-ZE-5823	10		Overzicht
ME-10-ZE-5824	10		Overzicht
ME-10-ZE-5825	10		Overzicht
ME-10-ZE-5826	10		Overzicht
ME-10-ZE-5827	10		Overzicht
ME-10-ZE-5828	10		Overzicht
ME-10-ZE-5829	10		Overzicht
ME-10-ZE-5830	10		Overzicht
ME-10-ZE-5831	10		Overzicht
ME-10-ZE-5832	10		Overzicht
ME-10-ZE-5833	10		Overzicht
ME-10-ZE-5834	10		Overzicht
ME-10-ZE-5835	10		Overzicht
ME-10-ZE-5836	10		Overzicht
ME-10-ZE-5837	10		Overzicht
ME-10-ZE-5838	10		Overzicht
ME-10-ZE-5839	10		Overzicht
ME-10-ZE-5840	10		Overzicht
ME-10-ZE-5841	10		Overzicht
ME-10-ZE-5842	10		Overzicht
ME-10-ZE-5843	10		Overzicht
ME-10-ZE-5844	10		Overzicht
ME-10-ZE-5845	10		Overzicht
ME-10-ZE-5846	10		Overzicht
ME-10-ZE-5847	10		Overzicht

ME-10-ZE-5848	10		Overzicht
ME-10-ZE-5849	10		Overzicht
ME-10-ZE-5850	10		Overzicht
ME-10-ZE-5851	10		Overzicht
ME-10-ZE-5852	10		Overzicht
ME-10-ZE-5853	10		Overzicht
ME-10-ZE-5854	10		Overzicht
ME-10-ZE-5855	10		Overzicht
ME-10-ZE-5856	10		Overzicht
ME-10-ZE-5857	10		Overzicht
ME-10-ZE-5858	10		Overzicht
ME-10-ZE-5859	10		Overzicht
ME-10-ZE-5860	10		Overzicht
ME-10-ZE-5861	10		Overzicht
ME-10-ZE-5862	10		Overzicht
ME-10-ZE-5863	10		Overzicht
ME-10-ZE-5864	10		Overzicht
ME-10-ZE-5865	10		Overzicht
ME-10-ZE-5866	10		Overzicht
ME-10-ZE-5867	10		Overzicht
ME-10-ZE-5868	10		Overzicht
ME-10-ZE-5869	10		Overzicht
ME-10-ZE-5870	10		Overzicht
ME-10-ZE-5871	10		Overzicht
ME-10-ZE-5872	10		Overzicht
ME-10-ZE-5873	10		Overzicht
ME-10-ZE-5874	10		Overzicht
ME-10-ZE-5875	10		Overzicht
ME-10-ZE-5876	10		Overzicht
ME-10-ZE-5877	10		Overzicht
ME-10-ZE-5878	10		Overzicht
ME-10-ZE-5879	10		Overzicht
ME-10-ZE-5880	10		Overzicht
ME-10-ZE-5881	10		Overzicht
ME-10-ZE-5882	10		Overzicht
ME-10-ZE-5883	10		Overzicht
ME-10-ZE-5884	10	1848	Vlak
ME-10-ZE-5885	10	1848	Vlak
ME-10-ZE-5886	10	1848	Vlak
ME-10-ZE-5887	10	1759	Vlak
ME-10-ZE-5888	10	1759	Vlak
ME-10-ZE-5889	10	1760	Vlak
ME-10-ZE-5890	10	1760	Vlak
ME-10-ZE-5891	10	1761	Vlak

ME-10-ZE-5892	10	1761	Vlak
ME-10-ZE-5893	10	1762	Vlak
ME-10-ZE-5894	10	1762	Vlak
ME-10-ZE-5895	10	1763	Vlak
ME-10-ZE-5896	10	1763	Vlak
ME-10-ZE-5897	10	1764, 1765	Vlak
ME-10-ZE-5898	10	1764, 1765	Vlak
ME-10-ZE-5899	10	1766, 1767	Vlak
ME-10-ZE-5900	10	1766, 1767	Vlak
ME-10-ZE-5901	10	1768, 1769	Vlak
ME-10-ZE-5902	10	1768, 1769	Vlak
ME-10-ZE-5903	10	1770, 1771	Vlak
ME-10-ZE-5904	10	1770, 1771	Vlak
ME-10-ZE-5905	10	1772, 1773	Vlak
ME-10-ZE-5906	10	1772, 1773	Vlak
ME-10-ZE-5907	10	1774	Vlak
ME-10-ZE-5908	10	1774	Vlak
ME-10-ZE-5909	10	1775	Vlak
ME-10-ZE-5910	10	1775	Vlak
ME-10-ZE-5911	10	1776	Vlak
ME-10-ZE-5912	10	1776	Vlak
ME-10-ZE-5913	10	1777	Vlak
ME-10-ZE-5914	10	1777	Vlak
ME-10-ZE-5915	10	1778	Vlak
ME-10-ZE-5916	10	1778	Vlak
ME-10-ZE-5917	10	1779, 1780	Vlak
ME-10-ZE-5918	10	1779, 1780	Vlak
ME-10-ZE-5919	10	1781	Vlak
ME-10-ZE-5920	10	1781	Vlak
ME-10-ZE-5921	10	1782	Vlak
ME-10-ZE-5922	10	1782	Vlak
ME-10-ZE-5923	10	1783, 1784	Vlak
ME-10-ZE-5924	10	1783, 1784	Vlak
ME-10-ZE-5925	10	1785	Vlak
ME-10-ZE-5926	10	1785	Vlak
ME-10-ZE-5927	10	1786, 1787	Vlak
ME-10-ZE-5928	10	1786, 1787	Vlak
ME-10-ZE-5929	10	1788	Vlak
ME-10-ZE-5930	10	1788	Vlak
ME-10-ZE-5931	10	1789	Vlak
ME-10-ZE-5932	10	1789	Vlak
ME-10-ZE-5933	10	1790	Vlak
ME-10-ZE-5934	10	1790	Vlak
ME-10-ZE-5935	10	1791	Vlak

ME-10-ZE-5936	10	1797	Vlak
ME-10-ZE-5937	10	1792	Vlak
ME-10-ZE-5938	10	1792	Vlak
ME-10-ZE-5939	10	1793	Vlak
ME-10-ZE-5940	10	1793	Vlak
ME-10-ZE-5941	10	1794, 1795	Vlak
ME-10-ZE-5942	10	1794, 1795	Vlak
ME-10-ZE-5943	10	1796	Vlak
ME-10-ZE-5944	10	1796	Vlak
ME-10-ZE-5945	10	1797, 1798	Vlak
ME-10-ZE-5946	10	1797, 1798	Vlak
ME-10-ZE-5947	10	1799, 1801	Vlak
ME-10-ZE-5948	10	1799, 1801	Vlak
ME-10-ZE-5949	10	1800	Vlak
ME-10-ZE-5950	10	1800	Vlak
ME-10-ZE-5951	10	1802	Vlak
ME-10-ZE-5952	10	1802	Vlak
ME-10-ZE-5953	10	1803	Vlak
ME-10-ZE-5954	10	1803	Vlak
ME-10-ZE-5955	10	1804	Vlak
ME-10-ZE-5956	10	1804	Vlak
ME-10-ZE-5957	10	1805	Vlak
ME-10-ZE-5958	10	1805	Vlak
ME-10-ZE-5959	10	1806	Vlak
ME-10-ZE-5960	10	1806	Vlak
ME-10-ZE-5961	10	1807	Vlak
ME-10-ZE-5962	10	1807	Vlak
ME-10-ZE-5963	10	1808	Vlak
ME-10-ZE-5964	10	1808	Vlak
ME-10-ZE-5965	10	1809	Vlak
ME-10-ZE-5966	10	1809	Vlak
ME-10-ZE-5967	10	1810	Vlak
ME-10-ZE-5968	10	1810	Vlak
ME-10-ZE-5969	10	1811	Vlak
ME-10-ZE-5970	10	1811	Vlak
ME-10-ZE-5971	10	1812	Vlak
ME-10-ZE-5972	10	1812	Vlak
ME-10-ZE-5973	10	1813	Vlak
ME-10-ZE-5974	10	1813	Vlak
ME-10-ZE-5975	10	1814, 1815	Vlak
ME-10-ZE-5976	10	1814, 1815	Vlak
ME-10-ZE-5977	10	1816, 1817	Vlak
ME-10-ZE-5978	10	1816, 1817	Vlak
ME-10-ZE-5979	10	1818, 1819	Vlak

ME-10-ZE-5980	10	1818, 1819	Vlak
ME-10-ZE-5981	10	1820, 1821	Vlak
ME-10-ZE-5982	10	1822, 1823	Vlak
ME-10-ZE-5983	10	1822, 1823	Vlak
ME-10-ZE-5984	10	1824	Vlak
ME-10-ZE-5985	10	1824	Vlak
ME-10-ZE-5986	10	1825	Vlak
ME-10-ZE-5987	10	1825	Vlak
ME-10-ZE-5988	10	1826, 1827	Vlak
ME-10-ZE-5989	10	1826, 1827	Vlak
ME-10-ZE-5990	10	1828	Vlak
ME-10-ZE-5991	10	1828	Vlak
ME-10-ZE-5992	10	1829	Vlak
ME-10-ZE-5993	10	1829	Vlak
ME-10-ZE-5994	10	1830	Vlak
ME-10-ZE-5995	10	1830	Vlak
ME-10-ZE-5996	10	1831	Vlak
ME-10-ZE-5997	10	1831	Vlak
ME-10-ZE-5998	10	1832	Vlak
ME-10-ZE-5999	10	1832	Vlak
ME-10-ZE-6000	10	1833	Vlak
ME-10-ZE-6001	10	1833	Vlak
ME-10-ZE-6002	10	1834	Vlak
ME-10-ZE-6003	10	1834	Vlak
ME-10-ZE-6004	10	1835	Vlak
ME-10-ZE-6005	10	1835	Vlak
ME-10-ZE-6006	10	1836	Vlak
ME-10-ZE-6007	10	1836	Vlak
ME-10-ZE-6008	10	1837	Vlak
ME-10-ZE-6009	10	1837	Vlak
ME-10-ZE-6010	10	1838	Vlak
ME-10-ZE-6011	10	1838	Vlak
ME-10-ZE-6012	10	1839, 1840	Vlak
ME-10-ZE-6013	10	1839, 1840	Vlak
ME-10-ZE-6014	10	1841	Vlak
ME-10-ZE-6015	10	1841	Vlak
ME-10-ZE-6016	10	1842, 1843	Vlak
ME-10-ZE-6017	10	1842, 1843	Vlak
ME-10-ZE-6018	10	1844	Vlak
ME-10-ZE-6019	10	1844	Vlak
ME-10-ZE-6020	10	1845	Vlak
ME-10-ZE-6021	10	1845	Vlak
ME-10-ZE-6022	10	1846	Vlak
ME-10-ZE-6023	10	1846	Vlak

ME-10-ZE-6024	10	1846	Vlak
ME-10-ZE-6025	10	1847	Vlak
ME-10-ZE-6026	10	1847	Vlak
ME-10-ZE-6027	10	1848	Vlak
ME-10-ZE-6028	10	1848	Vlak
ME-10-ZE-6029	10	1849	Vlak
ME-10-ZE-6030	10	1849	Vlak
ME-10-ZE-6031	10	1850	Vlak
ME-10-ZE-6032	10	1850	Vlak
ME-10-ZE-6033	10	1851	Vlak
ME-10-ZE-6034	10	1851	Vlak
ME-10-ZE-6035	10	1852	Vlak
ME-10-ZE-6036	10	1852	Vlak
ME-10-ZE-6037	10	1853, 1854, 1855	Vlak
ME-10-ZE-6038	10	1853, 1854, 1855	Vlak
ME-10-ZE-6039	10	1856	Vlak
ME-10-ZE-6040	10	1856	Vlak
ME-10-ZE-6041	10	1857	Vlak
ME-10-ZE-6042	10	1857	Vlak
ME-10-ZE-6043	10	1858	Vlak
ME-10-ZE-6044	10	1858	Vlak
ME-10-ZE-6045	10	1859	Vlak
ME-10-ZE-6046	10	1859	Vlak
ME-10-ZE-6047	10	1860, 1861, 1862, 1863	Vlak
ME-10-ZE-6048	10	1860, 1861, 1862, 1863	Vlak
ME-10-ZE-6049	10	1860, 1861, 1862, 1863	Vlak
ME-10-ZE-6050	10	1864	Vlak
ME-10-ZE-6051	10	1864	Vlak
ME-10-ZE-6052	10	1865, 1866	Vlak
ME-10-ZE-6053	10	1865, 1866	Vlak
ME-10-ZE-6054	10	1867	Vlak
ME-10-ZE-6055	10	1867	Vlak
ME-10-ZE-6056	10	1868, 1869	Vlak
ME-10-ZE-6057	10	1868, 1869	Vlak
ME-10-ZE-6058	10	1870	Vlak
ME-10-ZE-6059	10	1870	Vlak
ME-10-ZE-6060	10	1871, 1872, 1873	Vlak
ME-10-ZE-6061	10	1871, 1872, 1873	Vlak
ME-10-ZE-6062	10	1871, 1872, 1873	Vlak
ME-10-ZE-6063	10	1871, 1872,	Vlak

		1873	
ME-10-ZE-6064	10	1874, 1875	Vlak
ME-10-ZE-6065	10	1874, 1875	Vlak
ME-10-ZE-6066	10	1876, 1877	Vlak
ME-10-ZE-6067	10	1876, 1877	Vlak
ME-10-ZE-6068	10	1878, 1879	Vlak
ME-10-ZE-6069	10	1878, 1879	Vlak
ME-10-ZE-6070	10	1880	Vlak
ME-10-ZE-6071	10	1880	Vlak
ME-10-ZE-6072	10	1881, 1882	Vlak
ME-10-ZE-6073	10	1881, 1882	Vlak
ME-10-ZE-6074	10	1881, 1882	Vlak
ME-10-ZE-6075	10	1884, 1885	Vlak
ME-10-ZE-6076	10	1884, 1885	Vlak
ME-10-ZE-6077	10	1883	Vlak
ME-10-ZE-6078	10	1883	Vlak
ME-10-ZE-6079	10	1886	Vlak
ME-10-ZE-6080	10	1886	Vlak
ME-10-ZE-6081	10	1886	Vlak
ME-10-ZE-6082	10	1887	Vlak
ME-10-ZE-6083	10	1887	Vlak
ME-10-ZE-6084	10	1888, 1889	Vlak
ME-10-ZE-6085	10	1888, 1889	Vlak
ME-10-ZE-6086	10	1890, 1891	Vlak
ME-10-ZE-6087	10	1890, 1891	Vlak
ME-10-ZE-6088	10	1892	Vlak
ME-10-ZE-6089	10	1892	Vlak
ME-10-ZE-6090	10	1893	Vlak
ME-10-ZE-6091	10	1893	Vlak
ME-10-ZE-6092	10	1894, 1895	Vlak
ME-10-ZE-6093	10	1894, 1895	Vlak
ME-10-ZE-6094	10	1896	Vlak
ME-10-ZE-6095	10	1896	Vlak
ME-10-ZE-6096	10	1896	Vlak
ME-10-ZE-6097	10	1896	Vlak
ME-10-ZE-6098	10	1897	Vlak
ME-10-ZE-6099	10	1897	Vlak
ME-10-ZE-6100	10	1898, 1899, 1900	Vlak
ME-10-ZE-6101	10	1898, 1899, 1900	Vlak
ME-10-ZE-6102	10	1901	Vlak
ME-10-ZE-6103	10	1901	Vlak
ME-10-ZE-6104	10	1902	Vlak
ME-10-ZE-6105	10	1902	Vlak

ME-10-ZE-6106	10	1903	Vlak
ME-10-ZE-6107	10	1903	Vlak
ME-10-ZE-6108	10	1904	Vlak
ME-10-ZE-6109	10	1904	Vlak
ME-10-ZE-6110	10	1905, 1906	Vlak
ME-10-ZE-6111	10	1905, 1906	Vlak
ME-10-ZE-6112	10	1907	Vlak
ME-10-ZE-6113	10	1907	Vlak
ME-10-ZE-6114	10	1908	Vlak
ME-10-ZE-6115	10	1908	Vlak
ME-10-ZE-6116	10	1909	Vlak
ME-10-ZE-6117	10	1909	Vlak
ME-10-ZE-6118	10	1910, 1911	Vlak
ME-10-ZE-6119	10	1910, 1911	Vlak
ME-10-ZE-6120	10	1912, 1913	Vlak
ME-10-ZE-6121	10	1912, 1913	Vlak
ME-10-ZE-6122	10	1798	Coupe
ME-10-ZE-6123	10	1798	Coupe
ME-10-ZE-6124	10	1764	Coupe
ME-10-ZE-6125	10	1764	Coupe
ME-10-ZE-6126	10	1765	Coupe
ME-10-ZE-6127	10	1765	Coupe
ME-10-ZE-6128	10	1799	Coupe
ME-10-ZE-6129	10	1799	Coupe
ME-10-ZE-6130	10	1801	Coupe
ME-10-ZE-6131	10	1801	Coupe
ME-10-ZE-6132	10	1800	Coupe
ME-10-ZE-6133	10	1800	Coupe
ME-10-ZE-6134	10	1766	Coupe
ME-10-ZE-6135	10	1766	Coupe
ME-10-ZE-6136	10	1771	Coupe
ME-10-ZE-6137	10	1771	Coupe
ME-10-ZE-6138	10	1772	Coupe
ME-10-ZE-6139	10	1772	Coupe
ME-10-ZE-6140	10	1773	Coupe
ME-10-ZE-6141	10	1802	Coupe
ME-10-ZE-6142	10	1802	Coupe
ME-10-ZE-6143	10	1803	Coupe
ME-10-ZE-6144	10	1803	Coupe
ME-10-ZE-6145	10	1806	Coupe
ME-10-ZE-6146	10	1806	Coupe
ME-10-ZE-6147	10	1775	Coupe
ME-10-ZE-6148	10	1775	Coupe
ME-10-ZE-6149	10	1774	Coupe

ME-10-ZE-6150	10	1774	Coupe
ME-10-ZE-6151	10	1778	Coupe
ME-10-ZE-6152	10	1778	Coupe
ME-10-ZE-6153	10	1779, 1780	Coupe
ME-10-ZE-6154	10	1779, 1780	Coupe
ME-10-ZE-6155	10	1782	Coupe
ME-10-ZE-6156	10	1782	Coupe
ME-10-ZE-6157	10	1788	Coupe
ME-10-ZE-6158	10	1788	Coupe
ME-10-ZE-6159	10	1784	Coupe
ME-10-ZE-6160	10	1784	Coupe
ME-10-ZE-6161	10	1912	Coupe
ME-10-ZE-6162	10	1912	Coupe
ME-10-ZE-6163	10	1909	Coupe
ME-10-ZE-6164	10	1909	Coupe
ME-10-ZE-6165	10	1911	Coupe
ME-10-ZE-6166	10	1911	Coupe
ME-10-ZE-6167	10	1910	Coupe
ME-10-ZE-6168	10	1910	Coupe
ME-10-ZE-6169	10	1908	Coupe
ME-10-ZE-6170	10	1908	Coupe
ME-10-ZE-6171	10	1908	Coupe
ME-10-ZE-6172	10	1907	Coupe
ME-10-ZE-6173	10	1907	Coupe
ME-10-ZE-6174	10	1905	Coupe
ME-10-ZE-6175	10	1905	Coupe
ME-10-ZE-6176	10	1906	Coupe
ME-10-ZE-6177	10	1906	Coupe
ME-10-ZE-6178	10	1897	Coupe
ME-10-ZE-6179	10	1897	Coupe
ME-10-ZE-6180	10	1873, 1845	Coupe
ME-10-ZE-6181	10	1873, 1845	Coupe
ME-10-ZE-6182	10	1842	Coupe
ME-10-ZE-6183	10	1842	Coupe
ME-10-ZE-6184	10	1843	Coupe
ME-10-ZE-6185	10	1843	Coupe
ME-10-ZE-6186	10	1843	Coupe
ME-10-ZE-6187	10	1841	Coupe
ME-10-ZE-6188	10	1841	Coupe
ME-10-ZE-6189	10	1839	Coupe
ME-10-ZE-6190	10	1839	Coupe
ME-10-ZE-6191	10	1837	Coupe
ME-10-ZE-6192	10	1837	Coupe
ME-10-ZE-6193	10	1836	Coupe

ME-10-ZE-6194	10	1836	Coupe
ME-10-ZE-6195	10	1836	Coupe
ME-10-ZE-6196	10	1892	Coupe
ME-10-ZE-6197	10	1892	Coupe
ME-10-ZE-6198	10	1825	Coupe
ME-10-ZE-6199	10	1825	Coupe
ME-10-ZE-6200	10	1824	Coupe
ME-10-ZE-6201	10	1824	Coupe
ME-10-ZE-6202	10	1901	Coupe
ME-10-ZE-6203	10	1901	Coupe
ME-10-ZE-6204	10	1882	Coupe
ME-10-ZE-6205	10	1882	Coupe
ME-10-ZE-6206	10	1787	Coupe
ME-10-ZE-6207	10	1787	Coupe
ME-10-ZE-6208	10	1888	Coupe
ME-10-ZE-6209	10	1888	Coupe
ME-10-ZE-6210	10	1889	Coupe
ME-10-ZE-6211	10	1889	Coupe
ME-10-ZE-6212	10	1904	Coupe
ME-10-ZE-6213	10	1904	Coupe
ME-10-ZE-6214	10	1815	Coupe
ME-10-ZE-6215	10	1815	Coupe
ME-10-ZE-6216	10	1814	Coupe
ME-10-ZE-6217	10	1814	Coupe
ME-10-ZE-6218	10	1886	Coupe
ME-10-ZE-6219	10	1886	Coupe
ME-10-ZE-6220	10	1884	Coupe
ME-10-ZE-6221	10	1884	Coupe
ME-10-ZE-6222	10	1887	Coupe
ME-10-ZE-6223	10	1887	Coupe
ME-10-ZE-6224	10	1879	Coupe
ME-10-ZE-6225	10	1879	Coupe
ME-10-ZE-6226	10	1898, 1899	Coupe
ME-10-ZE-6227	10	1898, 1899	Coupe
ME-10-ZE-6228	10	1876, 1877	Coupe
ME-10-ZE-6229	10	1876, 1877	Coupe
ME-10-ZE-6230	10	1827	Coupe
ME-10-ZE-6231	10	1827	Coupe
ME-10-ZE-6232	10	1826	Coupe
ME-10-ZE-6233	10	1826	Coupe
ME-10-ZE-6234	10	1974	Coupe
ME-10-ZE-6235	10	1974	Coupe
ME-10-ZE-6236	10	1900	Coupe
ME-10-ZE-6237	10	1900	Coupe

ME-10-ZE-6238	10	1903	Coupe
ME-10-ZE-6239	10	1903	Coupe
ME-10-ZE-6240	10	1902	Coupe
ME-10-ZE-6241	10	1902	Coupe
ME-10-ZE-6242	10	1820, 1821	Coupe
ME-10-ZE-6243	10	1820, 1821	Coupe
ME-10-ZE-6244	10	1818, 1819	Coupe
ME-10-ZE-6245	10	1818, 1819	Coupe
ME-10-ZE-6246	10	1816, 1817	Coupe
ME-10-ZE-6247	10	1816, 1817	Coupe
ME-10-ZE-6248	10	1850	Coupe
ME-10-ZE-6249	10	1850	Coupe
ME-10-ZE-6250	10	1851	Coupe
ME-10-ZE-6251	10	1851	Coupe
ME-10-ZE-6252	10	1852	Coupe
ME-10-ZE-6253	10	1852	Coupe
ME-10-ZE-6254	10	1853	Coupe
ME-10-ZE-6255	10	1853	Coupe
ME-10-ZE-6256	10	1857	Coupe
ME-10-ZE-6257	10	1857	Coupe
ME-10-ZE-6258	10	1865	Coupe
ME-10-ZE-6259	10	1865	Coupe
ME-10-ZE-6260	10	1868	Coupe
ME-10-ZE-6261	10	1868	Coupe
ME-10-ZE-6262	10	1869	Coupe
ME-10-ZE-6263	10	1869	Coupe
ME-10-ZE-6264	10	1856	Coupe
ME-10-ZE-6265	10	1856	Coupe
ME-10-ZE-6266	10	1875	Coupe
ME-10-ZE-6267	10	1875	Coupe
ME-10-ZE-6268	10	1831	Coupe
ME-10-ZE-6269	10	1831	Coupe
ME-10-ZE-6270	10	1832	Coupe
ME-10-ZE-6271	10	1832	Coupe
ME-10-ZE-6272	10	1833	Coupe
ME-10-ZE-6273	10	1833	Coupe
ME-10-ZE-6274	10	1835	Coupe
ME-10-ZE-6275	10	1835	Coupe
ME-10-ZE-6276	10	1828	Coupe
ME-10-ZE-6277	10	1828	Coupe
ME-10-ZE-6278	10	1829	Coupe
ME-10-ZE-6279	10	1829	Coupe
ME-10-ZE-6280	10	1830	Coupe
ME-10-ZE-6281	10	1830	Coupe

ME-10-ZE-6282	10	1847	Coupe
ME-10-ZE-6283	10	1847	Coupe
ME-10-ZE-6284	10	1846	Coupe
ME-10-ZE-6285	10	1846	Coupe
ME-10-ZE-6286	10	1844	Coupe
ME-10-ZE-6287	10	1844	Coupe
ME-10-ZE-6288	10	1848	Coupe
ME-10-ZE-6289	10	1848	Coupe
ME-10-ZE-6290	10	1848	Coupe
ME-10-ZE-6291	10	1763	Coupe
ME-10-ZE-6292	10	1763	Coupe
ME-10-ZE-6293	10	1854, 1855	Coupe
ME-10-ZE-6294	10	1854, 1855	Coupe
ME-10-ZE-6295	10	1854, 1855	Coupe
ME-10-ZE-6296	10	1794	Coupe
ME-10-ZE-6297	10	1794	Coupe
ME-10-ZE-6298	10	1762	Coupe
ME-10-ZE-6299	10	1762	Coupe
ME-10-ZE-6300	10	1797	Coupe
ME-10-ZE-6301	10	1797	Coupe
ME-10-ZE-6302	11		Overzicht
ME-10-ZE-6303	11		Overzicht
ME-10-ZE-6304	11		Overzicht
ME-10-ZE-6305	11		Overzicht
ME-10-ZE-6306	11		Overzicht
ME-10-ZE-6307	11		Overzicht
ME-10-ZE-6308	11		Overzicht
ME-10-ZE-6309	11		Overzicht
ME-10-ZE-6310	11		Overzicht
ME-10-ZE-6311	11		Overzicht
ME-10-ZE-6312	11		Overzicht
ME-10-ZE-6313	11		Overzicht
ME-10-ZE-6314	11		Overzicht
ME-10-ZE-6315	11		Overzicht
ME-10-ZE-6316	11		Overzicht
ME-10-ZE-6317	11		Overzicht
ME-10-ZE-6318	11		Overzicht
ME-10-ZE-6319	11		Overzicht
ME-10-ZE-6320	11		Overzicht
ME-10-ZE-6321	11		Overzicht
ME-10-ZE-6322	11		Overzicht
ME-10-ZE-6323	11		Overzicht
ME-10-ZE-6324	11		Overzicht
ME-10-ZE-6325	11		Overzicht

ME-10-ZE-6326	11		Overzicht
ME-10-ZE-6327	11		Overzicht
ME-10-ZE-6328	11		Overzicht
ME-10-ZE-6329	11		Overzicht
ME-10-ZE-6330	11		Overzicht
ME-10-ZE-6331	11		Overzicht
ME-10-ZE-6332	11		Overzicht
ME-10-ZE-6333	11		Overzicht
ME-10-ZE-6334	11		Overzicht
ME-10-ZE-6335	11		Overzicht
ME-10-ZE-6336	11		Overzicht
ME-10-ZE-6337	11		Overzicht
ME-10-ZE-6338	11		Overzicht
ME-10-ZE-6339	11		Overzicht
ME-10-ZE-6340	11		Overzicht
ME-10-ZE-6341	11		Overzicht
ME-10-ZE-6342	11		Overzicht
ME-10-ZE-6343	11		Overzicht
ME-10-ZE-6344	11		Overzicht
ME-10-ZE-6345	11		Overzicht
ME-10-ZE-6346	11		Overzicht
ME-10-ZE-6347	11		Overzicht
ME-10-ZE-6348	11		Overzicht
ME-10-ZE-6349	11		Overzicht
ME-10-ZE-6350	11		Overzicht
ME-10-ZE-6351	11	1976	Vlak
ME-10-ZE-6352	11	1976	Vlak
ME-10-ZE-6353	11	1977	Vlak
ME-10-ZE-6354	11	1977	Vlak
ME-10-ZE-6355	11	1978, 1979	Vlak
ME-10-ZE-6356	11	1978, 1979	Vlak
ME-10-ZE-6357	11	1980	Vlak
ME-10-ZE-6358	11	1980	Vlak
ME-10-ZE-6359	11	1981	Vlak
ME-10-ZE-6360	11	1981	Vlak
ME-10-ZE-6361	11	1982, 1983, 1984	Vlak
ME-10-ZE-6362	11	1982, 1983, 1984	Vlak
ME-10-ZE-6363	11	1985, 1986	Vlak
ME-10-ZE-6364	11	1985, 1986	Vlak
ME-10-ZE-6365	11	1987, 1988	Vlak
ME-10-ZE-6366	11	1987, 1988	Vlak
ME-10-ZE-6367	11	1989, 1990, 1991	Vlak

ME-10-ZE-6368	11	1989, 1990, 1991	Vlak
ME-10-ZE-6369	11	1992, 1993	Vlak
ME-10-ZE-6370	11	1992, 1993	Vlak
ME-10-ZE-6371	11	1994	Vlak
ME-10-ZE-6372	11	1994	Vlak
ME-10-ZE-6373	11	1995	Vlak
ME-10-ZE-6374	11	1995	Vlak
ME-10-ZE-6375	11	1996	Vlak
ME-10-ZE-6376	11	1996	Vlak
ME-10-ZE-6377	11	1997	Vlak
ME-10-ZE-6378	11	1997	Vlak
ME-10-ZE-6379	11	1998, 1999	Vlak
ME-10-ZE-6380	11	1998, 1999	Vlak
ME-10-ZE-6381	11	2000, 2001	Vlak
ME-10-ZE-6382	11	2000, 2001	Vlak
ME-10-ZE-6383	11	2002	Vlak
ME-10-ZE-6384	11	2002	Vlak
ME-10-ZE-6385	11	2003	Vlak
ME-10-ZE-6386	11	2003	Vlak
ME-10-ZE-6387	11	2004	Vlak
ME-10-ZE-6388	11	2004	Vlak
ME-10-ZE-6389	11	2005	Vlak
ME-10-ZE-6390	11	2005	Vlak
ME-10-ZE-6391	11	2006	Vlak
ME-10-ZE-6392	11	2006	Vlak
ME-10-ZE-6393	11	2007	Vlak
ME-10-ZE-6394	11	2007	Vlak
ME-10-ZE-6395	11	2008	Vlak
ME-10-ZE-6396	11	2008	Vlak
ME-10-ZE-6397	11	2009	Vlak
ME-10-ZE-6398	11	2009	Vlak
ME-10-ZE-6399	11	2011, 2012	Vlak
ME-10-ZE-6400	11	2011, 2012	Vlak
ME-10-ZE-6401	11	2013, 2014, 2015	Vlak
ME-10-ZE-6402	11	2013, 2014, 2015	Vlak
ME-10-ZE-6403	11	2010, 2024	Vlak
ME-10-ZE-6404	11	2010, 2024	Vlak
ME-10-ZE-6405	11	2016	Vlak
ME-10-ZE-6406	11	2016	Vlak
ME-10-ZE-6407	11	2017	Vlak
ME-10-ZE-6408	11	2017	Vlak
ME-10-ZE-6409	11	2018	Vlak

ME-10-ZE-6410	11	2018	Vlak
ME-10-ZE-6411	11	2019	Vlak
ME-10-ZE-6412	11	2019	Vlak
ME-10-ZE-6413	11	2020	Vlak
ME-10-ZE-6414	11	2020	Vlak
ME-10-ZE-6415	11	2020	Vlak
ME-10-ZE-6416	11	2021	Vlak
ME-10-ZE-6417	11	2021	Vlak
ME-10-ZE-6418	11	2022	Vlak
ME-10-ZE-6419	11	2022	Vlak
ME-10-ZE-6420	11	2023	Vlak
ME-10-ZE-6421	11	2023	Vlak
ME-10-ZE-6422	11	2025	Vlak
ME-10-ZE-6423	11	2025	Vlak
ME-10-ZE-6424	11	2026	Vlak
ME-10-ZE-6425	11	2026	Vlak
ME-10-ZE-6426	11	2027	Vlak
ME-10-ZE-6427	11	2027	Vlak
ME-10-ZE-6428	11	2028	Vlak
ME-10-ZE-6429	11	2028	Vlak
ME-10-ZE-6430	11	2029	Vlak
ME-10-ZE-6431	11	2029	Vlak
ME-10-ZE-6432	11	2030, 2031	Vlak
ME-10-ZE-6433	11	2030, 2031	Vlak
ME-10-ZE-6434	11	2037	Vlak
ME-10-ZE-6435	11	2037	Vlak
ME-10-ZE-6436	11	2038	Vlak
ME-10-ZE-6437	11	2038	Vlak
ME-10-ZE-6438	11	2039	Vlak
ME-10-ZE-6439	11	2039	Vlak
ME-10-ZE-6440	11	2040	Vlak
ME-10-ZE-6441	11	2040	Vlak
ME-10-ZE-6442	11	2041	Vlak
ME-10-ZE-6443	11	2042	Vlak
ME-10-ZE-6444	11	2041, 2042	Vlak
ME-10-ZE-6445	11	2044	Vlak
ME-10-ZE-6446	11	2044	Vlak
ME-10-ZE-6447	11	2043	Vlak
ME-10-ZE-6448	11	2051, 2052	Vlak
ME-10-ZE-6449	11	2051, 2052	Vlak
ME-10-ZE-6450	11	2053	Vlak
ME-10-ZE-6451	11	2053	Vlak
ME-10-ZE-6452	11	2032	Vlak
ME-10-ZE-6453	11	2032	Vlak

ME-10-ZE-6454	11	2033	Vlak
ME-10-ZE-6455	11	2033	Vlak
ME-10-ZE-6456	11	2035	Vlak
ME-10-ZE-6457	11	2035	Vlak
ME-10-ZE-6458	11	2034	Vlak
ME-10-ZE-6459	11	2034	Vlak
ME-10-ZE-6460	11	2036	Vlak
ME-10-ZE-6461	11	2036	Vlak
ME-10-ZE-6462	11	2046	Vlak
ME-10-ZE-6463	11	2046	Vlak
ME-10-ZE-6464	11	2049	Vlak
ME-10-ZE-6465	11	2049	Vlak
ME-10-ZE-6466	11	2048	Vlak
ME-10-ZE-6467	11	2048	Vlak
ME-10-ZE-6468	11	2045	Vlak
ME-10-ZE-6469	11	2045	Vlak
ME-10-ZE-6470	11	2045	Vlak
ME-10-ZE-6471	11	2054	Vlak
ME-10-ZE-6472	11	2054	Vlak
ME-10-ZE-6473	11	2047	Vlak
ME-10-ZE-6474	11	2047	Vlak
ME-10-ZE-6475	11	2055	Vlak
ME-10-ZE-6476	11	2055	Vlak
ME-10-ZE-6477	11	2056	Vlak
ME-10-ZE-6478	11	2056	Vlak
ME-10-ZE-6479	11	2057	Vlak
ME-10-ZE-6480	11	2057	Vlak
ME-10-ZE-6481	11	2058	Vlak
ME-10-ZE-6482	11	2058	Vlak
ME-10-ZE-6483	11	2059	Vlak
ME-10-ZE-6484	11	2059	Vlak
ME-10-ZE-6485	11	2060	Vlak
ME-10-ZE-6486	11	2060	Vlak
ME-10-ZE-6487	11	2061	Vlak
ME-10-ZE-6488	11	2061	Vlak
ME-10-ZE-6489	11	2062	Vlak
ME-10-ZE-6490	11	2062	Vlak
ME-10-ZE-6491	11	2063	Vlak
ME-10-ZE-6492	11	2063	Vlak
ME-10-ZE-6493	11	2064, 2065	Vlak
ME-10-ZE-6494	11	2064, 2065	Vlak
ME-10-ZE-6495	11	2067	Vlak
ME-10-ZE-6496	11	2067	Vlak
ME-10-ZE-6497	11	2068	Vlak

ME-10-ZE-6498	11	2068	Vlak
ME-10-ZE-6499	11	2069, 2070	Vlak
ME-10-ZE-6500	11	2069, 2070	Vlak
ME-10-ZE-6501	11	2071, 2072, 2073	Vlak
ME-10-ZE-6502	11	2071, 2072, 2073	Vlak
ME-10-ZE-6503	11	2074, 2075	Vlak
ME-10-ZE-6504	11	2074, 2075	Vlak
ME-10-ZE-6505	11	2076, 2077	Vlak
ME-10-ZE-6506	11	2076, 2077	Vlak
ME-10-ZE-6507	11	2078, 2079	Vlak
ME-10-ZE-6508	11	2078, 2079	Vlak
ME-10-ZE-6509	11	2080	Vlak
ME-10-ZE-6510	11	2080	Vlak
ME-10-ZE-6511	11	2081	Vlak
ME-10-ZE-6512	11	2081	Vlak
ME-10-ZE-6513	11	2083, 2084	Vlak
ME-10-ZE-6514	11	2083, 2084	Vlak
ME-10-ZE-6515	11	2085	Vlak
ME-10-ZE-6516	11	2085	Vlak
ME-10-ZE-6517	11	2086	Vlak
ME-10-ZE-6518	11	2086	Vlak
ME-10-ZE-6519	11	2087, 2088, 2089	Vlak
ME-10-ZE-6520	11	2087, 2088, 2089	Vlak
ME-10-ZE-6521	11	2091	Vlak
ME-10-ZE-6522	11	2091	Vlak
ME-10-ZE-6523	11	2092	Vlak
ME-10-ZE-6524	11	2092	Vlak
ME-10-ZE-6525	11	2090	Vlak
ME-10-ZE-6526	11	2090	Vlak
ME-10-ZE-6527	11	2093	Vlak
ME-10-ZE-6528	11	2093	Vlak
ME-10-ZE-6529	11	2094	Vlak
ME-10-ZE-6530	11	2094	Vlak
ME-10-ZE-6531	11	2095	Vlak
ME-10-ZE-6532	11	2095	Vlak
ME-10-ZE-6533	11	2096	Vlak
ME-10-ZE-6534	11	2096	Vlak
ME-10-ZE-6535	11	2097	Vlak
ME-10-ZE-6536	11	2097	Vlak
ME-10-ZE-6537	11	2098	Vlak
ME-10-ZE-6538	11	2098	Vlak
ME-10-ZE-6539	11	2099, 2100	Vlak

ME-10-ZE-6540	11	2099, 2100	Vlak
ME-10-ZE-6541	11	2101	Vlak
ME-10-ZE-6542	11	2101	Vlak
ME-10-ZE-6543	11	2102, 2103	Vlak
ME-10-ZE-6544	11	2102, 2103	Vlak
ME-10-ZE-6545	11	2104	Vlak
ME-10-ZE-6546	11	2104	Vlak
ME-10-ZE-6547	11	2105	Vlak
ME-10-ZE-6548	11	2105	Vlak
ME-10-ZE-6549	11	2106, 2107	Vlak
ME-10-ZE-6550	11	2106, 2107	Vlak
ME-10-ZE-6551	11	2108	Vlak
ME-10-ZE-6552	11	2108	Vlak
ME-10-ZE-6553	11	2109	Vlak
ME-10-ZE-6554	11	2109	Vlak
ME-10-ZE-6555	11	2110	Vlak
ME-10-ZE-6556	11	2110	Vlak
ME-10-ZE-6557	11	2111, 2112	Vlak
ME-10-ZE-6558	11	2111, 2112	Vlak
ME-10-ZE-6559	11	2113, 2114	Vlak
ME-10-ZE-6560	11	2113, 2114	Vlak
ME-10-ZE-6561	11	2115	Vlak
ME-10-ZE-6562	11	2115	Vlak
ME-10-ZE-6563	11	2120	Vlak
ME-10-ZE-6564	11	2120	Vlak
ME-10-ZE-6565	11	2119	Vlak
ME-10-ZE-6566	11	2119	Vlak
ME-10-ZE-6567	11	2116	Vlak
ME-10-ZE-6568	11	2116	Vlak
ME-10-ZE-6569	11	2118	Vlak
ME-10-ZE-6570	11	2118	Vlak
ME-10-ZE-6571	11	2117	Vlak
ME-10-ZE-6572	11	2117	Vlak
ME-10-ZE-6573	11	2121	Vlak
ME-10-ZE-6574	11	2121	Vlak
ME-10-ZE-6575	11	2122	Vlak
ME-10-ZE-6576	11	2122	Vlak
ME-10-ZE-6577	11	2123	Vlak
ME-10-ZE-6578	11	2123	Vlak
ME-10-ZE-6579	11	2131	Vlak
ME-10-ZE-6580	11	2131	Vlak
ME-10-ZE-6581	11	2134	Vlak
ME-10-ZE-6582	11	2134	Vlak
ME-10-ZE-6583	11	2136	Vlak

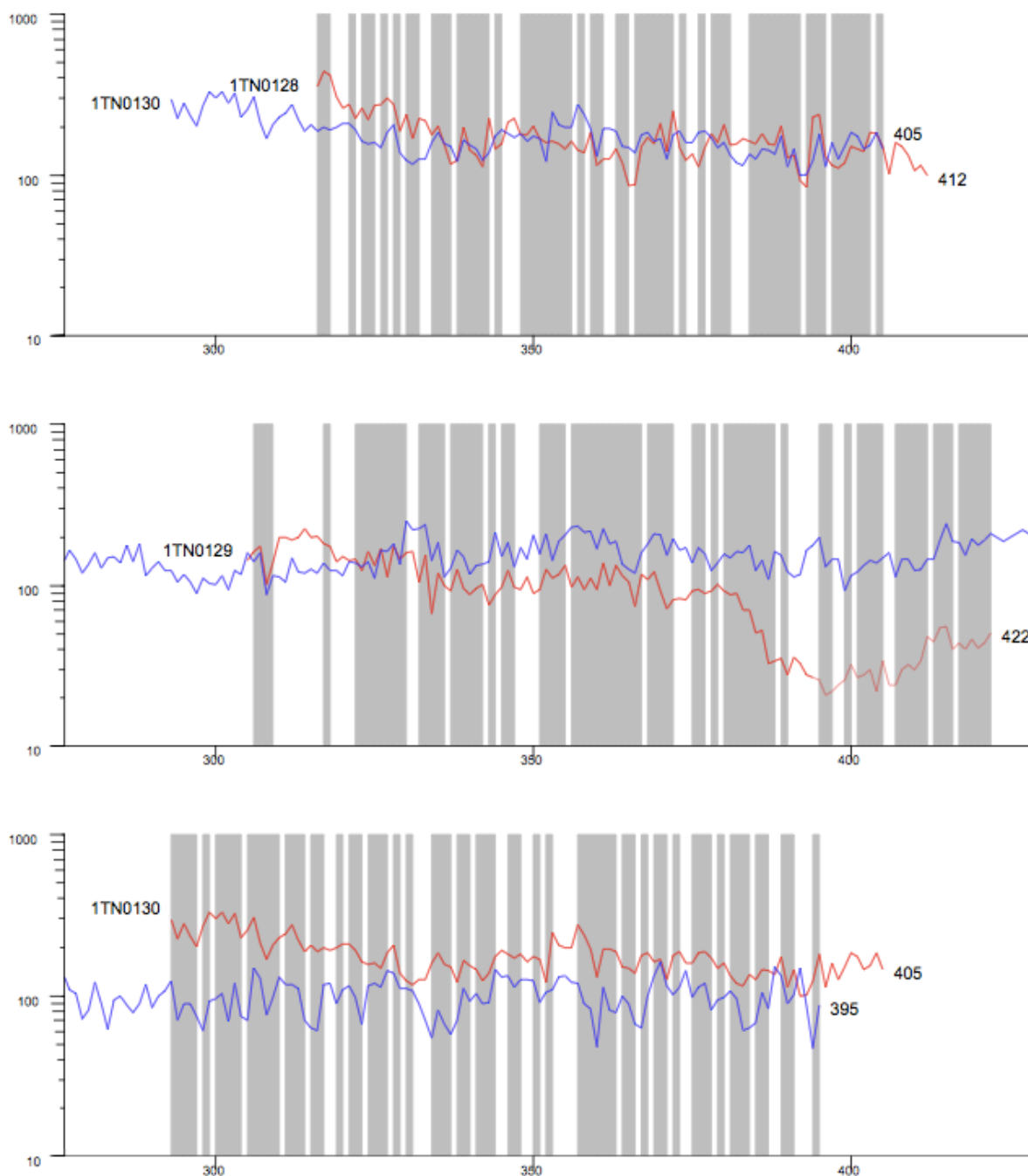
ME-10-ZE-6584	11	2136	Vlak
ME-10-ZE-6585	11	2124	Vlak
ME-10-ZE-6586	11	2124	Vlak
ME-10-ZE-6587	11	2129	Vlak
ME-10-ZE-6588	11	2129	Vlak
ME-10-ZE-6589	11	2128	Vlak
ME-10-ZE-6590	11	2128	Vlak
ME-10-ZE-6591	11	2127	Vlak
ME-10-ZE-6592	11	2127	Vlak
ME-10-ZE-6593	11	2125	Vlak
ME-10-ZE-6594	11	2125	Vlak
ME-10-ZE-6595	11	2126	Vlak
ME-10-ZE-6596	11	2126	Vlak
ME-10-ZE-6597	11	2135	Vlak
ME-10-ZE-6598	11	2135	Vlak
ME-10-ZE-6599	11	2130	Vlak
ME-10-ZE-6600	11	2130	Vlak
ME-10-ZE-6601	11	2137	Vlak
ME-10-ZE-6602	11	2137	Vlak
ME-10-ZE-6603	11	2132	Vlak
ME-10-ZE-6604	11	2132	Vlak
ME-10-ZE-6605	11	2133	Vlak
ME-10-ZE-6606	11	2133	Vlak
ME-10-ZE-6607	11	1977	Coupe
ME-10-ZE-6608	11	1977	Coupe
ME-10-ZE-6609	11	1981	Coupe
ME-10-ZE-6610	11	1981	Coupe
ME-10-ZE-6611	11	1976	Coupe
ME-10-ZE-6612	11	1976	Coupe
ME-10-ZE-6613	11	1980	Coupe
ME-10-ZE-6614	11	1980	Coupe
ME-10-ZE-6615	11	1978, 1979	Coupe
ME-10-ZE-6616	11	1978, 1979	Coupe
ME-10-ZE-6617	11	1986	Coupe
ME-10-ZE-6618	11	1986	Coupe
ME-10-ZE-6619	11	1992	Coupe
ME-10-ZE-6620	11	1992	Coupe
ME-10-ZE-6621	11	1993	Coupe
ME-10-ZE-6622	11	1993	Coupe
ME-10-ZE-6623	11	2000, 2001	Coupe
ME-10-ZE-6624	11	2000, 2001	Coupe
ME-10-ZE-6625	11	2003	Coupe
ME-10-ZE-6626	11	2003	Coupe
ME-10-ZE-6627	11	2021	Coupe

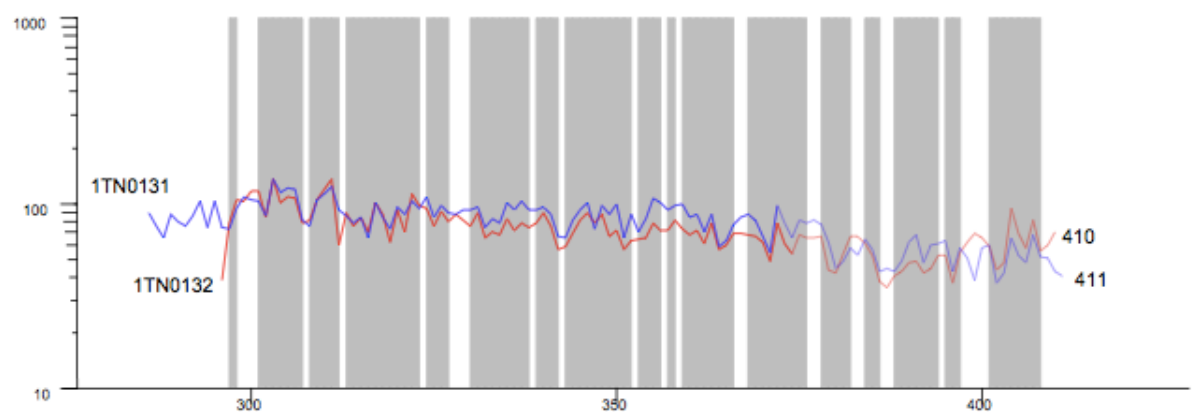
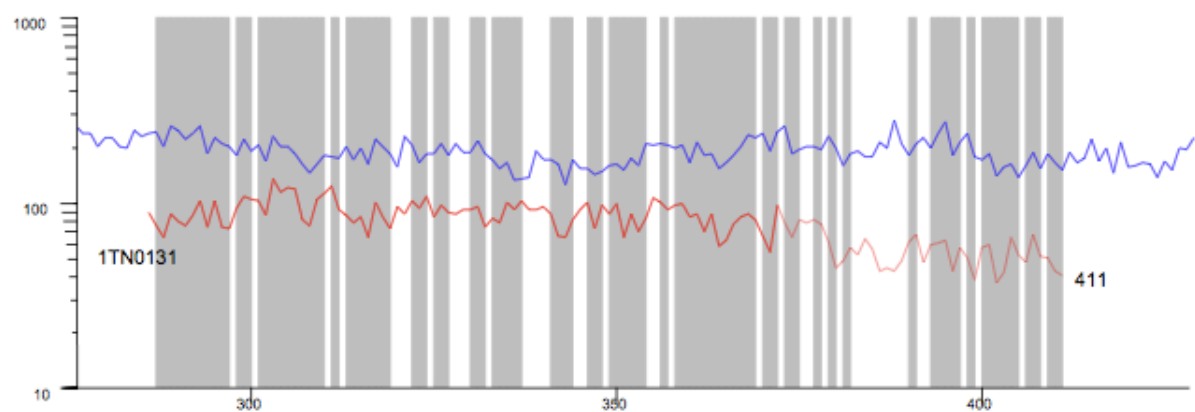
ME-10-ZE-6628	11	2021	Coupe
ME-10-ZE-6629	11	2025	Coupe
ME-10-ZE-6630	11	2025	Coupe
ME-10-ZE-6631	11	1987, 1988	Coupe
ME-10-ZE-6632	11	1987, 1988	Coupe
ME-10-ZE-6633	11	1990	Coupe
ME-10-ZE-6634	11	1990	Coupe
ME-10-ZE-6635	11	1995	Coupe
ME-10-ZE-6636	11	1995	Coupe
ME-10-ZE-6637	11	1997	Coupe
ME-10-ZE-6638	11	1997	Coupe
ME-10-ZE-6639	11	1982	Coupe
ME-10-ZE-6640	11	1982	Coupe
ME-10-ZE-6641	11	2037	Coupe
ME-10-ZE-6642	11	2037	Coupe
ME-10-ZE-6643	11	2023	Coupe
ME-10-ZE-6644	11	2023	Coupe
ME-10-ZE-6645	11	2022	Coupe
ME-10-ZE-6646	11	2022	Coupe
ME-10-ZE-6647	11	1989	Coupe
ME-10-ZE-6648	11	1989	Coupe
ME-10-ZE-6649	11	2045	Coupe
ME-10-ZE-6650	11	2045	Coupe
ME-10-ZE-6651	11	2047	Coupe
ME-10-ZE-6652	11	2047	Coupe
ME-10-ZE-6653	11	2046	Coupe
ME-10-ZE-6654	11	2046	Coupe
ME-10-ZE-6655	11	2043	Coupe
ME-10-ZE-6656	11	2043	Coupe
ME-10-ZE-6657	11	2080	Coupe
ME-10-ZE-6658	11	2080	Coupe
ME-10-ZE-6659	11	2070	Coupe
ME-10-ZE-6660	11	2070	Coupe
ME-10-ZE-6661	11	2126	Coupe
ME-10-ZE-6662	11	2126	Coupe
ME-10-ZE-6663	11	2125	Coupe
ME-10-ZE-6664	11	2125	Coupe
ME-10-ZE-6665	11	2063	Coupe
ME-10-ZE-6666	11	2063	Coupe
ME-10-ZE-6667	11	2049	Coupe
ME-10-ZE-6668	11	2049	Coupe
ME-10-ZE-6669	11	2077	Coupe
ME-10-ZE-6670	11	2077	Coupe

ME-10-ZE-6671	11	2127	Coupe
ME-10-ZE-6672	11	2127	Coupe
ME-10-ZE-6673	11	2128	Coupe
ME-10-ZE-6674	11	2128	Coupe
ME-10-ZE-6675	11	2129	Coupe
ME-10-ZE-6676	11	2129	Coupe
ME-10-ZE-6677	11	2129	Coupe
ME-10-ZE-6678	11	2137	Coupe
ME-10-ZE-6679	11	2137	Coupe
ME-10-ZE-6680	11	2132	Coupe
ME-10-ZE-6681	11	2132	Coupe
ME-10-ZE-6682	11	2133	Coupe
ME-10-ZE-6683	11	2133	Coupe
ME-10-ZE-6684	11	2131	Coupe
ME-10-ZE-6685	11	2131	Coupe
ME-10-ZE-6686	11	2131	Coupe
ME-10-ZE-6687	11	2105	Coupe
ME-10-ZE-6688	11	2105	Coupe
ME-10-ZE-6689	11	2135	Coupe
ME-10-ZE-6690	11	2135	Coupe
ME-10-ZE-6691	11	2028	Coupe
ME-10-ZE-6692	11	2028	Coupe
ME-10-ZE-6693	11	2028	Coupe
ME-10-ZE-6694	11	2118	Coupe
ME-10-ZE-6695	11	2118	Coupe
ME-10-ZE-6696	11	2149	Coupe
ME-10-ZE-6697	11	2149	Coupe
ME-10-ZE-6698	11	2147	Coupe
ME-10-ZE-6699	11	2147	Coupe
ME-10-ZE-6700	11	2146	Coupe
ME-10-ZE-6701	11	2146	Coupe
ME-10-ZE-6702	11	2148	Coupe
ME-10-ZE-6703	11	2148	Coupe
ME-10-ZE-6704	11	2078	Coupe
ME-10-ZE-6705	11	2078	Coupe
ME-10-ZE-6706	11	2076	Coupe
ME-10-ZE-6707	11	2076	Coupe
ME-10-ZE-6708	11	2181	Coupe
ME-10-ZE-6709	11	2181	Coupe

Bijlage 4 Dendrochronologische metingen

Hieronder worden de metingen afgebeeld; gedateerde metingen met de referentiecurve die in tabel 13.3 (bij onderlinge synchronisaties) of 13.4 is aangegeven en ongedateerde metingen zonder referentiecurve. Op de x-as staan de jaartallen en op de y-as de jaarringbreedtes op een logaritmische schaal, uitgedrukt in 1/00 mm (10 µm).





Bijlage 5 Resultaten waardering macroresten

Meldert-Zelemsebaan, resultaten inventarisatie macroresten, alle resten onverkoold tenzij anders vermeld. Verklaring: (v) = verkoold, (o) = onverkoold, g = geen, w = weinig (1-5), r = redelijk (6-20), v = veel (20+), S = Slecht, M = Matig, R = Redelijk, G = Goed, # = aantal.

326

Bijlage 6 Resultaten waardering pollen

Meldert-Zelemsebaan, resultaten waardering pollen. Verklaring: (+) = enkele aanwezig, + = aanwezig, ++ = regelmatig aanwezig, +++ = dominant aanwezig, (B) = pollentype Beug, T... = type non pollen-palynomorf Van Geel.

spoor	275	275	275	597	597	597	597	597	597	597	597
laag	4a	5	5	4	5	5	6	11	13	15	15
profiel	.	.	.	1	1	1	2	2	2	2	2
diepte in cm vanaf top	39-40 cm	25-26 cm	24-25 cm	48-49 cm	54-55 cm	3-4 cm	31-32 cm	44-45 cm	55-56 cm		
labnummer	BX4083	BX4084	BX4085	BX4086	BX4087	BX4088	BX4089	BX4090	BX4091		
rijksdom	goed	goed	arm	zeer arm	zeer arm	zeer arm	zeer arm	zeer arm	arm	arm	arm
conservatie	redelijk	goed	mix	redelijk	redelijk	redelijk	redelijk	redelijk	redelijk	redelijk	redelijk
telbaar	ja	ja	lastig	nee	nee	nee	nee	nee	nee	nee	nee
analyse	ja	ja	ja?	nee	nee	nee	nee	nee	nee	nee	nee
globale AP/INAP	40/60	50/50	25/75	?	?	?	?	?	?	?	?
bomen en struiken (drogere gronden)	+	+	(+)
bomen (natere gronden)	+	+
boskruiden	+	+
cultuurgewassen	+	+	(+)
<i>Hordeum/Triticum</i> -type	.	+
<i>Cerealia</i> -type	+	.	(+)
<i>Secale cereale</i>	+	+	(+)
akkeronkruiden en ruderalen	+	+	++	+	+	+	+	+	+	+	+
graslandplanten en kruiden (algemeen)	+	+	+	+	+	+	+	+	+	+	+
moeras- en oeverplanten	+	+	+	+	+	+	+	+	+	+	+
microfossielen van open zoet water	+	+	+	+	+	+	+	+	+	+	+
sporenplanten	+	+	+	+	+	+	+	+	+	+	+
heide en hoogveenplanten	+	+	+	+	+	+	+	+	+	+	+
<i>Calluna vulgaris</i>	++	++	+	+	+	+	+	+	+	+	+
mestschimmels	+	+	+	+	+	+	+	+	+	+	+
houtskool	++	++	+++	++	++	++	++	++	++	++	++
hout- en organische resten	+	+	+

Bijlage 7 Resultaten analyse macroresten

Meldert-Zelemsebaan, resultaten analyse macroresten. Alle resten zijn onverkoold, tenzij anders vermeld. Verklaring: (v)=verkoold, (m)=gemineraliseerd, cf.= *confer* (gelijkend op). e = 1-10, + = 10-50, ++ = 50-100, +++ = 100-1000, ++++ = 1000+, WP = waterput.

vondst spoor	467 275	468 275	470 597	
laag	4a	5		
context	WP	WP	K	
datering	>411	>411	ROM?	
veldgewassen				
Cerealia indet (v)	1	2	.	Gerst
Hordeum vulgare (v)	4	2	1	Pluimgierst
Panicum miliaceum (v)	1	.	1	Pluimgierst
Panicum miliaceum, kaf	+++	+++	.	Rogge
Secale cereale (v)	5	3	3	Rogge
Secale cereale, aarspiselement (v)	1	4	.	
tuin gewassen				
Beta vulgaris	1	.	.	Biet
Cannabis sativa	.	1	.	Hennep
Coriandrum sativum	.	2	.	Koriander
Daucus carota	+	18	.	Peen
Nepeta cataria	.	2	.	Kattenkruid
Reseda luteola	1	.	.	Wouw
bosfruit				
Corylus avellana, schaalfragment	5	7	.	Hazelnoot
Corylus avellana, schaalfragment (v)	.	1	.	Hazelnoot
Fagus sylvatica, napiesfragment	.	2	.	Beuk
Fagus sylvatica, schaalfragment	+	+	.	Beuk
Quercus, bladfragment	.	e	.	Eik
Quercus, schaalfragment	.	1	.	Eik
cf. Rubus, stekel	.	2	.	Braam?
Rubus fruticosus	10	12	.	Gewone braam
Rubus idaeus	6	10	.	Framboos
Sambucus nigra	1	.	.	Gewone vlier
Planten van voedselrijke akkers				
Chenopodium polyspermum	4	+	.	Korrelganzenvoet

vondst	467	468	470
spoor	275	275	597
laag	4a	5	
context	WP	WP	K
datering	>411	>411	ROM?
Fallopia convolvulus	2	2	. Zwaluw tong
Persicaria maculosa	.	2	. Perzikkruid
Polygonum aviculare	4	10	. Gewoon varkensgras
Solanum nigrum	5	+	. Zwarte en Bekierde nachtschade
Solanum nigrum (v)	2	.	. Zwarte en Bekierde nachtschade
Stellaria media	3	+	. Vogelmuur
Thlaspi arvense	.	10	. Witte krodde
Vicia hirsuta (v)	1	.	. Ringelwikke
Planten van kalkarme akkers			
Echinochloa crus-galli (v)	.	.	. Hanenpoot
Raphanus raphanistrum	1	.	. Knopherik
Raphanus raphanistrum (v)	.	.	. Knopherik
Rumex acetosella	+	10	. Schapenzuring
Rumex acetosella (v)	2	2	. Schapenzuring
Setaria (v)	3	.	. Naalbaar
Spergula arvensis var. arvensis	.	2	. Gewone spurrie
Spergula arvensis var. arvensis (v)	1	.	. Gewone spurrie
Vicia sativa cf. var. nigra (v)	.	2	. Smalle wikke?
Planten van voedselrijke ruigten			
Chenopodium album	+++	+++	. Melganzenvoet
Chenopodium album (v)	2	1	. Melganzenvoet
Crepis capillaris	1	2	. Klein streepzaad
Linaria vulgaris	.	2	. Vlasbekje
Persicaria lapathifolia	2	4	. Bekierde duizendknoop
Persicaria lapathifolia (v)	14	5	. Bekierde duizendknoop
Persicaria lapathifolia/maculosa (v)	.	.	. Bekierde duizendknoop/Perzikkruid
Planten van kalkrijke ruigten			
Hyoscyamus niger	1	2	. Bilzekruid
Planten van humeuze ruigten			
Conium maculatum	10	+	. Gevlekte scheerling
Planten van storingsmilieus			
Carex otrubae	1	.	. Valse voszegge

331

vondst	467	468	470
spoor	275	275	597
laag	4a	5	
context	WP	WP	K
datering	>411	>411	ROM?
Calluna vulgaris	1	.	Struikhei
Calluna vulgaris, bloemdek	2	2	Struikhei
Carex pilulifera	.	4	Pilzegge
Juncus squarrosus	e	+	Trekrus
Potentilla erecta	1	22	Tormentil
Planten van voedselrijke zomen			
Clinopodium vulgare	1	1	Borstelkrans
Galeopsis bifida-type	.	4	Gespleten hennepnetel-type
Galium aparine (v)	1	.	Kleefkruid
Torilis japonica	+	+++	Heggendoornzaad
Urtica dioica	+++	+++	Grote brandnetel
Urtica dioica (v)	5	4	Grote brandnetel
Planten van bossen			
Alnus glutinosa	.	6	Zwarte els
Betula pendula/pubescens	+	+	Ruwe/Zachte berk
Carpinus betulus	.	2	Haagbeuk
Niet ingedeeld			
Bryophyta excl. Sphagnum	x	.	mossen
Galium (v)	.	.	Lievevrouwebedstro
indet (v)	1	.	niet determineerbaar
Lamiaceae	.	1	Lipbloemenfamilie
Luzula	1	.	Veldbies
Rumex conglomeratus/sanguinea, bloemdek	1	.	Kluwen/Bloedzuring
Viola	+	+	Violetje
Dierlijke resten			
Vertebrata, bot	.	.	gewervelden, bot
Insecta, skeletdeel	x	x	insecten
Acari, skeletdeel	x	x	mijten
Porifera, gemmula	.	x	sponzen
Archeologische resten			
aardewerk	x	x	.
hout	x	x	.

vondst	467	468	470
spoor	275	275	597
laag	4a	5	
context	WP	WP	K
datering	>411	>411	ROM?
houlskool	+++	+	+++
toebereid voedsel?	1	2	.
klontjes mest	.	2	.
oersteen?	x	.	.

Meldert-Zelemsebaan, lijst van verschillende gebruikte vormtypen en de bijbehorende soorten.

type	soorten
Carex disticha-type	C. disticha, C. preacox, C. ovalis, C. elongata
Galeopsis bifida-type	G. bifida, G. pubescens, G. speciosa, G. tetrahit
Juncus articulatus-type	J. articulatus, J. acutiflorus, j. anceps, J. bulbosus
Juncus effusus-type	J. effusus, J. conglomeratus, J. glaucus, J. macer
Ranunculus repens-type	R. acris, R. bulbosus, R. lingua, R. repens
Rumex crispus-type	R. crispus, R. aquaticus, R. longifolius, R. salicifolius, R. sanguineus, R. conglomeratus, R. patienta, R. obtusifolius

Bijlage 8 Resultaten analyse pollen- en microfossielenonderzoek

Meldert-Zelemsebaan, resultaten van pollen- en microfossielenonderzoek. Verklaring: + = aanwezig buiten telling, cf. = gelijkend op, (B) = pollentype Beug, (P) = pollentype Punt, (MW) = pollentype Moore & Webb, T... = type non pollen-palynomorf Van Geel.

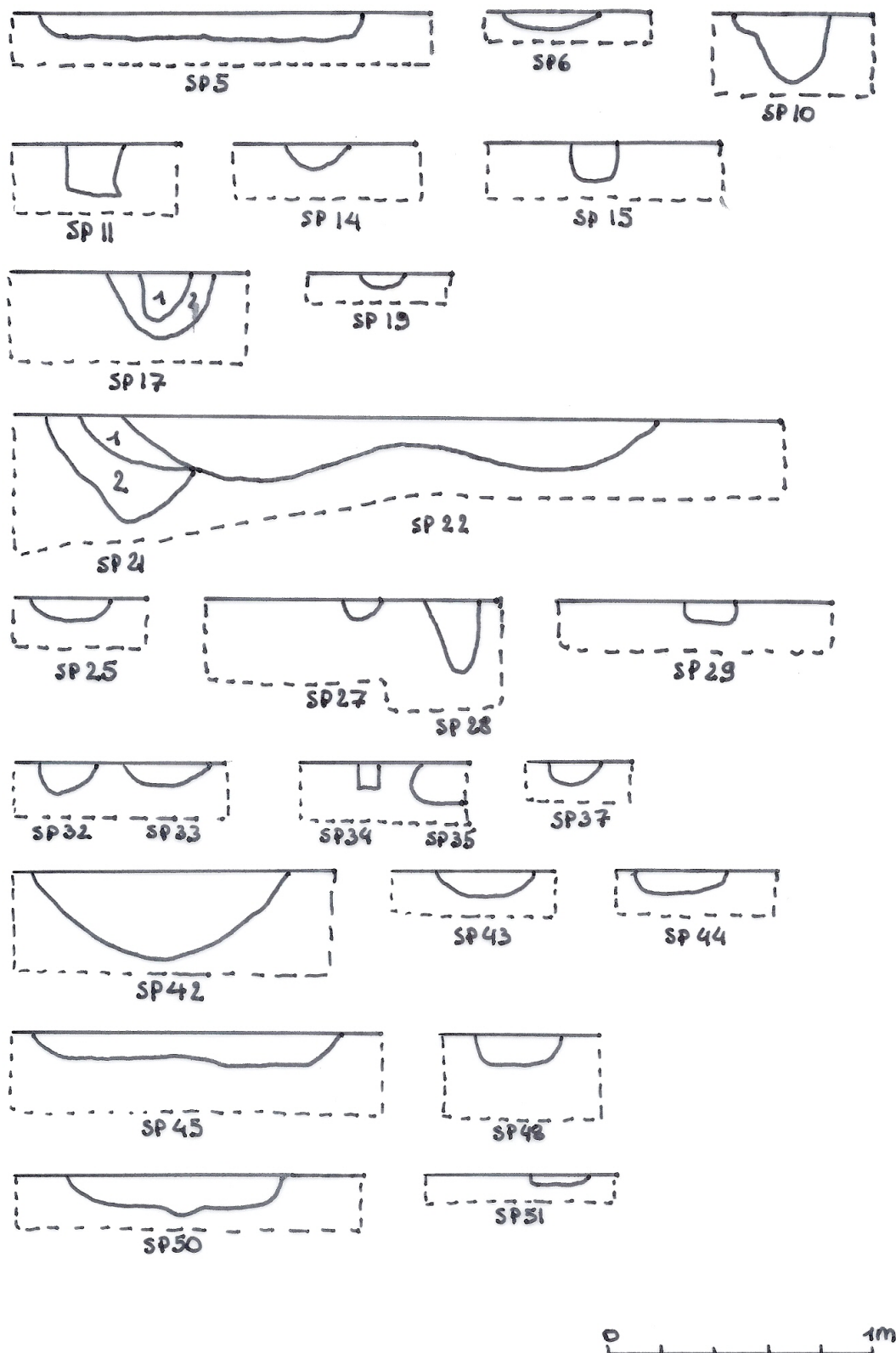
336

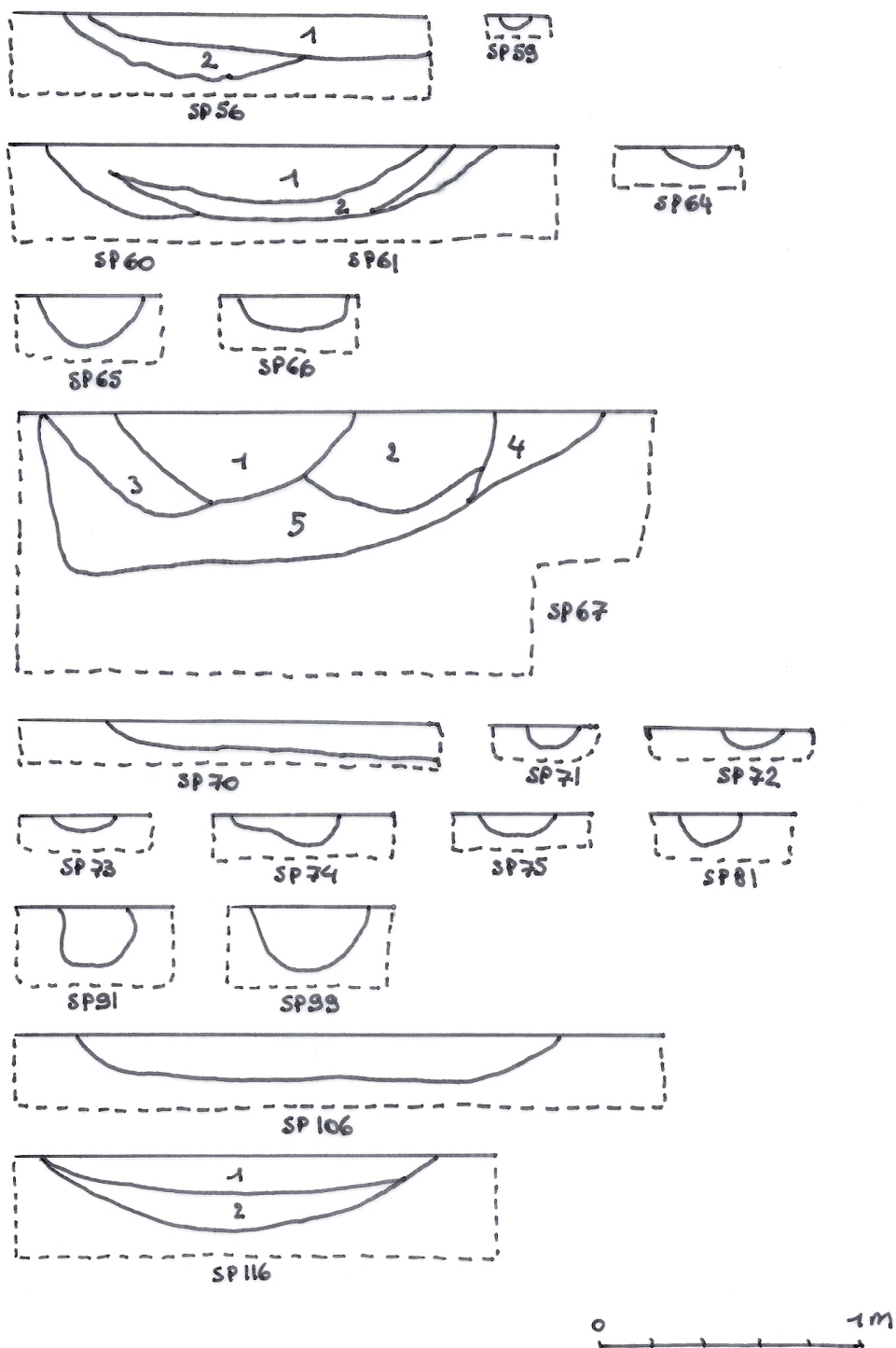
337

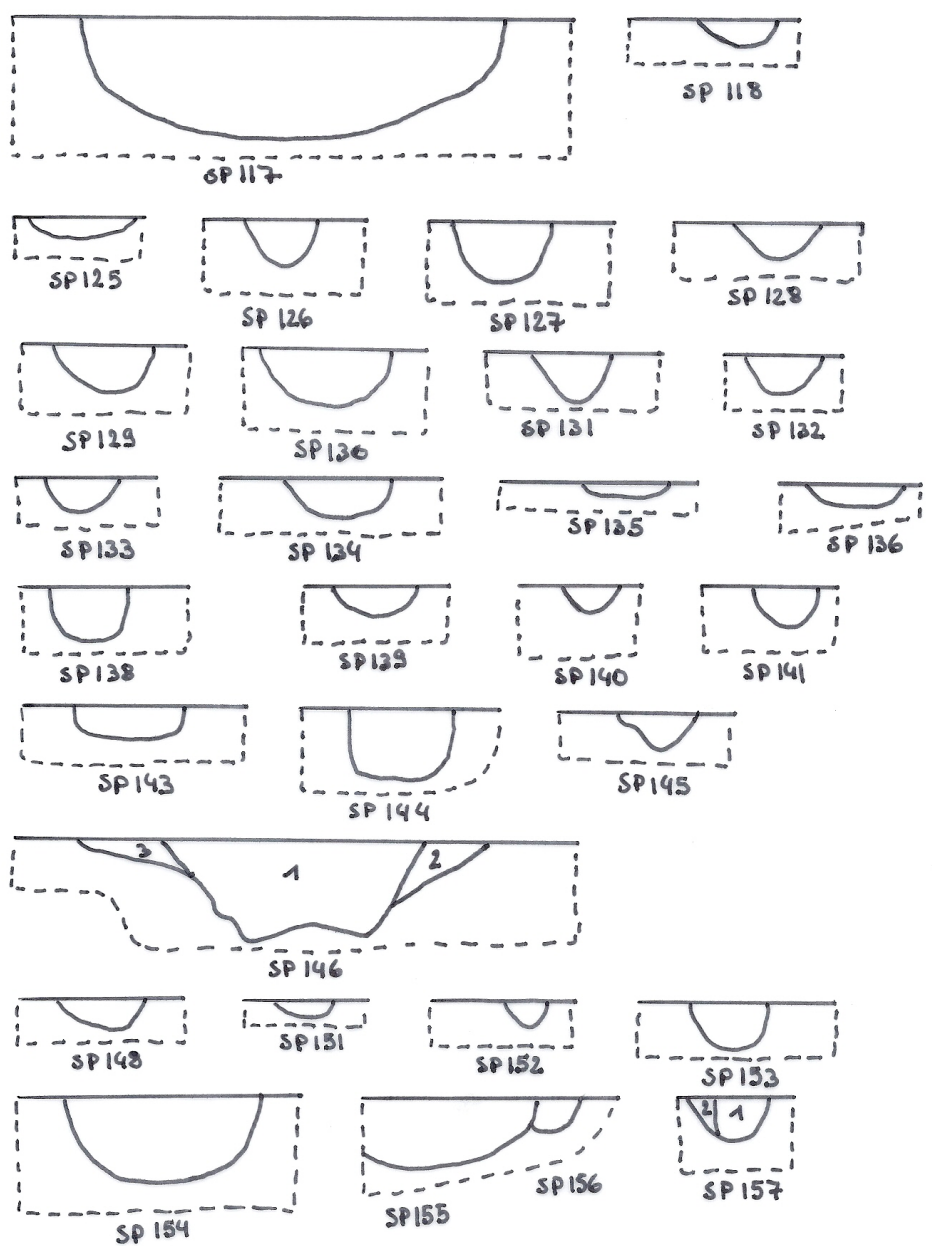
338

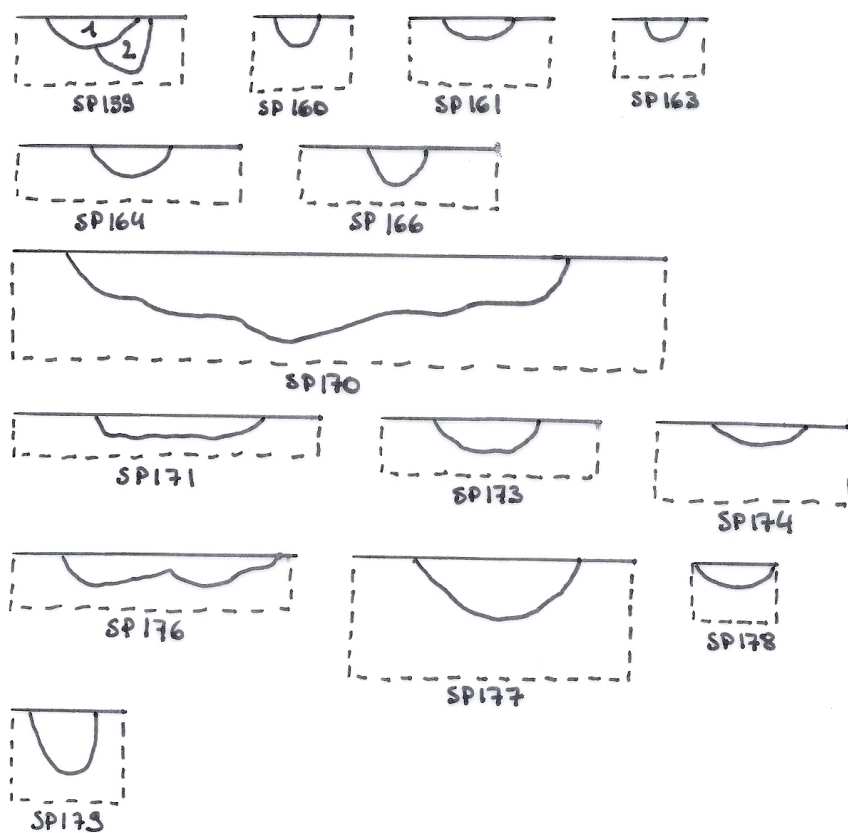
339

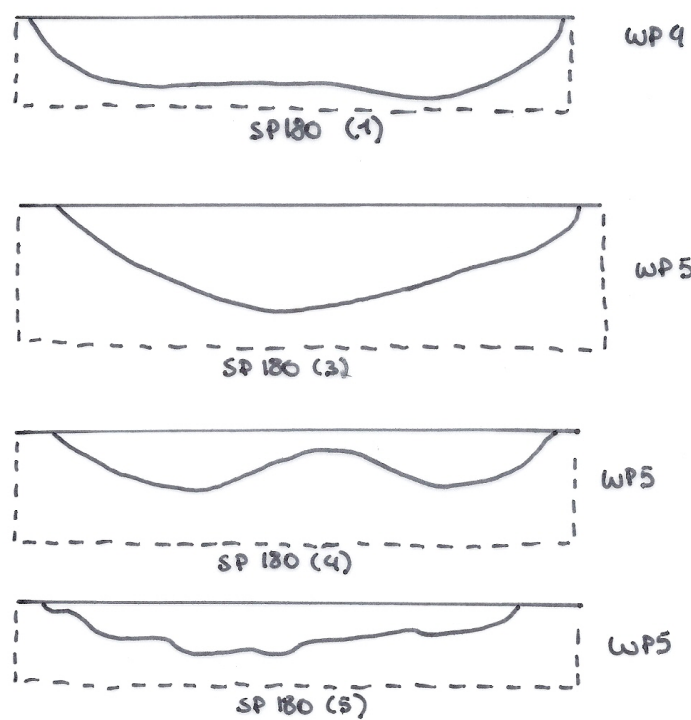
Bijlage 9 Profieltekeningen





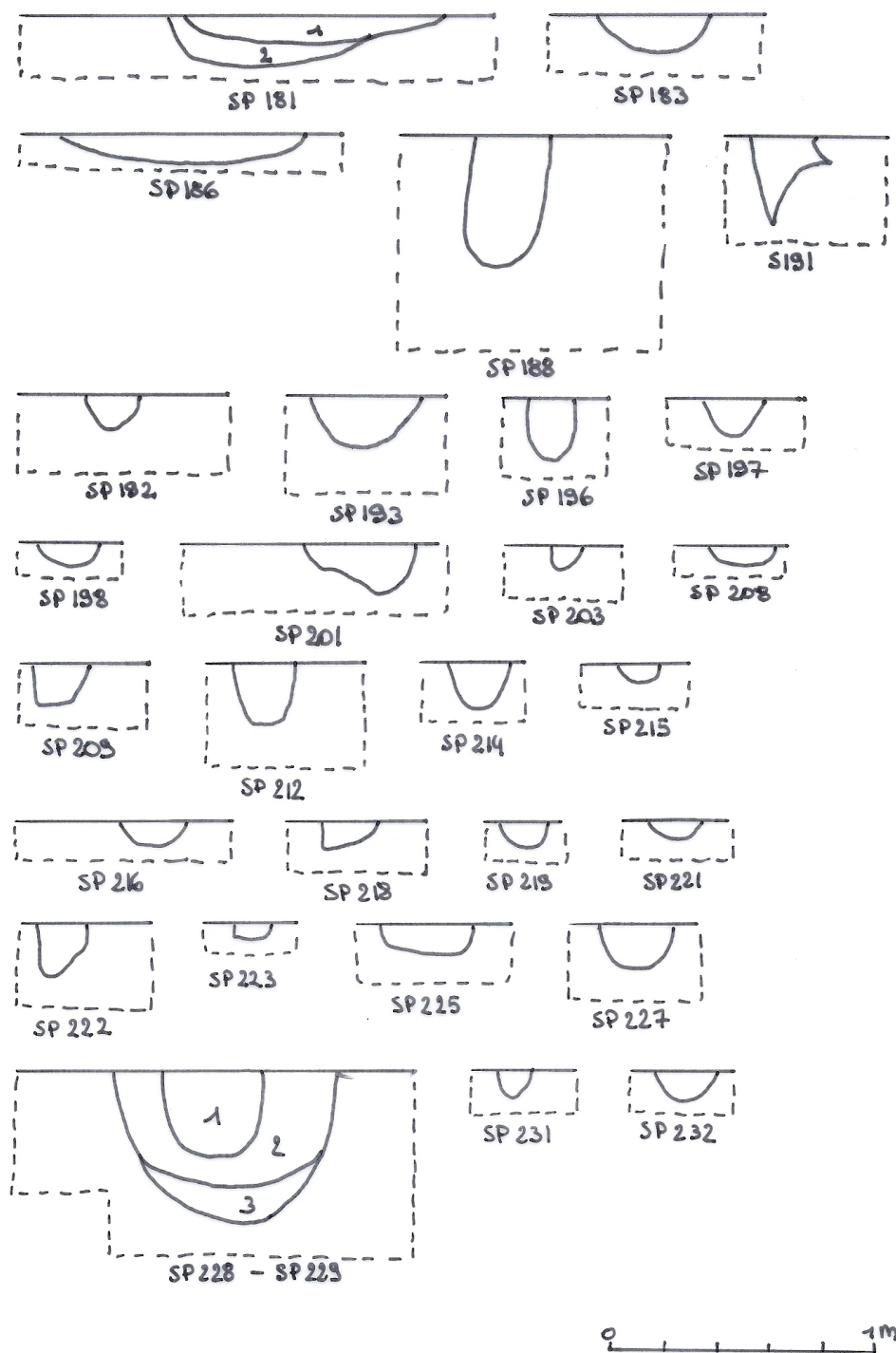


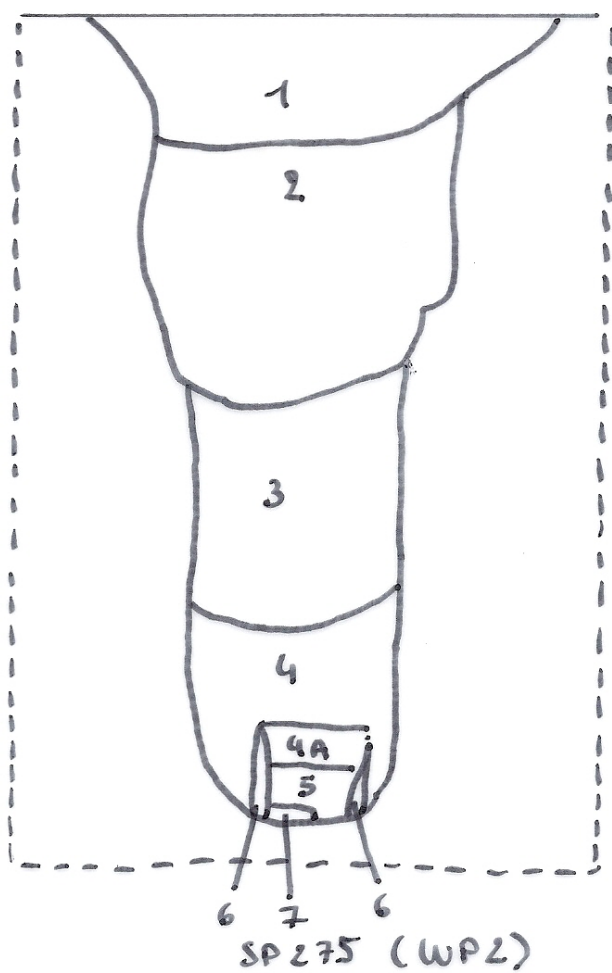




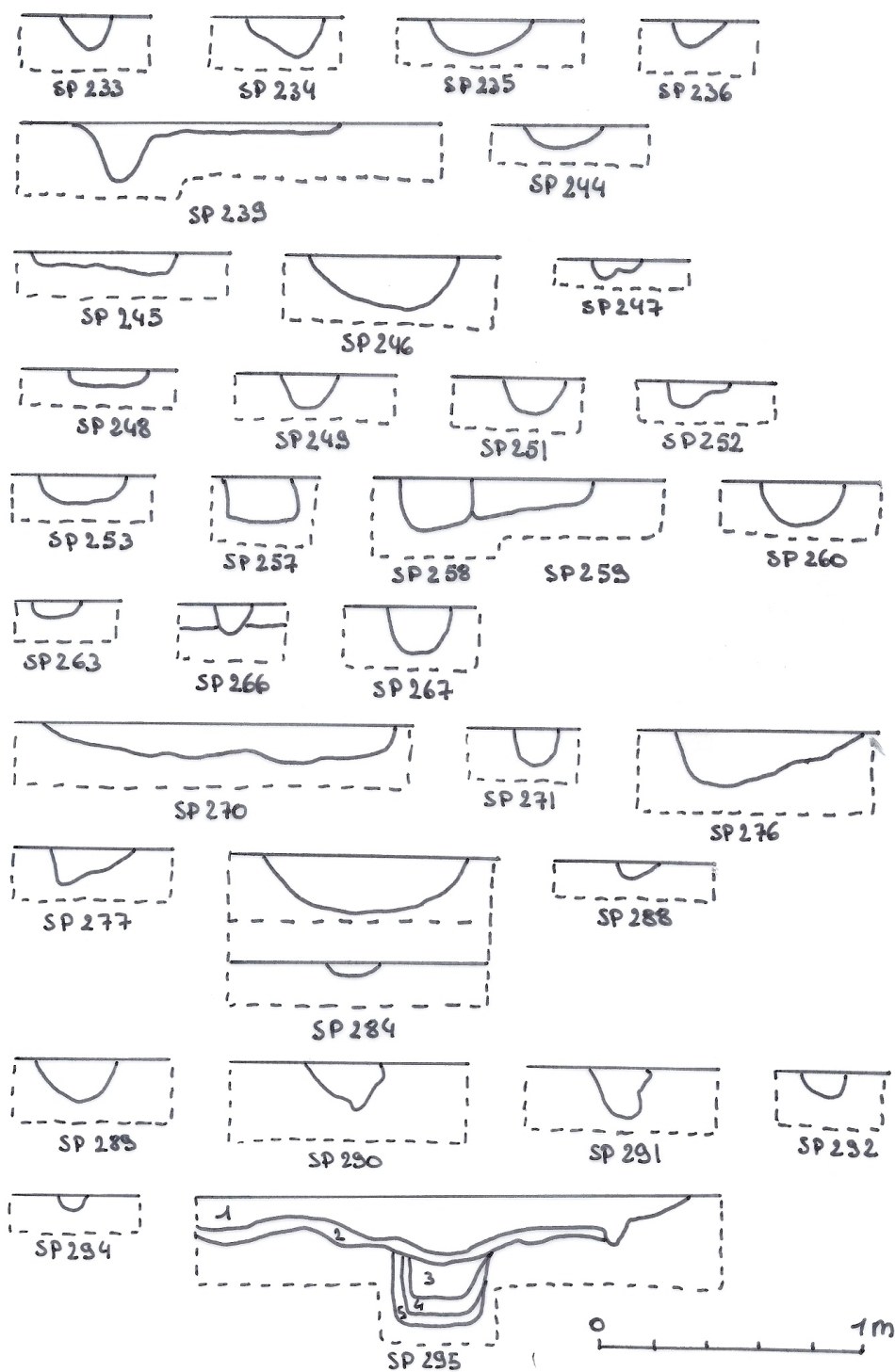
0 1m



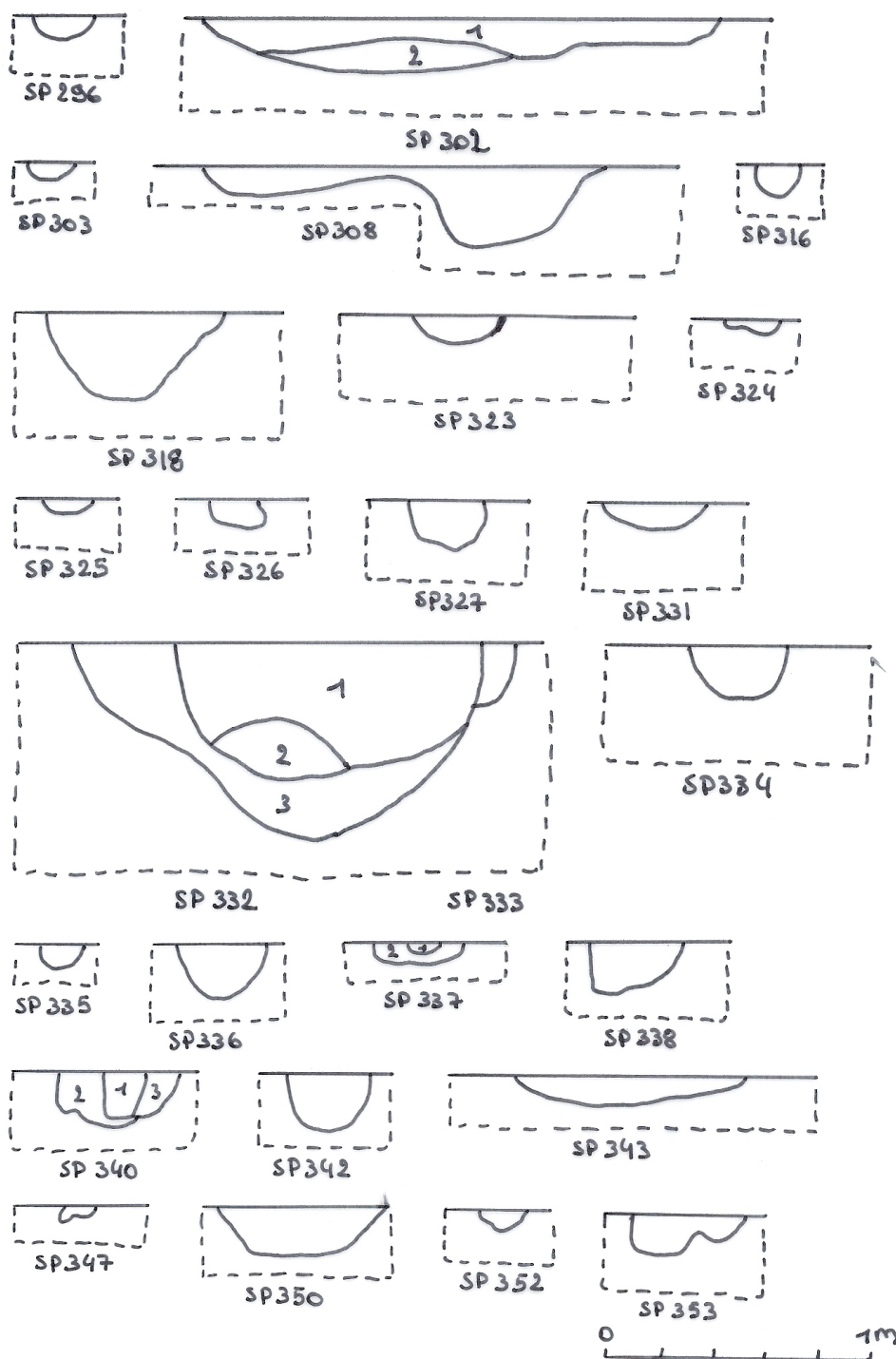


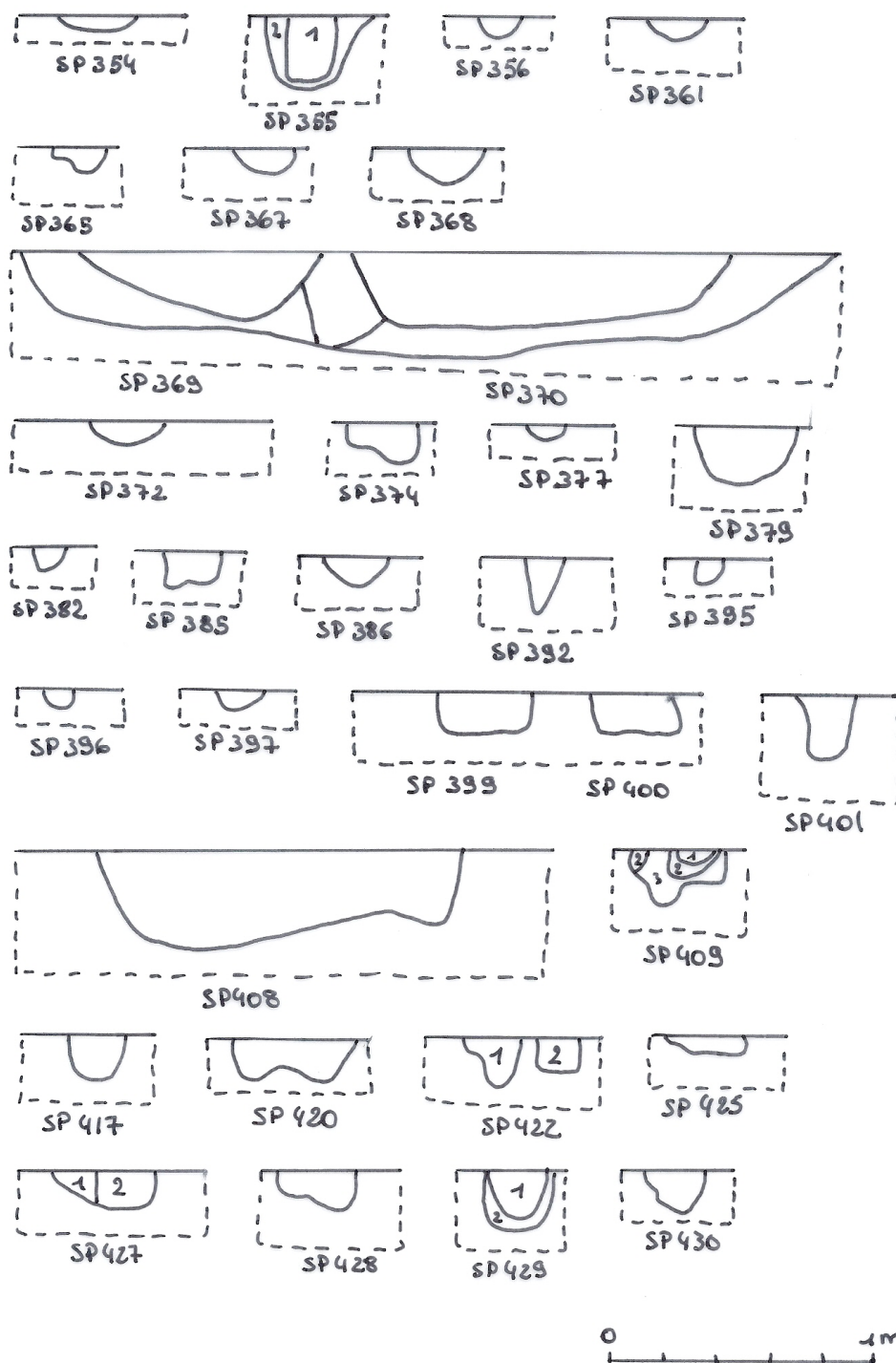


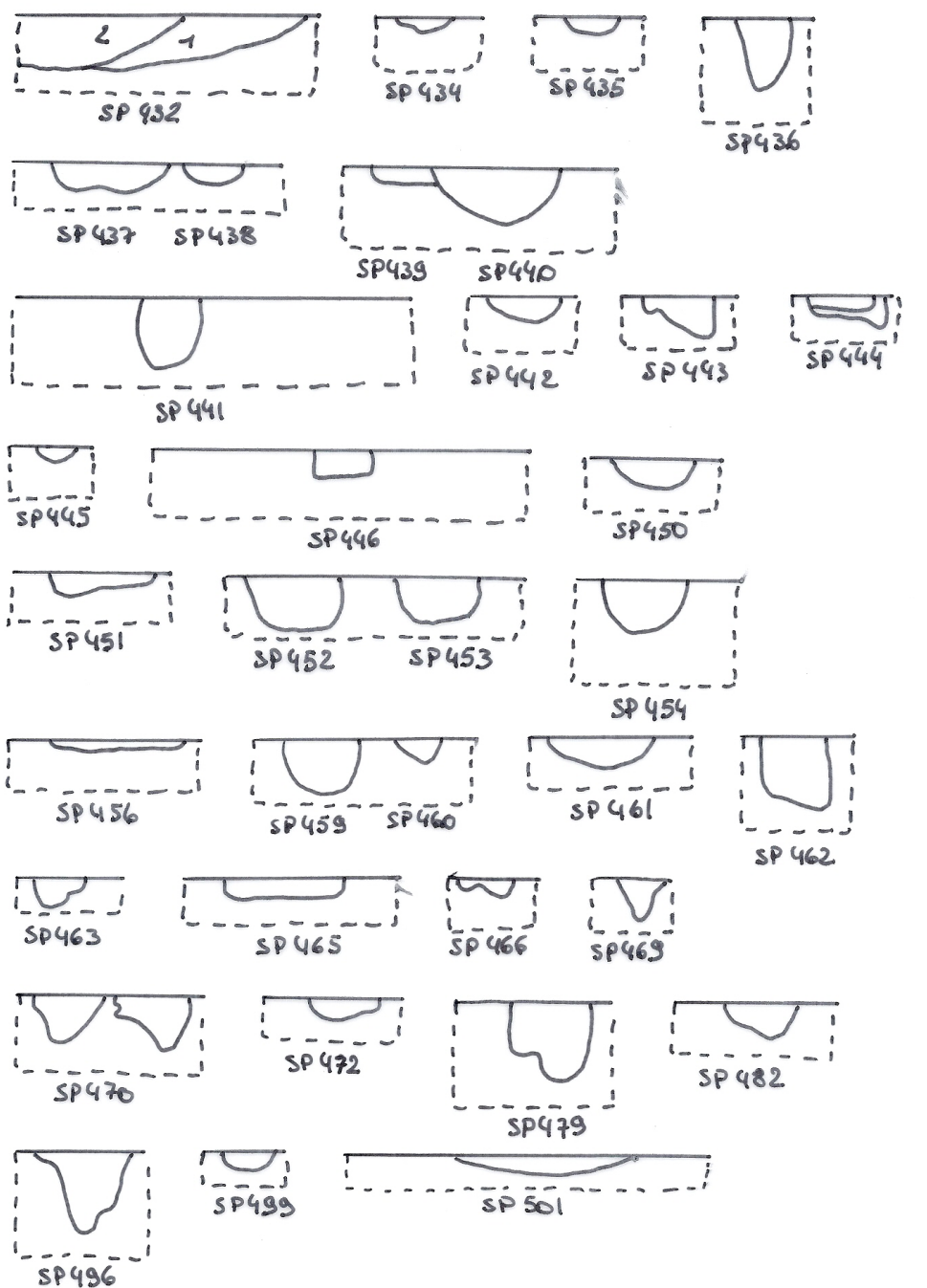
0 1m



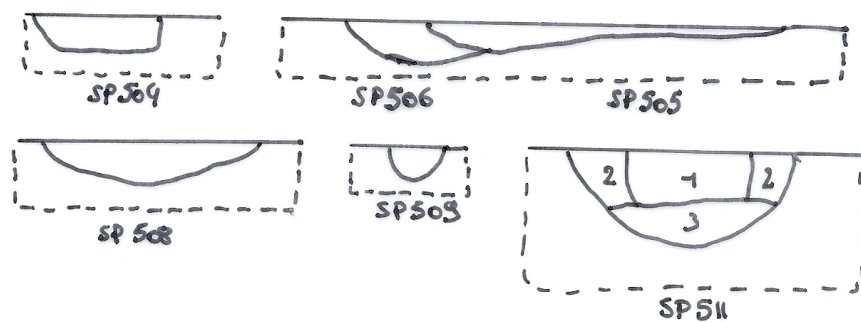


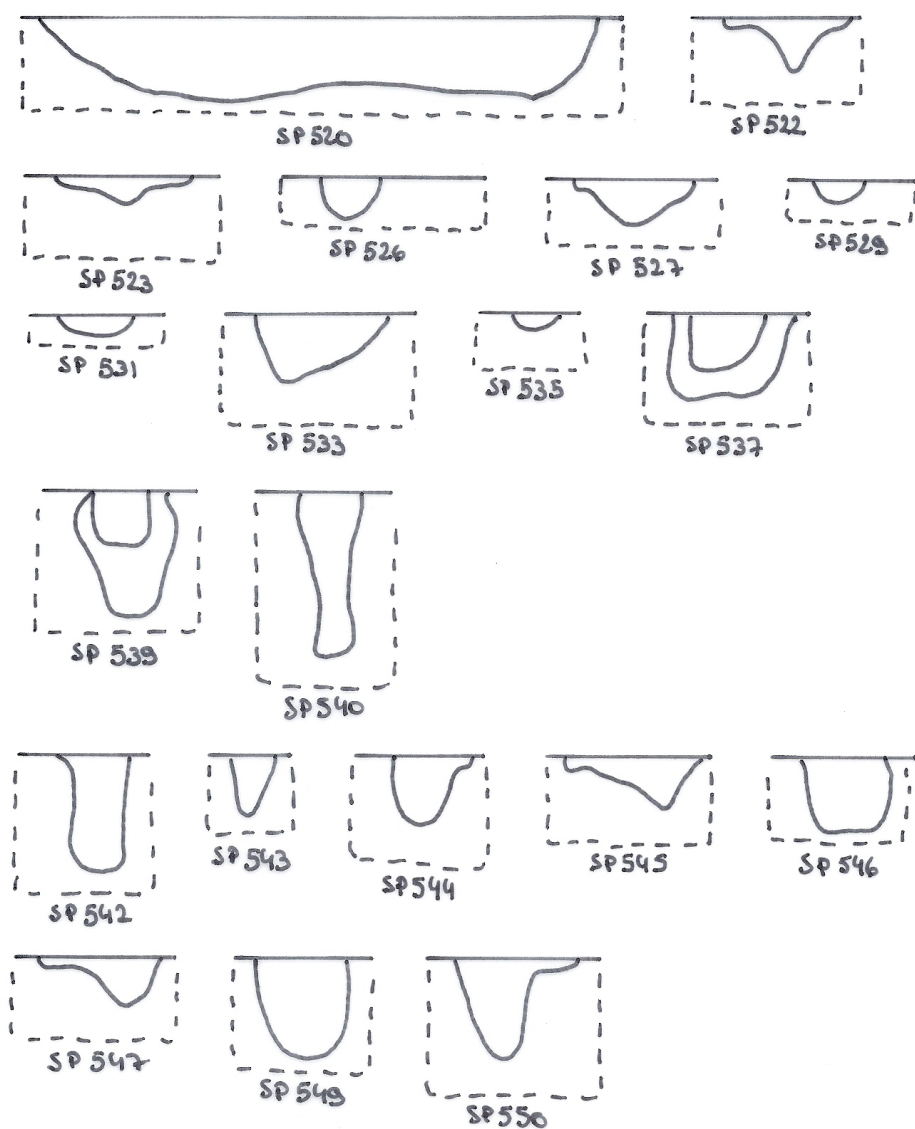


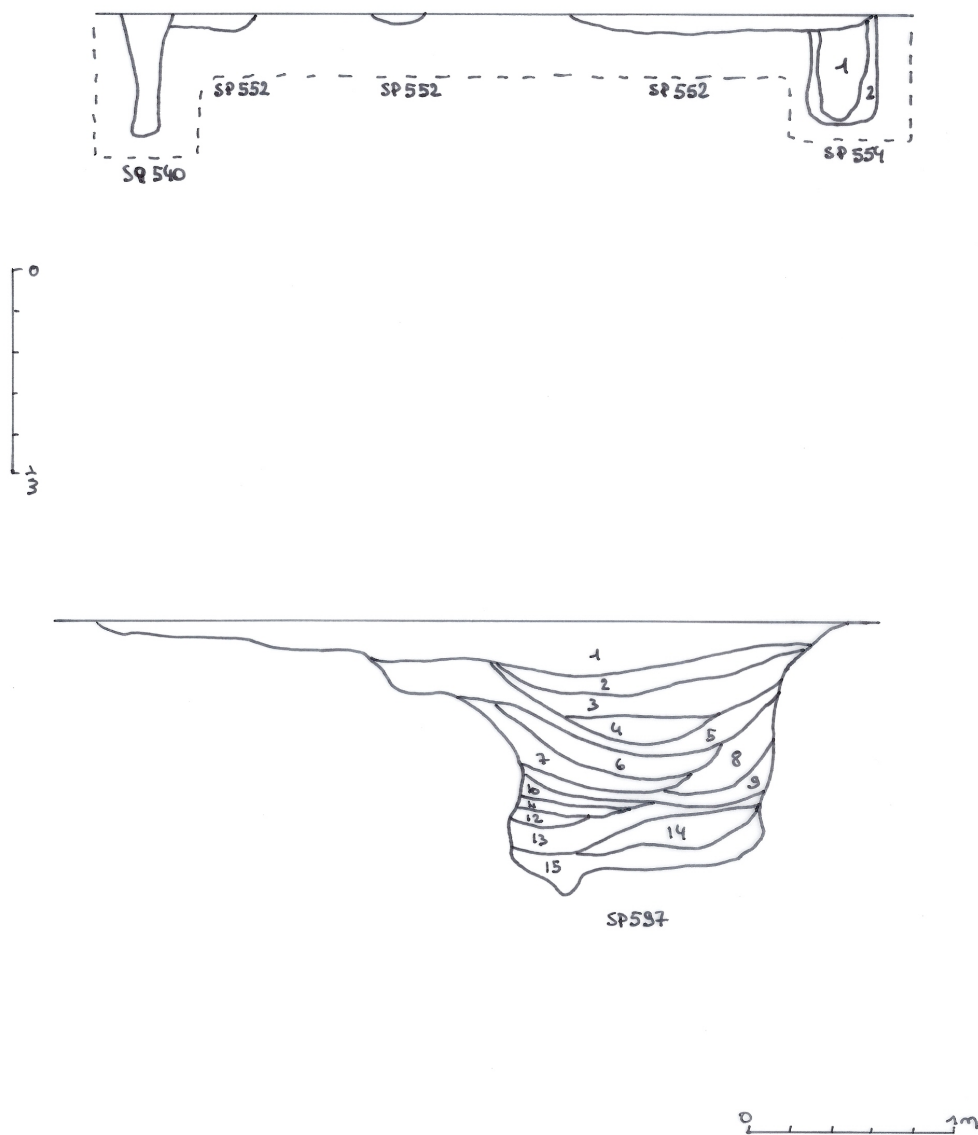


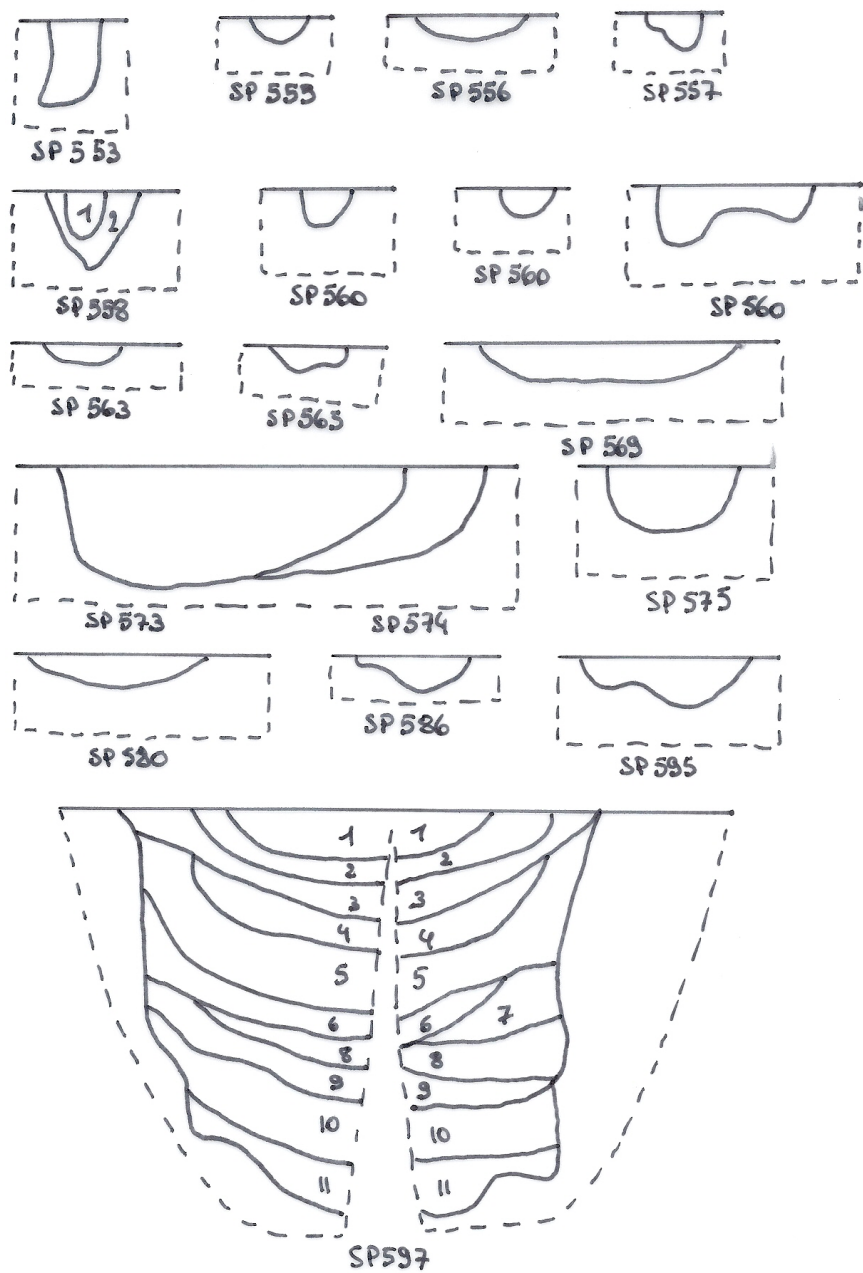


0 1m

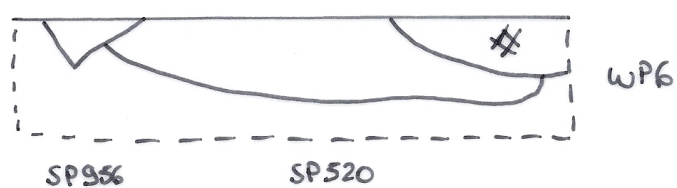
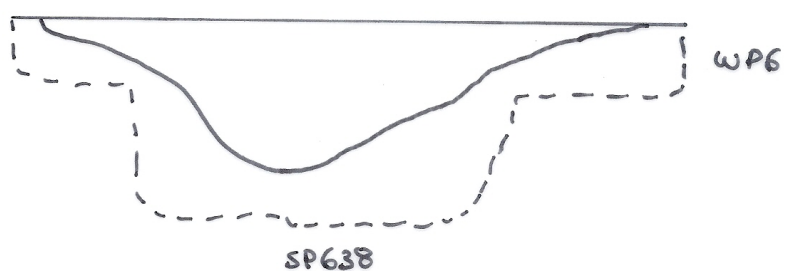


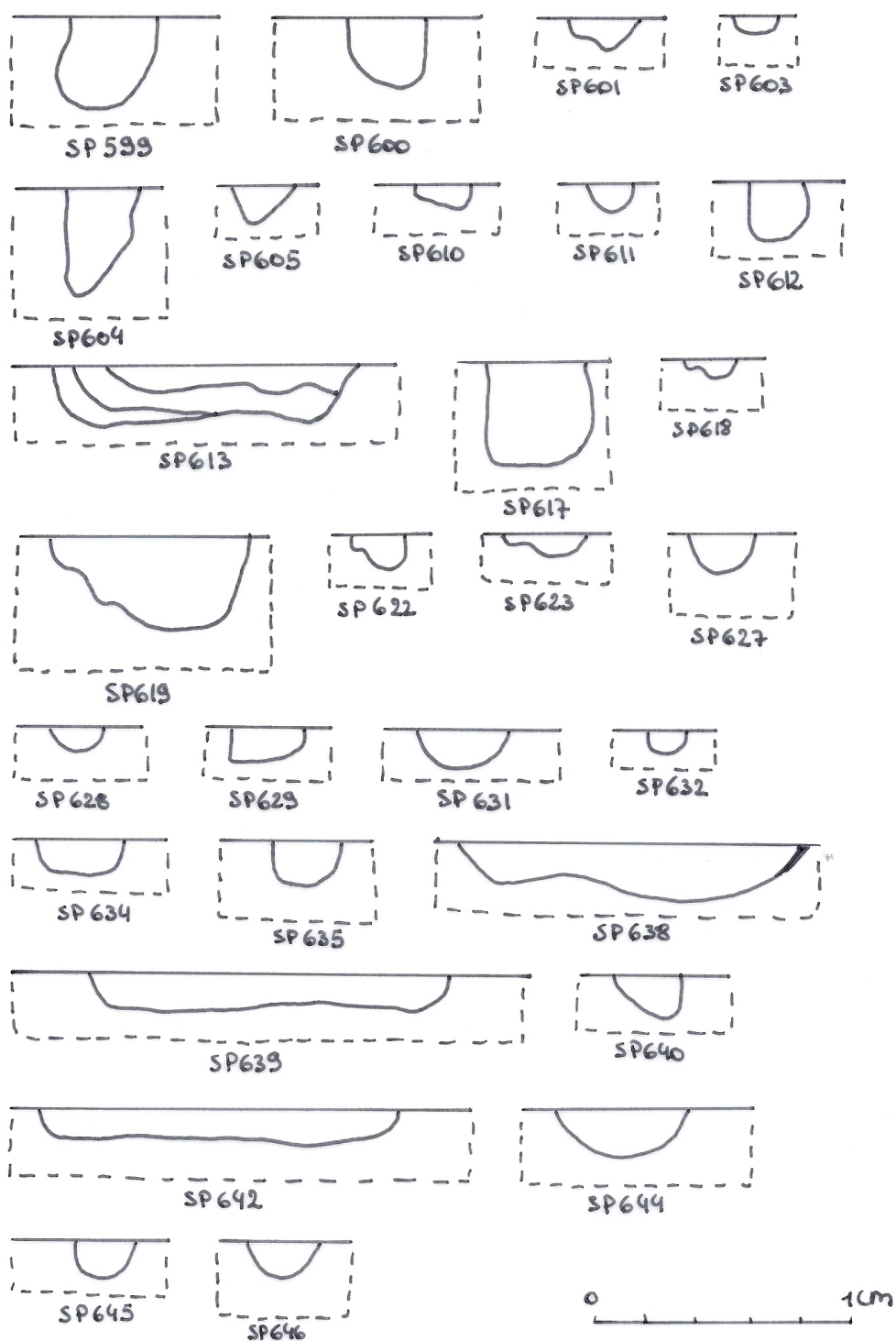


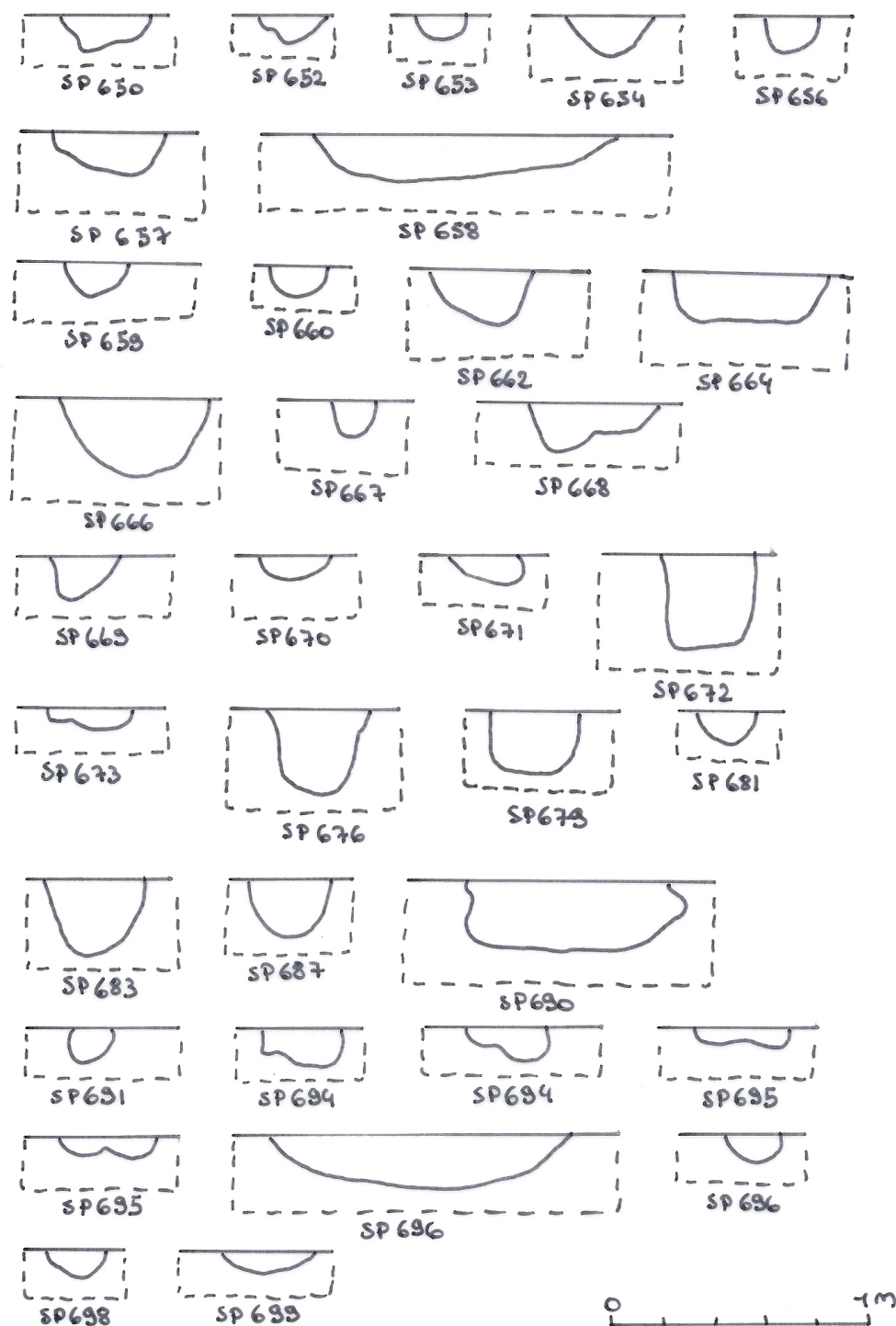


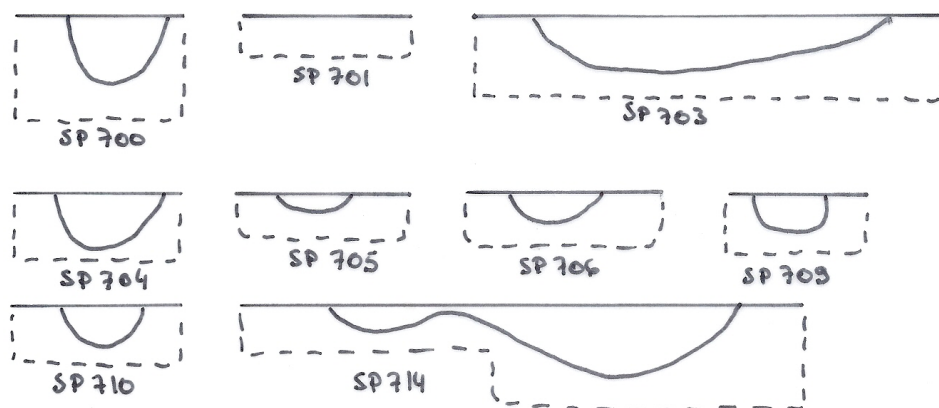


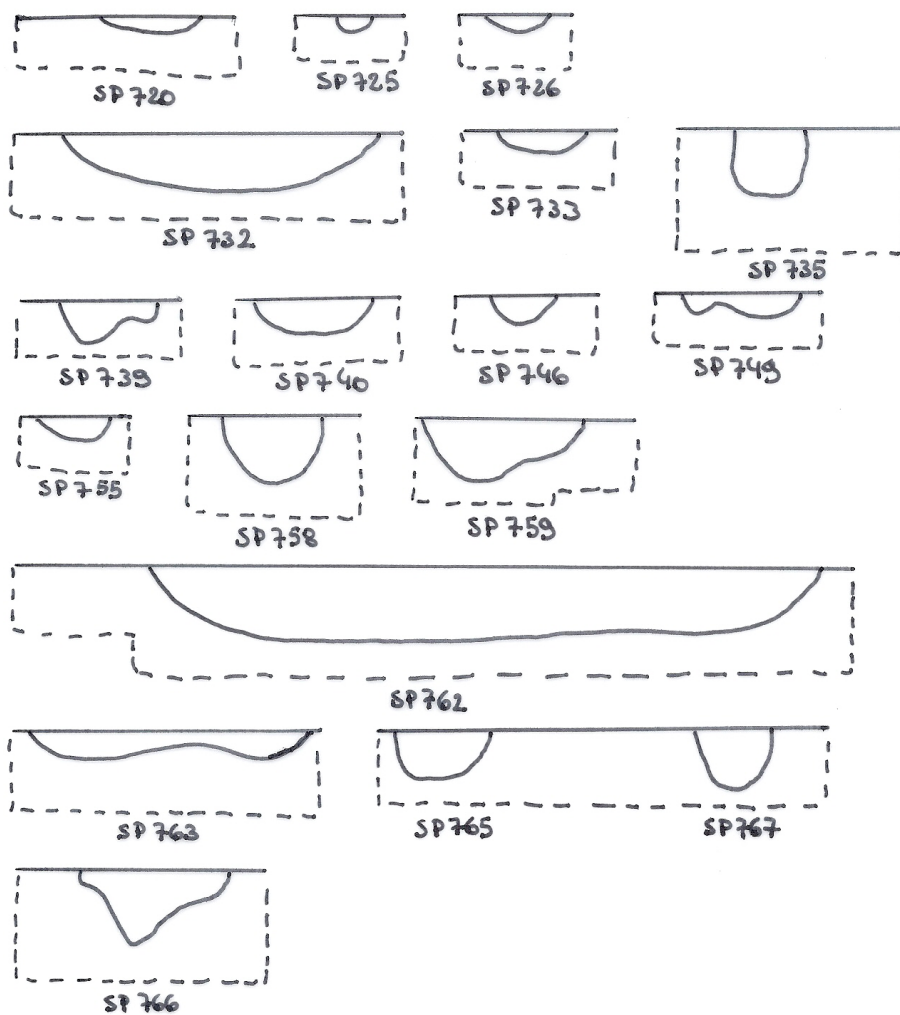
0 1m



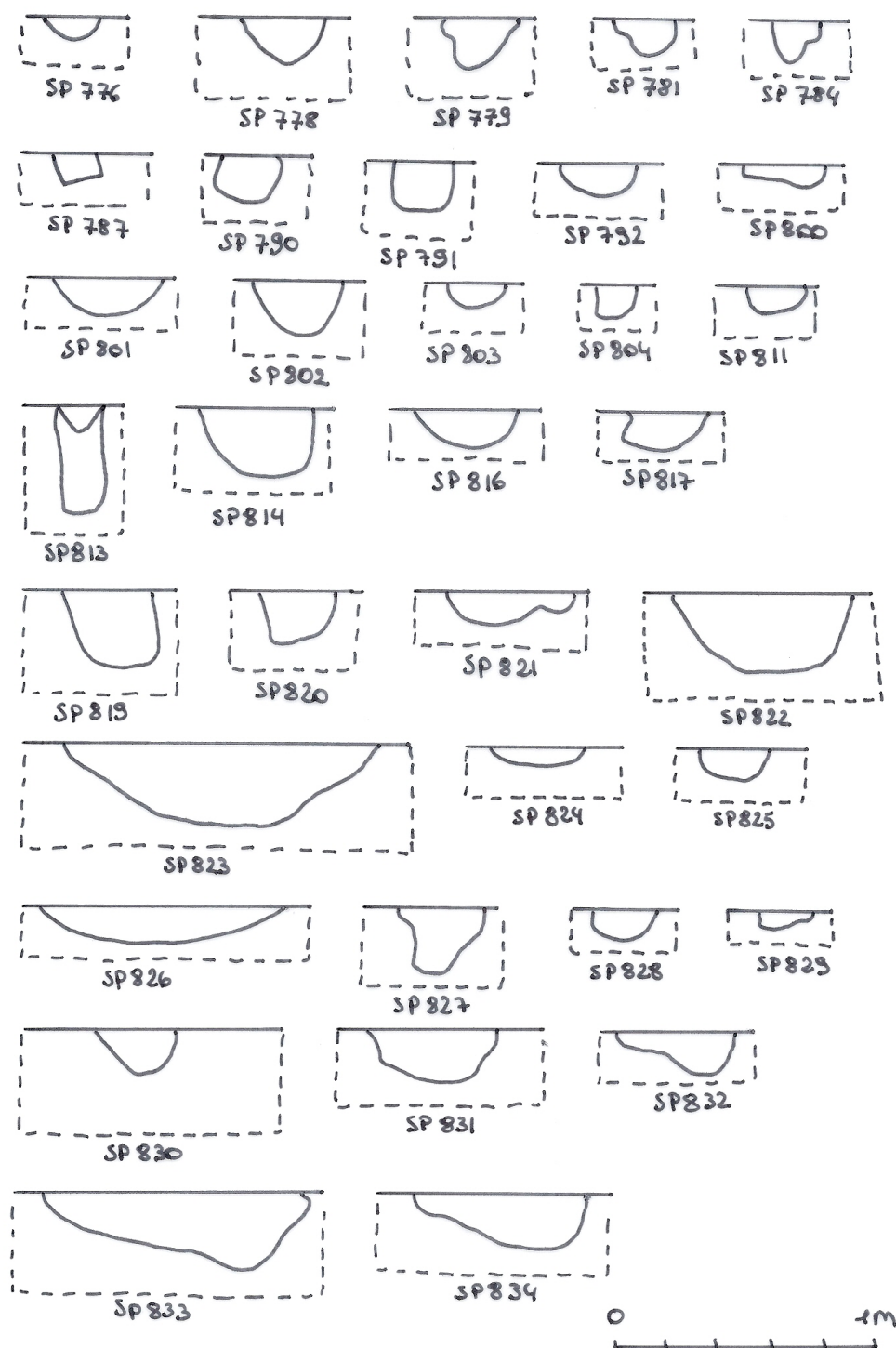


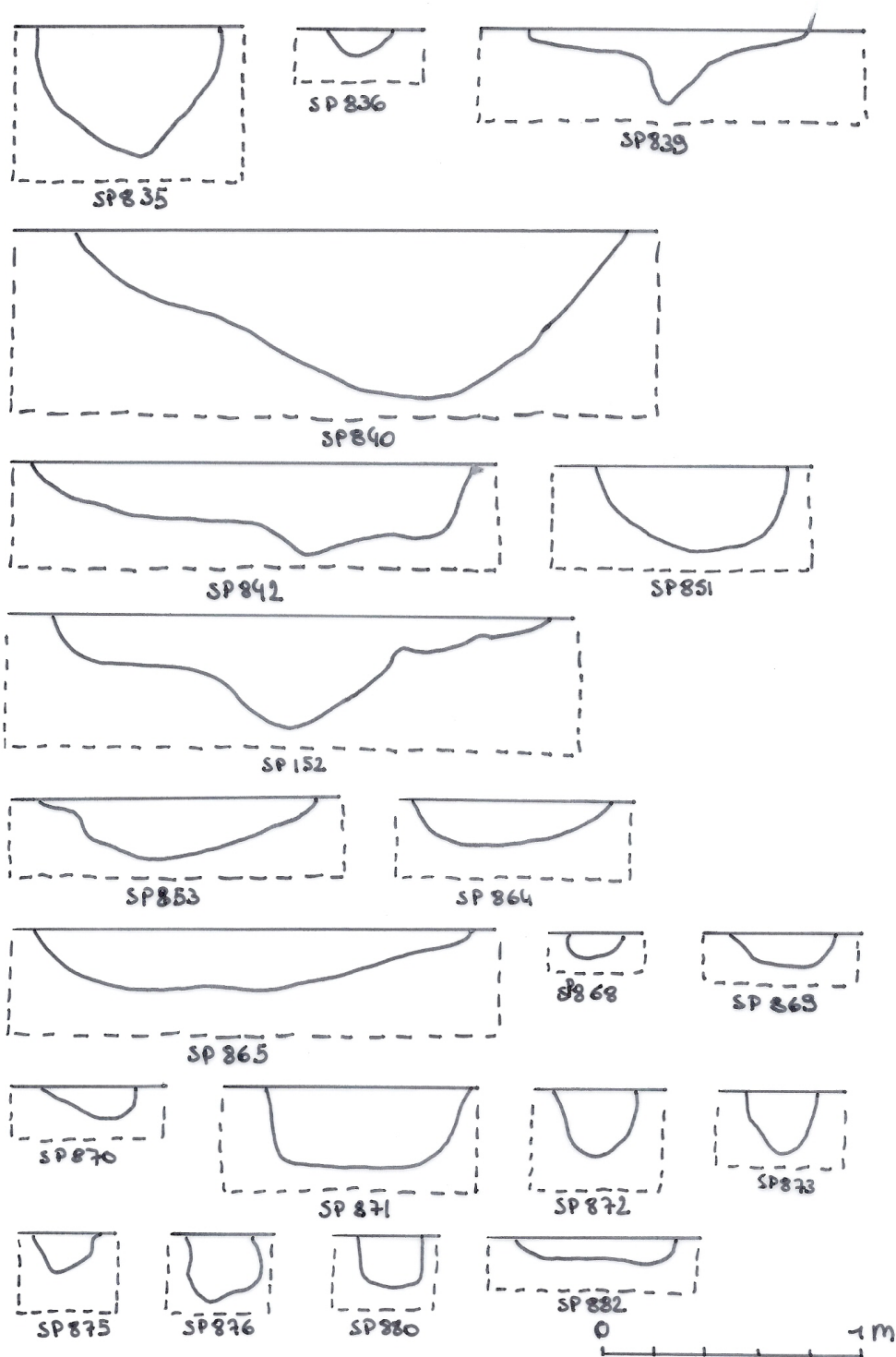


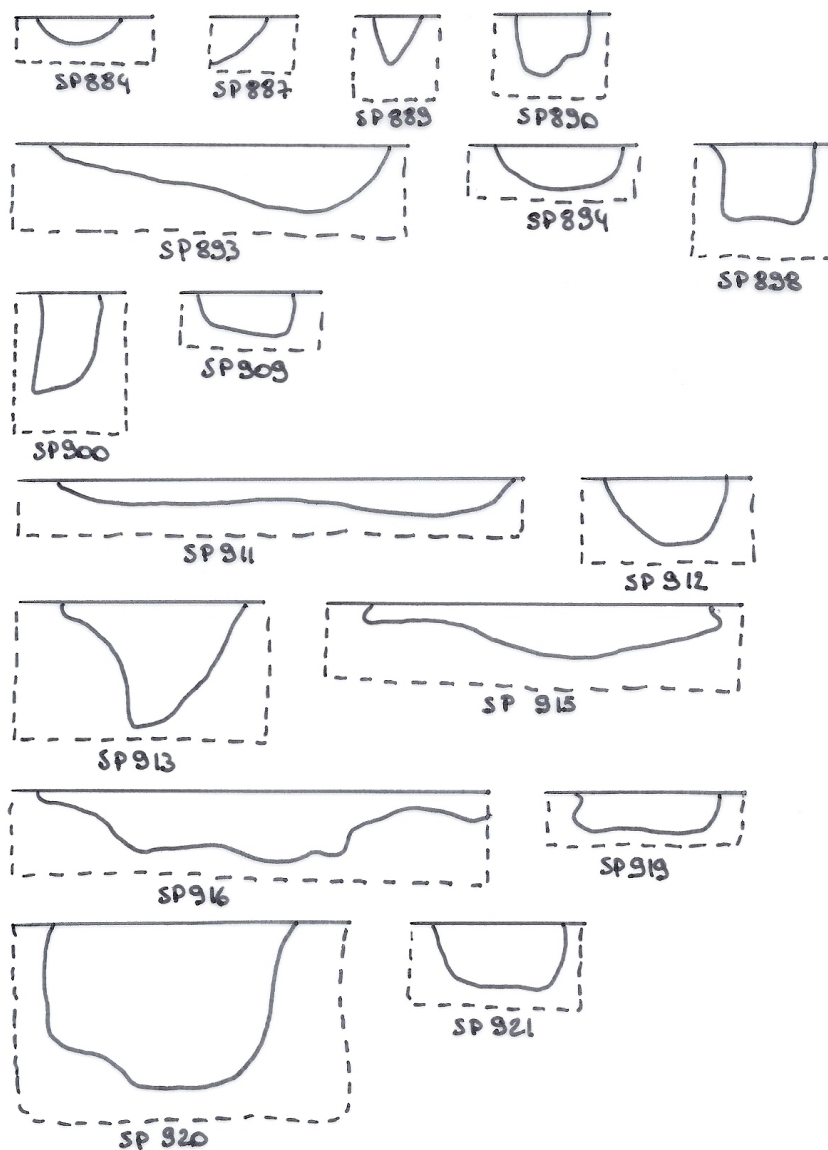




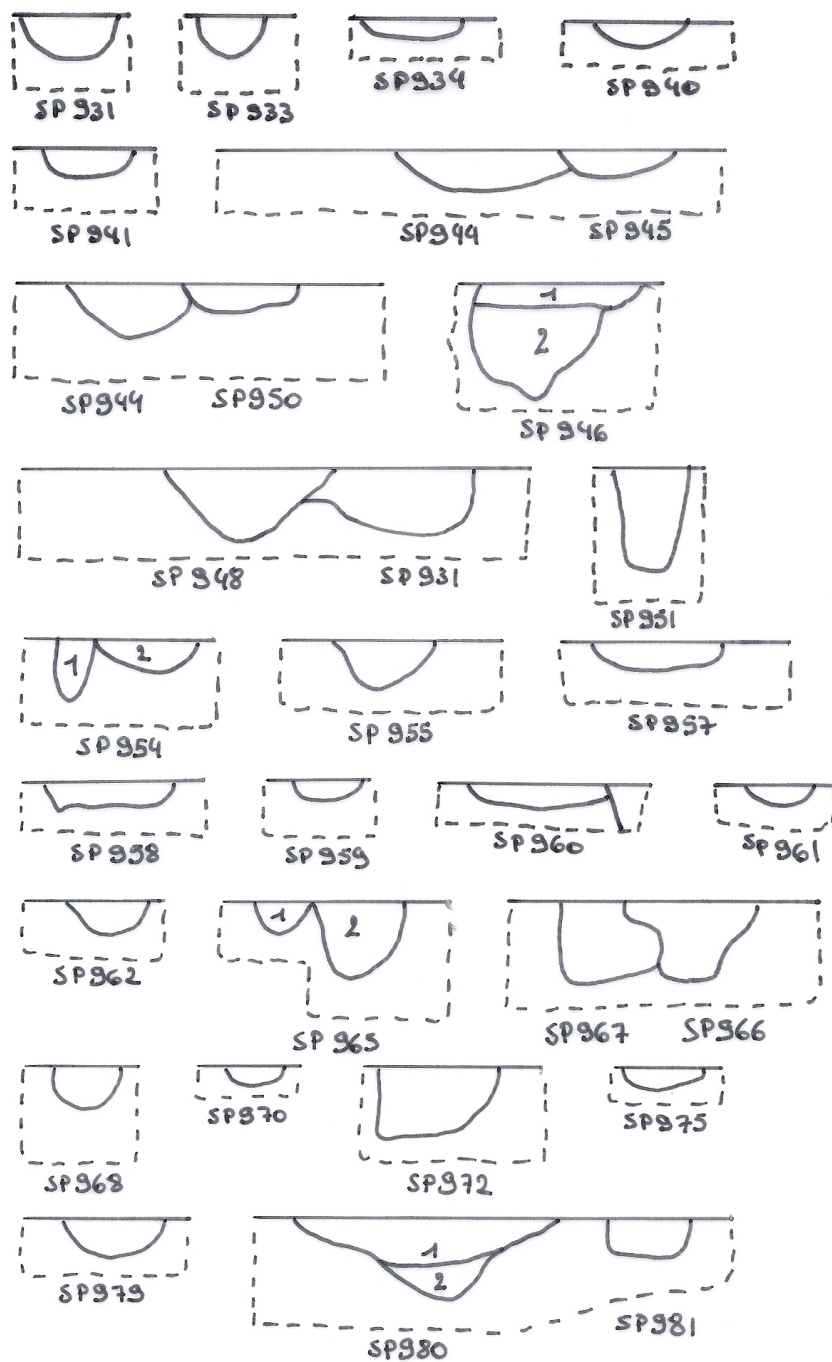
0 1m



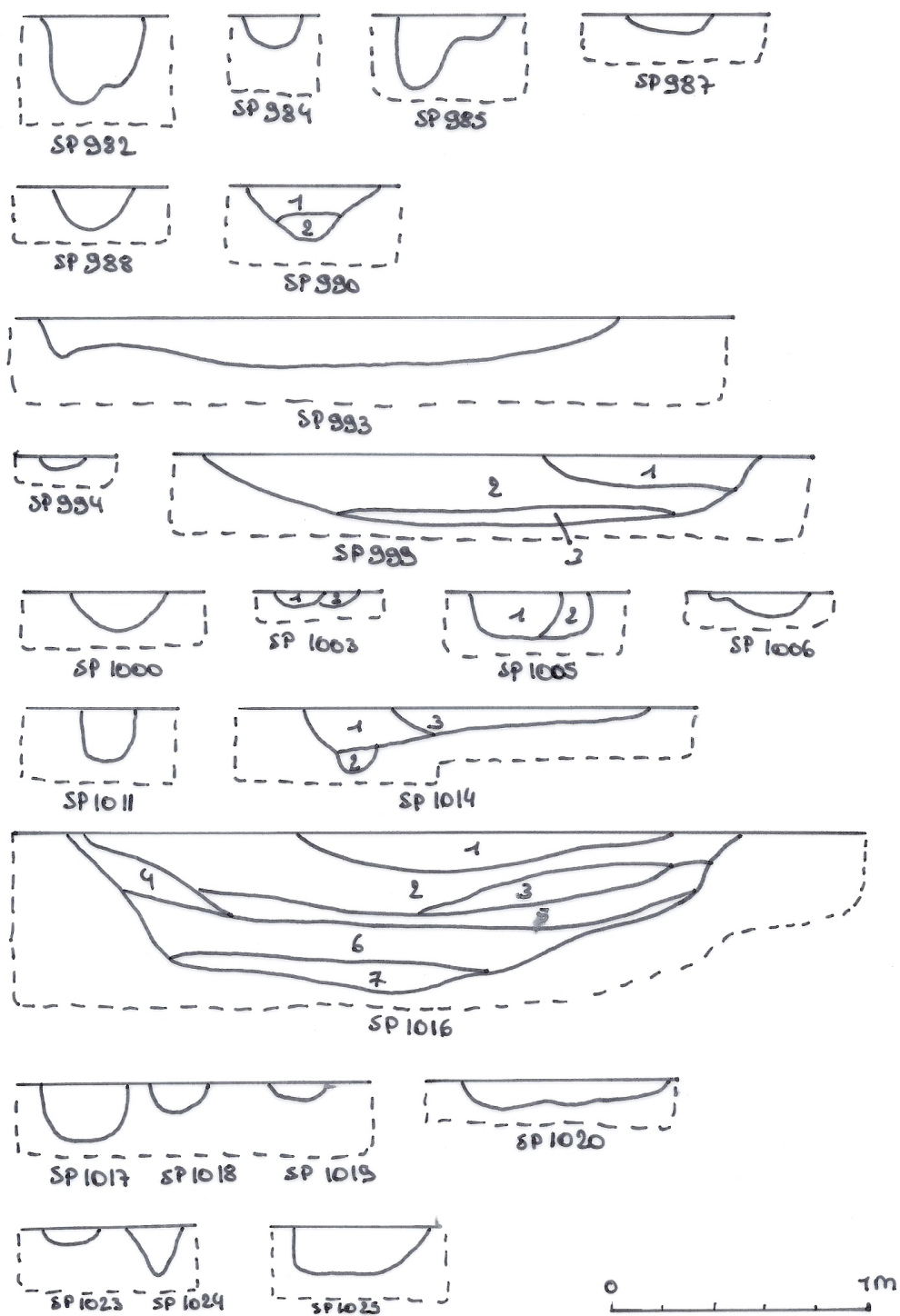


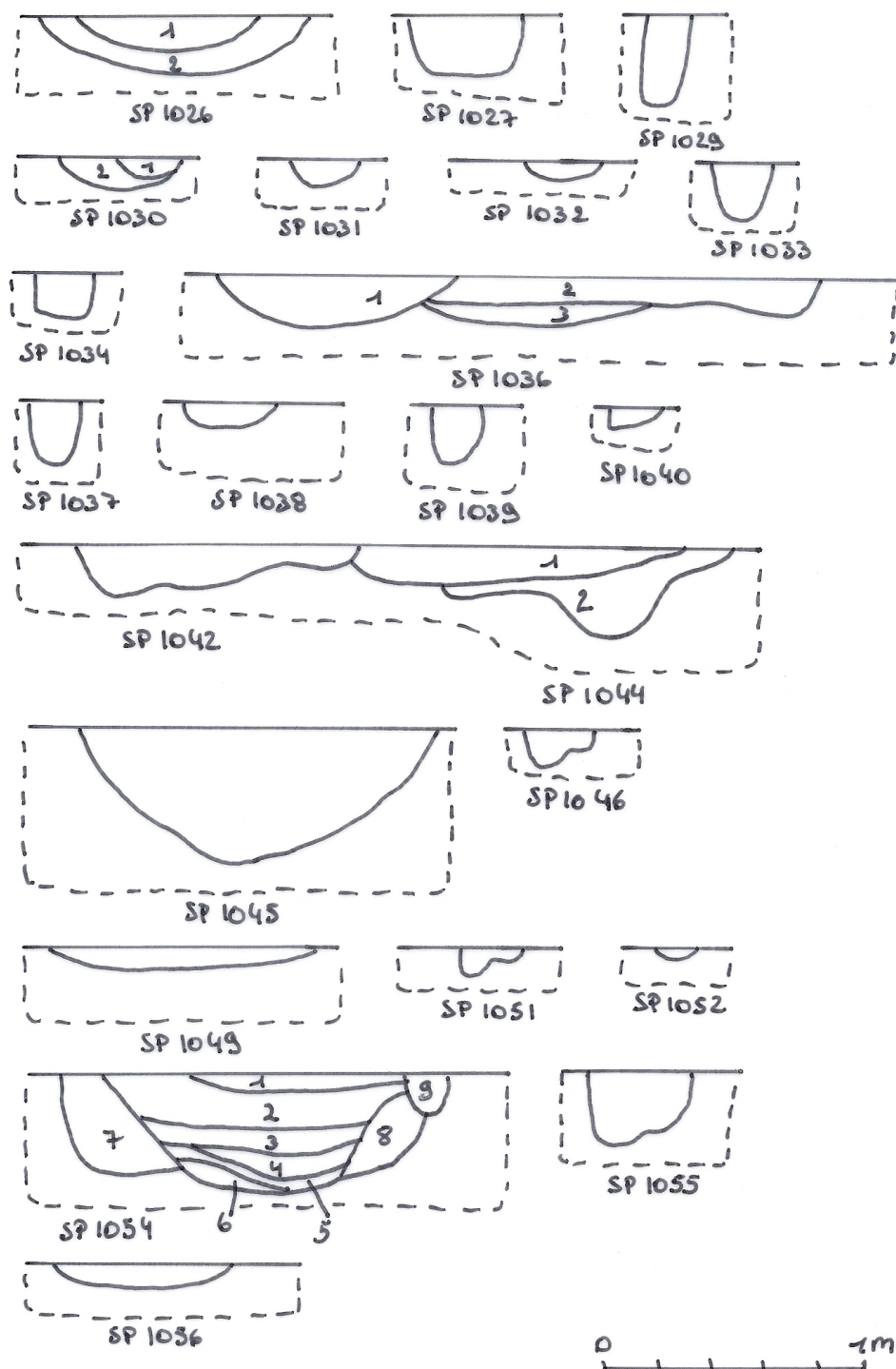


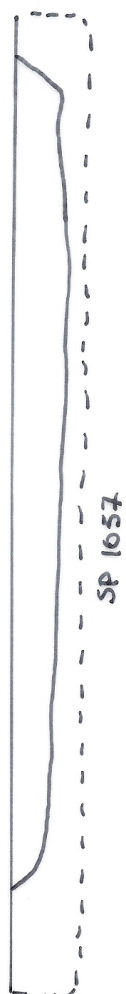
0 1m

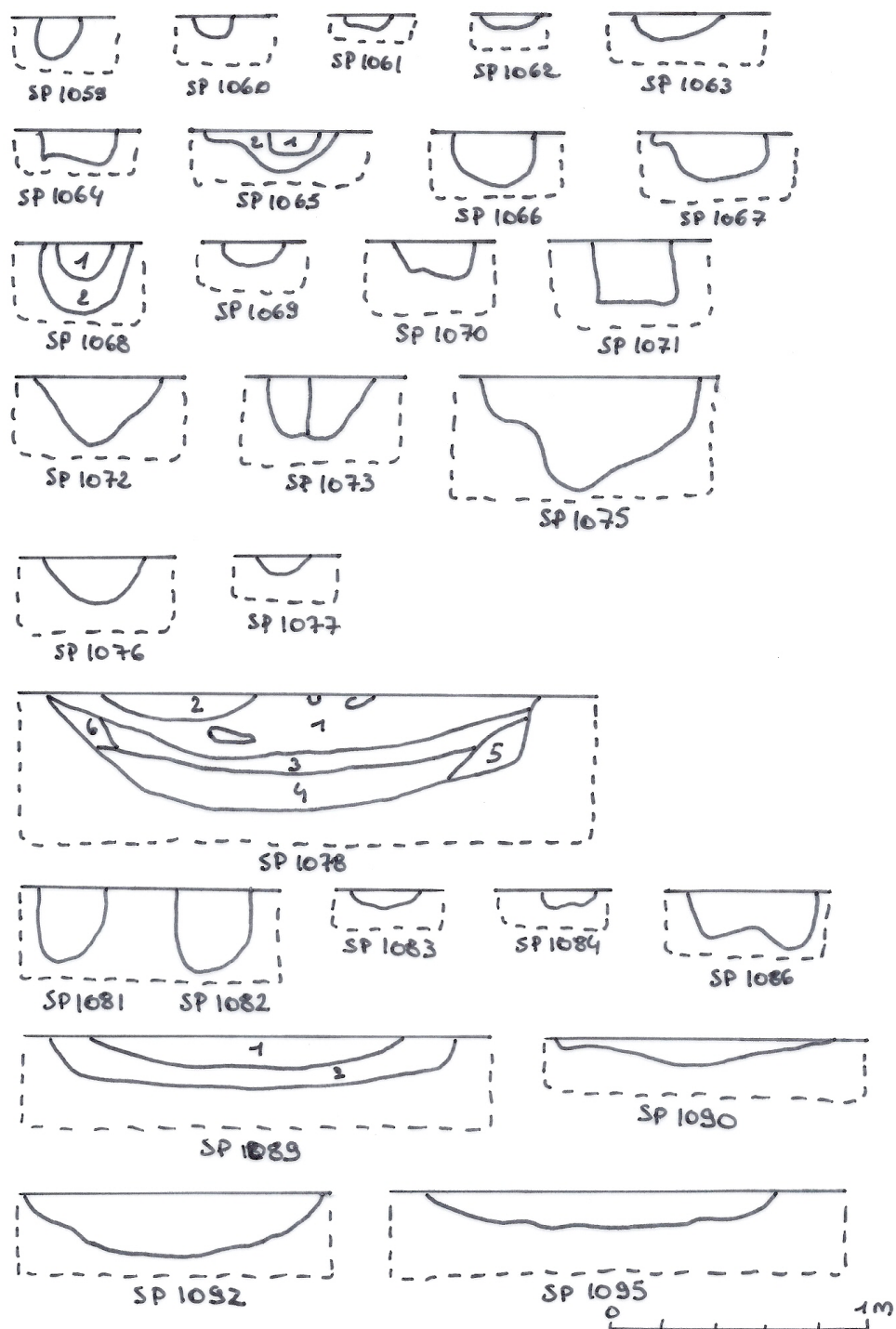


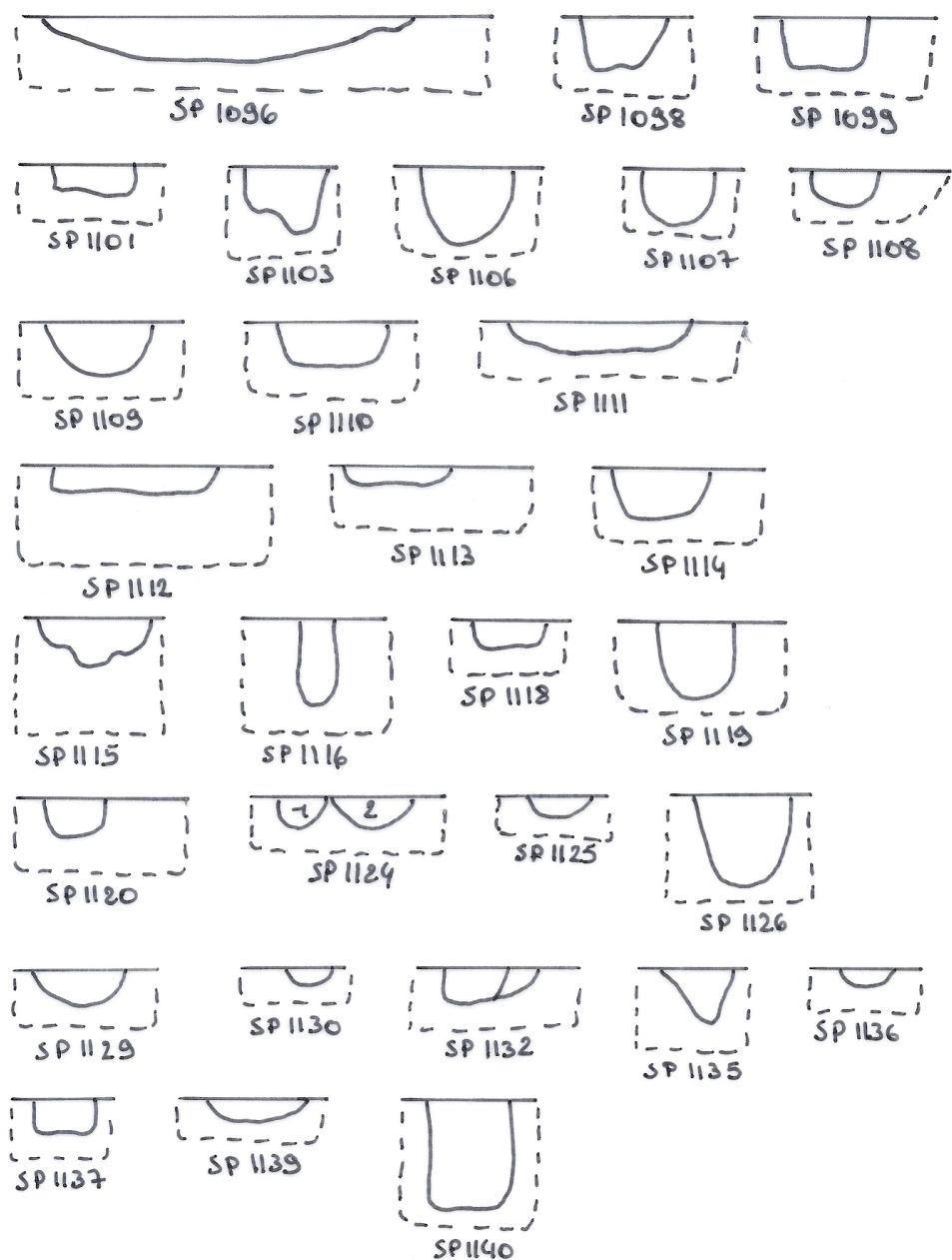
0 1m



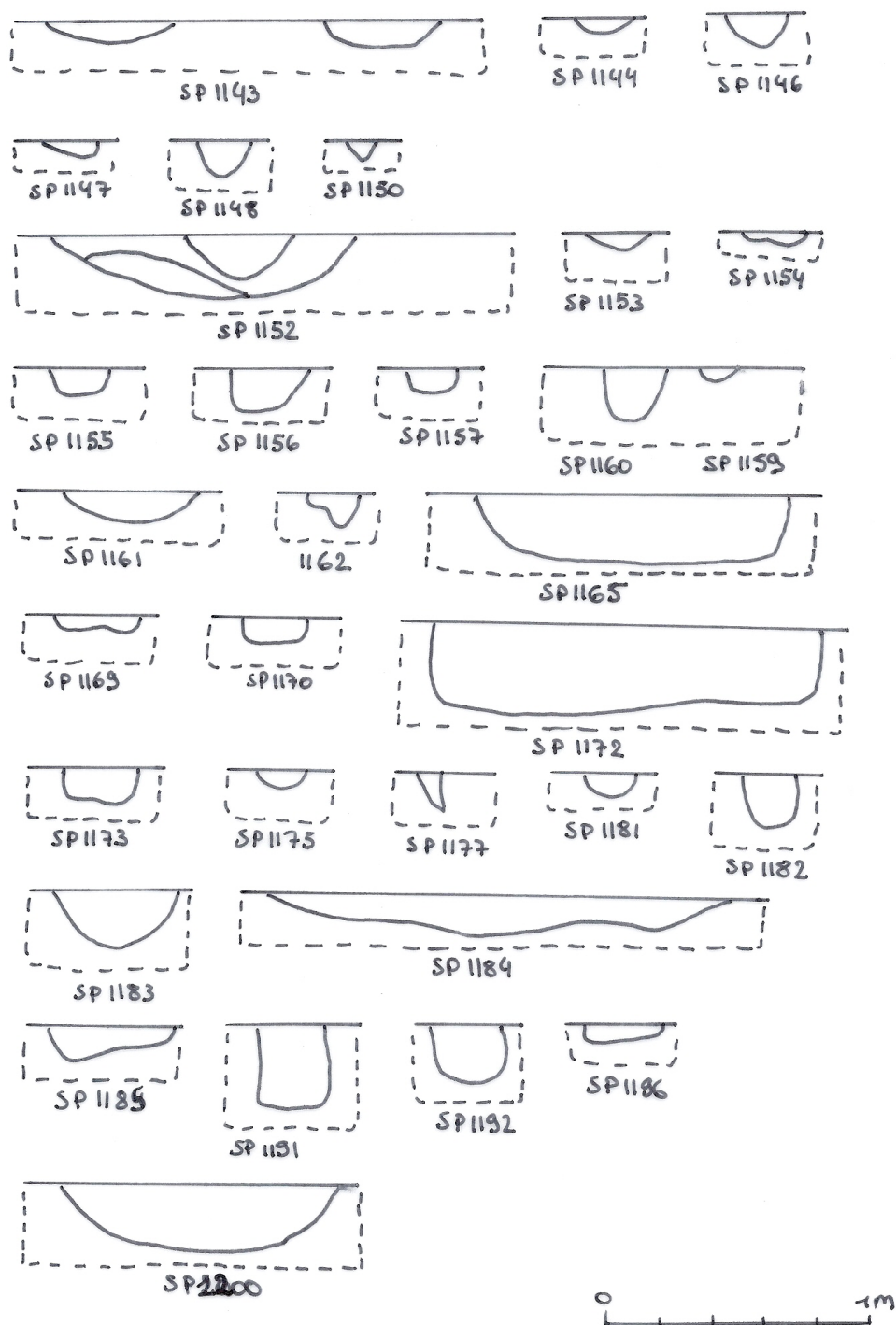


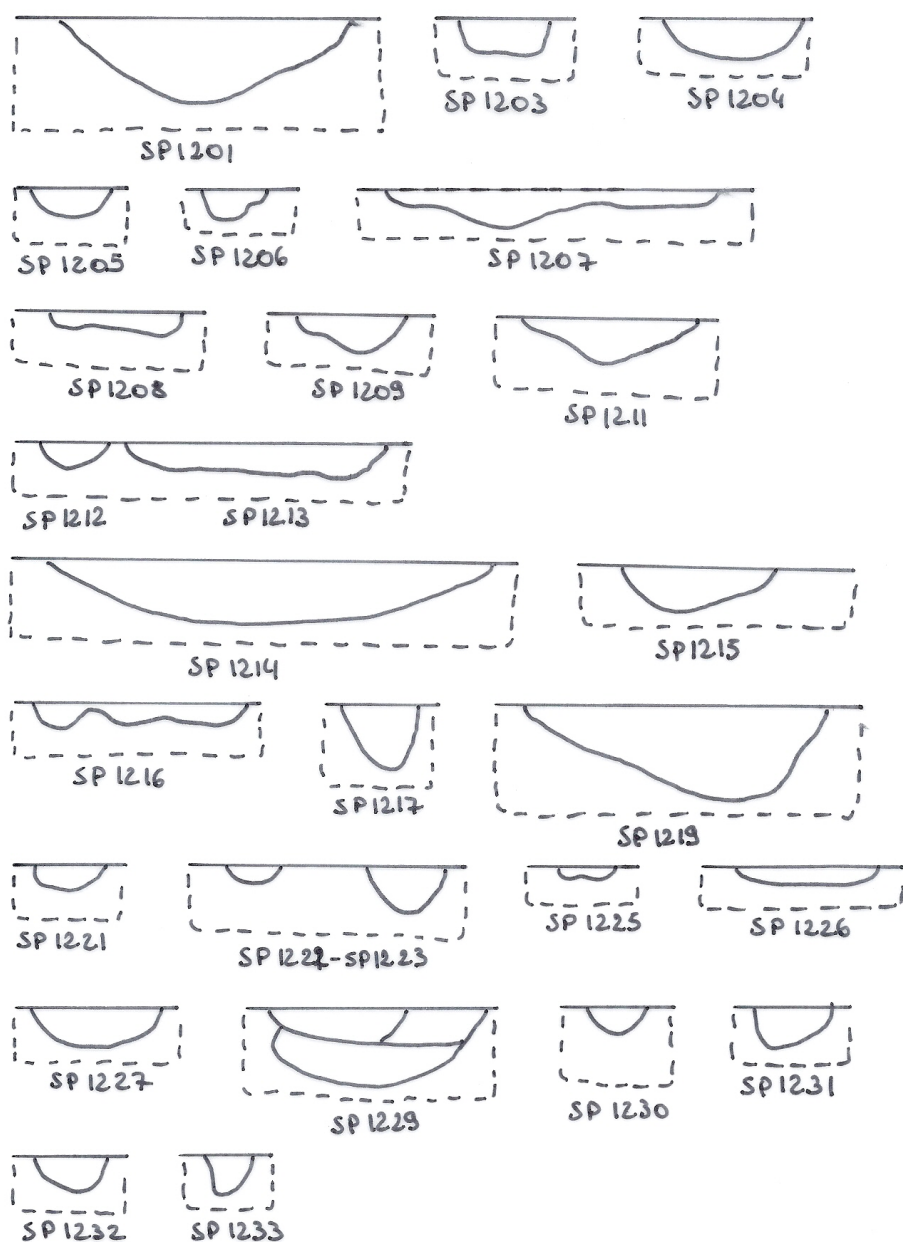




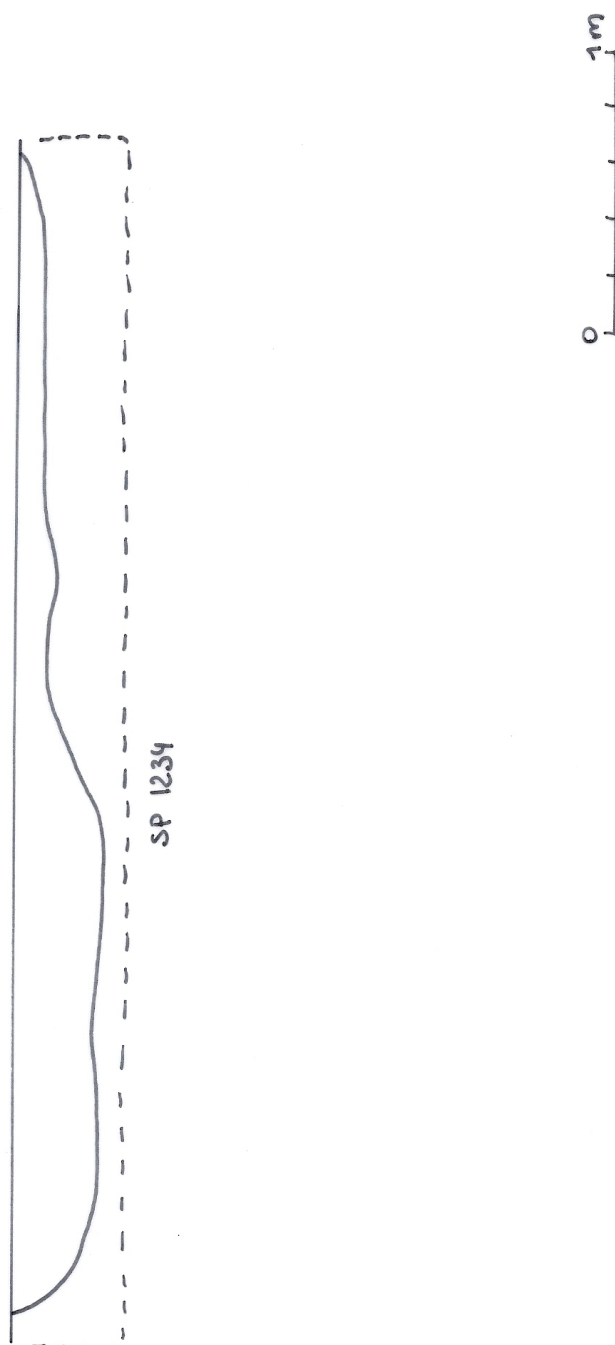


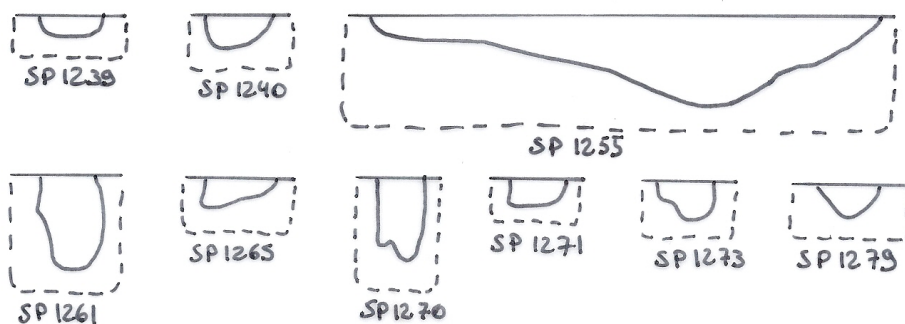
0 1m

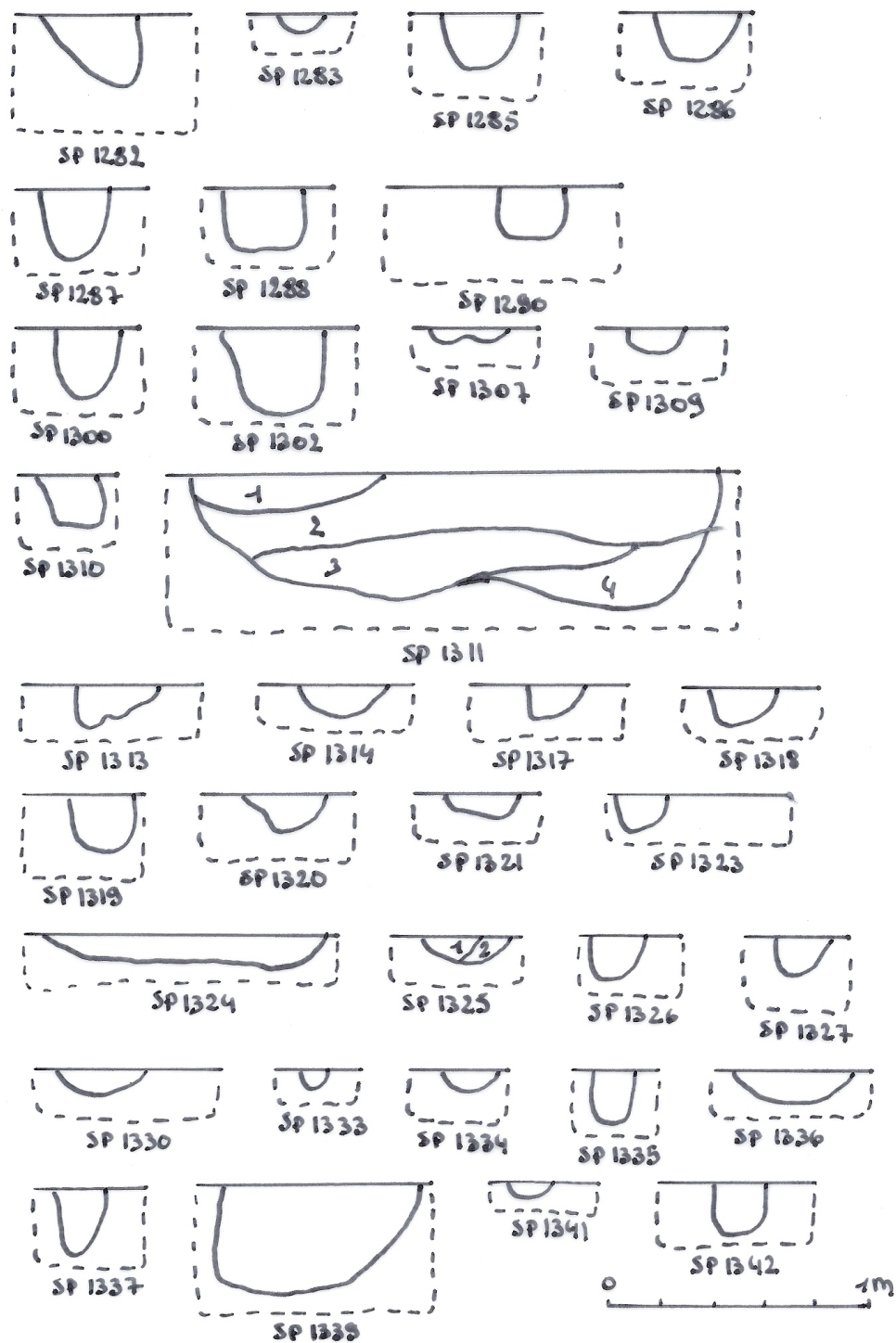


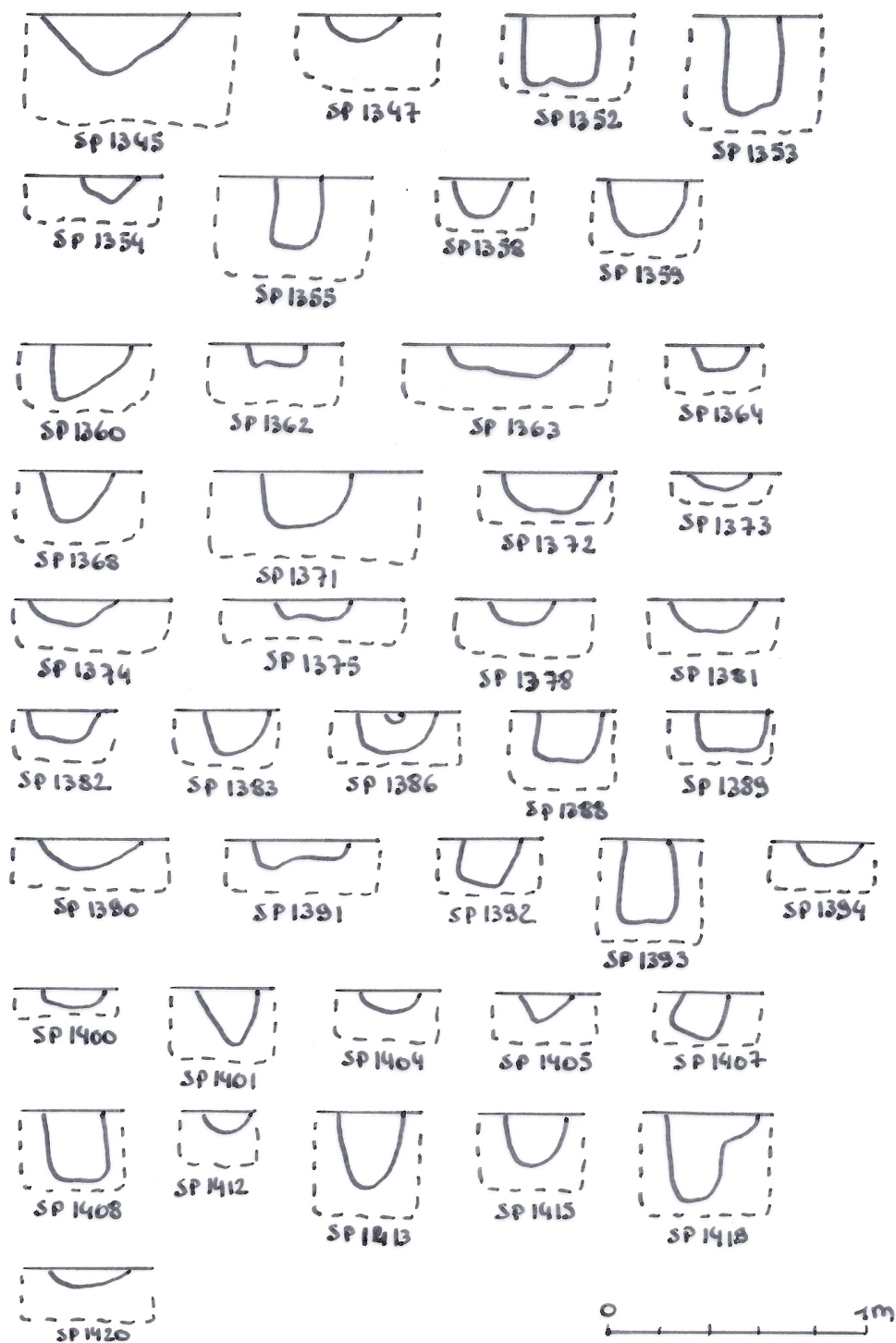


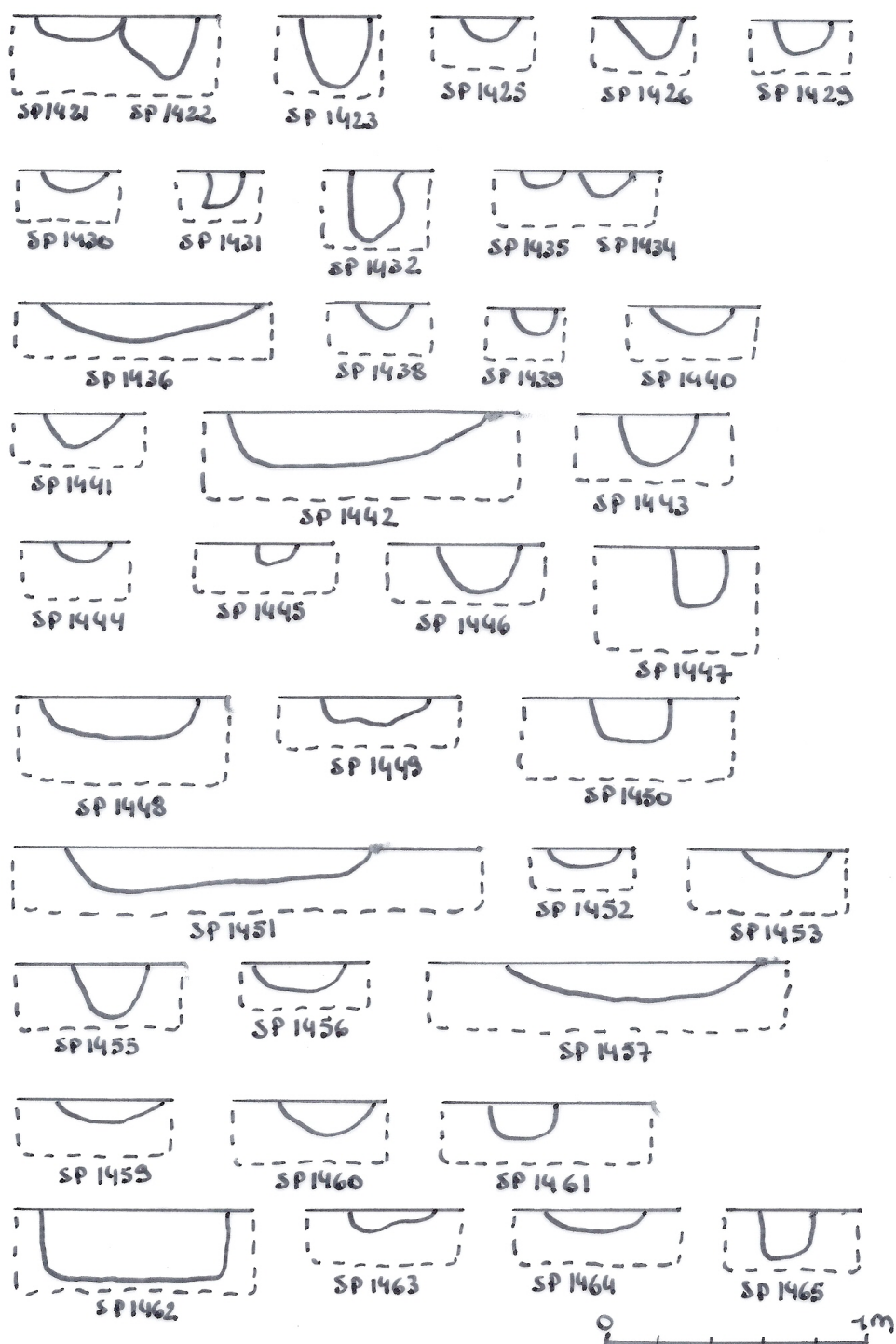
0 1m

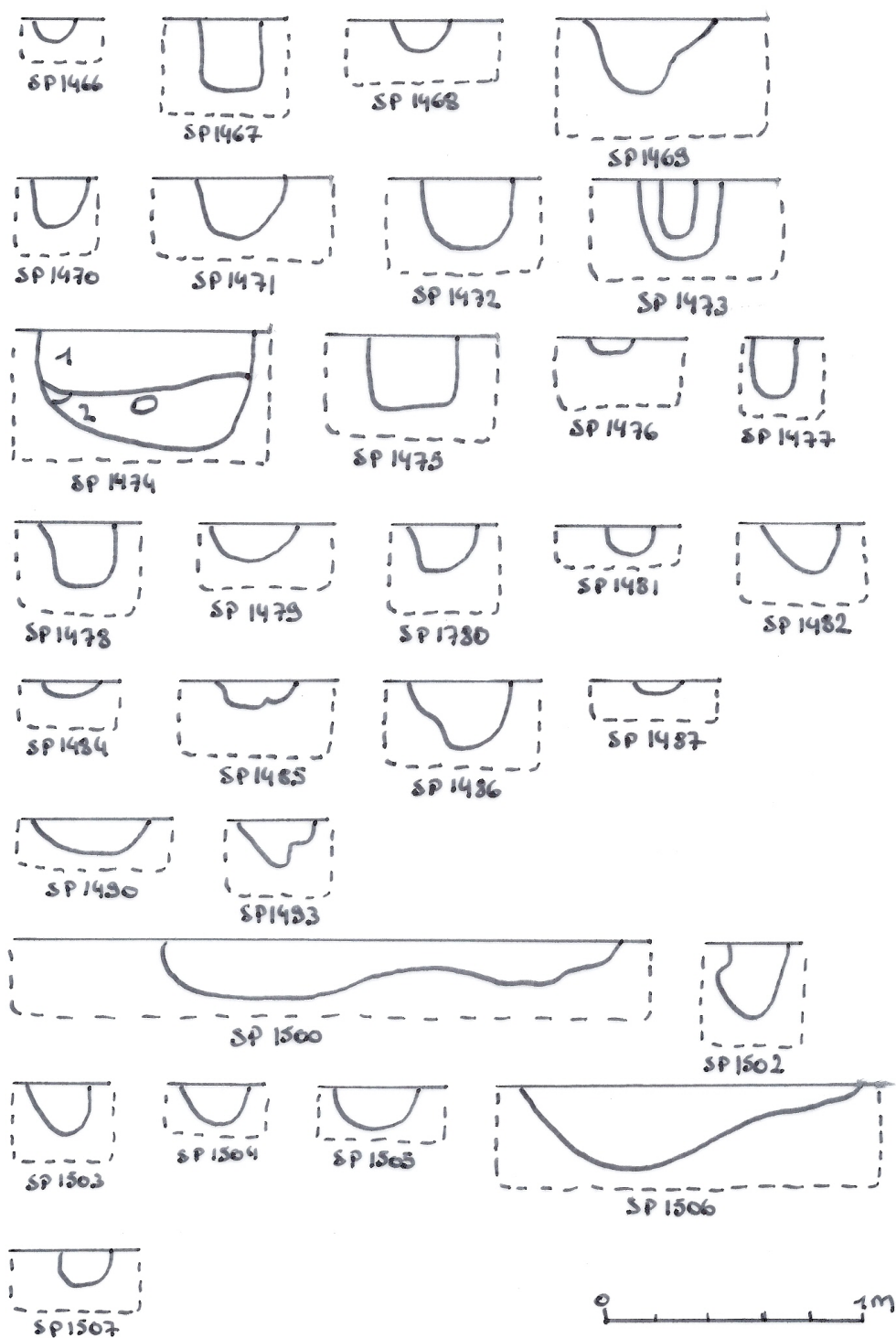


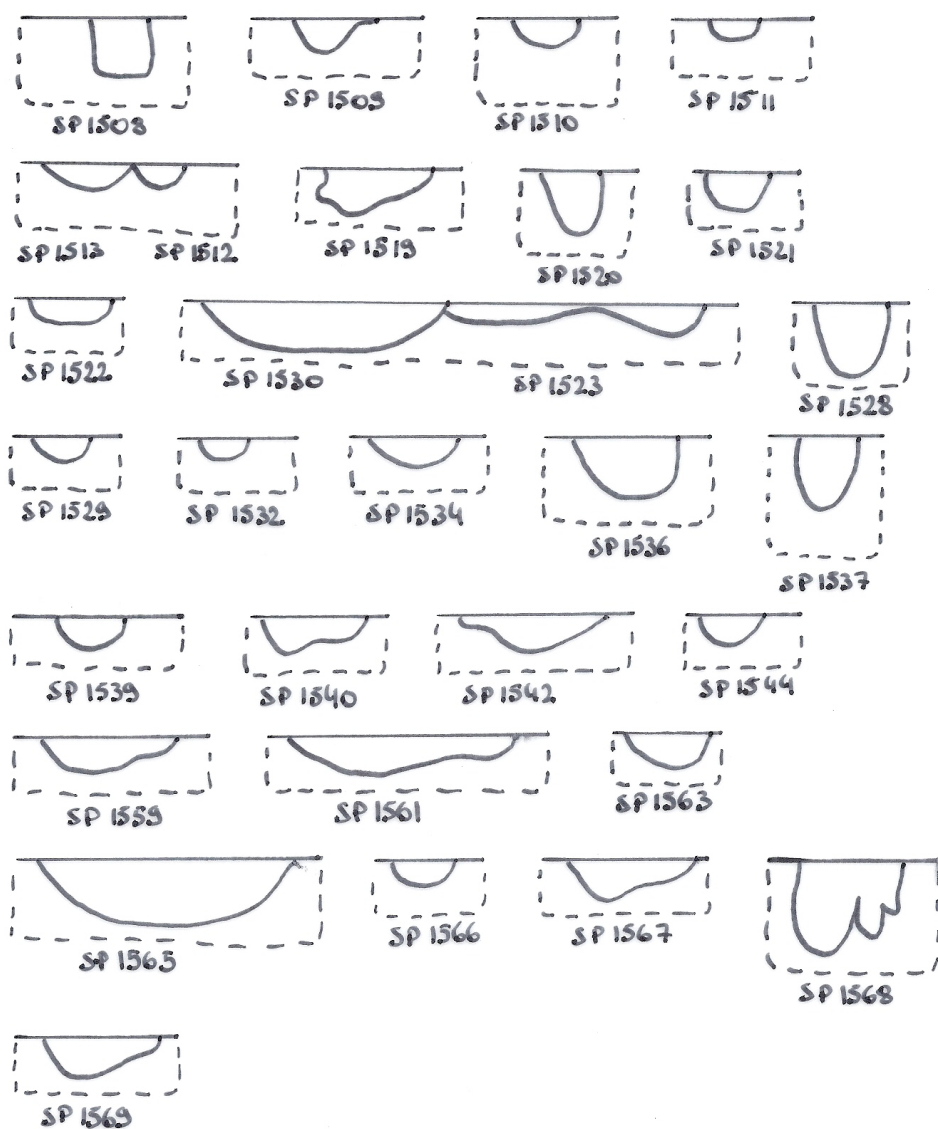


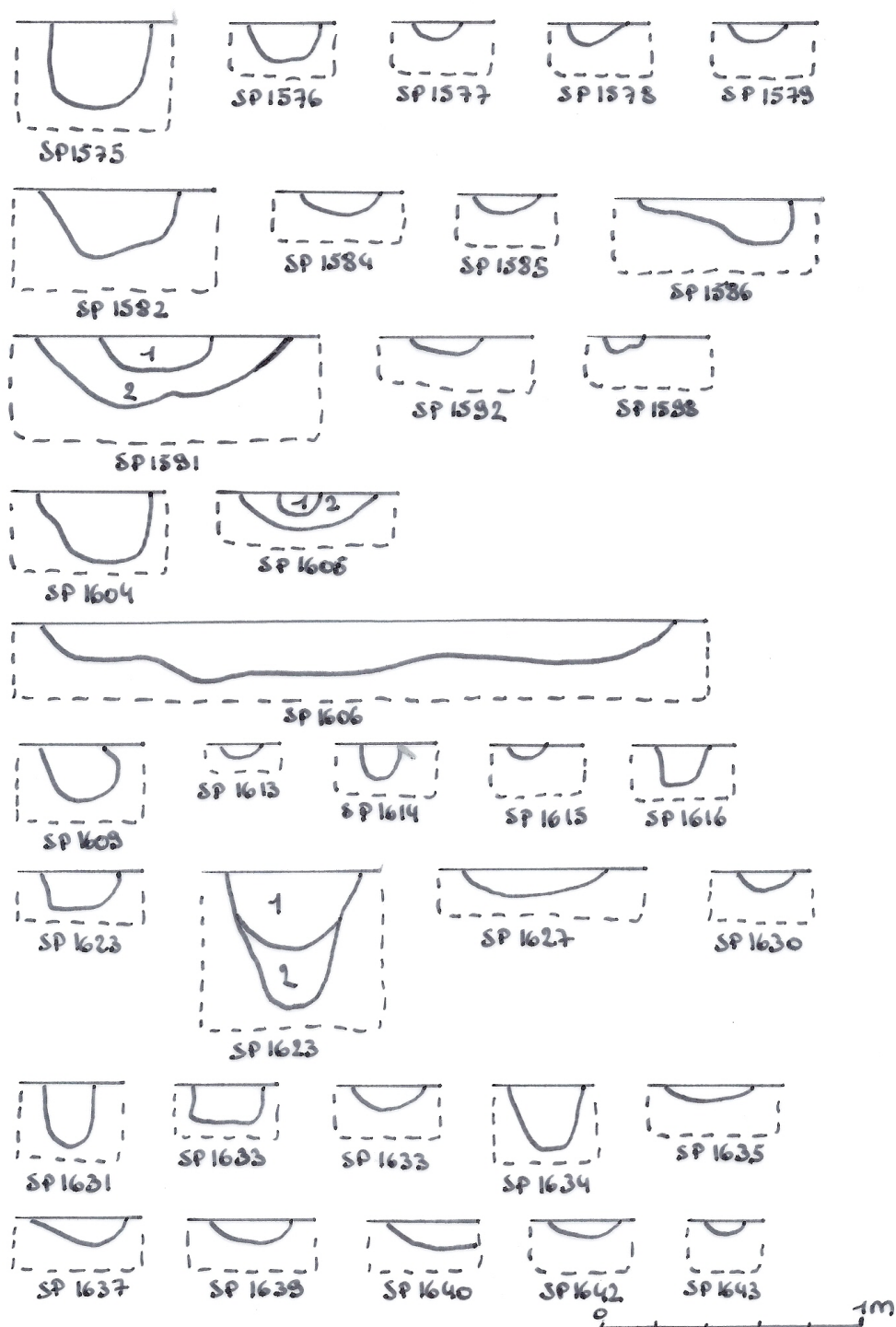


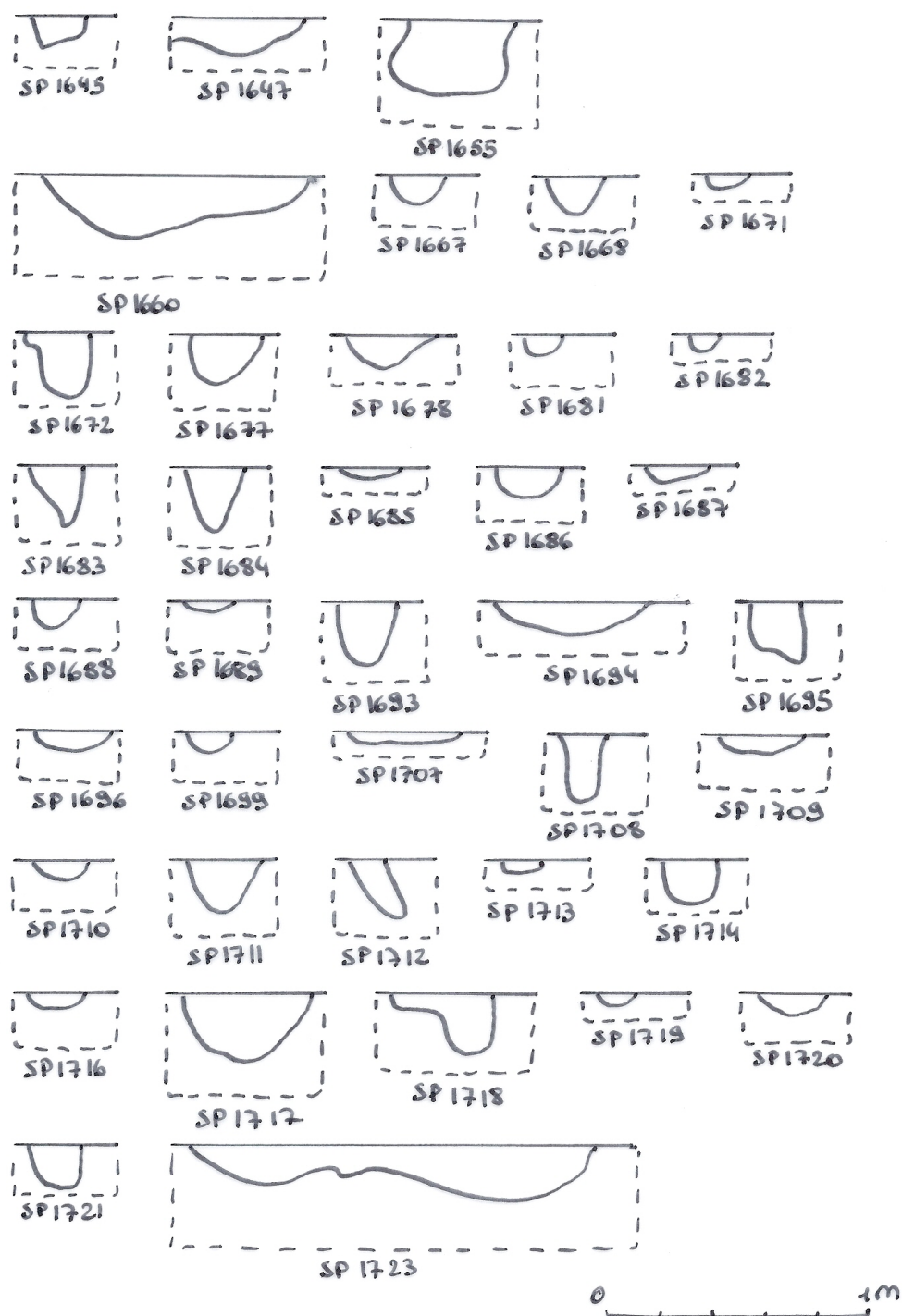


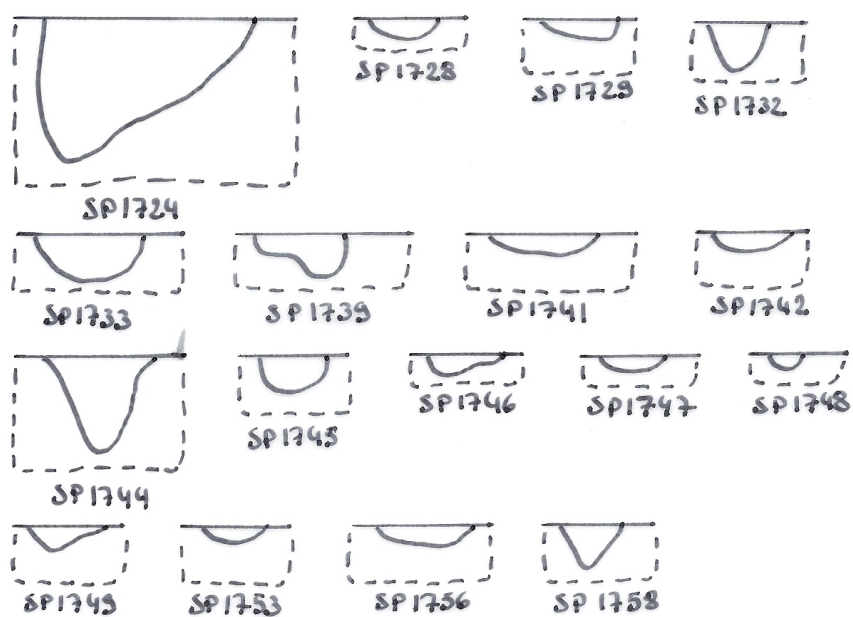


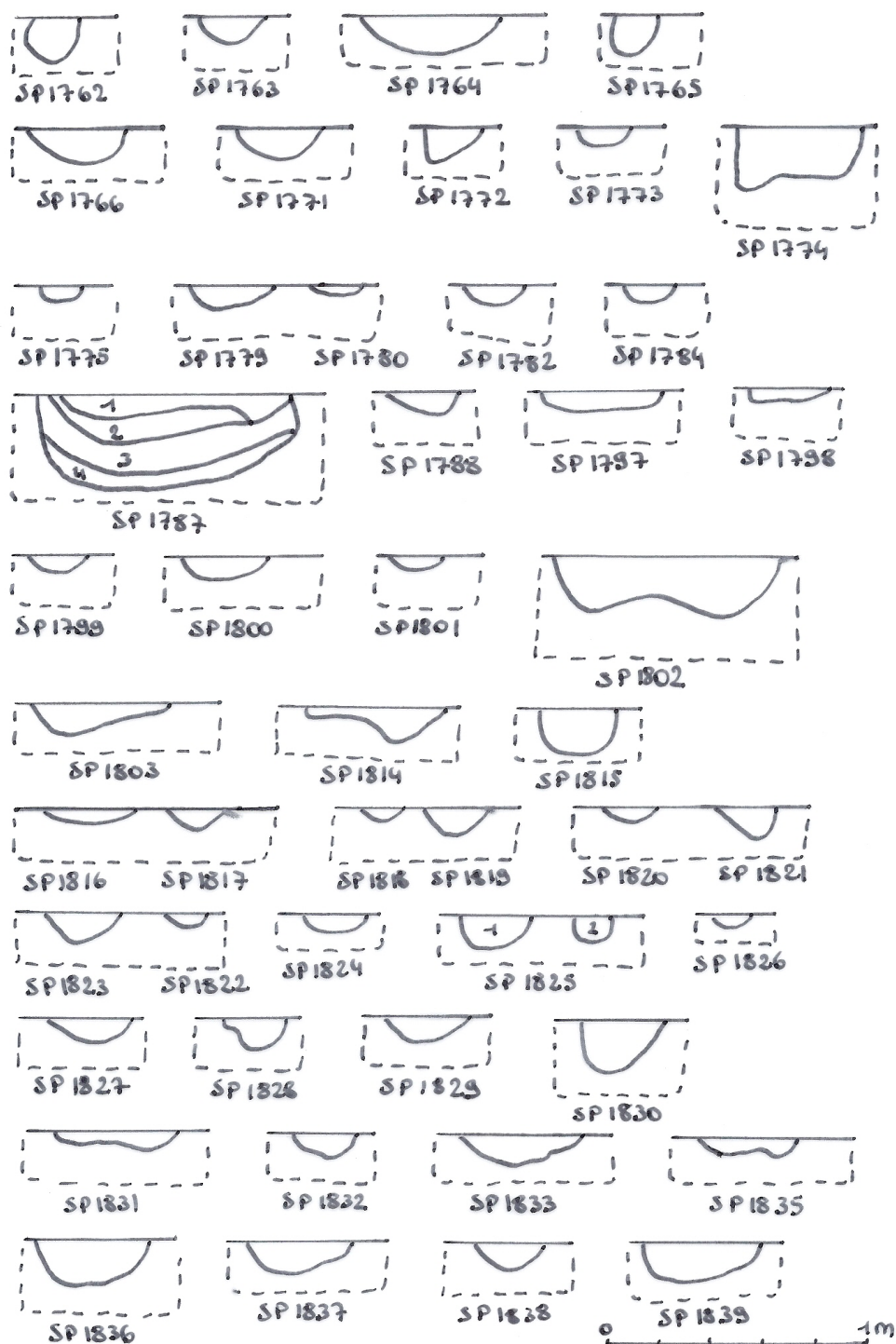


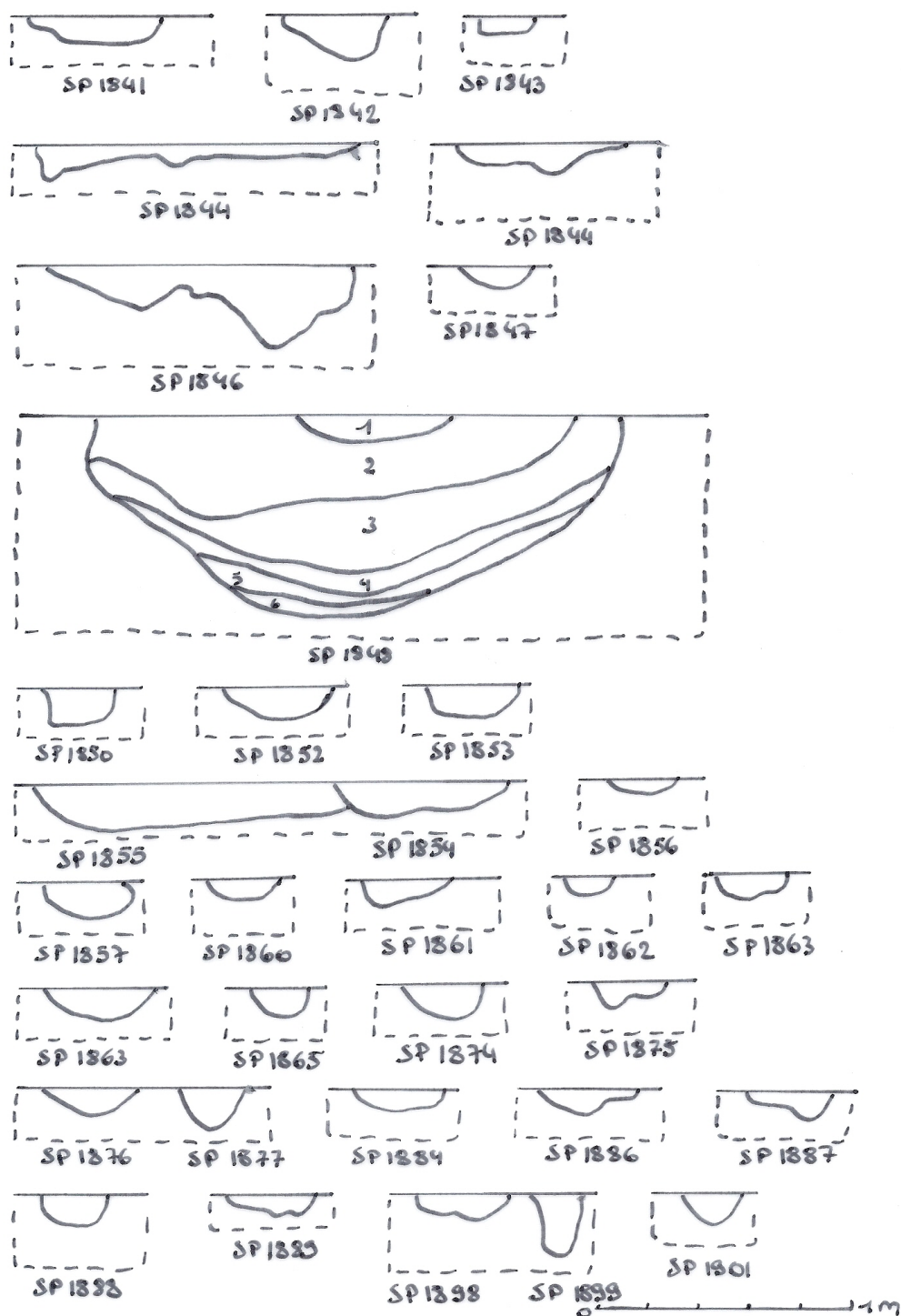


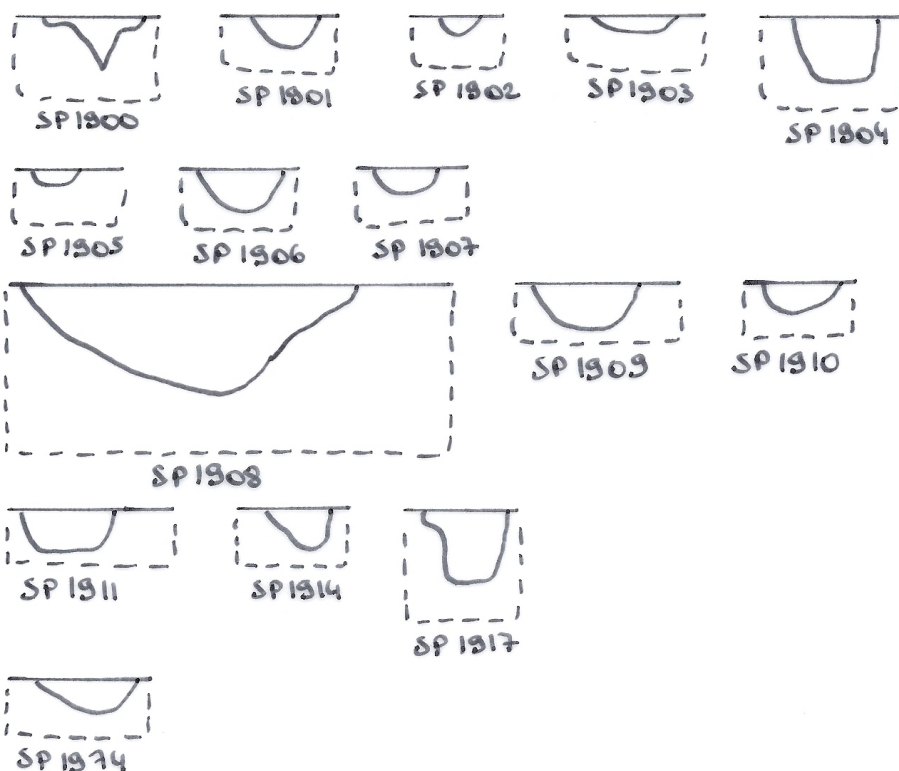


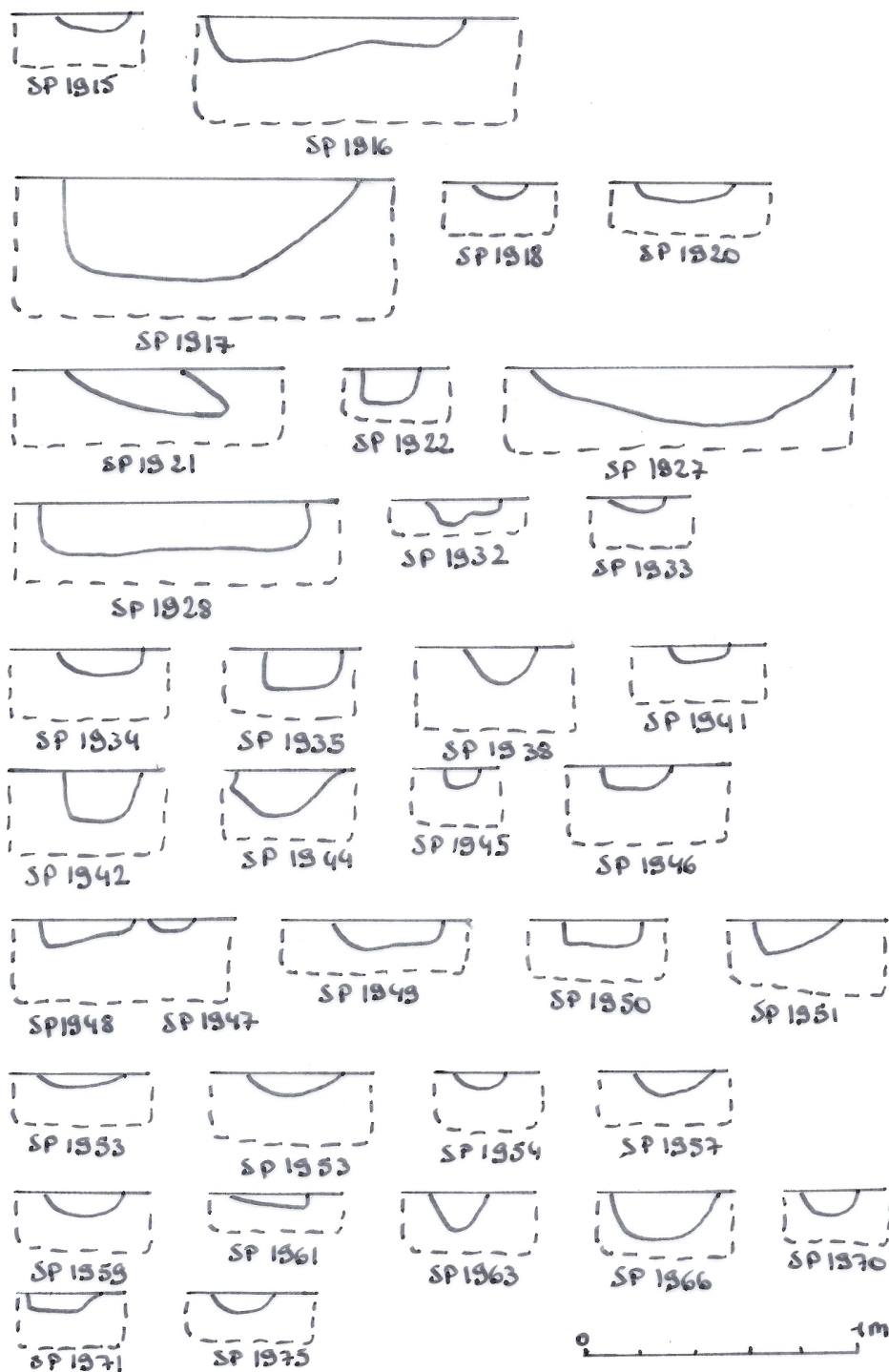


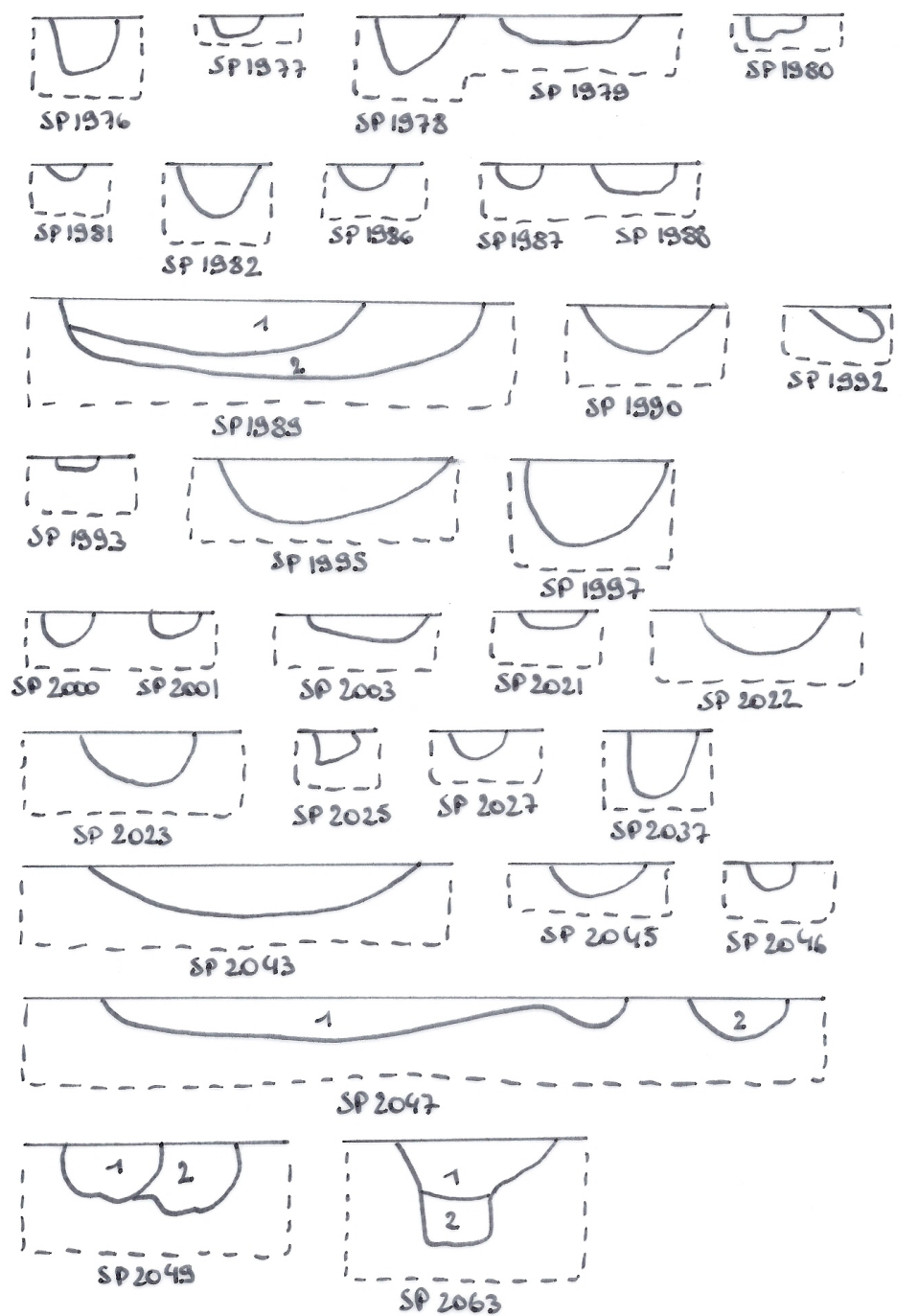


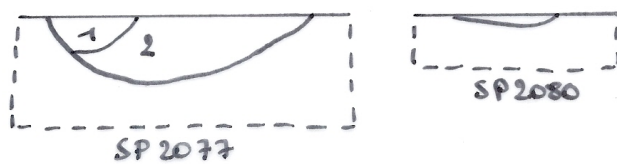


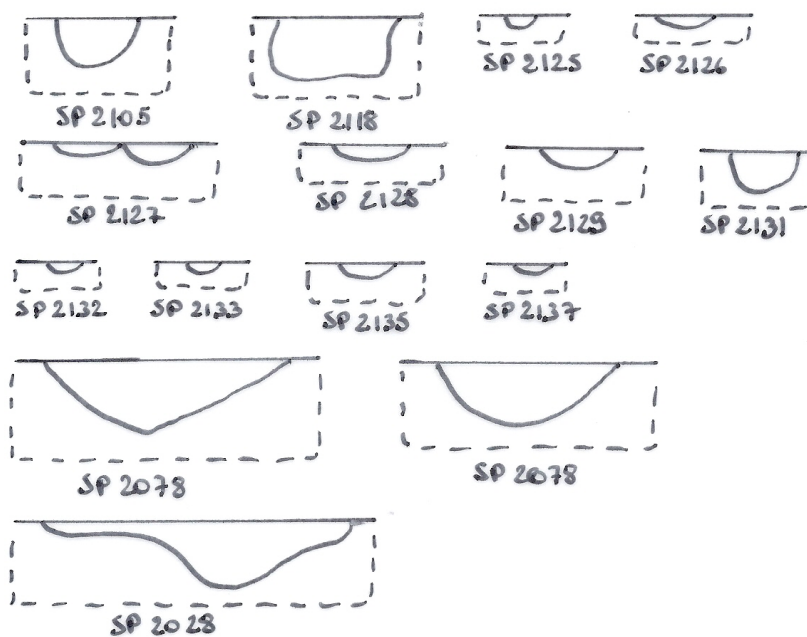


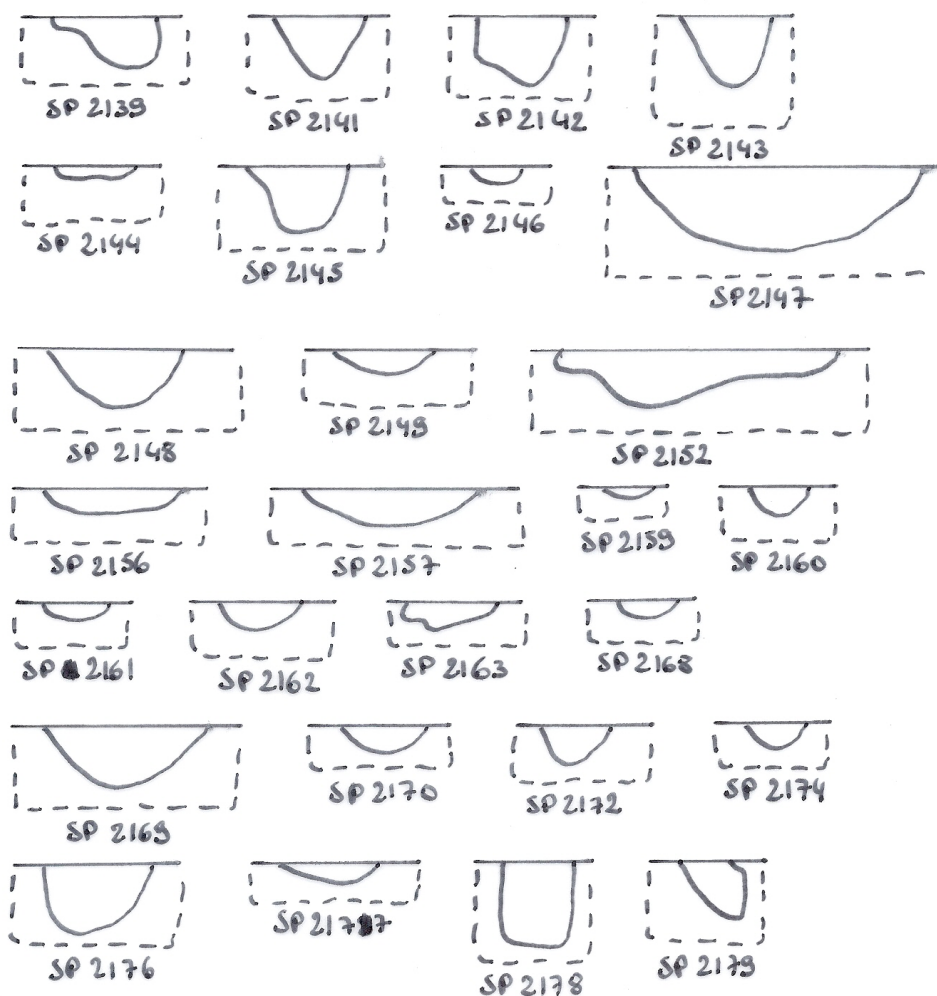






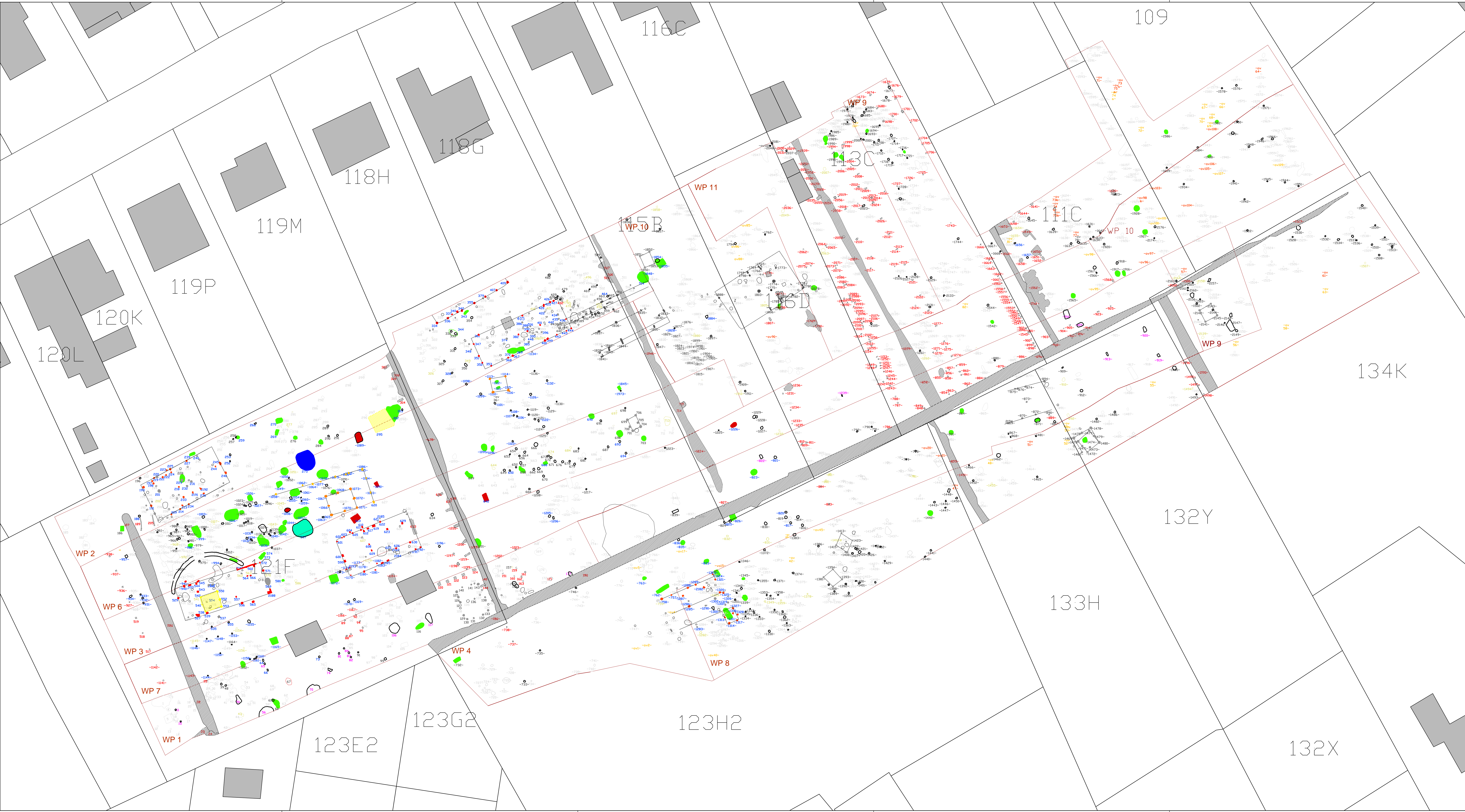






0 1m

Bijlage 10 Opgravingsplan



Legende:

- Werkputten
- Recente verstoringen
- Paalkuil
- Natuurlijk
- Onbepaald
- Kringgreppel
- Plattegronden van hoofgebouwen uit de midden- tot late ijzertijd
- Plattegronden van (mogelijke) bijgebouwen uit de midden- tot late ijzertijd
- Palencluster uit waarschijnlijk de midden- tot late ijzertijd
- (hypothetische) Plattegronden van hoofgebouwen uit de laat-Romeinse periode
- Plattegronden van bijgebouwen uit de laat-Romeinse periode
- Sporen die mogelijk tot een structuur behoren
- Hutkommen
- Erfafscheiding
- Waterput
- Waterkuil
- Prehistorische en laat-Romeinse kuilen
- Sporen van verbranding
- 350 Spoomnummers van (vermoedelijke) Romeinse sporen
- 209 Spoomnummers van (vermoedelijke) prehistorische sporen
- 458 Spoomnummers van (vermoedelijke) middeleeuwse sporen
- 458 Spoomnummers van recente sporen
- 458 Spoomnummers negatieve sporen
- 458 Spoomnummers van onbepaalde sporen
- 458 Losse vondst brontijd aardewerk
- 458 Losse vondst late brontijts inheems Romeins aardewerk

Liggingsplan

Het archeologisch onderzoek aan de Zelemsebaan te Meldert	
Opdrachtgever:	Deveux & Vanerum Projectontwikkeling en verkavelingen
Uitvoering:	Studiebureau Archeologie bvba Michiel Steenhoudt (leidinggevend archeoloog)
Topografie:	Raoul Creemers
Datum:	Juni-september 2010
Schaal: 1/250	



Administratieve gegevens

Naam site:	Zelemsebaan
Provincie:	Vlaams-Brabant
Gemeente:	Lummen
Deelgemeente:	Meldert
Adres:	Zelemsebaan
Kadastrale gegevens:	Afd. 4, Sectie D, percelen 109, 111a, 113c, 115b, 116b, 117a, 118k, 121b, 123b2, 132y, 133h en 134k
Projectcode:	ME-10-ZE
Opdrachtgever:	Deveux & Vanerum Projectontwikkeling en verkavelingen, Molenstraat 24, 3570 Alken
Vergunningsnummer:	2010/194
Naam aanvrager:	Michiel Steenhoudt
Aanvraagdatum:	25 mei 2010

